



การวิเคราะห์พื้นสะพานพอลิเมอร์ชนิดนำหนักเบาเสริมกำลังด้วยเส้นใย

โดยวิชีไฟไนท์อิเลเมนต์

Finite Element Analysis of Light Weight FRP Bridge Deck Composite

พงศ์ศักดิ์ สุขุมณี

Pongsak Sookmanee

วิทยานิพนธ์นี้เป็นส่วนหนึ่งของการศึกษาตามหลักสูตรปริญญา

วิศวกรรมศาสตรมหาบัณฑิต สาขาวิชาวิศวกรรมโยธา

มหาวิทยาลัยสงขลานครินทร์

A Thesis Submitted in Partial Fulfillment of the Requirements for the Degree of
Master of Engineering in Civil Engineering
Prince of Songkla University

2554

ลิขสิทธิ์ของมหาวิทยาลัยสงขลานครินทร์

(1)

ชื่อวิทยานิพนธ์	การวิเคราะห์พื้นสะพานพอลิเมอร์ชนิดน้ำหนักเบาเสริมกำลังด้วยเส้นไบโอดิวีไฟไนท์อัลิเมนต์
ผู้เขียน	นายพงศ์ศักดิ์ ศุภณวี
สาขาวิชา	วิศวกรรมโยธา

อาจารย์ที่ปรึกษาวิทยานิพนธ์หลัก

.....
(ผู้ช่วยศาสตราจารย์ ดร.วรพจน์ ประชาเสรี)

คณะกรรมการสอบ

.....
ประธานกรรมการ
(รองศาสตราจารย์ ดร.สุชาติ ลิ่มกตัญญู)

.....
กรรมการ
(ผู้ช่วยศาสตราจารย์ ดร.วรพจน์ ประชาเสรี)

.....
กรรมการ
(ดร.บุญ จันทร์ทักษิโณภาส)

.....
กรรมการ
(รองศาสตราจารย์ ดร.เบญจพล เวทเยวิรรณ์)

บัณฑิตวิทยาลัย มหาวิทยาลัยสงขลานครินทร์ อนุมัติให้บัณฑิตวิทยานิพนธ์ฉบับนี้
เป็นส่วนหนึ่งของการศึกษา ตามหลักสูตรปริญญาวิศวกรรมศาสตรมหาบัณฑิต สาขาวิชาวิศวกรรม
โยธา

.....
(ศาสตราจารย์ ดร.อมรรัตน์ พงศ์คารา)

คณบดีบัณฑิตวิทยาลัย

ชื่อวิทยานิพนธ์	การวิเคราะห์พื้นสะพานพอลิเมอร์ชนิดน้ำหนักเบาเสริมกำลังด้วยเส้นใยโดยวิธีไฟไนท์อิเลิมิเนต์
ผู้เขียน	นายพงศ์ศักดิ์ ศุภวนิช
สาขาวิชา	วิศวกรรมโยธา
ปีการศึกษา	2553

บทคัดย่อ

ในปัจจุบันวัสดุประกอบพอลิเมอร์เสริมกำลังด้วยเส้นใยเป็นวัสดุที่นิยมอย่างแพร่หลายในการประยุกต์ใช้งานทางด้านวิศวกรรมโยธาและโครงสร้างพื้นฐาน โดยวัสดุประกอบพอลิเมอร์เสริมกำลังด้วยเส้นใยมีประสิทธิภาพและศักยภาพที่สูงสำหรับใช้เป็นวัสดุเสริมแรง, เพิ่มประสิทธิภาพ, บูรณาภิสัจจะรัณและใช้ในการทดสอบพื้นสะพานทางหลวง

การวิจัยนี้มีวัตถุประสงค์หลัก ได้แก่ 1) ศึกษาพฤติกรรมทางโครงสร้างของพื้นสะพานพอลิเมอร์ชนิดน้ำหนักเบาเสริมกำลังด้วยเส้นใย (ทั้งระดับชิ้นส่วนและระดับระบบ) ภายใต้สภาวะของแรงกระทำสถิติศาสตร์ที่แตกต่างกันผ่านแบบจำลองทางไฟไนท์อิเลิมิเนต์ 2) ตรวจสอบผลที่ได้จากการวิเคราะห์พื้นสะพานพอลิเมอร์เสริมกำลังด้วยเส้นใยกับผลที่ได้จากการวิเคราะห์จากห้องปฏิบัติการ และ 3) หาค่าตัวประกอบการกระจายน้ำหนักของระบบสะพานที่มีแผ่นพื้นเป็นพอลิเมอร์เสริมกำลังด้วยเส้นใยและมีความที่รองรับเป็นเหล็กผ่านการศึกษาแบบพารามทริกซ์โดยใช้ไฟไนท์อิเลิมิเนต์และข้อมูลจากการศึกษาที่ผ่านมา

ในการวิจัยนี้ได้ทำการศึกษาแผ่นพื้นสะพานพอลิเมอร์เสริมกำลังด้วยเส้นใยแบบหลายเซลล์จำนวนสองประเภท ได้แก่ Prodeck4 และ Prodeck8 โดยวิเคราะห์หาผลตอบสนองในช่วงขีดหยุ่นตลอดจนค่าพิบัติจากแบบจำลองแผ่นพื้นสะพานพอลิเมอร์เสริมกำลังด้วยเส้นใยทั้งระดับชิ้นส่วนและระบบ ซึ่งผลที่ได้จากการวิเคราะห์ไฟไนท์อิเลิมิเนต์ ได้แก่ ค่าการโก่งตัว ค่าความแข็งเกร็งของการดัด และแรงกระทำพิบัติ ถูกนำมาไปเปรียบเทียบกับข้อมูลจากการทดสอบ พบว่ามีความสอดคล้องกันดีระหว่างผลที่ได้จากการวิเคราะห์ไฟไนท์อิเลิมิเนต์กับข้อมูลจากการทดสอบ สำหรับการศึกษาพารามทริกซ์ มีปัจจัยหลักอย่างเดียวคือค่าพื้นที่ที่ทำการศึกษาภายในที่ต้องการให้เจือนใจจากแรงกระทำจากการครอบครุฑุกตามมาตรฐาน AASHTO HS25 ได้แก่ ประเภทแผ่นพื้น, ตำแหน่งและจำนวนแรงกระทำบนช่องทางจราจร, ความกว้าง, ความยาว, ระยะห่างของคานที่รองรับ (S) และพฤติกรรมในการประกอบของแบบจำลอง เพื่อหาค่าตัวประกอบการกระจายน้ำหนักของระบบสะพานที่มีแผ่นพื้นเป็นพอลิเมอร์เสริมกำลังด้วยเส้นใยและมีความที่รองรับเป็นเหล็ก ผลการศึกษา

แบบพารามิตริกแสดงให้เห็นว่าค่าตัวประกอบการกระจายน้ำหนักที่มากที่สุดขึ้นอยู่กับระยะห่างของคานที่รองรับ (**S**) และตำแหน่งของแรงกระทำจากรถบรรทุก จากการวิเคราะห์โดยอาศัยข้อมูลการทดสอบและข้อมูลจากการศึกษาอื่นๆ ที่ผ่านมา พบว่าค่าปีกดันบนและปีกดันล่างของตัวประกอบการกระจายน้ำหนักที่เหมาะสม ได้แก่ **Q1331S+Q3116** และ **Q1331S+Q0116** ตามลำดับ

ก่อนที่จะนำผลที่ได้ไปใช้ในภาคสนาม มีความจำเป็นอย่างยิ่งที่จะต้องศึกษาลักษณะของผลตอบสนองภายใต้สภาวะของแรงกระทำต่างๆ ดังนี้ การศึกษานี้จะช่วยให้วิศวกรสามารถออกแบบอย่างสมเหตุสมผลและปฏิบัติได้จริง ตลอดจนมีความคุ้มค่าต่องบประมาณของระบบโครงสร้าง

คำหลัก: พอลิเมอร์เสริมกำลังด้วยเส้นใย แผ่นพื้นสะพาน ไฟไนท์อิลิเมนต์ วัสดุประกอบค่าตัวประกอบการกระจายน้ำหนัก

Thesis Title	Finite Element Analysis of Light Weight FRP Bridge Deck Composite
Author	Mr. Pongsak Sookmanee
Major Program	Civil Engineering
Academic Year	2010

ABSTRACT

Fiber Reinforced Polymer (FRP) composites are becoming more popular in civil engineering and infrastructure applications. Fiber Reinforced Polymer (FRP) composites were considered to have high performance and potential for use in reinforcement, retrofit, rehabilitation and replacement of highway bridge decks.

The main objective of this research effort are: 1) to evaluate structural performance of light weight multi-cellular FRP composite bridge decks (both module and system levels) under various static loading conditions through finite element modeling, 2) to validate analytical response of FRP composite bridge decks with data from laboratory evaluations and 3) to evaluate the transverse load distribution factors of the steel stringer - FRP bridge deck systems through parametric studies using FEA and previous research data.

Two multi-cellular FRP composite bridge deck types including Prodeck4 (low profile) and Prodeck8 (high profile) were studied in this research. FE models of FRP bridge deck components and systems were performed to determine both elastic and failure responses. The relative deflection, equivalent flexural rigidity and failure load (mode) based on FE results have been compared with experimental data. A good correlation was found to exist between the FE results and the experimental data. For parametric study, six main factors namely FRP bridge decks, lane load, width, span length, girder spacing and composite action are comprehensively investigated under (AASHTO HS25) truck loading conditions. The load distribution factors (LDF) of the steel stringer - FRP bridge deck systems were generated and proposed using analysis and field data. The analytical results obtained from the parametric study showed that maximum LDF depends on the girder spacing and truck load position. By collecting the analytical results and previous research data, the LDF equations based on our study were proposed as follows: $0.133LS+0.3116$ (upper limit) and $0.133LS+0.0116$ (lower limit).

Before field implementation, the performance evaluation under various loading conditions is essential. Thus this study should help engineers arrive at more realistic designs and cost effective structural system

Key words: Fiber Reinforced Polymer (FRP), Bridge Deck, Finite Element, Composites, Load Distribution Factor (LDF)

กิตติกรรมประกาศ

ขอขอบคุณ ผู้ช่วยศาสตราจารย์ ดร.วราพจน์ ประชาเสรี ประธานกรรมการที่ปรึกษา ที่ได้กรุณาให้ ความรู้ คำปรึกษาและชี้แนะแนวทางแก่ผู้วิจัย ตลอดการปฏิบัติงานวิจัยชิ้นนี้

ขอขอบคุณ รองศาสตราจารย์ ดร.สุชาติ ลิมกตัญญู ประธานกรรมการสอบวิทยานิพนธ์ และ ดร.บุญ จันทร์ทักษิณภัส กรรมการสอบวิทยานิพนธ์ รวมถึง รองศาสตราจารย์ ดร.เบญจพล เวทวิวรณ์ กรรมการผู้ทรงคุณวุฒิสอบวิทยานิพนธ์ ที่กรุณาให้คำแนะนำและข้อเสนอแนะที่เป็นประโยชน์ให้งานวิจัยชิ้นนี้มีความสมบูรณ์ยิ่งขึ้น

ขอขอบคุณ คณะวิศวกรรมศาสตร์ มหาวิทยาลัยสงขลานครินทร์ วิทยาเขตหาดใหญ่ ที่ได้ให้การสนับสนุนทุนอุดหนุนการวิจัย ขอบคุณ นำ ใจจากเพื่อนๆเพื่อนๆและน้องๆ นักศึกษาปริญญาโท ที่ได้ให้ความช่วยเหลือในการปฏิบัติงานจนสำเร็จ

สุดท้ายนี้ ถึงสำคัญสุด ที่ทำให้มีข้าพเจ้าในวันนี้ พระคุณของบิดามารดา และสามาชิกทุกคนในครอบครัว เป็นถึงสำคัญที่ผลักดันจนข้าพเจ้าสำเร็จการศึกษา และข้าพเจ้าจะระลึกถึงอยู่เสมอ

พงศ์ศักดิ์ ศุขุมณี

สารบัญ

	หน้า
สารบัญ	(8)
รายการตาราง	(12)
รายการรูปประกอบ	(15)
บทที่	
1 บทนำ	
1.1 ความสำคัญและแรงจูงใจของงานวิจัย	1
1.2 วัตถุประสงค์ในการวิจัย	3
1.3 ขอบเขตของการวิจัย	3
1.4 กระบวนการการทำวิจัย	4
2 วรรณกรรมปริทัศน์	
2.1 รายละเอียดโดยทั่วไป	6
2.2 การพัฒนา การทดสอบ และการสร้างแบบจำลอง	8
2.3 การศึกษาด้วยประกอบการกระจายน้ำหนัก	17
2.4 สรุป	23
3 แผ่นพื้นสะพานพอลิเมอร์เสริมกำลังด้วยเส้นใย	
3.1 วัสดุประกอบพอลิเมอร์เสริมกำลังด้วยเส้นใย	24
3.2 กระบวนการผลิต	25
3.3 พื้นสะพานพอลิเมอร์ในงานวิจัยนี้	26
3.3.1 แผ่นพื้นพอลิเมอร์เสริมกำลังด้วยเส้นใยประเภท Prodeck4	27
3.3.2 แผ่นพื้นพอลิเมอร์เสริมกำลังด้วยเส้นใยประเภท Prodeck8	31
3.4 สรุป	35
4 วิธีการวิจัย	
4.1 บทนำ	36
4.2 แบบจำลองระดับชิ้นส่วน	36
4.2.1 การวิเคราะห์แบบจำลองตามแนวแกนยาว	38
4.2.2 การวิเคราะห์แบบจำลองตามแนวแกนขวาง	40

สารบัญ (ต่อ)

	หน้า
4.3 แบบจำลองระดับระบบ	41
4.4 การศึกษาแบบพารามทริก	44
4.4.1 ขนาดแบบจำลอง	45
4.4.2 หน้าหนักบรรทุกบนแบบจำลอง	47
4.5 สรุป	57
5 การวิเคราะห์ระดับชิ้นส่วนและระบบ	
5.1 บทนำ	59
5.2 การวิเคราะห์แผ่นพื้นสะพานชนิดหน้าตัด Prodeck4	59
5.2.1 การวิเคราะห์ชิ้นส่วนตามแนวแกนยาว	60
5.2.2 การวิเคราะห์ชิ้นส่วนตามแนวแกนขวาง	67
5.2.3 การวิเคราะห์ระดับระบบ	71
5.3 การวิเคราะห์แผ่นพื้นสะพานชนิดหน้าตัด Prodeck8	75
5.3.1 การวิเคราะห์ชิ้นส่วนตามแนวแกนยาว	75
5.3.2 การวิเคราะห์ชิ้นส่วนตามแนวแกนขวาง	81
5.3.3 การวิเคราะห์ระดับระบบ	84
5.4 สรุป	91
6 การศึกษาแบบพารามทริกของแบบจำลองสะพาน	
แบบแผ่นพื้น (โพลิเมอร์เสริมกำลังด้วยเส้นใย) - คาน	
6.1 บทนำ	92
6.2 ประเภทของแบบจำลอง	92
6.3 การศึกษาแบบพารามทริก	96
6.4 ผลการศึกษาแบบพารามทริก	99
6.4.1 การวิเคราะห์แบบจำลองที่มีพฤติกรรมประกอบอย่างสมบูรณ์แบบพารามทริก	99
6.4.2 การวิเคราะห์แบบจำลองที่มีพฤติกรรมเชื่อมต่อบางส่วนแบบพารามทริก	126
6.5 สรุป	141

สารบัญ (ต่อ)

	หน้า
7 การเปรียบเทียบของการศึกษาแบบพารามทริก	
7.1 บทนำ	143
7.2 ความสัมพันธ์ระหว่าง LDF กับปัจจัยทางกายภาพต่างๆ โดยใช้โปรแกรม SPSS16	143
7.3 ความสัมพันธ์ระหว่างค่า LDF กับ S	147
7.4 ความสัมพันธ์ระหว่างค่า LDF กับ S ในรูปแบบสมการประมาณค่าแบบเชิงเส้น	157
7.5 ความสัมพันธ์ระหว่างค่า LDF กับ S ของนักวิจัยท่านอื่นๆ (เฉพาะสะพานที่มีพื้นสะพานเป็น FRP และรองรับด้วยคานเหล็ก) และงานวิจัยนี้	163
7.6 สรุป	170
8 สรุปผลการศึกษาและข้อเสนอแนะ	
8.1 บทนำ	171
8.2 สรุปผลการศึกษา	171
8.2.1 ระดับชิ้นส่วน	171
8.2.2 ระดับระบบ	172
8.2.3 การศึกษาแบบพารามทริก	173
8.3 ข้อเสนอแนะ	174
บรรณานุกรม	175
ภาคผนวก	
ก. รูปผลการวิเคราะห์แบบจำลองสะพานในกรณีต่างๆ	180
ข. ตารางแสดงค่าตัวประกอบการกระจายน้ำหนัก (Load Distribution Factor) ของคานที่รองรับ โดยมีหน้าตัดของแบบจำลองและแรงกระทำจากคานบรรทุกต่างๆ	205
ค. ความสัมพันธ์ระหว่างค่าตัวประกอบการกระจายน้ำหนัก (Load Distribution Factor) กับระยะห่างระหว่างคานที่รองรับ (Girder Spacing)	231
ง. ความสัมพันธ์ระหว่างค่าตัวประกอบการกระจายน้ำหนัก (Load Distribution Factor) กับระยะทางที่ตัดหนังค่างๆ ของหน้าตัดสะพาน (เฉพาะกรณีรับแรงกระทำจากคานบรรทุกในกรณีที่ 1 เท่านั้น)	248

สารบัญ (ต่อ)

	หน้า
จ. ความสัมพันธ์ระหว่างค่าตัวประกอบการกระจายน้ำหนัก (Load Distribution Factor) กับระยะห่างระหว่างคานที่ร่องรับ (Girder Spacing) ในรูปแบบสมการประมาณค่าแบบเชิงเส้น	261
การเผยแพร่ผลงานวิทยานิพนธ์	270
ประวัติผู้เขียน	292

รายการตาราง

ตารางที่	หน้า
2.1 ค่าตัวประกอบการกระจายน้ำหนัก (LDF) ของ Zhang และคณะ (2006)	20
2.2 ค่าตัวประกอบการกระจายน้ำหนัก (LDF) ของ Zhang และคณะ (2006) จากการวิเคราะห์ด้วยไฟไนท์อิลิเมนต์	21
2.3 ค่าตัวประกอบการกระจายน้ำหนัก (LDF) ของ Moses และคณะ 2006	21
2.4 ค่าตัวประกอบการกระจายน้ำหนัก (LDF) ของ Liu และคณะ 2008 (ข้อมูลจากการทดสอบจริงในห้องปฏิบัติการ โดยมีระยะห่างระหว่างคานที่ร่องรับ เท่ากับ 1.219 เมตร)	22
2.5 ค่าตัวประกอบการกระจายน้ำหนัก (LDF) ของ Liu และคณะ 2008 จากการวิเคราะห์ด้วยไฟไนท์อิลิเมนต์	22
3.1 ทิศทางและโครงสร้างการเรียงตัวของแผ่นบาง สำหรับ Prodeck4	28
3.2 คุณสมบัติและอัตราส่วนของเส้นไขต่อปริมาตร ของแผ่นบางชนิด CDBM 3415 และ DDBM 4015 สำหรับ Prodeck4	28
3.3 ตามิเนตของแผ่นตั้ง (Web) และคุณสมบัติที่ใช้ในการวิเคราะห์ Prodeck4	29
3.4 ตามิเนตของปีก (Flange) และคุณสมบัติที่ใช้ในการวิเคราะห์ Prodeck4	30
3.5 ทิศทางและโครงสร้างการเรียงตัวของแผ่นบาง สำหรับ Prodeck8	32
3.6 คุณสมบัติและอัตราส่วนของเส้นไขต่อปริมาตร ของแผ่นบางชนิด CDBM 3415 และ CDB 400 สำหรับ Prodeck8	33
3.7 ตามิเนตของแผ่นตั้ง (Web) และคุณสมบัติที่ใช้ในการวิเคราะห์ Prodeck8	33
3.8 ตามิเนตของปีก (Flange) และคุณสมบัติที่ใช้ในการวิเคราะห์ Prodeck8	34
3.9 ตามิเนตของแผ่นเฉียง (Diagonal) และคุณสมบัติที่ใช้ในการวิเคราะห์ Prodeck8	34
4.1 ขนาดของหน้าตัดและแรงกระทำต่อแบบจำลองในการวิเคราะห์ตามแนวแกนยาว	39
4.2 ขนาดของหน้าตัดและแรงกระทำต่อแบบจำลองในการวิเคราะห์ตามแนวแกนยาว	41
4.3 สรุปค่าตัวแปรของแบบจำลองสะพานทั้งระบบ	46
4.4 ค่าคุณสมบัติทางกายภาพของคานเหล็กที่ร่องรับ	47
4.5 สรุปจำนวนแบบจำลองในระดับต่างๆ	57
4.6 สรุปค่าของตัวแปรและจำนวนแบบจำลองในระดับต่างๆ	58

รายการตาราง (ต่อ)

ตารางที่	หน้า
5.1 ขีดจำกัดความกึ่งของวัสดุพอลิเมอร์เสริมกำลังด้วยเส้นใยสำหรับ Prodeck4	64
5.2 เปรียบเทียบผลการวิเคราะห์ด้วยวิธีไฟไนท์อิเลิเมนต์ กับการทดสอบในห้องปฏิบัติการสำหรับชิ้นส่วน Prodeck4	67
5.3 เปรียบเทียบผลการวิเคราะห์ด้วยวิธีไฟไนท์อิเลิเมนต์ กับการทดสอบในห้องปฏิบัติการสำหรับชิ้นส่วน Prodeck4	70
5.4 ค่าระยะโถงของที่รองรับเหล็กในการทดสอบทั้งระบบ	73
5.5 ค่าระยะโถงของที่รองรับเหล็กเมื่อเปรียบเทียบกับพื้นในการทดสอบทั้งระบบ	73
5.6 เปรียบเทียบผลการวิเคราะห์ด้วยวิธีไฟไนท์อิเลิเมนต์ กับการทดสอบในห้องปฏิบัติการสำหรับชิ้นส่วน Prodeck8	80
5.7 เปรียบเทียบผลการวิเคราะห์ด้วยวิธีไฟไนท์อิเลิเมนต์ กับการทดสอบในห้องปฏิบัติการสำหรับชิ้นส่วน Prodeck8	84
5.8 ค่าระยะโถงของที่รองรับเหล็กในการทดสอบทั้งระบบ	87
5.9 ค่าระยะโถงของที่รองรับเหล็กเมื่อเปรียบเทียบกับพื้นในการทดสอบทั้งระบบ	88
5.10 กระจายแรงอันเนื่องมาจากการโถงตัวของคานที่รองรับในการวิเคราะห์	90
6.1 รายละเอียดของแบบจำลองสะพานแบ่งตามลักษณะของหน้าตัดของแบบจำลอง	93
6.2 รายละเอียดของแบบจำลองแบ่งตามลักษณะของแรงกระทำจากถนนรรทุก	95
6.3 การเปรียบเทียบค่าตัวประกอบของการกระจายหน้าหนัก คำนวณ มาจากสมการที่ 6.1 และ 6.2 (Prodeck4, CS1 - 12, Case1 - Case6)	101
6.4 ค่า LDF ที่ระยะ X ต่างๆ กัน (Prodeck4, CS1 - 12, Case1)	104
6.5 ค่าผลตอบสนองต่างๆ ที่ระยะ X ต่างๆ (Prodeck4, CS1 - 12, Case1 - Case3)	107
6.6 ค่าตัวประกอบการกระจายหน้าหนัก เมื่อมีแรงกระทำแบบกรณีที่ 1 ในทุกขนาดหน้าตัดของแบบจำลอง เนพะคานตัวนอกและคานตัวในตัวแรก	111
6.7 ค่าความแตกต่างของค่า LDF ของแบบจำลองที่มีความกว้าง 12.00 เมตร และ 18.00 เมตร (กรณีความกว้างของแบบจำลองและระยะห่างระหว่างคานที่รองรับมีค่าคงที่)	112
6.8 ค่าความแตกต่างของค่า LDF ของแบบจำลองที่มีความกว้าง 9.30 เมตร และ 13.00 เมตร (กรณีความยาวของแบบจำลองและระยะห่างระหว่างคานที่รองรับมีค่าคงที่)	113

รายการตาราง (ต่อ)

ตารางที่	หน้า
6.9 ค่าความแตกต่างของค่า LDF ของแบบจำลองสะพานที่มีหน้าตัดประเภท Prodeck4 และ Prodeck8	114
6.10 ค่าความแตกต่างของค่า LDF เมื่อระยะห่างระหว่างคานที่รองรับ (Girder Spacing) มีการเปลี่ยนแปลง	115
6.11 ค่าตัวประกอบของการกระจายน้ำหนัก (Load Distribution Factor, LDF) คำนวณมาจากสมการที่ 6.2 (Prodeck8, CS4 - 18, Case1 - Case9)	128
6.12 ค่าตัวประกอบการกระจายน้ำหนัก เมื่อมีแรงกระทำแบบกรณีที่ 1 ในทุกขนาดหน้าตัดของแบบจำลอง เนพะคานตัวนอกและคานตัวในตัวแรก	131
7.1 ค่าคงที่ที่ใช้กับสมการในการวิเคราะห์หาค่า LDF (ตามสมการ 7.1)	145
7.2 ค่าคงที่ที่ใช้กับสมการในการวิเคราะห์หาค่า LDF (ตามสมการ 7.2)	147
7.3 ความแตกต่างของค่า LDF ระหว่างค่า LDF ที่วิเคราะห์จากแบบจำลองที่มีพฤติกรรมเชื่อมต่อบางส่วนกับค่า LDF ที่วิเคราะห์จากแบบจำลองที่มีพฤติกรรมประกอบอย่างสมบูรณ์	148
7.4 ความสัมพันธ์ระหว่างค่า LDF กับ S ในรูปแบบของสมการเชิงเส้น (ส่วนที่ 1)	161
7.5 ความสัมพันธ์ระหว่างค่า LDF กับ S ในรูปแบบของสมการเชิงเส้น (ส่วนที่ 2)	161
7.6 สรุปเปรียบเทียบผลการศึกษาความสัมพันธ์ระหว่างค่า LDF กับระยะห่างระหว่างคานที่รองรับ (S) ของสะพานที่มีพื้นสะพานเป็น FRP รองรับด้วยคานเหล็ก	164
7.7 สรุปสมการประมาณค่าแบบเชิงเส้น	168
8.1 ผลสรุปค่าความแข็งกรึงของดัด (Flexural Rigidity, EI)	171
8.2 ผลสรุปค่าการโถกตัวจาก การวิเคราะห์ระดับระบบ (แรงกระทำ 111.25 kN.)	172

รายการรูปประกอบ

รูปที่	หน้า
2.1 Bentley Creek Bridge เมืองเซมัง นิวยอร์ก สหรัฐอเมริกา (Sreenivas 2001)	6
2.2 หน้าตัดของแผ่นพื้นสะพานพอลิเมอร์ชั่ง McGhee และคณะทำการศึกษา	8
2.3 หน้าตัดของแผ่นพื้นสะพานพอลิเมอร์ชั่ง Zurieck และคณะทำการศึกษา	11
3.1 กระบวนการผลิตแบบพูลทรัชั่น (Pultrusion) (Bank 2006)	25
3.2 รูปแผ่นพื้นประกอบพอลิเมอร์เสริมกำลังด้วยเส้นใย (FRP Decks)	26
3.3 หน้าตัดแผ่นพื้นประกอบพอลิเมอร์ Prodeck4	27
3.4 หน้าตัดของแผ่นพื้น Prodeck8 ที่นำมาใช้ในการสร้างแบบจำลองไฟไนท์อิลิเมนต์	31
4.1 ลักษณะทางกายภาพและแกนหลักของคุณสมบัติของแผ่นพื้น FRP	37
4.2 ลักษณะแบบจำลองในการวิเคราะห์ตามแนวแกนยาว สำหรับ Prodeck4	39
4.3 ลักษณะแบบจำลองในการวิเคราะห์ตามแนวแกนยาว สำหรับ Prodeck8	39
4.4 ลักษณะแบบจำลองในการวิเคราะห์ตามแนวแกนขวาง	40
4.5 ลักษณะแบบจำลองระบบแผ่นพื้น – คานสะพาน (Slab - Stringer) (Prodeck4)	42
4.6 แบบจำลองระบบแผ่นพื้น – คานสะพาน (Prodeck8)	43
4.7 ตำแหน่งของแรงกระทำจากล้อรถบรรทุกต่อแผ่นพื้นสะพาน	45
4.8 หน้าตัดทั่วไปของสะพานทั้งระบบในการสร้างแบบจำลอง	46
4.9 หน้าตัดของคานเหล็กที่รองรับ	47
4.10 ตำแหน่งของแรงกระทำจากการถ่วงบรรทุกตามมาตรฐาน AASHTO HS25	48
4.11 แสดงน้ำหนักบรรทุกในแต่ละช่องจราจร	49
4.12 ตำแหน่งของน้ำหนักบรรทุกบนแบบจำลอง CS1 ในกรณีต่างๆ	50
4.13 ตำแหน่งของน้ำหนักบรรทุกบนแบบจำลอง CS2 ในกรณีต่างๆ	51
4.14 ตำแหน่งของน้ำหนักบรรทุกบนแบบจำลอง CS3 ในกรณีต่างๆ	52
4.15 ตำแหน่งของน้ำหนักบรรทุกบนแบบจำลอง CS4 ในกรณีต่างๆ	54
4.16 ตำแหน่งของน้ำหนักบรรทุกบนแบบจำลอง CS5 ในกรณีต่างๆ	55
4.17 ตำแหน่งของน้ำหนักบรรทุกบนแบบจำลอง CS6 ในกรณีต่างๆ	56

รายการรูปประกอบ (ต่อ)

รูปที่	หน้า
5.1 แบบจำลองชิ้นส่วนพื้นสะพาน Prodeck4 ตามแนวแกนยาว	60
5.2 การโถ่ตัวของแบบจำลองชิ้นส่วนพื้นสะพาน Prodeck4 ตามแนวแกนยาว	61
5.3 ค่าการยึดหดตัวของแบบจำลองชิ้นส่วนพื้นสะพาน Prodeck4 ตามแนวแกนยาว	61
5.4 ความสัมพันธ์น้ำหนักบรรทุก-การโถ่ตัวของชิ้นส่วน Prodeck4 ตามแนวแกนยาว	62
5.5 ความสัมพันธ์น้ำหนักบรรทุก-การยึดหดตัวของชิ้นส่วน Prodeck4 ตามแนวแกนยาว	63
5.6 การพิบัติของแบบจำลองและชิ้นส่วน Prodeck4 (Punyamurthula 2004) ตามแนวแกนยาว	65
5.7 แบบจำลองชิ้นส่วนพื้นสะพาน Prodeck4 ตามแนวแกนขวาง	68
5.8 ค่าการยึดหดตัวของแบบจำลองชิ้นส่วนพื้นสะพาน Prodeck4 ตามแนวแกนขวาง	68
5.9 ความสัมพันธ์น้ำหนักบรรทุก-การยึดหดตัวของชิ้นส่วน Prodeck4 ตามแนวแกนขวาง	69
5.10 แบบจำลองพื้นสะพาน Prodeck4 ในการวิเคราะห์ระดับระบบ	72
5.11 การโถ่ตัวของแบบจำลองพื้นสะพาน Prodeck4 ในการวิเคราะห์ระดับระบบ	72
5.12 แบบจำลองชิ้นส่วนพื้นสะพาน Prodeck8 ตามแนวแกนยาว	76
5.13 การโถ่ตัวของแบบจำลองชิ้นส่วนพื้นสะพาน Prodeck8 ตามแนวแกนยาว	76
5.14 ค่าการยึดหดตัวของแบบจำลองชิ้นส่วนพื้นสะพาน Prodeck8 ตามแนวแกนยาว	77
5.15 ความสัมพันธ์น้ำหนักบรรทุก-การโถ่ตัวของชิ้นส่วน Prodeck8 ตามแนวแกนยาว	78
5.16 ความสัมพันธ์น้ำหนักบรรทุก-การยึดหดตัวของชิ้นส่วน Prodeck8 ตามแนวแกนยาว	78
5.17 แบบจำลองชิ้นส่วนพื้นสะพาน Prodeck8 ตามแนวแกนขวาง	81
5.18 ค่าการยึดหดตัวของแบบจำลองชิ้นส่วนพื้นสะพาน ProDeck8 ตามแนวแกนขวาง	82
5.19 ความสัมพันธ์น้ำหนักบรรทุก-การยึดหดตัวของชิ้นส่วน Prodeck8 ตามแนวแกนขวาง	83
5.20 แบบจำลองทั้งระบบ (Prodeck8) ที่มีคานรองรับ 2 ตัว	85
5.21 แบบจำลองทั้งระบบ (Prodeck8) ที่มีคานรองรับ 3 ตัว	85
5.22 แบบจำลองชิ้นส่วนพื้นสะพาน Prodeck8 ในการวิเคราะห์ระดับระบบ (กรณีที่ 1)	86
5.23 แบบจำลองชิ้นส่วนพื้นสะพาน Prodeck8 ในการวิเคราะห์ระดับระบบ (กรณีที่ 2)	86
5.24 แบบจำลองชิ้นส่วนพื้นสะพาน Prodeck8 ในการวิเคราะห์ระดับระบบ (กรณีที่ 3)	87

รายการรูปประกอบ (ต่อ)

รูปที่	หน้า
6.1 หน้าตัดทั่วไปของระบบสะพานในการศึกษาแบบพารามทริกซ์	93
6.2 หน้าตัดของสะพานภายใต้หน้าหักจากการถลกรถทุกในกรณีต่างๆ	94
6.3 ตำแหน่งของแรงจากรถบรรทุกที่ทำให้เกิดค่าโมเมนต์สูงสุด (AASHTO HS25)	98
6.4 ผลการวิเคราะห์แบบจำลองของสะพาน (Prodeck4, CS1 - 12, Case1 - Case6)	100
6.5 แปลนของแรงกระทำจากล้อรถบรรทุกต่อพื้นสะพานในทิศทางตามแนวยาว และทิศทางตามแนวขวาง ส่งผลให้เกิดค่า LDF ที่มากที่สุด (CS1, Case1 และ Case4)	103
6.6 ความสัมพันธ์ระหว่างค่า LDF ที่ระยะ X ต่างๆ (Prodeck4, CS1 - 12, Case1)	105
6.7 ความสัมพันธ์ระหว่างค่า LDF ที่ระยะ X ต่างๆ (Prodeck8, CS1 - 12, Case1)	105
6.8 ความสัมพันธ์ระหว่างค่า LDF ที่ระยะ X ต่างๆ (Prodeck4, CS4 - 18, Case1)	106
6.9 ความสัมพันธ์ระหว่างค่า LDF ที่ระยะ X ต่างๆ (Prodeck8, CS4 - 18, Case1)	106
6.10 ความสัมพันธ์ระหว่างการโถกตัวที่ระยะ X ต่างๆ (Prodeck4, CS1 - 12, Case1 - Case3)	108
6.11 ความสัมพันธ์ระหว่างความเก็บที่ระยะ X ต่างๆ (Prodeck4, CS1 - 12, Case1 - Case3)	108
6.12 ความสัมพันธ์ระหว่างการยึดหยดตัวที่ระยะ X ต่างๆ (Prodeck4, CS1 - 12, Case1 - Case3)	108
6.13 ผลการวิเคราะห์แบบจำลอง ภายใต้แรงกระทำแบบกรณีที่ 1 ในทุกหน้าตัดของแบบจำลอง (CS1 ถึง CS6) และทุกความยาว (ของแบบจำลองแผ่นพื้นหน้าตัด Prodeck4)	110
6.14 ความสัมพันธ์ระหว่างค่า LDF กับ S ที่คานด้านนอก (Exterior Girder) ของแบบจำลอง ที่มีแผ่นพื้นประเภท Prodeck4 มีความกว้าง 13.00 เมตร และความยาว 12.00 เมตร	116
6.15 ความสัมพันธ์ระหว่างปัจจัยที่มีผลต่อค่า LDF กับค่าเฉลี่ยปอร์เช็นต์ความแตกต่าง ของค่า LDF เมื่อปัจจัย (L, W, Deck และ S) มีการเปลี่ยนแปลง (ภายใต้แรงกระทำกรณีที่ 1)	117
6.16 ความสัมพันธ์ระหว่าง LDF กับ S (Prodeck4, W = 9.30 เมตร ของ Exterior Girder)	118
6.17 ความสัมพันธ์ระหว่าง LDF กับ S (Prodeck4, W = 9.30 เมตร ของ Interior Girder)	119
6.18 ความสัมพันธ์ระหว่าง LDF กับ S (Prodeck4, W = 13.00 เมตร ของ Exterior Girder)	120
6.19 ความสัมพันธ์ระหว่าง LDF กับ S (Prodeck4, W = 13.00 เมตร ของ Interior Girder)	121

รายการรูปประกอบ (ต่อ)

รูปที่	หน้า
6.20 ความสัมพันธ์ระหว่าง LDF กับ S (Prodeck8, W = 9.30 เมตร ของ Exterior Girder)	122
6.21 ความสัมพันธ์ระหว่าง LDF กับ S (Prodeck8, W = 9.30 เมตร ของ Interior Girder)	123
6.22 ความสัมพันธ์ระหว่าง LDF กับ S (Prodeck8, W = 13.00 เมตร ของ Exterior Girder)	124
6.23 ความสัมพันธ์ระหว่าง LDF กับ S (Prodeck8, W = 13.00 เมตร ของ Interior Girder)	125
6.24 ผลการวิเคราะห์แบบจำลองของสะพาน (Prodeck8, CS4 - 18, Case1 - Case9)	127
6.25 ความสัมพันธ์ระหว่างค่า LDF ที่ระยะ X ต่างๆ (Prodeck8, CS4 - 18, Case1)	129
6.26 ความสัมพันธ์ระหว่างค่า LDF กับ S ที่ค่านัวนอก (Exterior Girder) ของแบบจำลอง ที่มีแผ่นพื้นประเภท Prodeck8 มีความกว้าง 13.00 เมตร และความยาว 18.00 เมตร	130
6.27 ความสัมพันธ์ระหว่างค่า LDF กับ S ที่ค่านัวนอก (Interior Girder) ของแบบจำลอง ที่มีแผ่นพื้นประเภท Prodeck8 มีความกว้าง 13.00 เมตร และความยาว 18.00 เมตร	130
6.28 ความสัมพันธ์ระหว่าง LDF กับ S (Prodeck4, W = 9.30 เมตร ของ Exterior Girder)	133
6.29 ความสัมพันธ์ระหว่าง LDF กับ S (Prodeck4, W = 9.30 เมตร ของ Interior Girder)	134
6.30 ความสัมพันธ์ระหว่าง LDF กับ S (Prodeck4, W = 13.00 เมตร ของ Exterior Girder)	135
6.31 ความสัมพันธ์ระหว่าง LDF กับ S (Prodeck4, W = 13.00 เมตร ของ Interior Girder)	136
6.32 ความสัมพันธ์ระหว่าง LDF กับ S (Prodeck8, W = 9.30 เมตร ของ Exterior Girder)	137
6.33 ความสัมพันธ์ระหว่าง LDF กับ S (Prodeck8, W = 9.30 เมตร ของ Interior Girder)	138
6.34 ความสัมพันธ์ระหว่าง LDF กับ S (Prodeck8, W = 13.00 เมตร ของ Exterior Girder)	139
6.35 ความสัมพันธ์ระหว่าง LDF กับ S (Prodeck8, W = 13.00 เมตร ของ Interior Girder)	140
7.1 ตำแหน่งรถบรรทุกกระทำต่อแบบจำลองในกรณีที่ 1, กรณีที่ 4 และกรณีที่ 7	144
7.2 ความสัมพันธ์ระหว่างค่า LDF กับ S ของคานที่รองรับตัวนอก (Prodeck4, W=9.30)	149
7.3 ความสัมพันธ์ระหว่างค่า LDF กับ S ของคานที่รองรับตัวนอก (Prodeck4, W=13.00)	150
7.4 ความสัมพันธ์ระหว่างค่า LDF กับ S ของคานที่รองรับตัวนอก (Prodeck8, W=9.30)	150
7.5 ความสัมพันธ์ระหว่างค่า LDF กับ S ของคานที่รองรับตัวนอก (Prodeck8, W=13.00)	151
7.6 ความสัมพันธ์ระหว่างค่า LDF กับ S ของคานที่รองรับตัวใน (Prodeck4, W=9.30)	151
7.7 ความสัมพันธ์ระหว่างค่า LDF กับ S ของคานที่รองรับตัวใน (Prodeck4, W=13.00)	152
7.8 ความสัมพันธ์ระหว่างค่า LDF กับ S ของคานที่รองรับตัวใน (Prodeck8, W=9.30)	152

รายการรูปประกอบ (ต่อ)

รูปที่	หน้า
7.9 ความสัมพันธ์ระหว่างค่า LDF กับ S ของคานที่รองรับตัวใน (Prodeck8, W=13.00)	153
7.10 ความสัมพันธ์ระหว่างค่า LDF กับ S ของคานที่รองรับตัวนอก (Prodeck4)	155
7.11 ความสัมพันธ์ระหว่างค่า LDF กับ S ของคานที่รองรับตัวนอก (Prodeck8)	155
7.12 ความสัมพันธ์ระหว่างค่า LDF กับ S ของคานที่รองรับตัวในตัวแรก (Prodeck4)	156
7.13 ความสัมพันธ์ระหว่างค่า LDF กับ S ของคานที่รองรับตัวในตัวแรก (Prodeck8)	156
7.14 ความสัมพันธ์ระหว่าง LDF กับ S (Ext-G, PD4, FC)	158
7.15 ความสัมพันธ์ระหว่าง LDF กับ S (Ext-G, PD4, PC)	158
7.16 ความสัมพันธ์ระหว่าง LDF กับ S (Int-G, PD8, FC)	159
7.17 ความสัมพันธ์ระหว่าง LDF กับ S (Int-G, PD8, PC)	159
7.18 ความสัมพันธ์ระหว่าง LDF กับ S (Ext-G, PD4, FC+PC)	160
7.19 ความสัมพันธ์ระหว่าง LDF กับ S (Int-G, PD8, FC+PC)	160
7.20 ความสัมพันธ์ระหว่าง LDF กับ S (จากตารางที่ 7.6)	166
7.21 เส้นแนวโน้มของความสัมพันธ์ระหว่าง LDF กับ S (จากตารางที่ 7.6, 6.6 และ 6.12)	166
7.22 ความสัมพันธ์ระหว่าง LDF กับ S (ข้อมูลจากตารางที่ 6.6, 6.12 และ 7.6)	167
7.23 ความสัมพันธ์ระหว่าง LDF กับ S (จากตารางที่ 6.6, 6.12 และ 7.6 และ AASHTO 1996)	170

บทที่ 1 (Chapter 1)

บทนำ

(Introduction)

1.1 ความสำคัญและแรงจูงใจของงานวิจัย (Importance and Motivation)

ในปัจจุบันนี้สะพานในเส้นทางหลวงส่วนใหญ่ถูกก่อสร้างขึ้นโดยการใช้วัสดุ วิศวกรรมดั้งเดิม (Conventional Engineering Materials) เช่น เหล็ก คอนกรีต และอลูมิเนียม ซึ่ง ภายหลังจากการก่อสร้างและเปิดใช้งานไปได้ระยะหนึ่งจะพบข้อบกพร่องต่างๆ ที่มีผลต่อสะพาน ซึ่งสามารถจำแนกออกเป็น 2 ประเภทหลักๆ ดังต่อไปนี้ คือ 1) ข้อบกพร่องที่มีผลต่อโครงสร้าง สะพานเนื่องจากคุณสมบัติของวัสดุที่ใช้ในการก่อสร้างเสื่อมด้อยลงทำให้การใช้สะพานถูกจำกัด เนื่องจากภายนอกของวัสดุที่ใช้ไม่สามารถทนทานต่อการอุณหภูมิและแรงดึงดันได้ 2) สะพานเก่าหรือสะพานที่ก่อสร้างและใช้งานมานาน ซึ่งมีข้อจำกัดเนื่องมาจากการออกแบบในอดีตให้ใช้งานได้เฉพาะบนพื้นที่ที่ใช้ความเร็วไม่สูงนัก ตลอดจนสามารถรองรับปริมาณการจราจรผ่านสะพานดังกล่าวได้น้อยกว่าสภาพแวดล้อมที่เปลี่ยนแปลงไป เช่น การขยายตัวของวัสดุที่ใช้ในสะพาน ทำให้เกิดการหักเหและแตกหัก รวมถึงการชำรุดเสื่อม化 ของวัสดุที่ใช้ เช่น การหักเหของเหล็กในช่วงตัวสะพาน หรือการเสื่อม化 ของคอนกรีตในฐานสะพาน ซึ่งจะส่งผลกระทบต่อความปลอดภัยของผู้ใช้สะพาน ดังนั้นจึงจำเป็นต้องหาวิธีการแก้ไขและพัฒนาเทคโนโลยีใหม่ๆ ที่สามารถลดลงของภัยคุกคามที่อาจเกิดขึ้นในอนาคต

จากลักษณะข้อบกพร่องดังกล่าวข้างต้นทำให้จำเป็นต้องลงทุนเป็นจำนวนมากในการลดจำนวนสะพานที่มีข้อบกพร่องซึ่งจะต้องเสียค่าใช้จ่ายที่สูงในการปรับปรุงซ่อมแซมเพื่อลด ข้อบกพร่องต่างๆ จากการศึกษาและรวบรวมข้อมูลสะพานจำนวนมากในอดีต เช่น กรณีของสะพาน Bently Creek Bridge 1940 (Alampalli 2001) พบว่าสาเหตุสำคัญของข้อบกพร่องที่เกิดกับสะพาน สืบเนื่องมาจากวัสดุที่ใช้ในการก่อสร้างเกิดการกัดกร่อนเป็นสนิมและผุพัง ซึ่งเป็นผลสืบเนื่องมาจากการกระทำของทางเคมีและสภาพแวดล้อมตามธรรมชาติ นอกจากนี้การเพิ่มขึ้นของปริมาณการจราจรและความถี่ที่มากขึ้นในการจราจรก็เป็นปัจจัยหลักเช่นเดียวกัน พบว่าวัสดุ วิศวกรรมดั้งเดิมที่ใช้กันในงานสะพานอย่างแพร่หลาย มีความสามารถต้านทานสภาพปัจจัยที่ ก่อให้เกิดความเสียหายต่อสะพานที่กำลังเพิ่มมากขึ้น ได้ค่อนข้างจำกัด เช่น ตัวอย่างของโครงสร้าง พื้นสะพานคอนกรีตเสริมเหล็ก (Reinforced Concrete Bridge Deck) พบว่า มีความทนต่อการกัดกร่อนได้จำกัดในสภาพแวดล้อมปัจจุบัน ในขณะที่มีอัตราส่วนของสติฟเนส (Stiffness) ต่อหน่วย น้ำหนักอยู่ในเกณฑ์ที่ค่อนข้างต่ำ และ มีปัญหาเกี่ยวกับความถ�ในวัสดุอันเนื่องมาจากการของ อุณหภูมิ

ดังนั้นเพื่อที่จะลดปัญหาที่เกิดขึ้นกับวัสดุวิศวกรรมดังเดิมที่กล่าวมาแล้วนั้น วัสดุประกอบ (Composite Materials) ซึ่งผลิตขึ้นจากเส้นใยแก้วลักษณะ (Glass Fabrics) ที่ถูกจัดให้มีรูปแบบการเรียงตัวเป็นชั้นๆ โดยมีพอลิเมอร์ห่อหุ้น และมีสารผสมเพิ่มอื่นๆ ถูกเติมลงในส่วนผสมของพอลิเมอร์เพื่อปรับปรุงคุณสมบัติด้านต่างๆ เช่น สารยับยั้ง (Inhibitors) สารที่เป็นตัวหน่วง (Retardants) เป็นต้น ซึ่งวัสดุประกอบประเภทที่กล่าวมานี้ถูกเรียกว่า วัสดุประกอบชนิดพอลิเมอร์เสริมกำลังด้วยเส้นใย (Fiber Reinforced Polymer Composite Materials) ถูกนำมาประยุกต์ใช้กับงานโครงสร้างทางด้านวิศวกรรมโยธาและโครงสร้างพื้นฐาน โดยในงานทางด้านสาขาวิศวกรรมสะพานถูกนำไปใช้เป็นโครงสร้างของส่วนพื้นสะพาน (Bridge Deck) แทนที่พื้นสะพานคอนกรีตเสริมเหล็กและเหล็ก (Reinforced Concrete and Steel Deck) แบบดั้งเดิม ซึ่งพื้นสะพานพอลิเมอร์เสริมกำลังด้วยเส้นใย (Fiber Reinforced Polymer Deck หรือ FRP Deck) มีคุณสมบัติที่ดีกว่าพื้นสะพานจากวัสดุวิศวกรรมดังเดิมในหลายด้าน เช่น มีความสามารถในการต้านทานการกดกร่อนได้ดีมาก (ตัววัสดุไม่มีการกดกร่อนหรือผุกร่อน) ทำให้อายุการใช้งานของสะพานยาวนานขึ้นกว่าพื้นสะพานคอนกรีตเสริมเหล็กและเหล็ก นอกจากนี้ความแข็งแรงที่สูงกว่าเมื่อเปรียบเทียบกับน้ำหนักของตัววัสดุเอง อีกทั้งเป็นวัสดุที่ผลิตสำเร็จรูปจากแหล่งผลิตซึ่งช่วยให้วิศวกรสามารถที่จะควบคุมปัจจัยทางงบประมาณในการก่อสร้างรวมถึงระบบและขั้นตอนในการก่อสร้างได้ดีอีกด้วย

การศึกษาวิจัยเกี่ยวกับพื้นสะพานพอลิเมอร์เสริมกำลังด้วยเส้นใยขณะนี้ยังอยู่ในวงจำกัด งานวิจัยในอดีตส่วนใหญ่ทำการศึกษาโดยการทดสอบในห้องปฏิบัติการซึ่งมีข้อจำกัดในด้านขนาดและการจำลองสภาพการใช้งานจริงในสนาม ส่วนการศึกษาโดยใช้วิธีเชิงตัวเลขยังไม่ก้าวขวางนัก นักวิจัยจำนวนมากได้ทำการศึกษาแบบจำลองเชิงตัวเลขในลักษณะเดียวกันกับการทดสอบในห้องปฏิบัติการเพื่อเปรียบเทียบกับผลที่ได้ ดังนั้นในงานวิจัยนี้จะทำการศึกษาพฤติกรรมการตอบสนองของแผ่นพื้นสะพานพอลิเมอร์เสริมกำลังด้วยเส้นใยโดยใช้วิธีไฟไนท์อิลิเมนต์ (Finite Element Method) ซึ่งในส่วนแรกจะเป็นการสร้างแบบจำลองศึกษาเบรย์บีนเทียบกับผลการทดสอบในห้องปฏิบัติการ เช่นเดียวกันกับการศึกษาวิจัยที่ผ่านมา เพื่อเป็นการตรวจสอบความถูกต้องของแบบจำลองก่อนที่จะทำการศึกษาในส่วนที่สอง ซึ่งเป็นการจำลองสภาพการใช้งานของสะพานในสนามภายใต้เงื่อนไขของที่รองรับและการบรรทุกต่างๆ ซึ่งจะนำข้อมูลที่ได้ไปประมาณผลเพื่อทำการคำนวณหาค่าตัวประกอบการกระจายน้ำหนัก (Load Distribution Factor) ลงสู่ค่านรองรับและทำการรวมค่าตัวประกอบการกระจายน้ำหนักจากการศึกษาวิจัยของผู้วิจัยท่านอื่นๆ แต่เนื่องจากในปัจจุบันค่าตัวประกอบการกระจายน้ำหนักที่ได้นำเสนอมาเป็นค่าเฉลี่ยสำหรับแผ่นพื้นสะพานพอลิเมอร์ที่นักวิจัยท่านนั้นๆ ศึกษา ตลอดจนในการออกแบบยังไม่มี

มาตรฐานการออกแบบสะพานพอลิเมอร์ย่างชัดเจน ซึ่งในส่วนท้ายของโครงการวิจัยนี้จะทำการนำเสนอสรุปค่ามาตรฐานตัวประกอบการกระจายน้ำหนัก สำหรับการออกแบบ

1.2 วัตถุประสงค์ในการวิจัย (Objective of this Research)

วัตถุประสงค์หลักของงานวิจัยนี้คือเพื่อศึกษารูปแบบและพฤติกรรมของพื้นสะพานพอลิเมอร์เสริมกำลังด้วยเส้นใยภายในตัวโครงสร้างที่แรงกระทำทางสติติกาสตอร์ผ่านกระบวนการทางการสร้างแบบจำลองทางไฟฟ้าในตัวอิเล็กทรอนิกส์และทำการศึกษาในลักษณะพารามิตริก (Parametric) เพื่อจำลองสภาวะการใช้งานจริงในสถานการณ์ทั้งประมวลผลที่ได้เพื่อนำไปใช้ประโยชน์ในการออกแบบภายหลัง โครงการวิจัยนี้จำแนกวัตถุประสงค์ออกเป็นส่วนย่อยๆ ได้ดังต่อไปนี้คือ

ส่วนที่ 1: ตรวจสอบแบบจำลอง (บทที่ 5)

- ☒ เพื่อหาค่าความแข็งเกร็งเทียบเท่า (Equivalent Rigidity) ของการตัด การเนื้อน ของพื้นสะพานพอลิเมอร์เสริมกำลังด้วยเส้นใยเทียบกับค่าจากการทดสอบในห้องปฏิบัติการ
- ☒ เพื่อหาค่ากำลังพิบัติของแผ่นพื้นโดยใช้เกณฑ์การพิบัติของ Tsai-Wu
- ☒ เพื่อหาผลตอบสนองของโครงสร้างทั้งระบบภายใต้น้ำหนักบรรทุกมาตรฐาน AASHTO HS25

ส่วนที่ 2: แบบจำลองสะพานภายใต้สภาวะใช้งานต่างๆ (บทที่ 6)

- ☒ เพื่อศึกษาแบบจำลองสะพานแบบพารามิตริกและทำการเสนอตัวประกอบการกระจายของน้ำหนักบรรทุก (Load Distribution Factor) สู่ค่ารองรับ

ส่วนที่ 3: นำเสนอตัวประกอบการกระจายน้ำหนักในการออกแบบ (บทที่ 7)

- ☒ เพื่อทำการรวบรวมและประมวลผลข้อมูลตัวประกอบการกระจายของน้ำหนักบรรทุก และนำเสนอสรุปค่ามาตรฐานตัวประกอบการกระจายน้ำหนัก สำหรับการออกแบบ

1.3 ขอบเขตของการวิจัย (Scope of the Research)

งานวิจัยนี้ทำการศึกษาด้วยวิธีการเชิงตัวเลข (Numerical Method) ของแบบจำลองสะพานพอลิเมอร์เสริมกำลังด้วยเส้นใยด้วยใช้วิธีไฟฟ้าในตัวอิเล็กทรอนิกส์ แบบจำลองถูกสร้างและแสดงผลผ่านทางโปรแกรมประเภทก่อนและหลังการประมวลผล (Pre and Post Processor) โปรแกรมที่ใช้คือ MSC Patran ในขณะที่การประมวลผลคำนวณตามชุดคำสั่งจาก MSC Nastran ซึ่งแต่ละพื้น

สะพานที่ทำการศึกษาประกอบไปด้วยแผ่นพื้น 2 ชนิด ได้แก่ แผ่นพื้นที่มีชื่อทางการค้า 1) Prodeck4 (Low-Profile Cross Section) และ 2) Prodeck8 (High-Profile Cross Section) ซึ่งเริ่มทำการผลิตขึ้นตั้งแต่ปี ค.ศ. 2004 และ ค.ศ. 2002 ตามลำดับ โดยเป็นการร่วมกันพัฒนาขึ้นระหว่าง บริษัท Bedford Reinforced Plastic Inc. ตั้งอยู่ ณ. ลิเบอร์เดี้ยน Pennsylvania และมหาวิทยาลัย West Virginia University ประเทศสหรัฐอเมริกา แผ่นพื้นสะพานดังกล่าวนี้เป็นแผ่นพื้นชนิดเดียวกันกับการศึกษาในห้องปฏิบัติการของนักวิจัยดังต่อไปนี้คือ Howard (2009) Prachasaree (2009) Punyamurthula (2005) Natarajan (2003) และ Haward (2002) รายละเอียดพื้นฐานเกี่ยวกับคุณสมบัติต่างๆ ของแผ่นพื้นสะพานที่ถูกศึกษาแสดงอยู่ในบทที่ 3

1.4 กระบวนการทำวิจัย (Research Methodology)

เพื่อศึกษาผลตอบสนองทางโครงสร้างโดยวิธีไฟฟ้าในท่ออิเล็กทรอนิกส์และทำการเปรียบเทียบผลที่ได้กับข้อมูลการทดสอบจากงานวิจัยที่ผ่านมา ตลอดจนการนำเสนอผลที่สามารถนำไปใช้ในการออกแบบในอนาคต กระบวนการวิจัยในโครงงานนี้สามารถแสดงสรุปอย่างย่อๆ ดังต่อไปนี้

☛ เริ่มจากการศึกษาบทความและงานวิจัยที่เกี่ยวข้องตลอดจนรวบรวมข้อมูลการทดสอบที่ดำเนินการในห้องปฏิบัติการของงานวิจัยอื่นเพื่อใช้ในการเปรียบเทียบ

☛ ทำการสร้างแบบจำลองทางโครงสร้างของพื้นสะพานในระดับชิ้นส่วน (Component) และวิเคราะห์ผลตอบสนองภายใต้ภาระบรรทุกต่างๆ โดยทำการเปรียบเทียบกับผลที่ได้ในห้องปฏิบัติการและทำการปรับรูปแบบวิธีการสร้างแบบจำลองเพื่อให้มีค่าการตอบสนองใกล้เคียงกับผลการทดสอบในห้องปฏิบัติ ตลอดจนทำการคำนวณหาค่าคุณสมบัติเชิงกล เช่น ค่าความเกร็งต่อการดัด และการเนื้อเยื่อเป็นต้น

☛ ทำการวิเคราะห์แบบจำลองจนกระทั่งถึงจุดพิบัติเปรียบเทียบกำลังที่ได้กับผลการทดสอบและการปรับแบบจำลองเพื่อให้มีผลใกล้เคียงกับผลการทดสอบ (ใช้เกณฑ์การพิบัติของ Tsai-Wu)

☛ ทำการสร้างแบบจำลองของระบบแผ่นพื้นสะพานและความที่รองรับพร้อมทำการวิเคราะห์และเปรียบเทียบผลตอบสนองภายใต้ภาระบรรทุกต่างๆ

☛ นำแนวทางการสร้างแบบจำลองข้างต้นมาทำการจำลองระบบสะพานในสถานที่ศึกษาการตอบสนองและการกระจายน้ำหนักลงสู่คานสะพานที่รองรับ ทำการวิเคราะห์หาค่าการกระจายน้ำหนักของแผ่นพื้นสะพานภายใต้ภาระบรรทุกต่างๆ

岔 ทำการเปรียบเทียบตัวประกอบการกระจายนำหนักที่นำเสนอคู่กับค่าที่ได้จากงานวิจัยอื่นๆ และทำการนำเสนอสรุปในลักษณะค่ามาตรฐานตัวประกอบการกระจายนำหนักสำหรับการออกแบบ

บทที่ 2 (Chapter 2)
วรรณกรรมปริศน์
(Literature Reviews)

2.1 รายละเอียดโดยทั่วไป (General Information)

ในปี ค.ศ. 2001 Alampalli และ Kunin ได้เขียนรายงานพิเศษเกี่ยวกับสะพาน Bentley Creek ซึ่งเป็นสะพานที่มีโครงสร้างหลักเป็นเหล็ก (Steel Truss Bridge) ตั้งอยู่เมืองเชมัง นิวยอร์ก ประเทศสหรัฐอเมริกา ถูกก่อสร้างขึ้นในปี ค.ศ. 1940 ในรายงานได้กล่าวถึงการปรับปรุงสะพานภายหลังจากการใช้งานสะพานดังกล่าวมาอย่างยาวนานถึง 60 ปี โดยการรื้อพื้นสะพานเดิมซึ่งเป็นคอนกรีตเสริมเหล็กและทำการเปลี่ยนเป็นแผ่นพื้นอลิเมอร์เสริมกำลังด้วยเส้นไยแทน เหตุผลในการรื้อพื้นสะพานเดิมคือโครงสร้างหลักและแผ่นพื้นสะพานเกิดการเสื่อมสภาพจากการใช้งานและเกิดการผุกร่อน ดังแสดงในรูปที่ 2.1 ซึ่งในรายงานพิเศษยังกล่าวว่า สะพานดังกล่าวเป็นเพียงแค่หนึ่งในหลายพันสะพานที่ได้รับการปรับปรุงซ่อมแซม ส่งผลให้ทางหน่วยงานที่เกี่ยวข้อง (The Federal Highway Administration (FHWA)) ประมวลการใช้งบประมาณในการซ่อมแซม ดังกล่าวหนึ่งมีน้ำหนักมาก จึงเป็นสาเหตุหลักที่ทำให้หน่วยงานที่เกี่ยวข้องของ สหรัฐอเมริกาต้องดำเนินการศึกษาอย่างจริงจังในการหาแนวทางแก้ไขและปรับปรุงสะพานตลอดจนถึงวัสดุที่ใช้ในการก่อสร้างด้วย



รูปที่ 2.1 Bentley Creek Bridge เมืองเชมัง นิวยอร์ก สหรัฐอเมริกา (Sreenivas 2001)

ในปี ก.ศ.1983 กรมทางหลวงของสหรัฐอเมริกา (the US department of transportation) ริเริ่มโครงการวิจัยที่มีวัตถุประสงค์หลักในการนำเอ่าเทคโนโลยีทางด้านวัสดุประกอบมาประยุกต์ใช้งานทางด้านโครงสร้างพื้นฐาน เช่น สะพานในทางหลวง ซึ่งได้ดำเนินการภายใต้โครงการที่เรียกว่า “Transfer of Composite Technology to Design and Construction of Bridges” โครงการดังกล่าวถือได้ว่าเป็นจุดเริ่มต้นของการศึกษาวิจัยระบบแผ่นพื้นสะพานพอลิเมอร์เสริมกำลังด้วยเส้นใย (Fiber Reinforced Polymer Deck หรือ FRP Deck) ในทวีปอเมริกาเหนือ นับตั้งแต่นั้นการศึกษาวิจัยที่เกี่ยวข้องกับแผ่นพื้นสะพานพอลิเมอร์เสริมกำลังด้วยเส้นใยได้รับความสนใจอย่างแพร่หลายตลอดจนได้มีการตีพิมพ์บทความทางวิชาการอุบมาอย่างต่อเนื่องจนกระทั่งถึงปัจจุบัน

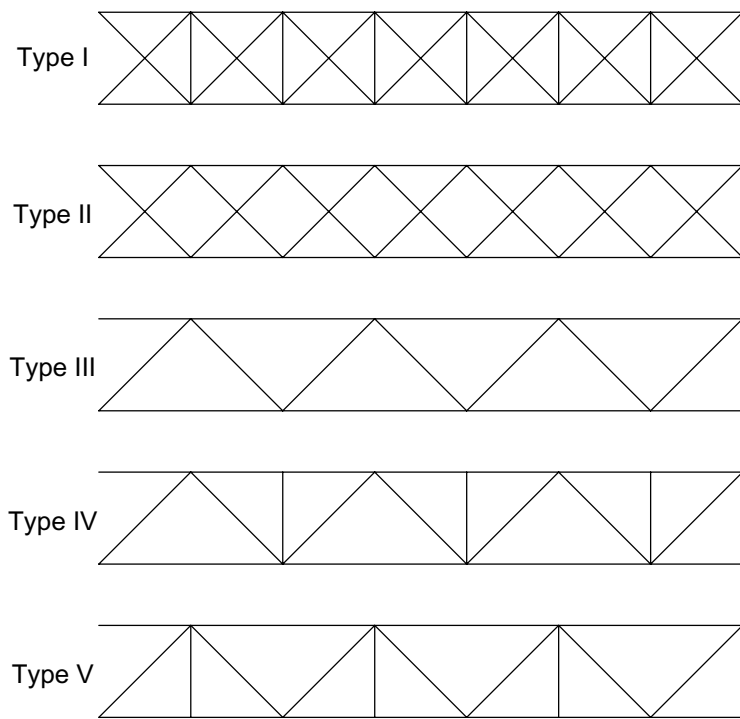
การวิจัยซึ่งเกี่ยวข้องกับแผ่นพื้นสะพานพอลิเมอร์เสริมกำลังด้วยเส้นใยยังคงได้รับความสนใจอย่างยิ่งและกำลังดำเนินการอยู่เป็นจำนวนมากสืบเนื่องมาจากผลของการพัฒนาวัสดุประกอบตลอดจนถึงกระบวนการผลิต รวมถึงคุณสมบัติพื้นฐานทั้งทางเชิงกลและทางเคมีซึ่งมีการเปลี่ยนแปลงอย่างมากตามรายตลอดช่วงระยะเวลาที่ผ่านมา วัตถุประสงค์หลักในบทนี้จะเป็นการนำเสนอการศึกษาวิจัยของนักวิจัยท่านอื่นๆ ที่ได้ดำเนินการผ่านมา โดยงานวิจัยดังกล่าวเหล่านั้นสามารถจำแนกออกได้เป็น 2 ลักษณะดังนี้คือ

- 1) การทดสอบในห้องปฏิบัติการ (Laboratory Testing) และ
- 2) การศึกษาผ่านการสร้างแบบจำลองเชิงตัวเลข (Numerical Modeling)

อย่างไรก็ตามพบว่างานวิจัยส่วนใหญ่เป็นการทำการศึกษาผ่านการทดสอบในห้องปฏิบัติการซึ่งมีข้อจำกัดบางประการ เช่น ไม่สามารถทำการศึกษาในสภาพแวดล้อมที่ต่างๆ อย่างทั่วถึง ตลอดจนไม่สามารถทำการทดสอบในลักษณะเป็นระบบขนาดใหญ่ได้ เนื่องจากปัญหาเกี่ยวกับงบประมาณและการขาดแคลนอุปกรณ์เครื่องมือตลอดจนความพร้อมของห้องปฏิบัติการเอง เป็นต้น ดังนั้นการศึกษาด้วยวิธีการสร้างแบบจำลองทางตัวเลขจึงเป็นแนวทางหนึ่งที่จะทำให้สามารถศึกษาพฤติกรรมและการตอบสนองของระบบแผ่นพื้นสะพานพอลิเมอร์เสริมกำลังด้วยเส้นใยในส่วนที่ยังขาดการทดลองในห้องปฏิบัติการและข้อมูลการทดสอบในสนามยังไม่เพียงพอ การนำเสนองานวิจัยอื่นๆ ที่ผ่านมาได้ทำการแบ่งเป็น 2 ส่วนหลักคือ 1) ส่วนที่เกี่ยวข้องโดยตรงกับระบบแผ่นพื้นสะพานพอลิเมอร์เสริมกำลังด้วยเส้นใย ซึ่งการนำเสนอจะได้กล่าวถึง การพัฒนา การทดสอบในห้องปฏิบัติการ การสร้างแบบจำลองเพื่อวิเคราะห์และทำนายผล การตอบสนองทางโครงสร้าง (Structural Responses) ซึ่งจะได้แสดงต่อไปในหัวข้อที่ 2.2 ในขณะที่ส่วนที่ 2) จะเป็นการกล่าวถึงการศึกษาที่เกี่ยวข้องกับตัวประกอบการกระจายน้ำหนัก (Load Distribution Factor) ของแผ่นพื้นสะพาน ซึ่งจะถูกแสดงในหัวข้อที่ 2.3

2.2 การพัฒนา การทดสอบ และการสร้างแบบจำลอง (Development, Testing and Modeling)

ในปี ค.ศ. 1991 McGhee และคณะ ได้ศึกษาโดยใช้วิธีการวิเคราะห์เชิงตัวเลข (Numerical Method) สำหรับแผ่นพื้นพอลิเมอร์เสริมกำลังด้วยเส้นไขหารายๆรูปแบบดังแสดงในรูปที่ 2.2 ซึ่งผลของการศึกษาดังกล่าวได้ถูกนำมาศึกษาเปรียบเทียบกับการทดสอบในห้องปฏิบัติการ ซึ่งดำเนินการโดย Henry ในปี ค.ศ. 1985 และในปี 1989 โดย Ahmad และคณะ ซึ่งในงานวิจัยของ McGhee และคณะนั้นมีวัตถุประสงค์หลักเพื่อศึกษารูปแบบของแผ่นพื้นสะพานพอลิเมอร์เสริมกำลังด้วยเส้นไขที่มีความเหมาะสมในการนำไปพัฒนาเพื่อให้สามารถใช้งานในสนามได้ต่อไป ผลการศึกษาในงานวิจัยนี้ได้พบข้อสรุปว่ารูปแบบของแผ่นพื้นพื้นสะพานพอลิเมอร์เสริมกำลังด้วยเส้นไขหน้าตัดประเภทที่ 3 เป็นประเภทที่มีประสิทธิภาพที่สุด



รูปที่ 2.2 หน้าตัดของแผ่นพื้นสะพานพอลิเมอร์ซึ่ง McGhee และคณะทำการศึกษา

ในปีเดียวกัน (ค.ศ. 1991) Mongi และคณะ ได้ทำการศึกษาการโกร่งตัว (Deflection) ของแผ่นพื้นสะพานพอลิเมอร์เสริมกำลังด้วยเส้นไขที่มีขนาดแตกต่างกัน ในการศึกษานี้ได้ใช้พื้นสะพานที่มีหน้าตัดแบบกล่อง (Cellular Box Section) โดยทำการเชื่อมต่อเข้าด้วยกันกับคานพอลิเมอร์เสริมกำลังด้วยเส้นไขหน้าตัดรูปตัวไอ (I-Beam) ซึ่งทำการศึกษาภายใต้ประเภทของชนิดรอยต่อ

และแรงกระทำที่แตกต่างกัน พนวิ่งการโก่งของพื้นสะพานซึ่งได้จากการทดสอบในห้องปฏิบัติการ และวิธีเชิงตัวเลขมีความสอดคล้องกัน

ต่อมาในปี ก.ศ. 1994 Zureick และคณะ ได้ทำการทดสอบคานชนิดพอลิเมอร์เสริมกำลังด้วยเส้นไขขนาดเท่าของจริง (Full Scale Testing) โดยทำการศึกษาพฤติกรรมภายใต้แรงเฉือน และพิจารณาถึงเกณฑ์ในการออกแบบวัสดุพอลิเมอร์เสริมกำลังด้วยเส้นไข่ที่มีหน้าตัดรูปตัวไอที่ถูกจำแนกเป็นคานลีก (Deep I-Shape) โดยทำการทดสอบภายใต้แรงกระทำในแนวเดียวตามระนาบของส่วนที่เป็นแผ่นตั้ง (Web) ของคาน ในการทำการศึกษารังนี้ใช้คานตัวอย่างที่มีขนาด 61.00 เซนติเมตร x 0.95 เซนติเมตร และ ขนาด 19.00 เซนติเมตร x 1.90 เซนติเมตร สำหรับแผ่นตั้ง (Web) และปีก (Flange) ตามลำดับ เพื่อทำการทดสอบหาค่าโมดูลัสการเฉือน (Shear Modulus) และโมดูลัสความยืดหยุ่น (Elastic Modulus) วิธีการทดสอบการดัดด้วยแรงกระทำสามและสี่จุด (Three and Four Point Bending Tests) ถูกใช้เพื่อวัดถูประดงค์ดังกล่าว นอกจากนี้การวิเคราะห์เชิงตัวเลขด้วยวิธีไฟไนท์อิลิเมนต์ (Finite Element Method) ได้ถูกนำมาใช้เพื่อทำการเปรียบเทียบกับผลการทดสอบที่ได้ โดยในการวิเคราะห์เชิงตัวเลขดังกล่าวใช้โปรแกรม GTSTRUDL โดยเลือกสร้างแบบจำลองด้วยอิลิเมนต์ (Element) ชนิด 960 SBHQ (Stretching Bending Hybrid Quadrilateral Plate Element) พนวิ่งค่าของการโก่งตัวที่เกิดจากช่วงคานของแบบจำลองเชิงตัวเลขมีค่ามากกว่าผลการทดสอบในห้องปฏิบัติการประมาณ 20%

ในปีถัดมา (ก.ศ. 1995) Sotiropoulos และคณะ ได้ทำการศึกษาพฤติกรรมของแผ่นพื้นพอลิเมอร์ซึ่งมีหน้าตัดประกอบขึ้นด้วยจำนวนหลายเซลล์ (Multi-cellular Decks) โดยทำการเชื่อมต่อแผ่นพื้นดังกล่าวเข้าด้วยกันเพื่อทำการศึกษาการตอบสนองทั้งระบบภายใต้แรงกระทำสถิตศาสตร์ (Static Loading) เช่นการดัดและการบิด (Bending and Twisting) เป็นต้น ทั้งนี้แผ่นพื้นที่นำมาใช้ในการทดสอบถูกผลิตขึ้นมาจากเส้นใยแก้วและพอลิเมอร์เรซิน โดยในส่วนของแผ่นพื้นมีปริมาณของเส้นใยประมาณ 22.10 % โดยปริมาตร และสำหรับส่วนของคานรูปปีกกว้าง (Wide-flange Section) มีปริมาณของเส้นใยประมาณ 29.60 % โดยปริมาตร ในการทำการเชื่อมต่อแผ่นพื้นเพื่อทำการทดสอบนั้นแบ่งเป็นสองขั้นตอน คือ 1) การเชื่อมต่อกันระหว่างแผ่นพื้นกับแผ่นพื้น (Deck-to-Deck) และ 2) การเชื่อมต่อระหว่างแผ่นพื้นกับคานรองรับ (Deck to Stringer) สำหรับการทดสอบการบิด (Torsion Test) แผ่นพื้นแบบเซลล์เดียวและเซลล์คู่ (Single and Double Cell) ถูกนำมาใช้ซึ่งผลการทดสอบที่ได้ถูกนำมาทำการคำนวณหาค่าสติฟเนสสำหรับการดัดและเฉือนโดยในการทดสอบต่างๆถูกคำนวณการภายใต้ขอบเขตของขีดจำกัดความยืดหยุ่น (Elastic Limit)

ในปี ก.ศ. 1996 Nagy และคณะ ได้ดำเนินการศึกษาผลตอบสนองของแรงกระทำทางสถิตศาสตร์ที่มีต่อแผ่นพื้นประเภทแซนวิช (Sandwich Panel Decks) การทดสอบได้

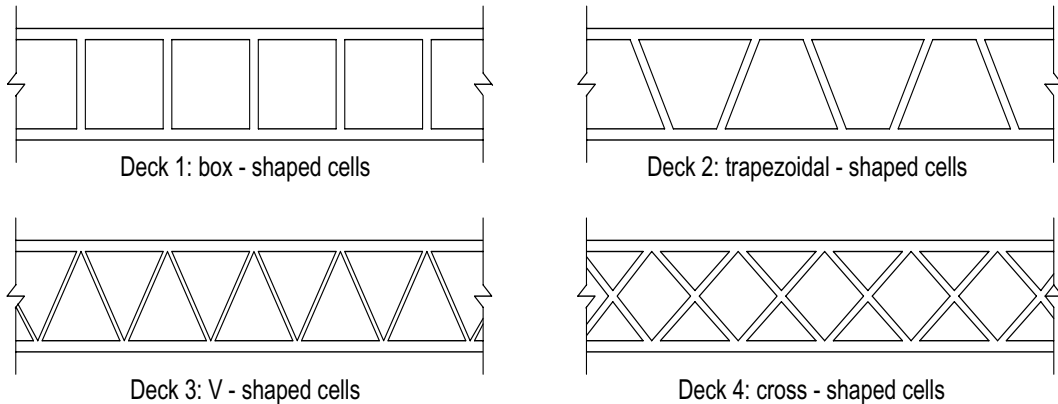
ดำเนินการตามแนวขวาง (Transverse Direction) เพื่อศึกษาผลของความแข็งแรงภายใต้แรงกระทำ และรูปแบบการพิบัติ (Failure Mode) ที่เกิดขึ้นบริเวณรอยต่อของปีกและแผ่นตั้ง (Flange and Web Junction) เนื่องมาจากผลของการดัด โดยแผ่นพื้นทั้งหมดที่ทำการศึกษาดังกล่าวมีค่าของความแข็งแรงต่ำกว่าค่าความแข็งแรงของแผ่นพื้นคอนกรีต

ต่อมาในปี ค.ศ. 1997 Sonti และคณะได้ทำการศึกษาสุดประกอบ (Composite Materials) ที่ผลิตขึ้นจากเส้นใยถักทอ (Fabrics) ภายใต้แรงกระทำทางสถิติศาสตร์ ตัวอย่างการทดสอบในการศึกษานี้มีอัตราส่วนของเส้นใยต่อปริมาตร (Fiber Volume Fraction) ประมาณ 30-35% และมีขนาดของตัวอย่างทดสอบประมาณ 182.88 เซนติเมตร x 60.96 เซนติเมตร x 13.97 เซนติเมตร จากผลการทดสอบพบว่าลักษณะการพิบัติของชิ้นตัวอย่างเกิดการแยกตัว (Delamination) ของแผ่นตั้งและปีกอันเนื่องมาจากผลของความเค้นเฉือนที่เกิดขึ้นบริเวณรอยต่อ ดังกล่าว นอกจากนี้ในการศึกษาได้ทำการสร้างแบบจำลองทางไฟไนท์อิลิเมนต์ (Finite Element Model) เพื่อทำการเปรียบเทียบกับผลการทดสอบที่ได้จากการทดสอบที่ใช้แรงกระทำของชิ้นตัวอย่างในการทดสอบได้ดีพอสมควร

ในปีเดียวกัน (ค.ศ.1997) Vedam และคณะได้ทำการศึกษาในประเด็นที่คล้ายคลึงกับการศึกษาของ Sonti และคณะ โดยทำการทดสอบแผ่นพื้นที่มีหน้าตัดแบบ คงหมู่ (Double-Trapezoid) และรูปทรงหกเหลี่ยม (Hexagonal Shape) โดยมีขนาดของหน้าตัดกว้างอกประมาณ 30.48 เซนติเมตร x 20.32 เซนติเมตร และมีความยาวอยู่ในช่วงประมาณ 152.40 เซนติเมตร ถึง 274.32 เซนติเมตร และมีอัตราส่วนของเส้นใยต่อปริมาตร (Fiber Volume Fraction) ในช่วง 45-50% มีค่าอัตราหนักต่อพื้นที่ประมาณ 107.64 กิโลกรัมต่อตารางเมตร ผลการทดสอบให้ค่าความแข็งเกร็งต่อการดัด (Bending Rigidity) ประมาณ 2.475×10^5 กิโลกรัม-ตารางเมตร นอกจากนี้ยังพบว่าค่าความแข็งแรงของแผ่นพื้นที่ทำการทดสอบมีความสัมพันธ์กับหนักของชิ้นตัวอย่างทดสอบนั้นๆ โดยในการศึกษานี้คณะผู้วิจัยได้พัฒนาวิธีการคำนวณหาคุณสมบัติของชิ้นตัวอย่างทดสอบโดยประมาณ (The Approximate Classical Lamination Theory หรือ ACLT) มาใช้ในการศึกษาด้วย

ในช่วงเวลาเดียวกันของปี ค.ศ. 1997 Zurieck และคณะได้ศึกษาพฤติกรรมแผ่นพื้นพอลิเมอร์เสริมกำลังด้วยเส้นใยโดยทำการวิเคราะห์ด้วยวิธีไฟไนท์อิลิเมนต์ ซึ่งแบบจำลองของแผ่นพื้นดังกล่าวมีลักษณะเช่นเดียวกันกับคานอย่างง่าย (Simple Beam) ช่วงเดียวที่มีขนาดยาวประมาณ 1,219.20 เซนติเมตร และมีขนาดหน้าตัดประมาณ 27.94 เซนติเมตร x 243.84 เซนติเมตร วางอยู่บนที่รองรับอย่างง่าย (Simple Support) อยู่ภายใต้แรงกระจาบบนพื้นที่ลักษณะสี่เหลี่ยม (Patch Load) ซึ่งในการวิเคราะห์ดังกล่าวเนี่ยทำการศึกษาแผ่นพื้นที่มีลักษณะแตกต่างกันสี่แบบดัง

แสดงในรูปที่ 2.3 ผลการวิเคราะห์ระยะ โ哥งตัว (Deflection) พบว่าแผ่นพื้นแบบหน้าตัดเซลล์ สี่เหลี่ยมและเซลล์รูปตัววีมีระยะ โ哥งตัวที่น้อยกว่าแผ่นพื้นประเภทอื่นๆที่ใช้ในการศึกษานี้



รูปที่ 2.3 หน้าตัดของแผ่นพื้นสะพานโพลิเมอร์ ซึ่ง Zurieck และคณะทำการศึกษา

สำหรับพฤติกรรมของงานโพลิเมอร์เสริมกำลังด้วยเส้นใยแก้วภายใต้แรงกระทำแบบสติศักดิ์และแรงกระทำแบบวัฏจักร (Static and Cyclic Loads) ถูกศึกษาโดย Nagaraj และคณะในปี ค.ศ.1997 โดยทำการเปรียบเทียบค่าความแข็งแกร่งต่อการดัดและเลื่อน (Flexural and Shear Rigidity) ที่ได้จาก 1) การทดสอบในห้องปฏิบัติการ 2) ทฤษฎีแผ่นเรียบดั้งเดิม (Classical Lamination Theory) และ 3) ทฤษฎีแผ่นเรียบดั้งเดิมอย่างง่าย (Simplified Classical Lamination Theory) ผลการศึกษาพบว่าแรงเฉือนมีอิทธิพลที่สำคัญต่อการโ哥งตัวของงานโพลิเมอร์ทั้งภายในและภายนอก แต่ไม่สามารถลดลงได้มากนัก แม้จะลดแรงกระทำแบบวัฏจักร นอกเหนือไปจัดเรียงเส้นใยในงาน ซึ่งปัจจัยเหล่านี้ล้วนแต่มีผลกระทบต่อการกระจายของหน่วยแรงบนหน้าตัดโดยเฉพาะ ในส่วนของปีกงาน ผลการทดสอบต่างๆในห้องปฏิบัติการถูกเปรียบเทียบผลทางทฤษฎีที่กล่าวมาข้างต้นพบว่ามีค่าใกล้เคียงกัน

ในปี ค.ศ. 1998 Brown และคณะได้ทำการทดสอบและวิเคราะห์แผ่นพื้นสะพานโพลิเมอร์เสริมกำลังด้วยเส้นใยซึ่งมีลักษณะเป็นแผ่นพื้นที่มีหน้าตัดเซลล์รูปสี่เหลี่ยม โดยมีที่รองรับเป็นคานรูปตัววี ทำการทดสอบกระทำกับแผ่นพื้นสะพานโพลิเมอร์เสริมกำลังด้วยเส้นใยที่มีรูปแบบแตกต่างกันสองรูปแบบดังนี้ 1) แผ่นพื้นมีขนาด 152.40 เซนติเมตร x 152.40 เซนติเมตร x 12.70 เซนติเมตร ประกอบเข้ากับคานหน้าตัดสี่เหลี่ยมน้ำด 12.70 เซนติเมตร x 12.70 เซนติเมตร x 0.95 เซนติเมตร และ 2) แผ่นพื้นที่มีขนาด 304.80 เซนติเมตร x 304.80 เซนติเมตร x 20.32

เซนติเมตร ประกอบเข้ากับคานหน้าตัดสี่เหลี่ยมขนาด 10.16 เซนติเมตร x 20.32 เซนติเมตร x 0.64 เซนติเมตร ซึ่งแผ่นพื้นสะพานทั้งสองรูปแบบดังกล่าวข้างต้นถูกวางบนที่รองรับซึ่งเป็นคานโพลิเมอร์เสริมกำลังด้วยเส้นใยรูปตัวไอ (FRP Wide Flange) ขนาด 30.48 เซนติเมตร x 30.48 เซนติเมตร x 1.27 เซนติเมตร ใน การทดสอบสมมืออน เป็นการทดสอบแผ่นพื้นและคานสะพานทั้งระบบ นอกจากนี้ทำการในการออกแบบอย่างจ่ายถูกพัฒนาเพื่อใช้สำหรับการออกแบบและวิเคราะห์คาน พอลิเมอร์เสริมกำลังด้วยเส้นใยภายในตัวคัต ผลการทดสอบในห้องปฏิบัติการถูกนำมาปรีบเทียบ กับผลที่ได้จากการวิเคราะห์ด้วยวิธีไฟฟ้าในท่ออลิเมนต์ พบว่าค่าการตอบสนองที่ได้มีความสอดคล้องที่ดีระหว่างผลจากการทดสอบและการวิเคราะห์ด้วยวิธีไฟฟ้าในท่ออลิเมนต์

ในปีเดียวกัน (ค.ศ. 1998) Massa และ Barbero ได้เสนอวิธีการวิเคราะห์คานพอลิเมอร์ประเทนังบางเซลล์เดียว (FRP Single Cell Thin Wall Beam) ภายใต้การคัด (Bending) การเฉือน (Shear) และแรงในแนวแกน (Axial Load) ซึ่งในส่วนของการวิเคราะห์คุณสมบัติของวัสดุ (Material Properties) ยังคงใช้ทฤษฎีแผ่นสามมิติเรียบดึงเดิน (Classical Laminated Plate Theory) โดยหน้าตัดที่ถูกวิเคราะห์จะถูกพิจารณาออกเป็นส่วนย่อยๆ (Segment) ที่มีคุณสมบัติทางรูปทรงที่แตกต่างกัน เช่น พื้นที่ ไมเมนต์ที่หนึ่งของพื้นที่ จุดศูนย์ถ่วง เป็นต้น งานวิจัยนี้แสดงให้เห็นว่ามีความเป็นไปได้ที่จะใช้แนวทางของกลศาสตร์ของวัสดุ (Mechanics of Materials) ในการวิเคราะห์คานพอลิเมอร์ผนังบาง โดยการแปลงคุณสมบัติทางเชิงกลของผนังของคานพอลิเมอร์ให้เป็นคุณสมบัติของวัสดุ ไอโซทรอปิกที่เทียบเท่ากัน

ภายในช่วงปี ค.ศ. 2000 Shekar ได้ทำการทดสอบแผ่นพื้นสะพานพอลิเมอร์เสริมกำลังด้วยเส้นใยที่มีหน้าตัดแบบสี่เหลี่ยมคงหมุนและหน้าตัดแบบหกเหลี่ยม (Trapezoidal and Hexagonal FRP Bridge Decks) โดยมีขนาดหน้าตัดโดยประมาณ 30.48 เซนติเมตร x 20.32 เซนติเมตร และมีความกว้างประมาณ 274.32 เซนติเมตร พบว่าค่าความแข็งกรึงของการดัดเทียบเท่า (Equivalent Flexural Rigidity) มีค่าเท่ากับ 2.428×10^5 กิโลกรัม-ตารางเมตร และค่าหน่วยแรงดดปะลัย (Ultimate Bending Stress) มีค่าเท่ากับ 47,740 กิโลกรัมต่อตารางเมตร ในส่วนของรูปแบบการพิบัติพบว่าเกิดการแยกตัว (Delamination) บริเวณแผ่นตั้งและปีก (Web-Flange Junction)

ในช่วงปีเดียวกัน (ค.ศ. 2000) Chandrashekara และ Nanni ได้ทำการทดสอบแผ่นพื้นสะพานพอลิเมอร์เสริมกำลังด้วยเส้นใยและทำการวิเคราะห์ด้วยวิธีไฟฟ้าในท่ออลิเมนต์เพื่อที่จะหาผลตอบสนองและพฤติกรรมของแผ่นพื้นสะพานซึ่งหน้าตัดประกอบด้วยเซลล์สี่เหลี่ยมขนาด 7.62 เซนติเมตร หนา 0.64 เซนติเมตร ผลการวิจัยแสดงความสอดคล้องที่ดีระหว่างผลการทดสอบในห้องปฏิบัติการกับผลที่ได้จากการวิเคราะห์ด้วยวิธีไฟฟ้าในท่ออลิเมนต์ ซึ่งงานวิจัยนี้ได้สรุปว่าแผ่น

พื้นสะพานพอลิเมอร์เสริมกำลังด้วยเส้นใยมีความเหมาะสมที่จะนำไปใช้แทนที่พื้นสะพานจากวัสดุ วิศวกรรมดั้งเดิม (คอนกรีตและเหล็ก) สำหรับสะพานที่มีความยาวช่วงสั้น (Short Span Bridge)

ต่อมาในปี ค.ศ.2001 Kumar และคณะ ได้ศึกษาพฤติกรรมการดัดสำหรับโครงสร้างของท่อพอลิเมอร์เสริมกำลังด้วยเส้นใยแก้ว (GFRP Tube) โดยทำการทดสอบ 1) ท่อที่มีหน้าตัดเป็นรูปสี่เหลี่ยมจัตุรัสกลวงประภากเชลล์เดียว 2) ท่อสี่เหลี่ยมจัตุรัสกลวงประภากสองเชลล์ (ท่อสี่เหลี่ยมจัตุรัสกลวงประภากสองเชลล์ประกอบขึ้นด้วยการเชื่อมต่อท่อสี่เหลี่ยมจัตุรัสกลวงประภากเชลล์เดียวสองท่อเข้าด้วยกัน) 3) ท่อสี่เหลี่ยมจัตุรัสกลวงประภากสี่เชลล์ (ประกอบขึ้นจากการเชื่อมต่อท่อสี่เหลี่ยมจัตุรัสกลวงประภากสองเชลล์สองท่อเข้าด้วยกัน) ท่อตัวอย่างดังกล่าวถูกทดสอบจนเกิดการพินบัดภายใต้แรงการดัด พบร่วมในกรณีของท่อเดียวและท่อคู่ การพินบัดเกิดขึ้นเนื่องมาจากการโก่งเดา (Buckling) เนื่องมาจากแรงอัดในส่วนปีกของท่อตัวอย่างนำไปสู่การแยกตัวกันของแผ่นตั้งและปีก ซึ่งก่อให้เกิดรอยร้าวขึ้นบริเวณรอยต่อระหว่างแผ่นตั้งและปีก จนกระทั่งเกิดการพินบัดในท้ายที่สุด สำหรับการพินบัดที่เกิดขึ้นกับท่อตัวอย่างแบบสี่เชลล์เกิดขึ้นเนื่องมาจากการเลื่อนนำไปสู่รอยร้าวตรงขอบตามแนวยาวของท่อ ซึ่งรอยต่อระหว่างแผ่นตั้งกับปีก เป็นบริเวณหลักที่เกิดการพินบัด ผลการทดสอบในห้องปฏิบัติการถูกนำมาเปรียบเทียบกับผลที่มาจากการวิเคราะห์ด้วยวิธีไฟโนห้องปฏิบัติ ผลที่ได้จากการทดสอบแนวทางมีความใกล้เคียงกัน

ในปีเดียวกัน (ค.ศ. 2001) Temeles และคณะ ได้ทำการศึกษาและทดสอบกับแผ่นพื้นพอลิเมอร์เสริมกำลังด้วยเส้นใยที่มีความหนา 17.78 เซนติเมตร มีหน้าตัดรูปสี่เหลี่ยมขนาด 457.20 เซนติเมตร x 152.40 เซนติเมตร ประกอบขึ้นจากท่อสี่เหลี่ยมกลวงเสริมแรงด้วยเส้นใยที่มีความยาวเท่ากับ 457.20 เซนติเมตร และมีขนาดหน้าตัด 15.24 เซนติเมตร x 15.24 เซนติเมตร หนา 0.95 เซนติเมตร จำนวน 10 ชิ้น ส่วนด้วยกัน แผ่นพื้นถูกทำการทดสอบด้วยแรงกระทำวัฏจักรเพื่อศึกษาผลของความล้า (Fatigue) ภายใต้มาตรฐานการออกแบบของ AASHTO (American Association of State Highway and Transportation Officials) พบร่วมจะต่ำมากที่สุดของแผ่นพื้น มีค่าประมาณ L/470 (L คือความยาวช่วงของแผ่นพื้น) โดยที่แผ่นพื้นถูกกระทำด้วยแรงกระทำวัฏจักรประมาณ 4 ล้านรอบภายในช่วงระยะเวลา 8 เดือน ผลจากการวิจัยรายงานว่าไม่เกิดการลอกลงในส่วนของความแข็งแรงที่มีนัยสำคัญ

ในปี ค.ศ. 2002 Kollar และ Pluzsik ได้เสนอวิธีการวิเคราะห์คานพอลิเมอร์เสริมกำลังด้วยเส้นใยที่มีหน้าตัดลักษณะหน้าตัดเปิด (Open Section) และหน้าตัดปิด (Closed Section) โดยมีสมมุติฐานซึ่งไม่ทำการพิจารณาค่าความเครียดที่เกิดขึ้นเนื่องจากแรงเฉือน ในการวิเคราะห์นั้นค่าสติฟเนสต่อการดัดของคานจะคำนวณขึ้นจากคุณสมบัติของวัสดุแบบออร์โทโทรอปิก (Orthotropic) โดยที่หน้าตัดของคานมีรูปทรงอิสระ คานพอลิเมอร์ถูกวิเคราะห์ภายใต้แรงกระทำ

หล่ายประภพร้อมๆ กัน เช่น 1) แรงในแนวแกน 2) โมเมนต์คด และ 3) โมเมนต์บิด เป็นต้น ซึ่งค่า สติฟเนสของงานถูกแสดงในรูปแบบของเมทริกซ์ขนาด 4×4 ผลการวิเคราะห์ที่ได้ถูกนำมาเปรียบเทียบกับผลที่ได้จากวิธีไฟไนท์อิเลิมেนต์

ภายในปีเดียวกัน (ค.ศ.2002) Zhou ได้ทำการทดสอบและวิเคราะห์แผ่นพื้นสะพาน พอลิเมอร์เสริมกำลังด้วยเส้นใยเพื่อศึกษาความทนทาน (Durability) และความแข็งแรง (Strength) โดยแผ่นพื้นสะพานพอลิเมอร์เสริมกำลังด้วยเส้นใยที่ทำการศึกษามีขนาดความยาว 464.82 เซนติเมตร และความกว้าง 152.40 เซนติเมตร ประกอบมาจากการอ้อโททรอยปิกส์เหลี่ยมขนาด 15.24 เซนติเมตร x 15.24 เซนติเมตร หนา 0.95 เซนติเมตร วิธีความยืดหยุ่นเทียนเท่า (Method of Elastic Equivalence - MEE) ถูกพัฒนาขึ้นเพื่อใช้ในการวิเคราะห์ค่าความแข็งแรงของแผ่นพื้นสะพานพอลิเมอร์ พบว่าวิธีการดังกล่าวสามารถทำงานค่าระยะห่างนี้องมาจาก การดัดภายในได้แรงกระทำแบบแผ่กระจายสม่ำเสมอ (Uniformly Distributed Load) และแรงกระทำแบบพื้นที่สี่เหลี่ยม (Rectangular Patch Load) ได้ค่อนข้างใกล้เคียงและสมเหตุสมผล ส่วนค่าระยะห่างของแผ่นพื้น ภายใต้แรงกระทำแบบจุด (Point Load) ค่าที่ได้ค่อนข้างขาดความแม่นยำ ทั้งนี้ผู้วิจัยได้แนะนำให้ใช้ การวิเคราะห์ด้วยวิธีไฟไนท์อิเลิมেนต์หรือทฤษฎีของแผ่นบางที่ระดับขั้นสูง (Higher Order Classical Lamination Plate Theory) ขึ้นไปในการวิเคราะห์ เช่นเดียวกันกับวิธีการพิจารณาการพิบัติของแผ่นพื้น ได้ถูกพัฒนาเพื่อที่จะใช้วิเคราะห์ทำการพิบัติของแผ่นพื้นสะพานพอลิเมอร์อย่างไรก็ตาม วิธีการ ดังกล่าวยังคงให้ผลที่ไม่ดีนักในการทำงานเมื่อเปรียบเทียบกับทฤษฎีของ Tsai-Wu และ Tsai-Hill

ในช่วงเวลาเดียวกันของปี ค.ศ. 2002 Howard ได้ทำการศึกษาพฤติกรรมของแผ่นพื้นสะพานพอลิเมอร์เสริมกำลังด้วยเส้นใยภายใน ให้แรงดัดเป็นหลัก โดยพื้นสะพานที่นำมาใช้ในการทดสอบมีความสูงประมาณ 20.32 เซนติเมตร มีอัตราส่วนเส้นใยต่อปริมาตรประมาณ 54% ผลที่ได้จากการทดสอบในห้องปฏิบัติการแสดงให้เห็นว่าค่าความแข็งกรึงต่อการดัดและการบิด (Bending and Torsional Rigidity) มีค่าใกล้เคียงกับค่าความแข็งกรึงต่อการดัด (Bending Rigidity) เพียงอย่างเดียว

ภายในปี ค.ศ. 2002 Schniepp ได้ทำการศึกษาพฤติกรรมของงานพอลิเมอร์ ไฮบริดจ์ที่มีหน้าตัดลักษณะแบบแผ่นตั้งคู่ (Hybrid Double-Web Composite Beam - DWB) โดยมี อัตราส่วนเส้นใย ต่อปริมาตรประมาณ 45 % ใน การศึกษามีวัตถุประสงค์หลักในการศึกษาวิจัยเพื่อ หาค่าความสามารถในการรับกำลังและพัฒนาแนวทางในการออกแบบโครงสร้าง โดยงานตัวอย่าง จำนวน 19 งานถูกนำมาทำการทดสอบ ผลการทดสอบพบว่ารูปแบบการพิบัติของงานเกิดขึ้นที่ บริเวณที่ใกล้เคียงกับแรงกระทำตรงส่วนบนของปีกและการแตกหักขยายต่อไปในทิศทางต่างๆ ตาม

แนวแกนจนกระทั่งเกิดการพิบัติของคานในที่สุด นอกจากนี้พบว่าการ โกร่งตัวที่เกิดขึ้นของคาน ตัวอย่างเป็นผลจากแรงเฉือนประมาณ 16 % ของการ โกร่งทั้งหมด

ในปี ค.ศ. 2003 Natarajan ได้ทำการศึกษาผลตอบสนองของแผ่นพื้นสะพานพอลิเมอร์เสริมกำลังด้วยเส้นไนเก็วภายในโครงสร้างแบบวัสดุจัด แผ่นพื้นสะพานที่ใช้ในการศึกษาเป็นพื้นสะพานชนิดเดียวกันกับที่ใช้ในการศึกษาของ Howard (2002) โดยแผ่นพื้นสะพานทั้งระบบถูกรองรับด้วยคานเหล็ก (W10x39) จำนวนสามคาน โดยมีแรงกระทำสี่เหลี่ยมขนาด 1,290.32 ตารางเซนติเมตร กระทำส่องจุดบนแผ่นพื้นสะพานอยู่บริเวณกึ่งกลางระหว่างที่ร่องรับในแต่ละช่วงความยาว จากการทดสอบพบว่าแผ่นพื้นสะพานที่มีโพลิเอสเตอร์เป็นส่วนประกอบเกิดการพิบัติเนื่องจากแรงเฉือนทะลุ (Punching Shear Failure) ที่ 230,000 รอบ ในส่วนของแผ่นพื้นสะพานที่มีไวนิลเอสเตอร์เรซินเมื่อทำการทดสอบถึง 2,000,000 รอบ ยังคงไม่พบรอยแตกร้าวแต่มีการเปลี่ยนแปลงค่าความแข็งเกร็งต่อการดัดประมาณ 2 %

ต่อมาในปี ค.ศ. 2004 Punyamurthula ได้ดำเนินการทดสอบแผ่นพื้นสะพานพอลิเมอร์เสริมกำลังด้วยเส้นไนที่หนาตัดมีความลึก 10.16 เซนติเมตร มีอัตราส่วนของปริมาณเส้นไนต่อปริมาตรประมาณ 50 % การทดสอบกระทำเพื่อประเมินพฤติกรรมทางโครงสร้างของแผ่นพื้นภายใต้หน้าหักบรรทุกแบบ AASHTO HS25 ผลที่ได้จากการทดสอบพบว่าแผ่นพื้นสะพานพอลิเมอร์เสริมกำลังด้วยเส้นไนสามารถรับแรงกระทำแบบ AASHTO HS25 ได้โดยมีที่ร่องรับที่วางห่างกันราว 121.92 เซนติเมตร

ภายในปีเดียวกัน (ค.ศ. 2004) Reis และคณะได้ศึกษาประสิทธิภาพทางโครงสร้างของแผ่นพื้นชนิดแซนวิช โดยมีผิวนอกและล่างของแผ่นพื้นผลิตจากเส้นไนเก็วลักษณะสามมิติ ขณะที่แกนกลางของแผ่นพื้นผลิตขึ้นจากโฟม (Foam Core) แผ่นพื้นตันแบบดังกล่าวถูกทดสอบภายใต้แรงกระทำเป็นจุด (จำลองลักษณะแรงกระทำเนื่องจากล้อรถบรรทุก) กลไกและลักษณะการพิบัติของแผ่นพื้นถูกตรวจสอบ นอกจากนี้คุณสมบัติเชิงกลของโครงสร้างแผ่นพื้นตลอดจนผลของรูปทรง ความหนาแน่นและการจัดเรียงของสถาปัตกรรมของเส้นไนที่มีผลต่อพฤติกรรมการเนื้อใน การอัดและการดึงของแผ่นพื้น ได้ถูกศึกษาในการวิจัย

ในปี ค.ศ. 2006 Stiller และคณะได้ทำการทดสอบแผ่นพื้นสะพานสะพานเสริมกำลังด้วยเส้นไน (FRP) ที่ติดตั้งบนคานเหล็กที่ร่องรับที่เกิดสร้างเสริจสมบูรณ์ในสนาม ผลการทดสอบในสนามแสดงถึงพฤติกรรมร่วม (Composite Action) ระหว่างแผ่นพื้นและคานที่ร่องรับเกิดขึ้นอย่างดีโดยใช้การวิเคราะห์หน้าตัดแปลง (Transformed Section) ของแผ่นพื้น ค่าตัวประกอบการกระจายนำหนักที่มีค่านากที่สุดเท่ากับ 0.75 สำหรับนำหนักบรรทุกบนสองช่องทาง

จราจร และสัมภาระย่างง่ายของการ ก่อตัวได้ถูกเสนอเพื่อใช้ทำนายระยะ ก่อของคนที่ร้องรับเมื่อใช้คุณสมบัติของหน้าตัดแปลง

ในช่วงเวลาเดียวกันของปี ค.ศ. 2006 Lee และคณะทำการศึกษาระบบแผ่นพื้น
สะพานพอลิเมอร์ภายใต้แรงกระทำสถิติ ผลการทดสอบในห้องปฏิบัติการถูกนำมาเปรียบเทียบกับ
ผลที่ได้จากการวิเคราะห์ด้วยวิธีไฟฟ้าในท่ออลิเมนต์

ในปี ค.ศ. 2006 เข่นเดียวกัน Feng และคณะได้พัฒนารูปแบบพื้นสะพานพอลิเมอร์เสริมกำลังด้วยเส้นไนโตรเจนไนเตรตเสริมกำลังถูกพันรอบพื้นสะพานด้วยวิธีการ Filament –Winding และ พื้นสะพานพอลิเมอร์ต้านทานแบบถูกทดสอบเบรียบเที่ยงกับพื้นสะพานชนิดอื่นๆที่ไม่มีเส้นไนโตรเจนไนเตรตพันรอบ ซึ่งจากการทดสอบพบว่าพื้นสะพานชนิดมีเส้นไนโตรเจนไนเตรตเสริมกำลังพันรอบสามารถรับน้ำหนักได้เพิ่มขึ้นและมีรูปแบบการพิบัติที่เปลี่ยนไป

ต่อมาในปี ค.ศ. 2007 Keller และคณะได้ศึกษาพัฒนาระบบการดักของแผ่นพื้นสะพานประเกทแซนวิชไอบริดจ์ ซึ่งผลิตขึ้นโดยมีจำนวนชั้นหลัก 3 ชั้นคือ 1) แผ่นโพลิเมอร์เสริมกำลังด้วยเส้นใยโดยมีแผ่นตั้งรูปตัวที (สำหรับผิวรับแรงดึง) 2) คอนกรีตมวลเบาสำหรับแกนของแผ่นพื้น และ 3) คอนกรีตกำลังสูงพิเศษ (Ultra high performance concrete - UHPFRC) สำหรับผิวรับแรงอัด ผลจากการทดสอบแสดงถึงความเป็นไปได้ในที่จะสามารถนำแผ่นพื้นดังกล่าวติดตั้งสำหรับสะพานในอนาคต

ในปี ค.ศ. 2009 Prachasaree และคณะได้ทำการศึกษาพฤติกรรมการเนื้องของแผ่นพื้นสะพานอลูมิเนียมเสริมกำลังด้วยเส้นใย แผ่นพื้นสะพานที่ทำการทดสอบเป็นแผ่นพื้นสะพานประเกทเดียวกันกับการทดสอบของ Punyamurthula (2004) แผ่นพื้นที่ระบบถูกทดสอบภายใต้การบิดเพื่อศึกษาผลการตอบสนอง และทฤษฎีแผ่นบางดึงเดิมอย่างย่อ (Simplified Classical Lamination Theory) ถูกพัฒนาขึ้นเพื่อใช้ในการทำนายค่าคุณสมบัติความแข็งเกร็งต่อการบิดและการเลื่อน นอกจากนี้การศึกษาได้ทำการทดสอบเพื่อศึกษาพฤติกรรมการเนื้องทึ้งในระนาบ (In-Plane Shear) และนอกกระนาบ (Out-of-Plane Shear) สมการการทำนายกำลังเลื่อนแบบเจาะทะลุ (Punching Shear) ถูกพัฒนาขึ้นตลอดจนการศึกษาผลของแรงเลื่อนที่มีต่อรอยต่อระหว่างส่วนปีกและแผ่นตั้ง (Shear on Web-Flange Junction) แบบจำลองทางไฟฟ้าในต่อஇலைமென்ที่ระบบภายใต้การบิดถูกศึกษาเพื่อทำการประเมินผลของพฤติกรรมโครงสร้างแบบแผ่น (Plate Action) ซึ่งพบว่ามีค่าการตอบสนองทางโครงสร้างมีความแข็งแรงสูงกว่าประมาณ 20.00 – 25.00 % เมื่อเปรียบเทียบกับโครงสร้างจากวัสดุเดียวกันที่มีลักษณะเป็นโครงสร้าง 1 มิติ (เช่นคานเป็นตัน)

2.3 การศึกษาตัวประกอบการกระจายน้ำหนัก (Study of Load Distribution Factor)

ในปี ค.ศ. 1999 Mabsout และคณะ ได้ทำการศึกษาแบบพารามิตริก (Parametric Study) เพื่อตรวจสอบความสัมพันธ์ของจำนวนช่องจราจรแบบหลายช่อง (Multi-Lane) และความต่อเนื่องของสะพานที่มีต่อการกระจายน้ำหนักบรรทุกจากล้อรถ (Wheel Loads) ลงสู่คานเหล็กรองรับของแผ่นพื้นสะพาน โดยสะพานที่ทำการศึกษาเป็นสะพาน 1 และ 2 ช่อง โดยมีช่องทางจราจรตั้งแต่ 2 ถึง 4 ช่องทาง ซึ่งตัวแปรที่ถูกพิจารณาในการศึกษาได้แก่ 1) ความยาวช่วงสะพาน 2) ระยะห่างของคานที่รองรับ 3) จำนวนช่วงของสะพาน และ 4) จำนวนของช่องทาง โดยทำการจำลองสะพานด้วยวิธีไฟฟ้าในท่ออลิเมนต์ ทั้งหมด 144 แบบจำลอง และถูกทำการวิเคราะห์ด้วยโปรแกรม SAP90 การวิเคราะห์จะถูกนำไปใช้ในแบบ AASHTO HS20 ซึ่งค่าตัวประกอบการกระจายของน้ำหนักที่ได้จากการวิเคราะห์ถูกนำมาเปรียบเทียบกับค่าที่เสนอในมาตรฐาน AASHTO และ NCHRP 12 - 26 โดยที่ผลจากการศึกษาแบบพารามิตริกนี้แสดงความสอดคล้องกับค่าที่ได้มาจากมาตรฐาน NCHRP 12-26 และมีค่าน้อยกว่าค่าที่ได้มาจากมาตรฐาน AASHTO

ต่อมาในปี ค.ศ. 2000 Zokaei ได้ทำการศึกษาตัวประกอบการกระจายน้ำหนักบรรทุกจรบทั่วไปโดยนำเสนอรูปแบบสมการการกระจายน้ำหนักบรรทุกที่เดิมมีความซับซ้อนให้อยู่ในรูปแบบอย่างง่าย โดยแสดงอยู่ในรูปของอัตราส่วน S/D ซึ่ง S คือระยะห่างระหว่างคานที่รองรับเหล็ก และ D เป็นค่าคงที่ขึ้นอยู่กับประเภทของสะพาน (คล้ายคลึงกับวิธีหน่วยแรงที่ยอมให้ Allowable Stress Design - ASD) ใน การศึกษานี้ได้แสดงให้เห็นถึงความเป็นมาในการพัฒนารูปแบบของสมการและเปรียบเทียบความถูกต้องอันเนื่องมาจากการใช้สมการที่มีความซับซ้อนกับสมการอย่างง่ายที่เสนอขึ้น โดยนำเสนอด้วยตัวอย่างการออกแบบคานที่รองรับสำหรับสะพานช่วงเดียว

ในปี ค.ศ. 2001 Barr และคณะ ได้ทำการศึกษาตัวประกอบการกระจายน้ำหนักบรรทุกจรบทั่วไป ผลตอบสนองของสะพานถูกวัดและเก็บข้อมูลระหว่างทำการทดสอบด้วยแรงกระทำสถิติและถูกเปรียบเทียบกับผลจากแบบจำลองสะพานด้วยวิธีไฟฟ้าในท่ออลิเมนต์ซึ่งแบบจำลองสะพานที่แตกต่างกันจำนวน 24 แบบจำลองถูกศึกษาเพื่อคำนวณตัวประกอบการกระจายน้ำหนักบรรทุก ผลจากการศึกษาแสดงถึง 1) แผ่นยึดระหว่างคานตรงปลายคาน 2) มุมของสะพาน รวมถึง 3) ประเภทของแรงกระทำ มีส่วนสำคัญมากต่อค่าตัวประกอบการกระจายน้ำหนัก ในขณะที่ค่าความต่อเนื่องของสะพานและแผ่นยึดระหว่างคานตรงกลางคานมีผลเพียงเล็กน้อยเท่านั้น ในกรณีที่สะพานถูกออกแบบโดยใช้ค่าตัวประกอบการกระจายที่ได้จากวิธีไฟ

ในท่ออลิเมนต์ (มีค่ามากกว่าค่าที่เสนอโดยมาตรฐานออกแบบ) พบว่าค่ากำลังของคอนกรีตที่ต้องการสามารถลดลงได้ถึง 6.9 เมกะปาสคาล

ต่อมาในปี ค.ศ. 2002 Mabsout และคณะได้ใช้วิธีไฟในท่ออลิเมนต์เพื่อศึกษาการออกแบบสะพานที่มีช่องทางจราจรสามและสี่ช่องทาง โดยสะพานมีคานที่รองรับเป็นคานเหล็กแบบจำลองสะพานจำนวน 220 สะพานถูกนำมาศึกษาวิเคราะห์โดยโปรแกรม SAP2000 ค่าตัวแปรต่างๆที่ถูกพิจารณาในการศึกษาได้แก่ 1) ความยาวช่วงของสะพาน 2) ระยะห่างของคานที่รองรับเหล็ก 3) จำนวนของช่วงสะพาน 4) น้ำหนักบรรทุกที่ใช้ในการออกแบบ และ 5) ตำแหน่งของน้ำหนักบรรทุก ซึ่งผลจากการวิเคราะห์แบบจำลองสะพานถูกนำมาใช้ในการคำนวณค่าตัวประกอบการกระจายน้ำหนัก ผลจากการวิเคราะห์ด้วยวิธีไฟในท่ออลิเมนต์ได้แสดงให้เห็นว่าค่าตัวประกอบการกระจายน้ำหนักลดลงประมาณ 10 % - 25 % (เปรียบเทียบกับตัวประกอบการกระจายน้ำหนักตามมาตรฐาน AAHSTO)

ในปีถัดมา (ค.ศ.2003) Nowak และคณะได้ศึกษาเกี่ยวกับตัวประกอบการกระจายน้ำหนักสำหรับสะพานเหล็กหลายช่วง การศึกษานี้ได้นำเสนอผลการวิเคราะห์และการทดสอบในสนาม โดยมีวัตถุประสงค์หลักเพื่อคำนวณหาตัวประกอบการกระจายน้ำหนักลงสู่คานที่รองรับสำหรับคานตัวใน (Interior Girder) รวมถึงตัวประกอบการกระจายน้ำหนักบรรทุกทางพลศาสตร์สะพานเหล็กจำนวน 6 สะพานถูกทำการทดสอบสนามพบว่าค่าเครียดที่วัดได้น้อยกว่าที่ค่าที่คาดไว้ซึ่งเนื่องมาจากที่รองรับของสะพานบางส่วนถูกยึดติดอยู่กับที่สำหรับการวิเคราะห์ด้วยวิธีไฟในท่ออลิเมนต์ ผลที่ได้ถูกนำไปเปรียบเทียบกับผลจากการทดสอบในสนาม การทดสอบในสนามแสดงถึงค่าตัวประกอบของน้ำหนักบรรทุกทางพลศาสตร์สำหรับสะพานที่มีช่วงความยาวหลายช่วง ต่อเนื่องกันจะมีค่าน้อยกว่ากรณีของสะพานที่มีช่วงเดียว นอกจากนี้ค่าการกระจายไมemenต์สำหรับสะพานที่มีความยาวช่วงต่อเนื่องมีความแตกต่างกันเมื่อเปรียบเทียบกับสะพานช่วงเดียว โดยทั่วไปค่าการกระจายไมemenต์มีค่าค่อนข้างสม่ำเสมอสำหรับสะพานที่มีความยาวช่วงต่อเนื่อง

ในปีเดียวกัน (ค.ศ.2003) Luo ได้ทำการศึกษาเพื่อคำนวณหาการกระจายของน้ำหนักบรรทุกโดยทำการทดสอบสะพานช่วงเดียวยาว 12.70 เมตร ที่มีชื่อว่า Boyer ในประเทศสาธารณรัฐเชก ซึ่งมีแผ่นพื้นสะพานเป็นพอลิเมอร์เสริมกำลังด้วยเส้นใยมีชื่อทางการค้าว่า Duraspan™ Deck Panel MMC และมีคานเหล็กขนาด W24x104 จำนวน 5 ตัว รองรับโดยมีระยะห่างระหว่างคานแต่ละตัวเท่ากับ 1.754 เมตร ทำการทดสอบด้วยรถบรรทุกคันเดียว (One Lane Loaded) และผลจากการวิเคราะห์พบว่าค่าตัวประกอบการกระจายน้ำหนัก (LDF) ที่มากที่สุดซึ่งมีค่าเท่ากับ 0.420

ต่อมาในปี ก.ศ.2004 Turner และคณะ ได้ดำเนินการทดสอบและศึกษาวิเคราะห์ สะพานช่วงเดียวกว้าง 11.30 เมตร และยาว 18.30 เมตร ซึ่งว่า S655 Bridge ตั้งอยู่ทางตอนใต้ของมลรัฐแคลิฟอร์เนีย สหรัฐอเมริกา มีแผ่นพื้นสะพานเป็นพอลิเมอร์เสริมกำลังด้วยเส้นไนอน้ำตัวครุปส์ เหลี่ยมคงที่ (Trapezoidal Deck) โดยมีค่ารองรับเหล็กขนาด W36x150 จำนวน 5 ตัว แต่ละตัว มีระยะห่างเท่ากัน 2.440 เมตร และทำการทดสอบภายใต้มาตรฐาน AASHTO HS 25-44 ด้วยแรงกระทำจากการบรรทุกกระทำหนึ่งช่องทางจราจร (One Lane Loaded) และผลจากการวิเคราะห์พบว่า ค่าตัวประกอบการกระจายน้ำหนักซึ่งมีค่ามากที่สุดเท่ากับ 0.440

ในปี ก.ศ. 2005 Moses ได้ทำการศึกษาตัวประกอบการกระจายน้ำหนักของระบบ แผ่นพื้นสะพานพอลิเมอร์เสริมกำลังด้วยเส้นไนเก็ว ซึ่งในการทดสอบในสนาม ได้ทำการทดสอบ การรับแรงของค่าน้ำหนักเหล็กจำนวน 3 สะพาน ผลจากการศึกษาแสดงให้เห็นว่าการออกแบบที่ ถูกต้องและเหมาะสมสามารถต้องสมมติว่าระบบแผ่นพื้นและคานที่รองรับไม่เกิดพฤติกรรมรับแรงร่วมกันในการหาค่าการกระจายของน้ำหนัก นอกเหนือไปจากนี้เมื่อทำการแทนที่แผ่นพื้นคอนกรีตด้วยแผ่นพื้นสะพานพอลิเมอร์เสริมกำลังด้วยเส้นไนเก็วที่มีน้ำหนักเบากว่าจะส่งผลให้ค่าความเด่นในคานที่รองรับเหล็กมีค่าต่ำกว่าถึงแม้ว่าจะทำให้ค่าความกว้างประสิทธิ์ (Effective Flange Width) มีค่าลดลงและตัวประกอบการกระจายของน้ำหนักมีค่าเพิ่มขึ้น

ในปีเดียวกัน (ก.ศ.2005) Chung และคณะ ได้ทำการศึกษาตัวประกอบการกระจายน้ำหนักสำหรับสะพานคอนกรีตอัดแรง ในการศึกษา ได้ดัดแปลงสมการตัวประกอบการกระจายน้ำหนักเดิมของ AASHTO โดย สมการที่ถูกดัดแปลงนี้ถูกประยุกต์ใช้กับสะพานคอนกรีตอัดแรง จำนวนทั้งหมด 17 สะพานและเปรียบเทียบกับผลที่ได้โดยการวิเคราะห์ด้วยวิธีไฟฟ้าในท่ออลิเมนต์ พบว่าสมการดัดแปลงดังกล่าวให้ค่าที่มีความปลอดภัยที่สูงเมื่อเปรียบเทียบกับสมการที่ได้มาจาก การวิเคราะห์โดยไฟฟ้าในท่ออลิเมนต์ที่ผ่านมา

ต่อมาในปี ก.ศ.2006 Phuvoravan ได้ทำการศึกษาตัวประกอบการกระจายน้ำหนัก บรรทุกของสะพานเหล็ก โดยพบว่าสมการตัวประกอบการกระจายน้ำหนักประเภทตัวประกอบ กำลังต้านทาน (LRFD) ได้รวมเอาค่าพารามิเตอร์ของสติฟเนสในทิศทางตามแนวยาว (Longitudinal Stiffness Parameter) ซึ่งไม่จำเป็นต้องใช้ในการออกแบบในเบื้องต้น ในการศึกษานี้ สมการอย่างง่าย ถูกนำเสนอโดยยังคงอยู่ในรูปแบบคล้ายคลึงสมการดังเดิม โดยในการศึกษานี้ สะพานทั้งหมด จำนวน 43 สะพาน ได้ถูกทำการวิเคราะห์โดยใช้วิธีไฟฟ้าในท่ออลิเมนต์ ผลที่ได้แสดงถึงค่าตัวประกอบการกระจายน้ำหนักบรรทุกจากสมการที่นำเสนอ มีค่าค่อนข้างจะปลอดภัยเมื่อเปรียบเทียบ กับการวิเคราะห์โดยวิธีไฟฟ้าในท่ออลิเมนต์อีกด้วย ใช้ได้ครอบคลุมกว่าค่าที่ได้จากสมการของ AASHTO

ภายในช่วงเวลาเดียวกัน (ค.ศ. 2006) Zhang และคณะ ได้ทำการศึกษาเพื่อคำนวณการกระจายของน้ำหนักบรรทุกและผลตอบสนองของสะพานที่มีประเภทแผ่นพื้นโพลิเมอร์เสริมกำลังด้วยเส้นใย ซึ่ง แบบจำลองของสะพานมีทั้งประเภทคานรองรับเป็นเหล็กและคอกอนกรีต ในงานวิจัยแบบจำลองถูกสร้างขึ้น โดยพิจารณาผลของพฤติกรรมร่วมระหว่างแผ่นพื้นกับคานรองรับทั้งในลักษณะ มีพฤติกรรมร่วมโดยสมบูรณ์และมีพฤติกรรมร่วมเพียงบางส่วน ซึ่งผลที่ได้ถูกนำมาเปรียบเทียบกับสะพานที่มีแผ่นเป็นคอกอนกรีตเสริมเหล็กดังเดิม

ในปีเดียวกัน (ค.ศ.2006) Salim และคณะ ได้ทำการทำการศึกษาตัวประกอบการกระจายน้ำหนักของระบบแผ่นพื้นสะพานโพลิเมอร์เสริมกำลังด้วยเส้นใย โดยทำการทดสอบสะพานที่มีแผ่นพื้นสะพานเป็นพอลิเมอร์เสริมกำลังด้วยเส้นใยประเทหนาัด Honeycomb ซึ่งมีคานที่รองรับเหล็ก W24x55 จำนวน 14 ตัว และมีระยะห่างระหว่างคานที่รองรับเหล็กแต่ละตัวเท่ากับ 0.686 เมตร โดยใช้น้ำหนักในการทดสอบแบบรถคันเดียว (One Lane Loaded) และผลจากการวิเคราะห์หาค่าตัวประกอบการกระจายน้ำหนักซึ่งมีค่ามากที่สุดซึ่งเท่ากับ 0.234

ต่อมาภายในช่วงเวลาเดียวกัน (ค.ศ.2006) Zhang และคณะ ได้ทำการทดสอบสะพาน (Crawford Country Bridge 301) และวิเคราะห์ด้วยไฟไนท์อิเลิมентаที่มีหน้าตัดของแผ่นพื้นสะพานโพลิเมอร์เสริมกำลังด้วยเส้นใยประเทห Honeycomb โดยมีคานรองรับเหล็กขนาด W21x68 จำนวน 14 ตัว แต่ละตัวมีระยะห่างเท่ากับ 0.686 เมตร และทำการทดสอบภายใต้มาตรฐาน AASHTO HS 20-44 โดยผลการวิเคราะห์ค่าตัวประกอบการกระจายน้ำหนัก แสดงในตารางที่ 2.1

ตารางที่ 2.1 ค่าตัวประกอบการกระจายน้ำหนัก (LDF) ของ Zhang และคณะ (2006)

คานที่รองรับ	ค่าตัวประกอบการกระจายน้ำหนัก (LDF)		
	การทดสอบจริง	ไฟไนท์อิเลิมентаที่มีพฤติกรรมประกอบ	
		อย่างสมบูรณ์	บางส่วน
คานตัวใน	0.226	0.184	0.180
คานตัวนอก	0.141	0.167	0.170

Zhang และคณะ ยังได้ทำการศึกษาแบบพารามิตริก (Parametric Study) ทั้งกรณีที่แบบจำลองมีพฤติกรรมประกอบอย่างสมบูรณ์ (Fully Composite) และกรณีที่แบบจำลองมีพฤติกรรมประกอบบางส่วน (Partial Composite) โดยวิธีไฟไนท์อิเลิมента ซึ่งแบบจำลองของสะพานมีแผ่นพื้นโพลิเมอร์เสริมกำลังด้วยเส้นใยรองรับด้วยคานเหล็กขนาด W36x232 จำนวน 5 ตัว มีระยะห่างระหว่างคานแต่ละตัวเท่ากับ 2.29 เมตร และมีแรงกระทำจากการตอบรับทุกหนึ่งกัน สอง

คัน และสามคัน เพื่อวิเคราะห์หาค่าตัวประกอบการกระจายน้ำหนักที่เกิดขึ้น โดยผลการวิเคราะห์ค่าตัวประกอบการกระจายน้ำหนัก แสดงในตารางที่ 2.2

ตารางที่ 2.2 ค่าตัวประกอบการกระจายน้ำหนัก (LDF) ของ Zhang และคณะ (2006) จากการวิเคราะห์ด้วยไฟไนท์อิเลิมเม้นต์

จำนวน รุ่นบรรทุก	ตำแหน่ง งานที่รองรับ	ค่าตัวประกอบการกระจายน้ำหนัก (LDF) ของแบบจำลองมีพุติกรรมประกอบ	
		อย่างสมบูรณ์	บางส่วน
รถ 1 คัน	งานตัวใน	0.561	0.605
	งานตัวนอก	0.408	0.428
รถ 2 คัน	งานตัวใน	0.604	0.594
	งานตัวนอก	0.607	0.649
รถ 3 คัน	งานตัวใน	0.530	0.500
	งานตัวนอก	0.583	0.600

ในปีเดียวกัน (ค.ศ. 2006) Moses และคณะ ได้ทำการทำการศึกษาตัวประกอบการกระจายน้ำหนักของระบบแผ่นพื้นสะพานโพลิเมอร์เสริมกำลังด้วยเส้นใย โดยทำการทดสอบและวิเคราะห์สะพานที่มีแผ่นพื้นสะพานเป็นโพลิเมอร์เสริมกำลังด้วยเส้นใย (GFRP) หน้าตัดรูปสี่เหลี่ยมคงที่ (Trapezoidal Deck) ซึ่งถูกรองรับด้วยคานเหล็ก จำนวน 3 สะพานด้วยกัน โดยมีรายละเอียดของสะพานแต่ละตัวพร้อมทั้งค่าตัวประกอบการกระจายน้ำหนักที่วิเคราะห์ได้จากการทดสอบ ดังแสดงในตารางที่ 2.3

ตารางที่ 2.3 ค่าตัวประกอบการกระจายน้ำหนัก (LDF) ของ Moses และคณะ 2006

สะพาน	ความยาว (เมตร)	คานเหล็ก	ระยะห่าง (เมตร)	ค่าเฉลี่ย LDF
Fairground Road Bridge	20.70	4-W36x260	2.847	0.664
Boyer Bridge	12.70	5-W24x104	1.754	0.520
SC S655 Bridge	17.50	5-W36x150	2.440	0.821

ในปี ก.ศ.2008 Liu และคณะ ได้ทำการทดสอบแผ่นพื้นโพลิเมอร์เสริมกำลังด้วย เส้นใย (Strongwell) เพื่อจะนำไปก่อสร้างสะพาน Haw-Thorne St. Bridge โดยทำการทดสอบในห้องปฏิบัติการซึ่งแผ่นพื้นมีขนาดกว้าง 6.71 เมตร ยาว 9.45 เมตร (โดยความยาวแบ่งเป็นสองช่วง คือ 4.88 เมตร และ 4.57 เมตร) รองรับด้วยคานเหล็กขนาด W14x34 จำนวน 6 ตัว ซึ่งมีระยะห่างระหว่างคานเหล็กแต่ละตัวเท่ากับ 1.219 เมตร และยังได้ดำเนินการวิเคราะห์แบบพารามิตริกด้วยไฟไนท์อิลิเมนต์ซึ่งแบบจำลองที่สร้างขึ้นมา มีจำนวนทั้งหมด 60 แบบจำลองที่แตกต่างกัน และมีความยาวของแบบจำลองอยู่ระหว่าง 4.57 เมตร ถึง 15.24 เมตร และมีระยะห่างของคานเหล็กที่รองรับอยู่ระหว่าง 1.22 เมตร ถึง 2.44 เมตร โดยแบบจำลองถูกวิเคราะห์แบบคานอย่างง่ายภายใต้แรงกระทำระบบ HL-93 ซึ่งผลที่ได้ถูกนำมาวิเคราะห์หาค่าตัวประกอบการกระจายน้ำหนักดังผลที่แสดงในตารางที่ 2.4 และตารางที่ 2.5

ตารางที่ 2.4 ค่าตัวประกอบการกระจายน้ำหนัก (LDF) ของ Liu และคณะ 2008 (ข้อมูลจากการทดสอบจริงในห้องปฏิบัติการ โดยมีระยะห่างระหว่างคานที่รองรับเท่ากับ 1.219 เมตร)

จำนวนช่องจราจร	ค่าตัวประกอบการกระจายน้ำหนัก (LDF) ที่ได้จากห้องปฏิบัติการ	
	คานตัวนอก (Exterior)	คานตัวใน (Interior)
1 ช่องจราจร	0.27	0.47
2 ช่องจราจร	0.44	0.47

ตารางที่ 2.5 ค่าตัวประกอบการกระจายน้ำหนัก (LDF) ของ Liu และคณะ 2008 จากการวิเคราะห์ด้วยไฟไนท์อิลิเมนต์

แบบจำลอง	ความยาว (เมตร)	คานเหล็ก	ระยะห่าง (เมตร)	ค่าเฉลี่ย LDF
1	9.1440	W24x55	1.2192	0.46
2	9.1440	W24x99	1.8288	0.65
3	18.2880	W24x76	1.2192	0.43
4	18.2880	W36x103	1.8288	0.64

2.4 สรุป (Conclusion)

การศึกษาบทความการวิจัยข้างต้นได้แสดงให้เห็นถึงพัฒนาการในการพัฒนาระบบแผ่นพื้นพอลิเมอร์เสริมกำลังด้วยเส้นไยรวมถึงรูปแบบที่ใช้ในการทดสอบและวิเคราะห์แผ่นพื้นก่อนที่จะนำผลที่ได้ไปใช้ในการออกแบบต่อไป ซึ่งพบว่าการศึกษามี 2 ลักษณะหลักๆ คือ 1) การทดสอบในห้องปฏิบัติการ และ 2) การทดสอบภาคสนาม โดยผลที่ได้จะถูกนำมาวิเคราะห์ผลโดยวิธีไฟฟ้าโนลิเมนต์เพื่อวิเคราะห์หาค่าตัวประกอบการกระจายน้ำหนักและทำการเปรียบเทียบผลที่ได้ นอกจากนี้พบว่าค่าตัวประกอบการกระจายน้ำหนักที่ได้จากการศึกษามีความแตกต่างกันขึ้นอยู่กับลักษณะทางกายภาพของสะพานและรูปแบบของแผ่นพื้นพอลิเมอร์เสริมกำลังด้วยเส้นไยกล่าวได้ว่าค่าตัวประกอบการกระจายน้ำหนักที่วิเคราะห์ได้นั้นขึ้นอยู่กับแรงกระทำจากรถบรรทุก (1 คัน, 2 คัน, 3 คัน หรือมากกว่าตามจำนวนของช่องจราจร), ความกว้างและความยาวของสะพาน, ประเภทของแผ่นพื้นสะพานและค่านที่รองรับ รวมถึงระยะห่างระหว่างคานที่รองรับ เป็นต้น

บทที่ 3 (Chapter 3) แผ่นพื้นสะพานพอลิเมอร์เสริมกำลังด้วยเส้นใย (Fiber Reinforced Polymer Bridge Deck)

3.1 วัสดุประกอบพอลิเมอร์เสริมกำลังด้วยเส้นใย (FRP Composite Materials)

เป็นเวลามากกว่าสามสิบปีที่วัสดุประกอบพอลิเมอร์เสริมกำลังด้วยเส้นใย (Fiber Reinforced Polymer Composites) ถูกพัฒนาขึ้นและใช้งานอย่างกว้างขวางในอุตสาหกรรมเกี่ยวกับอากาศยาน โดยวัสดุประกอบพอลิเมอร์เสริมกำลังด้วยเส้นใยเป็นวัสดุซึ่งมีวัสดุหลักที่แตกต่างกันสองส่วนประกอบเข้าด้วยกัน คือ ส่วนที่ 1) เส้นใยประเภทต่างๆ ทำหน้าที่เป็นส่วนรับกำลังที่เกิดขึ้นเป็นส่วนใหญ่ ในขณะที่ส่วนที่ 2) พอลิเมอร์เรซินทำหน้าที่เป็นเคมทริกซ์และช่วยเพิ่มเสถียรภาพของเส้นใย

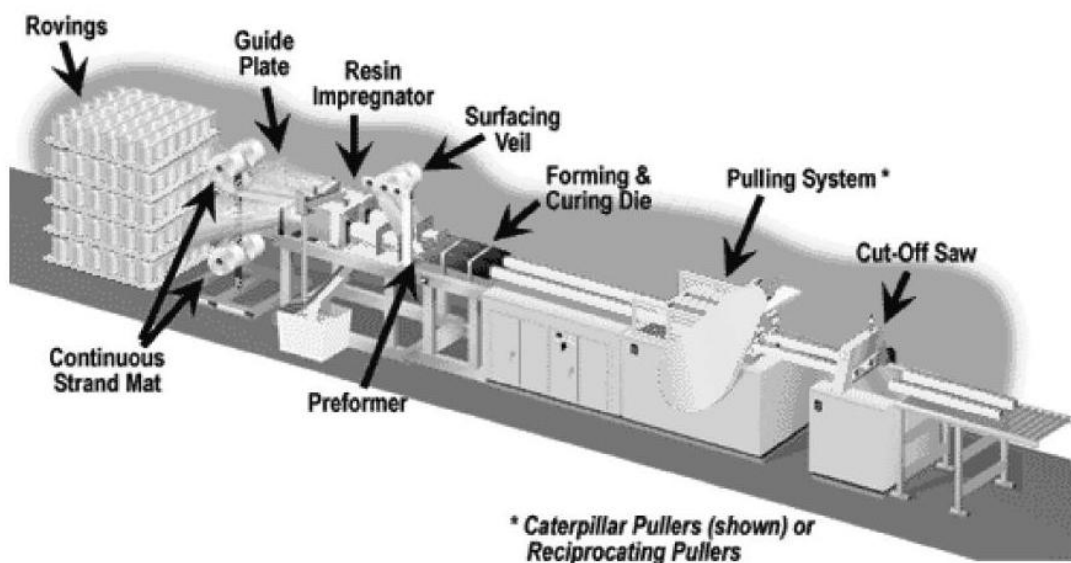
นอกจากนี้วัสดุประกอบพอลิเมอร์เสริมกำลังด้วยเส้นใยยังสามารถถูกนิยามว่าคือพอลิเมอร์ซึ่งมีเส้นใยถูกเสริมเข้าไปในทิศทางเดียว (Uni-direction) หรือในหลายทิศทาง (Multi-direction) โดยทั่วไปแล้ววัสดุประกอบพอลิเมอร์เสริมกำลังด้วยเส้นใยถูกจำแนกกว่าเป็นวัสดุประเภทแอนิโซotropic (anisotropic) โดยที่คุณสมบัติเชิงกลขึ้นอยู่กับปริมาณและทิศทางการจัดเรียงตัวของเส้นใยเสริมกำลัง ในงานทางวิศวกรรมโยธาและการประยุกต์ใช้งานด้านโครงสร้างพื้นฐานนั้น วัสดุประกอบพอลิเมอร์เสริมกำลังด้วยเส้นใยประเภทที่ผลิตขึ้นโดยใช้เส้นใยแก้วและคาร์บอนถูกใช้อย่างทั่วไป ในขณะที่โพลีเอสเตอร์ (Polyester) ไวนิลเอสเตอร์ (Vinyl Ester) อีพ็อกซี่ (Epoxy) ถูกใช้สำหรับเมทริก สำหรับตัวอย่างการใช้งาน เช่น เส้นใยแก้วประเภทอี (E-Glass Fiber) ถูกนำมาใช้เป็นวัสดุเสริมกำลังสำหรับพื้นสะพานพอลิเมอร์เสริมกำลังด้วยเส้นใยเนื่องจากเส้นใยแก้วมีราคาที่ต่ำกว่าเส้นใยประเภทอื่นๆ ในขณะที่เมทริก (พอลิเมอร์) มักจะเลือกใช้ตามสภาพแวดล้อมที่จะต้องใช้งานในสถานะ ซึ่งส่วนผสมของไวนิลเอสเตอร์และยูเรธาน (Urethane) ถูกแนะนำว่าเป็นพอลิเมอร์ที่มีความเหมาะสมในการด้านต่อสภาพแวดล้อมที่ดีประเภทหนึ่ง

วัสดุประกอบพอลิเมอร์เสริมกำลังด้วยเส้นใยมีข้อดีเหนือกว่าวัสดุวิศวกรรมดั้งเดิมหลายประการดังนี้ ได้แก่ 1) โดยย่อตัวโดยย่อต่อไปนี้คือ เป็นวัสดุซึ่งปราศจากการกัดกร่อน (Non-corrosiveness) มีอัตราส่วนสติฟเนสต่อน้ำหนักสูงกว่า (High Stiffness to Weight Ratio) มีค่าใช้จ่ายต่อลดอายุการใช้งานที่ต่ำกว่า (Low Life - Cycle Cost) ด้านทานการล้าได้ดี (Fatigue Resistance) และสามารถผลิตเป็นชิ้นส่วนสำเร็จรูปอย่างได้ (Modularization) จากประโยชน์ต่างๆ เหล่านี้ทำให้วิศวกรสามารถออกแบบโครงสร้างซึ่งมีประสิทธิภาพสูงด้วยราคาที่คุ้มค่าต่อการใช้งานยิ่งขึ้น นอกจากนี้การที่น้ำหนักของโครงสร้างโดยรวมลดลงจากการใช้ชิ้นส่วนที่เป็นวัสดุประกอบพอลิเม

อร์เสริมกำลังด้วยเส้นใยทำให้การขนส่งและการติดตั้งสามารถกระทำได้โดยอาศัยเครื่องจักรหนักที่มีขนาดเล็กลงกว่าเดิม

3.2 กระบวนการผลิต (Fabrication)

ชิ้นส่วนพื้นสะพานโพลิเมอร์ (FRP Deck Module) สามารถถูกผลิตขึ้นด้วยทั้งกระบวนการอัตโนมัติหรือโดยการใช้แรงงานร่วมกับอุปกรณ์พื้นฐาน ซึ่งในแต่ละกระบวนการมีข้อดีและข้อด้อยแตกต่างกันไป โดยทั่วไปนั้นคุณสมบัติของชิ้นส่วนพื้นสะพานมักจะขึ้นอยู่กับปัจจัยหลักหลายประการดังต่อไปนี้ 1) ประสิทธิผลและอัตราเร็วของการทำให้ส่วนผสมของวัสดุประกอบอยู่ในรูปแบบที่ต้องการ 2) เปอร์เซ็นต์การบ่มของเรซินหรือโพลิเมอร์ที่ห่อหุ้มเส้นใยนั้นอยู่ และ 3) ปริมาณช่องว่าง (Void) ที่เกิดขึ้นภายในวัสดุประกอบ ดังนั้นจากปัจจัยดังกล่าวข้างต้น เพื่อให้พื้นสะพานโพลิเมอร์ที่ผลิตขึ้นมีคุณสมบัติเชิงกลตามที่ต้องการ กระบวนการผลิตแบบอัตโนมัติจึงถูกนำมาใช้ในการผลิตแผ่นพื้นสะพานเป็นส่วนใหญ่ โดยกระบวนการอัตโนมัติที่เป็นที่นิยมใช้คือ กระบวนการพูลทรูชั่น (Pultrusion) ดังแสดงในรูปที่ 3.1



รูปที่ 3.1 กระบวนการผลิตแบบพูลทรูชั่น (Pultrusion) (Bank 2006)

กระบวนการพูลทรูชั่น (Pultrusion) นี้สามารถผลิตแผ่นพื้นที่มีหน้าตัดอย่างง่าย จนถึงหน้าตัดที่มีความซับซ้อนซึ่งทำให้ลดขั้นตอนในการที่จะต้องประกอบชิ้นส่วนเข้าด้วยกัน เพื่อให้ได้หน้าตัดที่ต้องการ นอกจากนี้ กระบวนการพูลทรูชั่นยังมีข้อดีหลายประการคือ ในด้าน ต้นทุนทำให้มีค่าแรงงานและต้นทุนในกระบวนการผลิตต่ำ มีปริมาณเศษวัสดุเหลือทิ้งน้อย และ อัตราการผลิตอยู่ในอัตราที่สูงเมื่อเปรียบกับวิธีอื่นๆ

อย่างไรก็ตาม ข้อจำกัดบางประการสำหรับกระบวนการผลิตนี้ ซึ่งอาจจะพบได้ โดยทั่วไปคือ บางครั้งในบางบริเวณของชิ้นส่วนอาจจะพบว่ามีส่วนที่มีเรซินอยู่ไม่เพียงพอ ในขณะที่บางส่วนของชิ้นงานอาจจะพบว่าเรซินมีการบ่นตัวไม่สม่ำเสมอเพียงพอ และอาจจะพบปัญหา กีร์วักบอตระความเร็วในการดึงขึ้นรูปของชิ้นส่วนเพื่อให้เกิดปริมาณช่องว่างในชิ้นตัวอย่างให้น้อย ที่สุด ซึ่งปัญหาเกี่ยวกับการที่เรซินและการบ่มไม่เพียงพอในบางส่วนของชิ้นส่วนอาจจะนำไปสู่การ พิบัติของชิ้นส่วนและทำให้ชิ้นส่วนมีคุณสมบัติเชิงกลต่ำกว่าค่าที่ออกแบบไว้

3.3 แผ่นสะพานพอลิเมอร์ในงานวิจัยนี้ (FRP Deck in This Research)

ในการศึกษาวิจัยนี้ ได้ศึกษาเฉพาะแผ่นพื้นประกอบพอลิเมอร์เสริมกำลังด้วยเส้นใยที่ถูกผลิตมาจากการกระบวนการพูลทรูชั่น 2 ประเภท ได้แก่ แผ่นพื้นที่มีช่องทางการถ้าว่า 1) Prodeck4 และ 2) Prodeck8 ดังแสดงในรูปที่ 3.2 โดยแผ่นพื้นประกอบพอลิเมอร์เสริมกำลังด้วยเส้นใยทั้ง 2 ประเภท ได้ถูกผลิตขึ้นมาเพื่อให้สามารถรับน้ำหนักจากการบรรทุกตามมาตรฐาน AASHTO HS25 Truck Loading ได้เมื่อถูกนำไปใช้งานจริงในการก่อสร้างสะพาน ซึ่งแผ่นพื้นประกอบพอลิเมอร์เสริมกำลังด้วยเส้นใยทั้ง 2 ประเภทมีลักษณะทางกายภาพและคุณสมบัติของวัสดุบางประการที่แตกต่างกันซึ่งมีผลต่อกระบวนการวิเคราะห์ทางไฟฟ้าท่อสื่อสาร ดังที่จะกล่าวเป็นส่วนๆ ไป ดังต่อไปนี้



Prodeck4



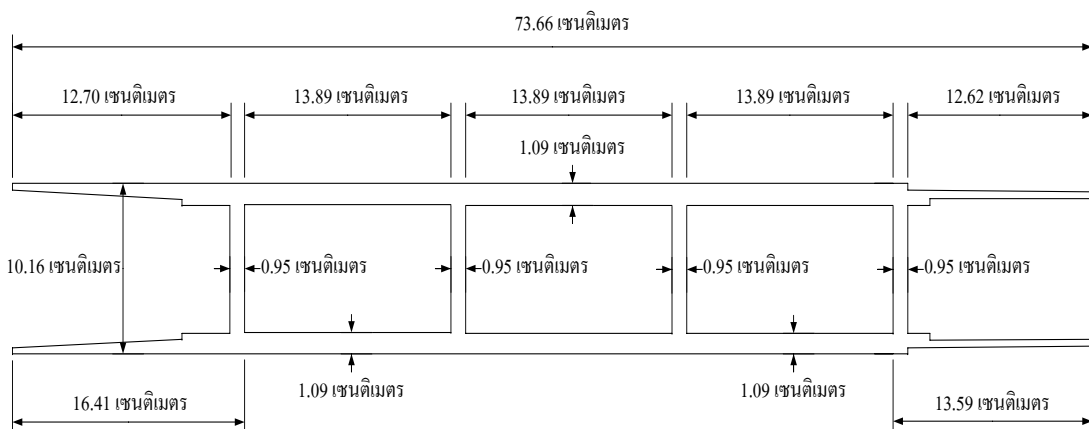
Prodeck8

รูปที่ 3.2 รูปแผ่นพื้นประกอบพอลิเมอร์เสริมกำลังด้วยเส้นใย (FRP Decks)

3.3.1 แผ่นพื้นพอลิเมอร์เสริมกำลังด้วยเส้นใยประภาก Prodeck4

Prodeck4 เป็นแผ่นพื้นสะพานซึ่งมีหน้าตัดประกอบด้วยเซลล์สี่เหลี่ยมจำนวน 3 เซลล์ มีข้อดีของความกว้างและความสูงของหน้าตัดแผ่นพื้นเท่ากับ 73.66 เซนติเมตร และ 10.16 เซนติเมตร ตามลำดับ โดยมีส่วนหลักๆ 2 ส่วนคือ แผ่นตั้ง (Web) ที่มีความหนา 0.95 เซนติเมตร และปีก (Flange) ที่มีความหนา 1.09 เซนติเมตร ดังแสดงในรูปที่ 3.3 ถูกผลิตขึ้นมาจากการกระบวนการ พุ่ลทรูชั้น

ผลิตขึ้นด้วย เส้นใยแก้วถักทอประภากอี (E-glass Fiber) และไวนิลเอสเตอร์เรซิน (Vinyl Ester Resin) มีอัตราส่วนของเส้นใยต่อปริมาตรอยู่ที่ 54.00 % และมีน้ำหนักประมาณ 53.00 กิโลกรัมต่ำตารางเมตร จะมีการเรียงกันของเส้นใยในสามทิศทาง (Triaxial Fabrics) กล่าวคือจะมี การเรียงตัวกันของเส้นใยมาจากการปีก ໄล่ลงมาที่แผ่นตั้งและไปจบที่ปีกอีด้านหนึ่ง โดยมีวัสดุที่ช่วย ในการเชื่อมประสาน (Roving and Mats) ที่มีความยืดหยุ่นตัวที่ดี



รูปที่ 3.3 หน้าตัดแผ่นพื้นประกอบพอลิเมอร์ Prodeck4

Prodeck4 จะมีวัสดุที่เป็นแผ่นบางชั้นกันเป็นชั้นๆ (Laminate) 3 ส่วน ได้แก่ 1) CDBM 3415, 2) DDBM 4015 และ 3) 113 Yield Roving ทั้งสามส่วนมีการเรียงตัวชั้นกันของเส้น ใยในสามทิศทาง คือ CDBM 3415 มีการเรียงตัวกันของเส้นใยในทิศทาง 0° , $+45^\circ$ และ -45° ส่วน DDBM 4015 มีการเรียงตัวกันของเส้นใยในทิศทาง $+45^\circ$, 90° และ -45° และ 113 Yield Roving ทำ หน้าที่ในการเชื่อมประสาน ดังแสดงในตารางที่ 3.1 ซึ่งทั้งสามส่วนมีคุณสมบัติที่แตกต่างกัน โดย คุณสมบัติได้แสดงในตารางที่ 3.2

ตารางที่ 3.1 ทิศทางและโครงสร้างการเรียงตัวของแผ่นบาง สำหรับ Prodeck4

ประเภท แผ่นพื้น	ทิศทางการเรียงตัวของแผ่นบาง	รูปแบบทางสถาปัตยกรรมของเส้นใย ปีกบนและปีกล่าง	แผ่นตั้ง
Prodeck4	<p>CSM -45° 45° 0° -45° 90° 45°</p>	<p>CDBM 3415 Roving DDBM 4015 Roving DDBM 4015 Roving DDBM 4015 Roving CDBM 3415</p>	<p>CDBM 3415 Roving DDBM 4015 Roving DDBM 4015 Roving DDBM 4015 Roving CDBM 3415</p>

CDBM 3415 DDBM 4015

ตารางที่ 3.2 คุณสมบัติและอัตราส่วนของเส้นใยต่อปริมาตร ของแผ่นบางชนิด CDBM 3415 และ DDBM 4015 สำหรับ Prodeck4

ทิศทางเส้นใย	น้ำหนัก		ความหนา		ปริมาตร (L_v)	
	CDBM 3415	DDBM 4015	CDBM 3415	DDBM 4015	CDBM 3415	DDBM 4015
0°	532.663	-	0.508	-	40.116	-
+45°	306.510	387.885	0.252	0.330	23.361	30.677
-45°	306.510	387.885	0.252	0.330	23.361	30.677
90°	-	585.896	-	0.483	-	44.835
Mat (CSM)	457.731	457.731	0.356	0.356	33.036	33.036
รวม	1,603.414	1,819.397	1.366	1.499	119.874	139.225

การเรียงตัวทางสถาปัตยกรรมของเส้นใยและแผ่นลามิเนตทั้งสาม (CDBM, DDBM และ Roving) จะรวมกันเป็นแผ่นตั้งและปีกของแผ่นพื้น โดยแผ่นตั้งมีความหนารวม 0.95 เซนติเมตร จะประกอบไปด้วยลามิเนตช้อนกันเป็นชั้นๆรวมทั้งหมด 8 ชั้น (Layer) โดยรูปแบบการช้อนกันมีลักษณะแบบสมมาตรจากชั้นนอกสุดสองชั้น (ชั้นที่ 1 และชั้นที่ 8) เป็น CDBM “ไปยังชั้นใน (ชั้นที่ 2 ถึงชั้นที่ 4 และชั้นที่ 7 ลงมาถึงชั้นที่ 5) ซึ่งประกอบด้วย Roving และ DDBM เรียงช้อนสลับกัน ส่วนปีกประกอบไปด้วยลามิเนตช้อนกันเป็นชั้นๆรวมทั้งหมด 10 ชั้น (Layer) และมีการเรียงตัวช้อนกันแบบสมมาตรเหมือนกับในกรณีของแผ่นตั้ง มีความหนารวม 1.09 เซนติเมตร นอกจากนี้ลามิเนตในแต่ละชั้นที่ประกอบขึ้นเป็นปีกและแผ่นตั้งของแผ่นพื้นยังมีคุณสมบัติแบบออร์โททรอปิก (Orthotropic) กล่าวคือลามิเนตแต่ละชั้นประกอบด้วยค่าโมดูลัสที่แตกต่างกันและเรียงตัวในทิศทางที่ต่างกัน (ทิศทางในแนวยาว (E_{11}), แนวขวาง (E_{22}) และ ในแนวตั้งฉาก (G_{12})) ดังนั้นการช้อนกันของลามิเนตเป็นชั้นๆในทิศทางที่แตกต่างกัน ทำให้สัดส่วนของลามิเนตที่ใช้ในการวิเคราะห์แต่ละประเภทที่ช้อนกันเป็นชั้นๆเพื่อประกอบเป็นแผ่นตั้งและปีก แสดงในตารางที่ 3.3 และ 3.4 ตามลำดับ

ตารางที่ 3.3 ลามิเนตของแผ่นตั้ง (Web) และคุณสมบัติที่ใช้ในการวิเคราะห์ Prodeck4

ชั้นที่	ประเภท แผ่นบาง	ความหนา (เซนติเมตร)	E_{11} (ksc) $\times 10^6$	E_{22} (ksc) $\times 10^6$	G_{12} (ksc) $\times 10^6$	อัตราส่วน ปีกของ
1	CDBM	0.179	0.384	0.094	0.047	0.27
2	Roving	0.102	0.424	0.104	0.025	0.28
3	DDBM	0.145	0.388	0.095	0.046	0.28
4	Roving	0.051	0.424	0.104	0.025	0.28
5	Roving	0.051	0.424	0.104	0.025	0.28
6	DDBM	0.145	0.388	0.095	0.046	0.28
7	Roving	0.102	0.424	0.104	0.025	0.28
8	CDBM	0.179	0.384	0.094	0.047	0.27
รวม		0.953				

หมายเหตุ E คือ โมดูลัสยืดหยุ่น และ G คือ โมดูลัสการเฉือน มีหน่วยกิโลกรัมต่อตารางเซนติเมตร

ตารางที่ 3.4 ลามิเนตของปีก (Flange) และคุณสมบัติที่ใช้ในการวิเคราะห์ Prodeck4

ชั้นที่	ประเภท แผ่นบาง	ความหนา (เซนติเมตร)	E_{11} (ksc) $\times 10^6$	E_{22} (ksc) $\times 10^6$	G_{12} (ksc) $\times 10^6$	อัตราส่วน ปีวซอง
1	CDBM	0.128	0.384	0.094	0.047	0.27
2	Roving	0.102	0.424	0.104	0.025	0.28
3	DDBM	0.145	0.388	0.095	0.046	0.28
4	Roving	0.102	0.424	0.104	0.025	0.28
5	DDBM	0.072	0.388	0.095	0.046	0.28
6	DDBM	0.072	0.388	0.095	0.046	0.28
7	Roving	0.102	0.424	0.104	0.025	0.28
8	DDBM	0.145	0.388	0.095	0.046	0.28
9	Roving	0.102	0.424	0.104	0.025	0.28
10	CDBM	0.128	0.384	0.094	0.047	0.27
รวม		1.097				

3.3.2 แผ่นพื้นโพลิเมอร์เสริมกำลังด้วยเส้นใยประภेट Prodeck8

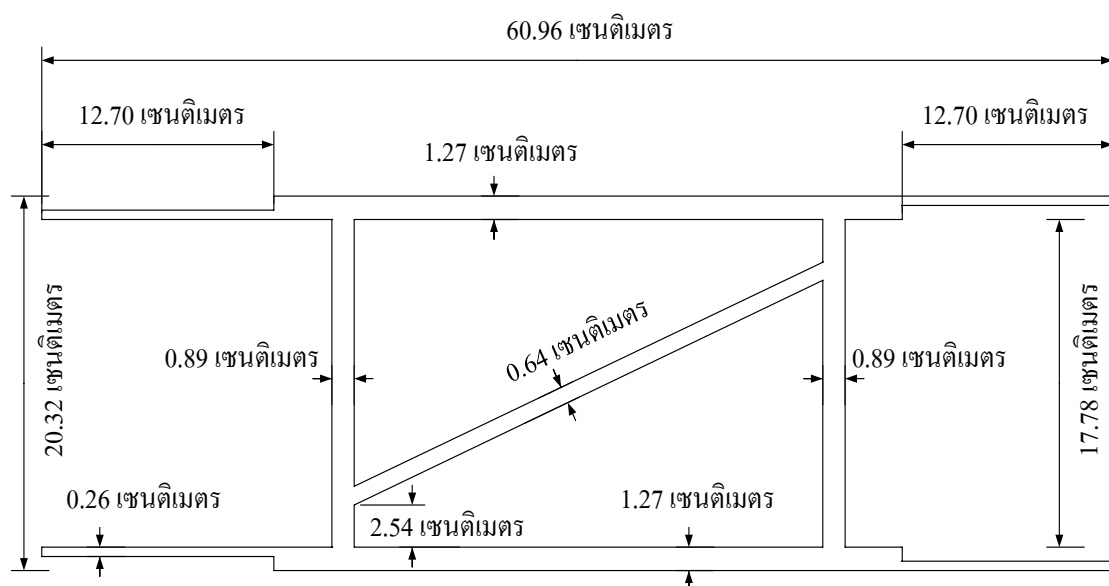
แผ่นพื้นสะพาน Prodeck8 ถูกผลิตขึ้นมาด้วยกระบวนการพูลทรูชั่นเช่นเดียวกัน กับแผ่นพื้นประภेट Prodeck4 มีส่วนประกอบจากเส้นใยแก้วประภेटอีและโพลีเอสเตอร์ (E-glass/Polyester) แผ่นพื้นมีความสูง 20.32 เซนติเมตร และความกว้างเท่ากับ 60.96 เซนติเมตร ประกอบด้วย 2 ส่วนคือ 1) ปีกค้านบนและปีกค้านล่าง (Top and Bottom Flange) มีความหนา 1.27 เซนติเมตร และ 2) แผ่นเสริมความแข็งแรงในแนวเฉียงและแผ่นตั้งทึ้งสองค้าน (Diagonal และ Web) มีความหนา 0.64 เซนติเมตร และ 0.89 เซนติเมตร ตามลำดับ ดังแสดงในรูปที่ 3.4 สำหรับ การวิเคราะห์แผ่นพื้นแบบ Prodeck8 มีคุณสมบัติของวัสดุที่ได้มาจากการบวนการผลิต คือ

$$\text{โมดูลัสยึดหยุ่นของเส้นใย } / E_f 0 = 0.7384 \times 10^6 \text{ กิโลกรัมต่อตารางเซนติเมตร}$$

$$\text{โมดูลัสยึดหยุ่นของเมทريكซ์ } / E_m 0 = 0.3446 \times 10^5 \text{ กิโลกรัมต่อตารางเซนติเมตร}$$

$$\text{โมดูลัสการเคลื่อนของเส้นใย } / G_f 0 = 0.2940 \times 10^6 \text{ กิโลกรัมต่อตารางเซนติเมตร}$$

$$\text{โมดูลัสการเคลื่อนของเมท릭ซ์ } / G_m 0 = 0.1667 \times 10^6 \text{ กิโลกรัมต่อตารางเซนติเมตร}$$



รูปที่ 3.4 หน้าตัดของแผ่นพื้น Prodeck8 ที่นำมาใช้ในการสร้างแบบจำลองไฟไนท์อิลิเมนต์

สำหรับ Prodeck8 ประกอบไปด้วยแผ่นบาง laminate 3 ชั้นโดยมีการเรียงตัวทางสถาปัตยกรรมกันใน 3 ทิศทางด้วยกัน (0° และ $\pm 45^\circ$) ดังแสดงในตารางที่ 3.5 โดยทั้งสามส่วนคือ 1) CDB 400, 2) CDBM 3415 พร้อมคุณสมบัติดังแสดงในตารางที่ 3.6 และ 3) 113 Yield Roving ซึ่งทำหน้าที่เข้มประสานการประกอบกันของแผ่น laminate เป็นส่วนต่างๆ ของ Prodeck8 ได้แก่ ปีกบนและปีกล่าง ประกอบด้วยจำนวนชั้nlaminate 12 ชั้น มีความหนารวมเท่ากับ 1.27 เซนติเมตร, แผ่นด้านล่างประกอบด้วยจำนวนชั้nlaminate 11 ชั้น มีความหนารวมเท่ากับ 0.89 เซนติเมตร และแผ่นเฉียง มีจำนวนชั้nlaminate เท่ากับ 6 ชั้น มีความหนารวมเท่ากับ 0.64 เซนติเมตร โดย laminate แต่ละชั้นที่มาประกอบเป็นแผ่นตั้ง, ปีกบน, ปีกล่าง และแผ่นเฉียง ของแผ่นพื้น Prodeck8 มีคุณสมบัติเฉพาะแบบออร์โทโทรอปิก (Orthotropic) เช่นเดียวกับกรณีแผ่นพื้น Prodeck4 คือ laminate แต่ละชั้น มีความหนาเฉพาะตัว และมีค่าโมดูลัสในทิศทางที่แตกต่างกัน (E_{11} , E_{22} และ G_{12}) เมื่อมาซ่อนกันในทิศทางที่แตกต่างกันประกอบกับการเชื่อมประสานจากวัสดุที่มีคุณสมบัติแบบออร์โทโทรอปิก เช่นเดียวกัน ทำให้วัสดุประกอบ laminate มีความแข็งแรงมากยิ่งขึ้น ทั้งนี้รูปแบบการเรียงตัวของ laminate และคุณสมบัติของ laminate ที่ใช้ในการวิเคราะห์แต่ละประเภทที่ซ่อนกันเป็นชั้นๆ เพื่อประกอบเป็นแผ่นตั้ง ปีก และแผ่นเฉียง แสดงในตารางที่ 3.7 ถึง 3.9 ตามลำดับ

ตารางที่ 3.5 ทิศทางและโครงสร้างการเรียงตัวของแผ่นบาง สำหรับ Prodeck8

ประเภท แผ่นพื้น	ทิศทางการเรียงตัวของแผ่นบาง	รูปแบบทางสถาปัตยกรรมของเส้นใย	
		ปีกบนและปีกล่าง	แผ่นตั้ง
Prodeck8			

ตารางที่ 3.6 คุณสมบัติและอัตราส่วนของเส้นไขต่อปริมาตร ของแผ่นบางชนิด CDBM 3415 และ CDB 400 สำหรับ Prodeck8

ทิศทาง เส้นไข	น้ำหนัก/พื้นที่		ความหนา		น้ำหนัก (W_f)		ปริมาตร (L_v)	
	(กรัม/ตารางเมตร)	(มิลลิเมตร)	(มิลลิเมตร)	(กิโลกรัม)	(มิลลิเมตร ³)	$\times 10^3$		
CDB	CDBM	CDB	CDBM	CDB	CDBM	CDB	CDBM	
400	3415	400	3415	400	3415	400	3415	
0°	562.161	532.663	0.495	0.467	0.052	0.050	46.048	43.426
+45°	413.314	306.510	0.366	0.269	0.039	0.029	33.921	25.072
-45°	413.314	306.510	0.366	0.269	0.039	0.029	33.921	25.072
(CFM)	-	457.731	-	0.404	-	0.043	-	37.526
รวม	1,388.789	1,603.754	1.227	1.410	0.129	0.149	113.890	130.933

ตารางที่ 3.7 ค่ามิเนตของแผ่นตั้ง (Web) และคุณสมบัติที่ใช้ในการวิเคราะห์ Prodeck8

ชั้นที่	ประเภท แผ่นบาง	ความหนา (เซนติเมตร)	E_{11} (ksc) $\times 10^6$	E_{22} (ksc) $\times 10^6$	G_{12} (ksc) $\times 10^6$	อัตราส่วน ปัวซอง
1	CDBM	0.141	0.338	0.058	0.024	0.26
2	Roving	0.054	0.345	0.060	0.024	0.26
3	CDB	0.042	0.061	0.036	0.295	0.26
4	CDB	0.042	0.061	0.036	0.295	0.26
5	CDB	0.042	0.061	0.036	0.295	0.26
6	CDB	0.042	0.061	0.036	0.295	0.26
7	Roving	0.054	0.345	0.060	0.024	0.26
8	CDBM	0.141	0.338	0.058	0.024	0.26
9	CDBM	0.141	0.338	0.058	0.024	0.26
10	Roving	0.054	0.345	0.060	0.024	0.26
11	CDBM	0.141	0.338	0.058	0.024	0.26
รวม		0.893				

ตารางที่ 3.8 ลามิเนตของปีก (Flange) และคุณสมบัติที่ใช้ในการวิเคราะห์ Prodeck8

ชั้นที่	ประเภท แผ่นบาง	ความหนา (เซนติเมตร)	E_{11} (ksc) $\times 10^6$	E_{22} (ksc) $\times 10^6$	G_{12} (ksc) $\times 10^6$	อัตราส่วน ปัวซอง
1	CDBM	0.141	0.338	0.058	0.024	0.26
2	Roving	0.054	0.345	0.060	0.024	0.26
3	CDB	0.123	0.061	0.036	0.295	0.26
4	CDB	0.123	0.061	0.036	0.295	0.26
5	Roving	0.054	0.345	0.060	0.024	0.26
6	CDB	0.141	0.061	0.036	0.295	0.26
7	CDB	0.103	0.061	0.036	0.295	0.26
8	Roving	0.054	0.345	0.060	0.024	0.26
9	CDBM	0.141	0.338	0.058	0.024	0.26
10	CDBM	0.141	0.338	0.058	0.024	0.26
11	Roving	0.054	0.345	0.060	0.024	0.26
12	CDBM	0.141	0.338	0.058	0.024	0.26
รวม		1.270				

ตารางที่ 3.9 ลามิเนตของแผ่นเฉียง (Diagonal) และคุณสมบัติที่ใช้ในการวิเคราะห์ Prodeck8

ชั้นที่	ประเภท แผ่นบาง	ความหนา (เซนติเมตร)	E_{11} (ksc) $\times 10^6$	E_{22} (ksc) $\times 10^6$	G_{12} (ksc) $\times 10^6$	อัตราส่วน ปัวซอง
1	CDBM	0.141	0.338	0.058	0.024	0.26
2	Roving	0.037	0.345	0.060	0.024	0.26
3	CDBM	0.141	0.338	0.058	0.024	0.26
4	CDBM	0.141	0.338	0.058	0.024	0.26
5	Roving	0.037	0.345	0.060	0.024	0.26
6	CDBM	0.141	0.338	0.058	0.024	0.26
รวม		0.638				

3.4 สรุป (Conclusion)

แผ่นพื้นพอลิเมอร์เสริมกำลังด้วยเส้นใย (Prodeck4 และ Prodeck8) ที่ผลิตด้วยกระบวนการพูลทรูชั่น มีลักษณะการเรียงตัวของแผ่นบาง Laminate ที่คล้ายคลึงกัน คือประกอบด้วย Laminate ที่ซ่อนกันเป็นชั้นๆ มีวัสดุประสานที่มีคุณสมบัติแบบอโทโทรอปิก (Orthotropic) เหมือนกัน โดยมีความแตกต่างกันในส่วนของค่าคุณสมบัติของแผ่นบาง Laminate (ความหนา, E_{11} , E_{22} และ G_{12}) และจำนวนชั้นของแผ่นบาง Laminate ที่ไม่เรียงตัวกัน ซึ่งทำให้วัสดุประกอบ Laminate มีความสามารถในการรับน้ำหนักที่มากกว่าวัสดุวิศวกรรมดั้งเดิม เมื่อเปรียบเทียบในหน่วยน้ำหนักที่เท่ากัน อีกทั้งยังมีน้ำหนักที่เบากว่า และกำลังได้รับการพัฒนาเพื่อมาแทนที่วัสดุวิศวกรรมดั้งเดิม (คอนกรีต, เหล็ก และอัลูминียม) ในอนาคตต่อไป ทั้งนี้รูปแบบในการผลิตแผ่นพื้นพอลิเมอร์เสริมกำลังด้วยเส้นใย หรือวัสดุประกอบพอลิเมอร์ต่างๆ ขึ้นอยู่กับวัตถุประสงค์และการนำไปใช้งาน

บทที่ 4 (Chapter 4)

วิธีการวิจัย

(Research Methodology)

4.1 บทนำ (Introduction)

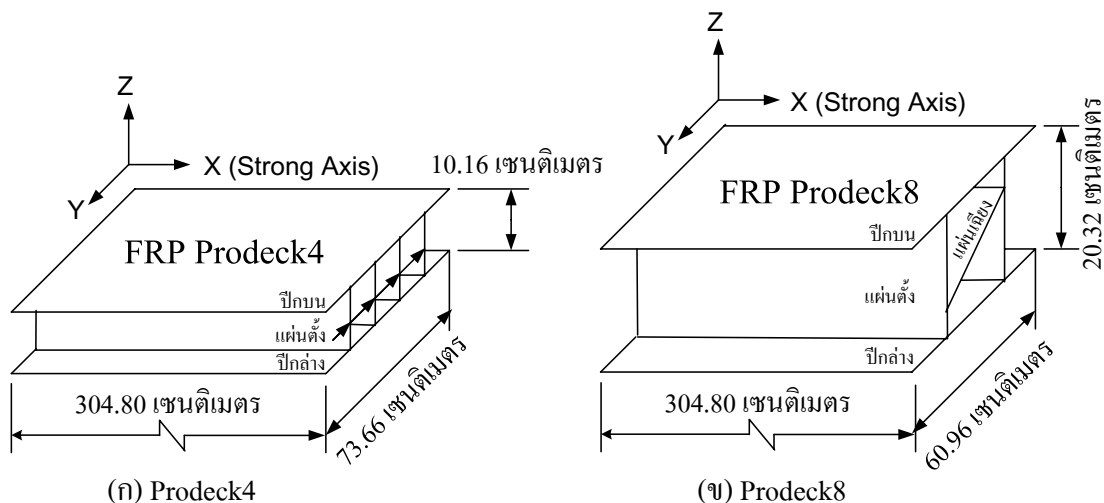
การศึกษาวิจัยนี้เป็นการสร้างแบบจำลองเชิงตัวเลขด้วยวิชีไฟแนล อิลิเมนต์โดยอาศัยโปรแกรมวิเคราะห์เชิงพาณิชย์ ประกอบด้วยส่วนของการสร้างแบบจำลองและส่วนแสดงผลซึ่งดำเนินการผ่านโปรแกรม MSC Patran ในขณะที่ส่วนของการประมวลผลถูกดำเนินการผ่านโปรแกรม MSC Nastran ในงานวิจัยนี้ แบบจำลองขึ้นส่วนของสะพานพอลิเมอร์ทั้งสองชนิดคือ 1) Prodeck4 (Low-Profile Cross Section) และ 2) Prodeck8 (High-Profile Cross Section) ถูกทำการวิเคราะห์สามารถระดับด้วยกัน ได้แก่ 1) ระดับของชิ้นส่วน (Component Level) 2) ระดับที่เป็นระบบ (ระบบ-พื้น) (System Level) เมื่อในห้องปฏิบัติการ และ 3) ระดับแบบจำลองสะพานช่วงเดียวแบบคาน-แผ่นพื้น (Slab-Stringer Bridge) ซึ่งใช้แผ่นพื้นสะพานพอลิเมอร์ทั้งสองชนิดโดยมีคานสะพานเป็นคานเหล็กรูปตัวไอ การวิเคราะห์เป็นไปตามวัตถุประสงค์การศึกษาที่ได้นำเสนอไว้ในหัวข้อที่ 1.2 ของบทที่ 1 ส่วนวิธีการและรายละเอียดต่างๆในการสร้างแบบจำลองตลอดจนการวิเคราะห์จะได้กล่าวถึงต่อไปในบทนี้

4.2 แบบจำลองระดับชิ้นส่วน (Component Level)

แบบจำลองทางโครงสร้างของพื้นสะพานทั้งสองชนิดแต่ละโมดูล (Module) ถูกจำลองโดยการใช้อิลิเมนต์แบบแผ่นบางรูปสี่เหลี่ยม (Square Shell Element) สำหรับชิ้นส่วนพื้นสะพาน Prodeck4 มีจำนวนชั้นของวัสดุประกอบ laminate จำนวน 10 ชั้นสำหรับแผ่นปีกและมีจำนวนชั้นของวัสดุประกอบ laminate จำนวน 8 ชั้นสำหรับแผ่นตั้ง ในขณะที่ชิ้นส่วนพื้นสะพาน Prodeck8 มีจำนวนชั้นของวัสดุประกอบ laminate จำนวน 12 ชั้นสำหรับแผ่นปีกและมีจำนวนชั้นของวัสดุประกอบ laminate จำนวน 11 ชั้น และ 6 ชั้น สำหรับแผ่นตั้งและแผ่นเฉียงตามลำดับ (รายละเอียดคุณสมบัติทางกายภาพและเชิงกลของวัสดุประกอบ laminate แต่ละชั้นกล่าวอยู่ในหัวข้อที่ 3.3 ของบทที่ 3)

แบบจำลองของชิ้นส่วนพื้นสะพาน Prodeck4 มีหน้าตัดขนาด 73.66 เซนติเมตร x 10.16 เซนติเมตร และมีความยาว 304.80 เซนติเมตร คุณสมบัติวัสดุประกอบตามมิเนตแต่ละชั้นถูกจำลองด้วยคุณสมบัติแบบออร์โทโทรอปิก (Orthotropic) โดยที่แกนหลักของคุณสมบัติวัสดุ (Strong Axis) บนอลิเมนต์ของทั้งส่วนปีกและแผ่นตั้งถูกวางอยู่ในทิศทางเดียวกันกับทิศทางตามแกนหลักของชิ้นส่วนแผ่นพื้นสะพาน (แกนตามยาว หรือในทิศทางที่ตั้งฉากกับหน้าตัด) ดังแสดงในรูปที่ 4.1 (ก)

แบบจำลองของชิ้นส่วนพื้นสะพาน Prodeck8 มีหน้าตัดขนาด 60.96 เซนติเมตร x 20.32 เซนติเมตร มีความยาว 304.80 เซนติเมตร และมีความยาวของแผ่นตั้งในแนวทแยงมุม (Diagonal) 304.8 เซนติเมตร คุณสมบัติวัสดุประกอบตามมิเนตแต่ละชั้นถูกจำลองด้วยคุณสมบัติแบบออร์โทโทรอปิก (Orthotropic) โดยที่แกนหลักของคุณสมบัติวัสดุ (Strong Axis) บนอลิเมนต์ ของทั้งส่วนปีกและแผ่นตั้งถูกวางอยู่ในทิศทางเดียวกันกับทิศทางตามแกนหลักของชิ้นส่วนแผ่นพื้นสะพาน (แกนตามยาว หรือในทิศทางที่ตั้งฉากกับหน้าตัด) เช่นเดียวกันกับ Prodeck4 ดังแสดงในรูปที่ 4.1 (ข)



รูปที่ 4.1 ลักษณะทางกายภาพและแกนหลักของคุณสมบัติของแผ่นพื้น FRP

ได้ทำการการวิเคราะห์ผลตอบสนองซึ่งได้แก่ ความเค้น การยืดหยุ่น และ การโก่งตัว (Stress ,Strain and Deflection) ภายใต้ภาระบรรทุกแบบสติติกาสตร์และได้ทำการเปรียบเทียบผลที่ได้จากการวิเคราะห์แบบจำลองกับผลการทดสอบในห้องปฏิบัติการซึ่งดำเนินการโดยนักวิจัยท่านอื่นๆ (Howard 2002, Natarajan 2003, Punyamurthula 2004, Prachasaree 2009 และ Howard 2009) ซึ่งผลจากการเปรียบเทียบดังกล่าวจะนำไปทำการปรับปรุงรูปแบบและวิธีการสร้างแบบจำลองเพื่อให้มีค่าการตอบสนองใกล้เคียงกับผลการทดสอบในห้องปฏิบัติการ ตลอดจนการนำผลการตอบสนอง (ความเค้น การยืดหยุ่น และ การโก่งตัว) ไปใช้เพื่อทำการคำนวณหาค่าคุณสมบัติเชิงกล เช่น ค่าความเกริงต่อการดัดเทียบท่า (Equivalent Flexural Rigidity ,EI) และ ค่าความเกริงต่อการเฉือนเทียบท่า (Equivalent Shear Rigidity ,GA)

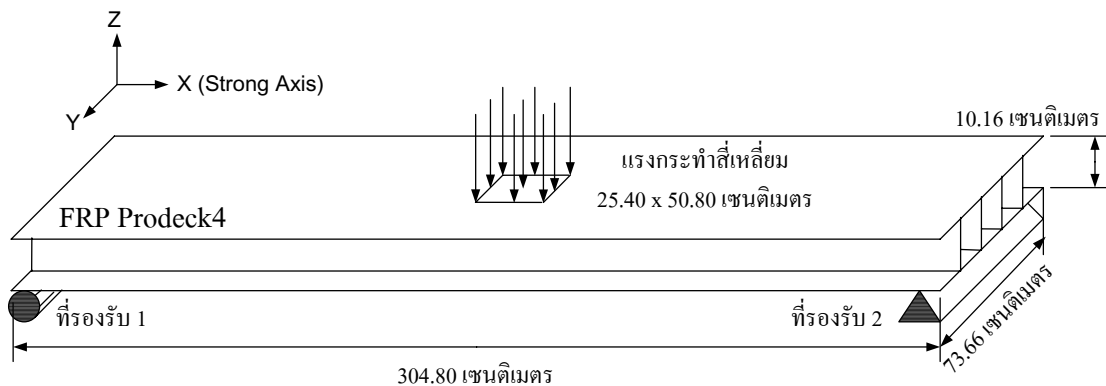
ในการสร้างแบบจำลองระดับชิ้นส่วนนั้นทำการสร้างแบบจำลองใน 2 ลักษณะ สำหรับแผ่นพื้นแต่ละประเภทคือ

- 1) แบบจำลองตามแนวแกนยาว (Longitudinal Component Model)
- 2) แบบจำลองตามแนวแกนขวาง (Transverse Component Model)

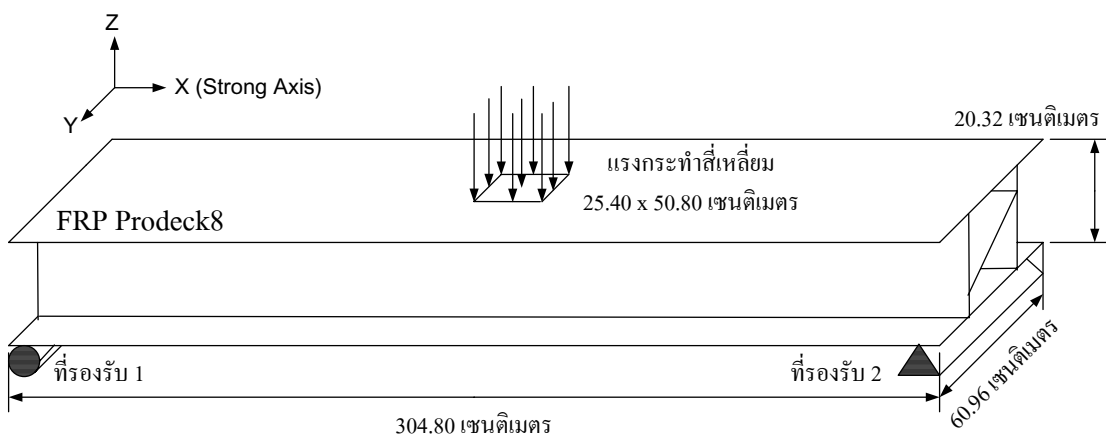
4.2.1 การวิเคราะห์แบบจำลองตามแนวแกนยาว (Analysis of Longitudinal Component Model)

ในการวิเคราะห์แบบจำลองตามแนวแกนแนวยาวทำการวิเคราะห์โดยทำการจำลองพื้นที่ซึ่งเปรียบเสมือนพื้นที่ของล้อรถบรรทุกประเภท HS 25 กระทำบนแบบจำลองในรูปแบบน้ำหนักกระจาบนพื้นที่สี่เหลี่ยม (Patch Load) ขนาด 25.40 เซนติเมตร x 50.80 เซนติเมตร โดยที่แบบจำลองมีที่รองรับเป็นที่รองรับอย่างง่าย (Simple Support) ที่ปลายของชิ้นส่วน ดังแสดงในรูปที่ 4.2 และ 4.3 ในการวิเคราะห์จะเพิ่มน้ำหนักบรรทุกเป็นขั้นๆ จนกระทั่งแบบจำลองเกิดการพิบัติ (Failure) ความสัมพันธ์ระหว่างน้ำหนักบรรทุกและการโก่งตัว ตลอดจน ความเค้นและการยืดหยุ่นที่จุดต่างๆ บนแบบจำลองถูกบันทึกเพื่อนำมาคำนวณหาค่าคุณสมบัติเชิงกลเทียบท่าต่อไป (รายละเอียดการคำนวณแสดงในบทที่ 5) นอกจากนี้ตารางที่ 4.1 แสดงสรุประยุทธ์แบบจำลองที่ใช้ในการวิเคราะห์ดังต่อไปนี้

(หมายเหตุ: เนื่องจากแรงกระทำจากรถบรรทุกตามมาตรฐาน AASHTO HS25 มีรูปแบบเป็นลักษณะแรงกระทำรวม (Point Load) ต่อล้อรถบรรทุก 1 ล้อ ซึ่งในความเป็นจริงแรงที่เกิดจากล้อของรถบรรทุกที่กระทำต่อสะพานมีลักษณะเป็นแรงแพร่กระจากรูปสี่เหลี่ยม (Patch Load) ซึ่งจากการทดสอบในห้องปฏิบัติการ (Howard 2002 และ Punyamurthula 2004) ใช้ขนาดแรงกระทำรูปสี่เหลี่ยมขนาด 25.40 เซนติเมตร x 50.80 เซนติเมตร ซึ่งจะนำมาวิเคราะห์ในส่วนของการวิจัยนี้)



รูปที่ 4.2 ลักษณะแบบจำลองในการวิเคราะห์ตามแนวแกนยาว สำหรับ Prodeck4



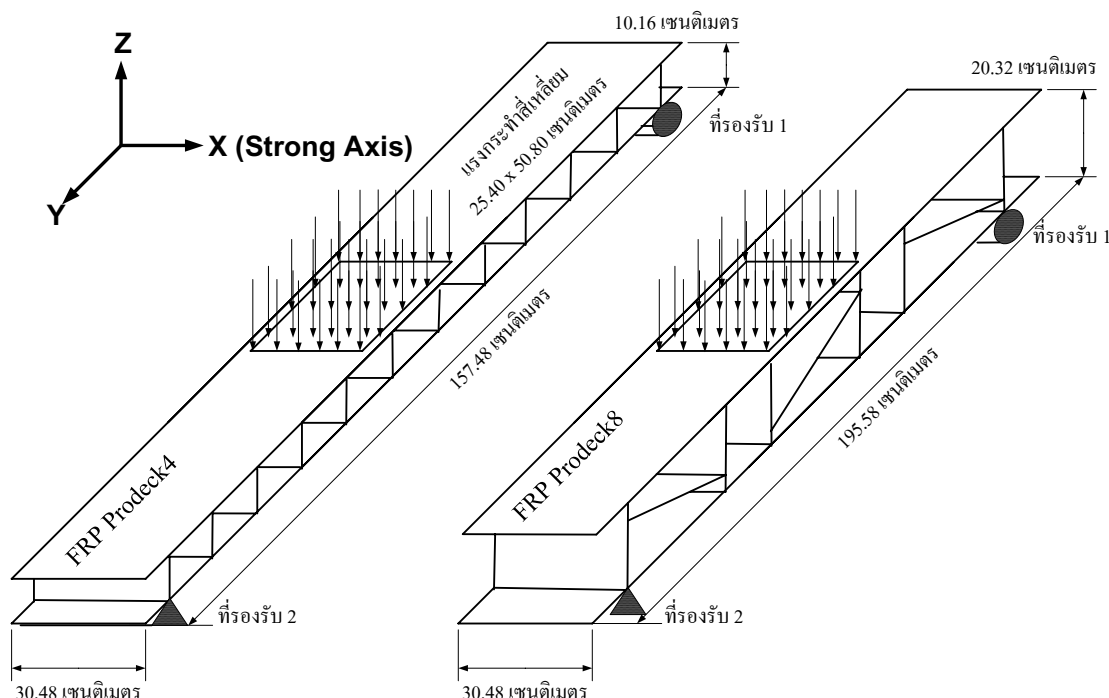
รูปที่ 4.3 ลักษณะแบบจำลองในการวิเคราะห์ตามแนวแกนยาว สำหรับ Prodeck8

ตารางที่ 4.1 ขนาดของหน้าตัดและแรงกระทำต่อแบบจำลองในการวิเคราะห์ตามแนวแกนยาว

รายละเอียด	Prodeck4				Prodeck8							
	ปีกบน	ปีกล่าง	แผ่นตื้ง	ปีกบน	ปีกล่าง	แผ่นตื้ง	แผ่นเฉียง					
ความกว้าง (เซนติเมตร)	73.66	73.66	10.16	60.96	60.96	20.32	31.37					
ความหนา (เซนติเมตร)	1.09	1.09	0.95	1.27	1.27	0.89	0.64					
ความกว้างรวม (เซนติเมตร)	73.66				60.96							
ความสูงรวม (เซนติเมตร)	10.16				20.32							
ความยาว (เซนติเมตร)	304.8											
ขนาดแรงกระทำสี่เหลี่ยม	25.40 เซนติเมตร x 50.80 เซนติเมตร											
แรงกระทำสูงสุด	กระทำจนเกิดการพิบัติ				160.19 กิโลนิวตัน							

4.2.2 การวิเคราะห์แบบจำลองตามแนวแกนขวาง (Analysis of Transverse Component Model)

สำหรับการวิเคราะห์แบบจำลองตามแนวแกนขวางมีความคล้ายคลึงกับการวิเคราะห์แบบจำลองตามแนวแกนยาวที่ได้กล่าวมาแล้วโดยทำการจำลองน้ำหนักบรรทุกจากล้อรถบรรทุกประเภท HS 25 ในลักษณะน้ำหนักกระทำบนพื้นที่สี่เหลี่ยม (Patch Load) ขนาด 25.40 เซนติเมตร x 50.80 เซนติเมตร เช่นเดียวกัน และแบบจำลองตามแนวขวางนี้มีที่รองรับเป็นที่รองรับอย่างง่าย (Simple Support) ที่ปลายของชิ้นส่วน ดังแสดงในรูปที่ 4.4 ในการวิเคราะห์จะเพิ่มน้ำหนักบรรทุกภายในช่วงการยึดหยุ่น (Elastic Range) เท่านั้น โดยน้ำหนักบรรทุกสูงสุดที่กระทำสำหรับ Prodeck4 และ Prodeck8 มีค่าเท่ากับ 4.45 กิโลนิวตัน และ 13.38 กิโลนิวตัน ตามลำดับ ความสัมพันธ์ระหว่างน้ำหนักบรรทุกและการโก่งตัว ตลอดจน ความเค้นและการยึดหยุ่นตัวที่จุดต่างๆ บนแบบจำลองถูกนำมาคำนวณหาค่าคุณสมบัติเชิงกลเทียบเท่าต่อไป รายละเอียดของแบบจำลองที่ใช้ในการวิเคราะห์แสดงสรุปอยู่ในตารางที่ 4.2



รูปที่ 4.4 ลักษณะแบบจำลองในการวิเคราะห์ตามแนวแกนขวาง

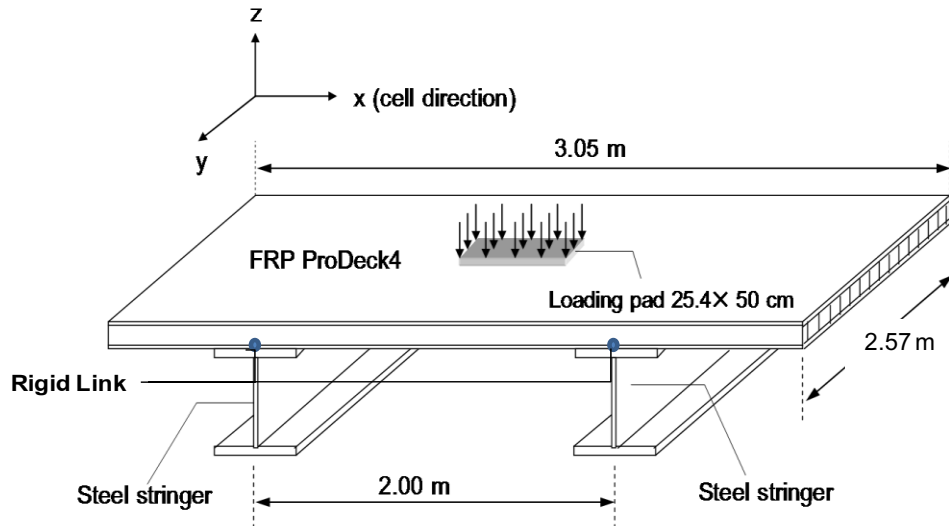
ตารางที่ 4.2 ขนาดของหน้าตัดและแรงกระทำต่อแบบจำลองในการวิเคราะห์ตามแนวแกนวาง

รายละเอียด	Prodeck4			Prodeck8							
	ปีกบน	ปีกล่าง	แผ่นตั้ง	ปีกบน	ปีกล่าง	แผ่นตั้ง	แผ่นเฉียง				
ความกว้าง (เซนติเมตร)	73.66	73.66	10.16	60.96	60.96	20.32	31.37				
ความหนา (เซนติเมตร)	1.09	1.09	0.95	1.27	1.27	0.89	0.64				
จำนวนแบบจำลอง	3 ชิ้นส่วนต่อกัน										
ความกว้างรวม (เซนติเมตร)	195.58			157.48							
ความสูงรวม (เซนติเมตร)	10.16			20.32							
ความยาว (เซนติเมตร)	30.48										
ขนาดแรงกระทำสี่เหลี่ยม	25.40 เซนติเมตร x 50.8 เซนติเมตร										
แรงกระทำสูงสุด	4.45 กิโลนิวตัน			13.38 กิโลนิวตัน							

4.3 แบบจำลองระดับระบบ (System Level)

ภายหลังจากการสร้างแบบจำลองในระดับชิ้นส่วน แบบจำลองระดับชิ้นส่วนจะถูกนำมาประกอบเข้าด้วยกันและประกอบเข้ากับแบบจำลองของคานสะพานเหล็กเพื่อทำการวิเคราะห์ในลักษณะแบบจำลองของระบบ แผ่นพื้น- คานสะพาน (Slab - Stringer) เพื่อศึกษาและเปรียบเทียบผลการตอบสนองเชิงกลเทียบกับผลที่ได้ในห้องปฏิบัติการ (Howard 2002, Natarajan 2003, Punyamurthula 2004, Prachasaree 2009 และ Howard 2009)

สำหรับแบบจำลองของระบบแผ่นพื้นสะพาน Prodeck4 แบบจำลองชิ้นส่วนสะพาน Prodeck4 ขนาดหน้าตัดมีความกว้าง 73.66 เซนติเมตร ความสูง 10.16 เซนติเมตร และยาว 304.80 เซนติเมตร จำนวน 4 ชิ้นส่วน ถูกนำมาประกอบเข้าด้วยกันเป็นแบบจำลองพื้นสะพานขนาดความกว้าง 256.54 เซนติเมตร ความสูง 10.16 เซนติเมตร และยาว 304.80 เซนติเมตร แบบจำลองพื้นสะพานนี้ถูกวางแผนอยู่หนึ่นอแบบจำลองคานเหล็กที่รองรับรูปตัวไอขนาดปีกกว้าง 25.40 เซนติเมตร ความสูง 99.06 เซนติเมตร (W10"x39") จำนวน 2 คาน โดยวางห่างกันด้วยระยะเท่ากับ 200.00 เซนติเมตร ซึ่งในการวางแผนจำลองและคานเหล็กที่รองรับ แกนตามแนวยาวของคานเหล็กจะตั้งฉากกับแกนหลัก (แกนตามยาว) ของหน้าตัดแบบจำลองแผ่นพื้นสะพานดังแสดงในรูปที่ 4.5



รูปที่ 4.5 ลักษณะแบบจำลองระบบแผ่นพื้น – คานสะพาน (Slab - Stringer) (Prodeck4)

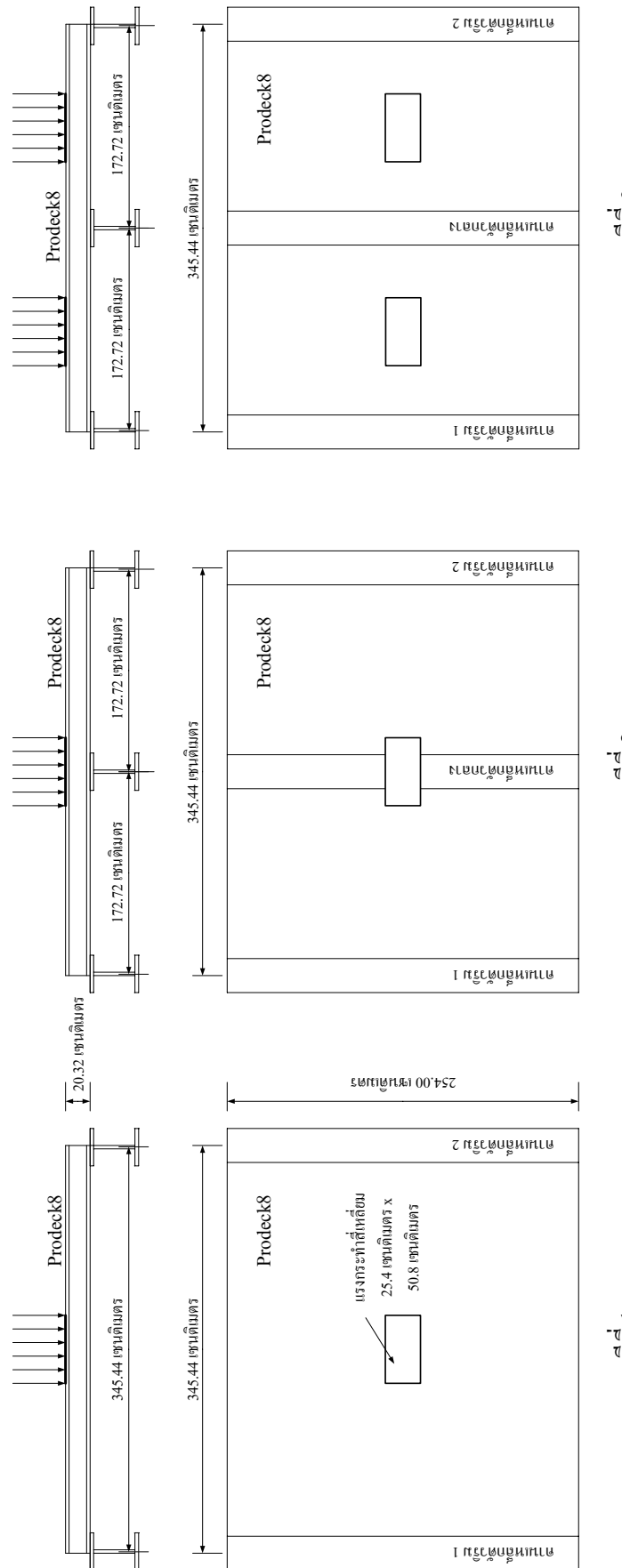
สำหรับแบบจำลองของระบบแผ่นพื้นสะพาน Prodeck8 แบบจำลองชิ้นส่วนสะพาน Prodeck8 ขนาดหน้าตัดมีความกว้าง 60.96 เซนติเมตร ความสูง 20.32 เซนติเมตร และยาวเท่ากับ 345.44 เซนติเมตร จำนวน 5 ชิ้นส่วน ถูกนำมาประกอบเข้าด้วยกันเป็นแบบจำลองพื้นสะพานขนาดความกว้าง 254.00 เซนติเมตร ความสูง 20.32 เซนติเมตร และยาว 345.44 เซนติเมตร แบบจำลองพื้นสะพานนี้ถูกวางอยู่เหนือแบบจำลองคานเหล็กที่รองรับรูปตัวไอขนาดปีกกว้าง 25.40 เซนติเมตร ความสูง 99.06 เซนติเมตร (W10"x39") จำนวน 2 คาน และ 3 คาน โดยวางห่างกันด้วยระยะเท่ากับ 345.44 เซนติเมตร และ 172.72 เซนติเมตร ตามลำดับ ซึ่งในการวางแผนจำลองและคานเหล็กที่รองรับพร้อมด้วยน้ำหนักกระทำบนพื้นที่สี่เหลี่ยม (Patch Load) ขนาดความกว้าง 25.40 เซนติเมตร ความยาว 50.80 เซนติเมตร ที่กระทำต่อแบบจำลองสามารถแยกเป็น 3 กรณี ได้แก่

岔 กรณี 1 แบบจำลองของแผ่นพื้นถูกรองรับด้วยแบบจำลองของคานจำนวน 2 คาน มีระยะห่างกันเท่ากับ 345.44 เซนติเมตร และแรงกระทำตรงกันกลางของแบบจำลองแผ่นพื้น

岔 กรณี 2 แบบจำลองของแผ่นพื้นถูกรองรับด้วยแบบจำลองของคานจำนวน 3 คาน มีระยะห่างกันเท่ากับ 172.72 เซนติเมตร และแรงกระทำตรงกันกลางของแบบจำลองแผ่นพื้น

岔 กรณี 3 แบบจำลองของแผ่นพื้นถูกรองรับด้วยแบบจำลองของคานจำนวน 3 คาน มีระยะห่างกันเท่ากับ 172.72 เซนติเมตร และมีแรงกระทำ 2 ตำแหน่ง แต่ละตำแหน่งอยู่บนกึ่งกลางแบบจำลองของแผ่นพื้นระหว่างแบบจำลองของคานแต่ละคู่

ลักษณะของแบบจำลองทั้งสามกรณี แสดงดังในรูปที่ 4.6



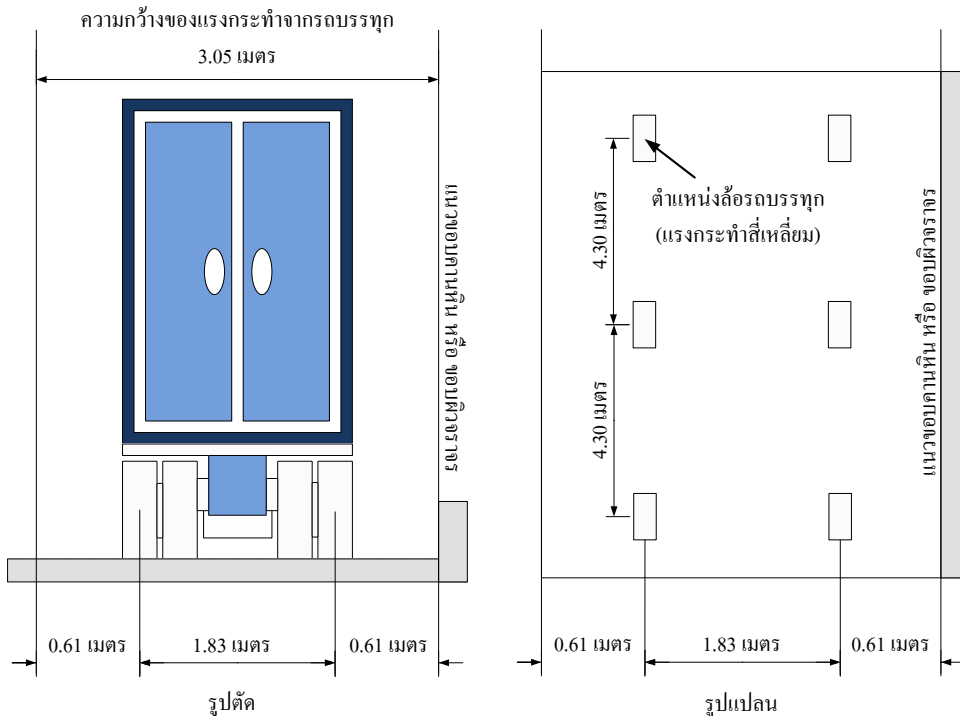
រូបភាព 4.6 រៀងចាំកំពង់របៈបន្ថែម – ការតែងតាំង (Prodeck8)

ករណី 1
ករណី 2
ករណី 3

4.4 การศึกษาแบบพารามทริก (Parametric Study)

ในส่วนของการศึกษาแบบพารามทริกของระบบสะพานแบบแผ่นพื้นพอลิเมอร์เสริมกำลังด้วยเส้นใย มีวัตถุประสงค์หลักดังที่กล่าวมาแล้วในบทที่ 1 คือ ทำการวิเคราะห์ทำการกระจายของน้ำหนักบรรทุก (Load Distribution) ที่กระทำต่อคานสะพานเหล็กที่รองรับอยู่ ซึ่งในการวิเคราะห์นี้แบบจำลองของระบบสะพานแผ่นพื้น-คาน (Slab-Stringer Bridge) ประกอบด้วย ตัวแปรต่างๆ ของแบบจำลองดังต่อไปนี้ คือ ความกว้างของแผ่นพื้นสะพาน (Deck Width) ความยาวช่วงของสะพาน (Span Length) ระยะห่างระหว่างคานเหล็ก (Girder Spacing) ที่รองรับ ชนิดของหน้าตัดแผ่นพื้นสะพาน (Deck Type) และ พฤติกรรมประกอบ (Composite Behavior) ระหว่างแผ่นพื้นกับคานที่รองรับ สำหรับการวิเคราะห์แบบจำลองสะพานแบบพารามทริกนี้ ระบบสะพานจะถูกจำลองในลักษณะสะพานช่วงเดียว (Simple Span Bridge) โดยมีแบบจำลองแผ่นพื้นสะพานพอลิเมอร์วางอยู่เหนือที่แบบจำลองของที่รองรับซึ่งเป็นคานเหล็กรูปตัวไอ (I-Girder) นอกจากนี้แบบจำลองมีข้อจำกัดในการวิเคราะห์เนื่องมาจากสมมุติฐานบางประการดังต่อไปนี้

- ✓ แบบจำลองของแผ่นพื้นสะพานพอลิเมอร์ถูกจำลองโดยมีลักษณะของวัสดุเป็นเนื้อเดียวกันสมมำตสอนตลอดทั้งแผ่นพื้นสะพาน
- ✓ แบบจำลองของแผ่นพื้นสะพานถูกรองรับโดยแบบจำลองของคานเหล็กรูปตัวไอ โดยมีระยะห่างระหว่างคานรองรับแต่ละคานที่เท่ากันในแบบจำลอง
- ✓ แนวการวางของแบบจำลองคานเหล็กที่รองรับจะขนานกันโดยตลอดความยาวของแบบจำลองสะพาน (ตั้งจากทิศทางของหน้าตัดพื้นสะพาน)
- ✓ ตำแหน่งปลายของแบบจำลองระบบสะพานสมมุติว่าเป็นที่รองรับอย่างง่าย
- ✓ นำหนักบรรทุกซึ่งเป็นการจำลองนำหนักจากล้อรถบรรทุกจะกระทำห่างจากขอบของแผ่นพื้นสะพานอย่างน้อย 0.61 เมตร (แสดงอยู่ในรูปที่ 4.7)



รูปที่ 4.7 ตำแหน่งของแรงกระทำจากล้อรถบรรทุกต่อแผ่นพื้นสะพาน

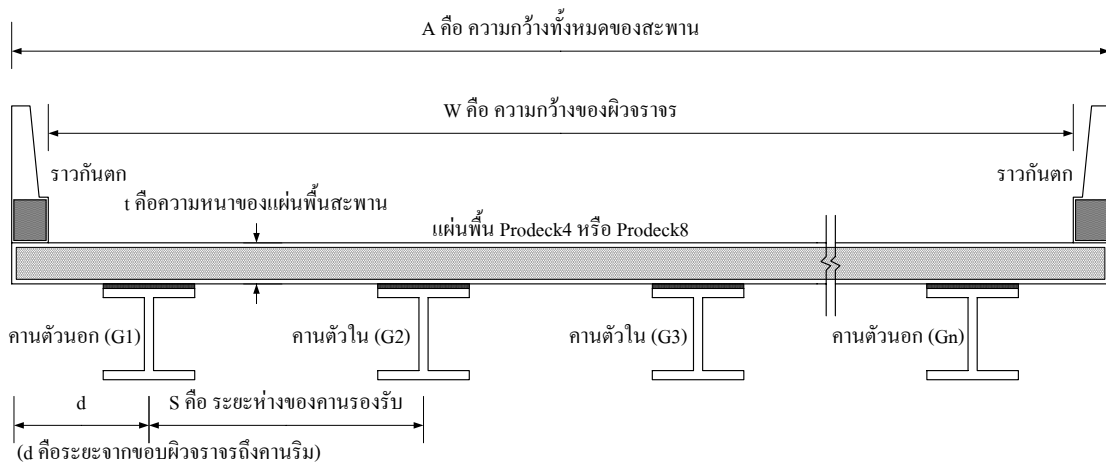
4.4.1 ขนาดแบบจำลอง (Dimension of Models)

ในการสร้างแบบจำลองของระบบสะพานในการศึกษานี้จะประกอบไปด้วยแบบจำลองของสะพานที่มีสองช่องและสามช่องทางจราจรซึ่งมีรายละเอียดดังต่อไปนี้

≠ แบบจำลองสะพานที่มีสองช่องจราจร: จะมีความกว้างของสะพาน 9.30 เมตร และมีระยะห่างระหว่างคานที่รองรับเท่ากับ 1.20 เมตร (7 คาน) 1.83 เมตร (5 คาน) และ 2.29 เมตร (4 คาน)

≠ แบบจำลองสะพานที่มีสามช่องจราจร: จะมีความกว้างของสะพาน 13.00 เมตร และมีระยะห่างระหว่างคานที่รองรับเท่ากับ 1.20 เมตร (10 คาน) 1.83 เมตร (7 คาน) และ 2.29 เมตร (6 คาน)

ดังนั้นจากตัวแปรที่เกี่ยวข้องกับหน้าตัดของสะพานซึ่งประกอบด้วยจำนวนของคานที่รองรับและจำนวนของช่องทางจราจร ทำให้สามารถกำหนดหน้าตัดของแบบจำลองสะพานที่แตกต่างกันเป็นจำนวน 6 หน้าตัด (6 - Cross Section และใช้สัญลักษณ์แทนหน้าตัดทั้ง 6 หน้าตัดของแบบจำลองระบบแผ่นพื้น-คานสะพาน คือ CS1 ถึง CS6) ตัวอย่างแบบจำลองสะพานที่มีคานรองรับจำนวน 4 คานถูกแสดงดังในรูปที่ 4.8 นอกจากนี้รายละเอียดเกี่ยวข้องกับตัวแปรต่างๆ ของแบบจำลองสะพานแสดงสรุปอยู่ในตารางที่ 4.3



รูปที่ 4.8 หน้าตัดทั่วไปของสะพานทั้งระบบในการสร้างแบบจำลอง

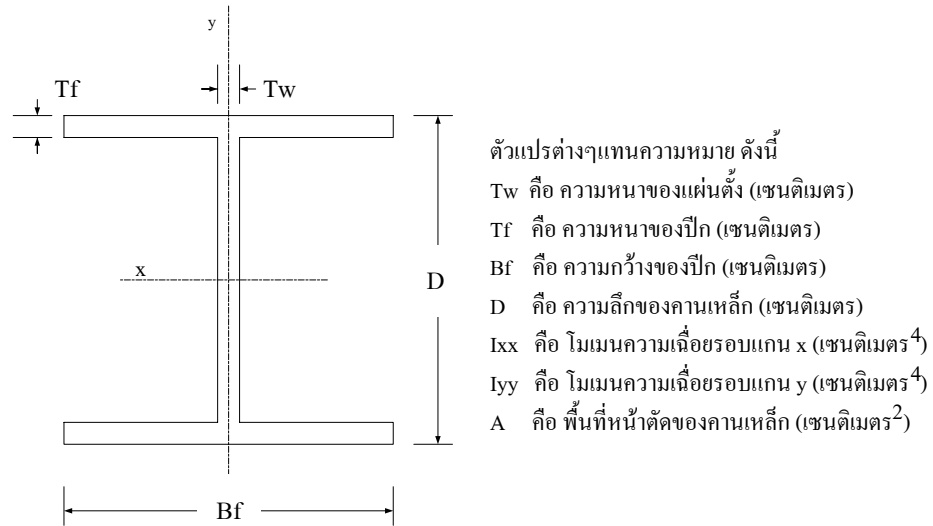
ตารางที่ 4.3 สรุปค่าตัวแปรของแบบจำลองสะพานทั้งระบบ

*ตัวแปร	สองช่องทางจราจร			สามช่องทางจราจร		
	CS1	CS2	CS3	CS4	CS5	CS6
A (เมตร)	9.30	9.30	9.30	13.00	13.00	13.00
W (เมตร)	8.53	8.53	8.53	12.20	12.20	12.20
S (เมตร)	1.20	1.83	2.29	1.20	1.83	2.29
d (เมตร)	1.05	0.99	1.20	1.10	1.01	0.77
t (เมตร)	0.10	0.10	0.10	0.10	0.10	0.10
จำนวนคาน	7	5	4	10	7	6

*ตัวแปรต่างๆ ข้างอิงดังแสดงในรูปที่ 4.4

แบบจำลองของสะพานทั้งระบบที่ถูกสร้างขึ้นทั้งหมดนี้เป็นแบบจำลองของสะพานที่ไม่มีการวางตัวในแนวที่เกิดมุมเอียง (Skew Angle) และมีความยาวช่วงสะพานในการสร้างแบบจำลองจำนวน 2 ช่วงความยาวคือ 12.00 เมตร และ 18.00 เมตร รวมทั้งประเภทของแผ่นพื้นโพลิเมอร์เสริมกำลังด้วยเส้นใยที่ถูกจำลองเป็นแผ่นพื้นสะพานจำนวน 2 ประเภทคือ Prodeck4 และ Prodeck8 สำหรับแบบจำลองคานเหล็กที่รองรับเลือกใช้คานเหล็ก 2 ขนาดคือ W24x110 และ W36x150

สำหรับแบบจำลองของสะพานที่มีความยาว 12.00 เมตร และ 18.00 เมตร ตามลำดับ ขนาดและคุณสมบัติทางกายภาพของหน้าตัดคานเหล็กดังกล่าวถูกแสดงสรุปอยู่ในรูปที่ 4.9 และตารางที่ 4.4



รูปที่ 4.9 หน้าตัดของคานเหล็กที่รองรับ

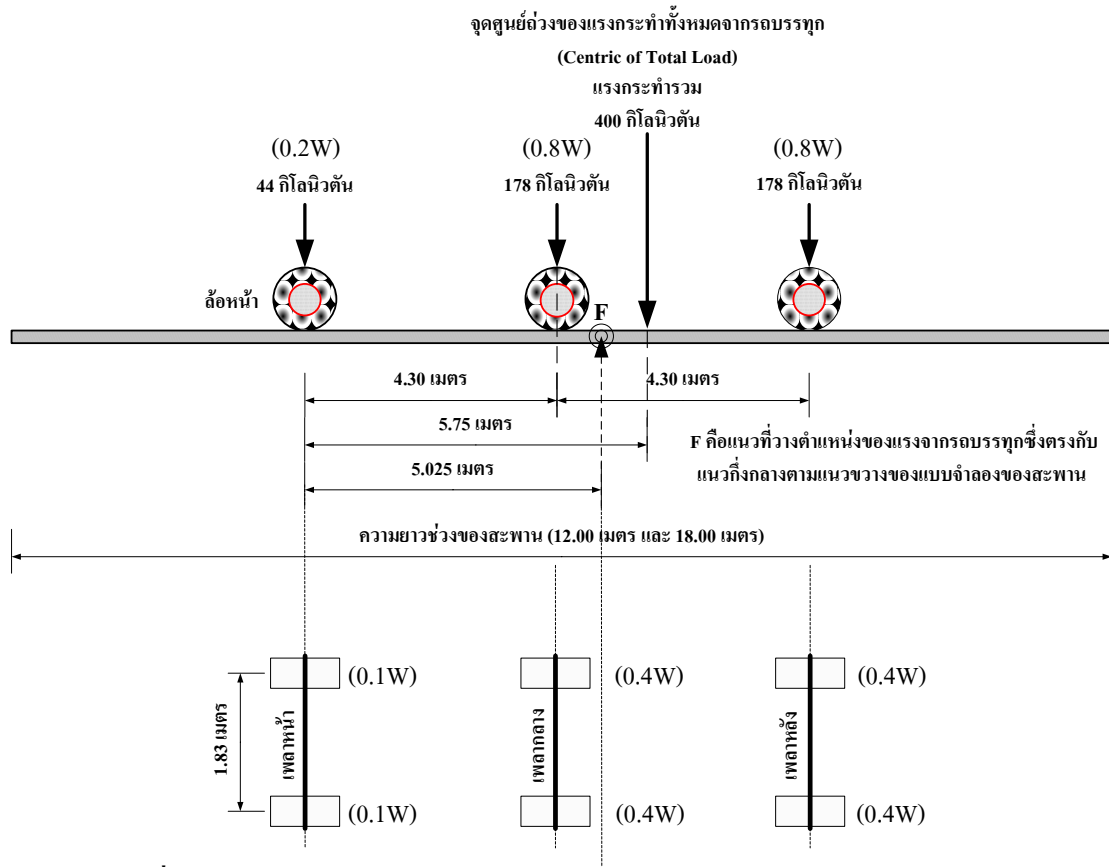
ตารางที่ 4.4 ค่าคุณสมบัติทางกายภาพของคานเหล็กที่รองรับ

*ตัวแปร	A	D	Bf	Tf	Tw	I _{xx} (10 ³)	I _{yy} (10 ³)
W36x150	284.90	91.03	30.40	2.39	1.59	375.11	10.42
W24x110	208.77	61.37	30.59	2.17	1.30	137.98	9.53

*ตัวแปรต่างๆอ้างอิงดังแสดงในรูปที่ 4.9

4.4.2 น้ำหนักบรรทุกบนแบบจำลอง (Loads on Models)

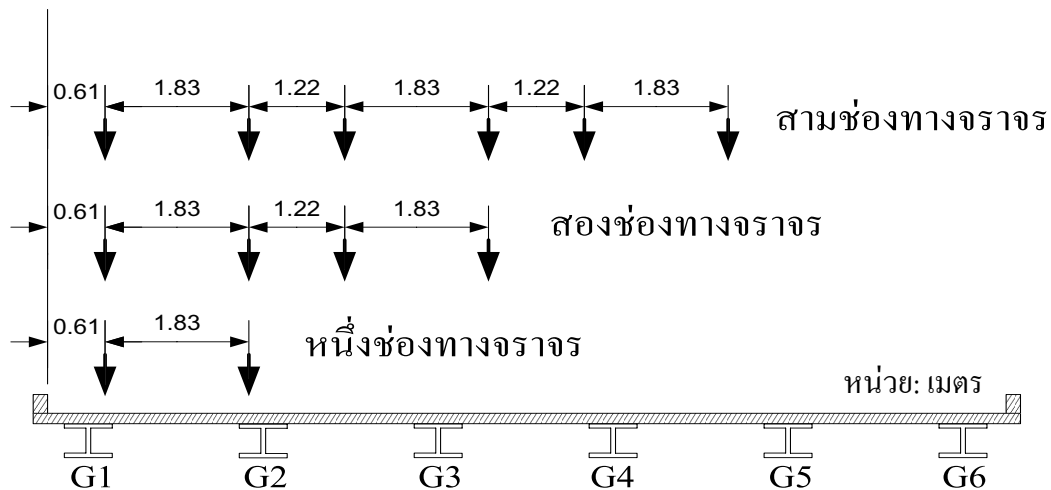
ในการวิเคราะห์แบบพารามทริกนี้ได้สมมุติว่าน้ำหนักบรรทุกที่กระทำต่อแบบจำลองสะพานเป็นน้ำหนักบรรทุกมาตรฐาน AASHTO HS25 ขนาด 25 ตันซึ่งกระทำในลักษณะแรงกระทำแบบสมมำน์เสมอกระจาบบนพื้นที่สี่เหลี่ยม (Patch Area) เหนือตำแหน่งของล้อรถบรรทุกแต่ละล้อ โดยพื้นที่น้ำหนักบรรทุกกระทำมีขนาดความกว้าง 25.40 เซนติเมตร ความยาว 50.80 เซนติเมตร ในขณะที่รถบรรทุกมีความยาวของเพลา 1.83 เมตรเท่ากันทั้งสามเพลา ซึ่งน้ำหนักบรรทุกของแต่ละล้อบนเพลาแรก เพลากลาง และ เพลาหลัง ของรถบรรทุกมีขนาดเท่ากับ 44.00 กิโลนิวตัน , 178.00 กิโลนิวตัน และ 178.00 กิโลนิวตัน ตามลำดับ ดังแสดงในรูปที่ 4.10



รูปที่ 4.10 ตำแหน่งของแรงกระทำจากการถอบรถทุกตามมาตรฐาน AASHTO HS25

สำหรับตำแหน่งของน้ำหนักบรรทุกที่กระทำต่อแผ่นพื้นสะพานของรถบรรทุก 1 คัน (พิจารณาในทิศทางตามความยาวของสะพาน) น้ำหนักบรรทุกของรถจะถูกจำลองเป็นชุดของแรงกระทำตามตำแหน่งของเพลาโดยที่การวางน้ำหนักดังกล่าวจะทำให้เกิดโน้มแน่นที่มากที่สุด โดยอาศัยหลักการของเส้นอิทธิพล (Influence Line) แนวที่จัดการช่วงความยาวของสะพานจะอยู่ที่ตำแหน่งกึ่งกลางระหว่างจุดศูนย์รวมของน้ำหนักบรรทุก (แรงดึงดูดของรถบรรทุก) และตำแหน่งเพลาที่อยู่ใกล้ตำแหน่งน้ำหนักบรรทุกร่วมของรถมากที่สุด (ดังแสดงในรูปที่ 4.6 คือ จุด F) สำหรับแบบจำลองสะพานที่มีสองช่องทางจราจรจะมีน้ำหนักบรรทุกจากการถobra ใน 2 กรณี คือ น้ำหนักบรรทุกกระทำบนช่องทางจราจรซึ่งเดียวและ น้ำหนักบรรทุกกระทำบนช่องทางจราจรทั้งสองช่องทางจราจร (น้ำหนักบรรทุกบนช่องทางเดียวคือมีรถบรรทุกจำนวน 1 คันกระทำต่อแบบจำลองสะพาน และน้ำหนักบรรทุกบนสองช่องทางจราจรคือมีรถบรรทุกจำนวน 2 คันกระทำต่อแบบจำลองสะพานพร้อมกัน) ในทำนองเดียวกันแบบจำลองสะพานที่มีสามช่องทางจราจร มีน้ำหนักบรรทุกจากการถobra ใน 3 กรณี คือ น้ำหนักบรรทุกกระทำบนช่องทางจราจรซึ่งเดียว

น้ำหนักบรรทุกกระทำบนสองช่องทางจราจรและน้ำหนักบรรทุกกระทำทั้งสามช่องทางจราจรตามลำดับดังแสดงในรูปที่ 4.11

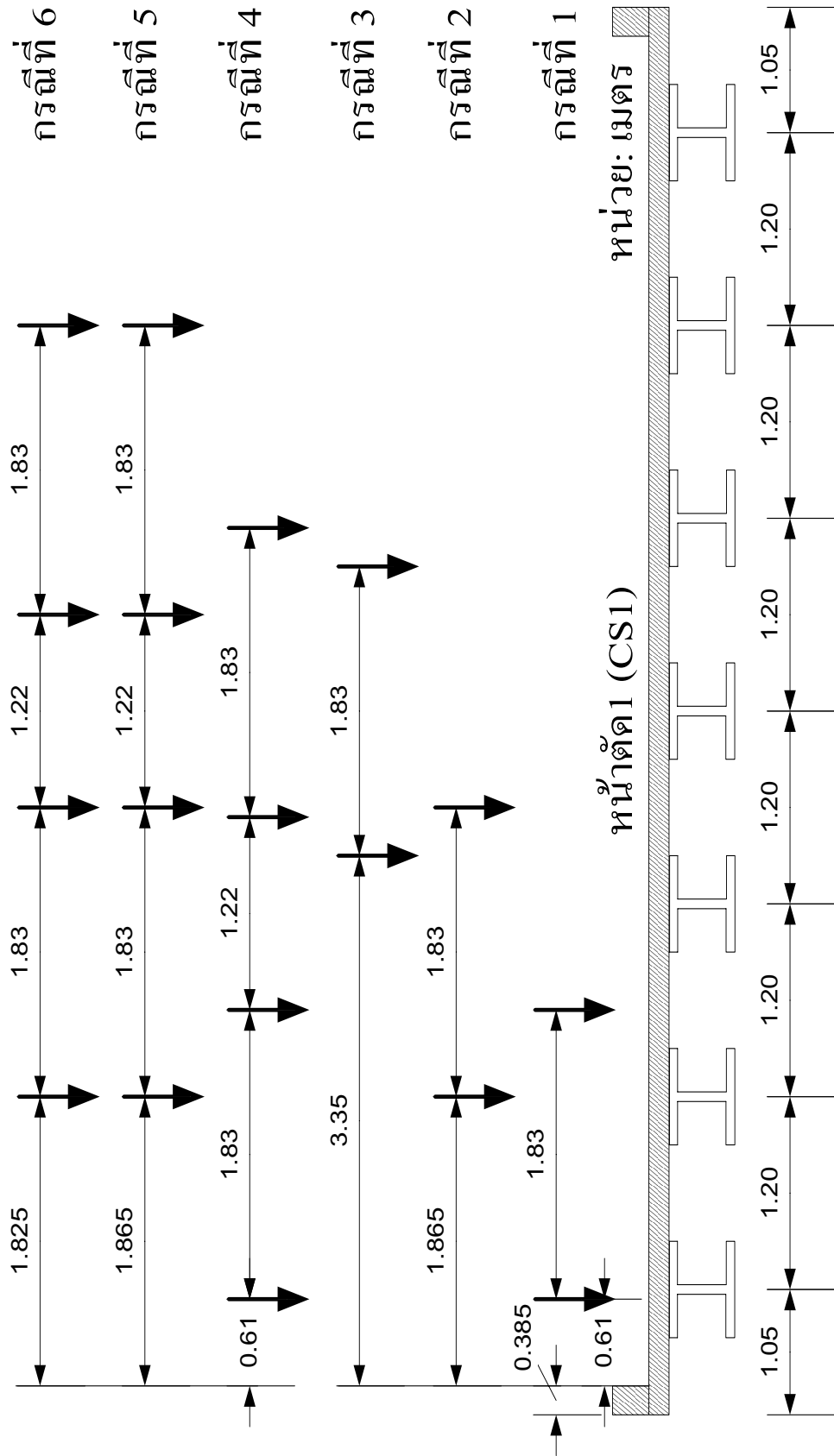


รูปที่ 4.11 แสดงน้ำหนักบรรทุกในแต่ละช่องจราจร

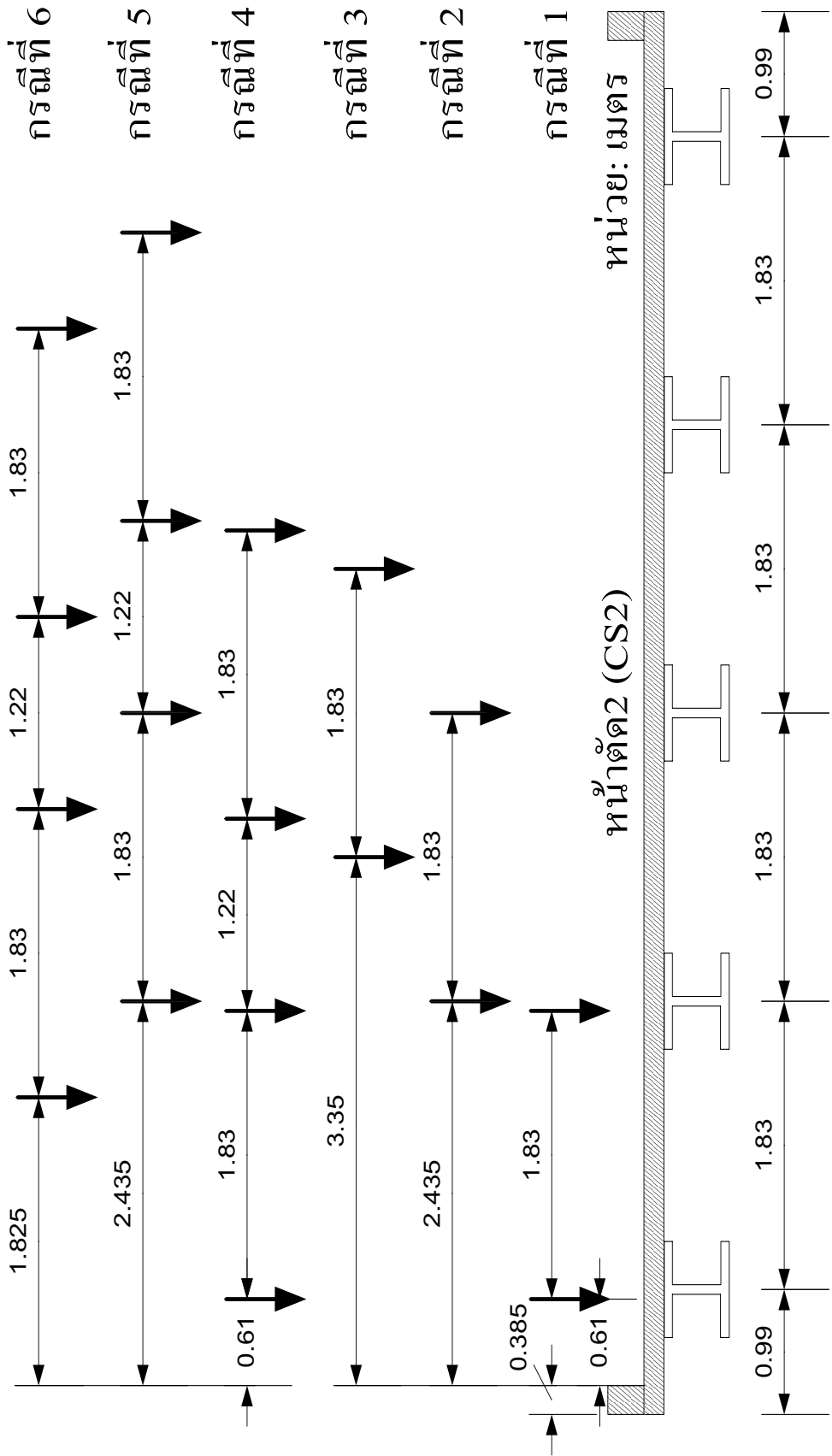
เนื่องจากระยะห่างคานที่รองรับและขนาดของแบบจำลองสะพานดังแสดงในตารางที่ 4.3 รวมถึงจำนวนน้ำหนักบรรทุกบนช่องจราจรอ่อนแบบจำลอง (ในรูปที่ 4.11) ทำให้ตำแหน่งของรอบบรรทุกที่อยู่บนแบบจำลองสามารถจำแนกออกได้ดังต่อไปนี้คือ

⚡ สำหรับแบบจำลองของสะพานที่มีช่องทางจราจรส่องช่อง (กรณีหน้าตัด CS1, CS2 และ CS3) ซึ่งแบบจำลองสะพานแต่ละหน้าตัดจะอยู่ภายใต้น้ำหนักบรรทุกในตำแหน่งที่แตกต่างกัน 6 กรณี (ดังแสดงในรูปที่ 4.12 ถึงรูปที่ 4.14)

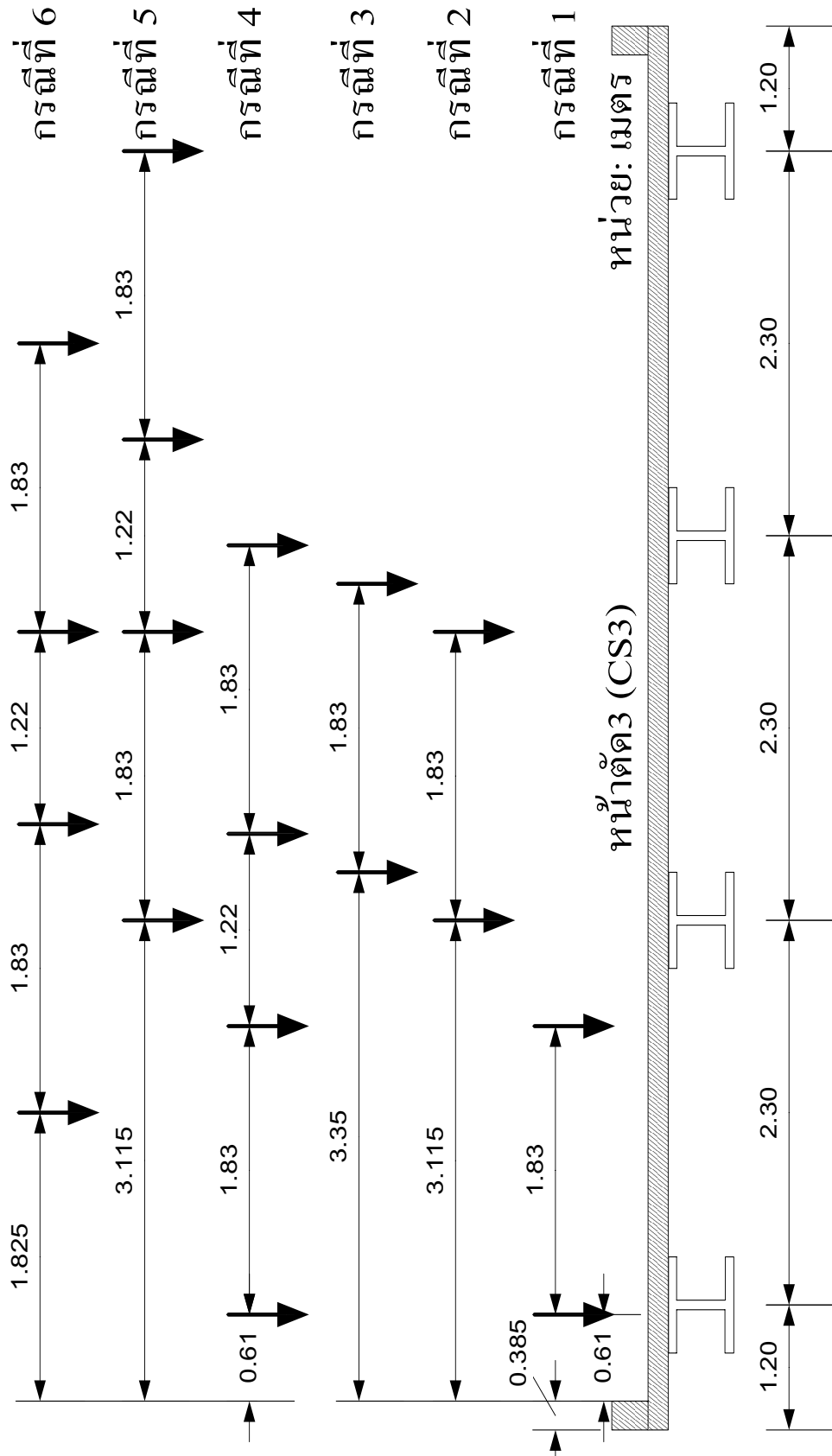
- กรณีที่ 1 รอบบรรทุกหนึ่งคันกระทำห่างจากขอบคันทาง 0.61 เมตร
- กรณีที่ 2 รอบบรรทุกหนึ่งคันกระทำตรงกับที่รองรับด้านในตัวแรก
- กรณีที่ 3 รอบบรรทุกหนึ่งคันกระทำตรงกับกลางของสะพาน
- กรณีที่ 4 รอบบรรทุกสองคันกระทำห่างจากขอบคันทาง 0.61 เมตร
- กรณีที่ 5 รอบบรรทุกสองคันกระทำตรงกับที่รองรับด้านในตัวแรก
- กรณีที่ 6 รอบบรรทุกสองคันกระทำตรงกับกลางของสะพาน



ຮູບພື້ນ 4.12 ຕ່ານແກ່ງຈອນໜ້າຫນູ້ກົບປະກົງທຸກປະນານບໍ່ຈຳຕອງ CS1 ໃນກະລຸນາທີ່ຕ່າງ



รูปที่ 4.13 ตำแหน่งของหน้างบบดังที่แนบมาสำหรับจัดตั้ง CS2 ในกรอบต่างๆ

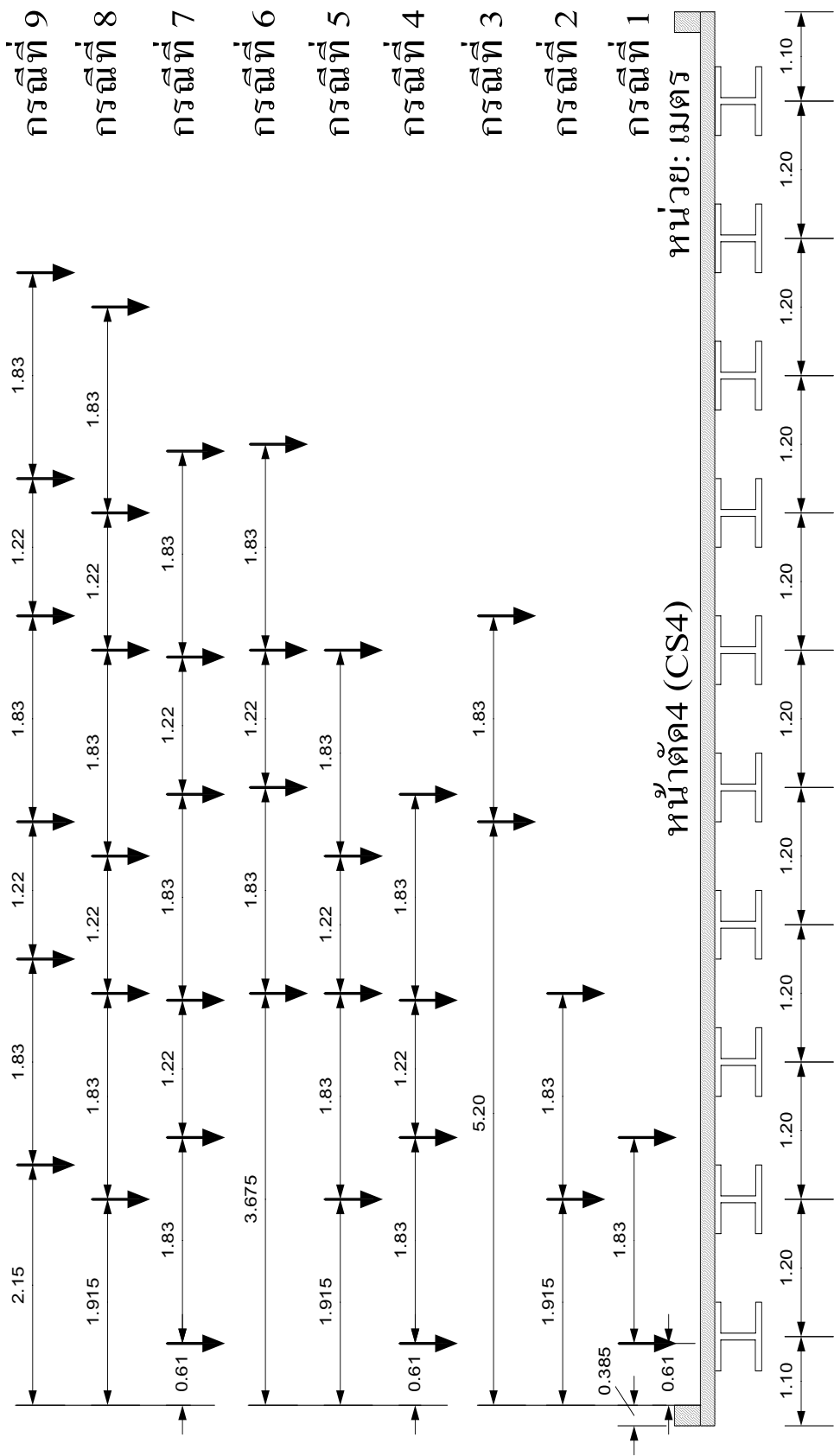


รูปที่ 4.14 ตำแหน่งของผู้หนักบรรทุกแบบจำลอง CS3 ในกรณีต่างๆ

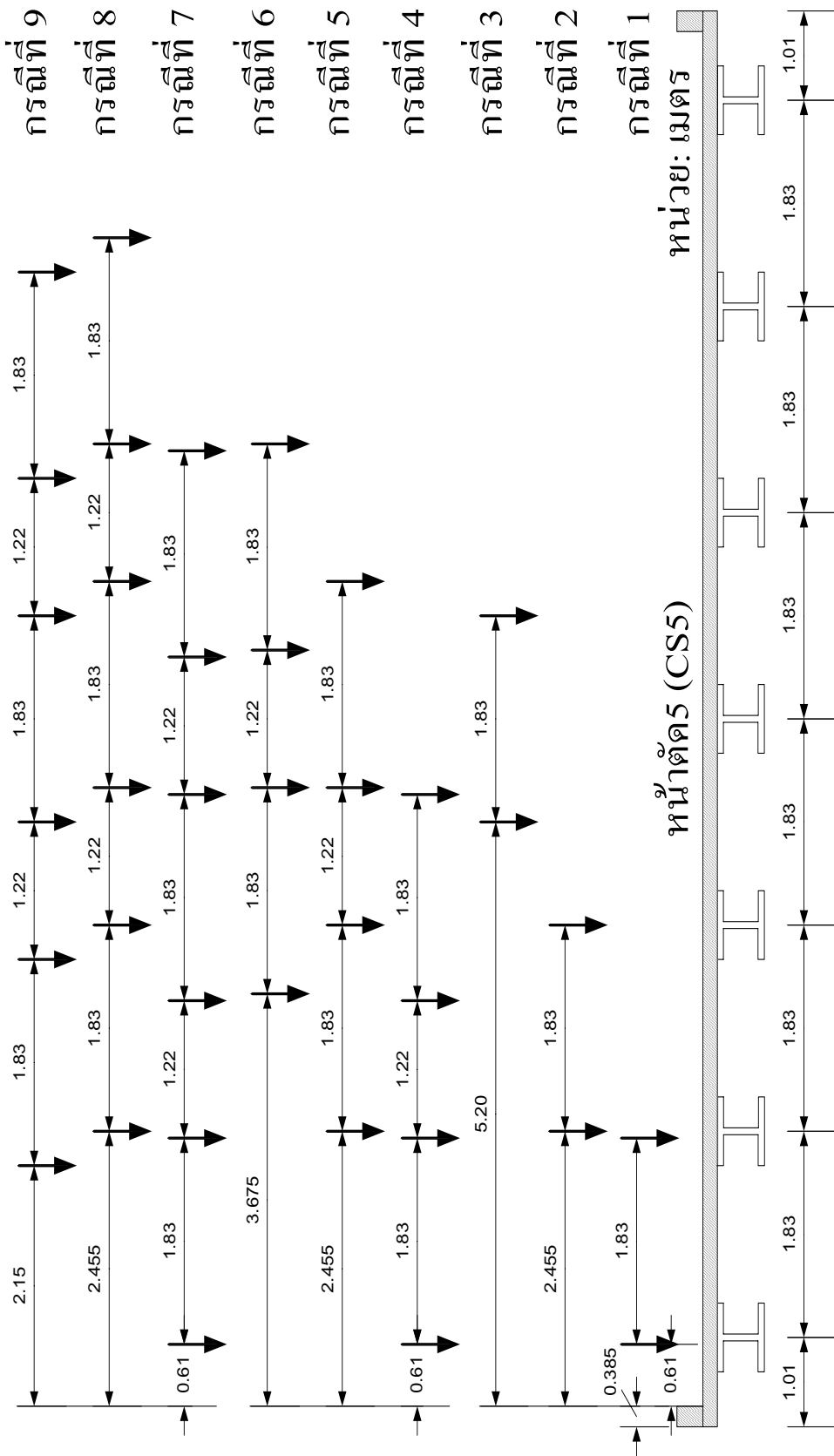
岔 สำหรับแบบจำลองของสะพานที่มีช่องทางจราจรสามช่อง (กรณีหน้าตัด CS4, CS5 และ CS6) ซึ่งแบบจำลองสะพานแต่ละหน้าตัดจะอยู่ภายใต้หน้ากบบรรทุกในตำแหน่งที่แตกต่างกัน 9 กรณี (ดังแสดงในรูปที่ 4.15 ถึงรูปที่ 4.17)

- กรณีที่ 1 รถบรรทุกหนึ่งคันกระทำห่างจากขอบคันทาง 0.61 เมตร
- กรณีที่ 2 รถบรรทุกหนึ่งคันกระทำตรงกับที่รองรับค้านในตัวแรก
- กรณีที่ 3 รถบรรทุกหนึ่งคันกระทำตรงกึ่งกลางของสะพาน
- กรณีที่ 4 รถบรรทุกสองคันกระทำห่างจากขอบคันทาง 0.61 เมตร
- กรณีที่ 5 รถบรรทุกสองคันกระทำตรงกับที่รองรับค้านในตัวแรก
- กรณีที่ 6 รถบรรทุกสองคันกระทำตรงกึ่งกลางของสะพาน
- กรณีที่ 7 รถบรรทุกสามคันกระทำห่างจากขอบคันหิน 0.61 เมตร
- กรณีที่ 8 รถบรรทุกสามคันกระทำตรงกับที่รองรับค้านในตัวแรก
- กรณีที่ 9 รถบรรทุกสามคันกระทำตรงกึ่งกลางของสะพาน

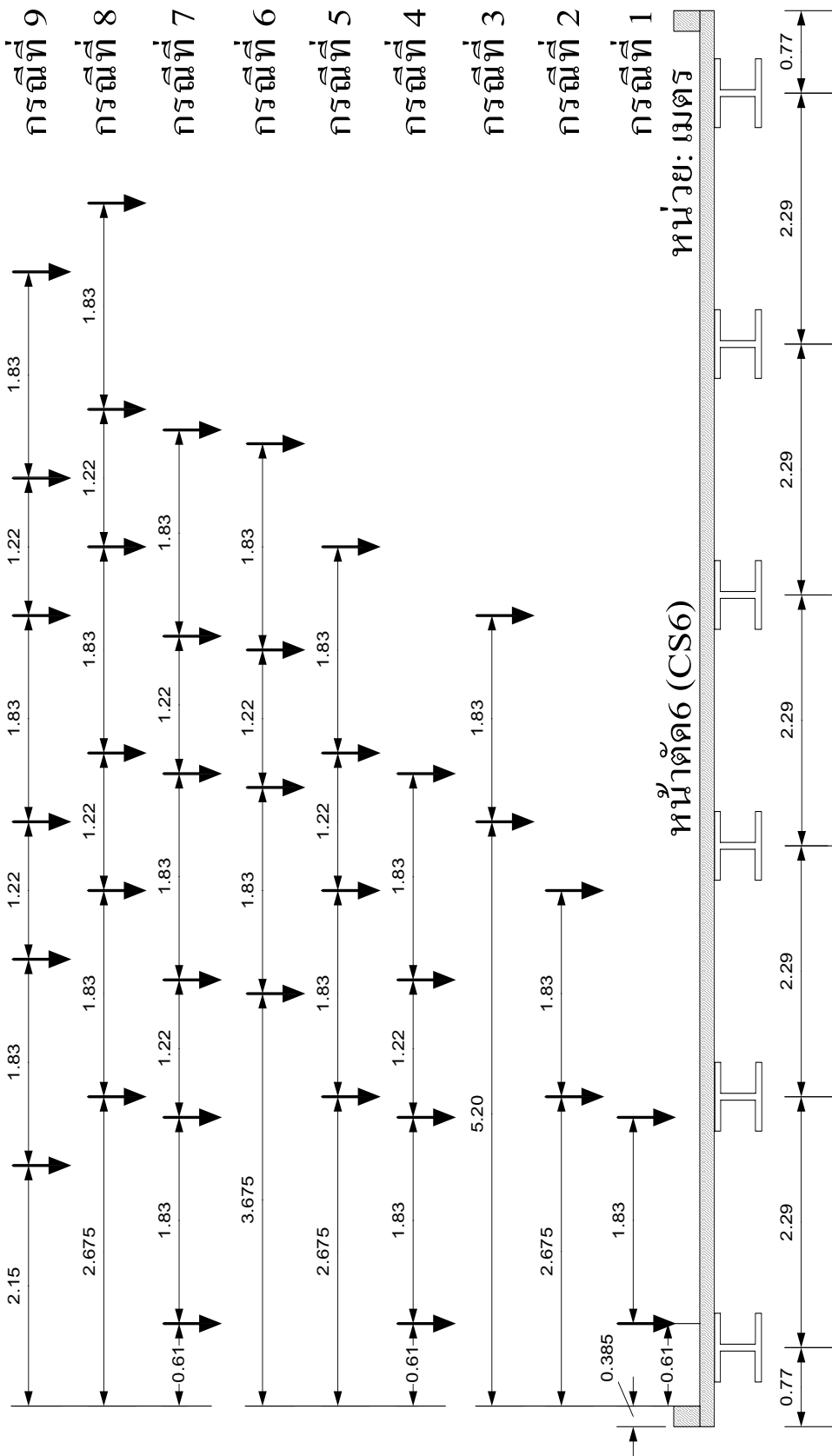
แบบจำลองสะพานทั้งหมดจะถูกนำมาประเมินผลโดยใช้ค่าระยะโถงในแนวตั้ง ความกึ่นและค่าความเครียดที่เกิดขึ้นในตำแหน่งต่างๆเพื่อทำการวิเคราะห์หากการกระจายของน้ำหนักบรรทุกบนสะพานแผ่นพื้นพอลิเมอร์ที่มีต่อคานเหล็กที่รองรับโดยมีตัวแปรที่ทำการพิจารณาในการสร้างแบบจำลอง ได้แก่ ระยะห่างระหว่างคานเหล็กที่รองรับ ความกว้างของหน้าตัดสะพาน ความยาวของสะพาน (Span) และ ชนิดของพื้นสะพาน



รูปที่ 4.15 ตำแหน่งของหน้ากากบล็อกทุกแบบจำลอง CS4 ในกรณีต่างๆ



รูปที่ 4.16 ตัวหนังสือของหนังสือทุกหนังสือจะถูก CSS ในกรณีต่างๆ



รูปที่ 4.17 ตัวหนังสือของหน้าหานักบวชทุกคนแบบจำลอง CS6 ในกรณีต่างๆ

4.5 สรุป (Conclusion)

แบบจำลองทั้งหมด (แบบจำลองระดับชิ้นส่วน, แบบจำลองระดับระบบ และแบบจำลองจากการศึกษาแบบพารามทริก) ถูกจำลองเพื่อหาค่าต่างๆ (ค่าระยะโถงในแนวตั้ง, ค่าความเค้น และการยึดหยดตัว) ด้วยวัตถุประสงค์ที่แตกต่างกัน 2 ส่วน ดังนี้ 1) แบบจำลองระดับชิ้นส่วนและแบบจำลองระดับระบบ ภายหลังการประเมินผลค่าต่างๆ ข้างต้นจะถูกนำไปเปรียบเทียบกับผลการศึกษาที่ผ่านมาของนักวิจัยท่านอื่นๆ (Howard 2002, Natarajan 2003, Punyamurthula 2004, Prachasaree 2009 และ Howard 2009) มีวัตถุประสงค์เพื่อปรับแต่งแบบจำลองให้มีความถูกต้องใกล้เคียงกับผลการศึกษาที่ผ่านมาและคำนวณหาค่าคุณสมบัติเชิงกล เช่น ความแข็งเกร็งต่อการดัดเทียบเท่า เพื่อดำเนินการในส่วนต่อมาคือ 2) แบบจำลองจากการศึกษาแบบพารามทริก มีวัตถุประสงค์ที่จะวิเคราะห์หาค่าตัวประกอบการกระจายน้ำหนัก (Load Distribution Factor, LDF) และในการสร้างแบบจำลองทั้งหมดมีตัวแปรต่างๆ เช่น ประเภทแผ่นพื้น, ความกว้างและความยาวของแผ่นพื้น เป็นปัจจัยหลักที่ทำให้แบบจำลองมีรูปแบบที่แตกต่างกัน ซึ่งสามารถสรุปจำนวนของแบบจำลองในการสร้างแบบจำลองในระดับต่างๆ รวมถึงตัวแปรที่เกี่ยวข้อง ดังแสดงในตารางที่ 4.5 และ ตารางที่ 4.6 ตามลำดับ

ตารางที่ 4.5 สรุปจำนวนแบบจำลองในระดับต่างๆ

ประเภทแบบจำลองในระดับต่างๆ		จำนวนแบบจำลอง		รวม
		Prodeck4	Prodeck8	
ระดับชิ้นส่วน (Component Level)	ตามแนวแกนยาว (Longitudinal)	1	1	2
	ตามแนวแกนขวาง (Transverse)	1	1	2
ระดับระบบ (System Level)		1	3	4
พารามทริก (Parametric)	แบบพูติกรรมประกอบกันทั้งหมด (Fully Composite)	90	90	180
	แบบพูติกรรมเชื่อมต่อบางส่วน (Partial Connection)	90	90	180
รวมจำนวนแบบจำลองทั้งหมด		183	185	368

ตารางที่ 4.6 สรุปค่าของตัวแปรและจำนวนแบบจำลองในระดับต่างๆ

ประเภทแบบจำลอง ในระดับต่างๆ		ประเภท แผ่นพื้น	ความกว้าง แผ่นพื้น	ความยาว แผ่นพื้น	ระยะห่าง คานที่ร่องรับ	จำนวน ที่ร่องรับ	ขนาดคาน	จำนวน แบบจำลอง
ระบบชั้นที่ 2 ระบบชั้นที่ 3	แนวแกนยาว	Prodeck4	0.74	3.05	3.05	2	-	1
		Prodeck8	0.61	3.05	3.05	2	-	1
	แนวแกนขวาง	Prodeck4	1.96	0.30	1.96	2	-	1
		Prodeck8	1.57	0.30	1.57	2	-	1
	ระดับระบบ	Prodeck4	2.57	0.30	2.00	2	w10x39	1
		Prodeck8	2.54	3.45	3.45	2	w10x39	1
					1.73	3	w10x39	2
โครงสร้างที่ต้องการทดสอบ ตามเกณฑ์มาตรฐาน ของประเทศ	CS1	Prodeck4,8	9.30	12.00	1.20	7	w24x110	24
				18.00	1.20	7	w36x150	24
	CS2	Prodeck4,8	9.30	12.00	1.83	5	w24x110	24
				18.00	1.83	5	w36x150	24
	CS3	Prodeck4,8	9.30	12.00	2.29	4	w24x110	24
				18.00	2.29	4	w36x150	24
	CS4	Prodeck4,8	13.00	12.00	1.20	10	w24x110	36
				18.00	1.20	10	w36x150	36
	CS5	Prodeck4,8	13.00	12.00	1.83	7	w24x110	36
				18.00	1.83	7	w36x150	36
	CS6	Prodeck4,8	13.00	12.00	2.29	6	w24x110	36
				18.00	2.29	6	w36x150	36

บทที่ 5 (Chapter 5) การวิเคราะห์ระดับชิ้นส่วนและระบบ (Analysis of Component and System Level)

5.1 บทนำ (Introduction)

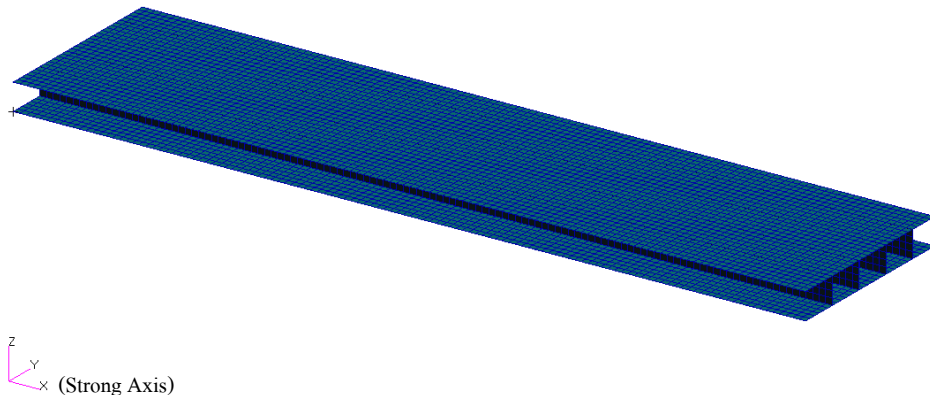
ผลการวิเคราะห์และรายละเอียดการคำนวณคุณสมบัติเชิงกลของแผ่นพื้นพอลิเมอร์เสริมกำลังด้วยเส้นใยในระดับชิ้นส่วน (Component Level) และระบบ (System Level) ถูกนำเสนอในบทนี้ โดยในส่วนแรกจะกล่าวถึงผลการวิเคราะห์แบบจำลองในระดับชิ้นส่วนซึ่งผลที่ได้จากการวิเคราะห์ถูกนำมาเปรียบเทียบกับผลจากการทดสอบในห้องปฏิบัติการเพื่อทำการตรวจสอบและปรับปรุงความถูกต้องของแบบจำลองที่สร้างขึ้นให้มีความใกล้เคียงกับผลการทดสอบที่ได้จากห้องปฏิบัติการ สำหรับส่วนหลังจะแสดงผลการวิเคราะห์แบบจำลองในระดับระบบซึ่งผลการวิเคราะห์ที่ได้ถูกนำมาเปรียบเทียบกับผลที่ได้จากห้องปฏิบัติการเช่นเดียวกัน นอกจากนี้คุณสมบัติเชิงกลตลอดจนเกณฑ์การใช้งานและออกแบบได้ถูกนำเสนอไว้ในบทนี้

5.2 การวิเคราะห์แผ่นพื้นสะพานชนิดหน้าตัด Prodeck4 (Analysis of Prodeck4 Bridge Deck)

แบบจำลองของแผ่นพื้นสะพานชนิดหน้าตัด Prodeck4 จะถูกทำการวิเคราะห์โดยการเพิ่มขนาดของแรงที่กระทำต่อแบบจำลองซึ่งเป็นแรงกระทำแบบสติกติค่าสตรี (Static Load) เพื่อหาค่าระยะโถงตัว (Deflection) และค่าการยืดหยุ่นตัว (Strain) ของแบบจำลอง และนำผลที่ได้ดังกล่าวไปวิเคราะห์หาค่าความแข็งเกร็งของการดัด (Flexural Rigidity) ในทิศทางตามแนวแกนยาว และตามแนวแกนกว้าง ตลอดจนวิเคราะห์หาความสัมพันธ์ของการโถงตัวของแผ่นพื้นกับความเหล็กที่รองรับแผ่นพื้นในการวิเคราะห์ระดับระบบ ผลที่ได้ทั้งหมดถูกนำไปเปรียบเทียบกับผลที่ได้จากห้องปฏิบัติการ (Punyamurthula 2004 และ Prachasaree 2009) โดยผลการวิเคราะห์และเกณฑ์ในการวิเคราะห์แบบจำลองของแผ่นพื้นสะพานชนิดหน้าตัด Prodeck4 ระดับต่างๆ จะถูกแสดงเป็นลำดับ ดังต่อไปนี้ (ในหัวข้อ 5.2.1 ถึง 5.2.3)

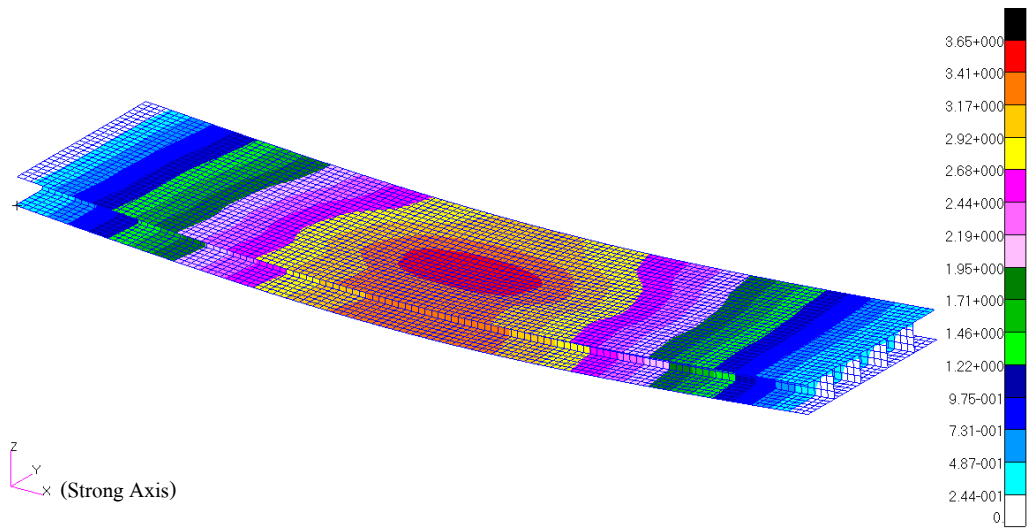
5.2.1 การวิเคราะห์ชิ้นส่วนตามแนวแกนยาว (Analysis of Longitudinal Component)

แบบจำลองชิ้นส่วนตามแนวแกนยาวมีความกว้าง 73.66 เซนติเมตร ความยาว 304.80 เซนติเมตร และความสูงของหน้าตัด 10.16 เซนติเมตร ซึ่งประกอบด้วยสองส่วนคือส่วนที่เป็นแผ่นตั้ง (Web) ของหน้าตัดมีความหนา 0.95 เซนติเมตร และส่วนปีกทั้งด้านบนและล่าง (Top and Bottom Flange) มีความหนาเท่ากันคือ 1.09 เซนติเมตร โดยแบบจำลองถูกวางแผนที่รองรับอย่างง่าย (Simple Support) และอยู่ภายใต้แรงกระทำบนพื้นที่สี่เหลี่ยม (Patch Load) ขนาดความกว้าง และความยาวเท่ากับ 25.40 เซนติเมตร และ 50.80 เซนติเมตร ตามลำดับ แบบจำลองที่สร้างขึ้นประกอบด้วยอิลิเมนต์แบบแผ่นโคลงบางแบบ laminate ชั้น (Thin Laminated Shell) ชนิดสี่เหลี่ยมขนาดกว้าง 2.54 เซนติเมตร และยาว 2.54 เซนติเมตร จำนวน 8,880 อิลิเมนต์ โดยแต่ละชั้นของ laminate มีคุณสมบัติแบบอรอโทتروปิก (Orthotropic) แบบจำลองของชิ้นส่วนตามแนวแกนยาวถูกแสดงอยู่ในรูป 5.1

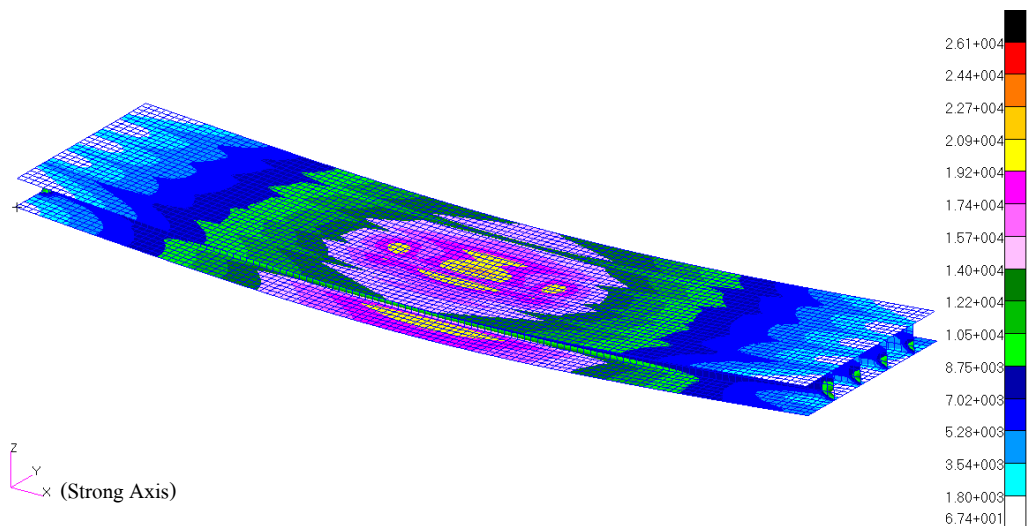


รูปที่ 5.1 แบบจำลองชิ้นส่วนพื้นสะพาน Prodeck4 ตามแนวแกนยาว

แบบจำลองของชิ้นส่วนตามแนวแกนยาวนี้ถูกทำการวิเคราะห์ผลการตอบสนองต่อระยะโถง (Deflection) และค่าการยืดหยุ่น (Strain) บนชิ้นส่วนต่อน้ำหนักบรรทุก (ตัวอย่าง: การโถงตัวและการยืดหยุ่นตามแนวแกนของชิ้นส่วนภายใต้น้ำหนักบรรทุกขนาด 155.74 กิโลนิวตัน และแสดงอยู่ในรูปที่ 5.2 และ รูปที่ 5.3) โดยผลการวิเคราะห์ที่ได้ถูกนำมาทำการเปรียบเทียบกับผลที่ได้จากการทดสอบในห้องปฏิบัติการ (Punyamurthula 2004)



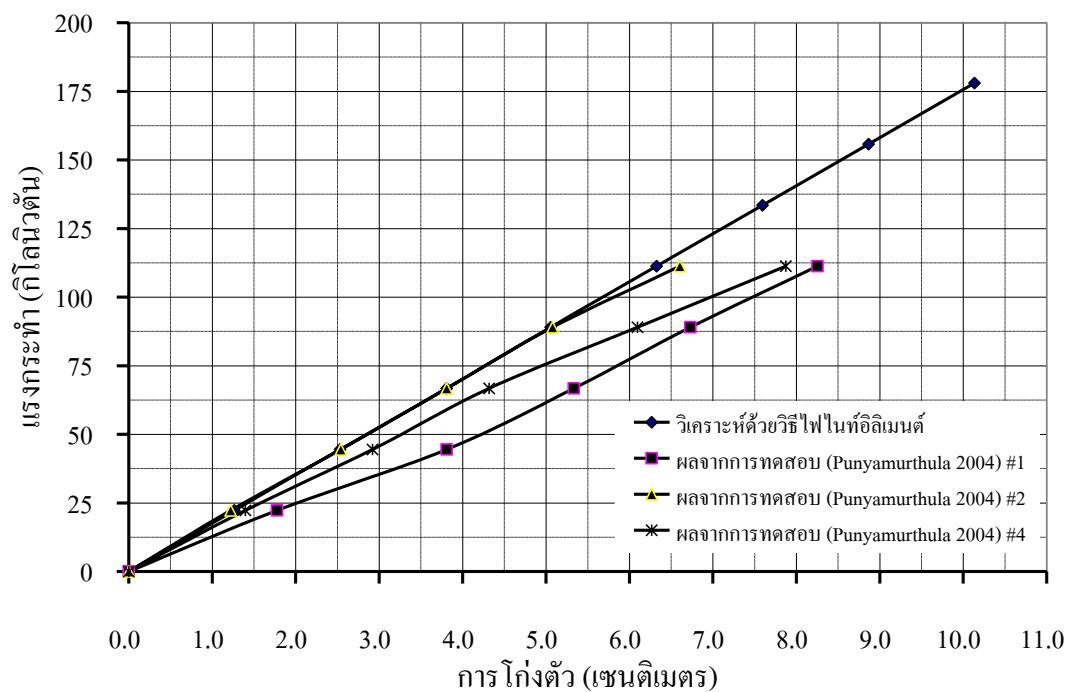
รูปที่ 5.2 การ โถ่ตัวของแบบจำลองชิ้นส่วนพื้นสะพาน Prodeck4 ตามแนวแกนยาว



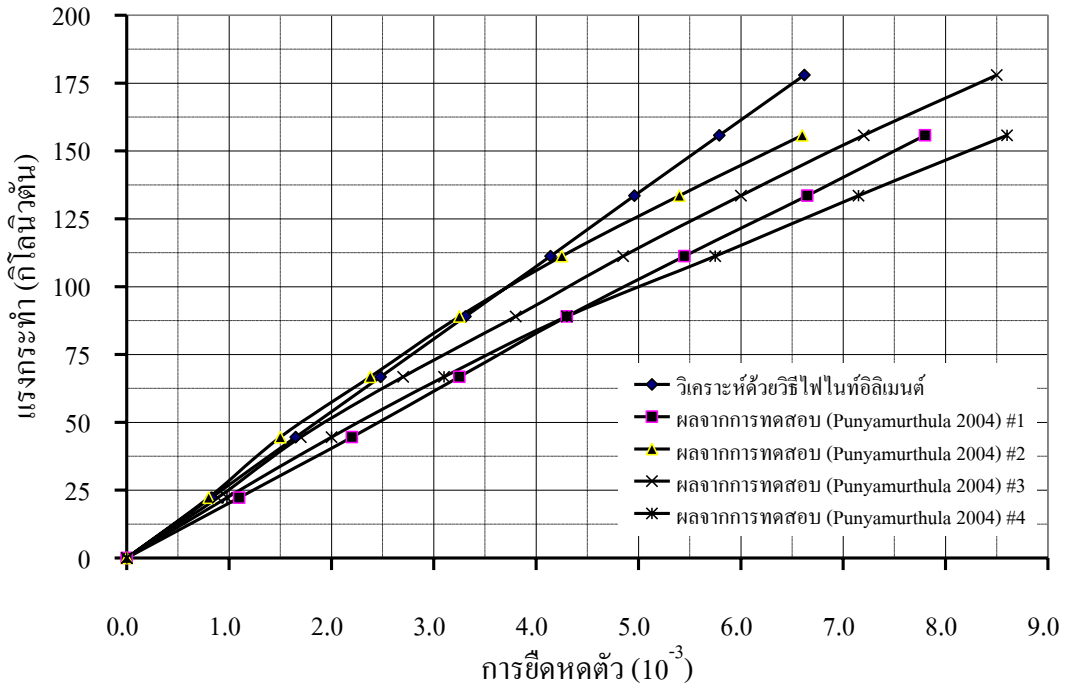
รูปที่ 5.3 ค่าการยึดหดตัวของแบบจำลองชิ้นส่วนพื้นสะพาน Prodeck4 ตามแนวแกนยาว

การเปรียบเทียบผลจากการวิเคราะห์ด้วยวิธีไฟไนต์อิลิเมนต์และการทดสอบในห้องปฏิบัติการ พนว่าทั้งความสัมพันธ์ของน้ำหนักบรรทุก – การ โถ่ตัว และน้ำหนักบรรทุก – ค่าการยึดหดตัวตามแนวแกนดังแสดงในรูปที่ 5.4 และรูปที่ 5.5 ตามลำดับ ผลการตอบสนองลักษณะเป็นเชิงเส้น (Linear) ทั้งการวิเคราะห์และการทดสอบในห้องปฏิบัติการสืบเนื่องมาจากธรรมชาติของคุณสมบัติของวัสดุอลิเมอร์เสริมกำลังด้วยเส้นใยจะมีพฤติกรรมตอบสนองแบบเชิงเส้น จึงกระทึ่งถึงจุดแตกหักในลักษณะของวัสดุpercentage ดังนั้นในการศึกษานี้การวิเคราะห์ผลตอบสนอง

ของชิ้นส่วนพื้นสะพานพอลิเมอร์จึงทำการวิเคราะห์แบบยึดหยุ่นเชิงเส้น (Linear-Elastic) เท่านั้น นอกจากรูปนี้พบว่าค่าสติฟเนส (ความซันของความสัมพันธ์ระหว่างน้ำหนักบรรทุกและการโก่งตัว) จากการวิเคราะห์มีค่าสูงกว่าผลการทดสอบในห้องปฏิบัติการซึ่งเป็นผลมาจากการสมมุติฐานของแบบจำลองทางไฟไนต์อิลิเมนต์ซึ่งมีความสมบูรณ์สม่ำเสมอของคุณสมบัติวัสดุ ปราศจากจุดบกพร่องและมีการถ่ายเทแรงกระทำอย่างสมบูรณ์ทำให้แบบจำลองทางไฟไนต์อิลิเมนต์มีความสมบูรณ์กว่าชิ้นตัวอย่างที่นำมาทดสอบจริง ข้อสังเกตประการหนึ่งถึงแม้วเทคโนโลยีในการผลิตชิ้นส่วนวัสดุพอลิเมอร์เสริมกำลังด้วยเส้นใยสำหรับงานทางวิศวกรรมโยธาและโครงสร้างพื้นฐานจะมีความก้าวหน้าอย่างมากในระยะเวลาที่ผ่านมาอย่างไรก็ตามข้อบกพร่องต่างๆ เช่น ความไม่สม่ำเสมอของพอลิเมอร์ การบ่มของพอลิเมอร์ที่ไม่เพียงพอตลอดจนช่องว่างที่เกิดขึ้นในเนื้อวัสดุ ซึ่งมีผลต่อคุณสมบัติเชิงกลของชิ้นส่วนก็ยังคงเกิดขึ้นอยู่เสมอ ซึ่งชิ้นส่วนซึ่งถูกผลิตในช่วงเวลาเดียวกันจากวัสดุตั้งต้านเดียวกันก็อาจมีคุณสมบัติเชิงกลที่แตกต่างกันได้



รูปที่ 5.4 ความสัมพันธ์น้ำหนักบรรทุก-การโก่งตัวของชิ้นส่วน Prodeck4 ตามแนวแกนยาว



รูปที่ 5.5 ความสัมพันธ์น้ำหนักบรรทุก-การยืดหดตัว ของชิ้นส่วน Prodeck4 ตามแนวแกนยาว

สำหรับการประเมินค่า俓าน้ำหนักบรรทุกพิบติดวยวิธีไฟไนท์อิเลิเมนต์ทำการวิเคราะห์โดยอาศัยเกณฑ์การพิบติของ Tsai-Wu ซึ่งในเกณฑ์การพิบตินี้อาศัยจุดจำกัดความเค้น (Stress Limit) ที่ประกอบไปด้วย ความเค้นดึง ความเค้นอัดและความเค้นเฉือน โดยที่ค่าขีดจำกัดความเค้นเหล่านี้ได้จากการทดสอบชิ้นส่วนของแผ่นพื้นสะพานพอลิเมอร์ในระดับชิ้นเล็กๆ (Coupon Level) ค่าขีดจำกัดเหล่านี้ถูกใช้เพื่อเป็นค่าขอบเขตของน้ำหนักบรรทุกพิบติตามความสัมพันธ์ในสมการที่ 5.1

$$f_1 \omega_{11}^t \leq f_2 \omega_{22}^t \leq f_3 \omega_{33}^t \leq f_{11} \omega_{11}^c \leq f_{22} \omega_{22}^c \leq f_{33} \omega_{33}^c \leq f_{23} \vartheta_{23}^t \leq f_{13} \vartheta_{13}^t \leq f_{12} \vartheta_{12}^t \\ 2 f_{1122} \omega_{11} \omega_{22} \leq 2 f_{1133} \omega_{11} \omega_{33} \leq 2 f_{2233} \omega_{22} \omega_{33} \quad \textcircled{R} \quad 1 \quad (5.1)$$

$$\text{โดยที่} \quad f_1 \mid \frac{1}{\omega_{11}^t} \leq f_2 \mid \frac{1}{\omega_{22}^t} \leq f_3 \mid \frac{1}{\omega_{33}^t} \quad f_{11} \mid \frac{1}{\omega_{11}^t \omega_{11}^c} \quad (5.1.1)$$

$$f_2 \mid \frac{1}{\omega_{22}^t} \leq f_{23} \mid \frac{1}{\omega_{22}^t \omega_{33}^c} \leq f_{13} \mid \frac{1}{\omega_{11}^t \omega_{33}^c} \quad (5.1.2)$$

$$f_3 \mid \frac{1}{\omega_{33}^t} 4 \frac{1}{\omega_{33}^c} \quad f_{33} \mid \frac{1}{\omega_{33}^t \omega_{33}^c} \quad (5.1.3)$$

$$f_{23} \mid \left. \frac{\textcircled{R} 1}{\textcircled{S} \omega_{23}^2} \right|^2 \quad f_{13} \mid \left. \frac{\textcircled{R} 1}{\textcircled{S} \omega_{13}^2} \right|^2 \quad f_{12} \mid \left. \frac{\textcircled{R} 1}{\textcircled{S} \omega_{12}^2} \right|^2 \quad (5.1.4)$$

$$f_{2233} \mid \frac{14 f_2 \omega_f 4 f_3 \omega_f 4 f_{22} \omega_f^2 4 f_{33} \omega_f^2}{2 \omega_f^2} \quad (5.1.5)$$

$$f_{1133} \mid \frac{14 f_1 \omega_f 4 f_3 \omega_f 4 f_{11} \omega_f^2 4 f_{33} \omega_f^2}{2 \omega_f^2} \quad (5.1.6)$$

$$f_{1122} \mid \frac{14 f_1 \omega_f 4 f_2 \omega_f 4 f_{11} \omega_f^2 4 f_{22} \omega_f^2}{2 \omega_f^2} \quad (5.1.7)$$

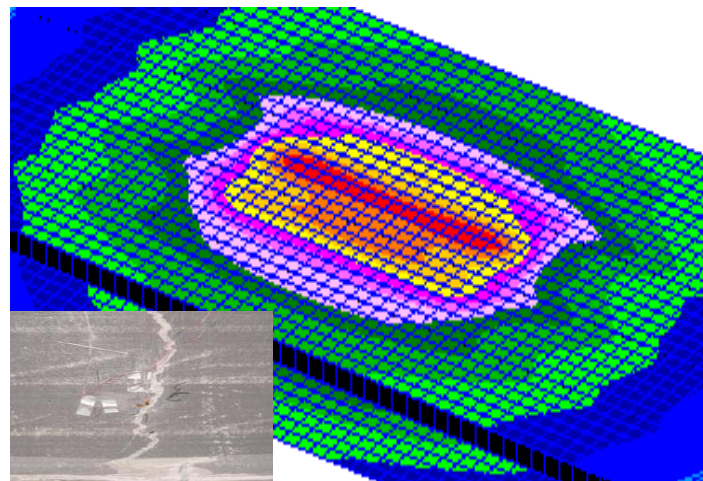
สำหรับค่าขีดจำกัดความเค้นต่างๆที่ใช้ในการประเมินน้ำหนักบรรทุกประลัยของชิ้นส่วนพื้นสะพาน Prodeck4 แสดงสรุปอยู่ในตารางที่ 5.1 (Punyamurthula 2004)

ตารางที่ 5.1 ขีดจำกัดความเค้นของสดุกอลิเมอร์เสริมกำลังด้วยเส้นใยสำหรับ Prodeck4

ประเภทขีดจำกัดความเค้น		ขนาด $\times 10^6$ (นิวตันต่อตารางเมตร)
ความเค้นดึง	ω_{11}	221.17
	ω_{22}	221.17
ความเค้นยืด	ω_{11}	207.35
	ω_{22}	207.35
ความเค้นเฉือน	ϑ	207.35

ในการประเมินหากค่า'n้ำหนักบรรทุกพิบัติอาศัยกระบวนการทำชำ โดยการสมนูติค่า'n้ำหนักบรรทุกพิบัติเริ่มต้นและทำการคำนวณผลตอบสนองความเค้นที่เกิดขึ้นในชิ้นส่วนโดยมีเงื่อนไขตามเกณฑ์การพิบัติที่ใช้ ข้อสังเกตในการวิเคราะห์แบบจำลองจะแสดงสิ่งที่กล่าวมาแล้วข้างต้น โดยอาศัยดัชนีการพิบัติ (Failure Index - FI) เมื่อตัวแหน่งได้จากแบบจำลองเกิดการพิบัติจะมีค่าดัชนีการพิบัติเท่ากับ 1.00 หากการวิเคราะห์โดยวิธีไฟฟ์อลิเมนต์พบว่าตำแหน่งที่ชิ้นส่วนพื้นสะพานเกิดการพิบัติคือบริเวณแนวปิกนยีดต่อ กับแผ่นตั้งของแผ่นพื้นสะพานบริเวณกึ่งกลางซึ่งความยาวโดยเป็นการพิบัติเนื่องจากการอัด ทั้งนี้การพิบัติที่เกิดขึ้นกับแบบจำลองนั้นเป็นการพิบัติ

ของلامินेटชันบนสุดของปีกบันของแผ่นพื้น (Local Failure) ในขณะที่ lamинेटชันถด Mayer ไม่เกิด
ตารางพิบัติ ($FI < 1.00$) เมื่อทำการพิจารณาเปรียบเทียบกับผลการทดสอบในห้องปฏิบัติการ
(Punyamurthula 2004) พบว่าตำแหน่งที่เกิดการพิบัติมีความสอดคล้องกันดังแสดงในรูปที่ 5.6 ทั้งนี้
ในการทดสอบจริงไม่สามารถบอกได้ว่าเกิดการพิบัติใน lamинेटชันใดก่อน เนื่องจากคุณสมบัติของ
FRP มีความประาะ เมื่อรับแรงกระทำจากถึงค่าพิบัติชั้นตัวอย่างที่จะเสียหายอย่างรวดเร็ว โดยในการ
ทดสอบมีน้ำหนักบรรทุกพิบัติของแผ่นพื้นสะพานประมาณ 193.90 กิโลนิวตัน ซึ่งสูงกว่าค่าเฉลี่ยที่
ได้จากการทดสอบในห้องปฏิบัติการประมาณ 14.44 เปอร์เซ็นต์



รูปที่ 5.6 การพิบัติของแบบจำลองและชิ้นส่วน Prodeck4 (Punyamurthula 2004) ตามแนวแกนยาว

สำหรับการคำนวณหาค่าความแข็งเกร็งต่อการดัด (Flexural Rigidity, EI) โดย
อาศัยความสัมพันธ์: 1) น้ำหนักบรรทุกและการโถงตัว (Relation of Load-Deflection) และ 2)
น้ำหนักบรรทุกและการขีดหนดตัวในแนวแกน (Relation of Load-Axial Strain) ตามวิธีการคำนวณที่
เสนอโดย Punyamurthula (2004) มีข้อสังเกตคือ วิธีการดังกล่าวมีสมมุติฐานซึ่งไม่ทำการพิจารณา
ผลกระทบของการโถงตัวและการขีดหนดตัวที่เกิดขึ้นเนื่องจากผลของแรงเฉือนซึ่งสมมุติฐานดังกล่าวจะเป็น
จริงได้ก็ต่อเมื่อชิ้นส่วนของวัสดุพอลิเมอร์เสริมกำลังด้วยเส้นใยม้อตราช่วงความยาวต่อขนาดหน้า
ตัดในอัตราที่สูงและสูงกว่าเมื่อเปรียบเทียบสำหรับวัสดุวิศวกรรมดั้งเดิม อย่างไรก็ตามในการศึกษา
นี้ผลที่ได้จากการคำนวณเป็นเพียงค่าประมาณเพื่อเปรียบเทียบกับผลที่ได้จากการทดสอบใน
ห้องปฏิบัติการ

จากความสัมพันธ์ระหว่างน้ำหนักบรรทุกและการโถ่ตัวที่เกี่ยวกับช่วงความยาว

$$EI \mid \left. \frac{\textcircled{R}P}{\textcircled{C}_K} \right| \left. \frac{\textcircled{R}L^3}{\textcircled{C}_M 48} \right| \quad (5.2)$$

$\left. \frac{\textcircled{R}P}{\textcircled{C}_K} \right|$ คือค่าความชันของความสัมพันธ์ระหว่างน้ำหนักบรรทุกและการโถ่ตัว

จากความสัมพันธ์ระหว่างน้ำหนักบรรทุกและการยึดหยดตัวตามแนวแกน

$$EI \mid \left. \frac{\textcircled{R}P}{\textcircled{C}_K} \right| \left. \frac{\textcircled{R}Lc}{\textcircled{C}_M 4} \right| \quad (5.3)$$

$\left. \frac{\textcircled{R}P}{\textcircled{C}_K} \right|$ คือค่าความชันของความสัมพันธ์ระหว่างน้ำหนักบรรทุกและการยึดหยดตัวตามแนวแกน

โดยที่ L คือความยาวช่วงของแบบจำลอง (แบบจำลองมีช่วงความยาว 279.40 เซนติเมตร), E คือ ค่าโมดูลัสของความยืดหยุ่น (Modulus of Elasticity), I คือค่าโมเมนต์ความเฉี่ยว (Moment of Inertia), c คือระยะห่างจากแนวแกนสะเทิน (Neutral Axis) ของหน้าตัดไปถึงขอบที่โถ่ที่สุดของหน้าตัด (มีค่าประมาณ 5.08 เซนติเมตร), \div คือค่าการโถ่ตัว (Deflection), κ คือค่าการยึดหยดตัวตามแนวแกน (Strain) และ P คือน้ำหนักบรรทุก ส่วนค่าความชันของความสัมพันธ์ระหว่างน้ำหนักบรรทุกและการโถ่ตัวที่เกี่ยวกับช่วงความยาว ($P - \div$) มีค่าประมาณ 17.59 กิโลนิวตันต่อเซนติเมตร และ ค่าความชันของความสัมพันธ์ระหว่างน้ำหนักบรรทุกและการยึดหยดตัวตามแนวแกน ($P - \kappa$) มีค่าประมาณ 26.89×10^3 กิโลนิวตัน

จากการวิเคราะห์แบบจำลอง Prodeck4 ตามแนวแกนตามยาว (Longitudinal Direction) ค่าน้ำหนักบรรทุกพิบัติและค่าความแข็งเกร็งต่อการดัดแสดงเปรียบเทียบกับค่าที่ได้จากห้องปฏิบัติการ (Punyamurthula 2004) ดังในตารางที่ 5.2

ตารางที่ 5.2 เปรียบเทียบผลการวิเคราะห์ด้วยวิธีไฟไนท์อิเลิมเนต์กับการทดสอบในห้องปฏิบัติการสำหรับชิ้นส่วน Prodeck4

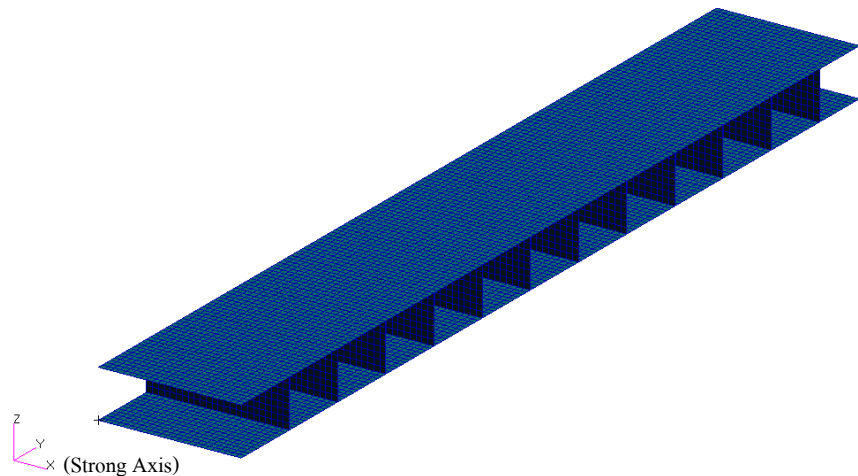
การประเมินค่า	วิธีไฟไนท์อิเลิมเนต์	*การทดสอบในห้องปฏิบัติการ
น้ำหนักบรรทุกพิบัติ (kN)	193.90	187.30
$EI (P - \div) (\text{kN}\cdot\text{cm}^2)$	7.99×10^6	7.85×10^6
$EI (P - K) (\text{kN}\cdot\text{cm}^2)$	9.54×10^6	8.89×10^6

*ผลการทดสอบในห้องปฏิบัติการ (Punyamurthula 2004)

จากผลที่แสดงในตารางที่ 5.2 พบว่าค่าน้ำหนักบรรทุกพิบัติและค่าความแข็งเกร็งต่อการดัดมีค่าสูงกว่าค่าที่ได้จากการทดสอบในห้องปฏิบัติการ (Punyamurthula 2004) สาเหตุเนื่องมาจากความสมมูลรูปและความต่อเนื่องทั้งทางกายและคุณสมบัติของวัสดุในแบบจำลองทางไฟไนท์อิเลิมเนต์ดังที่ได้กล่าวมาแล้วในส่วนของความสัมพันธ์ระหว่างน้ำหนักบรรทุกและการโก่งตัว โดยมีความแตกต่างกันสำหรับน้ำหนักบรรทุกพิบัติ ความแข็งเกร็งต่อการดัด (การโก่งตัว) และความแข็งเกร็งต่อการดัด (การยึดหยุ่นตัว) โดยประมาณ 3.50 เปอร์เซ็นต์ 1.77 เปอร์เซ็นต์ และ 7.35 เปอร์เซ็นต์ ตามลำดับ

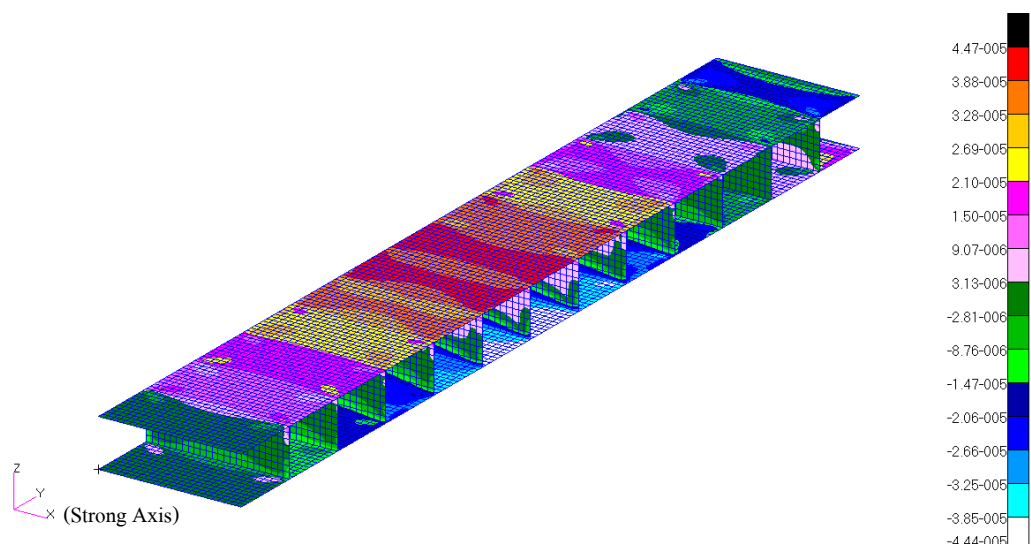
5.2.2 การวิเคราะห์ชิ้นส่วนตามแนวแกนตามยาว (Analysis of Transverse Component)

แบบจำลองชิ้นส่วนตามแนวแกนขวางมีความกว้าง 195.58 เซนติเมตร ความยาว 30.48 เซนติเมตร และความสูงของหน้าตัด 10.16 เซนติเมตร ซึ่งประกอบด้วยสองส่วนคือส่วนที่เป็นแผ่นตั้ง (Web) ของหน้าตัดมีความหนา 0.95 เซนติเมตร และส่วนปีกทั้งด้านบนและล่าง (Top and Bottom Flange) มีความหนาเท่ากันคือ 1.09 เซนติเมตร โดยแบบจำลองถูกวางแผนที่รองรับอย่างง่าย (Simple Support) และอยู่ภายใต้แรงกระทำบนพื้นที่สี่เหลี่ยม (Patch Load) ขนาดความกว้าง และความยาวเท่ากัน 25.40 เซนติเมตร และ 50.80 เซนติเมตร ตามลำดับ แบบจำลองที่สร้างขึ้นประกอบด้วยอิลิเมนต์แบบแผ่นโลหะแบบลายชั้น (Thin Laminated Shell) ชนิดสี่เหลี่ยมขนาดกว้าง 2.54 เซนติเมตร และยาว 2.54 เซนติเมตร จำนวน 2,424 อิลิเมนต์ โดยแต่ละชั้นของลายมีคุณสมบัติแบบอโพรโทรอปิก (Orthotropic) แบบจำลองของชิ้นส่วนตามแนวแกนยาวถูกแสดงอยู่ในรูป 5.7



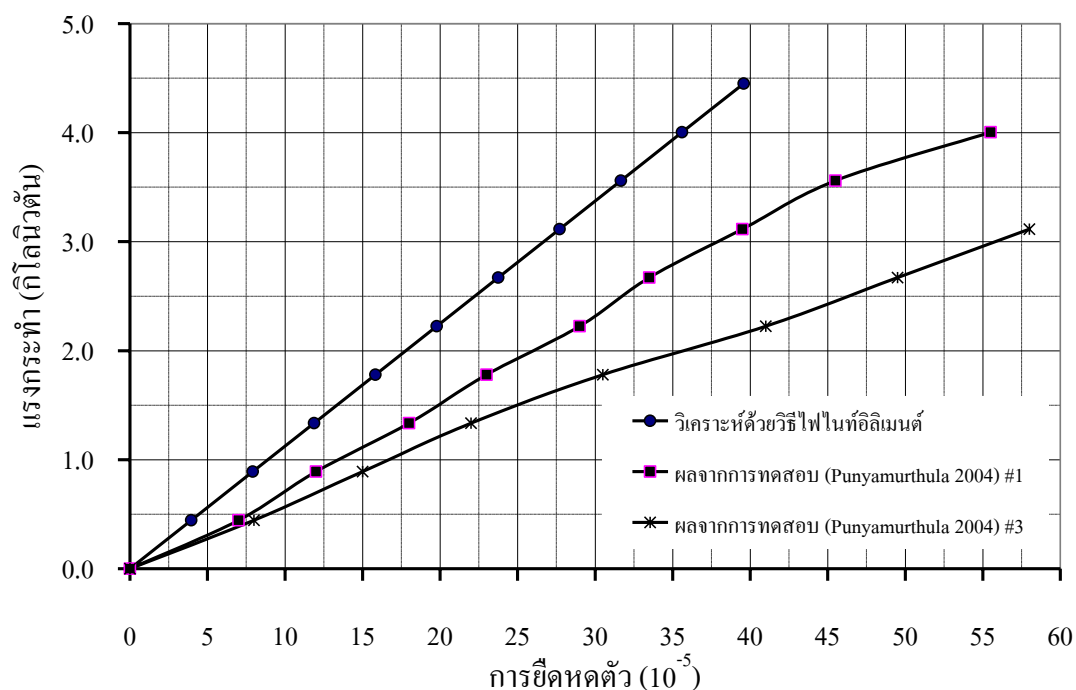
รูปที่ 5.7 แบบจำลองชิ้นส่วนพื้นสะพาน Prodeck4 ตามแนวแกนขวาง

แบบจำลองของชิ้นส่วนตามแนวแกนขวางนี้ถูกทำการวิเคราะห์ผลการตอบสนองต่อค่าการยึดหยัดตัว (Strain) บนชิ้นส่วนต่อหน้าหนักบรรทุก (ตัวอย่าง: ค่าการยึดหยัดตัวตามแนวแกนของชิ้นส่วนภายใต้หน้าหนักบรรทุกขนาด 4.45 กิโลนิวตันแสดงอยู่ในรูปที่ 5.8) โดยผลการวิเคราะห์ที่ได้ถูกนำมาทำการเปรียบเทียบกับผลที่ได้จากการทดสอบในห้องปฏิบัติการ (Punyamurthula 2004)



รูปที่ 5.8 ค่าการยึดหยัดตัวของแบบจำลองชิ้นส่วนพื้นสะพาน Prodeck4 ตามแนวแกนขวาง

จากการเปรียบเทียบผลจากการวิเคราะห์ด้วยวิธีไฟไนต์อิลิเมนต์กับผลการทดสอบในห้องปฏิบัติการ พบว่าความสัมพันธ์ของน้ำหนักบรรทุก – ค่าการยึดหยดตัวตามแนวแกนดังแสดงในรูปที่ 5.9 มีลักษณะเป็นเชิงเส้น (Linear) ทั้งการวิเคราะห์และการทดสอบในห้องปฏิบัติการสืบเนื่องมาจากธรรมชาติของคุณสมบัติของวัสดุพอลิเมอร์เสริมกำลังด้วยเส้นใยจะมีพฤติกรรมตอบสนองแบบเชิงเส้นจนกระทั่งถึงจุดแตกหักในลักษณะของวัสดุประเภทซึ่งได้กล่าวมาแล้วข้างต้นในการวิเคราะห์แบบจำลองตามแนวแกนยาว



รูปที่ 5.9 ความสัมพันธ์น้ำหนักบรรทุก-การยึดหยดตัวของชิ้นส่วน Prodeck4 ตามแนวแกนยาว

สำหรับการคำนวณหาค่าความแข็งเกร็งต่อการดัด (Flexural Rigidity, EI) โดยอาศัยความสัมพันธ์ระหว่างน้ำหนักบรรทุกและการยึดหยดตัวในแนวแกน (Relation of Load-Axial Strain) ตามวิธีการคำนวณที่เสนอโดย Punyamurthula (2004) (สมการที่ 5.3)

จากความสัมพันธ์ระหว่างน้ำหนักบรรทุกและการยึดหยดตัวในแนวแกนในรูปที่ 5.9 พบว่าเมื่อแรงกระทำจนถึงค่าสูงสุดลักษณะของกราฟเป็นแบบเชิงเส้นซึ่งยังอยู่ในช่วงยึดหยุ่นอยู่ (Linear Elastic) และค่าความชันที่ได้จากการคำนวณที่เสนอโดย Punyamurthula (2004) มีค่าประมาณ 0.01124×10^6 กิโลนิวตัน ถูกนำไปแทนในสมการ 5.3 เพื่อคำนวณหาค่าความแข็งเกร็งของการดัด (Flexural Rigidity) ในแนวแกนยาว โดยค่า L คือค่าความ

ยาวช่วงมีค่าประมาณ 195.58 เซนติเมตร และค่า c คือระยะห่างจากแนวแกนสะเทิน ของหน้าตัดไปถึงขอบที่ใกล้ที่สุดของหน้าตัดมีค่าประมาณ 5.08เซนติเมตร ดังแสดง

$$EI \left| \frac{\frac{P}{c}}{\frac{L}{4}} \right| = 2.793 \times 10^6 \text{ กิโลนิวตัน-ตารางเซนติเมตร}$$

จากการวิเคราะห์แบบจำลอง Prodeck4 ตามแนวแกนขวา (Transverse Direction) ค่าความแข็งเกร็งต่อการดัดแสดงเปรียบเทียบกับค่าที่ได้จากห้องปฏิบัติการ (Punyamurthula 2004) อยู่ในตารางที่ 5.3

ตารางที่ 5.3 เปรียบเทียบผลการวิเคราะห์ด้วยวิธีไฟไนท์อิลิเมนต์กับการทดสอบในห้องปฏิบัติการ สำหรับชิ้นส่วน Prodeck4

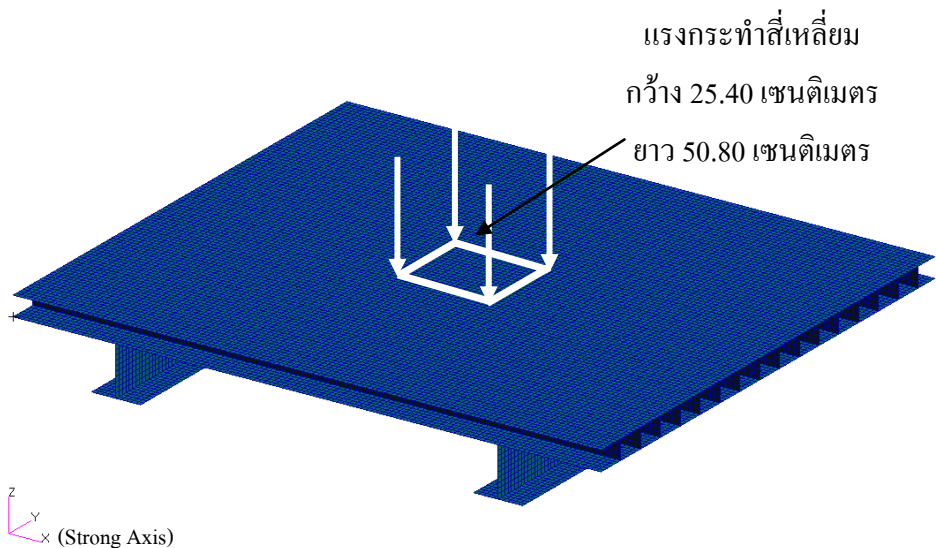
วิธีการคำนวณ	ค่าความแข็งเกร็งของการดัด $EI(P - \kappa)$ ($\text{kN}\cdot\text{cm}^2$)
วิเคราะห์ด้วยไฟไนท์อิลิเมนต์	2.793×10^6
Punyamurthula 2004	
จากการทดสอบ #1	2.647×10^6
จากการทดสอบ #3	1.151×10^6

จากผลที่แสดงในตารางที่ 5.3 พบร้าค่าความแข็งเกร็งต่อการดัดมีค่าสูงกว่าค่าที่ได้จากผลการทดสอบในห้องปฏิบัติการ (Punyamurthula 2004) สาเหตุเนื่องมาจากการทดสอบทางไฟไนท์อิลิเมนต์มีลักษณะทางกายภาพที่มีความต่อเนื่อง รวมถึงคุณสมบัติต่างๆของแบบจำลองมีความสมบูรณ์สม่ำเสมอทั่วทั้งแบบจำลอง (กล่าวได้ว่าทุกๆอิลิเมนต์ของแบบจำลองมีความสมบูรณ์และความต่อเนื่องทั้งทางกายและคุณสมบัติของวัสดุ) ซึ่งแตกต่างกับชิ้นตัวอย่างที่นำมาทำการทดสอบในห้องปฏิบัติการที่ความสมบูรณ์และความต่อเนื่องทั้งทางกายและคุณสมบัติของวัสดุอาจไม่มีความสม่ำเสมอตลอดทั้งชิ้นตัวอย่าง (สาเหตุอาจมาจากข้อขัดตอนในกระบวนการผลิต ดังกล่าวมาในบทที่ 3) ส่งผลให้ความสามารถในการรับแรงกระทำหรือส่งถ่ายแรงกระทำในกรณีต่างๆไม่มีความสม่ำเสมอตามไปด้วย เหตุผลอีกประการหนึ่ง คือ ในการทดสอบจริงในห้องปฏิบัติการมีการเข้มต่อ กันของชิ้นส่วนหน้าตัด ซึ่งทำให้การส่งถ่ายแรงตรงบริเวณรอยต่อเกิดการสูญเสียชิ้นในขณะที่แบบจำลองทางไฟไนท์อิลิเมนต์ไม่ได้ออกแบบรอยต่อและไม่ได้พิจารณาการสูญเสียของ

แรงกระทำไว ทำให้แบบจำลองมีความแข็งแรงมากกว่าชิ้นตัวอย่างที่นำมาทดสอบ ดังผลที่แสดงในตารางที่ 5.3 ส่งผลให้ค่าความแข็งเกริงต่อการดัดมีค่าที่มากกว่า และความแตกต่างระหว่างค่าที่คำนวณมาจากการวิเคราะห์ด้วยไฟฟ้าที่อิเล็กทรอนิกส์กับค่าที่คำนวณได้มาจากการทดสอบในห้องปฏิบัติการ #1 และ #3 มีค่าประมาณ 5.23 เบอร์เซ็นต์ และ 58.79 เบอร์เซ็นต์ ตามลำดับ

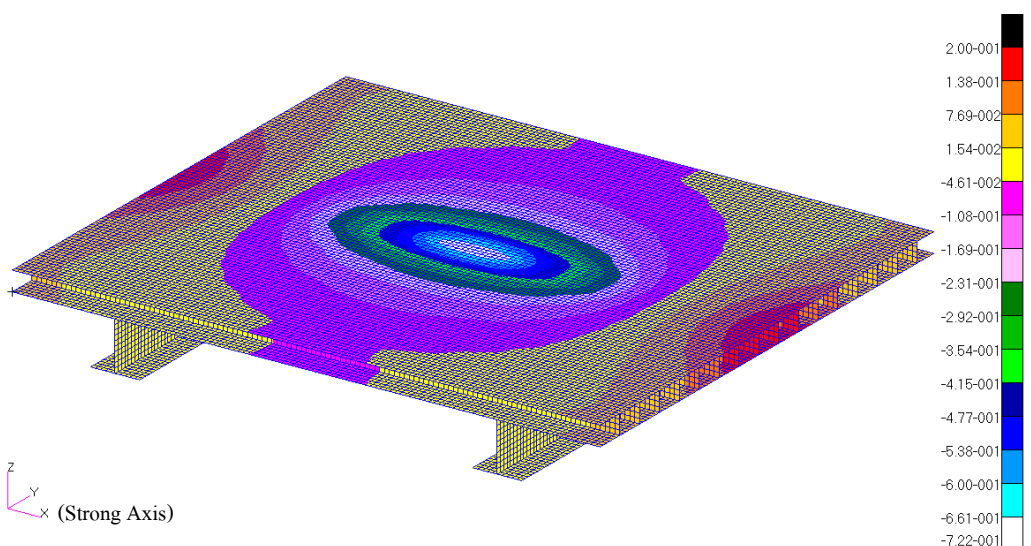
5.2.3 การวิเคราะห์ระดับระบบ (Analysis of System)

แบบจำลองระดับระบบประกอบด้วยสองส่วนคือ 1) แบบจำลองของแผ่นพื้นมีความกว้าง 256.54 เซนติเมตร ความยาว 304.80 เซนติเมตร และความสูงของหน้าตัด 10.16 เซนติเมตร ซึ่งประกอบด้วยสองส่วนคือส่วนที่เป็นแผ่นตั้ง (Web) ของหน้าตัดมีความหนา 0.95 เซนติเมตร และส่วนปีกทั้งด้านบนและล่าง (Top and Bottom Flange) มีความหนาเท่ากันคือ 1.09 เซนติเมตร แบบจำลองแผ่นพื้นที่สร้างขึ้นประกอบด้วยอิเล็กทรอนิกส์แบบแผ่นโถ้งบางแบบลาบิโน่ หลายชั้น (Thin Laminated Shell) ชนิดสีเหลี่ยมขนาดกว้าง 2.54 เซนติเมตร และยาว 2.54 เซนติเมตร จำนวน 31,920 อิเล็กทรอนิกส์ โดยแต่ละชั้นของลาบิโน่จะมีคุณสมบัติแบบอิโซทรอปิก (Orthotropic) โดยแบบจำลองแผ่นพื้นถูกวางบนแบบจำลองส่วนที่สองคือ 2) แบบจำลองของโครงสร้างปั๊วไอมีความกว้าง 25.40 เซนติเมตร ความยาว 256.54 เซนติเมตร และความสูงของหน้าตัด 99.06 เซนติเมตร ($W10'' \times 39''$) จำนวน 2 คาน โดยวางห่างกันด้วยระยะเท่ากับ 200.00 เซนติเมตร แบบจำลองของโครงสร้างที่สร้างขึ้นประกอบด้วยอิเล็กทรอนิกส์ชนิดสีเหลี่ยมขนาดกว้าง 2.54 เซนติเมตร และยาว 2.54 เซนติเมตร จำนวน 14,160 อิเล็กทรอนิกส์ โดยแต่ละอิเล็กทรอนิกส์มีคุณสมบัติแบบไอโซทรอปิก (Isotropic) โดยแบบจำลองของโครงสร้างเหล็กทั้งสองถูกวางบนที่รองรับอย่างง่าย (Simple Supported) และแบบจำลองทั้งระบบอยู่ภายใต้แรงกระทำบนพื้นที่สี่เหลี่ยม (Patch Load) ขนาดความกว้างและความยาวเท่ากับ 25.40 เซนติเมตร และ 50.80 เซนติเมตร ตามลำดับ แบบจำลองของชิ้นส่วนระดับระบบถูกแสดงอยู่ในรูปที่ 5.10



รูปที่ 5.10 แบบจำลองพื้นสะพาน Prodeck4 ในการวิเคราะห์ระดับระบบ

แบบจำลองของชิ้นส่วนระดับระบบนี้ทำการวิเคราะห์ผลการตอบสนองต่อระยะโถง (Deflection) (ทั้งระยะโถงที่เกิดขึ้นกับแบบจำลองของแผ่นพื้นและระยะโถงที่เกิดขึ้นกับแบบจำลองความเหล็กทั้งสอง) (ตัวอย่าง: การโถงตัวของแบบจำลองทั้งระบบภายใต้น้ำหนักบรรทุกขนาด 111.25 กิโลนิวตันแสดงอยู่ในรูปที่ 5.11) โดยผลการวิเคราะห์ที่ได้ถูกนำมาทำการเปรียบเทียบกับผลที่ได้จากการทดสอบในห้องปฏิบัติการ (Punyamurthula 2004)



รูปที่ 5.11 การโถงตัวของแบบจำลองพื้นสะพาน Prodeck4 ในการวิเคราะห์ระดับระบบ

การเปรียบเทียบผลจากการวิเคราะห์ค่าวิวิธีไฟไนต์อิลิเมนต์และการทดสอบในห้องปฏิบัติการ พบว่าระยะ กอ่งที่เกิดขึ้นกับแบบจำลองของคานเหล็กทั้งสองและระยะ กอ่งที่เกิดขึ้นกับแบบจำลองของแผ่นพื้น มีค่าใกล้เคียงกับระยะ กอ่งจากการทดสอบในห้องปฏิบัติการ ดังแสดงในตารางที่ 5.4 และตารางที่ 5.5 ตามลำดับ และเมื่อพิจารณาตารางที่ 5.5 พบว่าการ กอ่งตัวของแบบจำลองทั้งระบบหรือการ กอ่งตัวสัมพัทธ์ (การ กอ่งตัวสัมพัทธ์ คือความแตกต่างของค่าการ กอ่งตัวระหว่างการ กอ่งตัวของแผ่นพื้นกับการ กอ่งตัวเฉลี่ยของคานที่รองรับ หรือการ กอ่งตัวของแผ่นพื้นเทียบกับการ กอ่งตัวเฉลี่ยของคานที่รองรับ) มีค่าน้อยกว่าค่าจากการทดสอบ และมีความแตกต่างกันประมาณ 7.59 % ซึ่งแสดงให้เห็นว่าความสมบูรณ์และสมำเสมอของคุณสมบัติวัสดุ ปราศจากจุดบกพร่องและมีการถ่ายเทแรงกระทำอย่างสมบูรณ์ทำให้แบบจำลองทางไฟไนต์อิลิเมนต์มีความสมบูรณ์กว่าชิ้นตัวอย่างที่นำมาทดสอบจริง ดังกล่าวมาแล้วข้างต้น

ตารางที่ 5.4 ค่าระยะ กอ่งของที่รองรับเหล็กในการทดสอบทั้งระบบ

วิธีวิเคราะห์ระบบแผ่นพื้น	แรงกระทำ (กิโลนิวตัน)	การ กอ่งตัว (เซนติเมตร)		ค่าเฉลี่ยการ กอ่งตัว (เซนติเมตร)
		คานตัวที่ 1	คานตัวที่ 2	
ไฟไนต์อิลิเมนต์	111.25	0.086	0.086	0.086
การทดสอบ (Punyamurthula 2004)	111.25	0.084	0.086	0.085

ตารางที่ 5.5 ค่าระยะ กอ่งของที่รองรับเหล็กเมื่อเปรียบเทียบกับพื้นในการทดสอบทั้งระบบ

วิธีวิเคราะห์ระบบแผ่นพื้น	แรงกระทำ (กิโลนิวตัน)	ค่าเฉลี่ยการ กอ่งตัว (เซนติเมตร)	การ กอ่งตัวแผ่นพื้น (เซนติเมตร)	การ กอ่งตัวสัมพัทธ์ (เซนติเมตร)
ไฟไนต์อิลิเมนต์	111.25	0.086	1.834	1.748
การทดสอบ (Punyamurthula 2004)	111.25	0.085	1.936	1.851

จากการวิจัย ได้เสนอสมการตามมาตรฐาน AASHTO (สมการ 5.4) ซึ่งเป็นสมการค่าการ กอ่งตัวสูงสุดที่ยอมให้ของระบบแผ่นพื้นและคานรองรับ ดังแสดง

$$\div_{\max} \mid \frac{L}{800} \quad (5.4)$$

เมื่อ \div_{\max} คือ ค่าการ โถงตัวสูงสุดที่ยอมให้ของระบบแผ่นพื้นและคานรองรับ
 L คือ ช่วงความยาวของระบบแผ่นพื้นและคานรองรับ (เซนติเมตร)

เมื่อแทนค่า $L = 200.00$ เซนติเมตร ลงในสมการ 5.4 จะได้ $\div_{\max} = 0.25$ เซนติเมตร และนำไปเปรียบเทียบกับค่าในตารางที่ 5.4 พบว่าการ โถงตัวที่วิเคราะห์ได้จากทั้งสองวิธี (ไฟฟ้าโนลิเมนต์และการทดสอบ) ดังแสดงในตารางยังคงไม่เกินค่าการ โถงตัวสูงสุดที่ยอมให้ของระบบแผ่นพื้นและคานรองรับ หรืออยู่ในช่วงที่ยอมรับได้ภายใต้หนักบรรทุก HS25 (หนักบรรทุกตามมาตรฐาน AASHTO HS25 จากล้อรถบรรทุกล้อเดียวมีค่าประมาณ 90.00 กิโลนิวตัน)

ในกรณีเดียวกันเมื่อเราพิจารณาตารางที่ 5.5 ซึ่งเป็นตารางที่แสดงให้เห็นถึงการ โถงตัวสัมพัทธ์ระหว่างค่านที่รองรับกับแผ่นพื้นสะพาน (Deck Deflection Relative to Stringers) และเพื่อเป็นการตรวจสอบค่าความสัมพันธ์ดังกล่าว โดย GangaRao and Shekar (2002) ได้เสนอ สมการ (สมการ 5.5) ในการตรวจสอบเบตงของการ โถงตัวสัมพัทธ์ของระบบแผ่นพื้นและคานรองรับ ดังแสดง

$$\div_{\max} \mid \frac{S_{c4c}}{500} \quad (5.5)$$

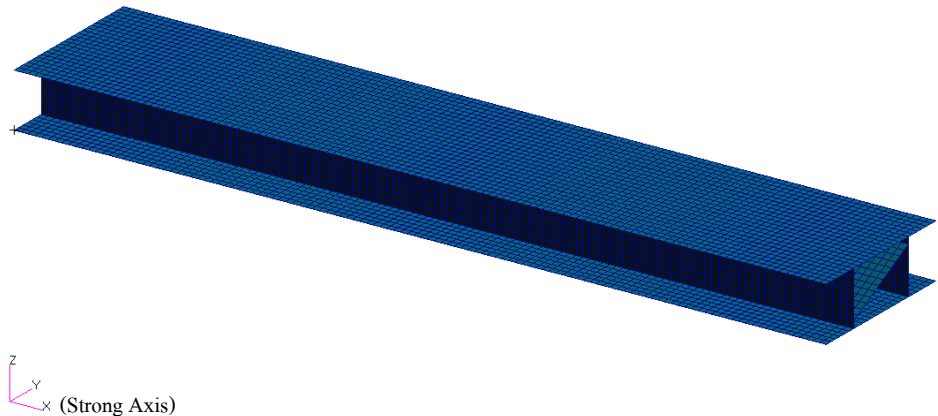
เมื่อ \div_{\max} คือ ค่าการ โถงตัวสูงสุดที่ยอมให้ของแผ่นพื้นที่สัมพัทธ์กับคานรองรับ
 S_{c4c} คือ ระยะห่างของคานรองรับทั้งสอง (ศูนย์กลางถึงศูนย์กลาง)

5.3 การวิเคราะห์แผ่นพื้นสะพานชนิดหน้าตัด Prodeck8 (Analysis of Prodeck8 Bridge Deck)

การวิเคราะห์แผ่นพื้นสะพานชนิดหน้าตัด Prodeck8 มีขั้นตอนและจุดประสงค์ในการวิเคราะห์ไปในแนวทางเดียวกันกับการวิเคราะห์แผ่นพื้นสะพานชนิดหน้าตัด Prodeck4 กล่าวคือ ภายหลังการสร้างแบบจำลองของแผ่นพื้นสะพานชนิดหน้าตัด Prodeck8 จะทำการวิเคราะห์โดยการเพิ่มขนาดของแรงที่กระทำต่อแบบจำลองซึ่งเป็นแรงกระทำแบบสติติกาสตร์ (Static Load) เพื่อหาค่ารۀยะโถงตัว (Deflection) และค่าการยืดหดตัว (Strain) ของแบบจำลอง และนำผลที่ได้ดังกล่าวไปวิเคราะห์หาค่าความแข็งเกร็งของการดัด (Flexural Rigidity) ในทิศทางตามแนวแกนยาวและตามแนวแกนกว้าง ตลอดจนวิเคราะห์หาความสัมพันธ์ของการโถงตัวของแผ่นพื้น กับค่านเหล็กที่รองรับแผ่นพื้นในการวิเคราะห์ระดับระบบ ผลที่ได้ทั้งหมดถูกนำมาเปรียบเทียบกับผลที่ได้จากห้องปฏิบัติการ (Howard 2002) และผลที่ได้จากการวิเคราะห์ด้วยไฟไนท์อิลิเมนต์ของ Suraj (2005) โดยผลการวิเคราะห์และเกณฑ์ในการวิเคราะห์แบบจำลองของแผ่นพื้นสะพานชนิดหน้าตัด Prodeck8 ระดับต่างๆ จะถูกแสดงเป็นลำดับ ในหัวข้อที่ 5.3.1 ถึง 5.3.3

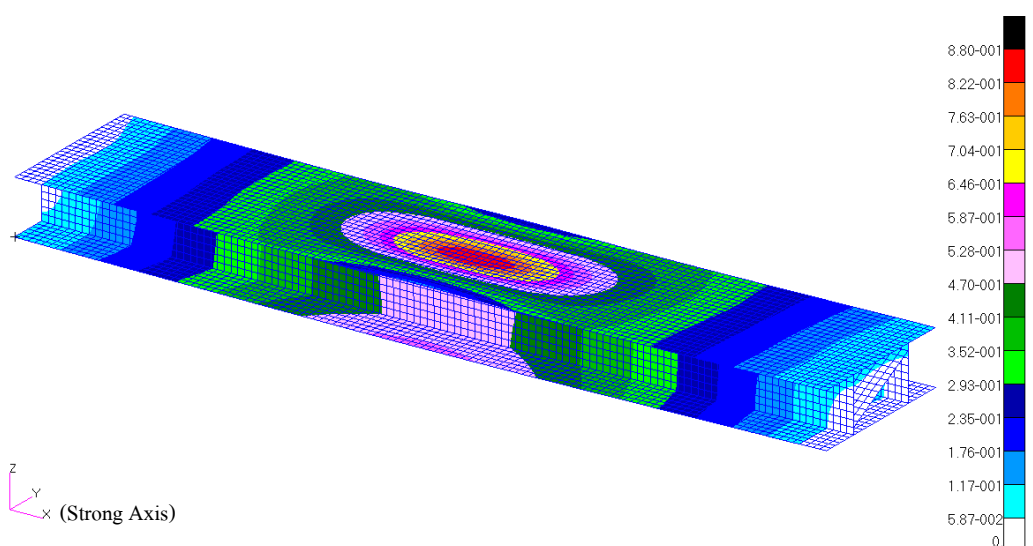
5.3.1 การวิเคราะห์ชิ้นส่วนตามแนวแกนยาว (Analysis of Longitudinal Component)

แบบจำลองชิ้นส่วนตามแนวแกนยาวมีความกว้าง 60.96 เซนติเมตร ความยาว 304.80 เซนติเมตร และความสูงของหน้าตัด 20.32 เซนติเมตร ซึ่งประกอบด้วยสามส่วนคือส่วนที่เป็นแผ่นตั้ง (Web) ของหน้าตัดมีความหนา 0.89 เซนติเมตร ส่วนปีกทั้งด้านบนและล่าง (Top and Bottom Flange) มีความหนาเท่ากันคือ 1.27 เซนติเมตร และส่วนที่เป็นแผ่นเฉียง (Diagonal) ของหน้าตัดมีความหนา 0.64 เซนติเมตร โดยแบบจำลองถูกวางบนที่รองรับอย่างง่าย (Simple Support) และอยู่ภายใต้แรงกระทำบนพื้นที่สี่เหลี่ยม (Patch Load) ขนาดความกว้างและความยาวเท่ากับ 25.4 เซนติเมตร และ 50.8 เซนติเมตร ตามลำดับ โดยมีค่าแรงกระทำสูงสุดเท่ากับ 160.187 กิโลนิวตัน) แบบจำลองที่สร้างขึ้นประกอบด้วยอิลิเมนต์แบบแผ่นโถงบางแบบลามิเนตหดลายชิ้น (Thin Laminated Shell) ชนิดสี่เหลี่ยมขนาดกว้าง 2.54 เซนติเมตร และยาว 2.54 เซนติเมตร จำนวน 9,240 อิลิเมนต์ โดยแต่ละชิ้นของลามิเนตมีคุณสมบัติแบบออร์โททรอปิก (Orthotropic) แบบจำลองของชิ้นส่วนตามแนวแกนยาวถูกแสดงอยู่ในรูป 5.12

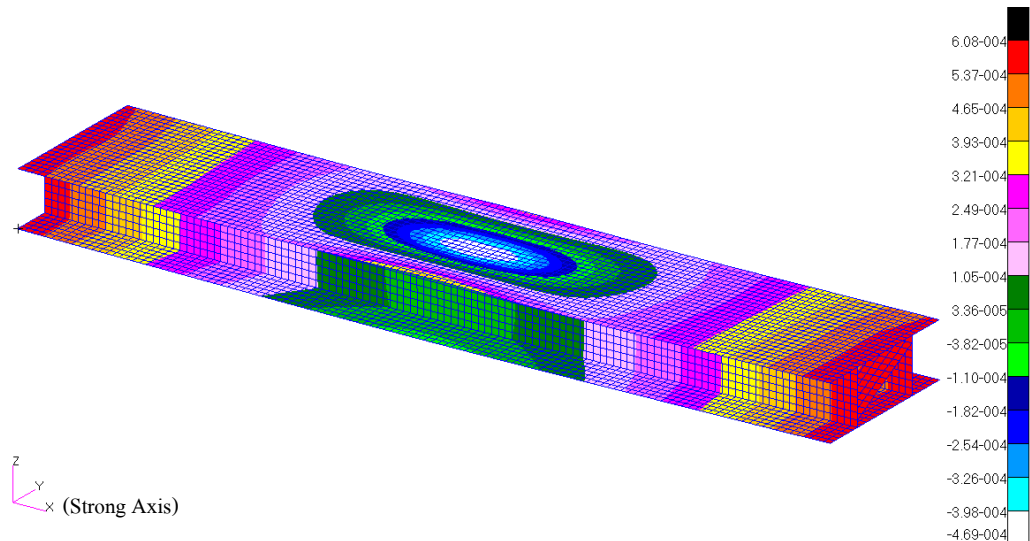


รูปที่ 5.12 แบบจำลองชิ้นส่วนพื้นสะพาน Prodeck8 ตามแนวแกนยาว

แบบจำลองของชิ้นส่วนตามแนวแกนยาวนี้ถูกทำการวิเคราะห์เพื่อหาระยะโถง (Deflection) และค่าการขีดหนดตัว (Strain) บนชิ้นส่วนต่อหน้าหนักบรรทุก (ตัวอย่าง: การโถงตัวและการขีดหนดตัวตามแนวแกนของชิ้นส่วนภายใต้หน้าหนักบรรทุกขนาด 124.60 กิโลนิวตันแสดงอยู่ในรูปที่ 5.13 และรูปที่ 5.14) โดยผลการวิเคราะห์ที่ได้ถูกนำมาทำการเปรียบเทียบกับผลที่ได้จากการทดสอบในห้องปฏิบัติการ (Howard 2002) และผลที่ได้จากการวิเคราะห์ด้วยวิธีไฟไนท์эlement ของ Suraj (2005)

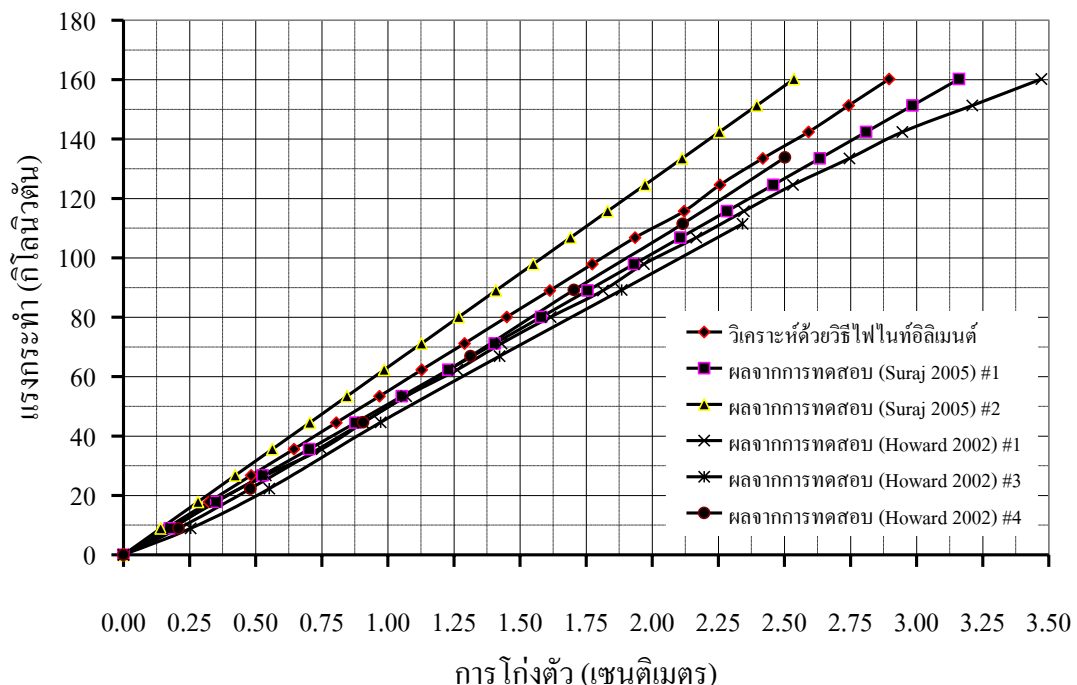


รูปที่ 5.13 การโถงตัวของแบบจำลองชิ้นส่วนพื้นสะพาน Prodeck8 ตามแนวแกนยาว

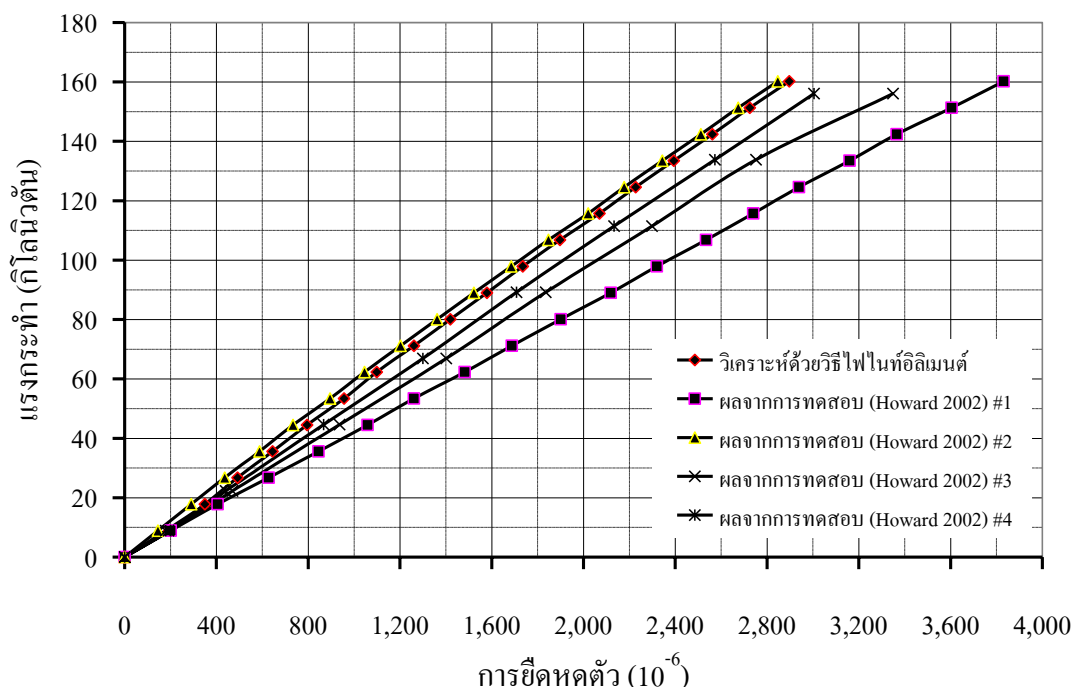


รูปที่ 5.14 ค่าการยึดหยุ่นของแบบจำลองชิ้นส่วนพื้นสะพาน Prodeck8 ตามแนวแกนยาว

จากการเปรียบเทียบผลจากการวิเคราะห์ด้วยวิธีไฟไนต์อิเลิเมนต์และการทดสอบในห้องปฏิบัติการ พบว่าทั้งความสัมพันธ์ของน้ำหนักบรรทุก – การโถงดัว และน้ำหนักบรรทุก – ค่าการยึดหยุ่นตามแนวแกนดังแสดงในรูปที่ 5.15 และรูปที่ 5.16 ตามลำดับ มีลักษณะเป็นเชิงเส้น (Linear) ทั้งการวิเคราะห์และการทดสอบในห้องปฏิบัติการสืบเนื่องมาจากธรรมชาติของคุณสมบัติของวัสดุพอลิเมอร์เสริมกำลังด้วยเส้นใยจะมีพฤติกรรมตอบสนองแบบเชิงเส้นจนกระทั่งถึงจุดแตกหักในลักษณะของวัสดุประจำดังนั้นในการศึกษานี้การวิเคราะห์ผลตอบสนองของชิ้นส่วนพื้นสะพานพอลิเมอร์จึงทำการวิเคราะห์แบบยึดหยุ่นเชิงเส้น (Linear-Elastic) นอกจากนี้ยังพบว่าค่าสติฟเนสหรือความชันของกราฟแบบเชิงเส้นแต่ละเส้นในรูปที่ 5.15 และรูปที่ 5.16 มีความแตกต่างกันส่งผลให้ค่าความแข็งเกร็งของการดัด (Flexural Rigidity) ของตัวอย่างที่วิเคราะห์ด้วยไฟไนต์อิเลิเมนต์ (Suraj 2005) และที่วิเคราะห์จากผลการทดสอบในห้องปฏิบัติการ (Howard 2002) กับผลจากการวิจัยในครั้งนี้มีความแตกต่างกัน โดยการคำนวณค่าความแข็งเกร็งของการดัดสามารถคำนวณได้จากสมการที่ 5.2 และ 5.3



รูปที่ 5.15 ความสัมพันธ์น้ำหนักบรรทุก-การโก่งตัวของชิ้นส่วน Prodeck8 ตามแนวแกนยาว



รูปที่ 5.16 ความสัมพันธ์น้ำหนักบรรทุก-การยึดหยดตัวของชิ้นส่วน Prodeck8 ตามแนวแกนยาว

จากรูปที่ 5.15 และรูปที่ 5.16 พบว่าค่าความชันของความสัมพันธ์ระหว่างน้ำหนักบรรทุกและการโก่งตัวที่กึ่งกลางช่วงความยาว ($P - \div$) มีค่าประมาณ 55.19 กิโลนิวตันต่อเซนติเมตร และ ค่าความชันของความสัมพันธ์ระหว่างน้ำหนักบรรทุกและการยึดหยดตัวตามแนวแกน ($P - \kappa$) มีค่าประมาณ 55.89×10^3 กิโลนิวตัน

จากสมการที่ 5.2 และ 5.3 จากความสัมพันธ์ระหว่างแรงที่กระทำกับระยะโก่งและความสัมพันธ์ระหว่างแรงที่กระทำกับการยึดหยดตัวตามแนวแกน ตามลำดับ ภายใต้กฎของhook (Hooke's Law) สามารถคำนวณหาค่าความแข็งกรึงของการตัด ดังนี้

- 1) โดยใช้ความสัมพันธ์ระหว่างแรงกระทำกับการโก่งตัว ($P - \div$)

$$EI \mid \left. \frac{\textcircled{B}P}{\textcircled{C}_K} \right| \left. \frac{\textcircled{B}L^3}{\textcircled{C}_M 48} \right\} = 32.555 \times 10^6 \text{ กิโลนิวตัน-ตารางเซนติเมตร}$$

- 2) โดยใช้ความสัมพันธ์ระหว่างแรงกระทำกับการยึดหยดตัว ($P - \kappa$)

$$EI \mid \left. \frac{\textcircled{B}P}{\textcircled{C}_K} \right| \left. \frac{\textcircled{B}Lc}{\textcircled{C}_M 4} \right\} = 43.268 \times 10^6 \text{ กิโลนิวตัน-ตารางเซนติเมตร}$$

เมื่อนำผลที่ได้ไปเปรียบเทียบกับผลที่ได้จากทดสอบของ Howard (2002) และ Suraj (2005) ซึ่งได้สรุปไว้ดังแสดงในตารางที่ 5.6

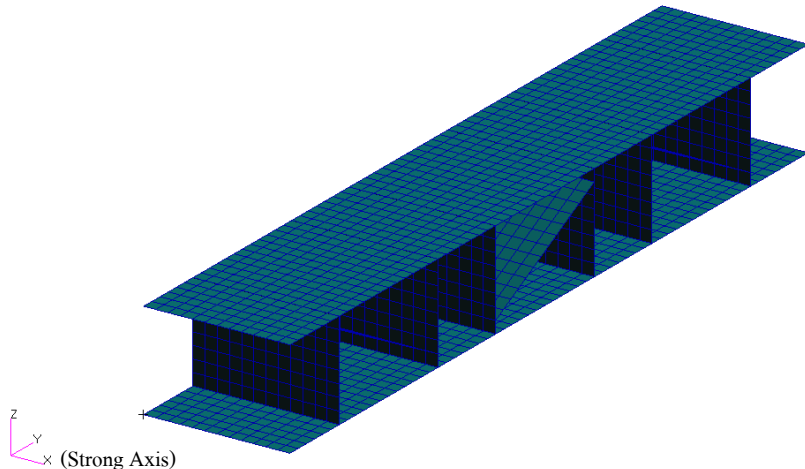
ตารางที่ 5.6 เปรียบเทียบผลการวิเคราะห์ด้วยวิธีไฟไนท์อิลิเมนต์กับการทดสอบในห้องปฏิบัติการสำหรับชิ้นส่วน Prodeck8

ที่มาของค่าที่วิเคราะห์	ค่าความแข็งเกริงของการดัด	
	(10 ⁶) กิโลนิวตัน - ตารางเซนติเมตร	
	อันเนื่องด้วยการโก่ง	อันเนื่องด้วยการยึดหดตัว
วิธีไฟไนท์อิลิเมนต์	32.555	43.268
การทดสอบในห้องปฏิบัติการ		
Isaac Howard #1	28.481	32.796
Isaac Howard #2	—	39.125
Isaac Howard #3	27.915	36.823
Isaac Howard #4	31.067	39.988
Suraj Suraj #1	37.111	—
Suraj Suraj #2	29.976	—

จากผลที่แสดงในตารางที่ 5.6 พบร่วมค่าความแข็งเกริงต่อการดัดจากการวิเคราะห์ด้วยไฟไนท์อิลิเมนต์มีค่าสูงกว่าค่าที่ได้จากการทดสอบของ Howard (2002) และ Suraj (2005) สาเหตุเนื่องมาจากความสมบูรณ์และความต่อเนื่องทั้งทางกายและคุณสมบัติของวัสดุในแบบจำลองทางไฟไนท์อิลิเมนต์ดังที่ได้กล่าวมาแล้ว ยกเว้นค่าที่ได้จากการทดสอบของ Suraj #1 (ซึ่งวิเคราะห์ด้วยไฟไนท์อิลิเมนต์) ที่มีค่าของความแข็งเกริงของการดัดมากกว่าค่าที่ได้จากการวิเคราะห์ด้วยไฟไนท์อิลิเมนต์เนื่องมาจากตัวอย่างที่นำมาวิเคราะห์ของ Suraj #1 มีค่าสัดส่วนของเส้นใยต่อปริมาตรเท่ากับ 0.64 ซึ่งมากกว่า Suraj #2 และแบบจำลองที่วิเคราะห์ด้วยไฟไนท์อิลิเมนต์ในการวิจัยครั้งนี้ที่มีค่าสัดส่วนของเส้นใยต่อปริมาตรเท่ากับ 0.54 จึงเป็นสาเหตุทำให้ได้ค่าความแข็งเกริงของการดัดมีค่ามากกว่า เพราะมีเส้นใยผสมอยู่ในตัวอย่างมากกว่า โดยค่าเบอร์เซ็นต์ของความแตกต่างระหว่างการวิเคราะห์ด้วยไฟไนท์อิลิเมนต์กับค่าที่ได้จากการทดสอบเนื่องด้วยการโก่งตัวและการยึดหดตัวมีค่าอยู่ระหว่าง 4.57 % - 14.25 % และ 7.58 % - 24.20 % ตามลำดับ

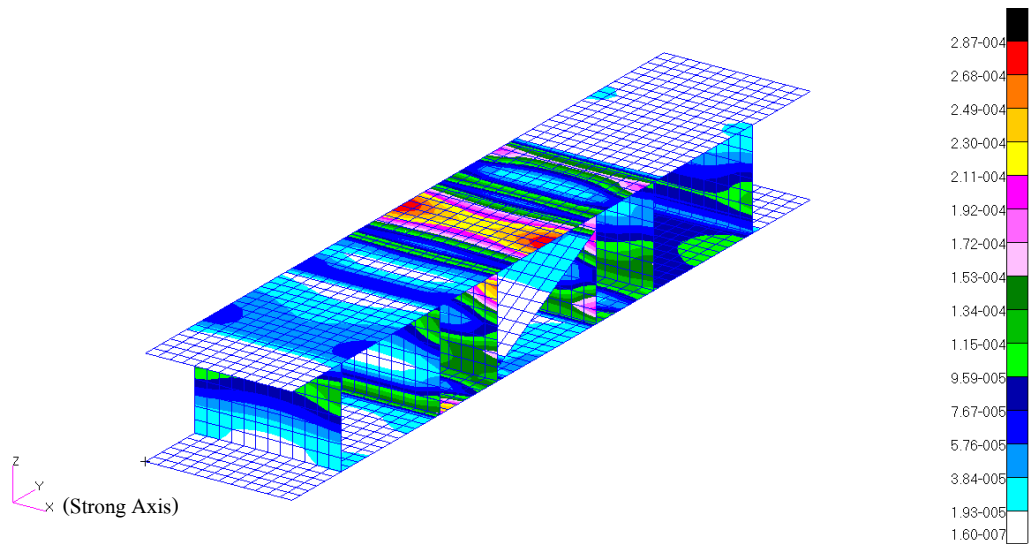
5.3.2 การวิเคราะห์ชิ้นส่วนตามแนวแกนขาว (Analysis of Transverse Component)

แบบจำลองชิ้นส่วนตามแนวแกนขาวมีความกว้าง 157.48 เซนติเมตร ความยาว 30.48 เซนติเมตร และความสูงของหน้าตัด 20.32 เซนติเมตร ซึ่งประกอบด้วยสามส่วนคือส่วนที่เป็นแผ่นตั้ง (Web) ของหน้าตัดมีความหนา 0.89 เซนติเมตร ส่วนปีกทั้งด้านบนและล่าง (Top and Bottom Flange) มีความหนาเท่ากันคือ 1.27 เซนติเมตร และส่วนที่เป็นแผ่นเฉียง (Diagonal) ของหน้าตัดมีความหนา 0.64 เซนติเมตร โดยแบบจำลองถูกวางแผนที่รองรับอย่างง่าย (simple supported) และอุญญาติแรงกระทำบนพื้นที่สี่เหลี่ยม (Patch Load) ขนาดความกว้างและความยาวเท่ากับ 25.40 เซนติเมตร และ 50.80 เซนติเมตร ตามลำดับ แบบจำลองที่สร้างขึ้นประกอบด้วยอิเล็กเมนต์แบบแผ่นโครงบางแบบ laminate ชั้น (Thin Laminated Shell) ชนิดสี่เหลี่ยมขนาดกว้าง 2.54 เซนติเมตร และยาว 2.54 เซนติเมตร จำนวน 2,532 อิเล็กเมนต์ โดยแต่ละชั้นของ laminate มีคุณสมบัติแบบออร์โทโทรปิก (Orthotropic) แบบจำลองของชิ้นส่วนตามแนวแกนขาวถูกแสดงอยู่ในรูป 5.17



รูปที่ 5.17 แบบจำลองชิ้นส่วนพื้นสะพาน Prodeck8 ตามแนวแกนขาว

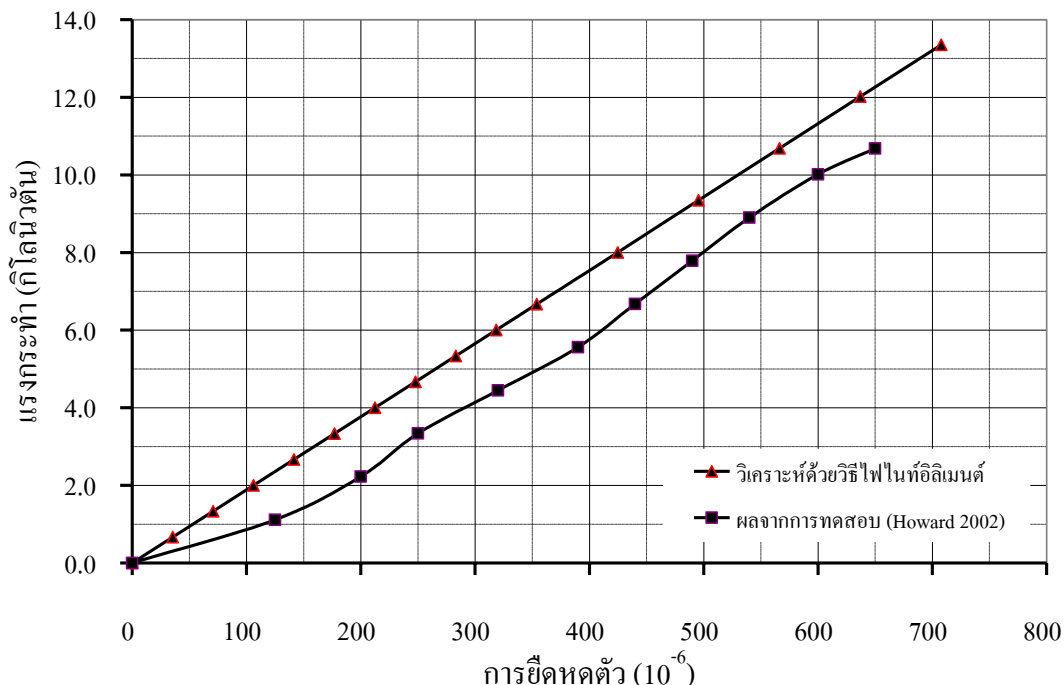
แบบจำลองของชิ้นส่วนตามแนวแกนขาวนี้ถูกทำการวิเคราะห์ผลการตอบสนองต่อค่าการยืดหดตัว (Strain) บนชิ้นส่วนต่อหน้าหนักบรรทุก (ตัวอย่าง: ค่าการยืดหดตัวตามแนวแกนของชิ้นส่วนภายใต้น้ำหนักบรรทุกขนาด 13.35 กิโลนิวตันแสดงอยู่ในรูปที่ 5.18) โดยผลการวิเคราะห์ที่ได้ถูกนำมาทำการเปรียบเทียบกับผลที่ได้จากการทดสอบในห้องปฏิบัติการ (Howard 2002)



รูปที่ 5.18 ค่าการยึดหดตัวของแบบจำลองชิ้นส่วนพื้นสะพาน ProDeck8 ตามแนวแกนยาว

การเปรียบเทียบผลจากการวิเคราะห์ด้วยวิธีไฟไนต์อิลิเมนต์และการทดสอบในห้องปฏิบัติการ พบว่าความสัมพันธ์ของน้ำหนักบรรทุก – ค่าการยึดหดตัวตามแนวแกนดังแสดงในรูปที่ 5.19 มีลักษณะเป็นเชิงเส้น (Linear) ทั้งการวิเคราะห์และการทดสอบในห้องปฏิบัติการ

ด้วยเหตุผลเดียวกันที่ได้กล่าวมาแล้วในส่วนของการวิเคราะห์ตามแนวแกนยาว กีอแบบจำลองทางไฟไนต์อิลิเมนต์ซึ่งมีความสมบูรณ์สม่ำเสมอของคุณสมบัติวัสดุ ปราศจากจุดบกพร่องและมีการถ่ายเทแรงกระทำอย่างสมบูรณ์ทำให้แบบจำลองทางไฟไนต์อิลิเมนต์มีความสมบูรณ์กว่าชิ้นตัวอย่างที่นำมาทดสอบจริง รวมถึงการส่งถ่ายแรงที่เกิดการสูญเสียขึ้นตรงบริเวณรอยต่อของชิ้นตัวอย่างในขณะที่แบบจำลองทางไฟไนต์อิลิเมนต์ไม่เกิดการสูญเสียการส่งถ่ายแรง เนื่องมาจากในการวิจัยนี้ไม่ได้ออกแบบรอยต่อและพิจารณาการสูญเสียแรงกระทำของแบบจำลองไว้ ส่งผลให้ค่าสติฟเนส (ความชันของความสัมพันธ์ระหว่างน้ำหนักบรรทุกและค่าการยึดหดตัว) จากการวิเคราะห์ตามแนวแกนยาวมีค่าสูงกว่าผลการทดสอบในห้องปฏิบัติการ (Howard 2002)



รูปที่ 5.19 ความสัมพันธ์ระหว่างน้ำหนักบรรทุก-การยึดหดตัวของชิ้นส่วน Prodeck8 ตามแนวแกนวาง

สำหรับการคำนวณหาค่าความแข็งเกริงต่อการดัด (Flexural Rigidity EI) โดยอาศัยความสัมพันธ์ระหว่างน้ำหนักบรรทุกและการยึดหดตัวในแนวแกน (Relation of Load-Axial Strain) ตามวิธีการคำนวณ (สมการที่ 5.3) และจากสมมุติฐานที่ไม่ทำการพิจารณาผลของการการยึดหดตัวที่เกิดขึ้นเนื่องจากผลของแรงเฉือนซึ่งสมมุติฐานดังกล่าวจะเป็นจริงได้ก็ต่อเมื่อชิ้นส่วนของวัสดุพอลิเมอร์เสริมกำลังด้วยเส้นใยมีอัตราส่วนความยาวต่อขนาดหน้าตัดในอัตราที่สูงและสูงกว่า เมื่อเปรียบเทียบสำหรับวัสดุวิศวกรรมดั้งเดิม อย่างไรก็ตามผลที่ได้จากการคำนวณในการศึกษาครั้งนี้เป็นเพียงค่าประมาณเพื่อเปรียบเทียบกับผลที่ได้จากห้องปฏิบัติการ ดังกล่าวมาแล้วข้างต้น

จากความสัมพันธ์ระหว่างน้ำหนักบรรทุกและการยึดหดตัวในแนวแกนในรูปที่ 5.19 พบว่าเมื่อแรงกระทำจนถึงค่าสูงสุดลักษณะของกราฟเป็นแบบเชิงเส้นซึ่งยังอยู่ในช่วงยึดหยุ่นอยู่ (Linear Elastic) และค่าความชันที่ได้จากการคำนวณสัมพันธ์ระหว่างน้ำหนักบรรทุกและการยึดหดตัวตามแนวแกน ($P - K$) มีค่าประมาณ 0.01886×10^6 กิโลนิวตัน ถูกนำมาไปแทนในสมการ 5.3 เพื่อคำนวณหาค่าความแข็งเกริงของการดัด (Flexural Rigidity) ในแนวแกนตามวาง โดยค่า L คือค่าความยาวช่วงมีค่าประมาณ 127.00 เซนติเมตร และค่า c คือระยะห่างจากแนวแกนสะเทิน ของหน้าตัดไปถึงขอบที่ไกลที่สุดของหน้าตัดมีค่าประมาณ 10.16 เซนติเมตร ดังแสดง

$$EI \left| \frac{\textcircled{R}P}{\textcircled{TM}_K} \right| \left| \frac{\textcircled{R}Lc}{\textcircled{TM}^4} \right| = 6.0834 \times 10^6 \text{ กิโลนิวตัน-ตารางเซนติเมตร}$$

จากการวิเคราะห์แบบจำลอง Prodeck8 ตามแนวแกนขวาง (Transverse Direction) ค่าความแข็งเกร็งต่อการดัดแสดงสรุปเปรียบเทียบกับค่าที่ได้จากห้องปฏิบัติการ (Howard 2002) อยู่ในตารางที่ 5.7

ตารางที่ 5.7 เปรียบเทียบผลการวิเคราะห์ด้วยวิธีไฟไนท์อิลิเมนต์กับการทดสอบในห้องปฏิบัติการสำหรับชิ้นส่วน Prodeck8

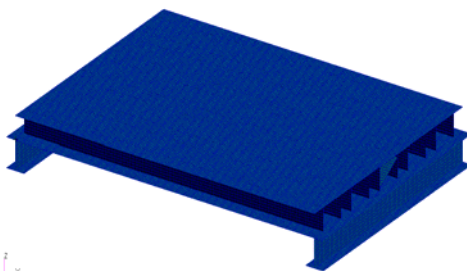
วิธีการคำนวณ	ค่าความแข็งเกร็งของการดัด (กิโลนิวตัน-ตารางเซนติเมตร)
วิเคราะห์ด้วยไฟไนท์อิลิเมนต์	6.0834×10^6
จากการทดสอบ (Howard 2002)	5.6386×10^6
เปอร์เซนต์ความแตกต่าง	7.31 เปอร์เซ็นต์

จากผลที่แสดงในตารางที่ 5.7 พบร่วมกับความแข็งเกร็งต่อการดัดมีค่าสูงกว่าค่าที่ได้จากผลการทดสอบในห้องปฏิบัติการ (Howard 2002) เนื่องมาจากเหตุผลที่ได้กล่าวมาก่อนข้างต้น โดยมีความแตกต่างกันสำหรับความแข็งเกร็งต่อการดัด (การยึดหยดตัว) ระหว่างค่าที่คำนวณมาจากวิธีการวิเคราะห์ด้วยไฟไนท์อิลิเมนต์กับค่าที่คำนวณได้มาจากการทดสอบในห้องปฏิบัติการของชิ้นตัวอย่างแต่ละชิ้นส่วนเมื่อเปรียบเทียบกับค่าที่คำนวณมาจากวิธีการวิเคราะห์ด้วยไฟไนท์อิลิเมนต์โดยมีค่าประมาณ 7.31 เปอร์เซ็นต์

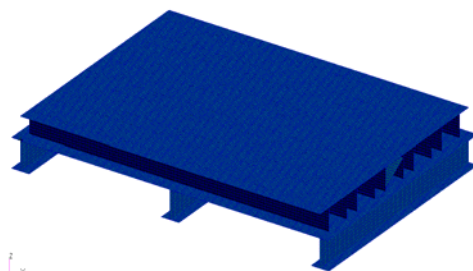
5.3.3 การวิเคราะห์ระดับระบบ (Analysis of System)

แบบจำลองชิ้นส่วนระบบประกอบด้วยสองส่วนคือ 1) แบบจำลองของแผ่นพื้นมีความกว้าง 254.00 เซนติเมตร ความยาว 345.44 เซนติเมตร และความสูงของหน้าตัด 20.32 เซนติเมตร ซึ่งมีส่วนประกอบสามส่วนคือส่วนที่เป็นแผ่นตั้ง (Web) ของหน้าตัดมีความหนา 0.89 เซนติเมตร ส่วนปีกทั้งด้านบนและล่าง (Top and Bottom Flange) มีความหนาเท่ากันคือ 1.27 เซนติเมตร และส่วนที่เป็นแผ่นเฉียง (Diagonal) ของหน้าตัดมีความหนา 0.64 เซนติเมตร แบบจำลองแผ่นพื้นที่สร้างขึ้นประกอบด้วยอิลิเมนต์แบบแผ่นໄอิก์บานงแบบ Laminate Shell (Thin Laminated Shell) ชนิดสีเหลืองขนาดกว้าง 2.54 เซนติเมตร และยาว 2.54 เซนติเมตร จำนวน

46,920 อิลิเมนต์ โดยแต่ละชั้นของ lame ไม่มีคุณสมบัติแบบออร์โทโทรปิก (Orthotropic) โดยแบบจำลองแผ่นพื้นดูรูกว่างบนแบบจำลอง 2) แบบจำลองคานเหล็กรูปตัวไอมีความกว้าง 25.40 เซนติเมตร ความยาว 256.54 เซนติเมตร และความสูงของหน้าตัด 99.06 เซนติเมตร ($W10'' \times 39''$) จำนวน 2 คาน และ 3 คาน โดยวางห่างกันด้วยระยะเท่ากัน 345.44 เซนติเมตร และ 172.72 เซนติเมตร ตามลำดับ แบบจำลองของคานเหล็กที่สร้างขึ้นประกอบด้วยอิลิเมนต์ชนิดสี่เหลี่ยมขนาด กว้าง 2.54 เซนติเมตร และยาว 2.54 เซนติเมตร จำนวน 5,900 อิลิเมนต์ต่อแบบจำลองคานเหล็กแต่ละตัว โดยแต่ละอิลิเมนต์มีคุณสมบัติแบบไอโซโทรปิก (Isotropic) โดยแบบจำลองของคานเหล็กถูกวางบนที่รองรับอย่างง่าย (Simple Supported) และแบบจำลองทั้งระบบอยู่ภายใต้แรงกระทำบนพื้นที่สี่เหลี่ยม (Patch Load) ขนาดความกว้างและความยาวเท่ากัน 25.40 เซนติเมตร และ 50.80 เซนติเมตร ตามลำดับ ทั้งนี้การสร้างแบบจำลองทั้งระบบของแผ่นพื้นหน้าตัด Prodeck8 แบ่งเป็น 3 กรณีด้วยกัน โดยแต่ละกรณีแตกต่างกันตรงจำนวนของคานรองรับและตำแหน่งของแรงกระทำที่กระทำต่อแบบจำลอง ดังนี้ กรณี 1 แบบจำลองทั้งระบบมีคานที่รองรับ 2 ตัว และแรงกระทำตรงกึ่งกลางแผ่นพื้น กรณี 2 แบบจำลองทั้งระบบมีคานที่รองรับ 3 ตัว และแรงกระทำตรงกึ่งกลางแผ่นพื้น และ กรณี 3 แบบจำลองทั้งระบบมีคานที่รองรับ 3 ตัว และแรงกระทำตรงกึ่งกลางแผ่นพื้น โดยแบบจำลองของชั้นส่วนระดับระบบถูกแสดงอยู่ในรูปที่ 5.20 และ รูปที่ 5.21



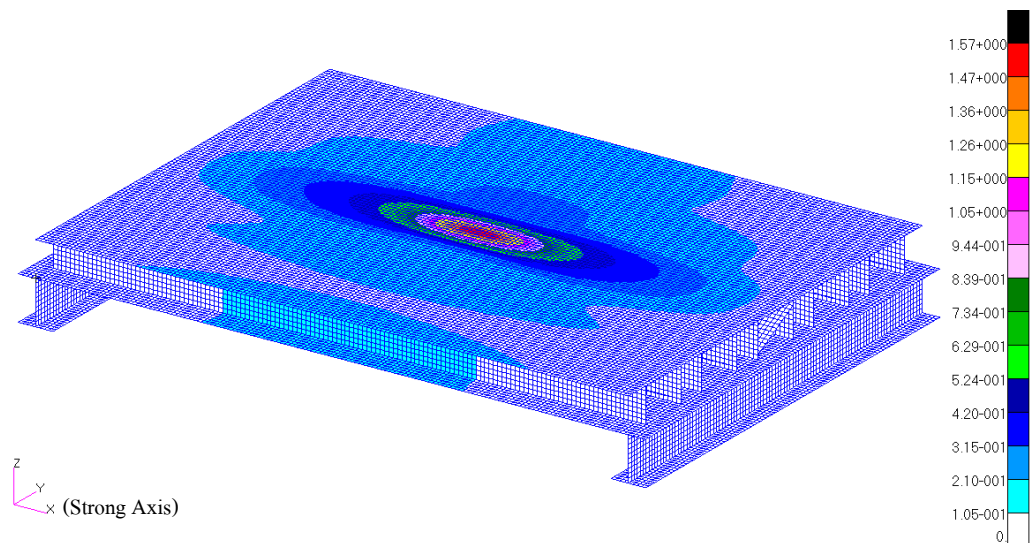
รูปที่ 5.20 แบบจำลองทั้งระบบ
(Prodeck8) ที่มีคานรองรับ 2 ตัว



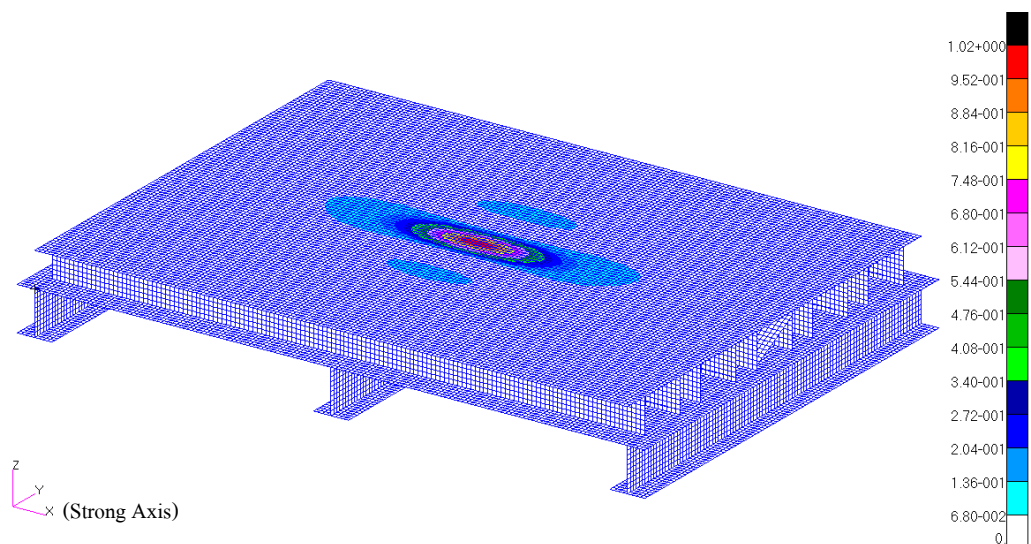
รูปที่ 5.21 แบบจำลองทั้งระบบ
(Prodeck8) ที่มีคานรองรับ 3 ตัว

แบบจำลองของชั้นส่วนระดับระบบนี้ถูกทำการวิเคราะห์ผลการตอบสนองต่อระยะโถง (Deflection) (ทั้งระยะโถงที่เกิดขึ้นกับแบบจำลองของแผ่นพื้นและระยะโถงที่เกิดขึ้นกับแบบจำลองคานเหล็กทั้งสอง) บนชั้นส่วนต่อน้ำหนักบรรทุก (ตัวอย่าง: การโถงตัวของแบบจำลองทั้งระบบภายใต้น้ำหนักบรรทุกขนาด 111.25 กิโลนิวตัน สำหรับกรณีที่ 1 กับ กรณีที่ 2 และ 177.993 กิโลนิวตัน สำหรับกรณีที่ 3 และแสดงอยู่ในรูปที่ 5.22, รูปที่ 5.23 และรูปที่ 5.24 ตามลำดับ)

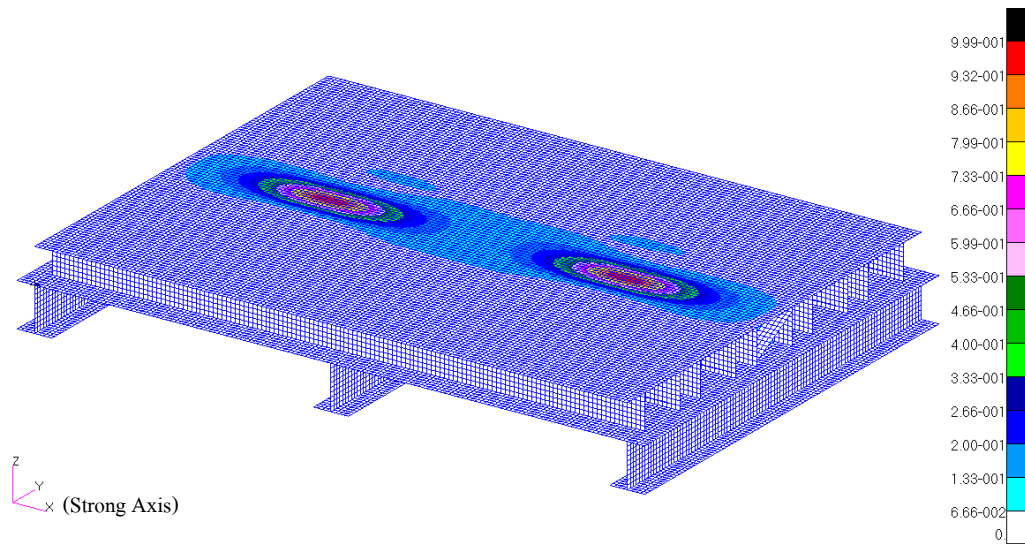
ทั้งนี้แรงกระทำจากล้อรถบรรทุกหนึ่งล้อและสองล้อตามมาตรฐาน AASHTO HS25 มีค่าประมาณ 90.00 กิโลนิวตัน และ 180.00 กิโลนิวตัน ตามลำดับ โดยผลการวิเคราะห์ที่ได้ถูกนำมาทำการเปรียบเทียบกับผลที่ได้จากการทดสอบในห้องปฏิบัติการ (Howard 2002)



รูปที่ 5.22 แบบจำลองชิ้นส่วนพื้นสะพาน Prodeck8 ในการวิเคราะห์ระดับระบบ (กรณีที่ 1)



รูปที่ 5.23 แบบจำลองชิ้นส่วนพื้นสะพาน Prodeck8 ในการวิเคราะห์ระดับระบบ (กรณีที่ 2)



รูปที่ 5.24 แบบจำลองชิ้นส่วนพื้นสะพาน Prodeck8 ในการวิเคราะห์ระดับระบบ (กรณีที่ 3)

การเปรียบเทียบผลจากการวิเคราะห์ด้วยวิธีไฟไนต์อิลิเมนต์และการทดสอบในห้องปฏิบัติการ (Howard 2002) พบว่าระยะโถงที่เกิดขึ้นกับแบบจำลองของงานเหล็กทั้งสองและระยะโถงที่เกิดขึ้นกับแบบจำลองของแผ่นพื้น มีค่าใกล้เคียงกับระยะโถงจากการทดสอบในห้องปฏิบัติการ ดังแสดงในตารางที่ 5.8 และตารางที่ 5.9 โดยค่าความแตกต่างระหว่างค่าเฉลี่ยการโถงตัวของงานจากการวิเคราะห์ทั้งสองวิธีเทียบกับการวิเคราะห์ด้วยไฟไนต์อิลิเมนต์มีค่าประมาณ 14.94%, 57.75% และ 46.43% สำหรับ กรณีที่ 1, กรณีที่ 2 และกรณีที่ 3 ตามลำดับ

ตารางที่ 5.8 ค่าระยะโถงของที่ร่องรับเหล็กในการทดสอบทั้งระบบ

การวิเคราะห์		แรงกระทำ (กิโลนิวตัน)	การโถงตัว (เซนติเมตร)		
			คานตัวริม 1	คานตัวกลาง	คานตัวริม 2
กรณีที่ 1	ไฟไนต์อิลิเมนต์	111.245	0.086	NA	0.086
	Howard 2002		0.103	NA	0.097
กรณีที่ 2	ไฟไนต์อิลิเมนต์	111.245	0.020	0.174	0.020
	Howard 2002		0.074	0.193	0.069
กรณีที่ 3	ไฟไนต์อิลิเมนต์	177.993	0.077	0.181	0.077
	Howard 2002		0.155	0.221	0.117

เมื่อพิจารณาค่าการ โถงตัวที่ยอมให้จากสมการ 5.4 ซึ่งเป็นสมการที่ใช้ในการวิเคราะห์หาค่าการ โถงตัวสูงสุดที่ยอมให้ของระบบแผ่นพื้นและคานรองรับ ตามมาตรฐาน AASHTO ดังนี้

$$\frac{L}{\div_{\max}} \leq \frac{L}{800}$$

\div_{\max} คือ ค่าการ โถงตัวสูงสุดที่ยอมให้ของระบบแผ่นพื้นและคานรองรับ
 L คือ ช่วงความยาวของระบบแผ่นพื้นและคานรองรับ

เมื่อแทนค่า $L = 223.52$ เซนติเมตร (Howard 2002) ลงในสมการ 5.4 จะได้ $\div_{\max} = 0.28$ เซนติเมตร และนำไปเปรียบเทียบกับค่าต่างๆ ในตารางที่ 5.8 พบว่าการ โถงตัวที่วิเคราะห์ได้จากทั้งสองวิธีดังแสดงในตารางยังคงไม่เกินค่าการ โถงตัวสูงสุดที่ยอมให้ของระบบแผ่นพื้นและคานรองรับ และยังพบว่าในตารางที่ 5.8 ค่าการ โถงตัวของคานที่วิเคราะห์ด้วยไฟไนท์อิเลมเนตทุกรุ่นมีค่าน้อยกว่าค่าที่ได้จากการทดสอบในห้องปฏิบัติการ

ตารางที่ 5.9 ค่าระยะ โถงของที่รองรับเหล็กเมื่อเปรียบเทียบกับพื้นในการทดสอบทั้งระบบ

การวิเคราะห์		แรงกระทำ (กิโลนิวตัน)	การ โถงตัว (เซนติเมตร)		
			คาน (เฉลี่ย)	ของแผ่นพื้น	สัมพัทธ์
กรณีที่ 1	ไฟไนท์อิเลมเนต	111.245	0.087	1.455	1.368
	Howard 2002		0.100	1.499	1.399
กรณีที่ 2	ไฟไนท์อิเลมเนต	111.245	0.071	0.136	0.065
	Howard 2002		0.112	0.183	0.071
กรณีที่ 3	ไฟไนท์อิเลมเนต	177.993	0.112	0.497	0.385
	Howard 2002		0.164	0.516	0.352

ในกรณีเดียวกันเมื่อเราพิจารณาตารางที่ 5.9 ซึ่งเป็นตารางที่แสดงให้เห็นถึงการโก่งตัวสัมพัทธ์ระหว่างค่านที่รองรับกับแผ่นพื้นสะพาน (Deck Deflection Relative to Stringers) และเพื่อเป็นการตรวจสอบค่าความสัมพันธ์ดังกล่าวโดย GangaRao and Shekar (2002) ได้เสนอสมการ (สมการ 5.5) ในการตรวจสอบขอบเขตของการโก่งตัวสัมพัทธ์ของระบบแผ่นพื้นและค่านรองรับ ดังแสดง

$$\frac{\delta_{\max}}{S_{c4c}} \leq \frac{500}{500}$$

เมื่อ $\frac{\delta_{\max}}{S_{c4c}}$ คือ ค่าการโก่งตัวสูงสุดที่ยอมให้ของแผ่นพื้นที่สัมพัทธ์กับค่านรองรับ S_{c4c} คือ ระยะห่างของค่านรองรับทั้งสอง (ศูนย์กลางถึงศูนย์กลาง)

ทั้งนี้เมื่อเราพิจารณาการโก่งตัวของค่านที่รองรับในรูปแบบของการกระจายแรงไปยังค่านที่รองรับแต่ละตัว (Transverse Load Distribution Factor) โดยสมการด้านล่าง

$$g_{di} = \frac{l_i}{\sum_{j=1}^n l_j} \quad (5.6)$$

เมื่อ g_{di} คือ ปัจจัยการกระจายของแรง เนื่องจากการโก่งตัว l_i คือ การโก่งตัวของค่านที่รองรับ (i) l_j คือ การโก่งตัวของค่านที่รองรับ (j) n คือ จำนวนของค่านที่รองรับ โดยผลที่ได้จากปัจจัยการกระจายของแรง เนื่องจากการโก่งตัว (Load Distribution Factor) ดังแสดงในตารางที่ 5.10

ตารางที่ 5.10 กระจายแรงอันเนื่องมาจากการโถ่ตัวของคานที่รองรับในการวิเคราะห์

แบบจำลอง		เบอร์เซ็นต์การกระจายของแรง		
		คานตัวริม 1	คานตัวกลาง	คานตัวริม 2
กรณีที่ 1	ไฟไนท์อิลิเมนต์	50.0%	NA	50.0%
	Howard 2002	51.5%	NA	48.5%
กรณีที่ 2	ไฟไนท์อิลิเมนต์	9.5%	81.0%	9.5%
	Howard 2002	22.0%	57.5%	20.5%
กรณีที่ 3	ไฟไนท์อิลิเมนต์	23.0%	54.0%	23.0%
	Howard 2002	31.0%	45.0%	24.0%

ในตารางที่ 5.10 เป็นการวิเคราะห์การกระจายแรงไปยังคานที่รองรับแต่ละตัว (Load Distribution Factor) เนื่องมาจากการโถ่ตัวของคานที่รองรับ พบว่า ลักษณะการกระจายของแรงกระทำไปยังคานที่รองรับของแบบจำลองที่วิเคราะห์ด้วยไฟไนท์อิลิเมนต์เป็นแบบสมมาตรอย่างเช่นในกรณีที่ 3 พบว่าแรงกระจายลงคานตัวกลาง 54.0% และกระจายลงคานตัวริมทั้งสองตัวเท่ากัน เท่ากับ 23.0% ซึ่งแตกต่างจากการทดสอบ (Howard 2002) ที่การกระจายแรงไม่สม่ำเสมอ คือมีแรงกระจายลงคานตัวกลาง 45.0% และกระจายลงคานตัวริมทั้งสองตัวเท่ากัน เท่ากับ 31.0% และ 24.0% ซึ่งมีลักษณะของการกระจายแรงเหมือนกันกับกรณีที่ 1 และกรณีที่ 2 ตามลำดับ

5.4 สรุป (Conclusion)

จากการวิเคราะห์แบบจำลองทางไฟไนท์อิลิเม้นต์ที่ใช้แผ่นพื้นสะพานพอลิเมอร์เสริมกำลังด้วยเส้นไบประเกท Prodeck4 และ Prodeck8 ที่ผ่านมา ได้แก่ การวิเคราะห์ชิ้นส่วนในแนวแกนยาว (Longitudinal Component), การวิเคราะห์ชิ้นส่วนในแนวแกนขวาง (Transverse Component) และการวิเคราะห์แผ่นพื้นทั้งระบบ (System Component) ผลที่วิเคราะห์ได้มีน้ำไปเปรียบเทียบกับผลที่ได้มาจากการทดสอบในห้องปฏิบัติการ (Punyamurthula 2004, Howard 2002) และการทดสอบด้วยไฟไนท์อิลิเม้นต์ (Suraj 2005) พบว่าผลที่ได้มีค่าที่ใกล้เคียงกัน โดยผลตอบสนอง (การโถงตัว และการยึดหยดตัว) ที่วิเคราะห์ด้วยไฟไนท์อิลิเม้นต์มีค่าน้อยกว่าค่าที่ได้จากการทดสอบในห้องปฏิบัติการ ซึ่งสอดคล้องกับหลักการทำงานทฤษฎีของไฟไนท์อิลิเม้นต์เกี่ยวกับการโถงตัวของอิลิเม้นต์และจุดต่อในเรื่อง Minimum Total Potential Energy Principle และในทางปฏิบัติกรรมตอบสนองแบบเชิงเส้นจนกระทั่งถึงจุดแตกหักในลักษณะของวัสดุประจำดังนั้นแบบจำลองทางไฟไนท์อิลิเม้นต์ซึ่งมีความสมบูรณ์สม่ำเสมอของคุณสมบัติวัสดุ ปราศจากจุดบกพร่อง ตลอดจนการถ่ายแรงกระทำตรงบริเวณรอยต่อของแบบจำลองซึ่งในการวิจัยนี้ไม่ได้จำลองผลของรอยต่อและพิจารณาการสูญเสียของแรงกระทำบริเวณรอยต่อของแบบจำลอง ส่งผลให้มีการถ่ายเทแรงกระทำอย่างสมบูรณ์ ทำให้แบบจำลองทางไฟไนท์อิลิเม้นต์มีความสมบูรณ์กว่าชิ้นตัวอย่างที่นำมาทดสอบจริง ข้อสังเกตประการหนึ่งถึงแม้ว่าเทคโนโลยีในการผลิตชิ้นส่วนวัสดุพอลิเมอร์เสริมกำลังด้วยเส้นไบสารบัณฑุ์งานทางวิศวกรรม โยธาจะมีความก้าวหน้าอย่างไรก็ตาม ข้อบกพร่องต่างๆ เช่น ความไม่สม่ำเสมอของพอลิเมอร์ การบ่อมของพอลิเมอร์ที่ไม่เพียงพอตลอดงานซึ่งว่างที่เกิดขึ้นในเนื้อวัสดุ ซึ่งมีผลต่อคุณสมบัติเชิงกลของชิ้นส่วนอย่างยิ่งคงพบอยู่เสมอ ซึ่งชิ้นส่วนซึ่งถูกผลิตในช่วงเวลาเดียวกันจากวัสดุตั้งต้นเดียวกันก็อาจมีคุณสมบัติเชิงกลที่แตกต่างกันได้

ມັນຫຸ້ມ (Chapter 6)

การศึกษาเรื่องพาราเมทริกของวงจรอสูตรทางคณิตศาสตร์

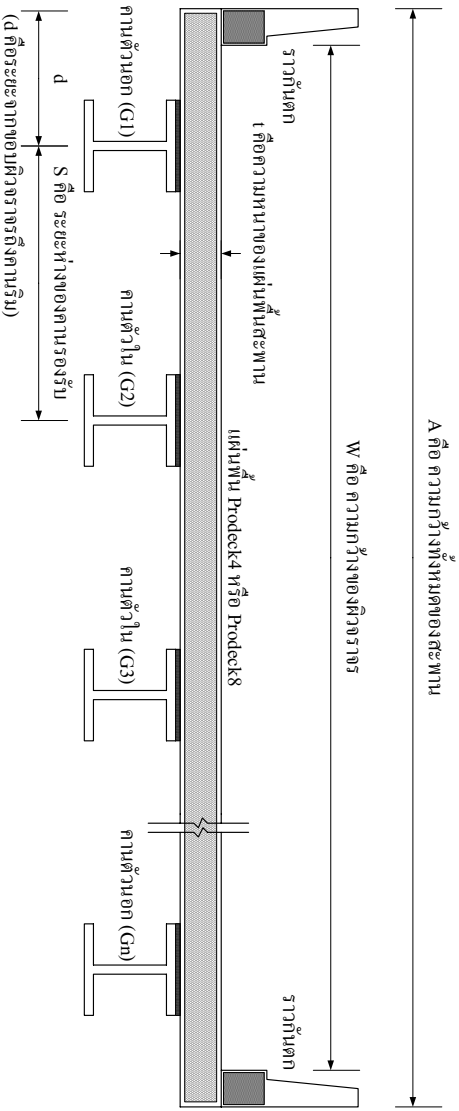
(Parametric Study on FRP Deck – Stringer Bridge Models)

6.1 ॥२॥ (Introduction)

6.2 ประเภทของแบบจำลอง (Type of Models)

เมตค่าทั่วไป คือ ปูนอยู่กับ ประมาณหนึ่งต่อเมตร เส้นพื้นสะพาน (Type of Bridge Decks) ได้แก่ หน้าเดียว Prodeck4 และหน้าตัดแบบ Prodeck8, ความกว้างของพื้นสะพาน (Width), ความยาวของสะพาน (Length), ระยะห่างระหว่างคานที่รองรับเหล็ก (Girder Spacing) และตำแหน่งของแรงกระแทกจากล้อรถบรรทุก (Truck Wheels Loading) โดยปัจจัยในการสร้างแบบจำลองดังกล่าวในส่วนผลให้เกิดการซึมมีจำนวนหลาดูรูปแบบ อย่างไรก็ตามสามารถแบ่งเป็น 2 ส่วนหลักๆ เป็นอย่างไรในการวิเคราะห์ คือส่วนที่ 1) แม่ประมาณหน้าตัดของสะพาน (Cross Section) ซึ่งมีหน้าตัดที่แตกต่างกันทั้งหมด 6 แบบหน้าตัด (CS1-CS6) ดังแสดงในรูปที่ 6.1 และตารางที่ 6.1 ซึ่งแสดงไว้ให้เห็นถึงประมาณหน้าตัดของแบบจำลองทางานทั้งหมด 6 แบบ กับจำนวนที่ใช้ในแต่ละแบบ แม่ประมาณหน้าตัดของสะพาน แสดงระยะห่างระหว่างคาน

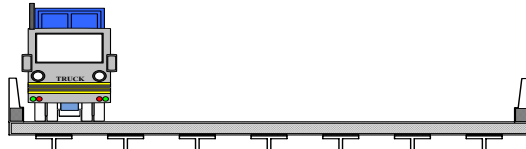
ที่รองรับแต่ละชั้นเป็นหลังค้า โดยในกรณีครัวจะทำการจำแนก成ที่รองรับเป็น 2 ประเภทคือ คานที่รองรับตัวนอก (Exterior Girder) และคานที่รองรับตัวใน (Interior Girder) สำหรับส่วนที่ 2 เมื่อประภากล่องแบบจำลองตามเด็กยอนซูจอนเรนเครชท่าจักรยานบรรทุก (Truck Loading) ซึ่งเป็น “ปีนหงษ์” กรณี 9 กรณี (Case1 - Case9) ดังแสดงในรูปที่ 6.2 เมื่อตารางที่ 6.2



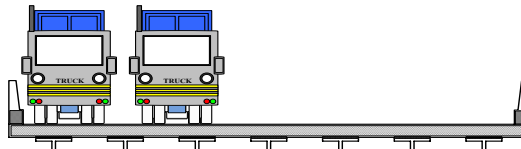
รูปที่ 6.1 หน้าตัดที่ 2 ปีนหงษ์รองรับบนสะพานในการศึกษาเมฆพารามิตร

ตารางที่ 6.1 รายละเอียดของแบบจำลองสะพานเมฆที่มาดัดแปลงตามเด็กยอนซูจอน

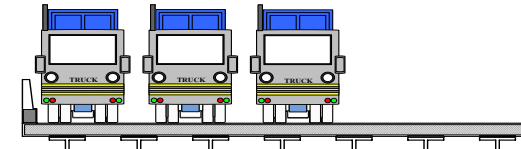
หน้าตัด (Cross Section)	ความกว้าง (A) เมตร	ความกว้าง (W) เมตร	ระยะห่าง (S) เมตร	จำนวนคาน (n) (ตัว)	d (เมตร)
CS1	9.30	8.53	1.20	7	1.05
CS2	9.30	8.53	1.83	5	0.99
CS3	9.30	8.53	2.29	4	1.20
CS4	13.00	12.20	1.20	10	1.10
CS5	13.00	12.20	1.83	7	1.01
CS6	13.00	12.20	2.29	6	0.77



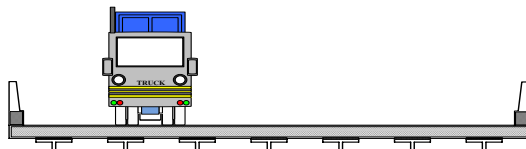
กรณีที่ 1



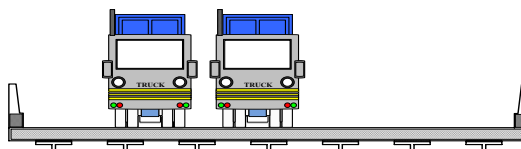
กรณีที่ 4



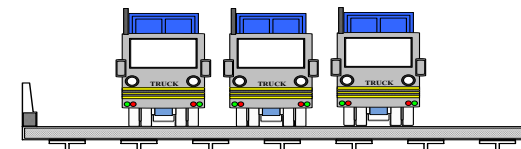
กรณีที่ 7



กรณีที่ 2



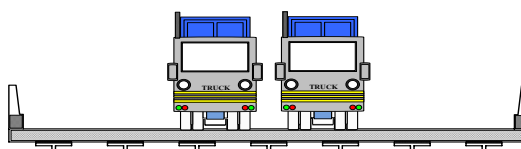
กรณีที่ 5



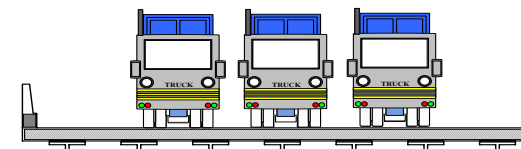
กรณีที่ 8



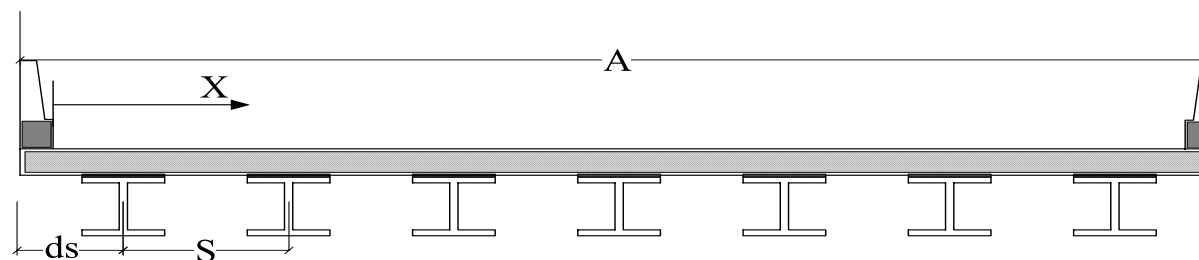
กรณีที่ 3



กรณีที่ 6



กรณีที่ 9



รูปที่ 6.2 หน้าตัดของสะพานภายใต้คำนวณจากการบรรทุกในกรณีต่างๆ

ตารางที่ 6.2 รายละเอียดของแบบจำลองเบ่งตามลักษณะของแรงกระแทกจากรถบรรทุก

กรณีที่ (Case)	ความกว้าง สีพาน (เมตร)	จำนวนบรรทุก ที่ระยะห่างสีพาน	จำนวนช่องทาง จราจร (ต่อทาง)	ระยะห่าง (X) จากขอบทาง รั้งรถบรรทุกคันแรก (เมตร)
1	9.30 เมตร 13.00	1 คัน	2 เมตร 3	0.61
2	9.30 เมตร 13.00	1 คัน	2 เมตร 3	S+(d-0.385)
3	9.30 เมตร 13.00	1 คัน	2 เมตร 3	(A/2)-0.530
4	9.30 เมตร 13.00	2 คัน	2 เมตร 3	0.61
5	9.30 เมตร 13.00	2 คัน	2 เมตร 3	S+(d-0.385)
6	9.30 เมตร 13.00	2 คัน	2 เมตร 3	(A/2)-2.055
7	13.00	3 คัน	3	0.61
8	13.00	3 คัน	3	S+(d-0.385)
9	13.00	3 คัน	3	(A/2)-3.580

หมายเหตุ S, A และ d ดังในส่วนที่ 6.1 เมื่อ 6.2

จากตารางที่ 6.1 และ 6.2 แบบจำลองสะพานถูกแบ่งออกเป็นประกายทางอื่น
เนื่องจากความกว้างของผู้จราจรของสะพาน (Deck Width), ระยะห่างระหว่างคานที่รองรับ
(Girder Spacing), ตำแหน่งและลักษณะของหนานั่นกระทำจากภาระบรรทุก (Truck Load) ส่งผลให้มี
จำนวนช่องแบบจำลองพื้นที่ถูกจำลองท่าน้ำ กว้าง 45 เมตรจำลองที่แตกต่างกัน

ทั้งนี้ยังมีค่าผู้อนุมัติเกี่ยวข้องในการสร้างแบบจำลอง ได้แก่ ความยาวของ
แบบจำลองสะพาน (Length of Bridge) ที่มีความยาวท่าน้ำ กว้าง 12.00 เมตร และ 18.00 เมตร, ปรับเก็ท
ของหน้าตัดแบบจำลอง (Type of Bridge Deck) ที่มีทั้งหน้าตัดแบบ Prodeck4 และหน้าตัดแบบ
Prodeck8 และปัจจัยสุดท้ายคือพูดคิดรวมประกายของแบบจำลอง ได้แก่ แบบจำลองที่มีพูดคิดรวม
ประกอบอย่างสมบูรณ์ (Fully Composite) และพูดคิดรวมที่ยอมต่อบางส่วน (Partial Connection) ซึ่ง
จะแสดงรายละเอียดต่อไปนี้ 6.3 ดังนั้นแบบจำลองสะพานที่แสดงต่างกันตามจำนวน 360
แบบจำลอง (รายละเอียดด้านไปรษณีย์ที่เกี่ยวข้องทั้งหมด เสดงในบทที่ 4 ตารางที่ 4.6) ถูกทำการ
วิเคราะห์และนำเสนอในบทนี้

6.3 การศึกษาแบบพารามิตริก (Parametric Study)

สำหรับการศึกษาแบบพารามิทริกนี้ทำการพิจารณาไปว่าข้อที่มีผลเสื่อมจาก การ เสื่อมต่อระหว่างผู้ผลิตและผู้ซื้อในส่วนของรับโดยทำการจำแนกและวิเคราะห์แบบจำลองเป็น สองลักษณะตามการเสื่อมต่อของอัตราเงินเฟ้นพนักงานอัตราเงินเฟ้นพนักงานต่อองค์กรที่ รองรับ ดังนี้

1) แก้วเจาเล่องทัมพุตกระรูปประกอบอย่างสมบูรณ์ (Fully Composite)

2) เมมจัลลอนที่มีพูดิกรรรมเชื่อมต่อแบบส่วน (Partial Connection)

การล็อกแบบบล็อกที่มีพัฒนารูปแบบอย่างสมบูรณ์ (Fully Composite) โดยมีความแตกต่างกันที่การเชื่อมต่อของจุด (Node) ระหว่างปีกค่าของแบบบล็อกของเหล็กที่รับรังษี (Bottom Flange of Bridge Deck) กับปีกบนของแบบบล็อกของคานที่รับรังษี (Top Flange of Steel Stringer) เพื่อส่งถ่ายแรงจากปีกค่าของเหล็กผ่านไปสู่ปีกบนของคานที่รับรังษีเพิ่มมากขึ้น ลดส่วนปีกบนของคานที่รับรังษีเพียงบางส่วน โดยในกรณีนี้การถ่ายแรงจากปีกค่าของแบบบล็อกของเหล็กผ่านรังษีพานลงสู่ปีกบนของแบบบล็อกของคานเหล็กที่รองรับแต่ตัวจะถ่ายแรงกระทำและไม้มีมโนต์ลงเฉพาะจุด (Node) ที่อยู่ในแนวกลางของแบบบล็อกของเหล็กที่รองรับแต่ตัวท่านนี้ หรือคิดเป็น 25 เปอร์เซ็นต์ ของจัมภุจุดทางหน้าด้านที่เป็นจุดของแบบบล็อกของคานที่รองรับ (Zhang (2006))

$$LDF_{di} \mid \frac{t_i}{n} \quad (6.1)$$

$$LDF_{si} \mid \frac{\kappa_i}{n} - t_j \atop j \neq i$$

LDF_{di} តើជាប្រព័ន្ធដែលការរក្សាទុកដាក់អាមេរិកមានភាពជាបានពីរចំណាំ (i)

ទំនាក់ទំនងរបស់ក្រសួងពេទ្យ និងក្រសួងពេទ្យ នៃរដ្ឋបាល និងក្រសួងពេទ្យ និងក្រសួងពេទ្យ នៃរដ្ឋបាល (LDF According to Deflection)

LDF_{si} គឺ ជាការតាមរកចនាចែងការរក្សាយការណ៍ដោយបង្ហាញពីសំណើនៃការងារនៃគម្ពុទានទៅលើការងារ។ (i)

L_i ก็ คือ ถ้าการโค้งงอ (Deflection) ของคานพิรอดรับน้ำหนัก (i) คือ กำลังไปด้วย (Deflection) ของคานพิรอดรับน้ำหนัก (j)

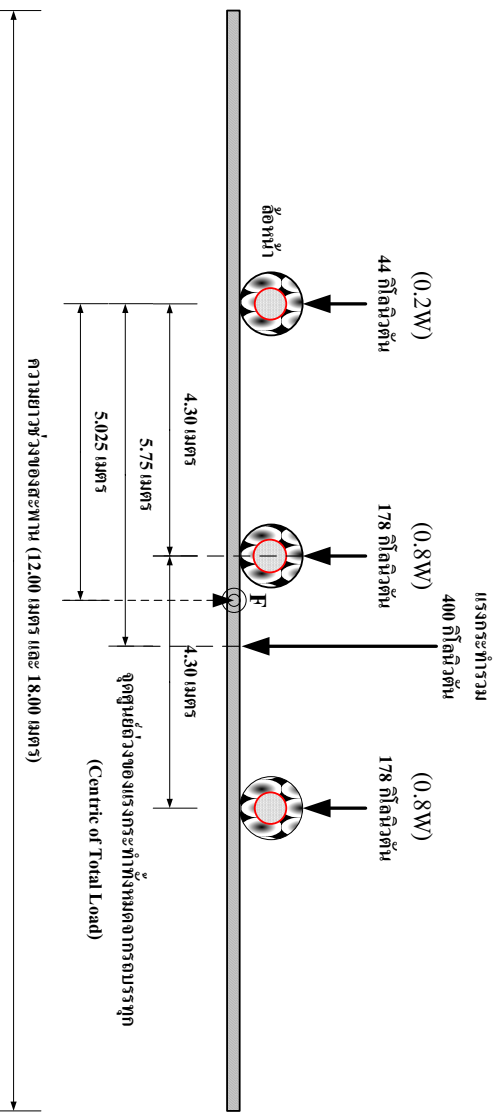
คือ ค่าการยืดหดตัว (Strain) ของ材料ที่รับแรงดึงดูดที่ (i)

คือ ค่าร้อยละ伸びตัว (Strain) ของการที่ห้องรับประทาน (j)

n คือ จำนวนของคาดที่ต้องรับ (Number of stringer)

การคำนวณหาค่าตัวปัจจัยของการรับ載荷หนัก (Load Distribution Factor, LDF) ของหน้าที่น้ำจากการ分布รากที่มีต่อสีสะพานและคาน คำนวณจากค่าการซึ่งลดตัวสูงสุด (Maximum Strain) หรือค่าการโถงตัวมากสุด (Maximum Deflection) ที่เกิดขึ้นกับคานที่รองรับ ซึ่งค่าของผลตอบสนองดังกล่าวจะมีค่ามากหรือมีค่าเรียบเท่านั้น ขึ้นอยู่กับปัจจัยที่สำคัญประการหนึ่งคือ

คำแนะนำของแรงกระทำจากภารณะรุกภายนอกตามแบบจำลองของสะพาย (Truck Load Location) โดยแบบจำลองกำหนดให้สะพายทั้งระบบอยู่ในที่ต้องรับอย่างง่าย (Simple Support) ดังนี้
คำแนะนำในการบันทึกผลการตอบสนองจะต้องตรวจสอบต่อไปนี้ที่ต้องทราบกับคำแนะนำที่ให้ไว้ในเม้นต์สูงสุด
(Maximum Bending Moment)



รูปที่ 6.3 คำแนะนำของแรงกระทำภารณะรุกที่ทำให้เกิดค่าไม้เม่นต์สูงสุด (AASHTO HS25)

จากการที่ 6.3 แสดงแรงกระทำจากภารณะรุกผ่านลิ้นของรถบรรทุกไปเรียงสามเพลจานวน 1 คัน มีความยาวห้ามจอดซุ้นยึดกลางเดือนี้ ถึงสูญยึดกลางเดือนี้ หลังของรถบรรทุกเท่ากับ 8.60 เมตร (เป็นรูปแบบของรถบรรทุกที่ใช้ในการศึกษา) ซึ่งแรงกระทำรวม (Total Load) จักรยานบรรทุกมีค่าเท่ากับ 400 กิโลนิวตัน กระทำต่อส่วนหนึ่งที่ห่างจากซุ้นยึดกลางของล้อหน้าของรถบรรทุกเท่ากับ 5.75 เมตร ซึ่งคำแนะนำของแรงกระทำรวมที่ก่อให้เกิดค่าไม้เม่นต์สูงสุดคือต้นเหตุที่เกิดจากภารณะหัวร่วงภายนอกเดือนของรถบรรทุกที่อยู่ใกล้แรงกระทำรวมมากที่สุด (ดูภาพของรถบรรทุก) ซึ่งคำแนะนำของแรงกระทำรวมที่ก่อให้เกิดค่าไม้เม่นต์สูงสุดคือสูญยึดกลางของล้อหน้าของรถบรรทุกเท่ากับ 5.025 เมตร หรือห่างจากซุ้นยึดกลางของล้อกลางของรถบรรทุกเท่ากับ 0.725 เมตร

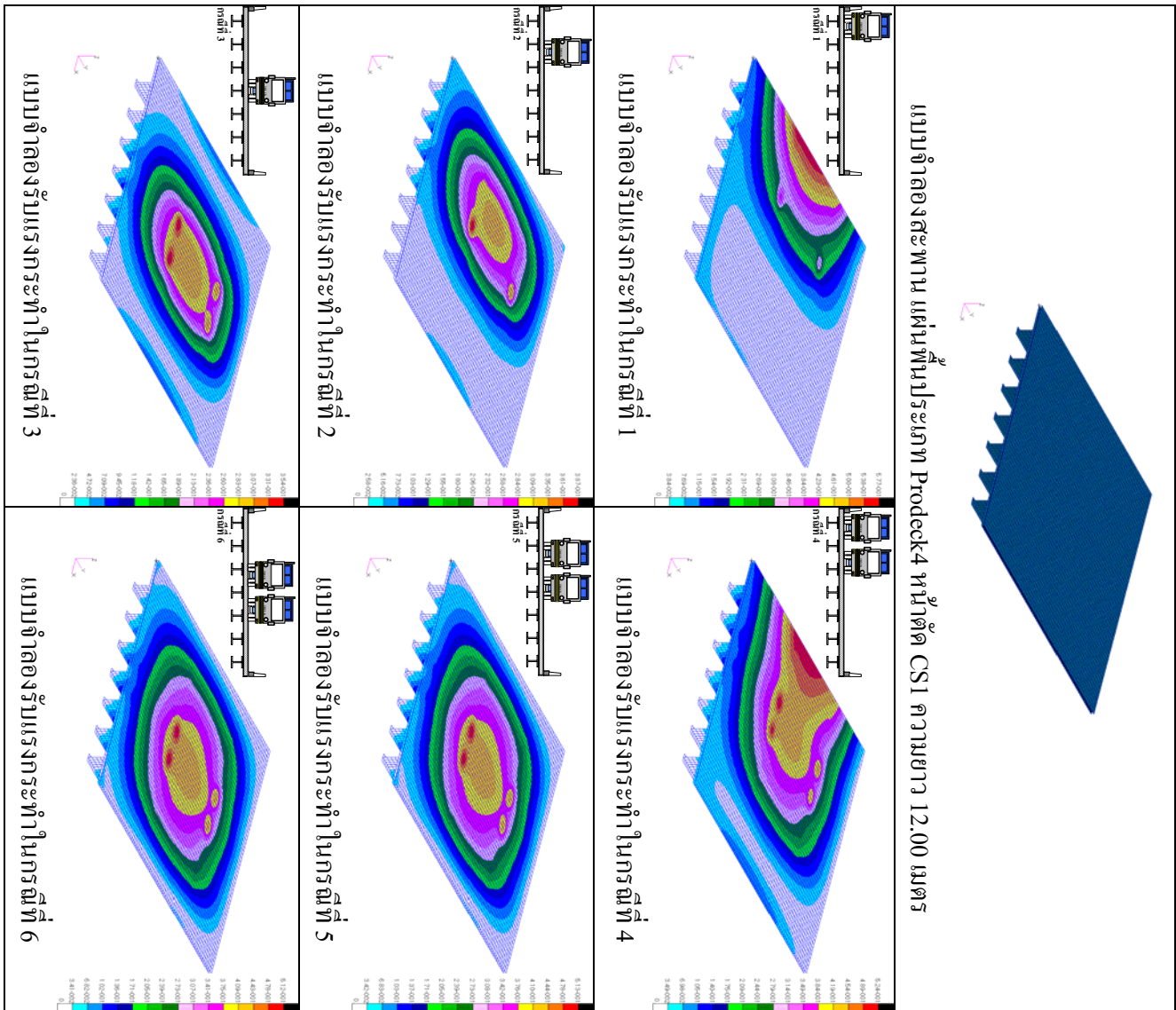
6.4 ผลการศึกษาแบบพารามิตริก (Parametric Study Results)

จากหัวข้อ 6.3 เป็นผลการศึกษายกแบบพารามิตริกตามพัฒนาระบบแบบจำลองเป็นสองส่วน คือ 1) ผลการวิเคราะห์แบบจำลองที่มีพัฒนาระบบประกอบอย่างสมบูรณ์ และ 2) ผลการวิเคราะห์แบบจำลองที่มีพัฒนาระบบเรื่องต้องการส่วน ดังรายละเอียดด่อไปนี้

6.4.1 การวิเคราะห์แบบจำลองที่มีพัฒนาระบบประกอบอย่างสมบูรณ์แบบพารามิตริก (Parametric Analysis of Fully Composite Models)

การวิเคราะห์แบบจำลองมีจุดประสงค์หลักเพื่อวิเคราะห์หาค่าตัวประภากลوبอลของการรับน้ำหนัก (Load Distribution Factor, LDF) สำหรับกราฟสีน้ำเงินจำแนกแบบจำลองทั้งหมด 180 แบบจำลอง ประกอบไปด้วยแบบจำลองที่มีแผ่นสีฟ้า พื้นสีฟ้า พานหน้าตัด Prodeck4 และ Prodeck8 ประกอบด้วย 90 แบบจำลอง เนื้อหาเกี่ยวกับลักษณะการวิเคราะห์ที่มีจุดเด่นจากการวิเคราะห์ในส่วนนี้ทั้งหมดคือการวิเคราะห์ (ค่าการโถงดิ่ง (Deflection) และ ค่าการยึดหยุ่น (Strain)) เพื่อกำหนดหากค่าตัวประภากลوبอลของการรับน้ำหนักหรือแรงทำ抗拒ณ์ที่มีค่าความตึงรับน้ำหนัก รวมทั้งการวิเคราะห์ที่จะป้องกันให้มีผลต่อค่าตัวประภากลوبอลของการรับน้ำหนัก ตลอดจนการแสดงแสดงความสัมพันธ์ระหว่างค่าตัวประภากลوبอลของการรับน้ำหนักกับปัจจัยต่างๆ ดังที่ได้ระบุข้างต้น

เพื่อประเมินพัฒนาการคำนวณค่าตัวประภากลوبอลของการรับน้ำหนักที่มีต่อความต้องรับน้ำหนัก ตามสมการที่ 6.1 ที่ใช้ค่าการโถงดิ่ง (Deflection) ใน การคำนวณ และสมการที่ 6.2 ที่ใช้ค่าการยึดหยุ่น (Strain) ใน การคำนวณ โดยแสดงให้เห็นถึงความแตกต่างของค่าตัวประภากลوبอลของการรับน้ำหนักที่คำนวณ ได้จากพื้นท้องสมการ โดยทำการพิจารณาจากกรณีแบบจำลองมีแผ่นสีฟ้า Prodeck4 และหน้าตัดแบบ CS1 (แบบจำลองก้าว 9.30 เมตร และระยะห่างระหว่างคานที่รองรับน้ำหนัก 1.20 เมตร) ความพยายามจำลองสะพานทั้ง 12.00 เมตร ดังแสดงในรูปที่ 6.4 และผลการประเมินพัฒนาการคำนวณในตารางที่ 6.3



รูปที่ 6.4 ผลการวิเคราะห์แบบจำลองของสะพาน (Prodeck4, CS1 - 12, Case1 - Case6)

ตารางที่ 6.3 การประยุกต์ใช้ค่าตัวประกันของภาระจ่ายนำหน้า คำนวณมาจากการวิเคราะห์ที่ 6.1

ผล 6.2 (Prodeck4, CS1 - 12, Case1 - Case6)

ครรช. ที่	วิธีคำนวณค่า LDF	ค่าตัวประกันของภาระจ่ายนำหน้า (LDF)						
		คาน 1	คาน 2	คาน 3	คาน 4	คาน 5	คาน 6	คาน 7
1	เมื่อจะทำการรื้อเดาด	0.4249	0.3181	0.2008	0.0775	0.0116	-0.0095	-0.0234
	เมื่อจะทำการรื้อลงตัว	0.4155	0.3131	0.2011	0.0726	0.0125	0.0090	-0.0239
2	เมื่อจะทำการรื้อเดาด	0.1576	0.2724	0.2863	0.2012	0.0792	0.0120	-0.0088
	เมื่อจะทำการรื้อลงตัว	0.1546	0.2767	0.2846	0.2045	0.0769	0.0137	-0.0110
3	เมื่อจะทำการรื้อเดาด	0.0161	0.1184	0.2258	0.2805	0.2352	0.1067	0.0174
	เมื่อจะทำการรื้อลงตัว	0.0180	0.1095	0.2351	0.2784	0.2380	0.1035	0.0175
4	เมื่อจะทำการรื้อเดาด	0.2162	0.2036	0.1991	0.1779	0.1348	0.0654	0.0031
	เมื่อจะทำการรื้อลงตัว	0.1979	0.2056	0.2086	0.1797	0.1403	0.0648	0.0031
5	เมื่อจะทำการรื้อเดาด	0.0729	0.1437	0.1853	0.1987	0.1840	0.1464	0.0689
	เมื่อจะทำการรื้อลงตัว	0.0712	0.1468	0.1826	0.2033	0.1809	0.1468	0.0684
6	เมื่อจะทำการรื้อเดาด	0.0740	0.1430	0.1859	0.1982	0.1839	0.1462	0.0689
	เมื่อจะทำการรื้อลงตัว	0.0720	0.1466	0.1821	0.2029	0.1808	0.1468	0.0689

หมายเหตุ: เพื่อความง่ายดายในการคำนวณ ลักษณะภูมิภาคนำมาใช้ ดังแสดงในรูปที่ 6.4 และตารางที่

6.3 คือ (Prodeck4, CS1 - 12, Case1 - Case6) ซึ่งแสดงตัวแปรต่างๆ ที่คำนวณมาตามค่าความหนาแน่นที่ได้รับ Prodeck4 หมายถึง เบยก้าล่องสีพลาสติกที่มีเพิ่มเติมไป Prodeck4 (เพิ่มสีสีพลาสติกที่ไม่ควรจะห่ม) 2 ประการ คือ Prodeck4 และ Prodeck8), CS หมายถึง หัวตัดด้วยเบยก้าล่องสีพลาสติก (รายละเอียดแสดงในตารางที่ 6.1) - 12 หมายถึง ความยาวของเบยก้าล่อง (การวิเคราะห์มีความยาว 2 ความยาวคือ 12.00 เมตร และ 18.00 เมตร) และ Case หมายถึง หน้าหนังจากกรณีที่กระทำบนแบบจำลองในรูปต่อไปนี้ (รายละเอียดแสดงในตารางที่ 6.2)

เมื่อพิจารณาตารางที่ 6.3 พบว่าในกรณีที่ 1 (คาน 1 และ คาน 2) พวยตัวตัวประกอบของภาระจ่ายนำหน้า มากกว่าตัวประกอบของภาระจ่ายนำหน้าที่คำนวณมาตามค่าการรื้อเดาที่ 6.2 (เมื่อจะทำการรื้อเดา) จะมีค่าสำหรับค่านี้ตัวที่ 1 (คานตัวริบบิ้นลงกสุด) ที่คตัวประกอบของภาระจ่ายนำหน้าที่คำนวณมาหาก

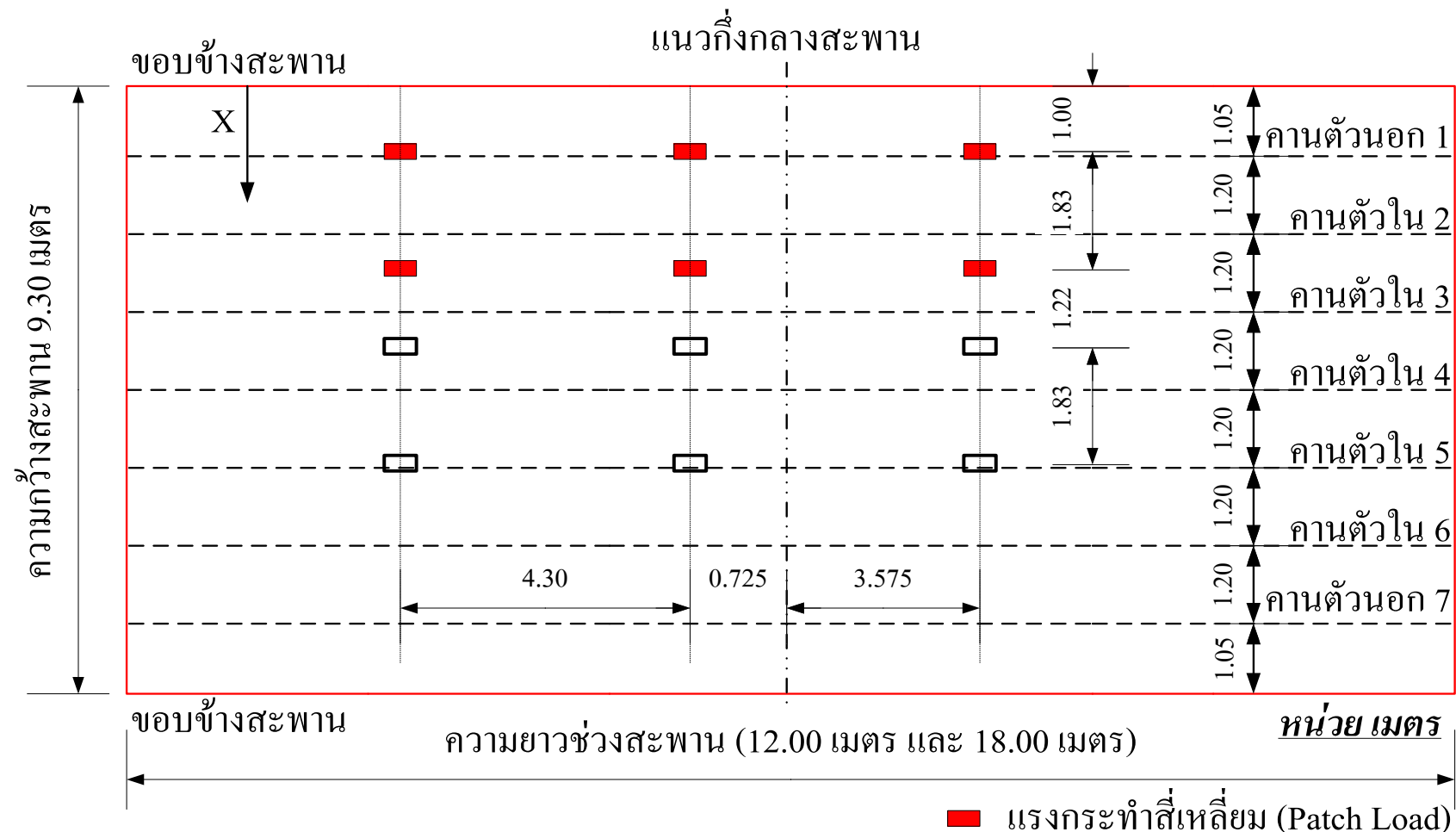
สมการที่ 6.2 มีค่าเท่ากับ 0.4249 ซึ่งเป็นค่าที่มากที่สุดในตารางที่ 6.3 และค่าไม่ต่างจากที่สุดใน
ถ้าดำเนินมาคือ 0.4155 ซึ่งคำนวณมาจากสมการที่ 6.1 และในส่วนของงานด้วย 2 (งานด้วยไม้ตัว
แรก) ค่าตัวประกลบของภาระจะหายไปทั้งหมดที่วิเคราะห์ได้จากการ 6.2 และ 6.1 มีค่าเท่ากับ
0.3181 และ 0.3131 ตามลำดับ ซึ่งมีลักษณะที่นิยมเดียวกันกับกรอบด้านตัวริมนอกสุด ด้วยผลที่ได้
มาพบว่าค่าตัวประกลบของภาระจะหายไปทั้งหมดที่วิเคราะห์ได้จากการที่สุดในกรอบที่ 1 เกิดขึ้นที่คานตัวริมนอก
สุด (Exterior Girder) และงานด้วยในตัวเรก (First Interior girder) ตามลำดับ เพราะฉะนั้นผลการ
วิเคราะห์ LDF ที่ฐานมานั้นอยู่ต่อไป จะนำเสนอด้วย LDF ที่คำนวณมาจากการ 6.2 เท่านั้น

ปัจจัยที่มีผลต่อค่าตัวประกลบของภาระอย่างไร

1) ตำแหน่งของรถบรรทุก (Truck Load Position) ไปร์ปีน 2 กรอบ คือ

1.1) ตำแหน่งของรถบรรทุกในพิศวกรรมตามแนวยาวของสะพาน ซึ่งได้กล่าวมานะแล้ว
ปัจจุบันดังแสดงในรูปที่ 6.5 คือ ตำแหน่งของรถบรรทุกในพิศวกรรมตามแนวยาวของสะพานที่มีผลต่อ
ค่า LDF มากที่สุดคือตำแหน่งที่ทำให้เกิดค่าโมเมนต์การดัดสูงสุด (Maximum Bending Moment)
เนื่องจากเมื่อรถบรรทุกอยู่ในตำแหน่งที่เกิดค่าโมเมนต์การดัดสูงสุด ที่คานรองรับก็จะมีภาระสืด
หดตัวที่มากตามไปด้วย ส่งผลให้ค่า LDF ที่คำนวณจากสมการที่ 6.2 มีค่ามากตามไปด้วย

1.2) ตำแหน่งของรถบรรทุกในพิศวกรรมตามแนวยาวของสะพาน โดยพิจารณาจาก
ตารางที่ 6.3 ซึ่งค่า LDF จะมีค่ามากที่สุดเมื่อแรงกระแทกกระทำด้วยแบบจัลลงรถพะ ไนกรอบที่ 1
เท่านั้น (จากตารางที่ 6.2 กรณีที่ 1 คือ กรณีที่มีแรงกระแทกกระทำจากภาระรถบรรทุกเพียงคันเดียวที่กระแทกใน
พิศวกรรมตามแนวยาว โดยแนวล้อด้านหน้าของรถบรรทุกอยู่หัวทางลาดของคันหมุนหัวท่ากับ 0.61 เมตร)
ดังแสดงในรูปที่ 6.5 และเพื่อที่จะแสดงให้เห็นว่าตำแหน่งของรถบรรทุกเพียงคันเดียวที่กระแทกต่อ
แบบจำลองสะพานในพิศวกรรมตามแนวยาวที่ระบุต่อจากงานขอทางจะให้ค่า LDF ที่มีส่วนแบ่ง
ไปโดยพิจารณาจากตารางที่ 6.4 (ซึ่งเป็นผลจากการวิเคราะห์โดยรถบรรทุกหนึ่งคัน (รูปที่ 6.5
รถบรรทุกหนึ่งคันบนเดียว สีเหลืองทั้งหมด) ในการประเมินตำแหน่งของแรงกระทำในพิศวกรรมแบบ
ขาวของสะพาน โดยมีการเลื่อนตำแหน่งจากขอบขวาไปทางด้านหน้าไปที่ระยะต่างๆ (รูปที่ 6.5
กำหนดให้ X คือระยะห่างจากขอบขวาของสะพานด้านหน้าสิ้นสุดแนวลากรอบรถบรรทุกในพิศวกรรมแนว
สะพาน) และทำการประเมินตำแหน่งของการกระทำของรถบรรทุก)



รูปที่ 6.5 แปลนของแรงกระทำจากล้อรถบรรทุกต่อพื้นสะพาน

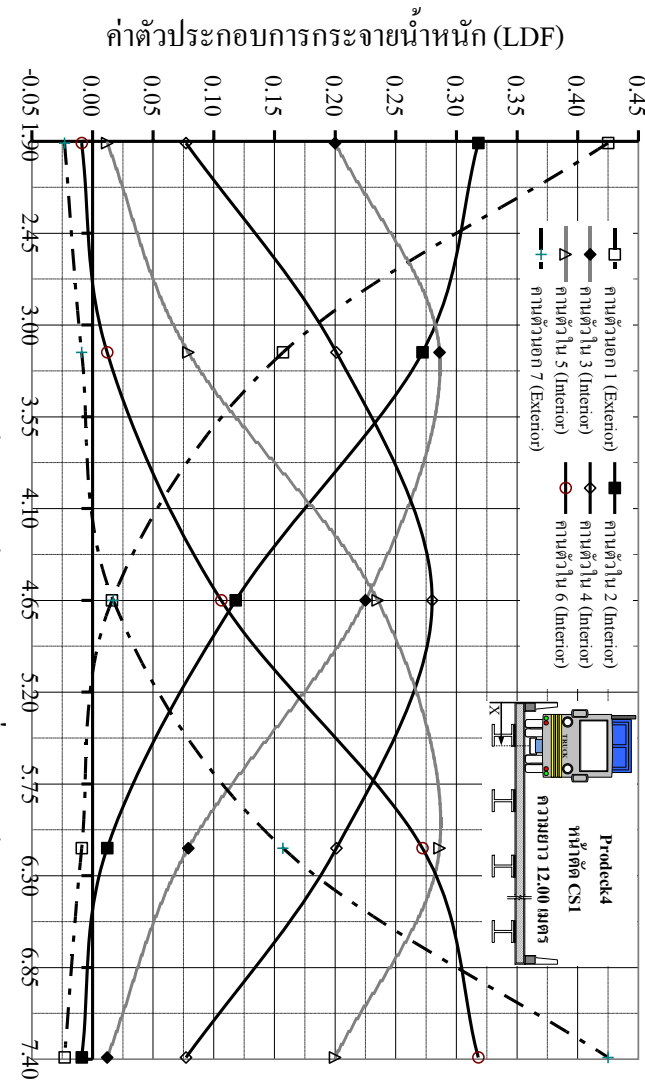
ในทิศทางตามแนวยาวและทิศทางตามแนวขวาง ส่งผลให้เกิดค่า LDF ที่มากที่สุด (CS1, Case1 และ Case4)

ตารางที่ 6.4 ค่า LDF ที่รั้งยะ X ต่างกัน (Prodeck4, CS1 - 12, Case1)

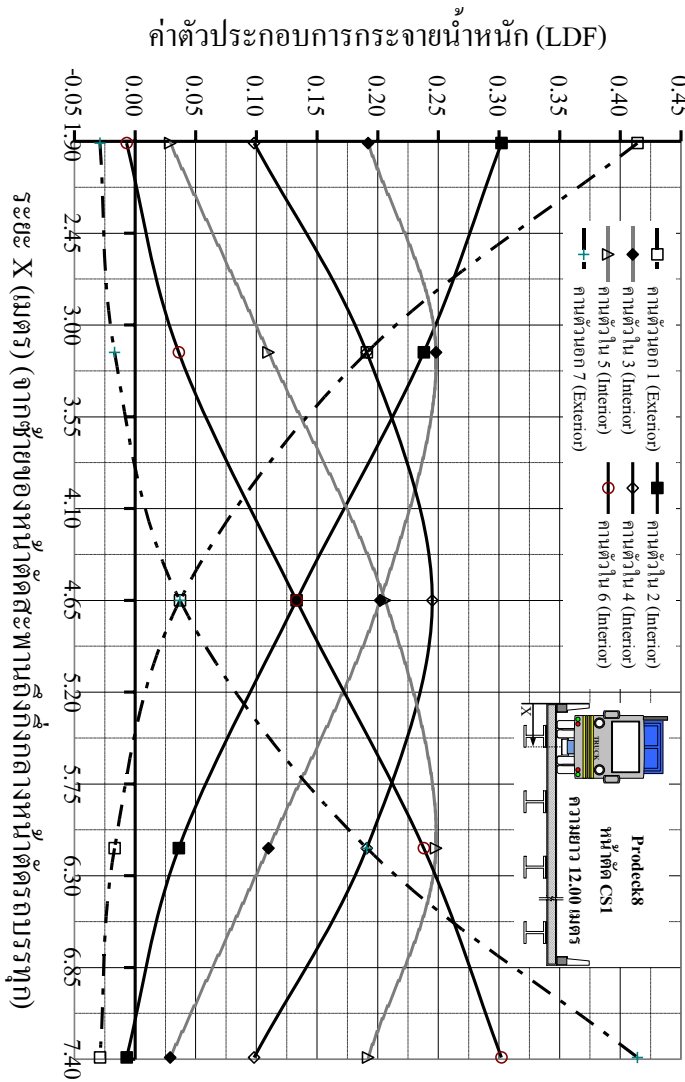
Prodeck4 Fully Composite (หุ้นส่วน CS1 ครึ่งที่ 1)	ค่าตัวแปรคงของภาระจายหน้าหนัก (LDF) ที่รั้งยะ X (เมตร)			
1.910	3.165	4.650	6.135	7.390
ค่านตัววนอค 1 (Exterior)	0.425	0.157	0.016	-0.009
ค่านตัววน 2 (Interior)	0.318	0.272	0.118	0.012
ค่านตัววน 3 (Interior)	0.200	0.286	0.225	0.079
ค่านตัววน 4 (Interior)	0.077	0.201	0.280	0.201
ค่านตัววน 5 (Interior)	0.012	0.079	0.235	0.286
ค่านตัววน 6 (Interior)	-0.009	0.012	0.106	0.272
ค่านตัววนอค 7 (Exterior)	-0.023	-0.009	0.017	0.157
				0.425

จากตารางที่ 6.4 พวยว่า ค่า LDF มีค่ามากที่สุดที่เท่ากับ 0.425 เมื่อตัวแปรหนึ่งที่รั้งด้วยหุ้นส่วน composite ของรั้งที่ 1 คือ 1.91 เมตร และ 7.39 เมตร (ซึ่งก็คือระยะห่างของลิ้นรั้งที่รั้งที่ 1 จากจุดอยู่ก้นพื้นที่เท่ากับ 0.61 เมตร ห้องศีห์ที่ทางเดินเข้าบ้านและห้องพักทางเดินขาข่องสีสะพานตามลักษณะ) ส่วนในกรณีหุ้นส่วน composite ที่รั้งที่ 2 ในตำแหน่งอ่อน (X เท่ากับ 3.165, 4.650 เมตร 6.135) ค่า LDF มีค่าน้อยกว่า

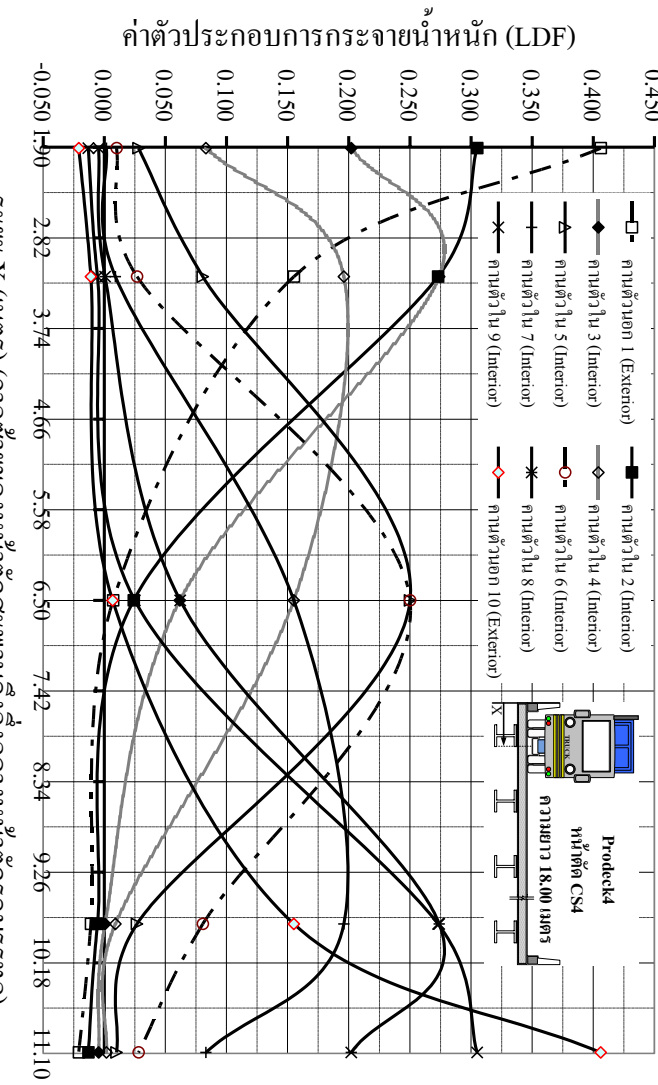
จากรูปที่ 6.6 ถึง 6.9 แสดงความสัมพันธ์ระหว่างค่า LDF ที่เกิดจากแรงภาระที่ห้องรับน้ำรั่วทุกหนึ่งคืน กับระยะห่างจากจุดอยู่ก้นพื้นที่รั้งที่ 1 ของหุ้นส่วน composite ของรั้งที่ 1 ที่รั้งด้วยหุ้นส่วน composite ของรั้งที่ 2 ที่ Prodeck4 และ Prodeck8 กรณีที่เป็นหุ้นส่วน composite CS1 และ CS4 ที่มีความยาวแบบจำลองเท่ากับ 12.00 เมตร และ 18.00 เมตร ตามลักษณะ LDF มีค่ามากที่สุดเมื่อรั้งอยู่ในตำแหน่งที่มีแรงภาระทำต่อพื้นสะพานในกรณีที่ 1 ซึ่งค่า LDF ที่มากที่สุดเกิดที่ค่านตัววนของรั้งที่ 1 แต่ค่า LDF ที่มีค่ามากที่สุดรองลงมาในกรณีที่ 2 ตามที่แสดงในรูปที่ 6.6 ถึง 6.9 ดังนั้นตัวแปรหนึ่งของตัวแปรในส่วนของหุ้นส่วน composite CS2, CS3, CS5 และ CS6 ที่มีผลเริ่มเด่นขึ้น ดังนั้นตัวแปรหนึ่งของแรงภาระที่รั้งที่ 1 ในพื้นที่ทางเดินของหุ้นส่วน composite ที่รั้งที่ 2 ที่เกิดขึ้น โดยทำการจายหน้าหนักที่เกิดขึ้นกับค่านตัววนของรั้งที่ 1 และค่านตัววนของรั้งที่ 2 ตามที่แสดงในรูปที่ 6.6 ถึง 6.9



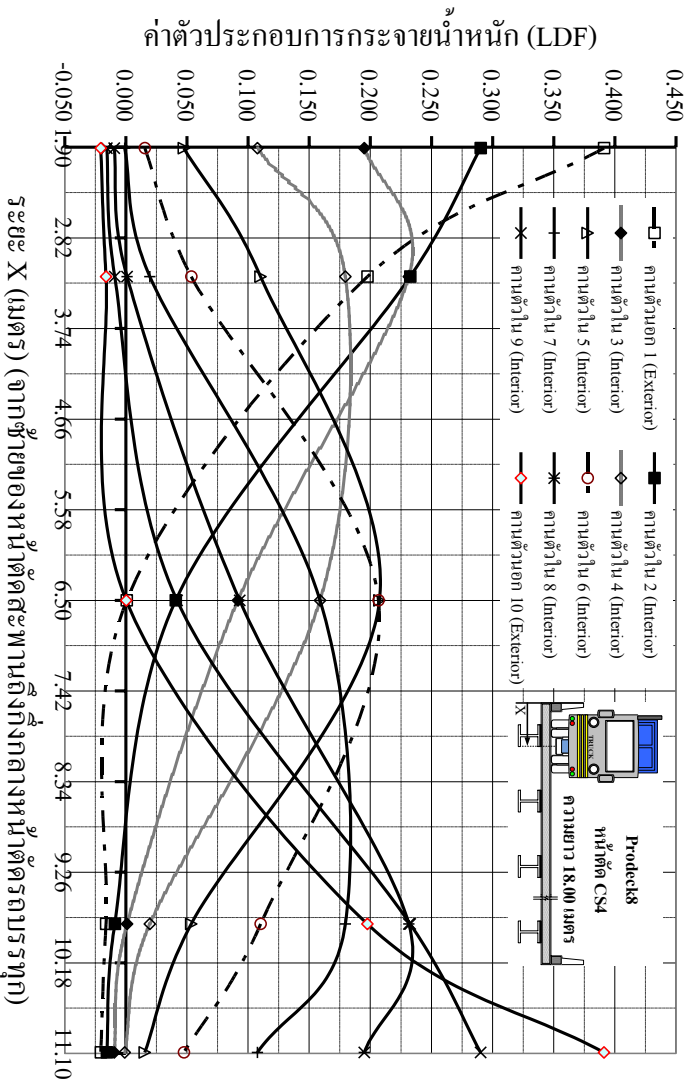
รูปที่ 6.6 ความสัมพันธ์ระหว่างค่า LDF ที่ระยะ X ต่างๆ (Prodeck4, CS1 - 12, Case1)



รูปที่ 6.7 ความสัมพันธ์ระหว่างค่า LDF ที่ระยะ X ต่างๆ (Prodeck8, CS1 - 12, Case1)



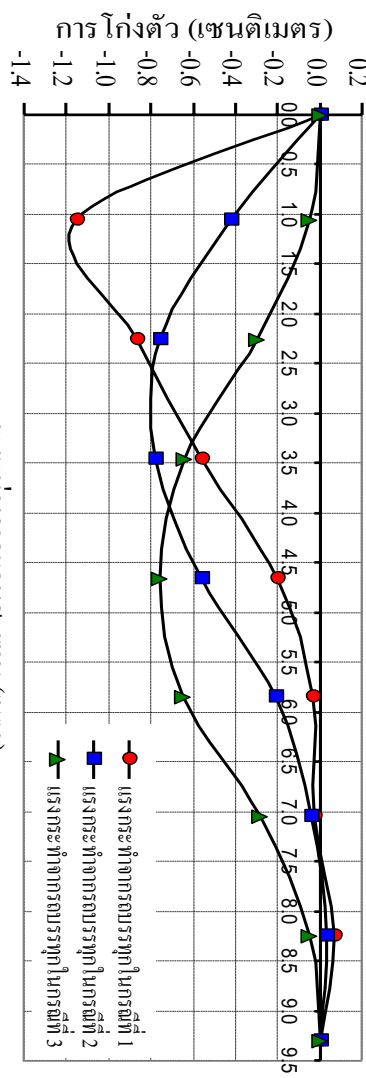
รูปที่ 6.8 ความสัมพันธ์ระหว่างค่า LDF ที่ระยะ X ต่างๆ (Prodeck4, CS4 - 18, Case1)



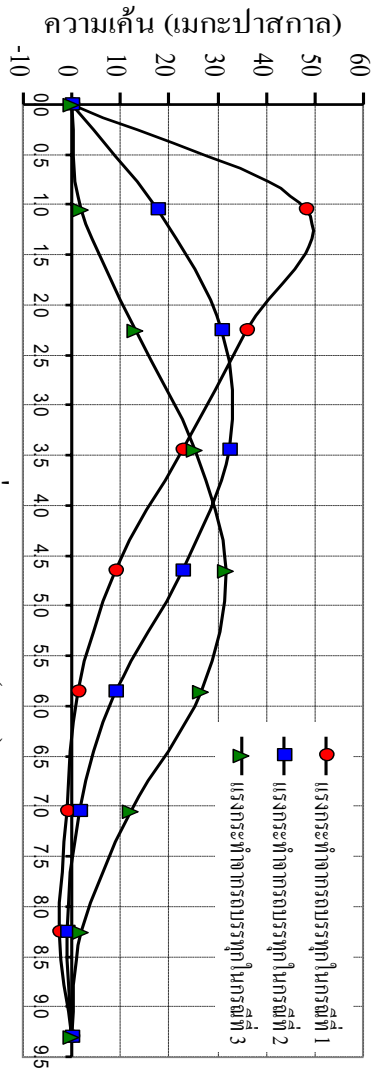
รูปที่ 6.9 ความสัมพันธ์ระหว่างค่า LDF ที่ระยะ X ต่างๆ (Prodeck8, CS4 - 18, Case1)

เมื่อทำการพิจารณาความสัมพันธ์ระหว่างค่าผลตอบสนอง (การโถงตัว, ความเดื้อเดิน และค่าการรีดเด็ตต์) ขึ้นเนื่องมาจากแรงกระทำของแรงรบกวนทุกในกรอบที่ 1, กรอบที่ 2 และกรอบที่ 3 โดยมีหน้าตาดังแบบ CSI ของคานที่ร่องรับ กับระยะต่างๆ บนหน้าตัดของแบบจำลองสีสะพาน ประมาณที่สี่เพิ่มเพื่อประเมิน Prodeck4 ที่ตรงกับต้นแบบของคานที่ร่องรับแต่ละตัว ดังแสดงผลในตารางที่ 6.5 และรูปที่ 6.10 ถึง 6.12

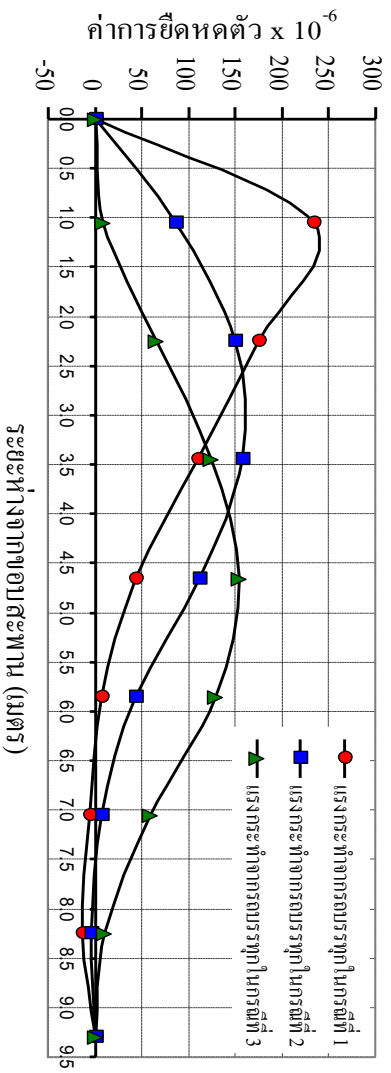
ตารางที่ 6.5 ค่าผลตอบสนองต่างๆ ที่ระบุ X ต่างๆ (Prodeck4, CS1 - 12, Case1 - Case3)



รูปที่ 6.10 ความสัมพันธ์ระหว่างการไถ่ตัวที่ระบุ X ต่างๆ (Prodeck4, CS1 - 12, Case1 - Case3)



รูปที่ 6.11 ความสัมพันธ์ระหว่างความเคี้ยวที่ระบุ X ต่างๆ (Prodeck4, CS1 - 12, Case1 - Case3)

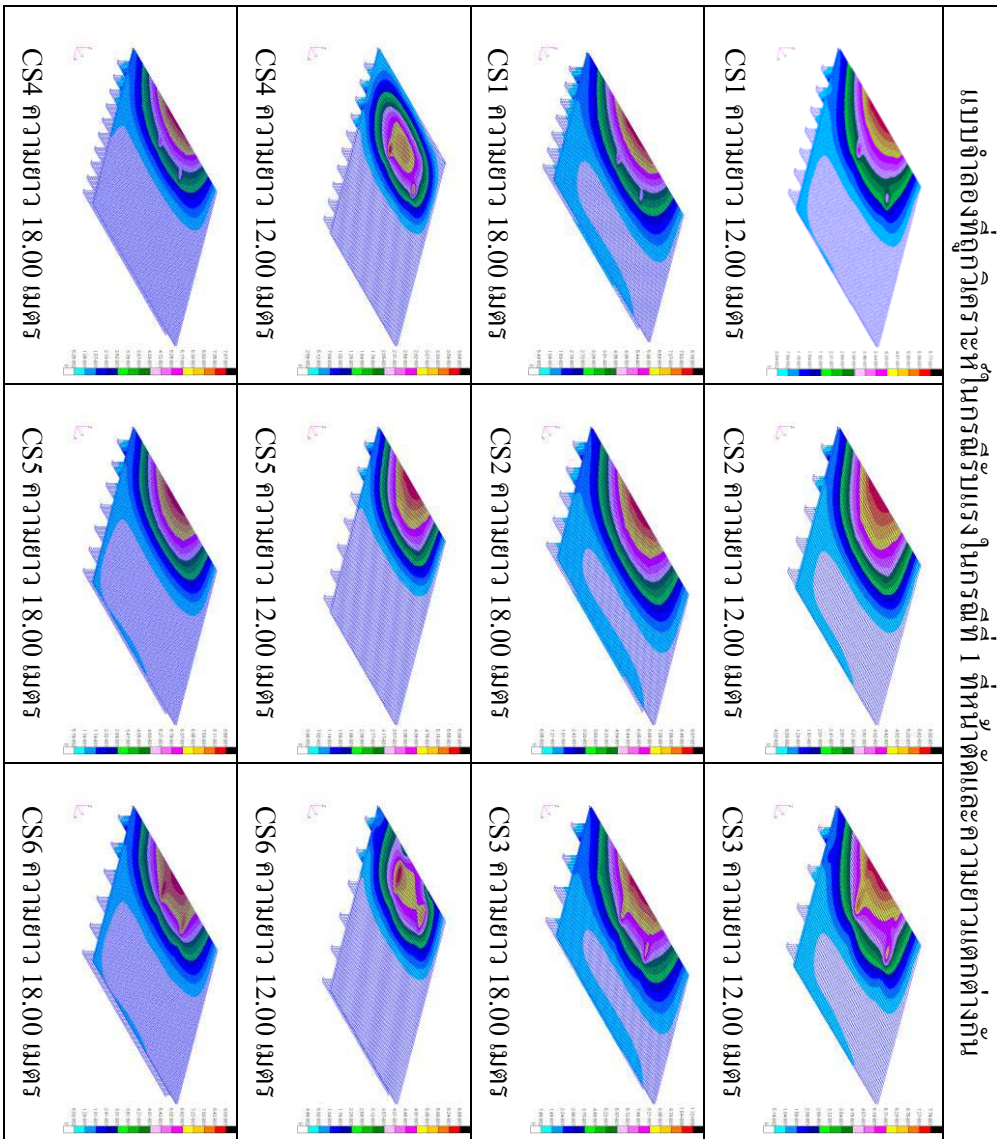


รูปที่ 6.12 ความสัมพันธ์ระหว่างการถดหนดตัวที่ระบุ X ต่างๆ (Prodeck4, CS1 - 12, Case1 - Case3)

พบว่ามีอยู่เรื่องราวที่น่าสนใจมาก คือในครั้งที่ 1 ทำให้เกิดผลตอบสนองที่ได้คาดการณ์ไว้ คือรั้งเปลี่ยนเป็นสีขาว แต่ตัวมีความกว้างและยาวกว่าที่คาดการณ์ไว้ จึงต้องปรับเปลี่ยนการติดตั้งตัวบันไดให้สอดคล้องกับความกว้างของห้อง ทำให้ต้องตัดต่อห้องใหม่เพิ่มเติม ซึ่งต้องใช้เวลาและแรงงานมากขึ้น แต่ในครั้งที่ 2 สามารถติดตั้งตัวบันไดได้ตามที่ต้องการ ไม่ต้องตัดต่อห้องใหม่ ทำให้ลดต้นทุนลงได้ รวมถึงลดเวลาการทำงานลงได้ 20% ซึ่งเป็นผลลัพธ์ที่ดีมาก

2) ความกว้างและความยาวของแบบจำลอง (Width and Length)

แบบจำลองสะพานที่ใช้เพื่อทำการวิเคราะห์ในบทนี้ประกอบด้วยแบบจำลองที่มีขนาดหน้าตั้งกว้าง 9.30 เมตร และ 13.00 เมตร ในส่วนของความยาวมีค่าเท่ากับ 12.00 เมตร และ 18.00 เมตร โดยในส่วนนี้จะแสดงความแตกต่างของ LDF เนื่องจากความแตกต่างของขนาดความกว้างและความยาวของแบบจำลอง โดยแสดงผลการวิเคราะห์แบบจำลองด้วยเรลงกราฟเอนพารณ์ที่ 1 จังแสดงในรูปที่ 6.13 และตารางที่ 6.6 ที่แสดงผลการคำนวณสำหรับ LDF จากการวิเคราะห์ภายใต้แรงกระทำแบบมกรณ์ที่ 1 ในพื้นที่หน้าตั้งของแบบจำลอง โดยแสดงผลพากามตัว粧นาที่รินสุดและค่าน้ำดีวนต์เบรก



รูปที่ 6.13 ผลการวิเคราะห์แบบจำลอง ภายใต้แรงกระทำแบบมกรณ์ที่ 1 ในพื้นที่หน้าตั้งของแบบจำลอง (CS1 ถึง CS6) และทุกความยาว (จากแบบจำลองผ่านพื้นหน้าตัด Prodeck4)

ตารางที่ 6.6 ค่าตัวประจุของภาระจ่ายน้ำหนัก เมื่อภาระจราจรที่ 1 ในทุกขนาดหน้าตัด ของแบบจำลอง เลขพารามิตเตอร์ของภาระค่าตัวในตัวเร็ว

ภาระค่า 1	ค่าตัวประจุของภาระจราจรที่ 1 ในตัวเร็ว				
	สูงพาน	แผ่นพื้นประภาก Prodeck4	แผ่นพื้นประภาก Prodeck8		
CS	ยาว (เมตร)	ค่าตัวนอก	ค่าตัวในตัวเร็ว	ค่าตัวนอก	ค่าตัวในตัวเร็ว
CS1	12.00	0.4249	0.3181	0.4143	0.3024
	18.00	0.4158	0.3105	0.4031	0.2978
CS2	12.00	0.5159	0.3762	0.5100	0.3447
	18.00	0.5153	0.3715	0.5021	0.3431
CS3	12.00	0.6209	0.3640	0.5992	0.3449
	18.00	0.6168	0.3635	0.5980	0.3462
CS4	12.00	0.4161	0.3138	0.4036	0.2968
	18.00	0.4062	0.3058	0.3910	0.2901
CS5	12.00	0.5073	0.3759	0.4962	0.3370
	18.00	0.4985	0.3669	0.4861	0.3355
CS6	12.00	0.5629	0.3889	0.5529	0.3516
	18.00	0.5518	0.3805	0.5415	0.3524

ตารางที่ 6.6 แสดงค่า LDF เมื่อยืนยันให้กับภาระที่ 1 ในทุกขนาดหน้าตัดที่มีค่าตัวประจุของภาระจราจรที่ 1 สำหรับแบบจำลองที่มีแผ่นพื้นประภาก Prodeck4 และ Prodeck8 โดยพิจารณาเฉพาะค่า LDF ที่เกิดกับค่าตัวนอกของภาระที่ 1 ในตัวเร็ว พยุงไว้ส่วนใหญ่ค่า LDF ที่วิเคราะห์จากแบบจำลองสะพานที่มีความยาว 12.00 เมตร มีค่ามากกว่าค่า LDF ที่วิเคราะห์จากแบบจำลองสะพานที่มีความยาว 18.00 เมตร ในทุกขนาดหน้าตัด

ดังนั้นเมื่อพิจารณาความกว้างของแบบจำลองและระยะห่างของคานที่รองรับมีค่าคงที่ (จากที่กล่าวมาแล้วข้างต้น) ว่า การกำหนดขนาดหน้าตัดตามแบบจำลองไว้ที่ในแบบ CS1 ถึง CS6 ขึ้นอยู่กับความกว้างของแบบจำลองและระยะห่างของคานที่รองรับแต่ละตัว) เพื่อพิจารณาผลที่เกิดกับค่า LDF เมื่อความกว้างของแบบจำลองมีการเปลี่ยนแปลงอย่างชัดเจนแบบจำลองของสะพานที่มีแผ่นพื้นประภาก Prodeck4 และวิธีนำไปตัดจุดของแบบจำลองแบบ CS1 เมื่อพิจารณาเฉพาะค่า LDF ที่เกิดกับค่าน้ำหนัก พยุงไว้ค่า LDF ของแบบจำลองที่มีความยาว 12.00 เมตร มีค่าเท่ากับ

0.4249 และค่า LDF ของแบบจำลองที่สี่ความยาว 18.00 เมตร มีค่าเท่ากับ 0.4158 ซึ่งค่า LDF ที่ได้คำนวณท้ากับ 2.14% หั้นไปร์เซนต์ความแตกต่างของค่า LDF หั้นหมายจากตารางที่ 6.6 ในกรณีที่ความกว้างของแบบจำลองและระยะห่างระหว่างคานที่รองรับมีค่าคงที่ โดยความยาวของแบบจำลองเพิ่มขึ้น (12.00 เมตร เป็น 18.00 เมตร) ถูกแสดงในตารางที่ 6.7

ตารางที่ 6.7 ค่าความแตกต่างของค่า LDF ของแบบจำลองที่สี่ความยาว 12.00 เมตร และ 18.00 เมตร (กราฟความกว้างของแบบจำลองและระยะห่างระหว่างคานที่รองรับมีค่าคงที่)

กรณีที่ 1	ค่าความแตกต่างของค่า LDF ของแบบจำลองที่สี่ความยาว 12.00 เมตร เป็น 18.00 เมตร				
	แม่นพื้นผิว Prodeck4	แม่นพื้นผิว Prodeck8	คานตัวนอก	คานตัวในตัวเบรก	คานตัวในตัวเบรก
CS (คงที่)					
CS1	2.14%	2.39%	2.69%	1.57%	1.52%
CS2	0.11%	1.26%			
CS3	0.65%	0.16%	0.21%		-0.37%
CS4	2.38%	2.56%	3.10%		2.24%
CS5	1.74%	2.39%	2.03%		0.44%
CS6	1.98%	2.18%	2.04%		-0.22%

ในท่านอนเดียกัน จากตารางที่ 6.6 เมื่อพิจารณาให้ความยาวของแบบจำลองและรั้งห่วงห่วงคานที่รองรับมีค่าคงที่ เพื่อพิจารณาผลที่เกิดกับค่า LDF เมื่อความกว้างของแบบจำลองมีการเปลี่ยนแปลง อย่างเช่น แบบจำลองของสะพานที่มีผ่อนสีพื้นสะพานประเมิน Prodeck4 และมีความยาวของแบบจำลองเพิ่มขึ้น 12.00 เมตร เมื่อพิจารณาเฉพาะค่า LDF ที่เกิดกับคานตัวนอก พนที่ค่า LDF เมื่อหนี้ตัวของแบบจำลองแบบ CS1 (แบบจำลองกว้าง 9.30 เมตร และมีรั้งห่วงห่วงคานที่รองรับเท่ากับ 1.20 เมตร) มีค่าเท่ากับ 0.4249 และค่า LDF เมื่อหัวตัวของแบบจำลองแบบ CS4 (แบบจำลองกว้าง 13.00 เมตร และมีรั้งห่วงห่วงคานที่ร่องรับเท่ากับ 1.20 เมตร) มีค่าเท่ากับ 0.4161 ซึ่งมีค่า LDF ที่เกิดกับค่า LDF หั้นเพิ่มขึ้น 2.07% หั้นเพิ่มไปร์เซนต์ความแตกต่างของค่า LDF หั้นหมายจากตารางที่ 6.6 ในกรณีที่ความยาวของแบบจำลองและรั้งห่วงคานที่รองรับมีค่าคงที่ โดยความกว้างของแบบจำลองเพิ่มขึ้น (9.30 เมตร เป็น 13.00 เมตร) ถูกแสดงในตารางที่ 6.8

ตารางที่ 6.8 ค่าความแผลต่างของค่า LDF ของแบบจำลองที่มีความกว้าง 9.30 เมตร และ 13.00 เมตร (กรณีความกว้างของแบบจำลองและระยะห่างระหว่างคานที่รองรับมีค่าคงที่)

กรณีที่ 1 เมื่อความกว้างของแบบจำลองเปลี่ยนจาก 9.30 เมตร เป็น 13.00 เมตร	ค่าความแผลต่างของเดียวของภาระจากการรั่วไหล (Load Distribution Factor)				
	L, S (คงที่) (เมตร)	แม่น้ำ Prodeck4 ตามตัวนอก	แม่น้ำ Prodeck4 ตามตัวในตัวเรือ	แม่น้ำ Prodeck8 ตามตัวนอก	แม่น้ำ Prodeck8 ตามตัวในตัวเรือ
12.00, 1.20	2.07%	1.35%	2.59%	1.87%	2.59%
18.00, 1.20	2.32%	1.52%	3.00%	2.24%	2.21%
12.00, 1.83	1.67%	0.10%	2.72%	2.21%	-1.94%
18.00, 1.83	3.27%	1.24%	3.18%	2.46%	2.46%
12.00, 2.29	9.33%	-6.84%	7.74%	7.74%	7.74%
18.00, 2.29	10.54%	-4.68%	9.43%	-1.79%	-1.79%

จากตารางที่ 6.7 พบร่วงตัวน้ำหนักในเรือนแพค่าความแผลต่างของ LDF มีค่าลดลงเมื่อความกว้างของแบบจำลองเปลี่ยนจาก 12.00 เมตร เป็น 18.00 เมตร โดยมีค่ามากที่สุดและน้อยที่สุดเท่ากับ 3.10 และ 0.11 เมอร์เซนต์ ตามลำดับ และโดยเฉลี่ยมค่าเท่ากับ 1.89 เมอร์เซนต์ (ไม่นำค่าที่น้อยกว่า 1.00 เมอร์เซนต์ มาพิจารณา) และเมื่อพิจารณาตารางที่ 6.8 ค่าเมอร์เซนต์ความแผลต่างของ LDF ส่วนใหญ่ค่าลดลง เมื่อความกว้างของแบบจำลองเปลี่ยนจาก 9.30 เมตร เป็น 13.00 เมตร โดยมีค่ามากที่สุดและน้อยที่สุดเท่ากับ 10.54 และ 0.10 เมอร์เซนต์ ตามลำดับ และโดยเฉลี่ยมค่าเท่ากับ 2.42 เมอร์เซนต์ (ไม่นำค่าที่น้อยกว่า 1.00 เมอร์เซนต์ มาพิจารณา) จากผลผ่านต้นพบว่า เมื่อมีการเปลี่ยนแปลงความกว้างหรือความกว้างของแบบจำลองทำให้ค่า LDF มีการเปลี่ยนแปลงโดยมีค่าเพิ่มลดลงและยกประมาณ 3 เมอร์เซนต์ สำหรับมีการเปลี่ยนแปลงที่ไม่มาก

อย่างไรก็ตามค่าความแผลต่างของ LDF บางค่ามีค่าสูงประมาณ 10 เมอร์เซนต์ (จากตารางที่ 6.6 กรณีที่แบบจำลองของสะพานที่มีแผ่นสีฟ้า Prodeck4 และมีความกว้างของแบบจำลองสะพานเท่ากับ 18.00 เมตร เมื่อพิจารณาลักษณะค่า LDF ที่เกิดขึ้นตามตัวนอกพบร่วงตัว LDF เมื่อหน้าตัดของแบบจำลองแบบ CS3 มีค่าเท่ากับ 0.6168 และค่า LDF เมื่อหน้าตัดของแบบจำลองแบบ CS6 มีค่าเท่ากับ 0.5518 ซึ่งมีค่า LDF ที่เกิดต่างกันเท่ากับ 10.54 เมอร์เซนต์ ดังผลที่เกิดขึ้นตามตัวนอก ของ Prodeck4 ดังแสดงในตารางที่ 6.8 ในกรณีที่แบบจำลองมีความกว้าง 18.00 เมตร และมีระยะห่างระหว่างคานที่รองรับเท่ากับ 2.29 เมตร) จึงจำเป็นต้องนำมาพิจารณา

3) ประภากลไกเพื่อพื้นที่รองรับ荷重 (Prodeck4 และ Prodeck8)

จากตารางที่ 6.6 เมื่อพิจารณาการเปลี่ยนแปลงของค่า LDF ในกรณีของประภากลไกเพื่อพื้นที่รองรับ荷重จัดกล่องที่แตกต่างกัน (Prodeck4 และ Prodeck8) พบว่าในกรณีที่ผู้ผลิตห้องแบบจำลองเป็น Prodeck4 จะมีค่า LDF ที่สูงกว่าในกรณีที่ผู้ผลิตห้องแบบจำลองเป็น Prodeck8 เมื่อเทียบพื้นที่สำหรับห้องขนาดที่รองรับ荷重เดียวกัน (ค่า LDF ที่มากที่สุดเกิดขึ้นตรงตำแหน่งของคานที่รองรับด้านนอก) ซึ่งค่าความแปรต่างแสดงสูงไปในตารางที่ 6.9 ในกรณีที่แบบจำลองสะพานมีความยาวทั้งปี 12.00 เมตร ประภากลไกของผู้ผลิตห้องเพื่อพื้นที่รองรับ荷重ต่อค่า LDF ที่เกิดขึ้น ทั้งคานด้านนอกด้านในและคานด้านในด้านแรก เติบกว่า 9% แม้ว่าผู้ผลิตห้องจะมีผลต่อคานด้านในมากกว่า แต่เมื่อเทียบกันในกรณีที่แบบจำลองสะพานมีความยาวทั้งปี 18.00 เมตร

ตารางที่ 6.9 ค่าความแปรต่างของค่า LDF ของแบบจำลองสะพานที่มีหน้าตั้งประภากลไก Prodeck4 และ Prodeck8

กรณีที่ 1	ค่าความแปรต่างของค่า荷重ตามการกรองชาญ (Load Distribution Factor)		
CS	สะพาน	เมื่อหน้าตั้งสะพานเปลี่ยนแปลง (Prodeck4 และ Prodeck8)	
(ค่าที่)	ยาว (เมตร)	คานด้านนอก	คานด้านในด้านแรก
CS1	12	2.49%	4.94%
	18	3.05%	4.09%
CS2	12	1.14%	8.37%
	18	2.56%	7.64%
CS3	12	3.49%	5.25%
	18	3.05%	4.76%
CS4	12	3.00%	5.42%
	18	3.74%	5.13%
CS5	12	2.19%	10.35%
	18	2.49%	8.56%
CS6	12	1.78%	9.59%
	18	1.87%	7.39%

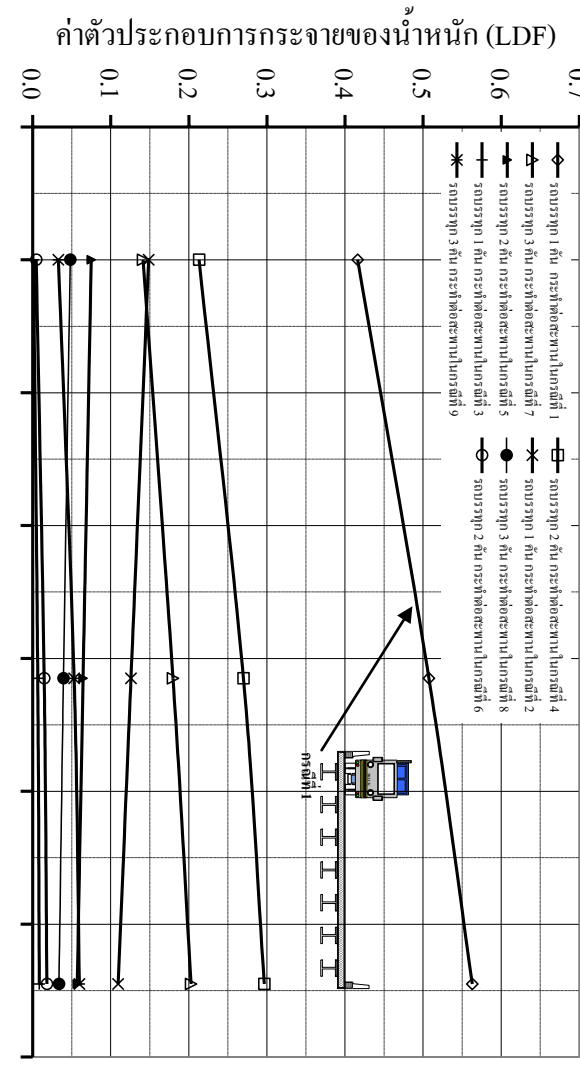
4) ระยะห่างระหว่างคานที่รองรับแรงตัว (Girder Spacing)
 ใน การสร้างแบบจำลองที่มีหน้าตัดแบบ CS1 ถึง CS6 ระยะห่างระหว่างคานที่รองรับ (Girder Spacing) มีค่า 1.22 เมตร, 1.83 เมตร และ 2.29 เมตร ซึ่งเป็นปัจจัยหนึ่งที่ทำให้ค่า LDF มีการเปลี่ยนแปลง ดังแสดงในตารางที่ 6.10 (แสดงผลพาก้า LDF ของแบบจำลองที่มีแผ่นประทว Prodeck4 ที่เกิดกับคานตัวมุม (Exterior Girder))

ตารางที่ 6.10 ค่าความแยกต่างกันของค่า LDF ที่มีระยะห่างระหว่างคานที่รองรับ (Girder Spacing) ในการเปลี่ยนแปลง

ค่าสูงที่ 1		ค่าความแยกต่างกันของค่า LDF ที่มีระยะห่างระหว่างคานที่รองรับมีการเปลี่ยนแปลง	
ยາວ (เมตร)	CS (เมตร)	ค่าเดือนอก	% ความแตกต่าง
12.00	CS1 1.22	0.4249	-
	CS2 1.83	0.5159	21.42 %
	CS3 2.29	0.6209	20.35 %
18.00	CS4 1.22	0.4158	-
	CS5 1.83	0.5153	23.93 %
	CS6 2.29	0.6168	19.70 %

หมายเหตุ: ประกอบด้วยค่าความแยกต่างกันที่แสดงในตาราง 6.10 ค่านิวนิวโน่ค่า LDF ที่แตกต่าง (เมื่อระยะห่างระหว่างคานที่รองรับมีค่าเพิ่มขึ้น) เทียบกับค่า LDF ของแบบจำลองที่มีระยะห่างระหว่างคานที่รองรับมีอย่างต่ำ

ค่าความแยกต่างกัน LDF เป็นอย่างมากค่าระยะห่างระหว่างคานที่รองรับมีการเปลี่ยนแปลง (เพิ่มนี้ค่าค่าระยะห่างระหว่างคานที่รองรับเพิ่มจาก 1.20 เมตร เป็น 1.83 เมตร ในกรณีที่เพิ่มจำนวนมีความยาว 12.00 เมตร ทำให้ค่า LDF เพิ่มขึ้นจาก 0.4249 เป็น 0.5159 หรือมีการเพิ่มขึ้น 21.42 เปอร์เซ็นต์ เมื่อเทียบกับค่า LDF เท่ากับ 0.4249) ซึ่งมีค่าลดลงเพิ่มขึ้นของค่า LDF ประมาณ 21.35 เปอร์เซ็นต์ เมื่อبالغเทียบกับปัจจัยอนันต์มีผลกับค่า LDF พวาก้าความแยกต่างของ LDF เนื่องจากค่าระยะห่างระหว่างคานที่รองรับมีการเปลี่ยนแปลงนี้มีผลต่อค่า LDF มากที่สุด นอกจากนี้สามารถพิจารณาในรูปที่ 6.14 ซึ่งแสดงค่าความสมมูลนี้ระหว่างค่าตัวไปรษณีย์ของ การกระจายน้ำหนัก (Load Distribution Factor) กับระยะห่างระหว่างคานที่รองรับเพิ่มเติมต่อๆ กัน (Girder Spacing)

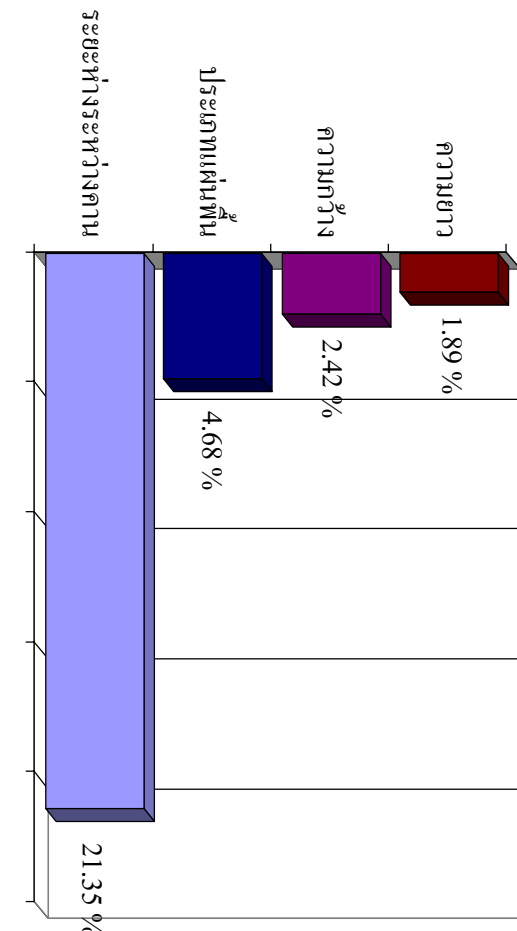


รูปที่ 6.14 ความสัมพันธ์ระหว่างค่า LDF กับ S ที่คานด้านนอก (Exterior Girder) ของแนวเดินที่มีเนื้อพื้นประกอบ Prodeck4 มีความกว้าง 13.00 เมตร และความกว้าง 12.00 เมตร

ในรูปที่ 6.14 แสดงให้เห็นว่าจำนวนและตำแหน่งของจักรยานจะทำให้ปริมาณการนำตัวของแรงกระแทกต่ำลงและลดระดับห่วงระหว่างคานที่รองรับน้ำหนักต่อค่า LDF มาหากว่าสูงเมื่อเทียบกับในกรณีที่ไม่มีจักรยานส่วนใดส่วนหนึ่งของจักรยานตัวใน (Interior Girder) จะเป็นไปได้ยากขึ้นสำหรับการผลิตคานตัวใน แต่เมื่อจักรยานตัวในถูกย้ายไปอยู่ทางซ้ายของจักรยานตัวกลาง Prodeck4 เป็น Prodeck8 ก็จะได้ผลลัพธ์

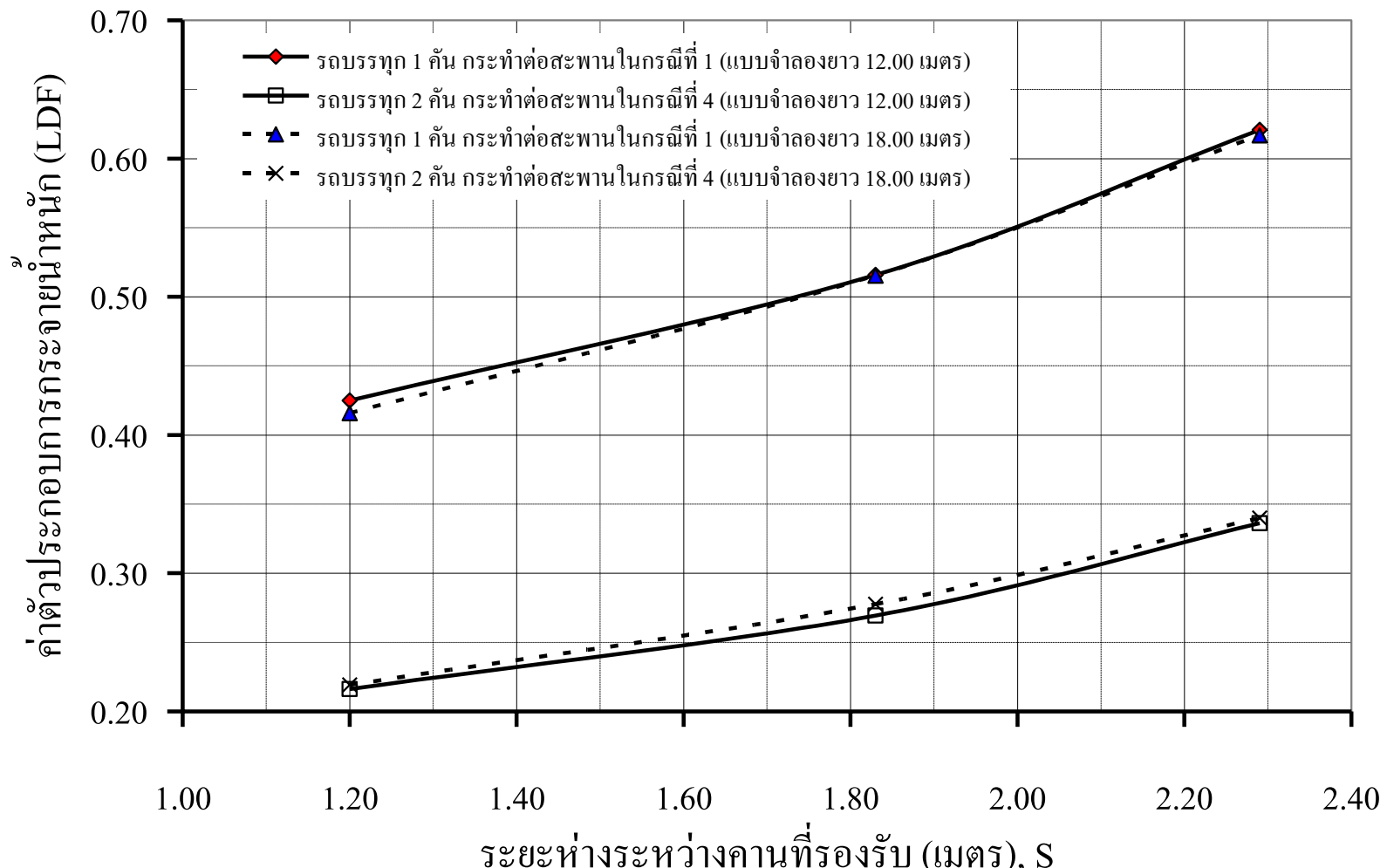
จากการวิเคราะห์เชิงทฤษฎ์ต่อค่าตัวประกายของภาระจักรยานหน้าบัน (LDF) ชี้แจ้งดังนี้ ด้วยการศึกษาแบบพารามิเตอร์ิก (Parametric Study) ของแนวเดินที่มีพื้นผิวเรียบเรียบ (Fully Composites) สามารถแสดงสรุปให้เห็นว่าปัจจัยที่มีผลต่อค่า LDF จากปัจจัยที่มีผลมากที่สุดคือขนาดเดินทางเดิน (Lane Spacing, S) ตามที่ระบุไว้ในรูปที่ 6.15 ดังนี้

- 1) ระยะห่างระหว่างคานที่รองรับน้ำหนัก (Girder Spacing, S)
- 2) จำนวนหรือตัวเดินหนาของแรงจากภาระทุก (Number of Lane Load, N)
- 3) ความกว้างของแนวเดิน (Weight, W)
- 4) ความยาวของแนวเดิน (Length, L)
- 5) ประเภทของเนื้อพื้นที่ใช้สร้างแนวเดิน (Type of Bridge Deck)

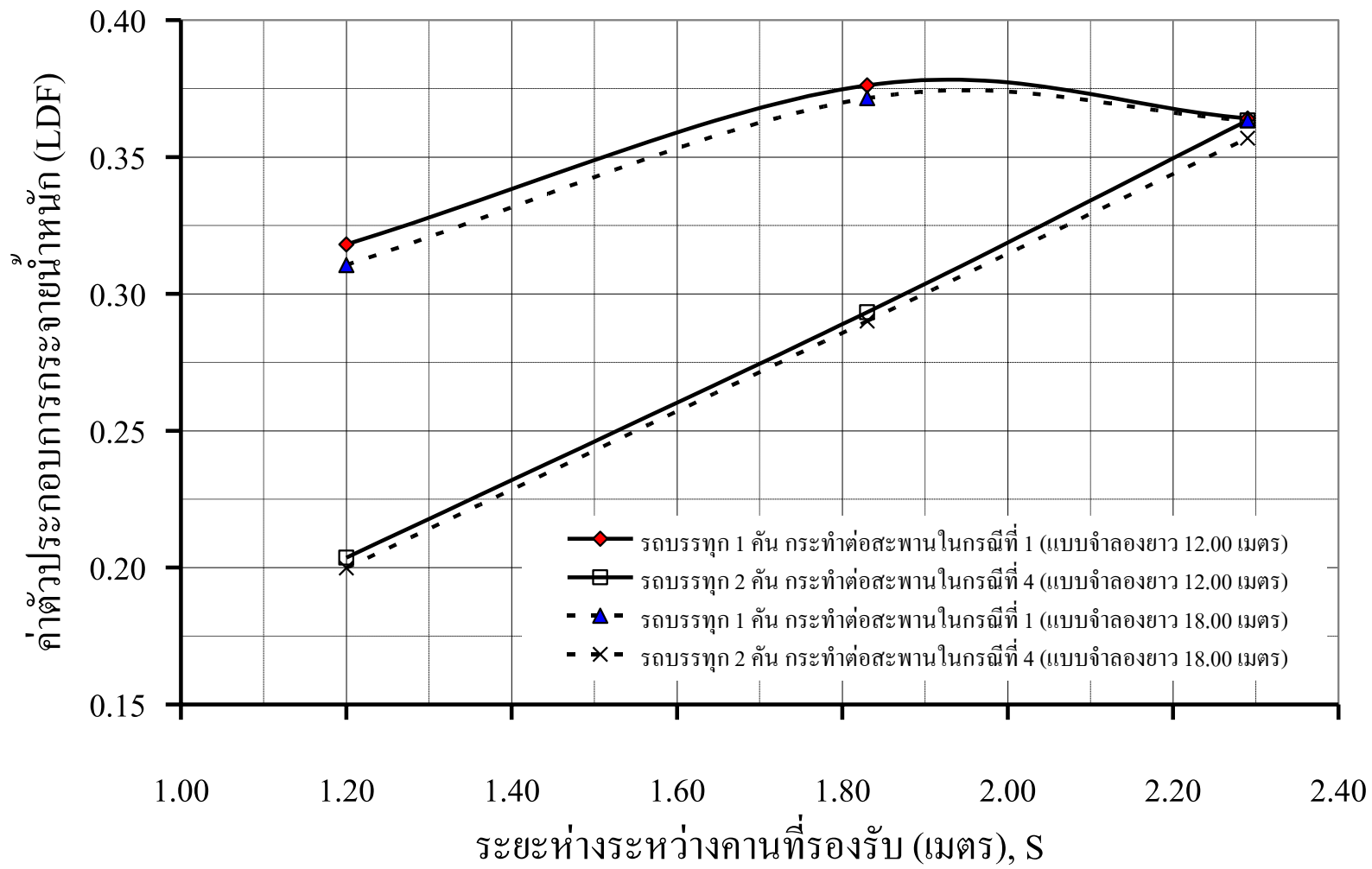


รูปที่ 6.15 ความสัมพันธ์ระหว่างปัจจัยต่อสัมภารต์ต่อค่า LDF กับค่าเฉลี่ยนน้ำหนักตัวของ LDF เมื่อปัจจัย (L, W, Deck และ S) มีการเปลี่ยนแปลง (ภายใต้เงื่อนไขที่ 1)

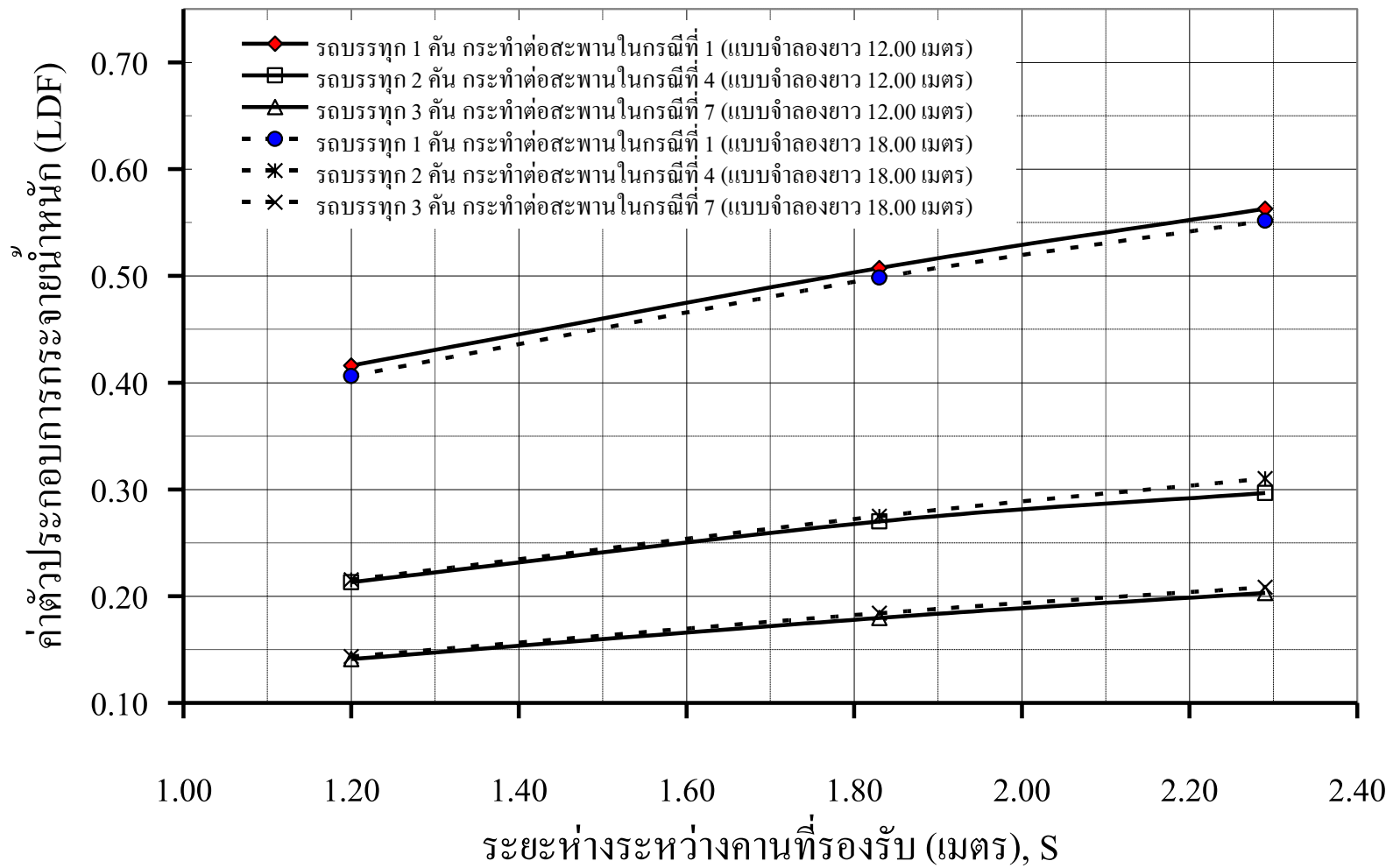
ปัจจัยที่มีผลต่อค่า LDF พlus ว่า LDF มีการเพิ่มขึ้นมากสุดเมื่อรั้วทางห้องคน หรือร่อง (Girder Spacing, S) มีการเพิ่มขึ้น ซึ่งมีค่ามากกว่า 20 เมตรเป็นต้นไปจะมีผลต่อค่า LDF ได้เป็นอย่างมาก (Type of Bridge Deck), ความกว้างของแผ่นเหล็ก (Width, W) และ ความยาวของแผ่นเหล็ก (Length, L) มีผลต่อการเปลี่ยนแปลงค่า LDF ไม่เกิน 5 เมตรเป็นต้นๆ จาก การวิเคราะห์แบบจำลองได้รายไฟน์ที่อิมิเนตในกรณีที่แบบจำลองมีผู้ติดรวมประกอบอย่าง สมบูรณ์แบบพร้อมที่ได้จากการวิเคราะห์ (แสดงในภาคผนวกฯ) ความสัมพันธ์ ระหว่างค่าตัวประดิษฐ์และการกระจาย (LDF) กับค่ารั้วทางห้องคนที่รองรับ (S) สำหรับ ความต้านทาน (Exterior Girder) และค่าน้ำในเตาแรก (First Interior Girder) แสดงในรูปที่ 6.16 ดัง รูปที่ 6.23



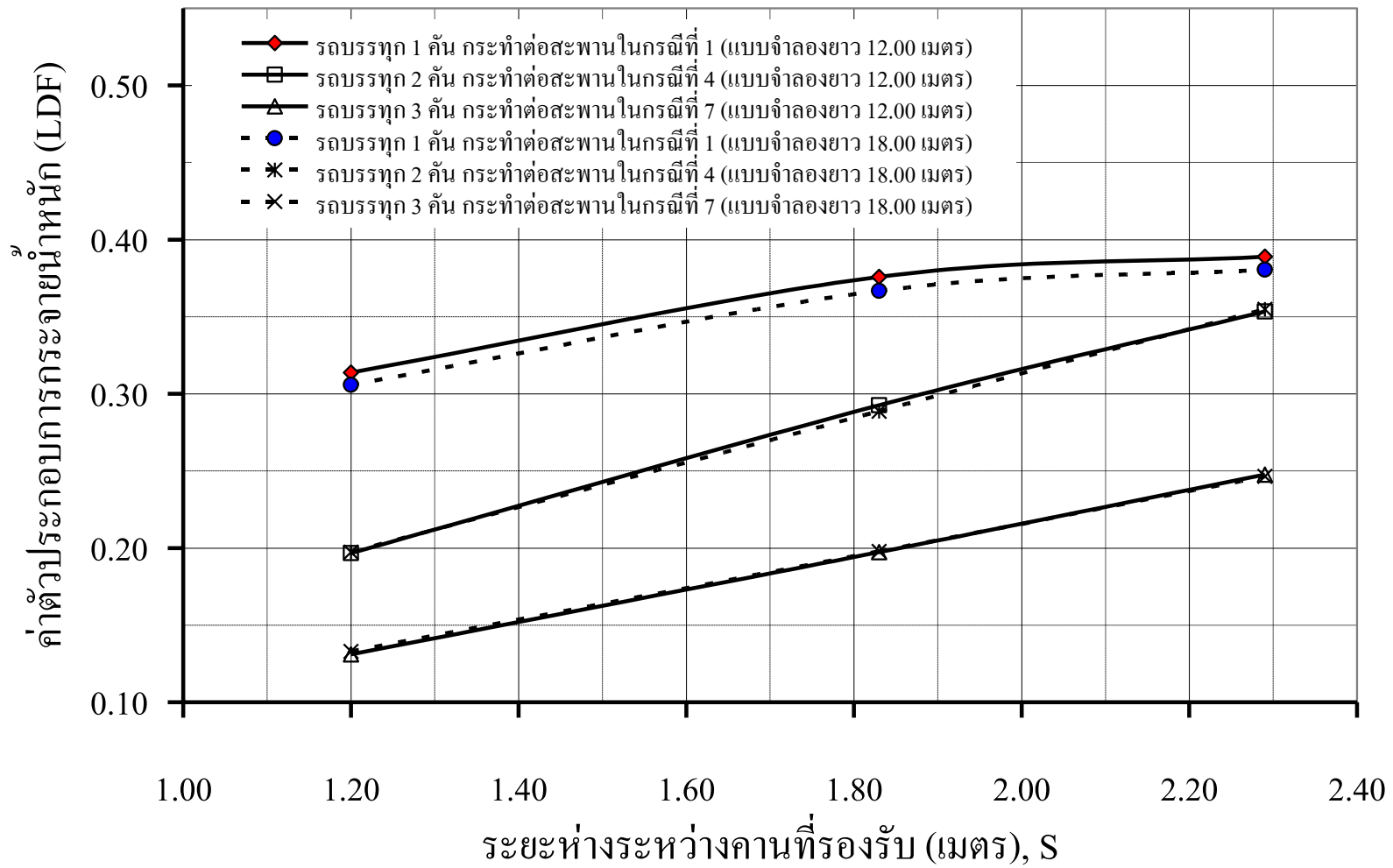
รูปที่ 6.16 ความสัมพันธ์ระหว่าง LDF กับ S (Prodeck4, W = 9.30 เมตร ของ Exterior Girder)



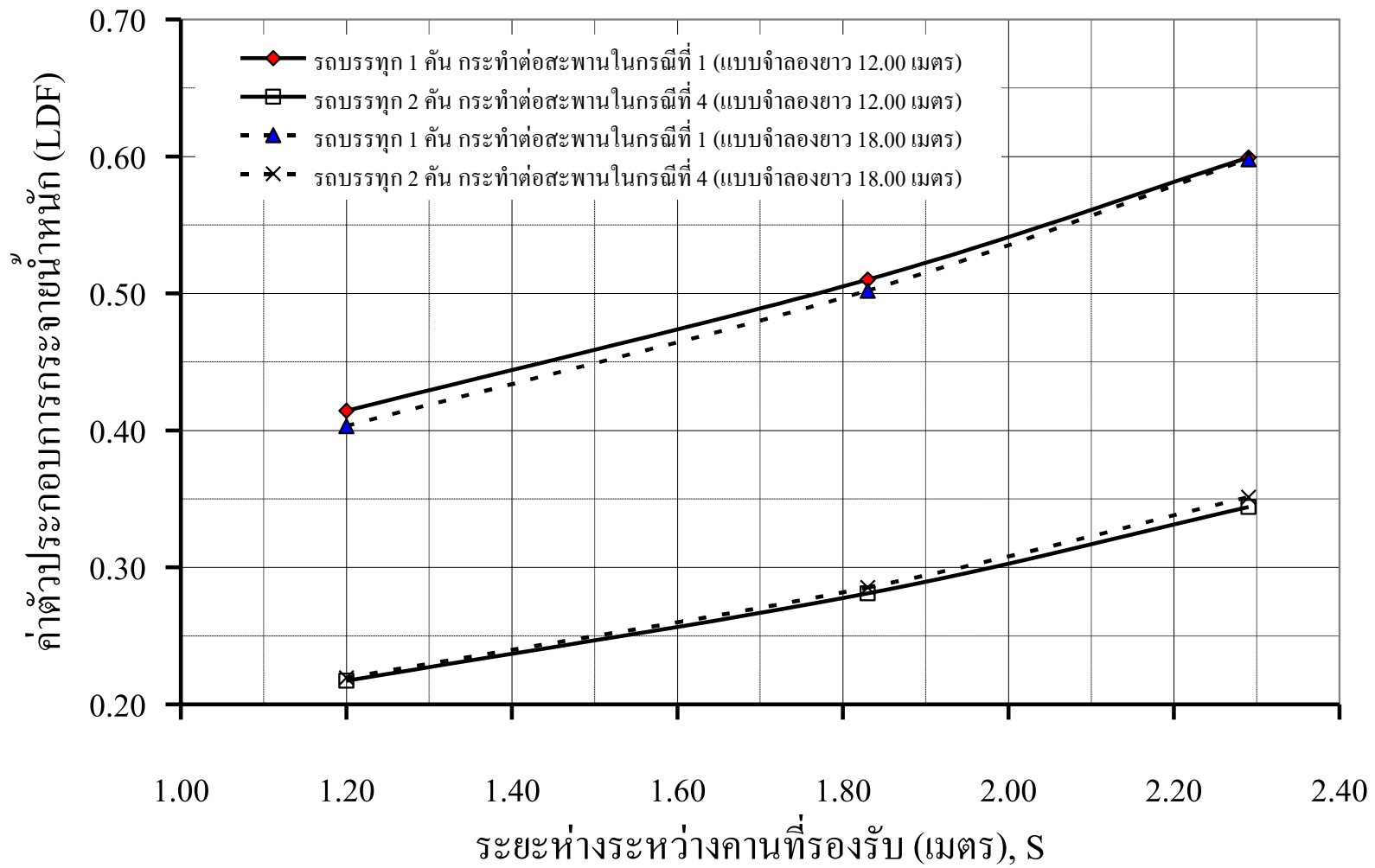
รูปที่ 6.17 ความสัมพันธ์ระหว่าง LDF กับ S (Prodeck4, W = 9.30 เมตร ของ Interior Girder)



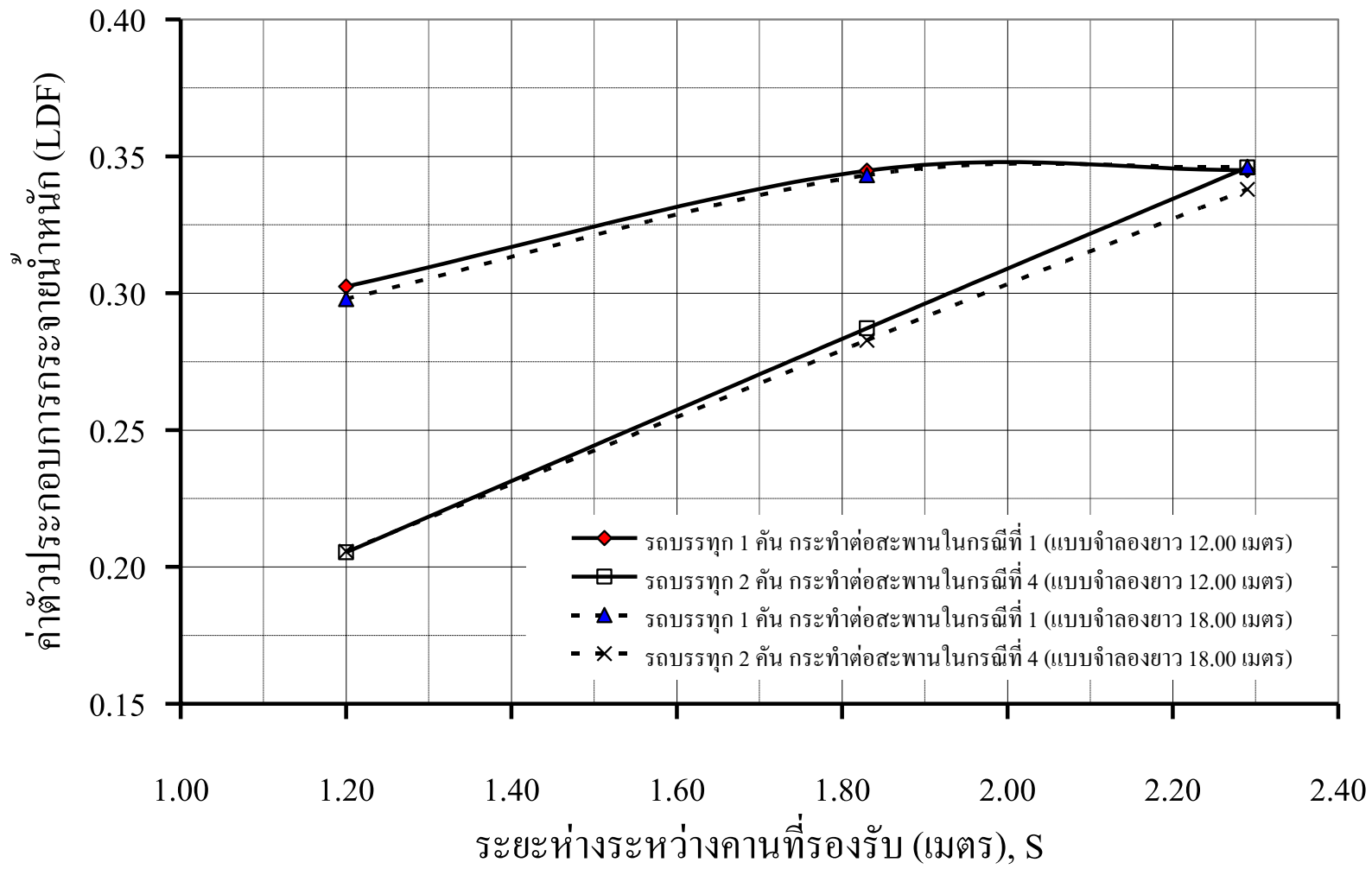
รูปที่ 6.18 ความสัมพันธ์ระหว่าง LDF กับ S (Prodeck4, $W = 13.00$ เมตร ของ Exterior Girder)



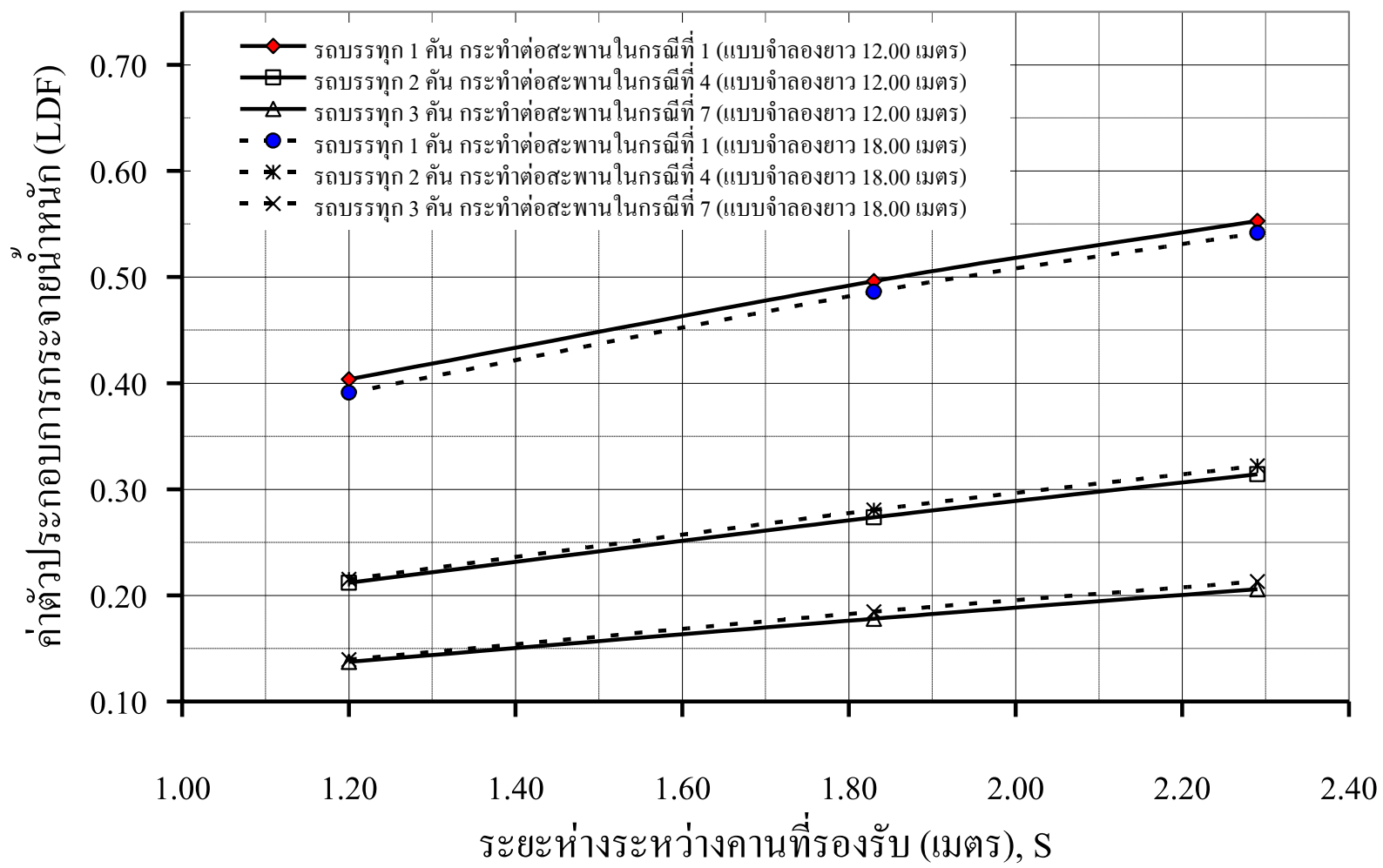
รูปที่ 6.19 ความสัมพันธ์ระหว่าง LDF กับ S (Prodeck4, W = 13.00 เมตร ของ Interior Girder)



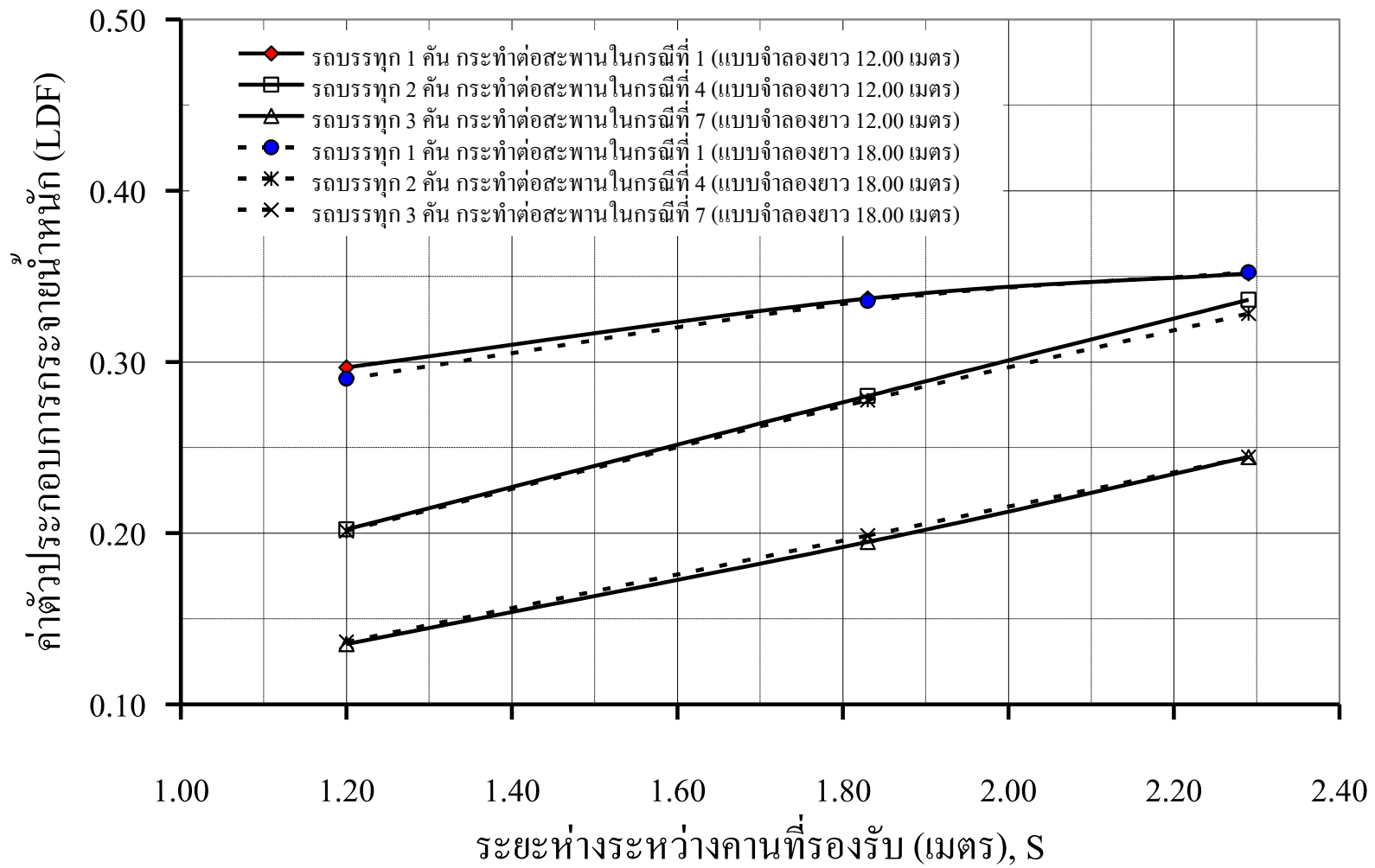
รูปที่ 6.20 ความสัมพันธ์ระหว่าง LDF กับ S (Prodeck8, W = 9.30 เมตร ของ Exterior Girder)



รูปที่ 6.21 ความสัมพันธ์ระหว่าง LDF กับ S (Prodeck8, W = 9.30 เมตร ของ Interior Girder)



รูปที่ 6.22 ความสัมพันธ์ระหว่าง LDF กับ S (Prodeck8, $W = 13.00$ เมตร ของ Exterior Girder)



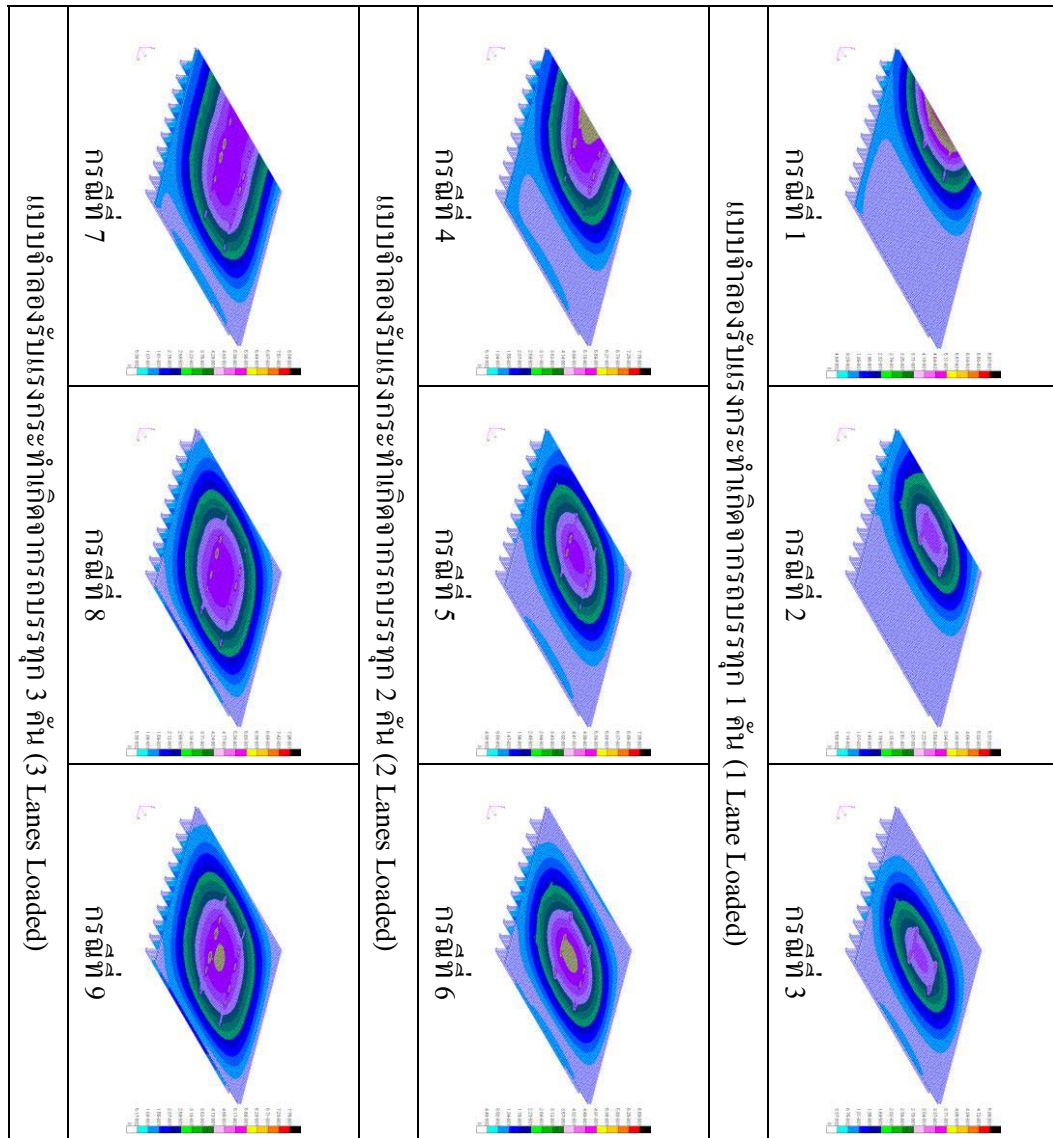
ຮູບທີ່ 6.23 ຄວາມສັນພັນທີ່ຮະໜ້າວ່າງ LDF ກັບ S (Prodeck8, $W = 13.00$ ເມຕຣ ຂອງ Interior Girder)

ผลที่ได้จากการศึกษาวิเคราะห์แบบพารามิทริก (Parametric Study) ของแบบจำลองสะพานที่พูดคิดกรรมประกอบอย่างสมบูรณ์ (Fully Composite) พบว่า ตัวรยาง茫ห่วงห่วงที่รองรับน้ำหนักต่อค่าตัวประดลนการกระรชาษามีน้ำหนักมากที่สุด รองลงมาคือค่าของความกว้างและความยาวของแบบจำลอง โดยจะพิจารณาผลของค่าตัวประดลนการกระรชาษาน้ำหนักที่เกิดกับค่านี้รองรับตัวนอก (Exterior Girder) และค่านี้ในตัวใน (First Interior Girder) อันนี้ของมาจากการตรวจสอบที่ทำจากเดบอร์ทุกที่หัวเดบอนแบบจำลองสะพานในกรณีที่ 1 เป็นหลัก ซึ่งจากการและข้ออื่นๆ ที่ได้รับการพัฒนาให้สามารถใช้งานได้ตามที่มีตัวแม่โมเดลเป็นปัจจัยที่ทำให้สามารถใช้งานได้ตัวประดลนการกระรชาษาน้ำหนักที่มีตัวแม่โมเดลเป็นปัจจัยที่สำคัญมากที่สุด ทั้งนี้สมการค่าตัวประดลนการกระรชาษาน้ำหนักที่วิเคราะห์ได้จะนำไปใช้ในการพิจารณาออกแบบความที่รองรับสะพานต่อไป โดยจะถูกตัวอัจฉริยะที่นี่ในส่วนหลังต่อไป (บทที่ 7)

6.4.2 การวิเคราะห์แบบจำลองที่มีพูดคิดกรรมเข้ามารองด้วยค่าตัวของส่วนแบบพารามิทริก (Parametric Analysis of Partial Connection Models)

จากที่ได้กล่าวมาแล้วข้างต้น การศึกษาแบบจำลองที่มีพูดคิดกรรมเข้ามารองด้วยค่าตัวของส่วน (Partial Connection) นี้ ไม่สนใจถูกต้องในทางการศึกษาพารามิทริก แต่จะเน้นกับการศึกษาแบบจำลองที่มีพูดคิดกรรมประกอบอย่างสมบูรณ์ (Fully Composite) แยกต่างกันในส่วนของรูปแบบการเชื่อมต่อ ระหว่างถักกล่องของแบบจำลองอาจเห็นผู้คนก้มหน้ามองแบบจำลองของคานที่รองรับเหลือซึ่งมีการเชื่อมต่อ กันอย่างชัดเจน ดังกล่าวมาแล้วข้างต้น (หัวข้อ 6.3) ทั้งนี้ใน การศึกษาส่วนนี้ได้พิจารณาดึงค่าผลตอบสนองที่เกิดขึ้น (ค่าตัวประดลนการกระรชาษาน้ำหนัก (Load Distribution Factor) LDF) ยันนี้สื่อถึงความสามารถในการรับน้ำหนักของโครงสร้างที่เกิดขึ้นตามที่แบบจำลองที่มีพูดคิดกรรมเข้ามารองด้วยค่าตัวของส่วนแบบพารามิทริก

ในเบื้องต้นสามารถสรุปได้ว่า น้ำหนักที่มีผลต่อค่าตัวประดลนการกระรชาษาน้ำหนักสำหรับแบบจำลองที่มีพูดคิดกรรมประกอบอย่างสมบูรณ์ ที่ได้กล่าวไปแล้วในหัวข้อที่ 6.4.1 (พิจารณาผลต่อในภาคผนวก ผล) ดังนี้ ในส่วนการรับส่งผลการศึกษาแบบพารามิทริกของแบบจำลองมีพูดคิดกรรมเข้ามารองด้วยค่าตัวของค่าตัวประดลนการวิเคราะห์แบบจำลอง ดังแสดงในรูปที่ 6.24



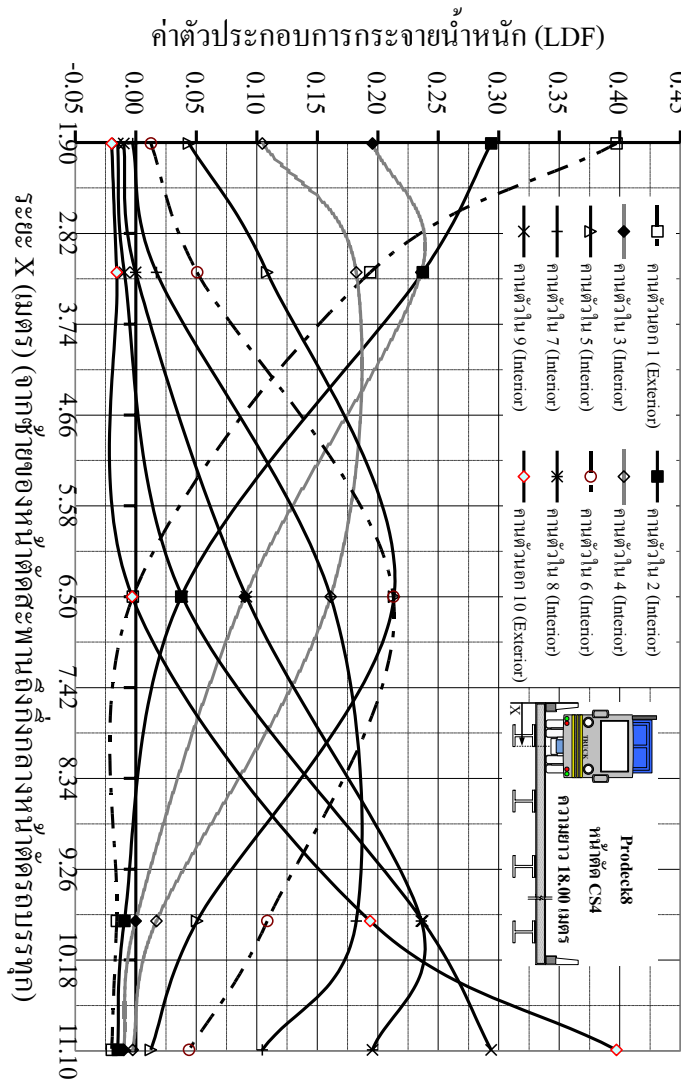
รูปที่ 6.24 ผลการวิเคราะห์แบบจำลองของสะพาน (Prodeck8, CS4 - 18, Case1 - Case9)

จากการสังเกตพบว่าผลการวิเคราะห์ที่ของแบบจำลองในรูปที่ 6.24 มีความคล้ายคลึงกับผลการวิเคราะห์ในรูปแบบจำลองที่มีพัฒนาระบบอย่างสมมูลกับในรูปที่ 6.4 และ 6.13 (รูปของผลการวิเคราะห์แบบจำลองที่มีพัฒนาระบบอย่างสมมูลกับในรูปที่ 6.4) สำหรับค่าตัวประกอนการกระจายเนื้อหนัง (LDF) ที่คำนวณจากสมการที่ 6.2 โดยคำนวณมาจากค่าการรีดหดตัว (Strain) ได้แสดงไว้ในตารางที่ 6.11 ทั้งนี้ผลการวิเคราะห์การศึกษาแบบพารามิตริกที่แบบจำลองมีพัฒนาระบบอย่างต่อมาส่วน (Partial Connection) ทั้งหมดได้แสดงไว้ในภาคผนวกฯ

ตารางที่ 6.11 ค่าตัวแปรรักษาระยะห่าง (Load Distribution Factor, LDF) สำหรับมา
ากสมการที่ 6.2 (Prodeck8, CS4 - 18, Case1 - Case9)

ค่าตัวประจักษณ์ของการกระจายน้ำหนัก (Load Distribution Factor)										
ลำดับ	ค่ามติว	ค่าน้ำหนักในตัวที่								ค่ามติว
		1	2	3	4	5	6	7	8	
1	0.3972	0.2937	0.1956	0.1045	0.0439	0.0125	-0.0025	-0.0099	-0.0150	-0.0199
2	0.1936	0.2371	0.2360	0.1823	0.1086	0.0506	0.0170	-0.0001	-0.0095	-0.0157
3	-0.0026	0.0375	0.0900	0.1610	0.2135	0.2128	0.1611	0.0914	0.0385	-0.0031
4	0.2155	0.2017	0.1886	0.1642	0.1256	0.0777	0.0371	0.0110	-0.0054	-0.0158
5	0.0966	0.1428	0.1723	0.1799	0.1641	0.1281	0.0801	0.0371	0.0097	-0.0108
6	0.0118	0.0570	0.1064	0.1493	0.1746	0.1744	0.1493	0.1074	0.0580	0.0118
7	0.1391	0.1362	0.1363	0.1346	0.1312	0.1208	0.0989	0.0682	0.0331	0.0016
8	0.0597	0.0935	0.1175	0.1308	0.1349	0.1334	0.1238	0.1024	0.0714	0.0327
9	0.0444	0.0823	0.1097	0.1278	0.1347	0.1349	0.1282	0.1106	0.0825	0.0449

ชี้จุดการยึดหด) ในกรณีที่แบบจำลองสะพานมีหน้าตัดแบบ CS4 มีค่ามากที่สุดเท่ากับ 0.3972 สำหรับค่านั้นที่ 1 (ค่านั้นรวมยอดสุด) และมากที่สุดในลักษณะเดียวกันคือ 0.2937 สำหรับค่านั้นที่ 2 (ค่านั้นเดียวแรก) ซึ่งเกิดมาจากการกระทำของแรงจากภาระทุกไนกรัฟที่ 1 นั้นคือความหนาของรบบรองทุกชนิดเจ้าของยังคงมีผลต่อค่า LDF เต่นเดียวกันกับผลการวิเคราะห์แบบจำลองที่มีพหุตัวแปรประเมินอย่างสมมูลร่วมด้วยแสดงในตารางที่ 6.3 ที่ถูกนำมาเลือว่า หรือพิจารณาจากรูปที่ 6.25 ซึ่งแสดงความสัมพันธ์ระหว่างค่า LDF ที่เกิดจากแรงกระทำของรบบรองทุกหนึ่งคัน กับระยะห่างจากจุดยึดที่เดียวที่มีค่ามากที่สุดเท่ากับ 0.3972 ของแบบจำลองสะพานที่มีแผ่นพื้นกระเบก Prodeck 8 กรณีที่แบบจำลองมีหน้าตัดแบบ CS4 มีความกว้างแบบจำลองสะพานที่มีแผ่นพื้นกระเบก Prodeck 8 กรณีที่เดียวที่มีค่ามากที่สุดเท่ากับ 0.2937 ของค่า LDF ที่มากที่สุดเกิดที่ค่านั้นที่ 2 นอกนี้ การลองแบบจำลองที่มีหน้าตัดแบบ CS4 ที่มีความกว้างแบบจำลองสะพานที่มีแผ่นพื้นกระเบก Prodeck 8 กรณีที่เดียวที่มีค่ามากที่สุดเท่ากับ 0.3972 ของค่า LDF ที่มากที่สุดเกิดที่ค่านั้นที่ 2

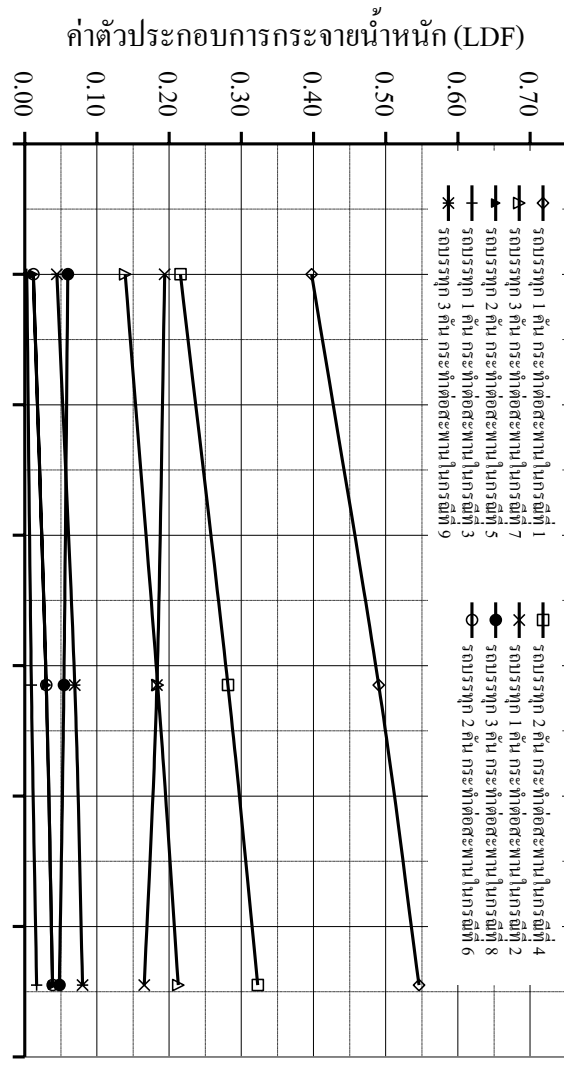


รูปที่ 6.25 ความสัมพันธ์ระหว่างค่า LDF ที่ระยะ X (เมตร) ต่างๆ (Prodeck8, CS4 - 18, Case1)

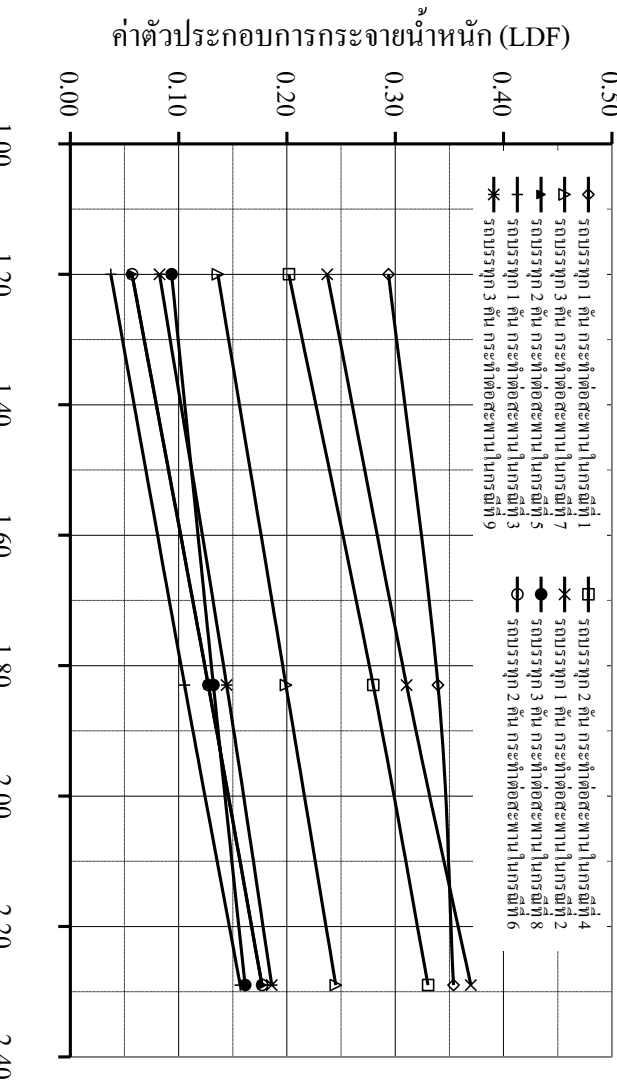
จากความสัมพันธ์ในรูปที่ 6.25 พบว่าผลลัพธ์การวิเคราะห์แบบจำลองสะพานที่มีพุ่งกระวนเขื่อนต่ำบางส่วน มีรูปแบบเดียวกันกับความสัมพันธ์ในรูปที่ 6.9 ซึ่งเป็นผลลัพธ์การวิเคราะห์แบบจำลองสะพานที่มีพุ่งกระวนสูงอย่างสมบูรณ์ (โดยความสัมพันธ์ของสองรูปที่ 6.25 และ 6.9) ถูกวิเคราะห์จากแบบจำลองสะพานที่มีลักษณะทางกายภาพของแบบจำลองใหม่อนกันแตกต่างกันและพื้นฐานเดียวกันตามเดิมที่ได้กล่าวมาเท่านั้น

ในส่วนของหน้าตัดแบบ CSI1, CS2, CS3, CS5 และ CS6 ที่เป็นแบบจำลองเพื่อพิจารณา Prodeck4 และ Prodeck8 ผลที่ได้มีดังภาพด้านล่างเดียวกัน (แสดง “รูปในภาคผนวก 1”) ดังนั้นและส่วนของแรงกระทำจากกระรอกที่ต่ำตามความซ้ำของสะพานมีผลต่อค่า LDF ที่ก็จะมีผลต่อความตัวของรากฐานเดิมตามเดิมที่ได้กล่าวมาด้านบน

นอกจากนี้เมื่อนำผลของค่า LDF ที่วิเคราะห์ได้จากหน้าตัด CS5 และ CS6 โดยแบ่งตามรากฐานเดิมที่ได้รับการคำนวณ 18.00 เมตร มาพิจารณาร่วมกับค่า LDF ในตารางที่ 6.11 สามารถแสดงความสัมพันธ์ดังในรูปที่ 6.26 และ 6.27



รูปที่ 6.26 ความสัมพันธ์ระหว่างค่า LDF กับ S ที่คานด้านนอก (Exterior Girder) ของเมนจัลอกที่เม่นพื้น Prodeck8 มีความกว้าง 13.00 เมตร และความยาว 18.00 เมตร



รูปที่ 6.27 ความสัมพันธ์ระหว่างค่า LDF กับ S ที่คานด้านใน (Interior Girder) ของเมนจัลอกที่เม่นพื้น Prodeck8 มีความกว้าง 13.00 เมตร และความยาว 18.00 เมตร

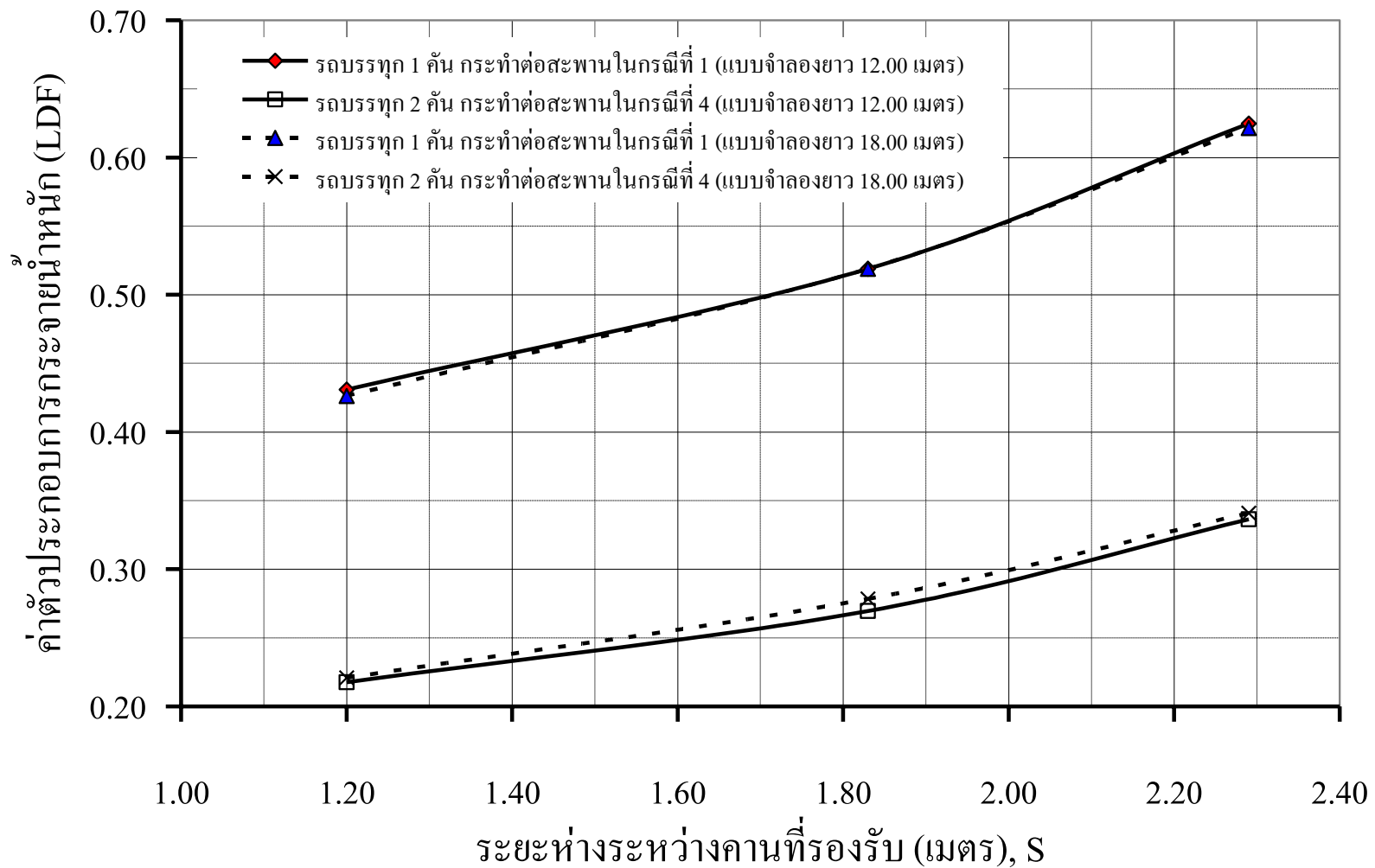
จากรูปที่ 6.26 และ 6.27 แสดงให้เห็นถึงความสัมพันธ์ระหว่าง LDF กับระยะห่างระหว่างคานที่รองรับ荷载เดลต้า (S) ของแบบจำลองสะพานที่มีพุทธิกรรมเพื่อ mention ต่อมาในส่วน ยังคงแสดงถึงการซ้อนแบบจำลองสะพานที่มีพุทธิกรรมประดิษฐ์อย่างสมบูรณ์ จากรูปที่ 6.26 จะเห็นว่าในกรณีที่แรงกระทำจากรถบรรทุกหนึ่งคันที่กราฟทำให้เกิดก้มคันหินและกราฟทำต่อแบบจำลองซึ่งคงทำให้ค่า LDF ที่เกิดขึ้นเมื่อกำกั้นที่ LDF ที่เกิดจากแรงกระทำของรถบรรทุกในกรณีอ่อน (กรณีรถบรรทุกสองคันและสามคัน) และ LDF ที่ซึ่งคงเพิ่มมากขึ้นเมื่อรั้งห่วงคานที่รองรับ荷载เดลต้าเพิ่มขึ้น ดังนั้นกล่าวได้ว่า ได้รับผลกระทบจากการซึ่งกันและกันของสะพานที่มีพุทธิกรรม เนื่องด้วยงานส่วน (Partial Connection) มีแนวโน้มของรูปแบบผลการวิเคราะห์ไปในทิศทางเดียวกันการวิเคราะห์แบบจำลองสะพานที่มีพุทธิกรรมประดิษฐ์อย่างสมบูรณ์ (Fully Composite) อีกทั้งไร้ตัวไม่นิ่งของค่า LDF ที่เกิดขึ้นจะมีความแตกต่างกัน

ตารางที่ 6.12 ค่าตัวประดิษฐ์ในการกราฟจานวนหนึ่ง เมื่อวิเคราะห์แบบจำลองค่า LDF ที่ซึ่งกันและกันของคานที่รองรับ荷载เดลต้า

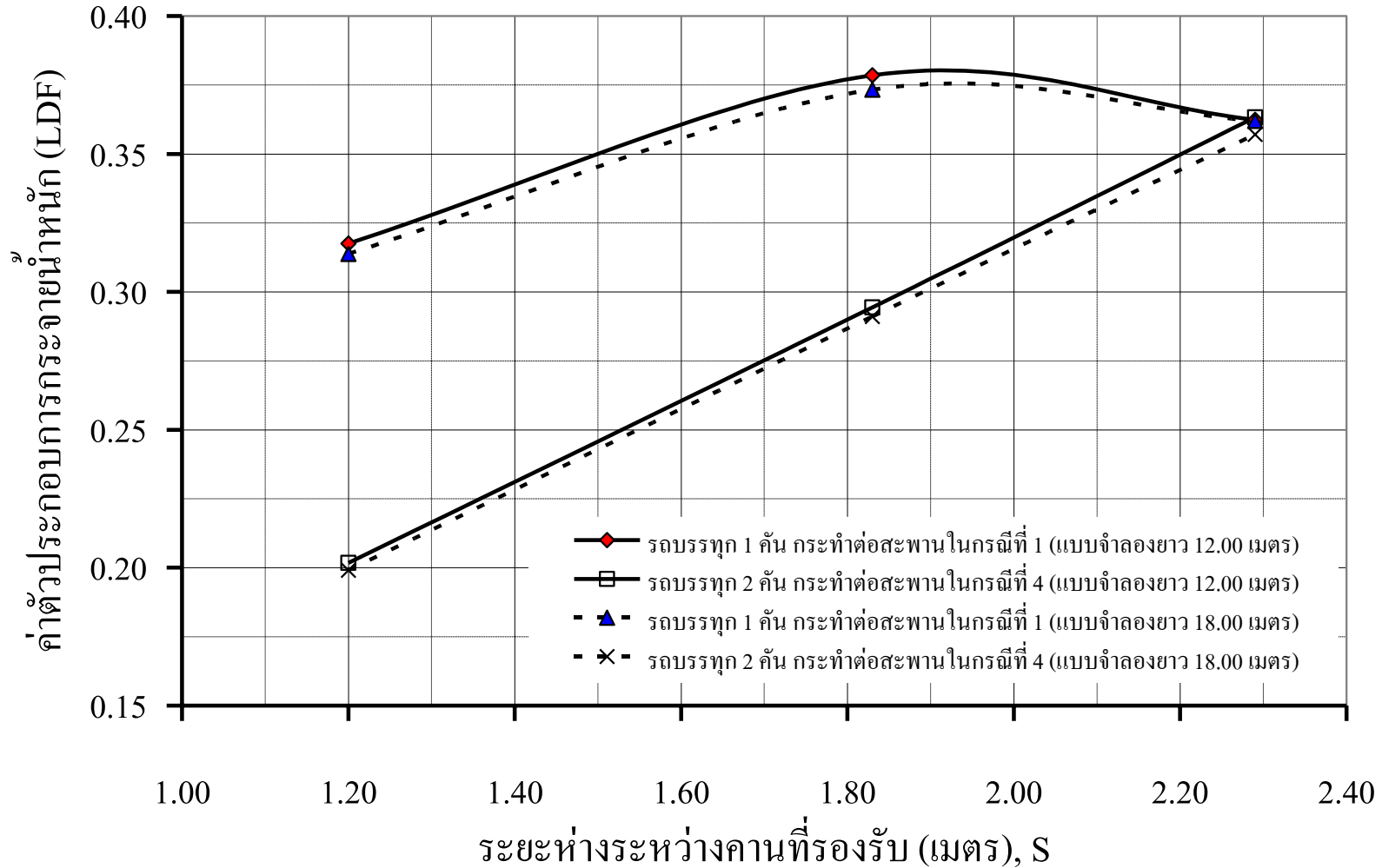
ตารางที่ 6.12 ค่าตัวประดิษฐ์ในการกราฟจานวนหนึ่ง เมื่อวิเคราะห์แบบจำลองค่า LDF ที่ซึ่งกันและกันของคานที่รองรับ荷载เดลต้า					
ค่าตัวประดิษฐ์ในการกราฟจานวนหนึ่ง เมื่อวิเคราะห์แบบจำลองค่า LDF ที่ซึ่งกันและกันของคานที่รองรับ荷载เดลต้า					
กรอบที่ 1	ค่าตัวประดิษฐ์ในการกราฟจานวนหนึ่ง เมื่อวิเคราะห์แบบจำลองค่า LDF ที่ซึ่งกันและกันของคานที่รองรับ荷载เดลต้า				
CS...	สะพาน ขา (เมตร)	แผนผัง Prodeck4	แผนผัง Prodeck8	ค่าน้ำหนัก	ค่าน้ำหนัก
CS1	12.00	0.4309	0.3175	0.4196	0.3057
CS2	18.00	0.4262	0.3138	0.4091	0.3017
CS3	12.00	0.5190	0.3785	0.5136	0.3486
CS4	18.00	0.5190	0.3733	0.5066	0.3471
CS5	12.00	0.6248	0.3623	0.6044	0.3455
CS6	18.00	0.6214	0.3620	0.6035	0.3478

ตารางที่ 6.12 แสดงผลสรุปที่ได้จากการวิเคราะห์แบบจำลองสะพานที่มีพัฒนารูปแบบต่อไปนี้ (พิจารณาเฉพาะหน้าหนึ่งครึ่งของสะพานในครั้งที่ 1) ของแบบจำลองสะพานทุกชนิดของหน้าตัดและความถ่วงตามแบบจำลองในครั้งที่ 1) ของกับใจเย็นทางภาคต่างๆ (ความกว้าง, ความยาว, ปรสภพของแผ่นฟัน และระยะห่างระหว่างค่า LDF ที่รองรับ) ที่มีผลต่อค่า LDF ที่เกิดขึ้น ซึ่งมีแนวโน้มของผลการวิเคราะห์ลดลงเมื่อกำลังสะพานที่มีพัฒนารูปแบบเปลี่ยนไปตามผู้ออกแบบ (ผู้รับผิดชอบประเมินอย่างสมมุติ) เมะผลสรุปที่ได้มีลักษณะเด่นเดียวกันกับผลสรุปจากตาราง 6.7 ถึง 6.10 ซึ่งปัจจัยทางภาคต่างๆ ผลต่อค่า LDF ที่เกิดขึ้นจากการวิเคราะห์แบบจำลองสะพานที่มีพัฒนารูปแบบใหม่ต่อไปนี้ ดังนี้

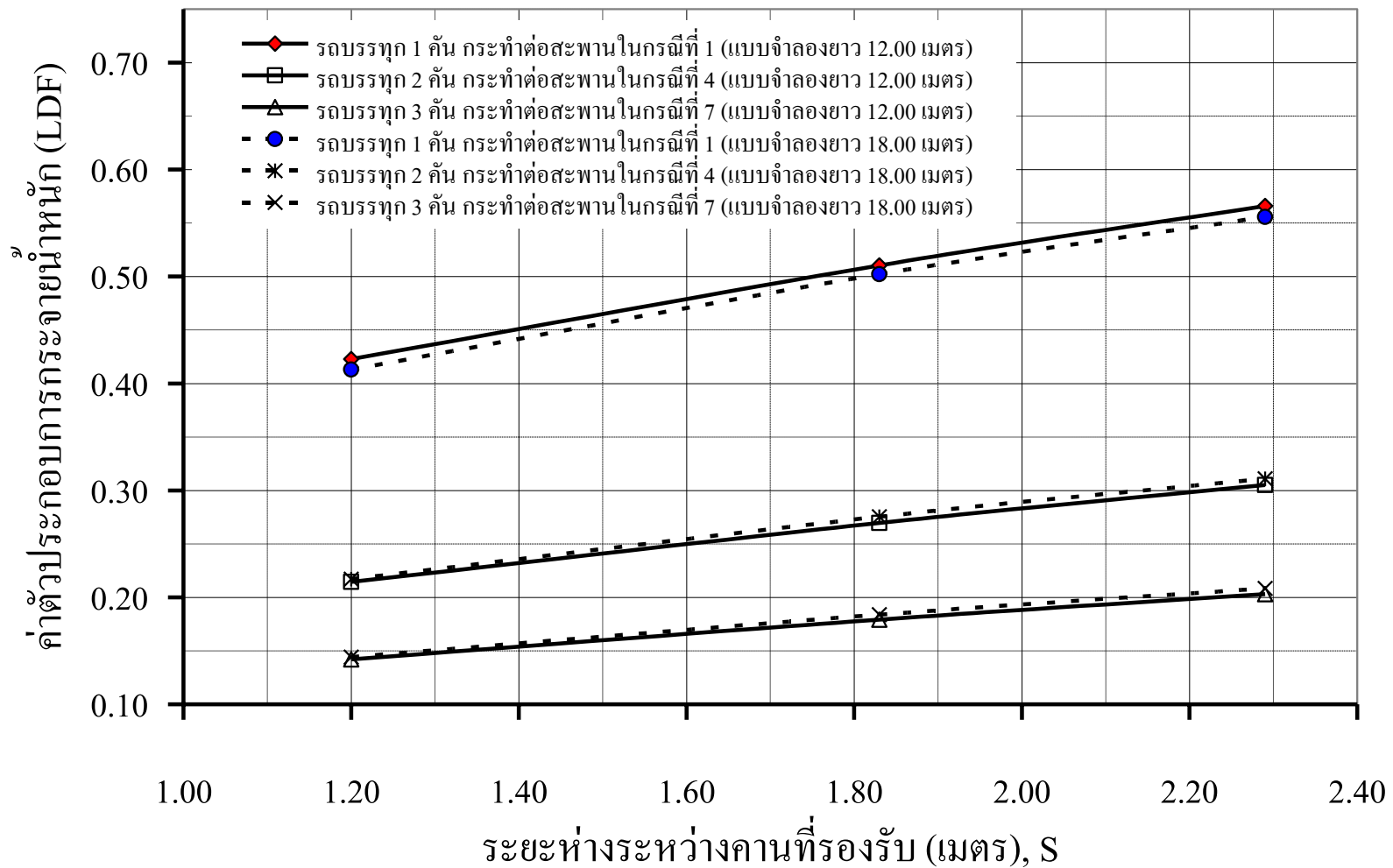
- 1) ค่าตัวประกอบการกระจายหนาแน่น ก็จะขึ้นมากสุดในการถือที่เร่งกระทำหากรูปทรงทุกครั้งที่ต้องแบบจำลองสะพานในครั้งที่ 1
 - 2) แบบจำลองที่มีพื้นสะพานประเทก Prodeck น้ำหนักมากกว่าแบบจำลองที่มีพื้นสะพานประเทก Prodeck8
 - 3) ค่าตัวประกอบการกระจายหนาแน่น ก็จะขึ้นมากตามด้านใน (Interior Girder) มีค่ามากกว่าค่าตัวประกอบการกระจายหนาแน่น ที่เกิดกับด้านนอก (Exterior Girder) มีค่าขึ้นมากกว่าแบบจำลองที่มีพื้นสะพานประเทก Prodeck4 นิ่งค่าตัวประกอบการกระจายหนาแน่น ก็จะขึ้นกับความถ่วง 12.00 เมตร มีค่ามากกว่าค่าตัวประกอบการกระจายหนาแน่น ที่เกิดขึ้นกับแบบจำลองที่มีความถ่วง 18.00 เมตร
 - 4) สำหรับหนี้ตัวของแบบจำลองที่เหลือนอก ก็ค่าตัวประกอบการกระจายหนาแน่น ก็จะขึ้นกับความถ่วง 9.30 เมตร มีค่ามากกว่าค่าตัวประกอบการกระจายหนาแน่น ที่เกิดขึ้นกับแบบจำลองที่มีความถ่วง 13.00 เมตร
 - 5) เมื่อแบบจำลองมีความถ่วงของแบบจำลองคงที่ ในขณะที่ค่าความถ่วงของแบบจำลองเพิ่มขึ้น (เช่น CSI กับ CS4) แบบจำลองที่มีความกว้าง 9.30 เมตร มีค่าตัวประกอบการกระจายหนาแน่น ก็จะขึ้นมากกว่าแบบจำลองที่มีความกว้าง 2.29 เมตร จะมีค่าตัวประกอบการกระจายหนาแน่น มากกว่าแบบจำลองที่มีรัฐยะห์ระหว่างคานที่รองรับเท่ากับ 1.83 เมตร และแบบจำลองที่มีรัฐยะห์ระหว่างคานที่รองรับเท่ากับ 1.20 เมตร จะมีค่าตัวประกอบการกระจายหนาแน่น น้อยที่สุด เมื่อความกว้างและความถ่วงของแบบจำลองคงที่
 - 6) แบบจำลองที่มีรัฐยะห์ระหว่างคานที่รองรับเท่ากับ 2.29 เมตร จะมีค่าตัวประกอบการกระจายหนาแน่น มากกว่าแบบจำลองที่มีรัฐยะห์ระหว่างคานที่รองรับเท่ากับ 1.83 เมตร และแบบจำลองที่มีรัฐยะห์ระหว่างคานที่รองรับเท่ากับ 1.20 เมตร จะมีค่าตัวประกอบการกระจายหนาแน่น น้อยที่สุด เมื่อความกว้างและความถ่วงของแบบจำลองคงที่
- รูปที่ 6.28 รูปที่ 6.35 แสดงให้เห็นถึงความสัมพันธ์ระหว่างค่าตัวประกอบการกระจาบหนาแน่น กับระยะห่างระหว่างคานที่รองรับ จากตารางที่ 6.12 และเป็นการประเมินที่ยกกับผลที่ได้จากการณ์ เนื่องจากงานหนักกระทำจากการณ์ รุกต่อบรรดาล แบบจำลองสะพานแบบบรรทุกสองและสามคัน



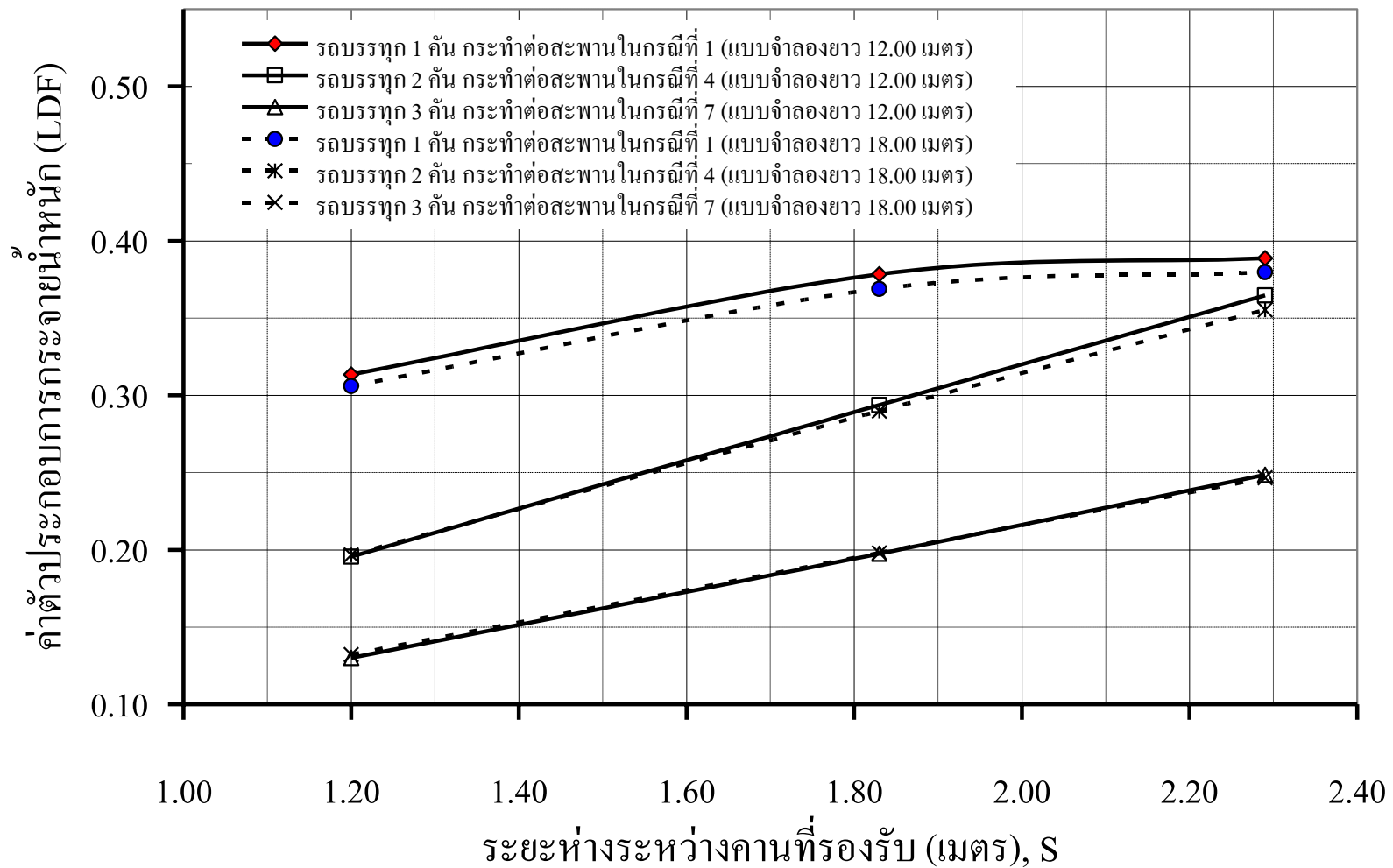
រូបថត 6.28 ការសម្រាប់រយៈហេងរយៈវាងការពិនិត្យ LDF ក្នុង S (Prodeck4, $W = 9.30$ ម៉ែត្រ នៃ Exterior Girder)



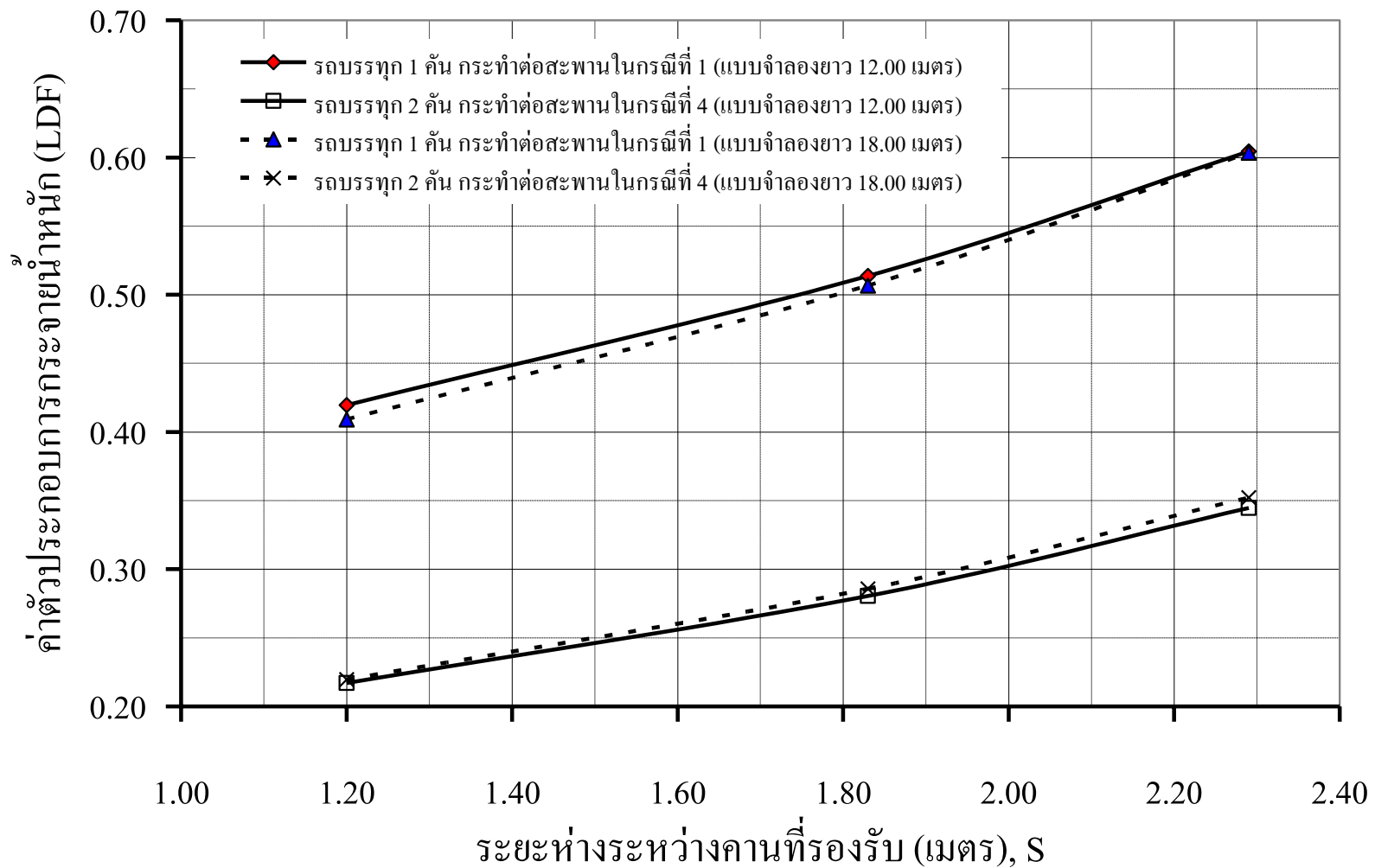
รูปที่ 6.29 ความสัมพันธ์ระหว่าง LDF กับ S (Prodeck4, W = 9.30 เมตร ของ Interior Girder)



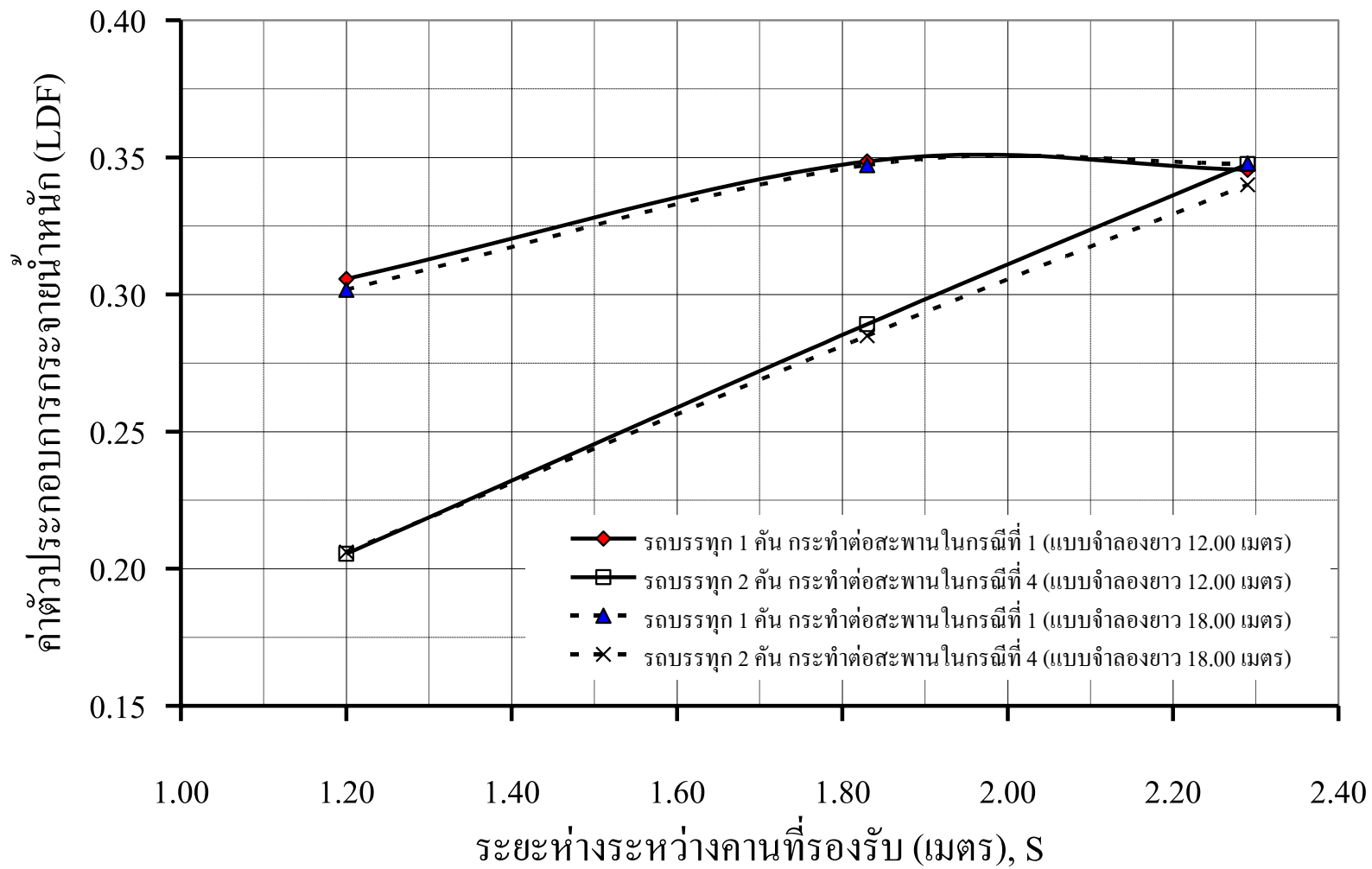
รูปที่ 6.30 ความสัมพันธ์ระหว่าง LDF กับ S (Prodeck4, W = 13.00 เมตร ของ Exterior Girder)



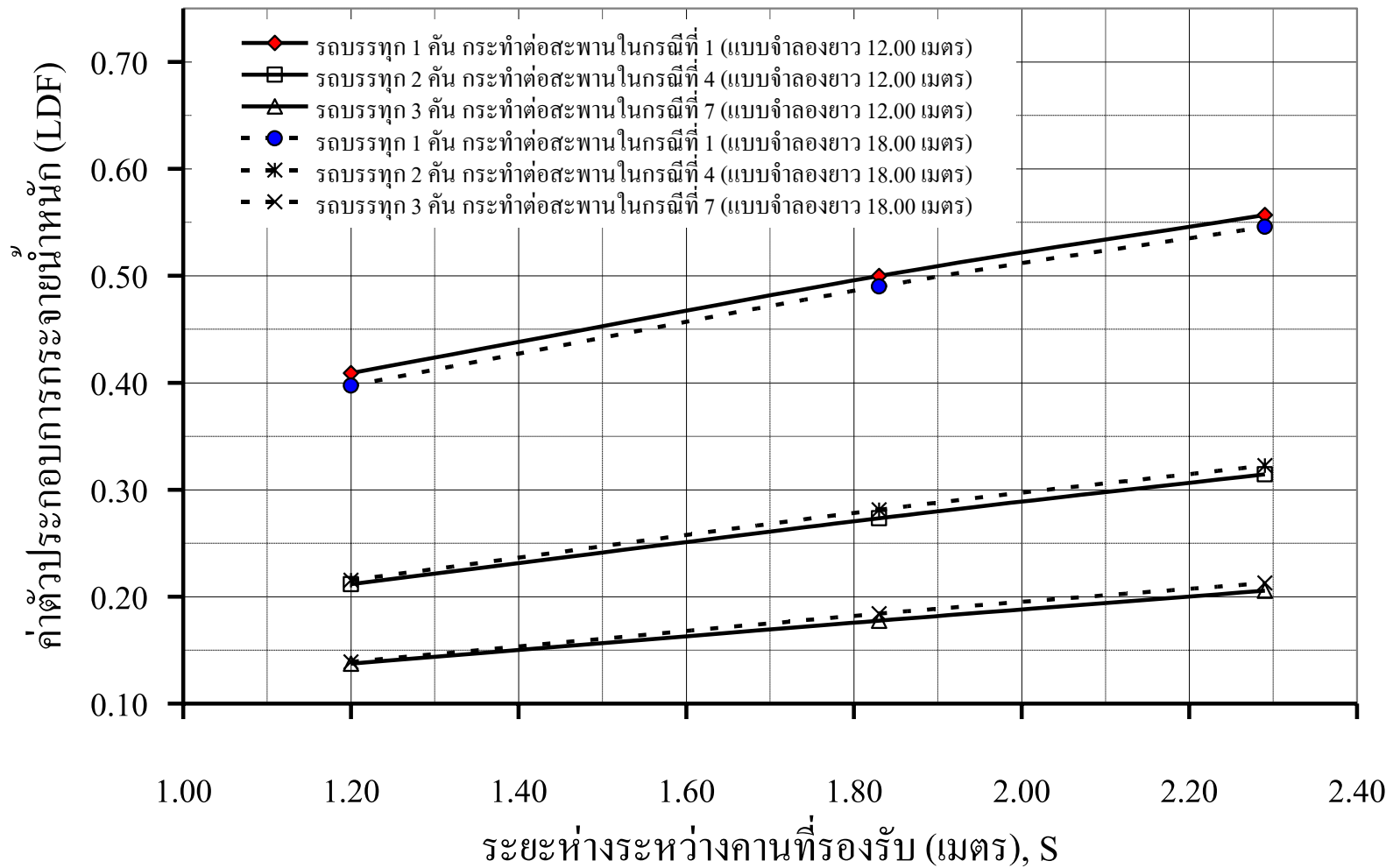
รูปที่ 6.31 ความสัมพันธ์ระหว่าง LDF กับ S (Prodeck4, W = 13.00 เมตร ของ Interior Girder)



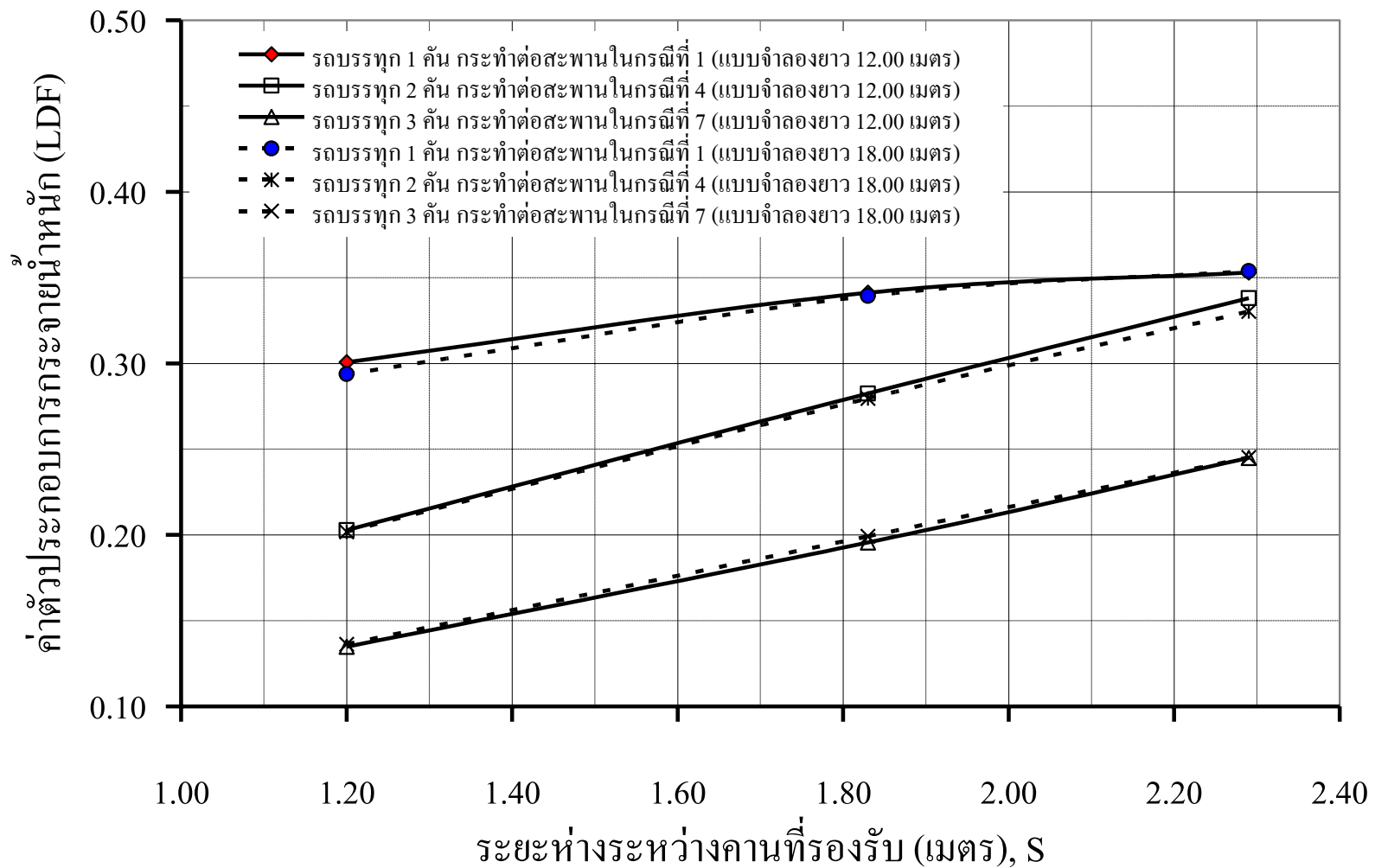
รูปที่ 6.32 ความสัมพันธ์ระหว่าง LDF กับ S (Prodeck8, W = 9.30 เมตร ของ Exterior Girder)



รูปที่ 6.33 ความสัมพันธ์ระหว่าง LDF กับ S (Prodeck8, W = 9.30 เมตร ของ Interior Girder)



รูปที่ 6.34 ความสัมพันธ์ระหว่าง LDF กับ S (Prodeck8, W = 13.00 เมตร ของ Exterior Girder)



รูปที่ 6.35 ความสัมพันธ์ระหว่าง LDF กับ S (Prodeck8, W = 13.00 เมตร ของ Interior Girder)

6.5 สรุป (Conclusion)

ผลที่ได้จากศึกษาวิเคราะห์แบบพารามิตริก (Parametric Study) ของแบบจำลองของสะพานหอดรรบบ ที่ออกแบบพิเศษให้สามารถรับน้ำหนักเฉพาะกอนอย่างสมมูล (Fully Composite) และแบบจำลองที่ถูกจำลองแบบมีพัฒนาระบบเรื่องต่อ邦ส่วน (Partial Connection) นั้น เพื่อที่จะวิเคราะห์หาค่าตัวประกอบของการกระจายน้ำหนัก (Load Distribution Factor, LDF) และปัจจัยทางกายภาพต่างๆของแบบจำลองที่มีผลต่อค่าตัวประกอบการกระจายน้ำหนัก ดังกล่าวมาข้างต้น สามารถสรุปได้ว่า ลักษณะทางกายภาพของแบบจำลองทั้งสองแบบ มีความคล้ายคลึงกัน รวมถึง ค่าตัวประกอบการกระจายน้ำหนักที่วิเคราะห์ได้ก็มีค่าที่ใกล้เคียงกัน โดยมีค่าที่แตกต่างกันเพียง เดือน้อยเท่านั้น ทั้งค่าตัวประกอบการกระจายน้ำหนักที่วิเคราะห์ได้จะแสดงในแบบที่มีค่าตัวประกอบการกระจายน้ำหนักมีค่าที่มากน้อยแตกต่างกัน ซึ่ง เป็นจุดที่ต้องพิจารณาอย่างสำคัญในการออกแบบสะพานหอดรรบบ

ปัจจัยที่สำคัญที่สุดสองประการคือ 1) ระยะห่างระหว่างค่านิรอกร้อย และ 2) ตัวแปรน่งของเรื่องราวที่มาจากกรณรรทุกชนแบบจำลอง
นอกจากนิผลที่ได้จากการวิเคราะห์ไม่พบนิ ถูกนำไปวิเคราะห์หาสมการของค่าตัวประมวลการรรจะมีหนักอันเนื่องด้วยปัจจัยทางภาษาพาต่างๆที่กล้ามชา้งต้น โดยการรวมผลการวิเคราะห์ที่หลงสองแบบ (แบบมีพัฒนาระบบประมวลอย่างสมมูรรถและแบบมีพัฒนาระบบเดียวกัน) และทำการประเมินโดยผลที่ได้จากการวิเคราะห์ด้วยโปรแกรม SPSS16 (Statistical Package for the Social Science version16) รวมถึงประเมินที่ยกันผลจากการวิจัยของผู้วิจัยท่านอื่นซึ่งพัฒนาดีก่อนมาถูกนำมาสนับในบทที่ 7

บทที่ 7 (Chapter 7) การเปรียบเทียบของการศึกษาแบบพารามทริก (Comparison of Parametric Study)

7.1 บทนำ (Introduction)

ในบทที่ผ่านมาได้กล่าวถึงค่า LDF ที่คำนวณมาจากผลตอบสนองอันเนื่องมาจากน้ำหนักบรรทุกโดยทำการวิเคราะห์แบบพารามทริก ทั้งแบบจำลองประเภทที่มีพฤติกรรมประกอบอย่างสมบูรณ์ และแบบจำลองประเภทที่มีพฤติกรรมเชื่อมต่อนางส่วน รวมถึงปัจจัยทางกายภาพต่างๆของแบบจำลองที่มีผลต่อค่า LDF ซึ่งประกอบไปด้วย ระยะห่างระหว่างค่านี้ที่รองรับ (S), ความกว้างของแบบจำลอง (W) และความยาวของแบบจำลอง (L) เป็นต้น

สำหรับในบทนี้จะกล่าวถึงค่า LDF โดยใช้โปรแกรมวิเคราะห์ทางสถิติคือ SPSS16 (Statistical Package for the Social Science version16) เพื่อแสดงความสัมพันธ์ระหว่างค่า LDF กับปัจจัยทางกายภาพต่างๆในรูปแบบของสมการลดตอนเชิงเส้น (Linear Regression) นอกจากนี้ยังกล่าวถึง ความแตกต่างระหว่างค่า LDF ที่คำนวณมาจากแบบจำลองประเภทที่มีพฤติกรรมประกอบอย่างสมบูรณ์ และแบบจำลองประเภทที่มีพฤติกรรมเชื่อมต่อนางส่วน ตลอดจนการเปรียบเทียบค่า LDF ที่ได้จากการศึกษากับค่า LDF ของนักวิจัยท่านอื่นๆที่มีรูปแบบในการศึกษาใกล้เคียงกัน (เป็นการศึกษาระบบสะพานที่มีแผ่นพื้นเป็นพอลิเมอร์และคานเหล็กรองรับ ทั้งที่เป็นการศึกษาในห้องปฏิบัติการหรือภาคสนามจริง และที่เป็นการศึกษาโดยใช้ไฟไนท์อิลิเมนต์) ดังรายละเอียดเป็นลำดับ ต่อไปนี้

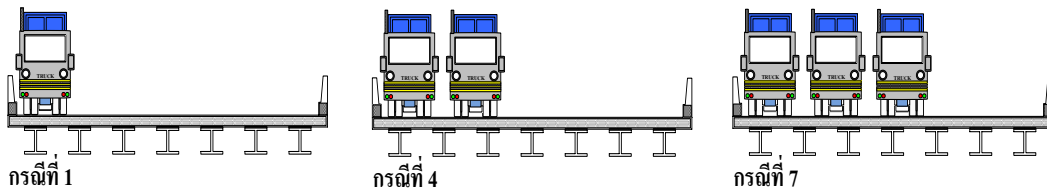
7.2 ความสัมพันธ์ระหว่าง LDF กับปัจจัยทางกายภาพต่างๆ โดยใช้โปรแกรม SPSS16

จากการวิเคราะห์หาค่า LDF จากแบบจำลองของสะพานภายใต้เงื่อนไขต่างๆ ได้แก่ ประเภทของแผ่นพื้นพอลิเมอร์, ความกว้างและความยาวของแบบจำลอง, รูปแบบของแรงกระทำหรือตำแหน่งของรถบรรทุกที่กระทำต่อแบบจำลอง ตลอดจนถึงประเภทของคานเหล็กที่รองรับและระยะห่างระหว่างคานเหล็กที่รองรับ ปรากฏว่าปัจจัยต่างๆที่กล่าวมาล้วนมีผลต่อค่า LDF ทั้งสิ้น ไม่น่ากันน้อย เรียงตามลำดับจากปัจจัยที่มีผลมากไปยังปัจจัยที่มีผลน้อยที่สุด ดังต่อไปนี้

- 1) ระยะห่างระหว่างคานที่รองรับ (S)
- 2) ประเภทของแผ่นพื้นพอลิเมอร์ (การวิจัยนี้ใช้ Prodeck4 และ Prodeck8)
- 3) ตำแหน่งของแรงกระทำที่กระทำต่อแบบจำลอง
- 4) จำนวนของแรงกระทำที่กระทำต่อแบบจำลอง (จำนวนของรถบรรทุก) (N)
- 5) ความกว้างของแบบจำลอง (W)
- 6) ความยาวของแบบจำลอง (L)

เมื่อนำปัจจัยต่างๆข้างต้นมาหาความสัมพันธ์เพื่อจะทำนายหรือประมาณค่าของ LDF ในรูปแบบของสมการถดถอยเชิงเส้น โดยใช้โปรแกรม SPSS16 ในการวิเคราะห์หา ความสัมพันธ์ ซึ่งรูปแบบของสมการถดถอยเชิงเส้นจากการวิเคราะห์ด้วยโปรแกรม SPSS16 จะ แยกเป็นสองส่วนตามจำนวนของปัจจัยที่นำมารวิเคราะห์ดังนี้

ส่วนที่ 1) เมื่อตำแหน่งของแรงกระทำจากรถบรรทุกที่ทำให้ค่าตัวประกอบการ กระจายน้ำหนักมีค่ามาก เมื่อรถบรรทุกกระทำต่อแบบจำลองในกรณีที่ 1, กรณีที่ 4 และกรณีที่ 7 ดัง แสดงในรูปที่ 7.1 โดยมีรูปแบบความสัมพันธ์ดังสมการที่ 7.1



รูปที่ 7.1 ตำแหน่งรถบรรทุกกระทำต่อแบบจำลองในกรณีที่ 1, กรณีที่ 4 และกรณีที่ 7

$$LDF | \zeta_2 \dots \Delta W 2 \lambda \Delta L 2 \xi \Delta N 2 \bullet \Delta S \quad (7.1)$$

เมื่อ

$\zeta, \dots, \lambda, \xi, \bullet$ คือค่าคงที่

W คือความกว้างของแบบจำลอง (9.30 เมตร และ 13.00 เมตร)

L คือความยาวของแบบจำลอง (12.00 เมตร และ 18.00 เมตร)

N คือจำนวนแรงกระทำไกล์ขอบทาง (1 คัน, 2 คันและ 3 คัน)

S คือระยะห่างระหว่างที่รองรับ (1.20 เมตร, 1.83 เมตร และ 2.20 เมตร)

ชี้งผลจากการวิเคราะห์โดยใช้โปรแกรม SPSS16 เพื่อหาความสัมพันธ์ระหว่างค่า LDF กับปัจจัยทางกายภาพต่างๆ ในรูปแบบของสมการถดถอยเชิงเส้นตามสมการที่ 7.1 โดยแสดงค่าคงที่ในการณ์ต่างๆ ชี้งพิจารณาจากการรวมผลการวิเคราะห์ค่า LDF ที่มีรูปแบบการวิเคราะห์ (แบบจำลองที่มีพฤติกรรมประกอบอย่างสมบูรณ์ (Fully Composites) และแบบจำลองประเภทที่มีพฤติกรรมเชื่อมต่อบางส่วน (Partial Connection)) และประเภทของแผ่นพื้นในการวิเคราะห์ (Prodeck4 และ Prodeck8) ที่แตกต่างกันมาร่วมกัน ดังแสดงในตารางที่ 7.1

ตารางที่ 7.1 ค่าคงที่ที่ใช้กับสมการในการวิเคราะห์หาค่า LDF (ตามสมการ 7.1)

ประเภท แผ่นพื้น	ตัวแหน่ง สถานที่รองรับ	รูปแบบ การวิเคราะห์	ค่าคงที่					R^2
			ζ	$... \times 10^{-5}$	$\lambda \times 10^{-5}$	ξ	\bullet	
Prodeck4	สถานที่ตัวนอก	FC	0.458	-0.456	5.222	-0.174	0.113	0.910
		PC	0.465	7.237	6.444	-0.177	0.112	0.912
	สถานที่ตัวใน	FC	0.267	0.000	0.000	-0.078	0.103	0.925
		PC	0.265	0.000	0.000	-0.079	0.104	0.917
Prodeck8	สถานที่ตัวนอก	FC	0.441	0.000	-6.889	-0.165	0.118	0.932
		PC	0.446	0.000	5.556	-0.168	0.118	0.931
	สถานที่ตัวใน	FC	0.268	-200	0.000	-0.064	0.089	0.924
		PC	0.272	-200	0.000	-0.066	0.088	0.920
Prodeck4	สถานที่ตัวนอก	FC + PC	0.462	3.904	5.833	-0.175	0.112	0.918
	สถานที่ตัวใน	FC + PC	0.266	0.000	0.000	-0.079	0.103	0.927
Prodeck8	สถานที่ตัวนอก	FC + PC	0.443	0.000	-3.167	-0.167	0.118	0.936
	สถานที่ตัวใน	FC + PC	0.270	-200	-0.065	-0.065	0.088	0.928
Prodeck 4 + 8	สถานที่ตัวนอก	FC + PC	0.452	0.000	1.333	-0.171	0.115	0.928
	สถานที่ตัวใน	FC + PC	0.268	-100	0.000	-0.072	0.096	0.916

หมายเหตุ สัญลักษณ์ในตารางที่ 7.1 ได้แก่ FC ใช้แทนคำว่า Fully Composite หรือ แบบจำลองที่มีพฤติกรรมประกอบอย่างสมบูรณ์ และ PC ใช้แทนคำว่า Partial Connection หรือ แบบจำลองที่มีพฤติกรรมเชื่อมต่อบางส่วน

ส่วนที่ 2) เมื่อตำแหน่งของแรงกระทำจากกรอบรัฐก็ทำให้ค่าตัวประกอบการกระจายน้ำหนักมีค่ามากที่สุด เมื่อกรอบรัฐก็กระทำต่อแบบจำลองเฉพาะในกรณีที่ 1 เท่านั้น มีรูปแบบความสัมพันธ์ดังนี้

$$LDF | \zeta_2 \dots \Delta W 2 \lambda \Delta L 2 \bullet \Delta S \quad (7.2)$$

- เมื่อ $\zeta, \dots, \lambda, \bullet$ คือค่าคงที่
 W คือความกว้างของแบบจำลอง (9.30 เมตร และ 13.00 เมตร)
 L คือความยาวของแบบจำลอง (12.00 เมตร และ 18.00 เมตร)
 S คือระยะห่างระหว่างที่รองรับ (1.20 เมตร, 1.83 เมตร และ 2.20 เมตร)

ซึ่งผลจากการวิเคราะห์โดยใช้โปรแกรม SPSS16 เพื่อหาความสัมพันธ์ระหว่างค่า LDF กับปัจจัยทางกายภาพต่างๆ ในรูปแบบของสมการถดถอยเชิงเส้นตามสมการที่ 7.2 โดยแสดงค่าคงที่ในกรณีต่างๆ ซึ่งพิจารณาจากการรวมผลการวิเคราะห์ค่า LDF ที่มีรูปแบบการวิเคราะห์ และ ประเภทของแผ่นพื้นในการวิเคราะห์ ที่แตกต่างกันมาร่วมกัน (รูปแบบเดียวกันกับตารางที่ 7.1) ดังแสดงในตารางที่ 7.2

พบว่าผลในส่วนที่ 1 (ตารางที่ 7.1) ปัจจัยทางกายภาพของแบบจำลองสะพานที่มีผลต่อค่า LDF ได้แก่ ระยะห่างระหว่างคานที่รองรับ (S) และจำนวนของแรงกระทำที่กระทำต่อแบบจำลอง (N) โดยพิจารณาจากค่าคงที่ ζ, λ และ \bullet ที่มีค่ามากกว่าเมื่อเทียบกับ ... และ λ ที่มีค่าเข้าใกล้ศูนย์ ซึ่งจากบทที่ 6 สรุปว่าค่า LDF จะมีค่ามากที่สุดเมื่อมีแรงกระทำต่อแบบจำลองในกรณีที่เกิดจากรอบรัฐเพียง 1 คันเท่านั้น (N เท่ากับ 1) ซึ่งกระทำต่อแบบจำลองในกรณีที่ 1 และเมื่อพิจารณาผลในส่วนที่ 2 (ตารางที่ 7.2) ซึ่งพิจารณาจากแรงกระทำในกรณีที่ 1 เท่านั้น พบว่าปัจจัยทางกายภาพของแบบจำลองสะพานที่มีผลต่อค่า LDF มากที่สุด ได้แก่ ระยะห่างระหว่างคานที่รองรับ (S)

ซึ่งจะเห็นได้ว่าผลที่ได้จากทั้งสองส่วน (ตารางที่ 7.1 และ 7.2) จากการวิเคราะห์โดย SPSS16 แสดงกล่องกับผลที่ได้ในบทที่ 6 คือปัจจัยที่มีผลต่อค่า LDF มากที่สุดคือ ระยะห่างระหว่างคานที่รองรับ ดังนั้นในลำดับต่อไปจะกล่าวถึงความสัมพันธ์ระหว่างค่า LDF กับระยะห่างระหว่างคานที่รองรับเท่านั้น

ตารางที่ 7.2 ค่าคงที่ที่ใช้กับสมการในการวิเคราะห์หาค่า LDF (ตามสมการ 7.2)

ประเภท แผ่นพื้น	ตำแหน่ง งานที่ร่องรับ	รูปแบบ การวิเคราะห์	ค่าคงที่				R^2
			ζ	...	λ	\bullet	
Prodeck4	งานตัวนอก	Fully	0.327	-0.008	-0.001	0.158	0.960
		Partial	0.337	-0.008	-0.001	0.154	0.957
	งานตัวใน	Fully	0.250	0.001	-0.001	0.059	0.738
		Partial	0.251	0.001	0.000	0.058	0.686
Prodeck8	งานตัวนอก	Fully	0.316	-0.007	-0.002	0.156	0.977
		Partial	0.322	-0.007	-0.001	0.155	0.975
	งานตัวใน	Fully	0.255	0.000	0.000	0.049	0.868
		Partial	0.260	0.000	0.000	0.047	0.830
Prodeck4	งานตัวนอก	Fully + Partial	0.332	-0.008	-0.001	0.156	0.964
	งานตัวใน	Fully + Partial	0.250	0.001	-0.001	0.059	0.759
Prodeck8	งานตัวนอก	Fully + Partial	0.319	-0.007	-0.001	0.155	0.978
	งานตัวใน	Fully + Partial	0.258	0.000	0.000	0.048	0.870
Prodeck 4 + 8	งานตัวนอก	Fully + Partial	0.326	-0.007	-0.001	0.155	0.965
	งานตัวใน	Fully + Partial	0.254	0.000	0.000	0.053	0.659

7.3 ความสัมพันธ์ระหว่างค่า LDF กับ S (LDF-S Relation)

ในหัวข้อนี้จะกล่าวถึงผลของค่า LDF อันเนื่องมาจากระยะห่างระหว่างงานที่ร่องรับ และรับแรงกระทำจากกรอบรัฐุกในกรณีที่ 1 เท่านั้น (ซึ่งได้แสดงให้เห็นในบทที่ 6 และหัวข้อ 7.2) ที่ผ่านมา ระยะห่างระหว่างงานที่ร่องรับ และแรงกระทำจากกรอบรัฐุกในกรณีที่ 1 มีผลต่อค่า LDF มากที่สุด พื้นที่กับแสดงผลเปรียบเทียบค่า LDF ที่ได้มาจากการวิเคราะห์แบบจำลองประเภทที่มีพฤติกรรมประกอบอย่างสมบูรณ์กับแบบจำลองของประเภทที่มีพฤติกรรมเชื่อมต่อบางส่วนด้วย

จากตารางที่ 6.6 และ 6.12 แสดงค่าตัวประกอบการกระจายน้ำหนัก เมื่อมีแรงกระทำแบบกรณีที่ 1 ในทุกขนาดหน้าตัดของแบบจำลอง เนพาะงานตัวนอกและงานตัวในตัวแรกของแบบจำลองที่มีพฤติกรรมประกอบอย่างสมบูรณ์และแบบจำลองที่มีพฤติกรรมเชื่อมต่อบางส่วน

ตามลำดับ พบว่าค่า LDF ที่วิเคราะห์จากแบบจำลองที่มีพฤติกรรมเชื่อมต่อบางส่วน (ตารางที่ 6.12) ส่วนใหญ่จะมีค่ามากกว่าค่า LDF ที่วิเคราะห์จากแบบจำลองที่มีพฤติกรรมประกอบอย่างสมบูรณ์ (ตารางที่ 6.6) โดยค่าเบอร์เซ็นต์ความแตกต่างที่เกิดขึ้น ดังแสดงในตารางที่ 7.3

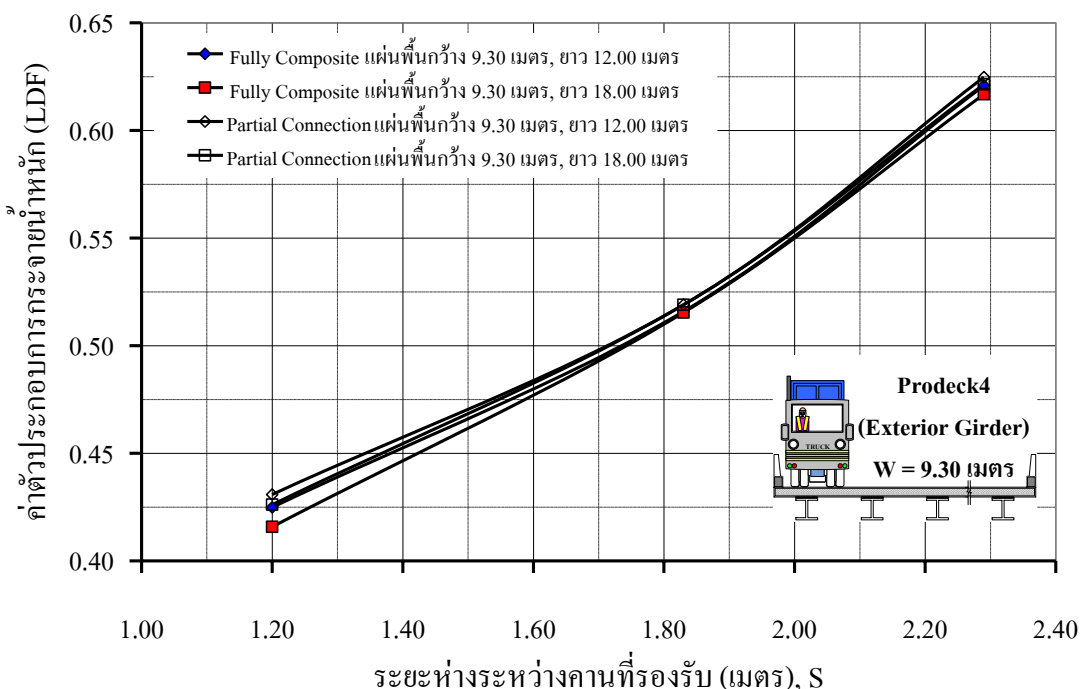
ตารางที่ 7.3 ความแตกต่างของค่า LDF ระหว่างค่า LDF ที่วิเคราะห์จากแบบจำลองที่มีพฤติกรรมเชื่อมต่อบางส่วนกับค่า LDF ที่วิเคราะห์จากแบบจำลองที่มีพฤติกรรมประกอบอย่างสมบูรณ์

กรณีที่ 1		เบอร์เซ็นต์ความแตกต่างของค่า LDF			
CS...	สะพาน ยาว (เมตร)	แผ่นพื้นประภาก Prodeck4		แผ่นพื้นประภาก Prodeck8	
		คานตัวนอก	คานตัวในตัวแรก	คานตัวนอก	คานตัวในตัวแรก
CS1	12	1.41%	-0.19%	1.28%	1.09%
	18	2.50%	1.06%	1.49%	1.31%
CS2	12	0.60%	0.61%	0.71%	1.13%
	18	0.72%	0.48%	0.90%	1.17%
CS3	12	0.63%	-0.47%	0.87%	0.17%
	18	0.75%	-0.41%	0.92%	0.46%
CS4	12	1.61%	-0.09%	1.31%	1.31%
	18	1.67%	0.10%	1.59%	1.24%
CS5	12	0.61%	0.67%	0.73%	1.25%
	18	0.72%	0.57%	0.82%	1.13%
CS6	12	0.55%	-0.03%	0.71%	0.40%
	18	0.69%	-0.18%	0.83%	0.40%

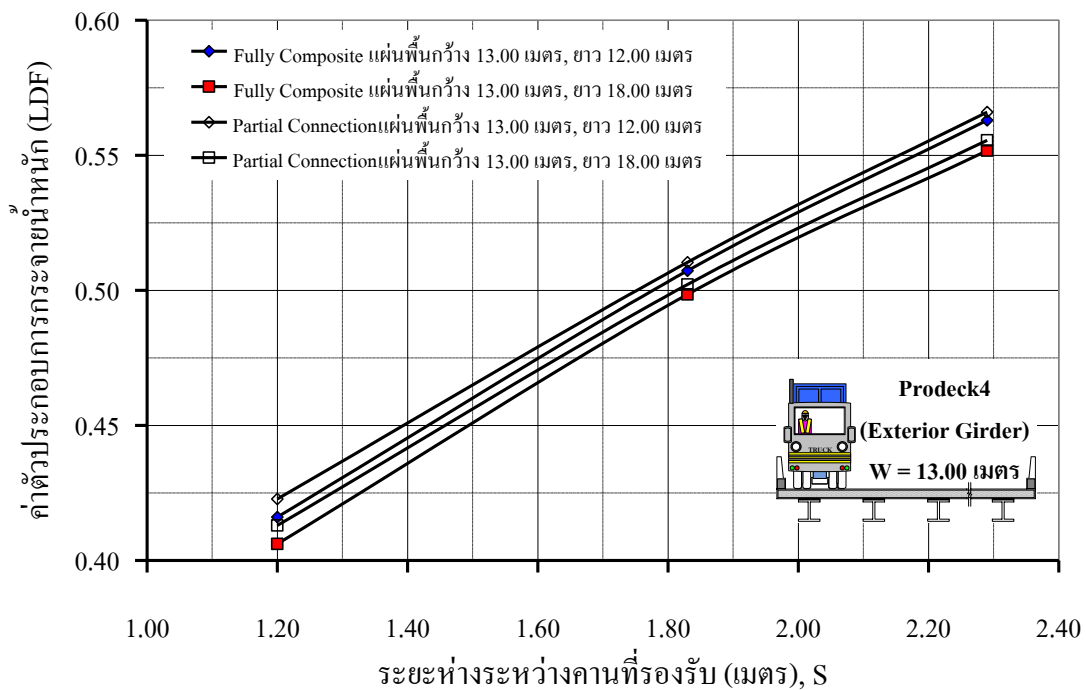
หมายเหตุ: เบอร์เซ็นต์ความแตกต่างของค่า LDF ในตารางที่ 7.3 เกิดจากการนำค่าความแตกต่างของค่า LDF ระหว่างค่า LDF ที่วิเคราะห์จากแบบจำลองที่มีพฤติกรรมเชื่อมต่อบางส่วนกับค่า LDF ที่วิเคราะห์จากแบบจำลองที่มีพฤติกรรมประกอบอย่างสมบูรณ์ เทียบกับค่า LDF ที่วิเคราะห์จากแบบจำลองที่มีพฤติกรรมประกอบอย่างสมบูรณ์

เปอร์เซ็นต์ความแตกต่างระหว่างค่า LDF ในตารางที่ 7.3 พบว่าค่า LDF ที่ได้จากการวิเคราะห์แบบจำลองประเภทที่มีพฤติกรรมประกอบอย่างสมบูรณ์กับแบบจำลองประเภทที่มีพฤติกรรมเชื่อมต่อบางส่วน มีค่าที่ใกล้เคียงกัน โดยมีเปอร์เซ็นต์ความแตกต่างของค่า LDF โดยประมาณ 1.0 - 1.5 เปอร์เซ็นต์ และเมื่อเปรียบเทียบกับผลการวิจัยของนักวิจัยท่านอื่น ได้แก่ Zhang และคณะ (2006), Liu และคณะ (2008) พบว่าผลการวิเคราะห์ค่า LDF โดยไฟไนท์อิลิเม้นต์ จากแบบจำลองประเภทที่มีพฤติกรรมประกอบอย่างสมบูรณ์และแบบจำลองประเภทที่มีพฤติกรรมเชื่อมต่อบางส่วน มีค่าที่ใกล้เคียงกันเดียว กัน ซึ่งสอดคล้องกับผลที่ได้กล่าวมาข้างต้น

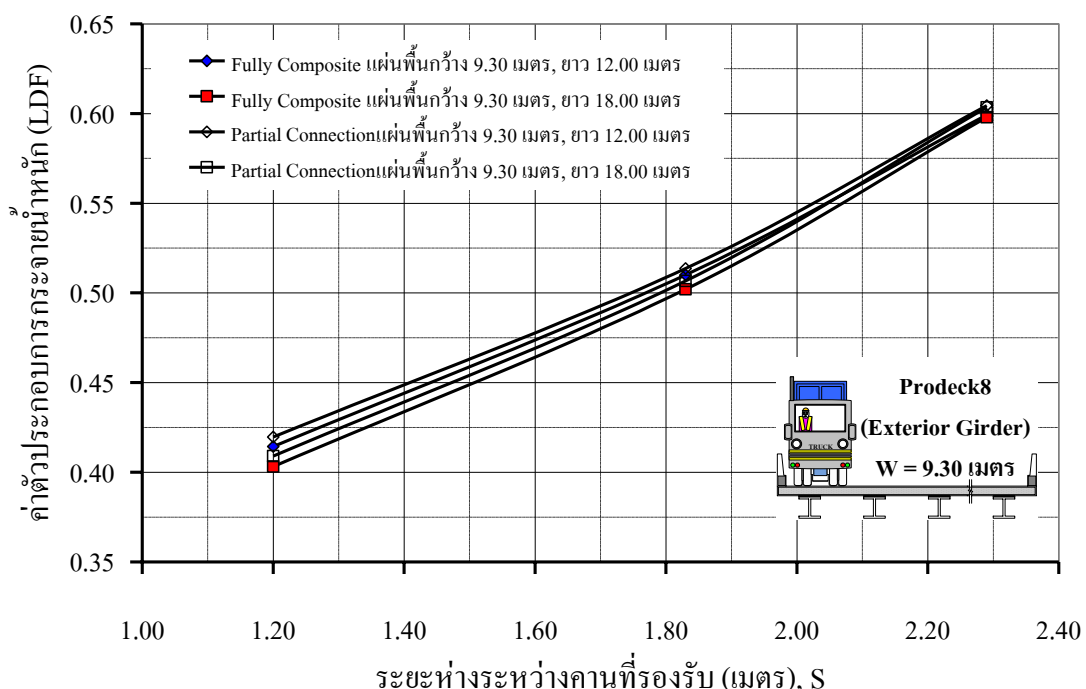
ดังนั้นสามารถสรุปได้ว่าค่า LDF ที่มาจากการวิเคราะห์แบบพารามทริกทั้งสองแบบ มีความใกล้เคียงกัน และความสัมพันธ์ระหว่างค่าตัวประกอบการกระจายน้ำหนัก (LDF) กับระยะห่างระหว่างคานที่รองรับ (S) เนื่องมาจากแรงกระทำในกรณีที่ 1 ของการวิเคราะห์แบบพารามทริกทั้งสองวิธี ตามประเภทของแผ่นพื้นสะพาน (Prodeck4 และ Prodeck8) และตำแหน่งของคานที่รองรับ (เฉพาะคานตัวนอกและคานตัวในที่เกิดค่า LDF มากที่สุดและการรองลงมาตามลำดับ) แสดงในรูปที่ 7.2 ถึง 7.9



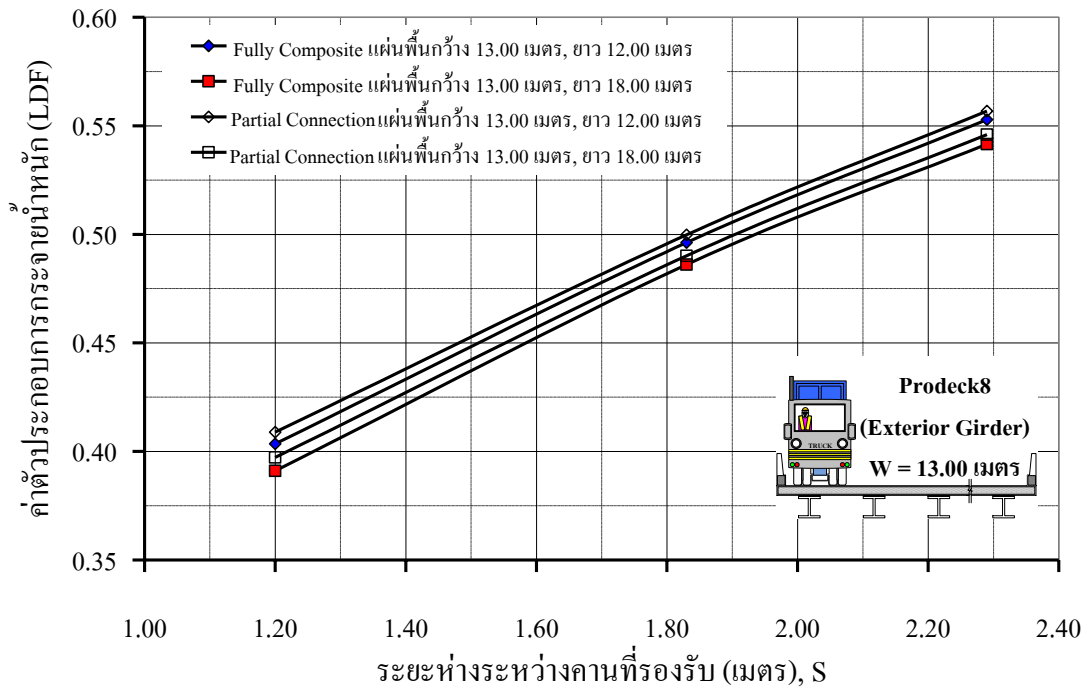
รูปที่ 7.2 ความสัมพันธ์ระหว่างค่า LDF กับ S ของคานที่รองรับตัวนอก (Prodeck4, W=9.30)



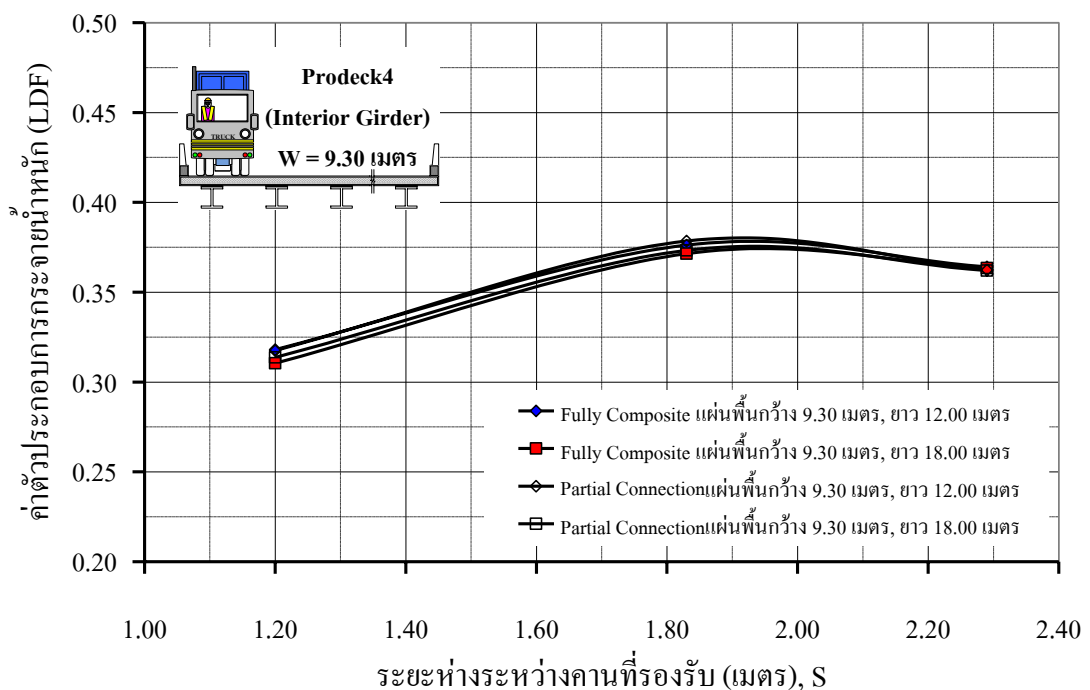
รูปที่ 7.3 ความสัมพันธ์ระหว่างค่า LDF กับ S ของคานที่รองรับตัวนอก (Prodeck4, W=13.00)



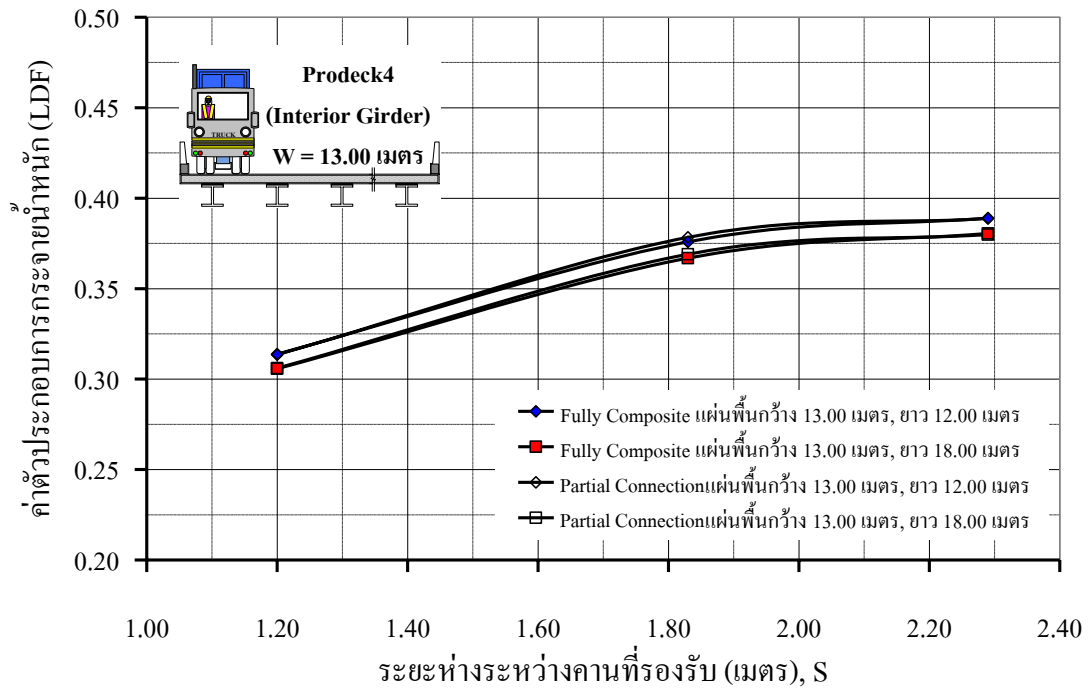
รูปที่ 7.4 ความสัมพันธ์ระหว่างค่า LDF กับ S ของคานที่รองรับตัวนอก (Prodeck8, W=9.30)



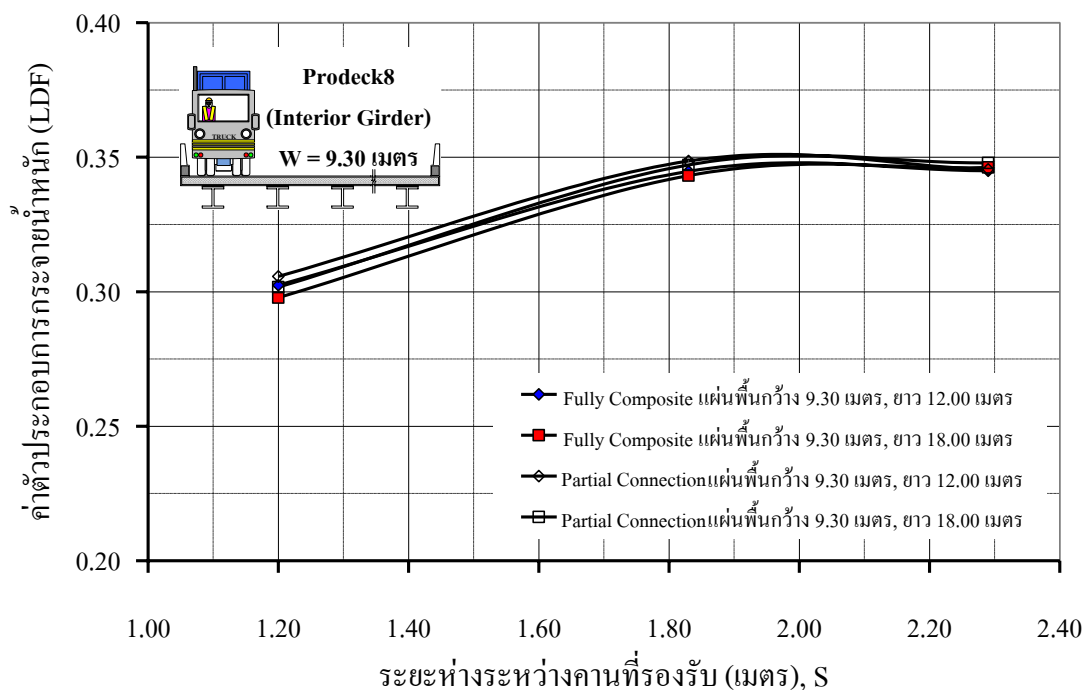
รูปที่ 7.5 ความสัมพันธ์ระหว่างค่า LDF กับ S ของคานที่รองรับตัวนอก (Prodeck8, W=13.00)



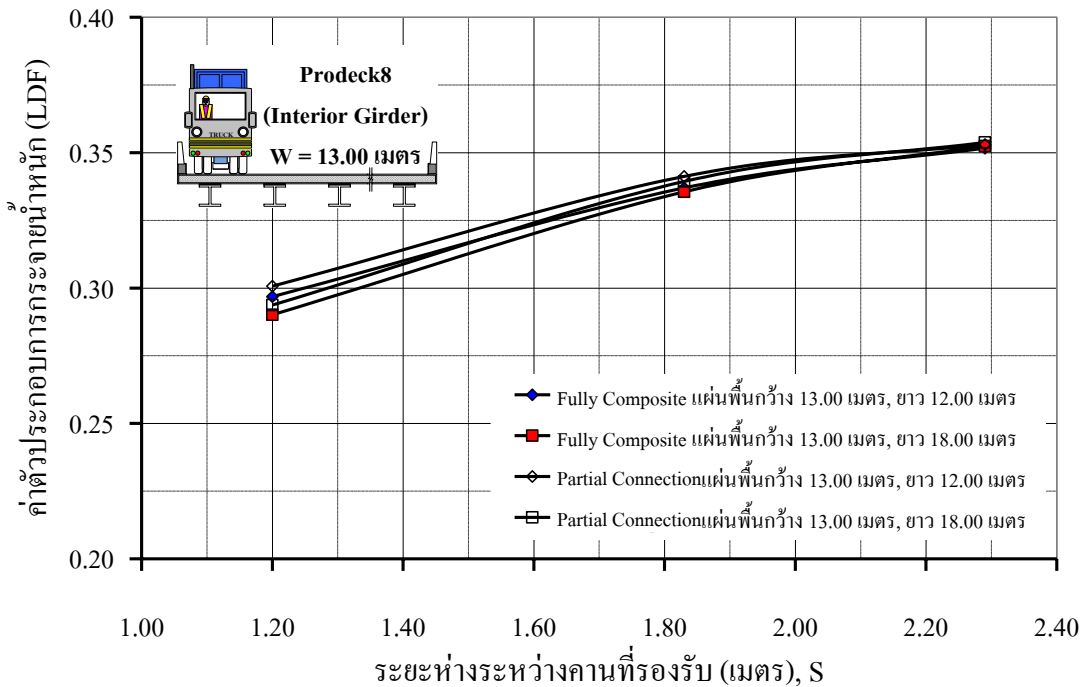
รูปที่ 7.6 ความสัมพันธ์ระหว่างค่า LDF กับ S ของคานที่รองรับตัวใน (Prodeck4, W=9.30)



รูปที่ 7.7 ความสัมพันธ์ระหว่างค่า LDF กับ S ของคานที่รองรับตัวใน (Prodeck4, W=13.00)



รูปที่ 7.8 ความสัมพันธ์ระหว่างค่า LDF กับ S ของคานที่รองรับตัวใน (Prodeck8, W=9.30)



รูปที่ 7.9 ความสัมพันธ์ระหว่างค่า LDF กับ S ของคานที่รับรังควั่นใน (Prodeck8, W=13.00)

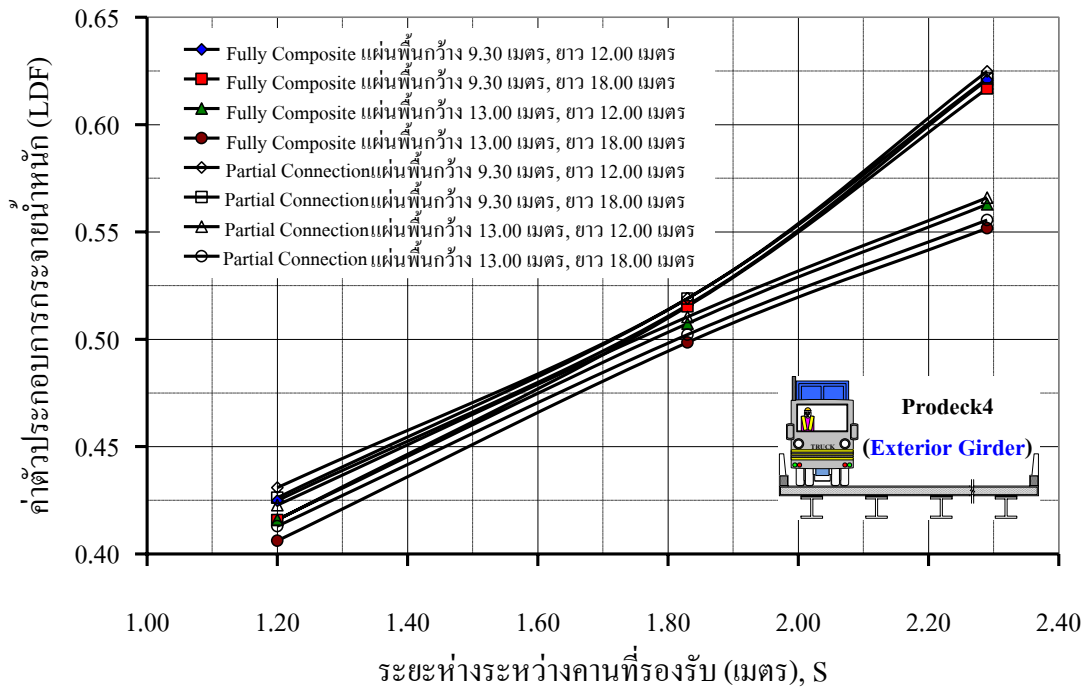
จากรูปที่ 7.2 ถึง 7.9 แสดงให้เห็นถึงความสัมพันธ์ระหว่างค่า LDF กับ S ที่เกิดขึ้นกับแบบจำลองที่มีความกว้างของแบบจำลองเท่ากัน พบว่าแนวโน้มการเพิ่มขึ้นของค่าตัว LDF เมื่อระยะห่างระหว่างคานที่รับรังควั่นเพิ่มขึ้นนั้น มีลักษณะเหมือนกันระหว่างแบบจำลองประเภทที่มีพฤติกรรมประกอบอย่างสมบูรณ์กับแบบจำลองประเภทที่มีพฤติกรรมเชื่อมต่อบางส่วน โดยแนวโน้มการเพิ่มขึ้นของค่า LDF ที่เกิดกับคานตัวนอกจะมากกว่าที่เกิดกับคานตัวใน และเส้นแสดงความสัมพันธ์ของค่า LDF ที่วิเคราะห์มาจากแบบจำลองประเภทที่มีพฤติกรรมเชื่อมต่อบางส่วน จะอยู่เหนือเส้นแสดงความสัมพันธ์ของค่า LDF ที่วิเคราะห์มาจากแบบจำลองประเภทที่มีพฤติกรรมประกอบอย่างสมบูรณ์เล็กน้อย

ข้อสังเกต แบบจำลองประเภทที่มีพฤติกรรมเชื่อมต่อบางส่วน จะมีพฤติกรรมที่ใกล้เคียงกับสะพานจริงมากกว่าแบบจำลองประเภทที่มีพฤติกรรมประกอบอย่างสมบูรณ์ เนื่องจากพฤติกรรมของโครงสร้างจริงจะเกิดพฤติกรรมประกอบอย่างไม่สมบูรณ์ ส่งผลให้ค่า LDF ที่วิเคราะห์มาจากแบบจำลองประเภทที่มีพฤติกรรมเชื่อมต่อบางส่วนมีแนวโน้มที่สูงกว่าค่า LDF ที่วิเคราะห์มาจากแบบจำลองประเภทที่มีพฤติกรรมประกอบอย่างสมบูรณ์ (Yin Zhang และคณะ (2006) และเมื่อความกว้างของแบบจำลองคงที่แต่ความยาวของแบบจำลองเปลี่ยนจาก 12.00 เมตร

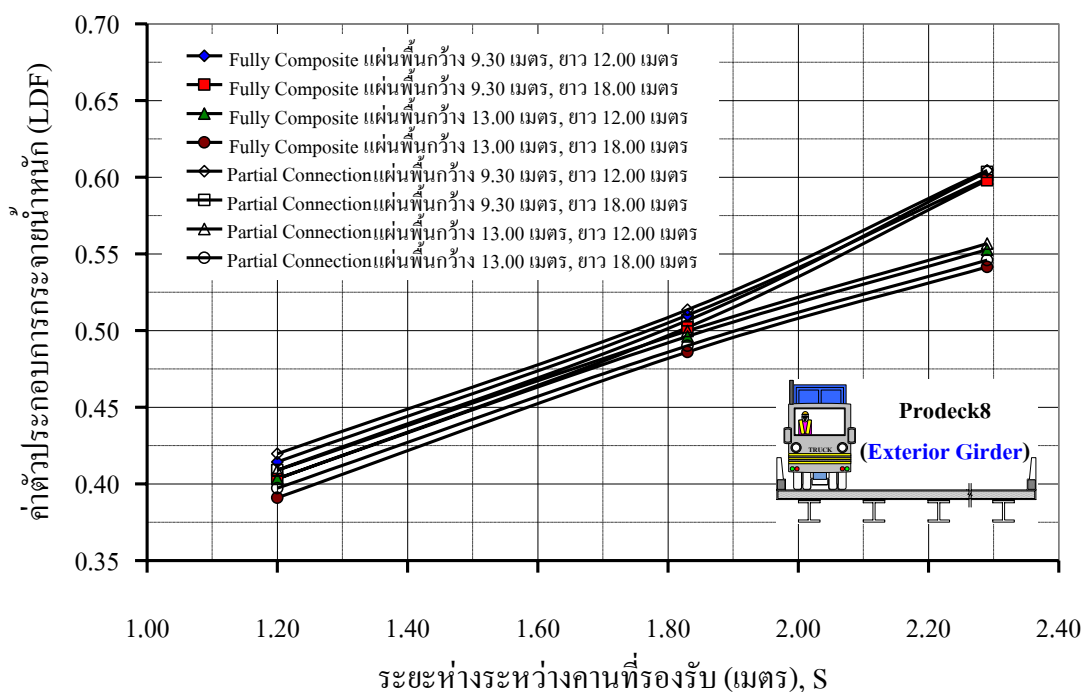
เป็น 18.00 เมตร ค่า LDF มีค่าแตกต่างกันเล็กน้อย โดยค่า LDF ที่เกิดขึ้นในกรณีที่แบบจำลองยาว 12.00 เมตร จะมีค่ามากกว่าค่า LDF ที่เกิดขึ้นในกรณีที่แบบจำลองยาว 18.00 เมตร เล็กน้อย

ในกรณีรูปที่ 7.6 ถึง 7.9 ซึ่งเป็นความสัมพันธ์ที่เกิดกับค่าน้ำในน้ำ การเพิ่มขึ้นของค่า LDF เมื่อระยะห่างระหว่างคานที่รองรับเพิ่มจาก 1.83 เมตร เป็น 2.29 เมตร มีการเพิ่มขึ้นเพียงเล็กน้อย สำหรับในกรณีรูปที่ 7.6 ค่า LDF เมื่อระยะห่างระหว่างคานที่รองรับเพิ่มจาก 1.83 เมตร เป็น 2.29 เมตร มีค่าลดลงเล็กน้อย เนื่องมาจากการที่เมื่อแบบจำลองถูกแรงกระทำจากรถบรรทุกในกรณีที่ 1 ซึ่งตำแหน่งของแรงกระทำจากรถบรรทุกอยู่คงที่คือตรงกับตำแหน่งคานที่รองรับตัวนอก ในขณะที่เมื่อระยะห่างระหว่างคานที่รองรับเพิ่มขึ้นทำให้ตำแหน่งของคานตัวในตัวแรกห่างจากตำแหน่งเดิมรวมถึงห่างจากตำแหน่งของแรงกระทำจากรถบรรทุกออกไป ทำให้การส่งถ่ายแรงจากรถบรรทุกสู่คานตัวนอกมีมากขึ้น และการส่งถ่ายแรงจากรถบรรทุกสู่คานตัวในตัวแรกมีค่าน้อยลงเมื่อระยะห่างเพิ่มมากขึ้น ทำให้ผลตอบสนอง (ค่าการยืดหดตัว) ที่ได้เพื่อใช้ในการคำนวณหาค่า LDF สำหรับคานที่รองรับตัวในตัวแรกมีค่าน้อยลงตามไปด้วย

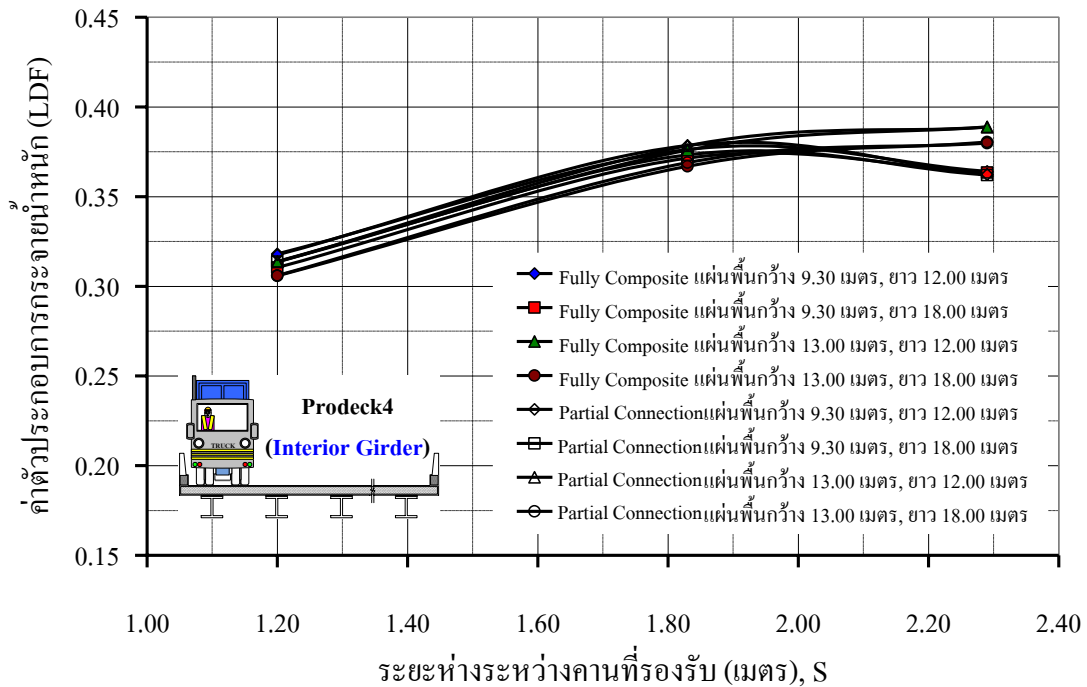
เมื่อพิจารณาความสัมพันธ์ระยะห่างค่า LDF กับระยะห่างระหว่างคานที่รองรับ (S) สำหรับคานที่รองรับตัวนอกและคานที่รองรับตัวในตัวแรก ของแบบจำลองที่มีแผ่นพื้นสะพานประเภท Prodeck4 และ Prodeck8 ดังแสดงในรูปที่ 7.10 ถึง 7.13 ซึ่งแต่ละรูปแสดงผลจากการวิเคราะห์แบบจำลองที่มีรูปแบบที่แตกต่างกันทั้งหมด 8 รูปแบบ จากรูปที่ 7.10 และ 7.11 พบว่าผลที่เกิดกับคานที่รองรับตัวนอกนั้น เมื่อระยะห่างระหว่างคานที่รองรับ มีค่าเพิ่มขึ้นจาก 1.83 เมตร เป็น 2.29 เมตร โดยที่ความยาวของแบบจำลองมีค่าคงที่ (ความกว้างของแบบจำลองมีการเปลี่ยนแปลง) จะเห็นว่าค่า LDF มีการเพิ่มขึ้นอย่างเห็นได้ชัด ซึ่งจะแตกต่างกับผลในรูปที่ 7.12 และ 7.13 จะเห็นว่าค่า LDF ยังคงมีแนวโน้มของการเพิ่มที่ใกล้เคียงกัน ดังนั้นความกว้างของแบบจำลองมีผลต่อค่า LDF มากกว่าความยาวของแบบจำลอง และมีผลโดยตรงกับคานที่รองรับตัวนอกมากกว่าคานที่รองรับตัวในตัวแรก ซึ่งได้กล่าวมาแล้วในข้างต้น และในส่วนต่อไปจะทำการพิจารณาถึงแนวโน้มของความสัมพันธ์ระยะห่างค่า LDF กับระยะห่างระหว่างคานที่รองรับ (S) ในรูปแบบสมการเชิงเส้น



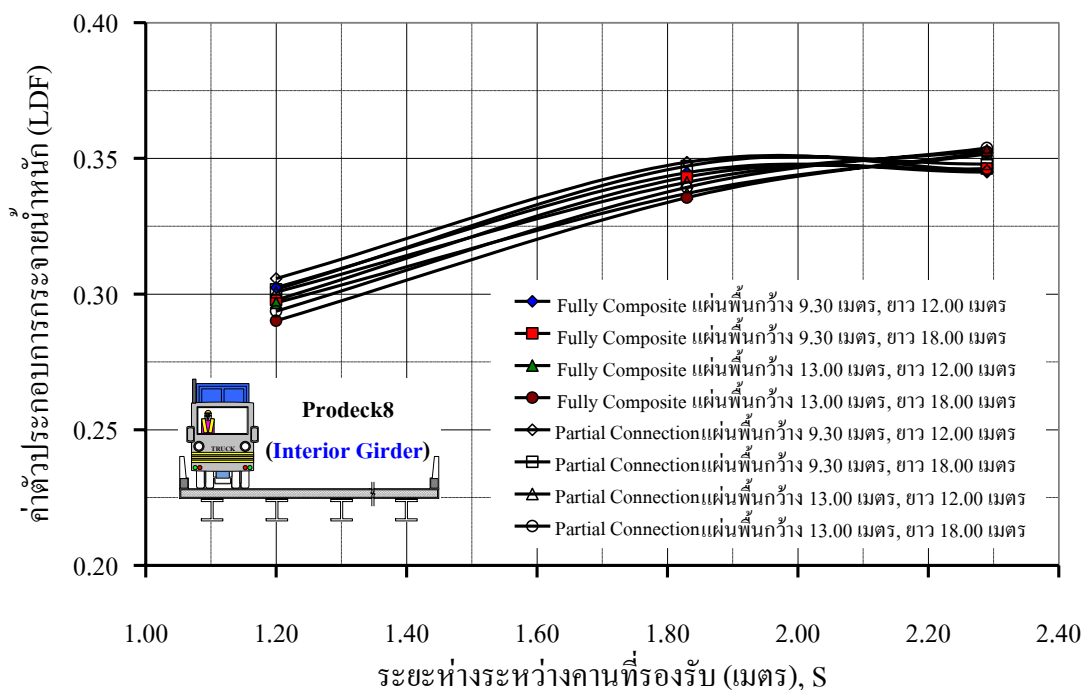
รูปที่ 7.10 ความสัมพันธ์ระหว่างค่า LDF กับ S ของคานที่รองรับด้านนอก (Prodeck4)



รูปที่ 7.11 ความสัมพันธ์ระหว่างค่า LDF กับ S ของคานที่รองรับด้านนอก (Prodeck8)



รูปที่ 7.12 ความสัมพันธ์ระหว่างค่า LDF กับ S ของคานที่รองรับตัวในตัวเรอก (Prodeck4)



รูปที่ 7.13 ความสัมพันธ์ระหว่างค่า LDF กับ S ของคานที่รองรับตัวในตัวเรอก (Prodeck8)

7.4 ความสัมพันธ์ระหว่างค่า LDF กับ S ในรูปแบบสมการประมาณค่าแบบเชิงเส้น

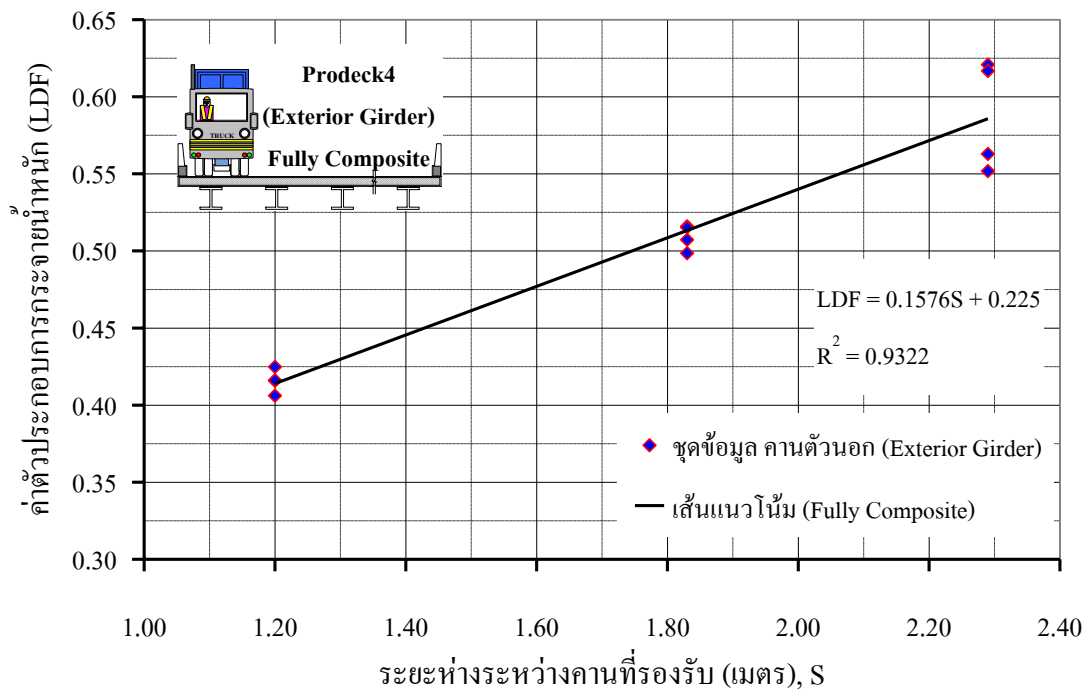
เมื่อนำข้อมูลที่ได้จากการวิเคราะห์ ทั้งแบบจำลองประเภทที่มีพฤติกรรมประกอบอย่างสมบูรณ์ (Fully Composite) และแบบจำลองประเภทที่มีพฤติกรรมเชื่อมต่อบางส่วน (Partial Connection) โดยมีแรงกระทำจากรถบรรทุกกระทำต่อแบบจำลองในกรณีที่ 1 ของแบบจำลองที่มีแผ่นพื้นสะพานประเภท Prodeck4 และ Prodeck8 มาแสดงความสัมพันธ์ระหว่างค่า LDF กับ S เนพาะที่เกิดขึ้นกับคานที่รองรับด้านนอก (Exterior Girder) และคานที่รองรับด้านใน (Interior Girder) ซึ่งเป็นตำแหน่งของคานที่รองรับที่มีค่า LDF มากที่สุดนั้น เพื่อจะแสดงความสัมพันธ์ดังกล่าวในรูปแบบของสมการประมาณค่าที่เกี่ยวเนื่องกับการวิเคราะห์แบบจำลองแต่ละรูปแบบในลักษณะเชิงเส้น

ทั้งนี้การนำเสนอความสัมพันธ์ระหว่าง LDF กับ S ในรูปแบบของสมการประมาณค่าแบบเชิงเส้นจะกล่าวเบื้องต้นด้วยกัน โดยแบ่งแยกแต่ละส่วนจากการรวมชุดของข้อมูลที่ได้จากการวิเคราะห์แบบจำลองแต่ละประเภท ดังนี้

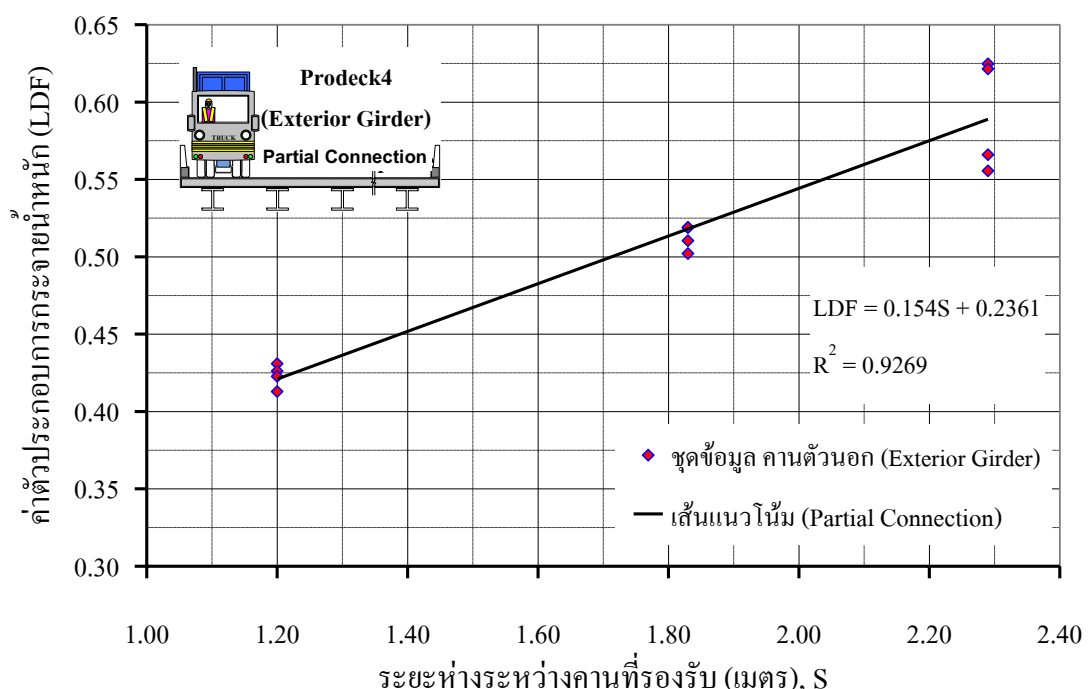
1) ความสัมพันธ์ระหว่าง LDF กับ S ตามลำดับของการวิเคราะห์แบบจำลองที่ผ่านมาซึ่งชุดข้อมูลแต่ละชุดที่แสดงความสัมพันธ์แบบรูปแบบของการวิเคราะห์ (แบบจำลองประเภทที่มีพฤติกรรมประกอบอย่างสมบูรณ์ และแบบจำลองประเภทที่มีพฤติกรรมเชื่อมต่อบางส่วน), ประเภทของหน้าตัดของแบบจำลอง (Prodeck4 และ Prodeck8) และตำแหน่งของคานที่รองรับที่เกิดค่า LDF มากที่สุดและมากในลำดับถัดมา ซึ่งได้แก่ คานที่รองรับด้านนอกและด้านในตามลำดับ ถูกแสดงในรูปที่ 7.14 ถึง 7.17 (รูปทั้งหมดแสดงในภาคผนวก ง) และรวมผลทั้งหมดในส่วนนี้ไว้ในตารางที่ 7.4

2) ความสัมพันธ์ระหว่าง LDF กับ S โดยการรวมชุดข้อมูลที่ได้จากการวิเคราะห์แบบจำลองประเภทที่มีพฤติกรรมประกอบอย่างสมบูรณ์และแบบจำลองประเภทที่มีพฤติกรรมเชื่อมต่อบางส่วนเข้าด้วยกัน ตลอดจนรวมชุดข้อมูลที่ได้จากการวิเคราะห์ประเภทของหน้าตัดที่แตกต่างกัน (Prodeck4 และ Prodeck8) ยกเว้นตำแหน่งของคานที่รองรับที่เกิดค่า LDF มากที่สุด และมากรองลงมา ถูกแสดงในรูปที่ 7.18 ถึง 7.19 (รูปทั้งหมดแสดงในภาคผนวก ง) และรวมผลทั้งหมดในส่วนนี้ไว้ในตารางที่ 7.5

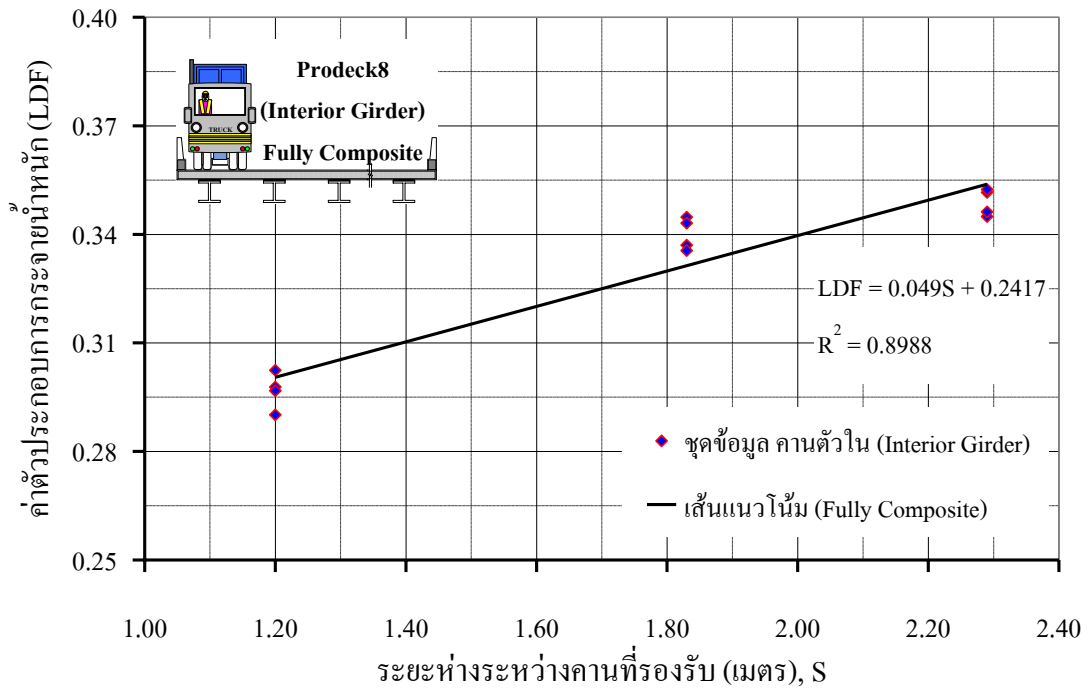
(หมายเหตุ ในการนำเสนอจะใช้สัญลักษณ์ “ได้แก่” Fully Composite สัญลักษณ์คือ FC, Partial Connection สัญลักษณ์คือ PC, Prodeck4 สัญลักษณ์คือ PD4, Prodeck8 สัญลักษณ์คือ PD8, Exterior Girder สัญลักษณ์คือ Ext-G และ Interior Girder สัญลักษณ์คือ Int-G)



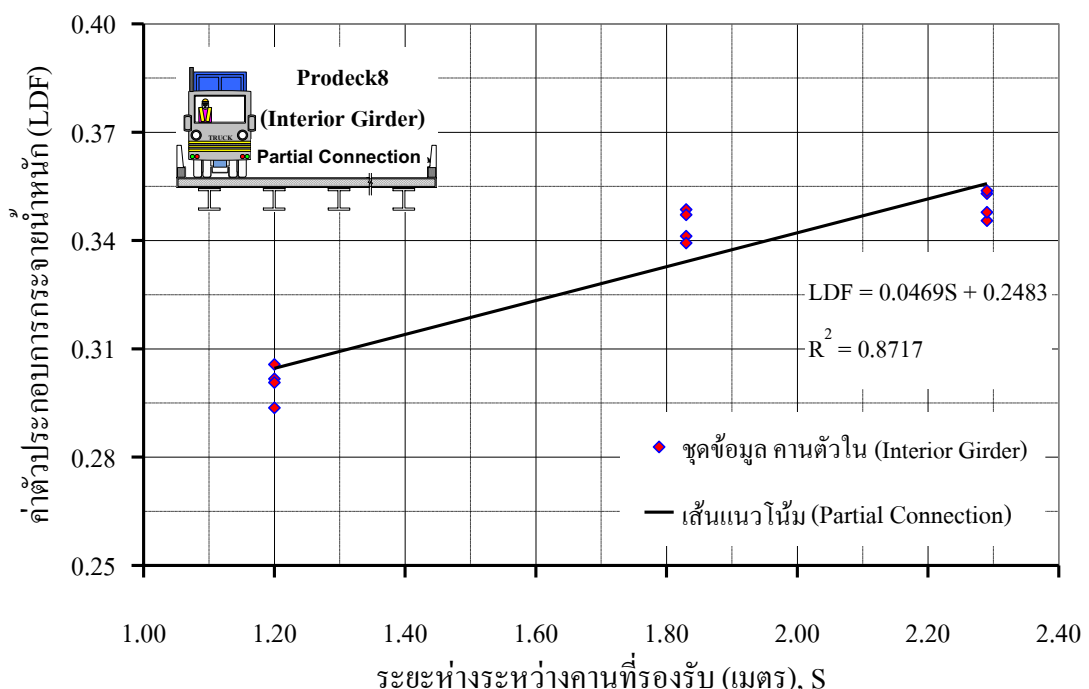
รูปที่ 7.14 ความสัมพันธ์ระหว่าง LDF กับ S (Ext-G, PD4, FC)



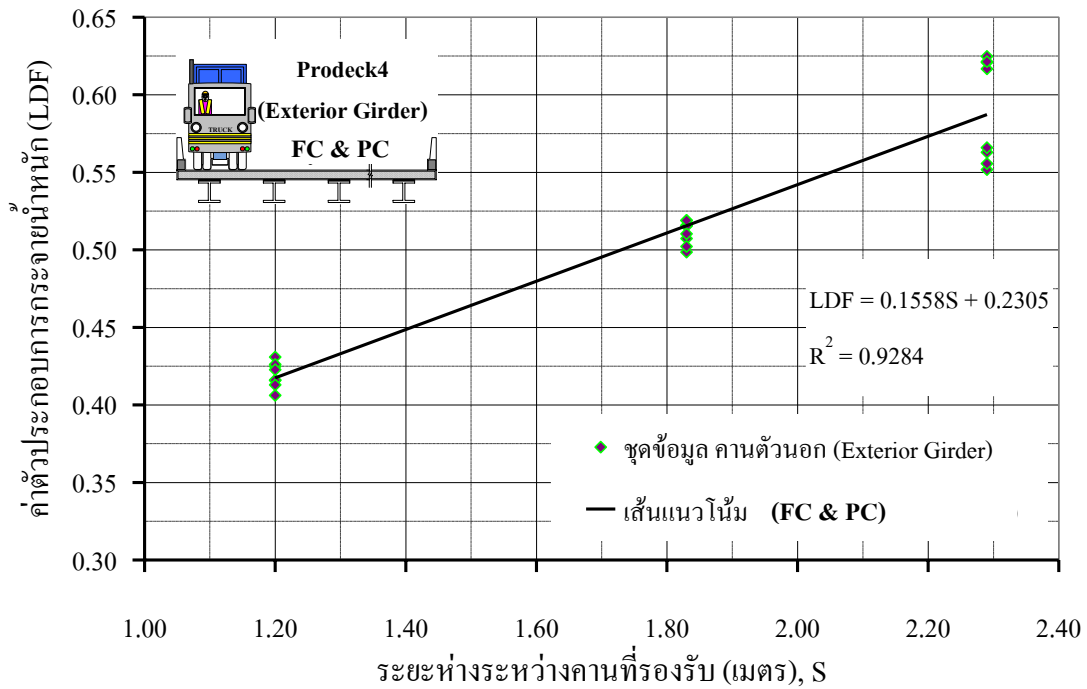
รูปที่ 7.15 ความสัมพันธ์ระหว่าง LDF กับ S (Ext-G, PD4, PC)



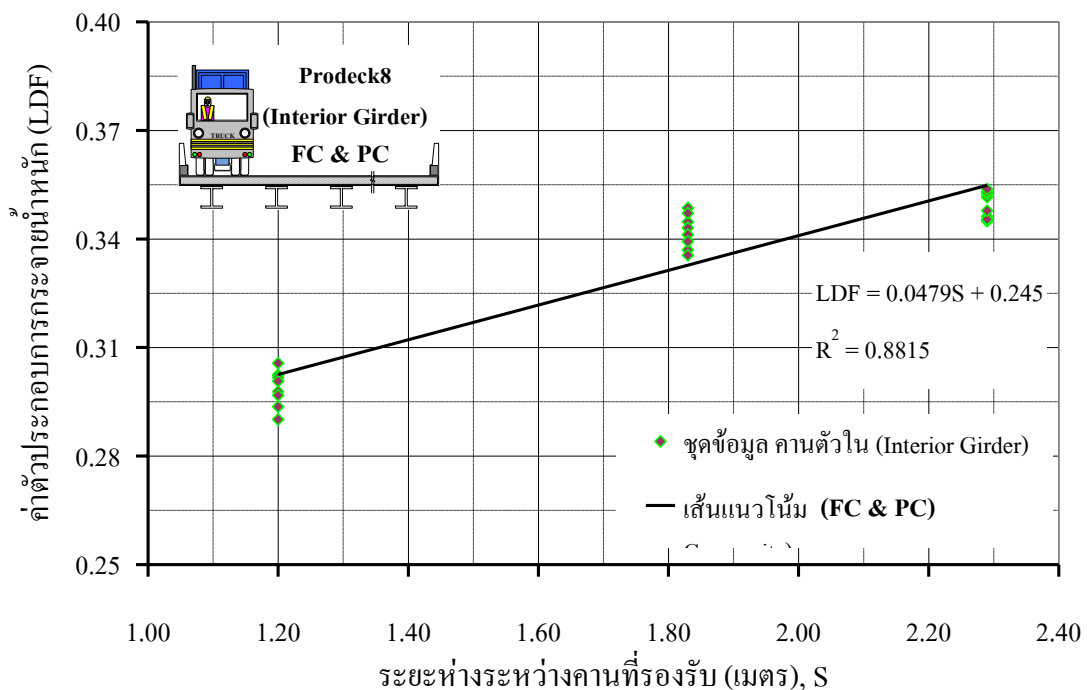
รูปที่ 7.16 ความสัมพันธ์ระหว่าง LDF กับ S (Int-G, PD8, FC)



รูปที่ 7.17 ความสัมพันธ์ระหว่าง LDF กับ S (Int-G, PD8, PC)



รูปที่ 7.18 ความสัมพันธ์ระหว่าง LDF กับ S (Ext-G, PD4, FC+PC)



รูปที่ 7.19 ความสัมพันธ์ระหว่าง LDF กับ S (Int-G, PD8, FC+PC)

ตารางที่ 7.4 ความสัมพันธ์ระหว่างค่า LDF กับ S ในรูปแบบของสมการเชิงเส้น (ส่วนที่ 1)

หน้าตัดแผ่นพื้นประเภท		Fully Composite		Partial Connection	
		LDF	R ²	LDF	R ²
Prodeck4	คานตัวนอก	0.1576S + 0.2250	0.9322	0.1540S + 0.2361	0.9269
	คานตัวใน	0.0594S + 0.2477	0.7919	0.0581S + 0.2506	0.7566
Prodeck8	คานตัวนอก	0.1556S + 0.2155	0.9462	0.1546S + 0.2221	0.9437
	คานตัวใน	0.0490S + 0.2417	0.8988	0.0469S + 0.2483	0.8717
Prodeck(4&8)	คานตัวนอก	0.1566S + 0.2202	0.9316	0.1543S + 0.2291	0.9276
	คานตัวใน	0.0542S + 0.2447	0.6815	0.0525S + 0.2494	0.6720

ตารางที่ 7.5 ความสัมพันธ์ระหว่างค่า LDF กับ S ในรูปแบบของสมการเชิงเส้น (ส่วนที่ 2)

หน้าตัดแผ่นพื้นประเภท		Fully Composite & Partial Connection	
		LDF	R ²
Prodeck4	คานตัวนอก	0.1558S + 0.2305	0.9284
	คานตัวใน	0.0587S + 0.2491	0.7741
Prodeck8	คานตัวนอก	0.1551S + 0.2188	0.9439
	คานตัวใน	0.0479S + 0.2450	0.8815
Prodeck(4 & 8)	คานตัวนอก	0.1555S + 0.2247	0.9285
	คานตัวใน	0.0533S + 0.2471	0.6760

จากตารางที่ 7.4 และ 7.5 ซึ่งเป็นตารางแสดงรูปแบบของสมการประมาณค่าแบบเชิงเส้น (Linear Regression) โดยนำชุดข้อมูลต่างๆจากการวิเคราะห์แบบจำลองแต่ละประเภทที่แบ่งเป็นสองส่วนดังกล่าวมาแล้วข้างต้น โดยสมการประมาณค่าแบบเชิงเส้นแต่ละสมการจะมีค่า Multiple Coefficient of Determination (R²) ซึ่งจะเป็นค่าที่แสดงให้ทราบว่าความสัมพันธ์ระหว่างตัวแปรอิสระและตัวแปรตามมีความสอดคล้องกันมากน้อยเพียงใด โดยตัวแปรอิสระและตัวแปรตามในที่นี้ได้แก่ ค่าระยะห่างระหว่างคานที่รองรับ และค่าตัวประกอบการกระจายน้ำหนัก (S และ LDF) ตามลำดับ ทั้งนี้ในกรณีที่ค่า R² มีค่าเข้าใกล้ 1 แสดงว่าตัวแปรอิสระมีอิทธิพลต่อตัวแปรตามอย่างมาก

อาจกล่าวได้ว่าค่า Multiple Coefficient of Determination (R^2) เป็นค่าที่แสดงให้เห็นว่า สมการประมาณค่าแบบเชิงเส้นที่ได้มานีความใกล้เคียงหรือสอดคล้องกับชุดข้อมูลที่นำมาวิเคราะห์ หากสมการประมาณค่าแบบเชิงเส้นนั้น มากน้อยเพียงใด ในกรณีที่ค่า R^2 มีค่าเข้าใกล้ 1 แสดงว่า สมการประมาณค่าแบบเชิงเส้นกับชุดข้อมูล มีความใกล้เคียงกันดี (มีความคลาดเคลื่อนน้อย) อย่างเช่นจากรูปที่ 7.18 และ 7.19 ที่มีค่า R^2 เท่ากับ 0.9284 และ 0.8815 ตามลำดับ พบว่า เส้นตรงกับชุดข้อมูลในรูปที่ 7.18 มีระห่ำห่างโดยเฉลี่ยระหว่างเส้นตรงกับชุดข้อมูลน้อยกว่า ระห่ำห่างโดยเฉลี่ยระหว่างเส้นตรงกับชุดข้อมูลในรูปที่ 7.19 ส่งผลให้ค่า R^2 มีค่าที่แตกต่างกัน

ดังนั้นจากตารางที่ 7.4 และ 7.5 พบว่า สมการการประมาณค่าแบบเชิงเส้นที่เกิดมาจากชุดข้อมูลที่วิเคราะห์มาจากแบบจำลองที่มีพุทธิกรรมประกอบอย่างสมบูรณ์ มีความสอดคล้องกันมากกว่า สมการการประมาณค่าแบบเชิงเส้นที่เกิดมาจากชุดข้อมูลที่วิเคราะห์มาจากแบบจำลองที่มีพุทธิกรรมเชื่อมต่อบางส่วน เนื่องจากมีค่า R^2 ที่มากกว่าหรือเข้าใกล้ 1 มากกว่า และยังพบอีกว่า สมการการประมาณค่าแบบเชิงเส้นที่เกิดมาจากการประมาณค่าแบบเชิงเส้นที่เกิดมาจากการตัวใน รวมถึงชุดข้อมูลของแผ่นพื้นประเภท Prodeck8 ให้สมการการประมาณค่าแบบเชิงเส้นที่สอดคล้องใกล้เคียงกับชุดข้อมูลกันดีกว่า สมการการประมาณค่าแบบเชิงเส้นที่เกิดจากชุดข้อมูลของแผ่นพื้นประเภท Prodeck4 ด้วยเหตุผลเดียวกันกับที่กล่าวมาข้างต้น

เพราจะนั้น สามารถสรุปได้ว่า การนำสมการการประมาณค่าแบบเชิงเส้นจากตารางที่ 7.4 และ 7.5 ไปใช้ ควรพิจารณาจากค่า R^2 นอกจากนี้ ส่วนสำคัญที่ต้องพิจารณาร่วมคือ ประเภทของสะพานและคานที่รองรับ ซึ่งมีผลต่อค่า LDF ทั้งสิ้น และยังส่งผลให้รูปแบบของสมการ การประมาณค่าแบบเชิงเส้นมีความแตกต่างกันอีกด้วย ดังจะกล่าวในหัวข้อต่อไป เกี่ยวกับ ความสัมพันธ์ระหว่างค่า LDF กับ S ที่ถูกศึกษาโดยนักวิจัยท่านอื่นๆ ในรูปแบบที่แตกต่างกัน

7.5 ความสัมพันธ์ระหว่างค่า LDF กับ S ของนักวิจัยท่านอื่นๆ (เฉพาะสะพานที่มีพื้นสะพานเป็น FRP และรองรับด้วยคานเหล็ก) และงานวิจัยนี้

ในบทที่ 2 ได้ทำการศึกษาทบทวนต่างๆที่เกี่ยวข้องเพื่อนำมาใช้ในการวิจัยครั้งนี้ โดยบทความส่วนหนึ่ง Luo (2003), Tunner (2004), Salim (2006), Zhang (2006), Moses (2006) และ Liu (2008) ได้นำเสนอถึงความสัมพันธ์ระหว่างค่าตัวประกอบการกระจายน้ำหนัก (LDF) กับระยะห่างระหว่างคานที่รองรับ (S) จากรูปแบบของการวิเคราะห์ที่แตกต่างกัน ได้แก่ การวิเคราะห์จากการทดสอบสะพานจริงในภาคสนามและในห้องปฏิบัติการ รวมถึงการวิเคราะห์โดยไฟไนท์อิเมนต์ โดยรูปแบบการวิเคราะห์ที่กล่าวมามีลักษณะที่เหมือนกันคือ สะพานหรือแบบจำลองของสะพานมีแผ่นพื้นเป็นแผ่นพื้นพอลิเมอร์เสริมกำลังด้วยเส้นใยและถูกรองรับด้วยคานหรือแบบจำลองของคานที่เป็นเหล็ก

ดังนั้น ในหัวข้อนี้ ได้นำความสัมพันธ์ระหว่างค่า LDF กับ S ที่ถูกแสดงโดยนักวิจัยตามที่กล่าวมา ได้แก่ Luo (2003), Tunner (2004), Salim (2006), Zhang (2006), Moses (2006) และ Liu (2008) เพื่อแสดงให้เห็นถึงความแตกต่างระหว่างค่า LDF เนื่องมาจากความแตกต่างของรูปแบบของแผ่นพื้นพอลิเมอร์เสริมกำลังด้วยเส้นใย รวมถึงประเภทและขนาดของคานเหล็กที่รองรับ ตลอดจนทำการเปรียบเทียบผลดังกล่าวกับการวิจัยนี้รวมถึงนำเสนอสมการการประมาณค่าแบบเชิงเส้นเพื่อใช้เป็นแนวทางในการวิเคราะห์และออกแบบคานเหล็กที่รองรับพื้นสะพานพอลิเมอร์เสริมกำลังด้วยเส้นใย ในเบื้องต้นต่อไป

โดยค่าจาก การวิเคราะห์ของนักวิจัยที่กล่าวมา แสดงในตารางที่ 7.6 พบว่าค่า LDF มีความแตกต่างกันเนื่องด้วยระยะห่างระหว่างคานที่รองรับและประเภทของแผ่นพื้นพอลิเมอร์เสริมกำลังด้วยเส้นใยมีความแตกต่างกัน หรือในกรณีที่แผ่นพื้นสะพานเป็นประเภทเดียวกันและมีระยะห่างระหว่างคานที่รองรับเท่ากันยังมีค่า LDF ที่แตกต่างกันได้ อย่างเช่น ผลการวิเคราะห์ค่า LDF ของ Tunner (2004) และ Moses (2006) ที่มีแผ่นพื้นพอลิเมอร์เสริมกำลังด้วยเส้นใยแก้วมีหน้าตัดแบบคงหมู่ (GFRP (Trapazoidal)) เมื่อนอกัน และมีระยะห่างระหว่างคานที่รองรับเท่ากัน ($S = 2.440$ เมตร) ยังมีค่า LDF ที่แตกต่างกัน (Tunner (2004) และ Moses (2006) วิเคราะห์ค่า LDF จากการทดสอบจริงในภาคสนาม ซึ่งสะพานที่ถูกทดสอบเป็นสะพานชุดเดียวกัน แต่ทำการทดสอบในช่วงระยะเวลาที่ต่างกัน) และจากข้อมูลทั้งหมดในตารางที่ 7.6 เมื่อนำไปแสดงในรูปแบบความสัมพันธ์ระหว่างค่า LDF กับ S และรูปแบบสมการประมาณค่าแบบเชิงเส้นดังแสดงในรูปที่ 7.20 และเมื่อรวมชุดข้อมูลจากนักวิจัยท่านอื่นๆ (ตารางที่ 7.6) กับชุดข้อมูลจากการวิจัยในครั้งนี้ (ตารางที่ 6.6 และ 6.12 เฉพาะคานตัวอกร) เพื่อแสดงความสัมพันธ์ระหว่างค่า LDF กับ S และสมการประมาณค่าแบบเชิงเส้น ดังแสดงในรูปที่ 7.21

ตารางที่ 7.6 สรุปประเมินเพิ่มผลการศึกษาความสามพันธ์ระหว่างค่า LDF กับระบบทะแหน่งห่วงคานที่รองรับ (S) ของสะพานที่มีแผ่นสังกะป์ FRP รองรับ
ด้วยคานหลัก

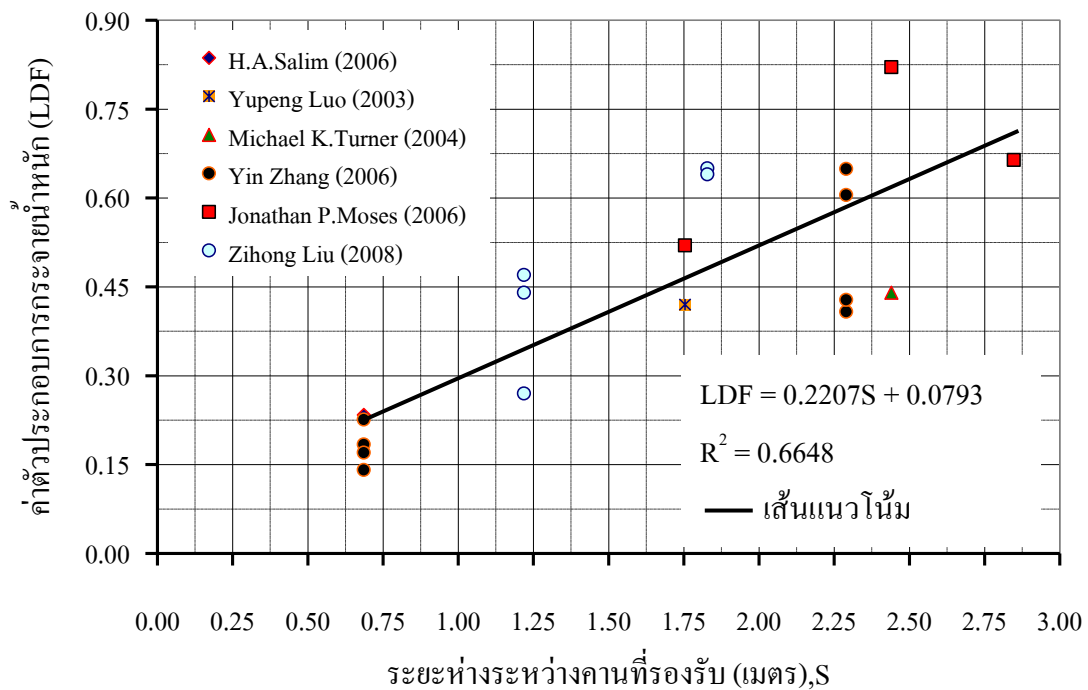
ที่	ผู้วิจัย	โครงสร้างแผ่นพื้น (FRP Deck Type)	คานหลัก (Steel Girder)	ตำแหน่งคาน	ระยะห่าง (S) (เมตร)	ค่า LDF	สมการ	หมายเหตุ
			ที่รองรับ			LDF	(เรียบรวม)	
1	Saim (2006)	Honey Comb	14-W24x55	คานตัวนองก	0.686	0.234	S/2931	ภาคต้นนาม
2	Luo (2003)	MMC	5-W24x104	คานตัวนองก	1.754	0.42	S/4176	ภาคต้นนาม
3	Tunner (2004)	GFRP (Trapazoidal)	5-W36x150	คานตัวนองก	2.44	0.44	S/5545	ภาคต้นนาม
4	Zhang (2006)	Honey Comb	14-W21x68	คานตัวไน	0.686	0.226	S/3035 (max.)	ห้องปฏิบัติการ
				คานตัวไน	0.686	0.184		ไฟน์ทริมเมต
				คานตัวนองก	0.686	0.17	S/4035 (min.)	ไฟน์ทริมเมต
				คานตัวนองก	0.686	0.141		ห้องปฏิบัติการ
			5-W36x232	คานตัวนองก	2.29	0.649	S/3529 (max.)	ไฟน์ทริมเมต
				คานตัวไน	2.29	0.605		ไฟน์ทริมเมต
				คานตัวนองก	2.29	0.408	S/5613 (min.)	ไฟน์ทริมเมต
				คานตัวนองก	2.29	0.428		ไฟน์ทริมเมต

หมายเหตุ: สมการ $LDF = S / (\text{ค่าคงที่})$ โดย S มีหน่วยมิลลิเมตร

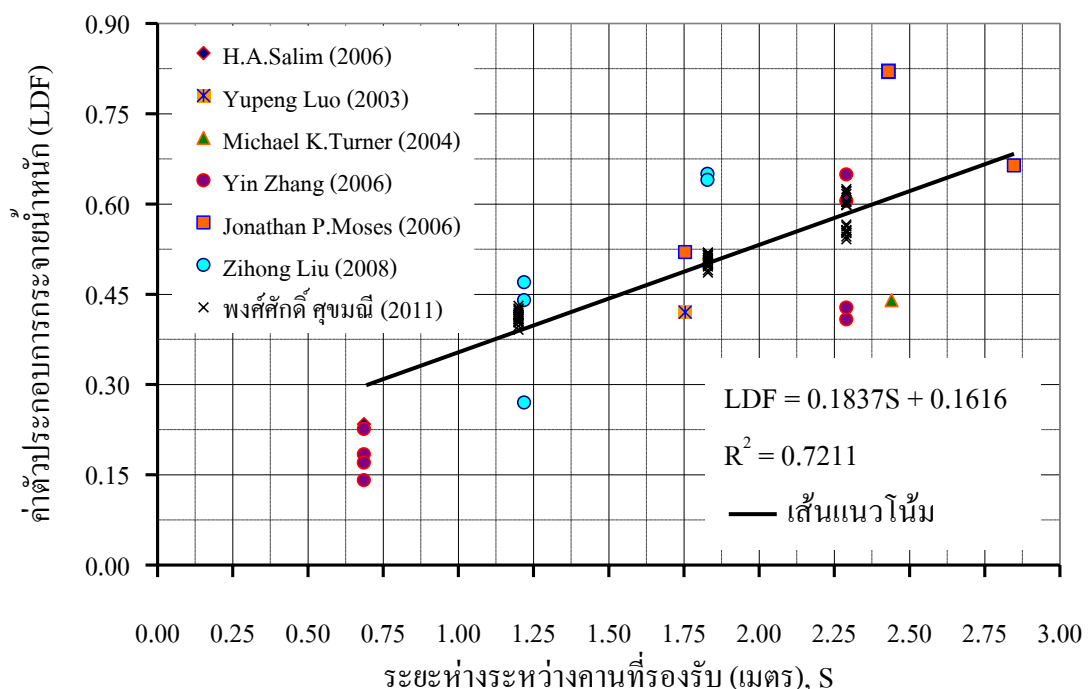
ตารางที่ 7.6 (ต่อ) สรุปประเมินเพิ่มผลการศึกษาความสมมพน์รัฐระหว่างค่า LDF กับระยะห่างระหว่างคานที่ร่องรับ (S) ของสะพานทึบพื้น FRP รองรับด้วยคานเหล็ก

ที่	ผู้วิจัย	โครงสร้างพื้น (FRP Deck Type)	คานเหล็ก (Steel Girder)	ตำแหน่งคาน ที่ร่องรับ	ระยะห่าง (S) (เมตร)	ค่า LDF	สมการ	หมายเหตุ (รีซิวคราฟท์)
5	Moses (2006)	GFRP (Trapazoidal)	4-W36x260	คานตัวนองก	2.847	0.664	S/4288	ภาคต้น梁
			5-W24x104	คานตัวนองก	1.754	0.52	S/3373	ภาคต้น梁
6	Liu (2008)	Strongwell	5-W36x150	คานตัวนองก	2.44	0.821	S/2972	ภาคต้น梁
			6-W14x34	คานตัวไน	1.2192	0.47	S/2594 (max.)	ห้องปฏิบัติการ
				คานตัวนองก	1.2192	0.27	S/4516 (min.)	ห้องปฏิบัติการ
				คานตัวนองก	1.2192	0.44		ห้องปฏิบัติการ
			W24x99	คานตัวนองก	1.8288	0.65	S/2814	ไฟเบอร์กลาสติก
				คานตัวนองก	1.8288	0.64		ไฟเบอร์กลาสติก

หมายเหตุ: สมการ $LDF = S / (\text{ค่าคงที่})$ โดย S เป็นหน่วยเมตร

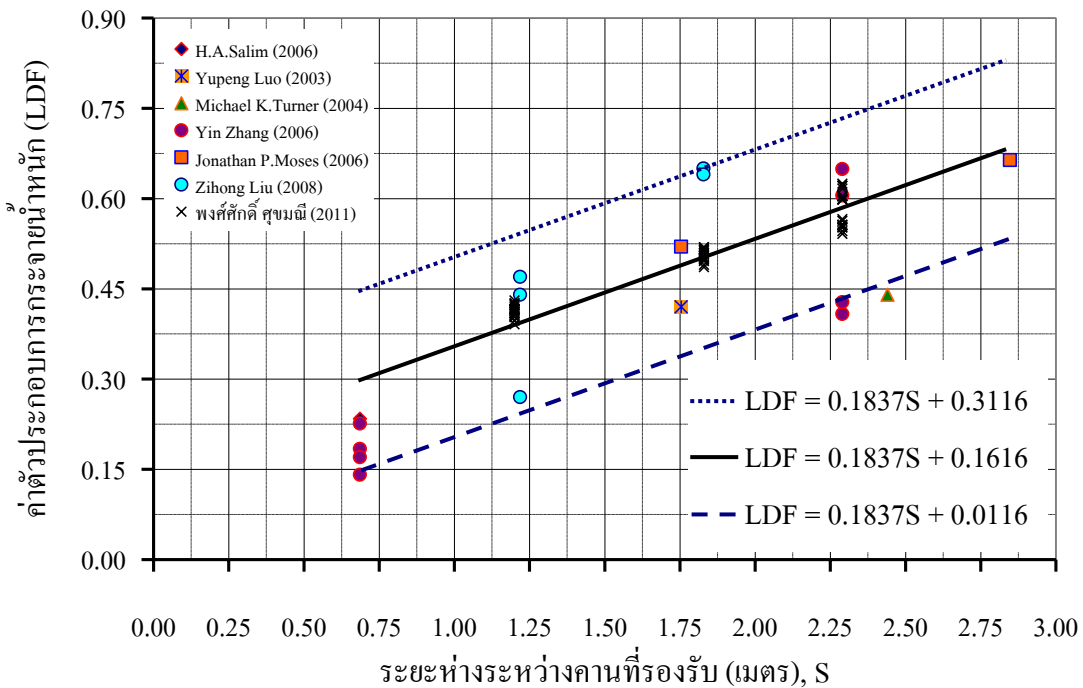


รูปที่ 7.20 ความสัมพันธ์ระหว่าง LDF กับ S (จากตารางที่ 7.6)



รูปที่ 7.21 เส้นแนวโน้มของความสัมพันธ์ระหว่าง LDF กับ S (จากตารางที่ 7.6, 6.6 และ 6.12)

จากรูปที่ 7.20 พบร่วมชุดข้อมูลมีการกระจายตัวมาก และเมื่อนำชุดข้อมูลมาหาความสัมพันธ์ในรูปแบบสมการประมาณค่าแบบเชิงเส้น รูปแบบของสมการประมาณค่าแบบเชิงเส้นคือ $LDF = 0.2207S + 0.0793$ และมีค่า $R^2 = 0.6648$ ซึ่งแสดงว่าสมการประมาณค่าแบบเชิงเส้นที่วิเคราะห์ได้มาจากชุดข้อมูลจากตารางที่ 7.6 มีความสัมพันธ์ที่ดี (R^2 มีค่าอยู่ระหว่าง 0.50 ถึง 0.80) และเมื่อร่วมชุดข้อมูลจากนักวิจัยท่านอื่นๆ (ตารางที่ 7.6) กับชุดข้อมูลจากการวิจัยในครั้งนี้ (ตารางที่ 6.6 และ 6.12) เพื่อแสดงความสัมพันธ์ระหว่างค่า LDF กับ S และสมการประมาณค่าแบบเชิงเส้น (เส้นทึบ) ดังแสดงในรูปที่ 7.21 รูปแบบสมการประมาณค่าแบบเชิงเส้นคือ $LDF = 0.1837S + 0.1616$ และมีค่า $R^2 = 0.7211$ ซึ่งแสดงถึงความสัมพันธ์ที่ดีเช่นกัน ส่วนเส้นประทั้งสองเส้นในรูปที่ 7.22 เกิดจากการเลื่อนเส้นทึบหรือเส้นแนวโน้มในรูปที่ 7.21 ขึ้นและลงจากแนวเดิมเป็นระยะเท่ากับ 0.15 ในแนวแกนของค่า LDF และสังเกตเห็นว่า ข้อมูลส่วนใหญ่อยู่ระหว่างเส้นประทั้งสอง โดยสมการของเส้นประทั้งสอง ได้แก่ เส้นประเด็นนนี้และเส้นประเด็นล่างคือ $LDF = 0.1837S + 0.3116$ และ $LDF = 0.1837S + 0.0116$ ตามลำดับ



รูปที่ 7.22 ความสัมพันธ์ระหว่าง LDF กับ S (ข้อมูลจากตารางที่ 6.6, 6.12 และ 7.6)

พบว่า ข้อมูลส่วนใหญ่ (ประมาณกว่า 90 เปอร์เซ็นต์) อยู่ระหว่างเส้นประทั้งสองหรืออาจล่าว่าได้ว่า สมการของเส้นประเส้นบนและเส้นประเส้นล่าง สามารถที่จะใช้เป็นแนวทางเบื้องต้นในการประมาณค่า LDF ที่มากที่สุดและน้อยที่สุดสำหรับรูปแบบของสะพานที่มีแผ่นพื้นเป็นพอลิเมอร์เสริมกำลังด้วยเส้นใยและรองรับด้วยคานเหล็ก ที่ระบุห่างระหว่างคานที่รองรับมีความแตกต่างกันได้

ทั้งนี้สมการประมาณค่าแบบเชิงเส้นที่เหมาะสมต่อการใช้งานที่วิเคราะห์หาค่า LDF ใน การวิจัยนี้ รวมถึงที่ถูกวิเคราะห์โดยนักวิจัยท่านอื่นๆ (Luo (2003), Tunner (2004), Salim (2006), Zhong (2006), Moses (2006) และ Liu (2008)) ถูกนำเสนอดังแสดงในตารางที่ 7.7

ตารางที่ 7.7 สรุปสมการประมาณค่าแบบเชิงเส้น

ลำดับที่	ผู้วิจัย	ประเภทแผ่นพื้น	LDF
1	Salim (2006)	Honey Comb	S/2931
2	Luo (2003)	MMC	S/4176
3	Turner (2004)	GFRP (Trapazoidal)	S/5545
4	Zhang (2006)	Honey Comb	S/5613 (Min.)
			S/3529 (Max.)
5	Moses (2006)	GFRP (Trapazoidal)	S/3373
			S/4288
6	Liu (2008)	Strongwell	S/2814
เมื่อรวมผลจากข้อมูลจากลำดับที่ 1 ถึง 6 (รูปที่ 7.20)			0.2207S+0.0793
7	พงศ์ศักดิ์ ศุภวนี (2011)	Prodeck4 and Prodeck8	0.1555S+0.2247 (Ext-G)
			0.0533S+0.2471 (Int-G)
เมื่อรวมผลจากข้อมูลจากลำดับที่ 1 ถึง 7 (รูปที่ 7.22)			
8	ลำดับที่ 1 - 7 (เส้นทึบ)	For All (FRP-Deck with Steel Girder)	0.1837S+0.1616
9	Upper Limit (เส้นประบน)		0.1331S+0.3116
10	Lower Limit (เส้นประล่าง)		0.1331S+0.0116

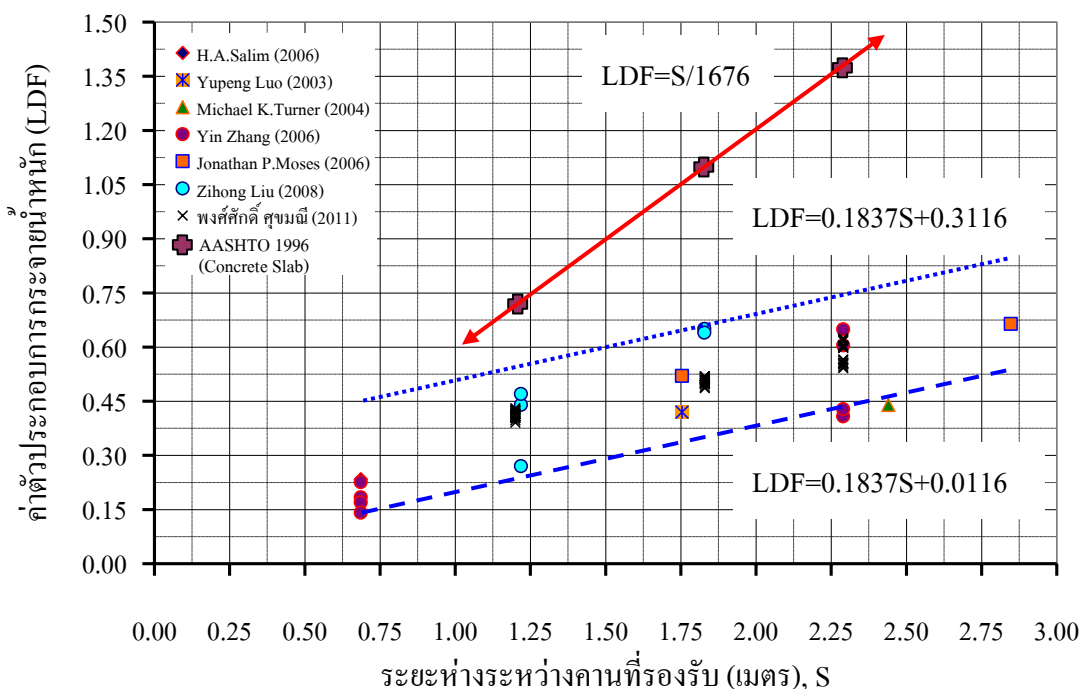
ลำดับที่ 1 ถึง 6 ใช้หน่วยมิลลิเมตร และ 7 ถึง 10 ใช้หน่วยเมตร

จากตาราง 7.7 พบว่าสมการสำหรับการประมาณค่า LDF มีความแตกต่างกันตามรูปแบบของแผ่นพื้นสะพาน (สังเกตได้จากสมการในลำดับที่ 1 ถึง 7) ส่วนสมการในลำดับที่ 8 เป็นสมการที่เกิดจากการรวมข้อมูลที่ได้จากนักวิจัยท่านอื่นๆ กับ ข้อมูลที่ได้จากการศึกษาในครั้งนี้ (รูป 7.22 เส้นทึบ) ซึ่งมีค่า $R^2=0.7211$ แสดงให้เห็นว่าข้อมูลทั้งหมดมีการกระจายตัวน้อย (ข้อมูลกับเส้นตรงมีความใกล้เคียงกัน) และจากสมการในลำดับที่ 9 และ 10 (เส้นประบนและล่าง) ซึ่งเป็นการเลื่อนสมการในลำดับที่ 8 ขึ้นและลงเป็นระยะ 0.15 ตามแนวแกนของค่า LDF ดังกล่าวมาข้างต้น ทำให้เส้นประทั้งสองครอบคลุมข้อมูลเกือบทั้งหมด ซึ่งอาจจะใช้สมการของเส้นประทั้งสองเส้นเป็นขอบบน (Upper Boundary) และขอบล่าง (Lower Boundary) ในการพิจารณาเพื่อประมาณค่า LDF สำหรับคานเหล็กที่รองรับและมีแผ่นพื้นเป็นพอลิเมอร์เสริมกำลังด้วยไนโตรเจนตันได้ โดยมีเงื่อนไขในการนำสมการดังกล่าวไปประมาณค่า LDF ดังนี้

- ต้องมีแผ่นพื้นสะพานพอลิเมอร์เสริมกำลังด้วยไนโตรเจนไย Prodeck4, prodeck8, Honey Comb, GFRP (Trapazoidal), MMC และ Strongwell
- ต้องมีคานที่รองรับเป็นเหล็กฐานตัวไอ
- มีระยะห่างระหว่างคานที่รองรับอยู่ระหว่าง 0.686 เมตร ถึง 2.44 เมตร
- ความกว้างของสะพานอยู่ระหว่าง 9.30 เมตร ถึง 13.00 เมตร
- เป็นคานช่วงเดียว มีความยาวอยู่ระหว่าง 4.50 เมตร ถึง 18.00 เมตร

ทั้งนี้เมื่อพิจารณาค่าตัวประกอบการกระจายน้ำหนัก จากสมการ $LDF=S/1676$ (หน่วยมิลิเมตร) ซึ่งเป็นสมการตามมาตรฐานของ AASHTO 1996 ที่ใช้ในการหาค่าตัวประกอบการกระจายน้ำหนักในกรณีที่สะพานมีแผ่นพื้นเป็นคอนกรีตและมีคานรองรับเป็นเหล็ก (Concrete Slab on Steel Girder Bridge) โดยการแทนค่า S เท่ากับ 1200, 1830 และ 2290 และนำค่า LDF ที่ได้แสดงเปรียบเทียบกับค่า LDF ที่ได้จากการวิจัยในครั้งนี้ ซึ่งมีค่าตัวประกอบการกระจายน้ำหนักในกรณีที่สะพานมีแผ่นพื้นเป็น FRP และมีคานรองรับเป็นเหล็ก เพื่อแสดงให้เห็นถึงความแตกต่างระหว่างค่า LDF ในกรณีที่แผ่นพื้นสะพานมีความแตกต่างกัน ดังแสดงในรูปที่ 7.23

พบว่าในรูปที่ 7.23 แสดงให้เห็นถึงความแตกต่างอย่างชัดเจนระหว่างค่าตัวประกอบการกระจายน้ำหนักในกรณีที่สะพานมีแผ่นพื้นเป็นคอนกรีตและมีคานรองรับเป็นเหล็ก กับค่าตัวประกอบการกระจายน้ำหนักในกรณีที่สะพานมีแผ่นพื้นเป็น FRP และมีคานรองรับเป็นเหล็ก ดังนั้นการวิเคราะห์เพื่อหาสมการ LDF จึงขึ้นอยู่กับประเภทของแผ่นพื้นสะพานด้วยประการหนึ่ง ดังกล่าวมาแล้วข้างต้น (บทที่ 6)



รูปที่ 7.23 ความสัมพันธ์ระหว่าง LDF กับ S (จากตารางที่ 6.6, 6.12 และ 7.6 และ AASHTO 1996)

7.6 สรุป (Conclusion)

ผลการศึกษาที่นำเสนอในบทนี้ แสดงให้เห็นว่า นอกจากรูปแบบของแรงกระทำจากถนนทุกและระยะห่างระหว่างคานที่รองรับที่ทำให้ค่า LDF มีค่าสูงแล้ว ประเภทของแผ่นพื้นสะพานพอลิเมอร์เสริมกำลังด้วยเส้นใยที่แตกต่างกัน มีผลต่อค่า LDF เช่นเดียวกัน ซึ่งพิจารณาจากสมการประมาณค่า LDF ที่แตกต่างกัน ดังแสดงในตารางที่ 7.7

เพื่อที่จะประมาณค่า LDF สำหรับคานเหล็กที่รองรับและมีแผ่นพื้นเป็นพอลิเมอร์เสริมกำลังด้วยใย ในเบื้องต้นได้ โดยใช้สมการลำดับที่ 8 จากตารางที่ 7.7 ($LDF = 0.1387S + 0.1616$) ในการประมาณค่า LDF เบื้องต้น และ สมการ $LDF = 0.1387S + 0.3116$ ในการควบคุมค่า LDF ไม่ให้สูงกว่า รวมถึงใช้สมการ $LDF = 0.1387S + 0.0116$ ในการควบคุมค่า LDF ไม่ให้ต่ำกว่า ดังแสดงในรูปที่ 7.22 และตารางที่ 7.7

บทที่ 8 (Chapter 8) สรุปผลการศึกษาและข้อเสนอแนะ (Conclusions and Recommendations)

8.1 บทนำ (Introduction)

จากการวิเคราะห์แบบจำลองที่รับแรงกระทำแบบสถิติศาสตร์ (Static Load) ด้วยไฟไนท์อิลิเมนต์ (Finite Element) โดยแบบจำลองมีแผ่นพื้นแบบพอลิเมอร์เสริมกำลังด้วยเส้นใยชนิดน้ำหนักเบา (Light Weight Fiber Reinforced Polymer Deck) ซึ่งเป็นวัสดุประกอบ (Composite Material) ที่แตกต่างกันสองประเภท ได้แก่ แผ่นพื้นพอลิเมอร์เสริมกำลังด้วยเส้นใยประเภท Prodeck4 และ Prodeck8 และมีรูปแบบทางกายภาพของแบบจำลองที่แตกต่างกัน (แบบจำลองระดับชิ้นส่วนและระดับระบบ รวมถึงแบบจำลองสะพานที่มีทั้งแผ่นพื้นและคานที่รองรับ) ตามวัตถุประสงค์ในการวิจัย ดังผลที่ได้แสดงในบทที่ผ่านมาตามลำดับ (บทที่ 5, บทที่ 6 และ บทที่ 7)

ในบทนี้จะกล่าวถึงผลสรุปทั้งหมดจากศึกษาในครั้งนี้ รวมถึงข้อเสนอแนะเพื่อใช้เป็นแนวทางในการศึกษาในลำดับต่อไป ในภายภาคหน้า

8.2 สรุปผลการศึกษา (Conclusion)

8.2.1 ระดับชิ้นส่วน (Component Level)

จากการทดลองระดับชิ้นส่วนสามารถสรุปได้ว่า คือ

1) ผลตอบสนอง (การโถงตัว Deflection), ความเค้น (Stress) และการยืดหยุ่น (Strain) ที่วิเคราะห์ด้วยไฟไนท์อิลิเมนต์มีค่าน้อยกว่าเมื่อเปรียบเทียบกับผลตอบสนองที่มาจากการทดสอบในห้องปฏิบัติการ (Howard 2002 และ Punyamurthula 2004)

2) ค่าความแข็งเกร็งของการดัด (Flexural Rigidity, EI) ที่คำนวณจากการวิเคราะห์ด้วยไฟไนท์อิลิเมนต์มีค่ามากกว่าค่าความแข็งเกร็งของการดัดที่คำนวณจากการทดสอบของนักวิจัยท่านอื่นๆ (Howard 2002, Punyamurthula 2004 และ Suraj 2005) ทั้งที่คำนวณมาจากความสัมพันธ์ระหว่างน้ำหนักบรรทุกและการโถงตัวที่เกี่ยวกับช่วงความยาว ($P - \delta$) และความสัมพันธ์ระหว่างน้ำหนักบรรทุกและการยืดหยุ่นตามแนวแกน ($P - \kappa$)

3) ค่าความแข็งเกร็งของการดัดของแผ่นพื้นโพลิเมอร์เสริมกำลังด้วยเส้นใยประเภท Prodeck8 มีค่ามากกว่า ค่าความแข็งเกร็งของการดัดของแผ่นพื้นโพลิเมอร์เสริมกำลังด้วยเส้นใยประเภท Prodeck4 ทั้งการวิเคราะห์ตามแนวแกนยาว (Longitudinal) และการวิเคราะห์ตามแนวแกนขวาง (Transverse)

ผลสรุปในข้อ 2) และ 3) ดังแสดงในตารางที่ 8.1

ตารางที่ 8.1 ผลสรุปค่าความแข็งเกร็งของการดัด (Flexural Rigidity, EI)

ประเภท หน้าตัด	รูปแบบ การวิเคราะห์	แรงกระทำ พินติ (kN.)	ค่าความแข็งเกร็งของการดัด (EI) $\times 10^6$ (kN.cm. ²)		
			(P - \div) (P - κ)		
			แนวยาว	แนวยาว	แนวขวาง
Prodeck4	ไฟไนท์อิลิเมนต์	193.90	7.990	9.540	2.793
	*ห้องปฏิบัติการ	187.30	7.850	8.890	2.647
Prodeck8	ไฟไนท์อิลิเมนต์	-	32.555	43.268	6.083
	**ห้องปฏิบัติการ	-	31.067	39.988	5.639

*Punyamurthula 2004, **Howard 2002

8.2.2 ระดับระบบ (System Component)

จากผลการทดลองระดับระบบสามารถสรุปได้ดังนี้ คือ

1) ค่าการโถ่ตัวเฉลี่ย (Average Deflection) ของคานที่รับรับ และค่าการโถ่สัมพัทธ์ (Relative Deflection) ของระบบแผ่นพื้นและคาน ที่วิเคราะห์ด้วยไฟไนท์อิลิเมนต์มีค่าใกล้เคียงกับค่าที่ได้จากการทดสอบในห้องปฏิบัติการ (Howard 2002 และ Punyamurthula 2004)

2) ค่าการโถ่ตัวเฉลี่ย (Average Deflection) ของคานที่รับรับของระบบแผ่นพื้น และคานมีค่าไม่เกินค่าที่ยอมให้ตามมาตรฐาน AASHTO ($\div_{max} | L / 800$)

3) ผลของการบิดทางด้านข้างต่อระบบแผ่นพื้นและคานทำให้ค่าของความเค้นและความเครียดมีค่าเพิ่มขึ้น ส่งผลให้ค่าสติฟเนสมีค่าลดลงและมีผลกับการโถ่ตัวสัมพัทธ์ของระบบแผ่นพื้นและคาน

ผลสรุปในข้อ 2) และ 3) ดังแสดงในตารางที่ 8.2

ตารางที่ 8.2 ผลสรุปค่าการโก่งตัวจากการวิเคราะห์ระดับระบบ (แรงกระทำ 111.25 kN.)

ประเภท หน้าตัด	รูปแบบ การวิเคราะห์	ค่าการโก่งตัว (cm.)	
		ค่านที่รองรับ (เฉลี่ย)	สัมพัทธ์
Prodeck4	ไฟไนท์อิเลิเมนต์	0.0861	1.7478
	*ห้องปฏิบัติการ	0.0857	1.8504
	ค่าที่ยอมให้	0.2500	-
Prodeck8	ไฟไนท์อิเลิเมนต์	0.0870	1.3680
	**ห้องปฏิบัติการ	0.1000	1.3790
	ค่าที่ยอมให้	0.2800	-

*Punyamurthula 2004, **Howard 2002

8.2.3 การศึกษาแบบพารามทริก (Parametric Study)

จากผลการศึกษาแบบพารามทริกสามารถสรุปได้ดังนี้ คือ

- 1) ค่าตัวประกอบการกระจายน้ำหนัก (Load Distribution Factor) ที่คำนวณมาจากค่าการโก่งตัว (Deflection) มีค่ามากกว่าที่คำนวณจากการยึดหยุ่น (Strain)
- 2) ค่าตัวประกอบการกระจายน้ำหนัก เกิดขึ้นมากสุดในกรณีที่แรงกระทำจากรถบรรทุกกระทำต่อแบบจำลองสะพานในกรณีที่ 1
- 3) แบบจำลองที่มีพื้นสะพานประเภท Prodeck4 มีค่าตัวประกอบการกระจายน้ำหนักมากกว่าแบบจำลองที่มีพื้นสะพานประเภท Prodeck8
- 4) ค่าตัวประกอบการกระจายน้ำหนัก เกิดที่คานตัวนอก (Exterior Girder) มีค่ามากกว่าค่าตัวประกอบการกระจายน้ำหนัก ที่เกิดกับคานตัวใน (Interior Girder)
- 5) สำหรับหน้าตัดของแบบจำลองที่เหมือนกัน ค่าตัวประกอบการกระจายน้ำหนัก เกิดขึ้นกับแบบจำลองที่มีความยาว 12.00 เมตร มีค่ามากกว่าค่าตัวประกอบการกระจายน้ำหนัก ที่เกิดขึ้นกับแบบจำลองที่มีความยาว 18.00 เมตร
- 6) เมื่อแบบจำลองมีความยาวของแบบจำลองคงที่ ในขณะที่ความกว้างของแบบจำลองเพิ่มขึ้น (เช่น CS1 กับ CS4) แบบจำลองที่มีความกว้าง 9.30 เมตร มีค่าตัวประกอบการกระจายน้ำหนัก มากกว่าแบบจำลองที่มีความกว้าง 13.00 เมตร
- 7) แบบจำลองที่มีระยะห่างระหว่างคานที่รองรับเท่ากับ 2.29 เมตร จะมีค่าตัวประกอบการกระจายน้ำหนัก มากกว่าแบบจำลองที่มีระยะห่างระหว่างคานที่รองรับเท่ากับ 1.83

เมตร และแบบจำลองที่มีระยะห่างระหว่างคานที่รองรับเท่ากับ 1.20 เมตร จะมีค่าตัวประกอบการกระจายน้ำหนัก น้อยที่สุด เมื่อความกว้างและความยาวของแบบจำลองคงที่

8) ค่าตัวประกอบการกระจายที่วิเคราะห์มาจากการแบบจำลองที่มีพฤติกรรมประกอบบางส่วน (Partial Composite) มีค่ามากกว่าค่าตัวประกอบการกระจายที่วิเคราะห์มาจากการแบบจำลองที่มีพฤติกรรมประกอบอย่างสมบูรณ์ (Fully Composite)

9) โปรแกรม SPSS16 แสดงให้เห็นว่าปัจจัยที่มีผลต่อค่าตัวประกอบการกระจายน้ำหนักมากที่สุดคือ ระยะห่างระหว่างคานที่รองรับ (Girder Spacing, S)

10) ค่าตัวประกอบการกระจายน้ำหนักสำหรับสะพานที่มีแผ่นพื้นเป็นพอลิเมอร์เสริมกำลังด้วยเส้นใยและรองรับด้วยคานเหล็ก (FRP Deck – Steel Stringer Bridge) มีความแตกต่างกันขึ้นอยู่กับประเภทของแผ่นพื้น

8.3 ข้อเสนอแนะ (Recommendations)

มีข้อเสนอแนะ ดังต่อไปนี้

1) การศึกษาในครั้งนี้เป็นการศึกษาด้วยไฟไนท์อิเลิเมนต์เท่านั้น แล้วนำผลที่ได้ไปเปรียบเทียบกับผลการวิจัยของนักวิจัยท่านอื่นๆ ซึ่งผลที่ได้จากการศึกษาด้วยไฟไนท์อิเลิเมนต์มีความแตกต่างกันกับการทดสอบจริง เนื่องจาก การทดสอบจริงมีปัจจัยอื่นๆ มีที่ผลต่อค่าตอบสนองอย่างเช่น การเข้มต่อหรือติดตั้งระบบแผ่นพื้นสะพานหรือชิ้นตัวอย่าง เครื่องมือหรืออุปกรณ์ต่างๆ ในการอ่านและบันทึกผลตอบสนอง หรือแม้กระทั่งความพร้อมของผู้สังเกตและทำการบันทึกข้อมูลต่างๆ

2) ผลการวิเคราะห์ที่ได้นี้ โดยแบบจำลองรับแรงกระทำแบบสถิติศาสตร์ (Static Load) เท่านั้น แล้วคำนวณหาค่าตัวประกอบการกระจาย ซึ่งการใช้งานจริงสะพานจะรับแรงทั้งแบบสถิติศาสตร์ และแรงแบบพลศาสตร์ (Dynamic Load) รวมถึงแรงแบบกระทำชำเรา (Fatigue Load)

បររាយាណ្តកម

(Reference)

- Jones, R.M. (1975). *Mechanics of Composite Materials*: Hemisphere Publishing Co.
- Mongi, A.N.K. (1991). Theoretical and Experimental Behavior of FRP Floor System. Master Thesis, West Virginia University, Morgantown, WV.
- GangaRao, H.V.S. and Nagaraj V. (1993). Characterization of GFRP Pultruded Box Beams Under Static and Fatigue Loads. *SAMPE Quarterly (Journal of Advance Materials)*. 24, July : 3-9.
- Zureick, A., Kahn, L.F., and Bandy, B.J. (1994). Tests on Deep I-Shape Pultruded Beams. 49th Annual Conference, Composite Institute, The Society of the Plastics Industry, Inc., February 7-9 : 8c1-8c6.
- Sotiroopoulos, S., GangaRao, H.V.S., and Mongi A. (1995). Theoretical and Experimental Evaluation of FRP Composite and System. *Journal of Structural Engineering, ASCE*. 120(2) February : 464-485.
- NaGraj, V., and GangaRao, H.V.S. (1997). Static Response of GFRP Pultruded Beams. *Journal of Composites for Construction, ASCE*. 1(3) : 15-20.
- Massa, J.C., and Barbero, E.J. (1998). A Strength of Materials Formulation for Thin Walled Composite Beams with Torsion. *Journal of Composite Materials*. 32 :1560-1594.
- Mabsout, M.E., Tarhini, K., Frederick, G., and Kesserwan, A. (1999). Effect of Multilanes on Wheel Load Distribution in Steel Girder Bridges. *Journal of Bridge Engineering, ASCE*. Vol.4, No.2, May : 99-106.
- Zokaie, T. (2000). AASHTO-LRFD Live Load Distribution Specifications. *Journal of Bridge Engineering, ASCE*. Vol.5, No.2, May : 131-138.
- Kumar, P., Chandrashekara, K., and Nanni, A. (2001). Testing and Evaluation of Components for a Composite Bridge Deck. *Journal of Reinforced Plastics and Composites*. 20(5).
- Barr, P.J., Eberhard, M., and Stanton, J. (2001). Live-Load Distribution Factor in Prestressed Concrete Girder Bridges. *Journal of Bridge Engineering, ASCE*. Vol.6, No.5, September/October : 298-306.

- Tabsh, S.W., and Tabatabai, M. (2001). Live Load Distribution in Girder Subject to Oversized Trucks. *Journal of Bridges Engineering., ASCE.* Vol.6, N0.1, January/February : 9-16 .
- Alampalli, S., and Kunin, J. (2001). Load Testing of An FRP Bridge Deck On A Truss Bridge. Special Report 137, *Transportation Research and Development Bureau*, New York State Department of Transportation.
- Eom, J., and Nowak, A. (2001). Live Load Distribution for Steel Girder Bridges. *Journal of Bridges Engineering., ASCE.* Vol.6, No.6, November/December : 489-497.
- Kollar, L.P., and Pluzsik, A. (2002). Analysis of Thin-Walled Composite Beam with Arbitrary Lay up. *Journal of Reinforced Plastics and Composites.* 21 : 1423-1465.
- Howard, I. (2002). Development of Lightweight FRP Bridge Deck Design and Evaluations. Master's Thesis, Department of Civil Engineering, West Virginia University, Morgantown, WV.
- Schniepp, T.J. (2002). Design Manual Development for Hybrid, FRP Double-Web Beam and Characterization of Shear Stiffness in FRP Composite Beams. M.S. Thesis, Department of Engineering Science and mechanics, Virginia Polytechnic and State University, Blackburg, VA.
- Zhou, A. (2002). Stiffness and Strength of Fiber Reinforced Polymer Composite Bridge Deck Systems. Ph.D Dissertation, Virginia Polytechnic and State University, Blackburg, Virginia, USA.
- Mabsout, M.E., Naddaf, I., Tarhini, K., and Frederick, G. (2002). Load Reduction in Steel Girder Bridges Practice Periodical of Structural Design and Construction. Vol.7, No.1, Febuary : 37-44.
- Punyamuthula, D. (2004). Structural performance of low-profile FRP composite cellular modules. Master's Thesis, Department of Civil Engineering, West Virginia University, Morgantown, WV.
- Chung, W., Phuvoravan, K., Liu, J., and Sotelino, E. (2005). Applicability of the Simplified Load Distribution Factor Equation to PSC Girder Bridge. *Journal of Civil Engineering, KSCE.* Vol.9, No.4, July : 313-319.

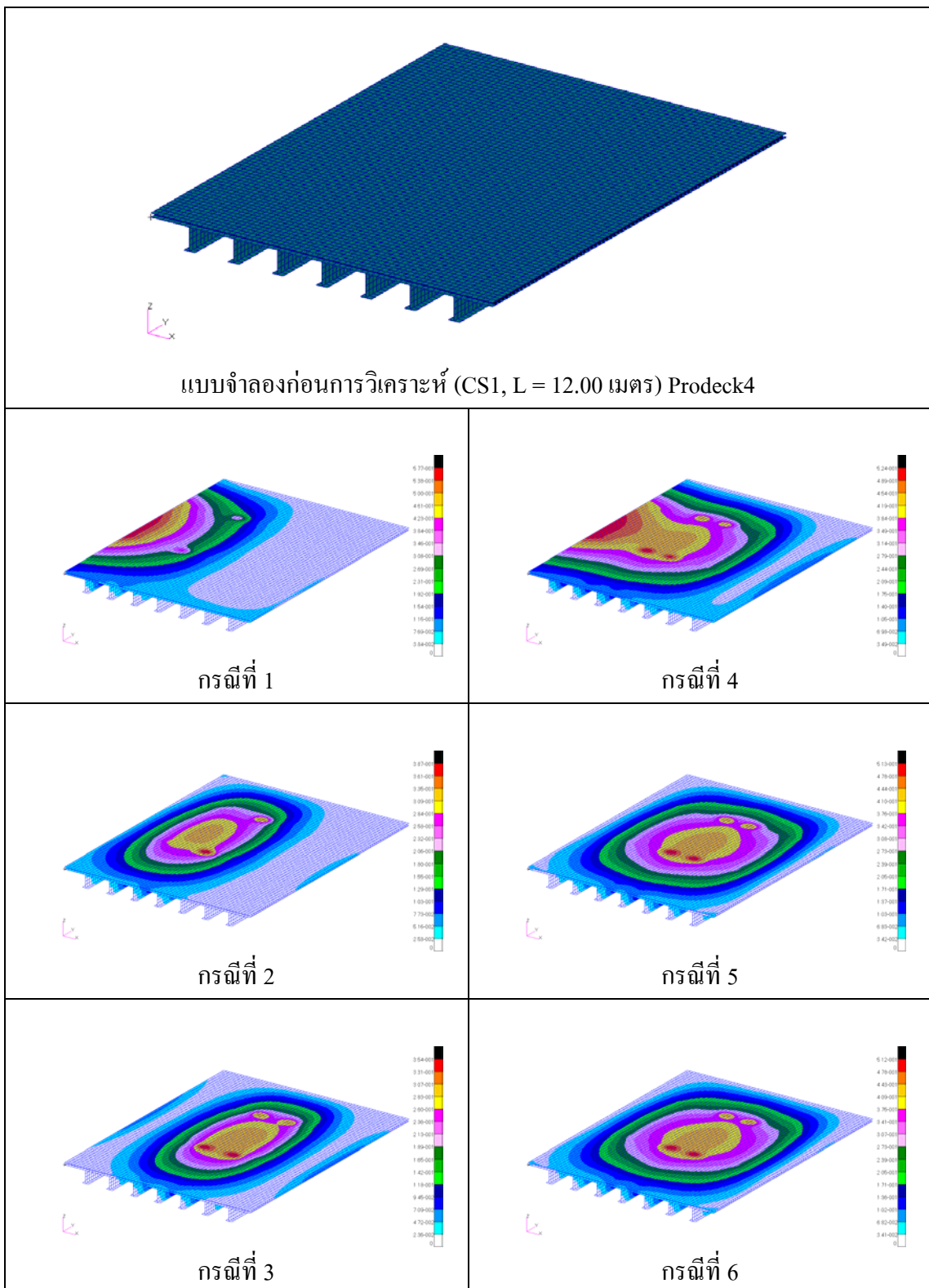
- Mantri, S. (2005). Fiber Reinforced Polymer Composite Decks for Military Applications. Master's thesis, Department of Civil Engineering, West Virginia University, Morgantown, WV.
- Stiller, W.B., Gergely, J., and Rochelle, R. (2006). Testing, Analysis, and Evaluation of a GFRP Deck on Steel Girders. *Journal of Bridge Engineering, ASCE*. 11(4) : 394-399.
- Moses, J.P., Harries, K., Earls, C., and Yulisman, W. (2006). Evaluation of Effective Width and Distribution Factors for GFRP Bridge Decks Supported on Steel Girder. *Journal of Bridge Engineering, ASCE*. Vol.11, No.4, July : 401-409.
- Prachasaree, W., GangaRao, H.V.S., and Shekar, V. (2006). Performance Evaluation of FRP Bridge Deck Component under Torsion. *Journal of Bridge Engineering , ASCE*. 11(4) : 430-442.
- Prachasaree, W., GangaRao, H.V.S., and Shekar, V. (2009). Performance Evaluation of FRP Bridge Deck Component under Shear Loads. *Journal of Composite Materials.*, Vol.43, No.4, February : 377-395
- Reis, E.M., Hassan, T.K., and Rizkalla, S.H. (2004). Behavior of FRP Sandwich Panels for Transportation Infrastructure. 4th International Conference on Advanced Composites Materials in Bridges and Structures, July 20-23, Calgary, Alberta, Canada.
- Muthyala, V.D. (2005). Composite Sandwich Structure with Grid Stiffened Core. Master of Science in Mechanical Engineering, Louisiana State University, Louisiana, USA
- Suraj, S. (2005). Finite Element Modeling of a Composite Bridge Deck. Master's Thesis, Department of Mechanical Engineering, West Virginia University, Mogantown, WV.
- Feng, P., Ye, L., Li, T., and Ma, Q. (2006). Outside Filament-wound Reinforcement : A Novel Configuration for FRP Bridge Decks. The Ninth International Symposium on Structural Engineering for Young Experts, August 18-21, Fuzhou & Xiamen, China .
- Zhang, Y., Cai, C. (2006). Load Distribution and Dynamic Response of Multi-Girder Bridge with FRP Decks. *Journal of Engineering Structures*. 29 (2007) : 1676-1689.
- Phuvoravan. K. (2006). Load Distribution Factor Equation for Steel Girder Bridges in LRFD Design. Symposium on Infrastructure Development and the Environment, December 7-8, University of the Philippines, Diliman, Quezon City, Philippines.
- Bank, L.C. (2006). *Composites For Construction : Structural Design with FRP Materials*. John Wiley & Sons, Inc., Hoboken, New Jersey, Canada.

- Lee, J., Kim, Y., Jung, J., and Kosmatka, J. (2006). Eperimental Characterization of a Pultruded Bridge Deck for Light Weight Vehicals. *Journal of Composites Construction*. 80 (2007) : 141-151
- Keller, T., Schaumann, E., and Vallee, T. (2007). Flexural Behavior of a Hybrid FRP and Light Weight Concrete Sandwich Bridge Deck. Composites Part A: Applied Science and Manufacturing, 38 : 879-889.
- Liu, Z., Cousins, T., Lesko, J., and Sotelino, E. (2008). Design Recommendations for a FRP Bridge Deck Supported on Steel Superstructure. *Journal of Composites for Construction, ASCE*. 12(6) : 660-668.

ភាគធម្មរក

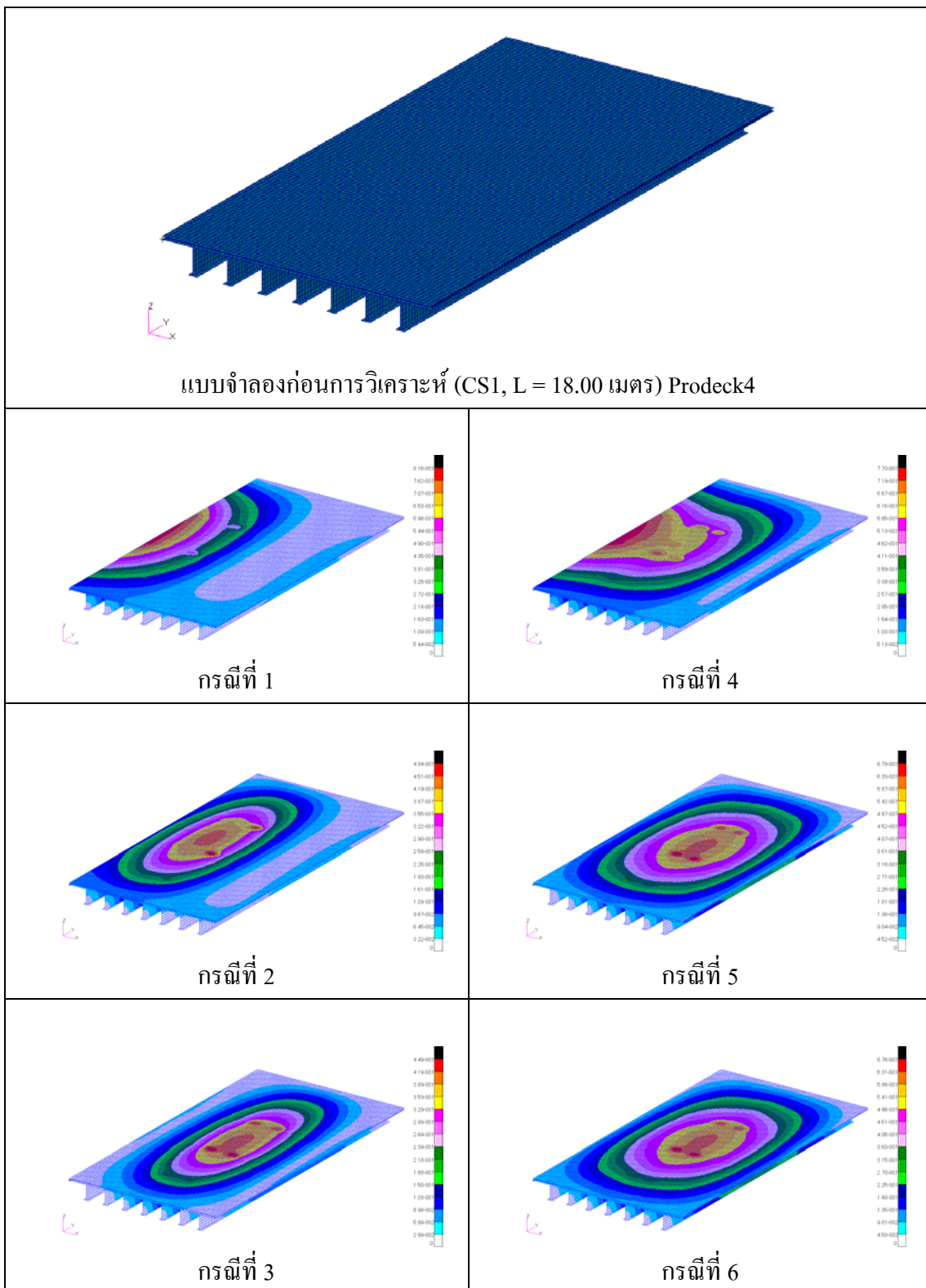
ภาคผนวก ก

รูปผลการวิเคราะห์แบบจำลองสะพานในกรณีต่างๆ

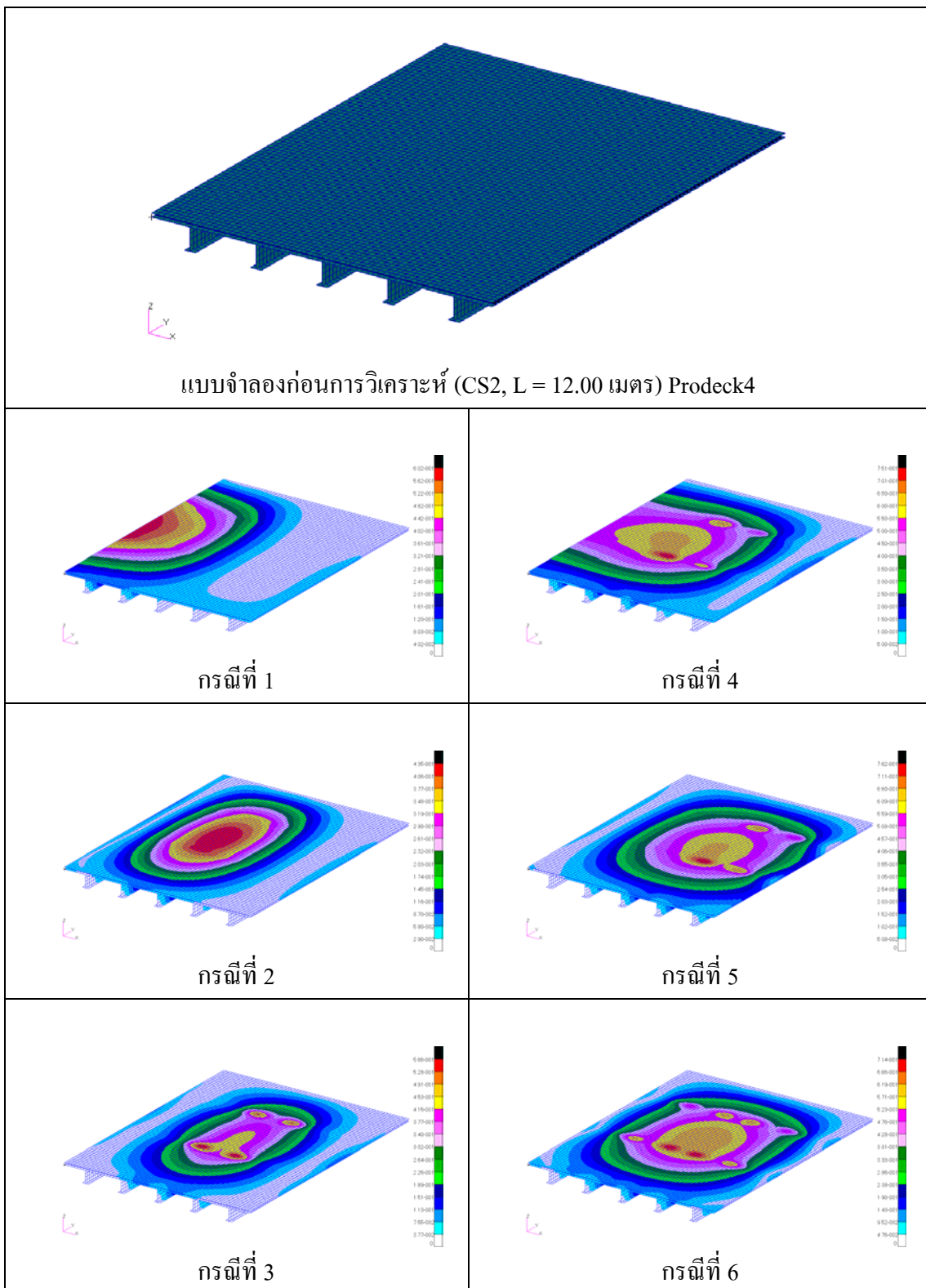


รูปที่ ก-1 ผลการวิเคราะห์แบบจำลองสะพาน หน้าตัด CS1 ($W = 9.30$ เมตร, $S = 1.20$ เมตร)

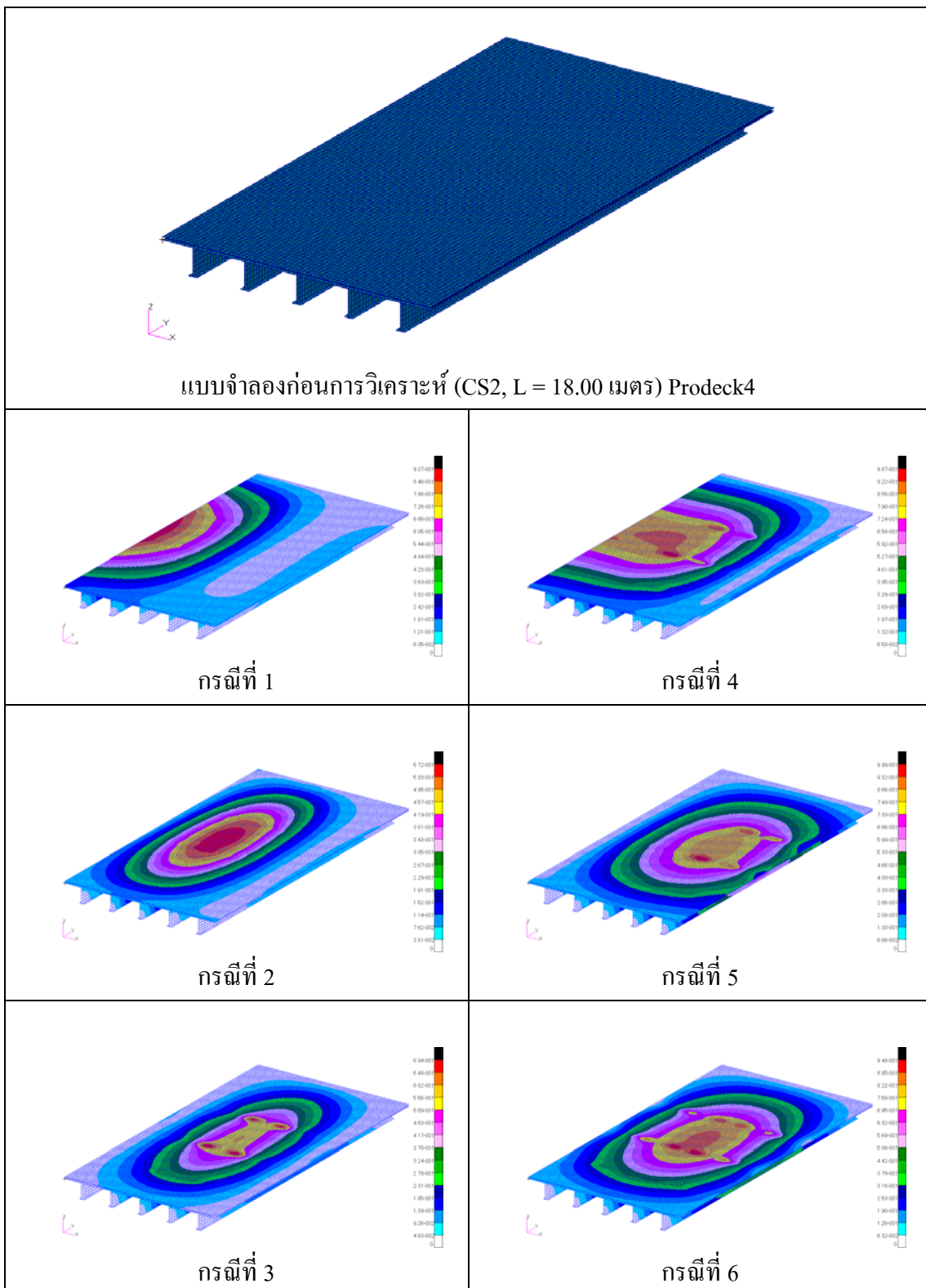
$L = 12.00$ เมตร แผ่นพื้นประภาก Prodeck4 รับแรงกระทำในกราฟที่ 1 ถึง กราฟที่ 6



รูปที่ ก-2 ผลการวิเคราะห์แบบจำลองสะพาน หน้าตัด CS1 ($W = 9.30$ เมตร, $S = 1.20$ เมตร)
 $L = 18.00$ เมตร แผ่นพื้นประภาก Prodeck4 รับแรงกระทำในกราฟที่ 1 ถึง กราฟที่ 6

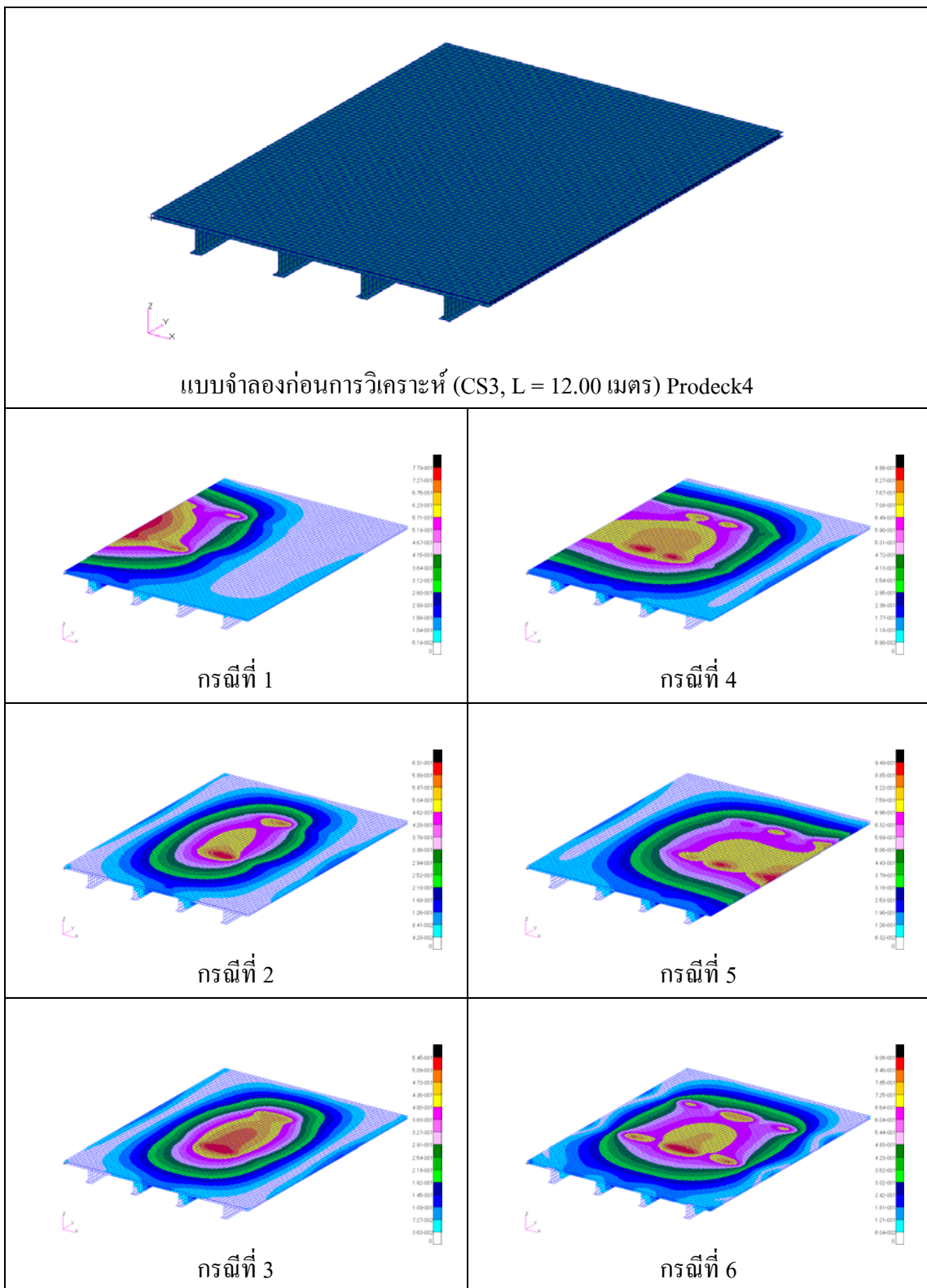


รูปที่ ก-3 ผลการวิเคราะห์แบบจำลองสะพาน หน้าตัด CS2 ($W = 9.30$ เมตร, $S = 1.83$ เมตร)
 $L = 12.00$ เมตร แผ่นพื้นประภาก Prodeck4 รับแรงกระทำในกราฟที่ 1 ถึง กราฟที่ 6

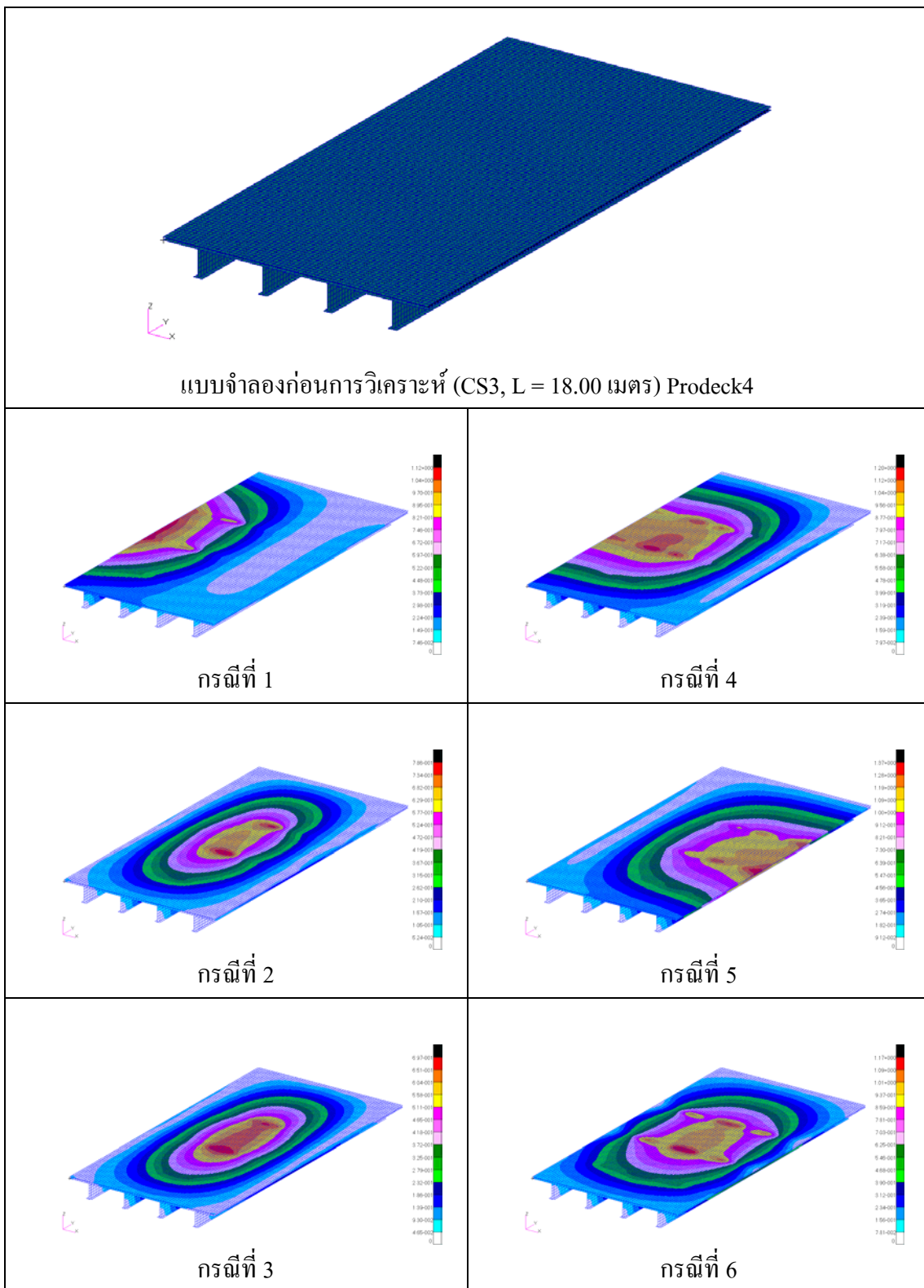


รูปที่ ก-4 ผลการวิเคราะห์แบบจำลองสะพาน หน้าตัด CS2 ($W = 9.30$ เมตร, $S = 1.83$ เมตร)

$L = 18.00$ เมตร แผ่นพื้นประภาก Prodeck4 รับแรงกระทำในกราฟที่ 1 ถึง กราฟที่ 6

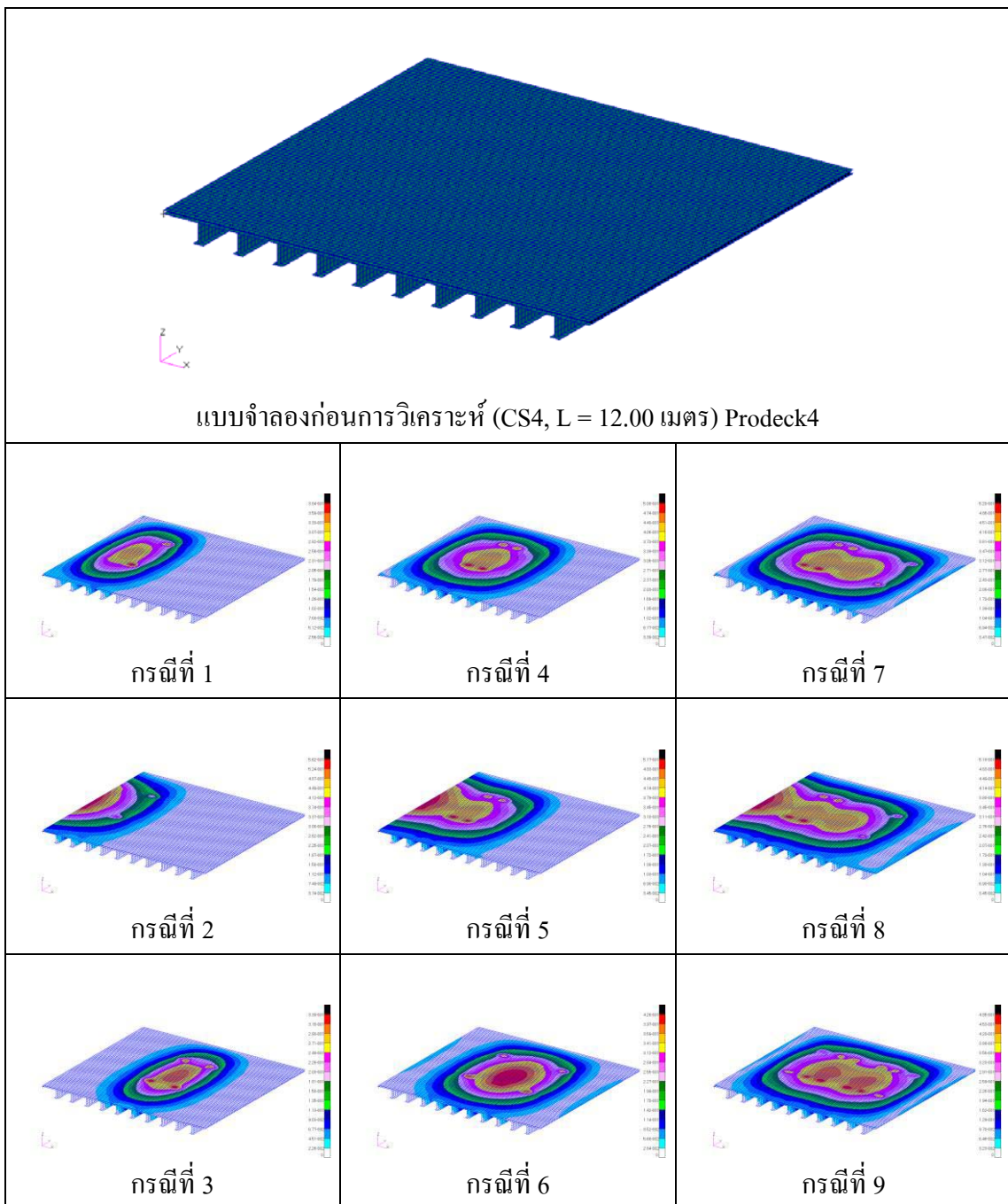


รูปที่ ก-5 ผลการวิเคราะห์แบบจำลองสะพาน หน้าตัด CS3 ($W = 9.30$ เมตร, $S = 2.29$ เมตร)
 $L = 12.00$ เมตร แผ่นพื้นประภาก Prodeck4 รับแรงกระทำในกราฟที่ 1 ถึง กราฟที่ 6

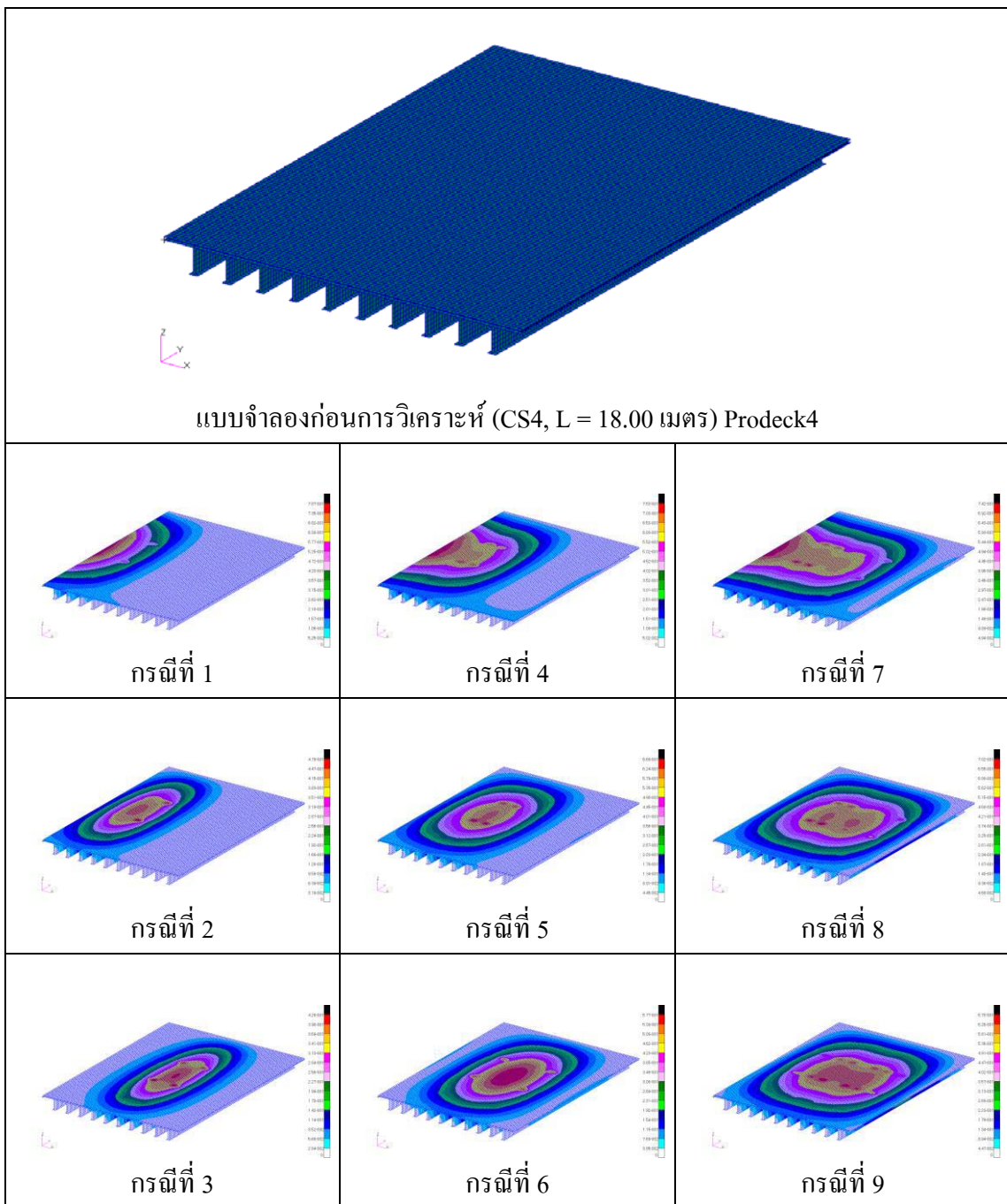


รูปที่ ก-6 ผลการวิเคราะห์แบบจำลองสะพาน หน้าตัด CS3 ($W = 9.30$ เมตร, $S = 2.29$ เมตร)

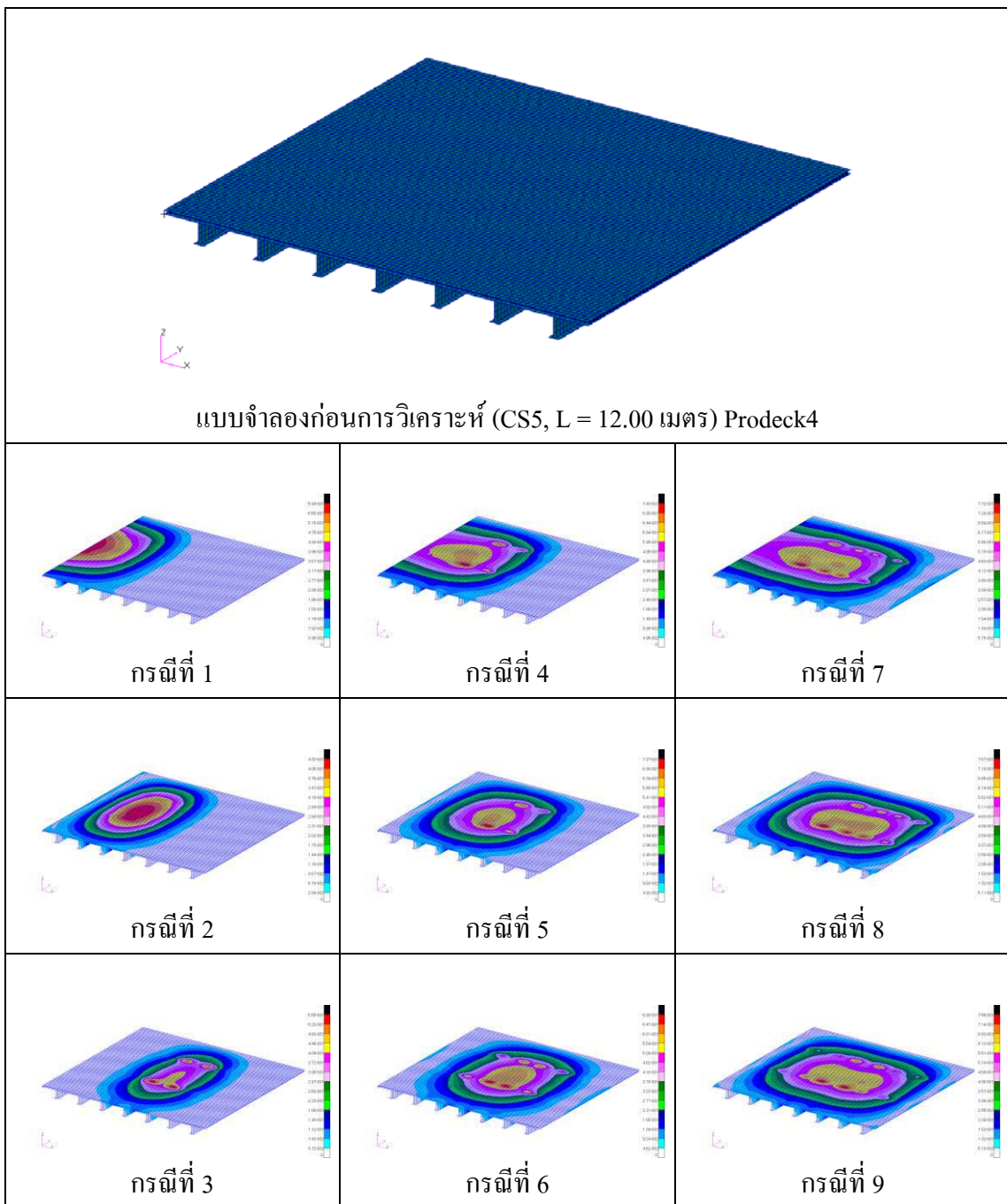
$L = 18.00$ เมตร แผ่นพื้นประภาก Prodeck4 รับแรงกระทำในกราฟที่ 1 ถึง กราฟที่ 6



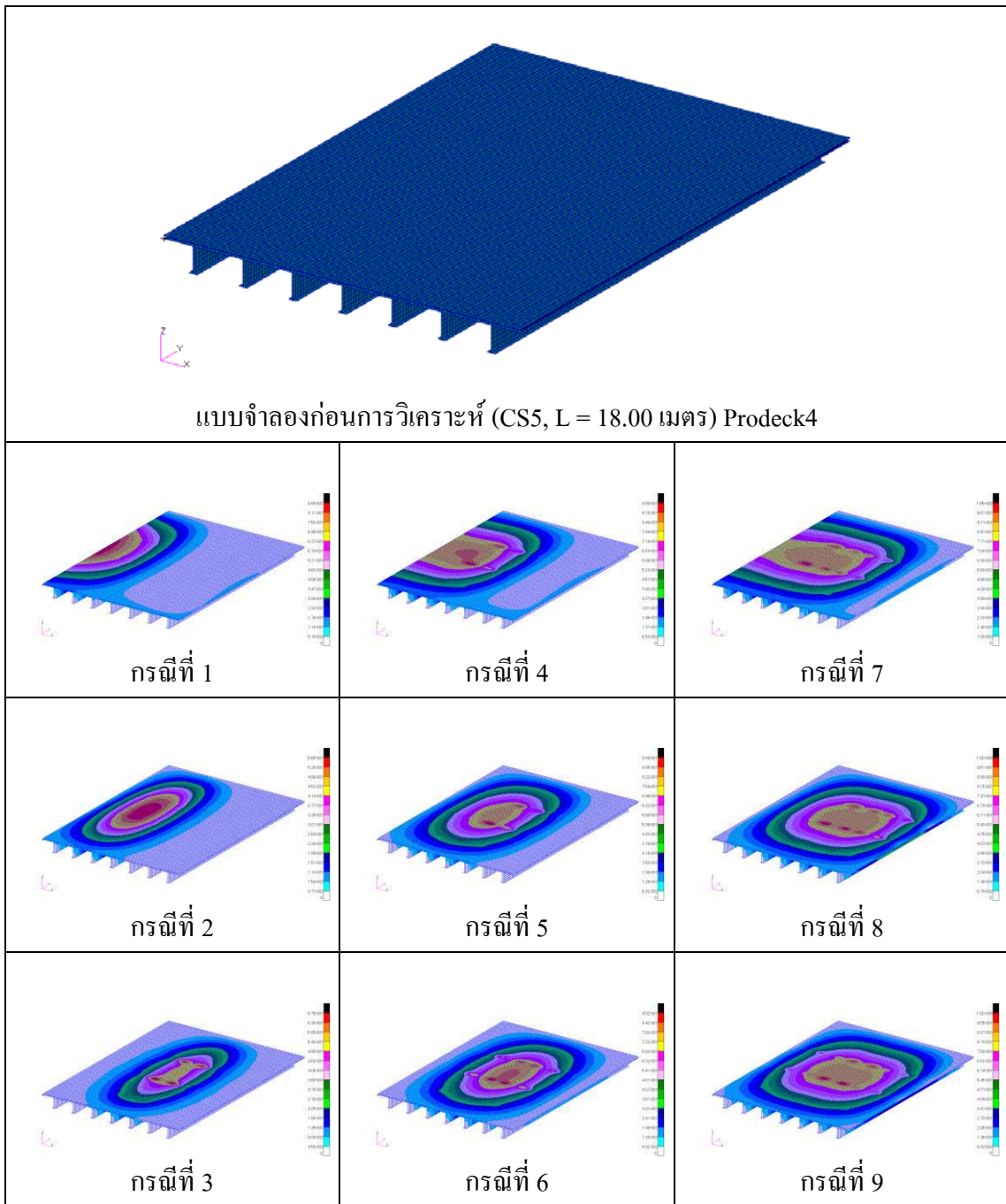
รูปที่ ก-7 ผลการวิเคราะห์แบบจำลองสะพาน หน้าตัด CS4 ($W = 13.00$ เมตร, $S = 1.20$ เมตร)
 $L = 12.00$ เมตร แผ่นพื้นประเภท Prodeck4 รับแรงกระทำในกรณีที่ 1 ถึง กรณีที่ 9



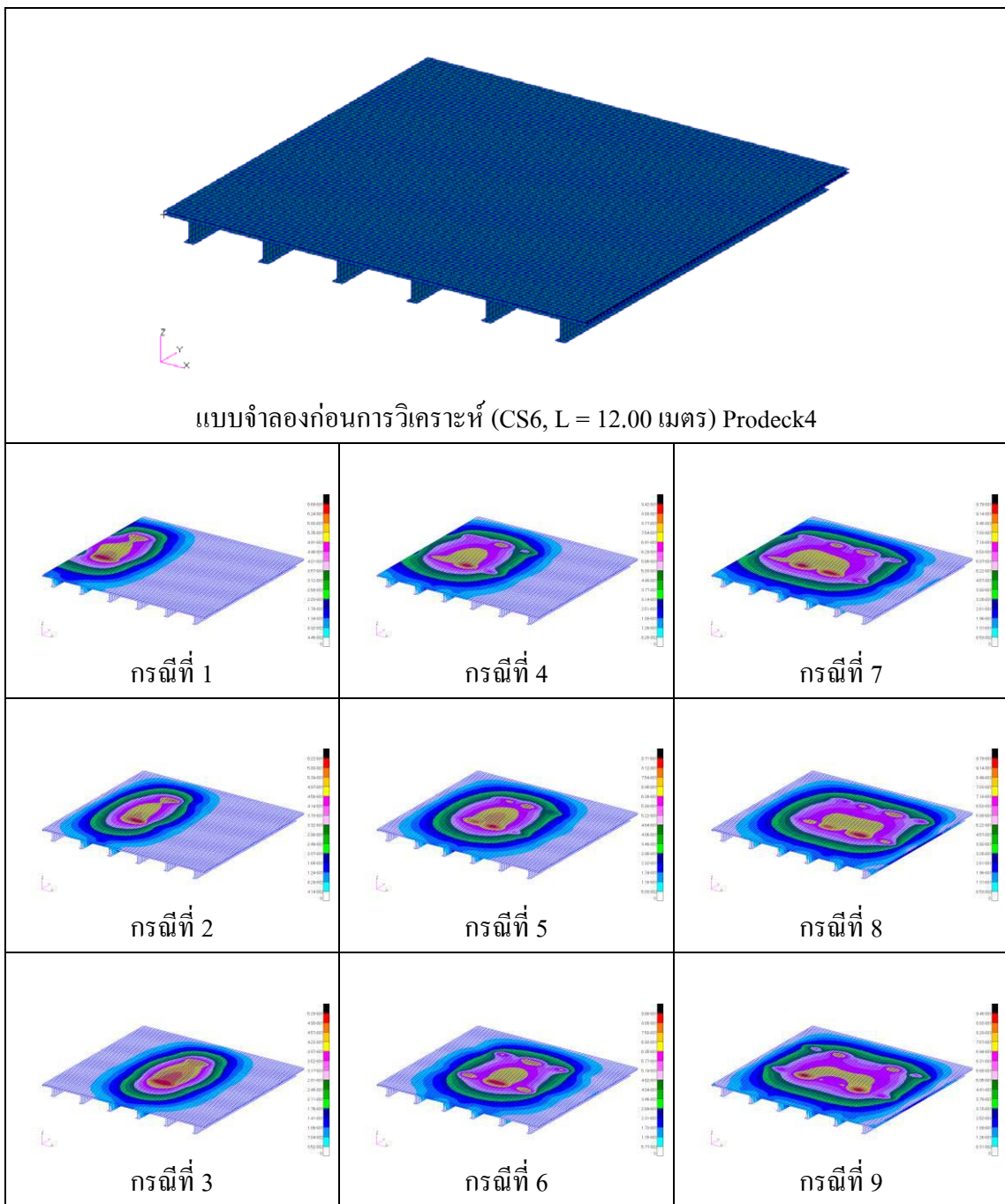
รูปที่ ก-8 ผลการวิเคราะห์แบบจำลองสะพาน หน้าตัด CS4 ($W = 13.00$ เมตร, $S = 1.20$ เมตร)
 $L = 18.00$ เมตร แผ่นพื้นประเภท Prodeck4 รับแรงกระทำในกราฟที่ 1 ถึง กราฟที่ 9



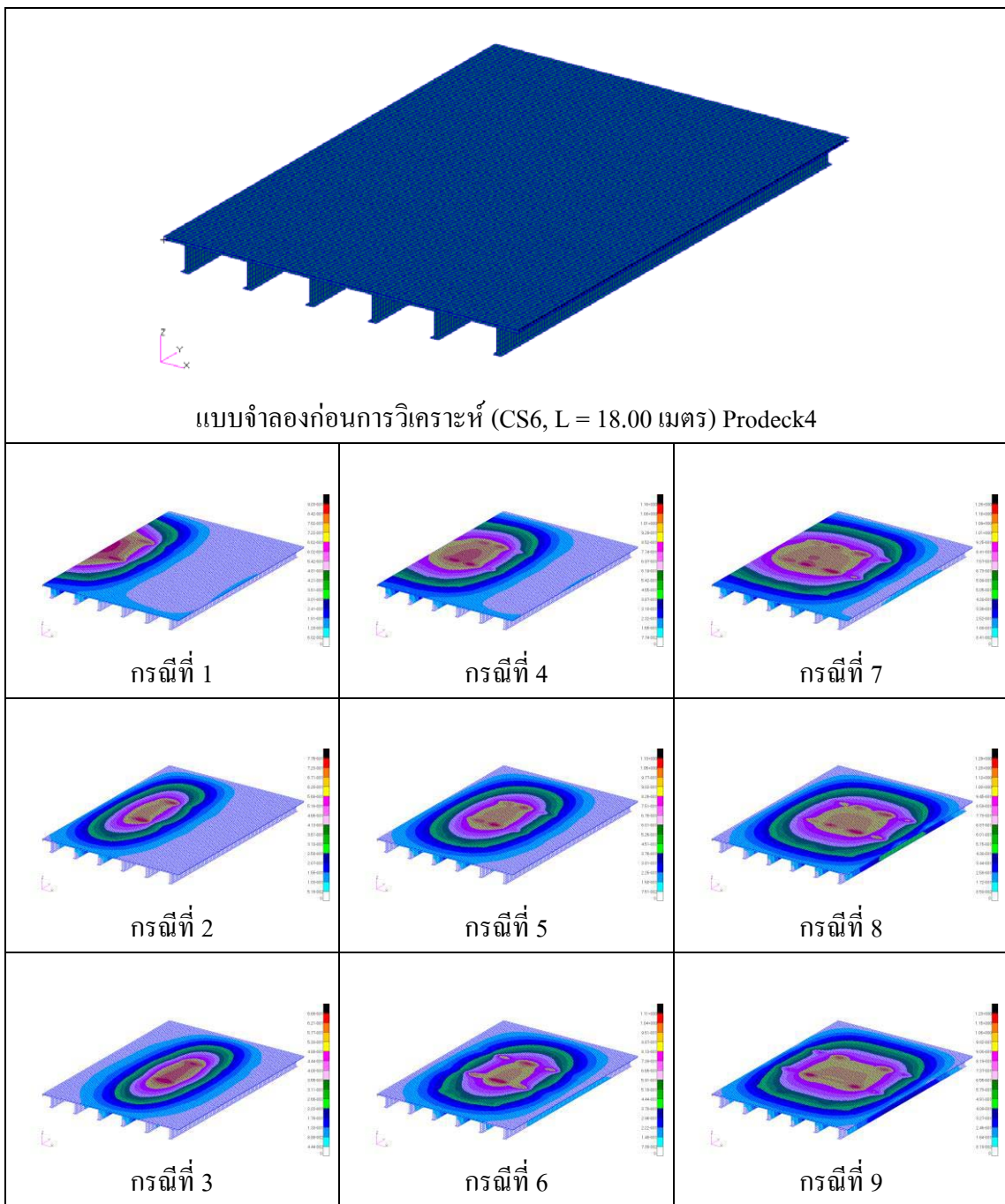
รูปที่ ก-9 ผลการวิเคราะห์แบบจำลองสะพาน หน้าตัด CS5 ($W = 13.00$ เมตร, $S = 1.83$ เมตร)
 $L = 12.00$ เมตร แผ่นพื้นประเภท Prodeck4 รับแรงกระทำในกรณีที่ 1 ถึง กรณีที่ 9



รูปที่ ก-10 ผลการวิเคราะห์แบบจำลองสะพาน หน้าตัด CS5 ($W = 13.00$ เมตร, $S = 1.83$ เมตร)
 $L = 18.00$ เมตร แผ่นพื้นประเภท Prodeck4 รับแรงกระทำในกราฟที่ 1 ถึง กราฟที่ 9

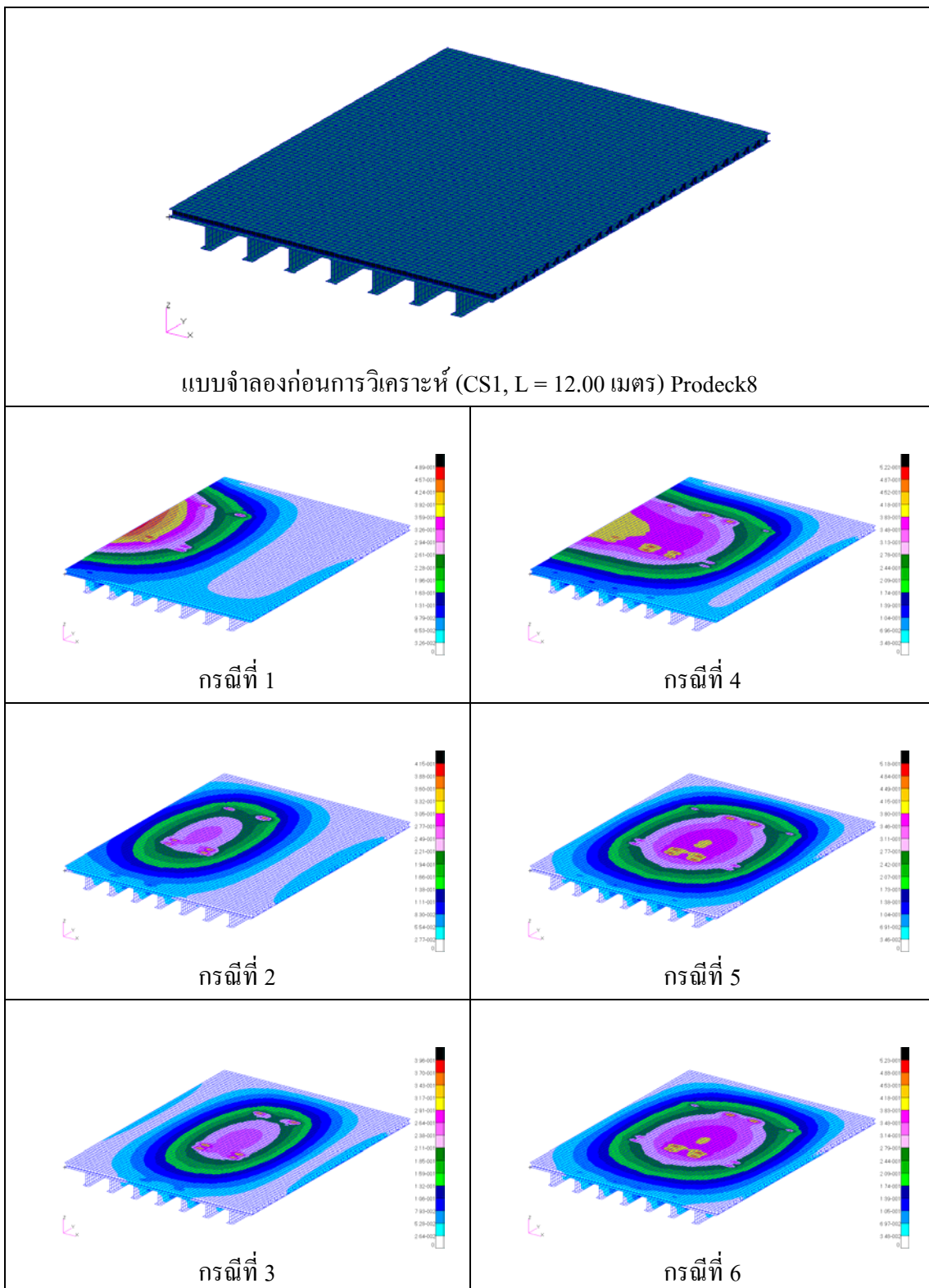


รูปที่ ก-11 ผลการวิเคราะห์แบบจำลองสะพาน หน้าตัด CS6 (W = 13.00 เมตร, S = 2.29 เมตร)
L = 12.00 เมตร แผ่นพื้นประเภท Prodeck4 รับแรงกระทำในกราฟที่ 1 ถึง กราฟที่ 9



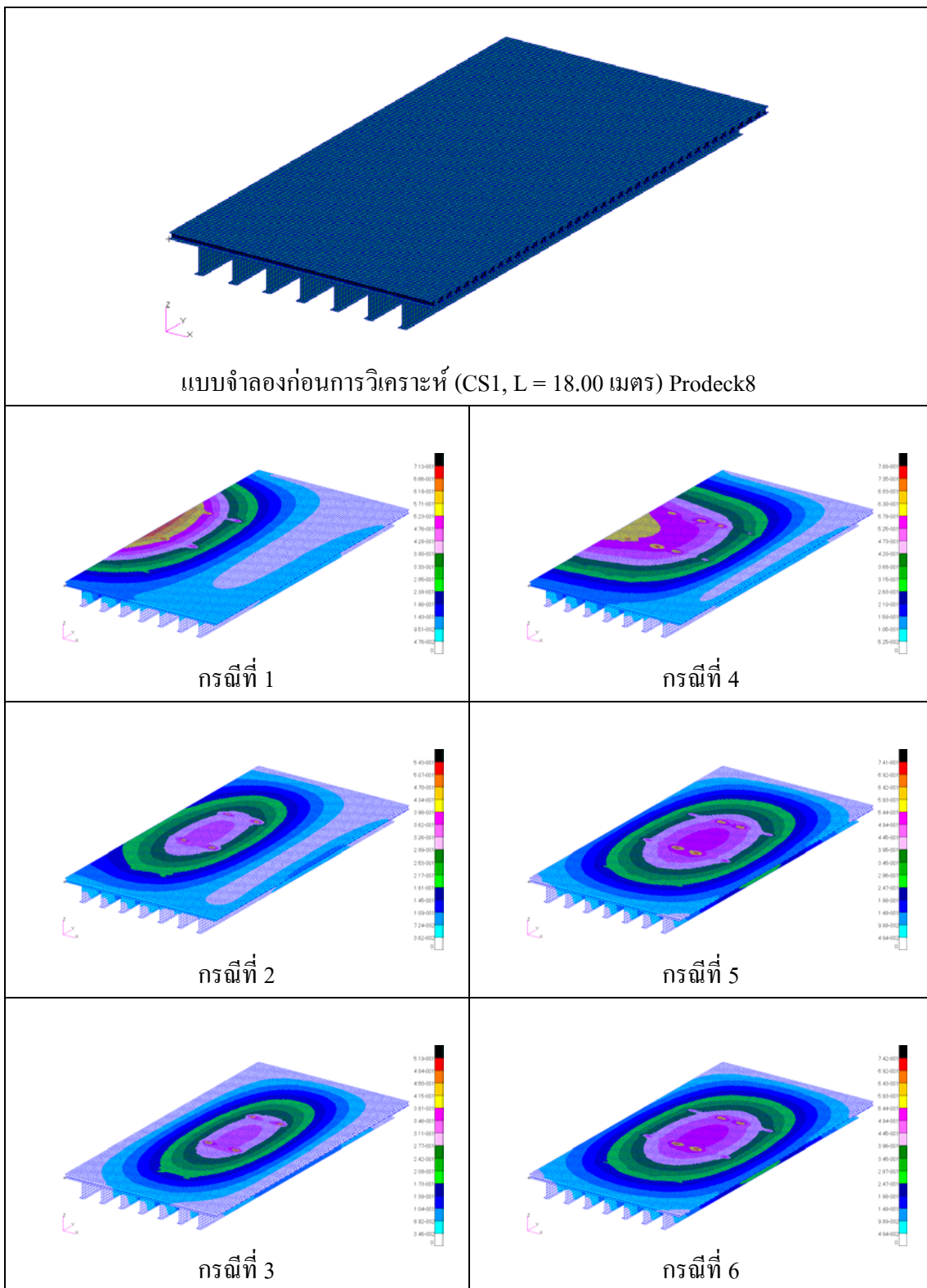
รูปที่ ก-12 ผลการวิเคราะห์แบบจำลองสะพาน หน้าตัด CS6 (W = 13.00 เมตร, S = 2.29 เมตร)

L = 18.00 เมตร แผ่นพื้นประเภท Prodeck4 รับแรงกระทำในกรณีที่ 1 ถึง กรณีที่ 9



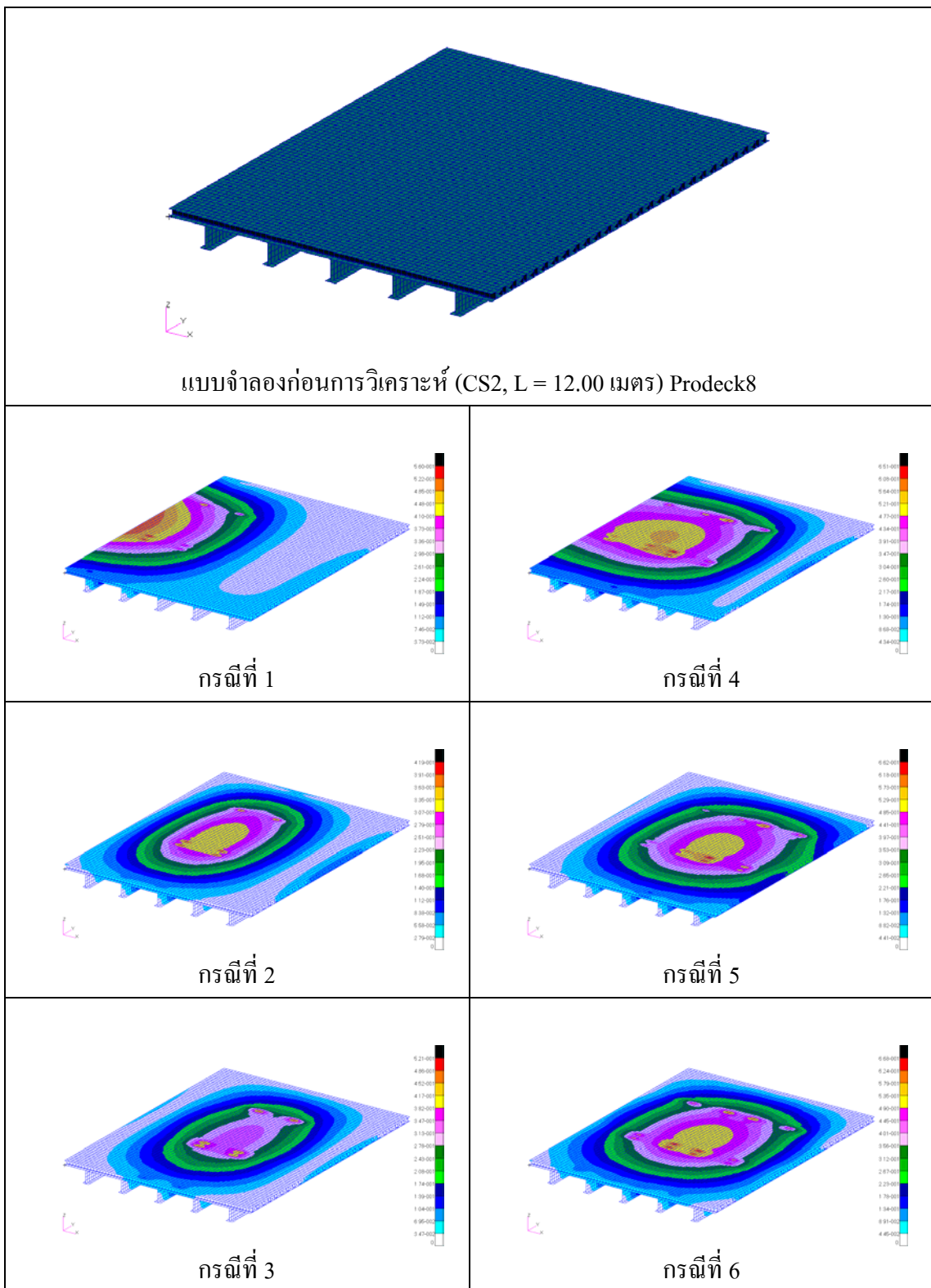
รูปที่ ก-13 ผลการวิเคราะห์แบบจำลองสะพาน หน้าตัด CS1 ($W = 9.30$ เมตร, $S = 1.20$ เมตร)

$L = 12.00$ เมตร แผ่นพื้นประเภท Prodeck8 รับแรงกระทำในกราฟที่ 1 ถึง กราฟที่ 6



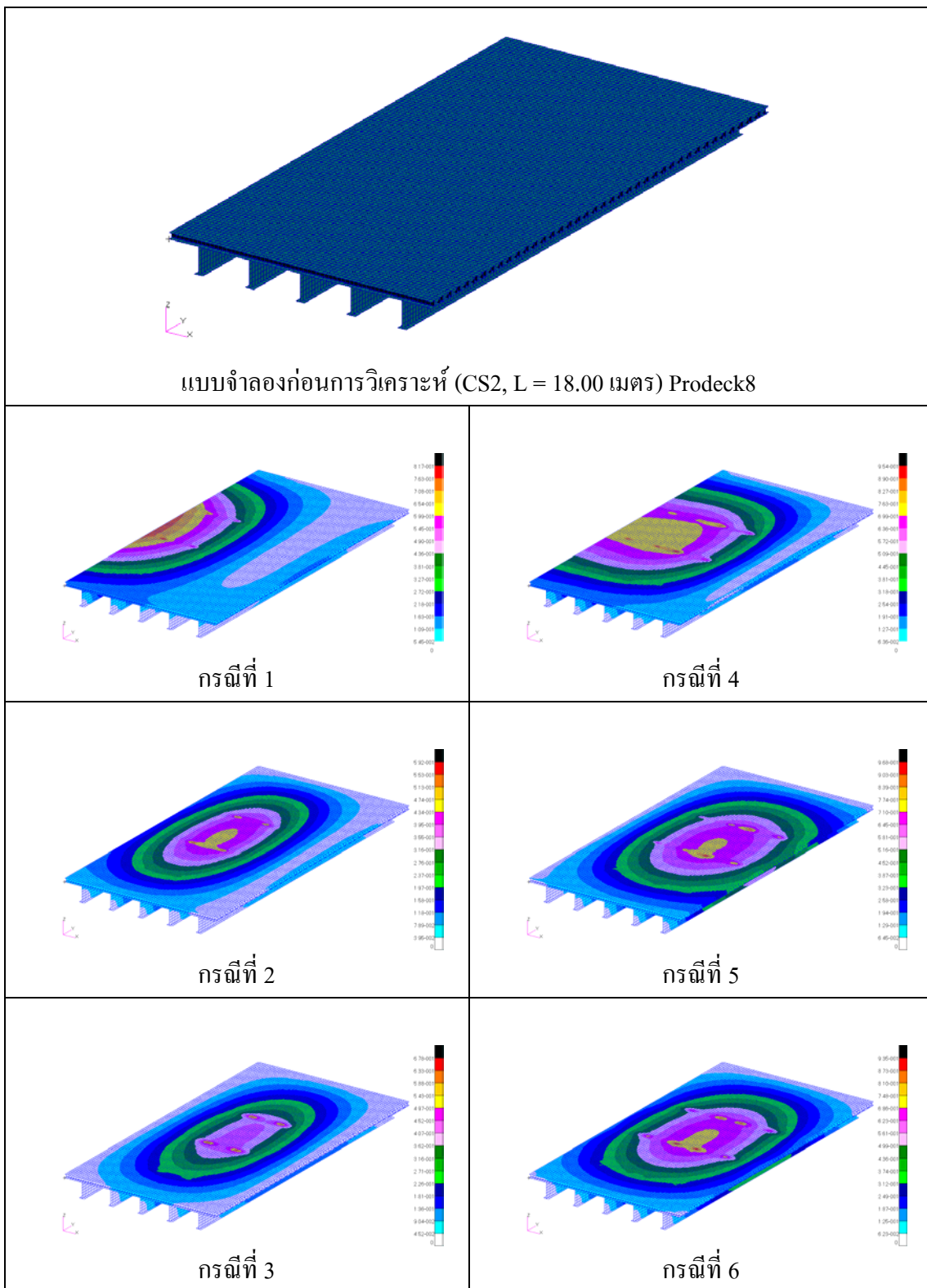
รูปที่ ก-14 ผลการวิเคราะห์แบบจำลองสะพาน หน้าตัด CS1 ($W = 9.30$ เมตร, $S = 1.20$ เมตร)

$L = 18.00$ เมตร แผ่นพื้นประเภท Prodeck8 รับแรงกระทำในกราฟที่ 1 ถึง กราฟที่ 6



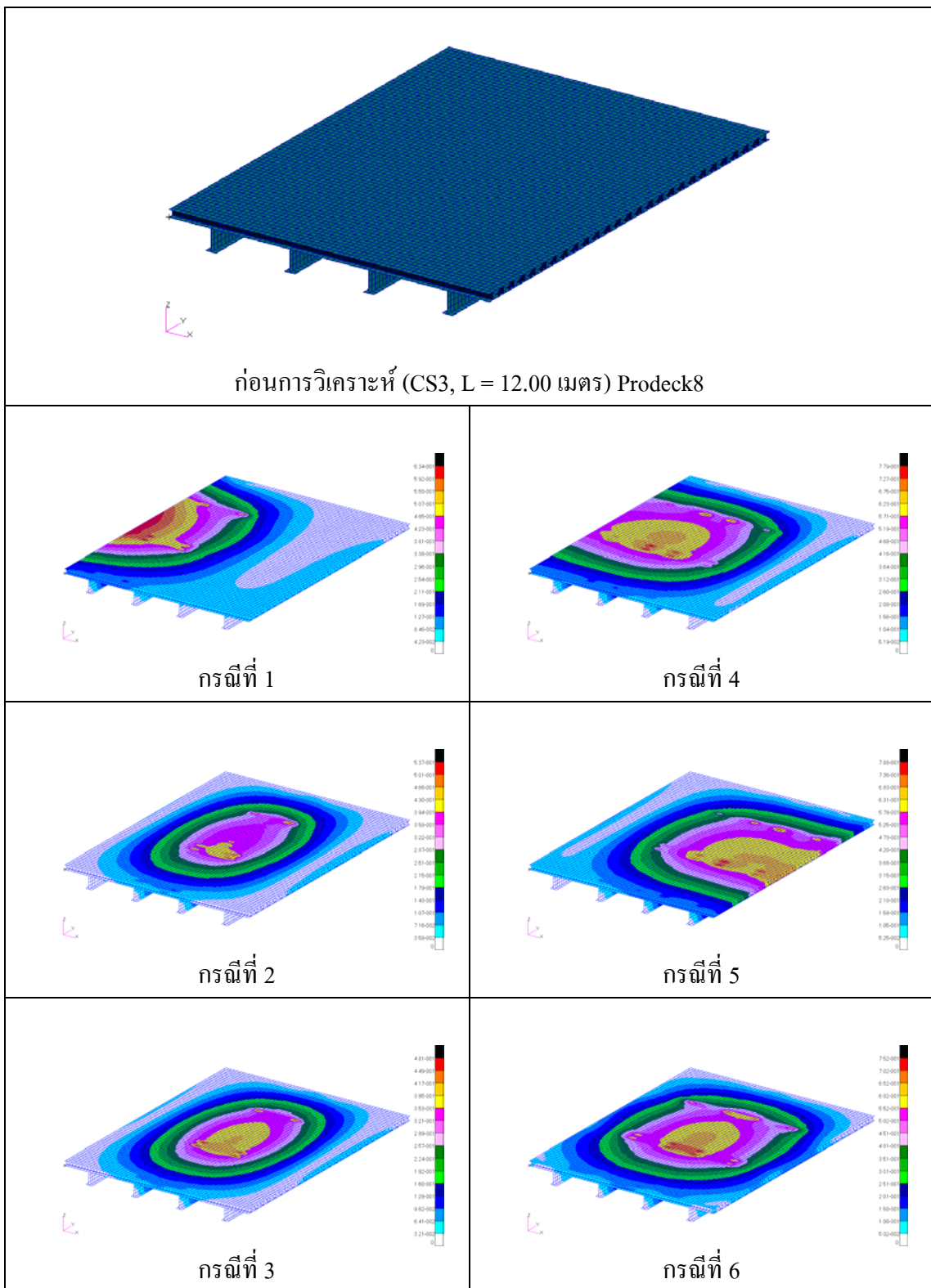
รูปที่ ก-15 ผลการวิเคราะห์แบบจำลองสะพาน หน้าตัด CS2 (W = 9.30 เมตร, S = 1.83 เมตร)

L = 12.00 เมตร แผ่นพื้นประเภท Prodeck8 รับแรงกระทำในกราฟที่ 1 ถึง กราฟที่ 6



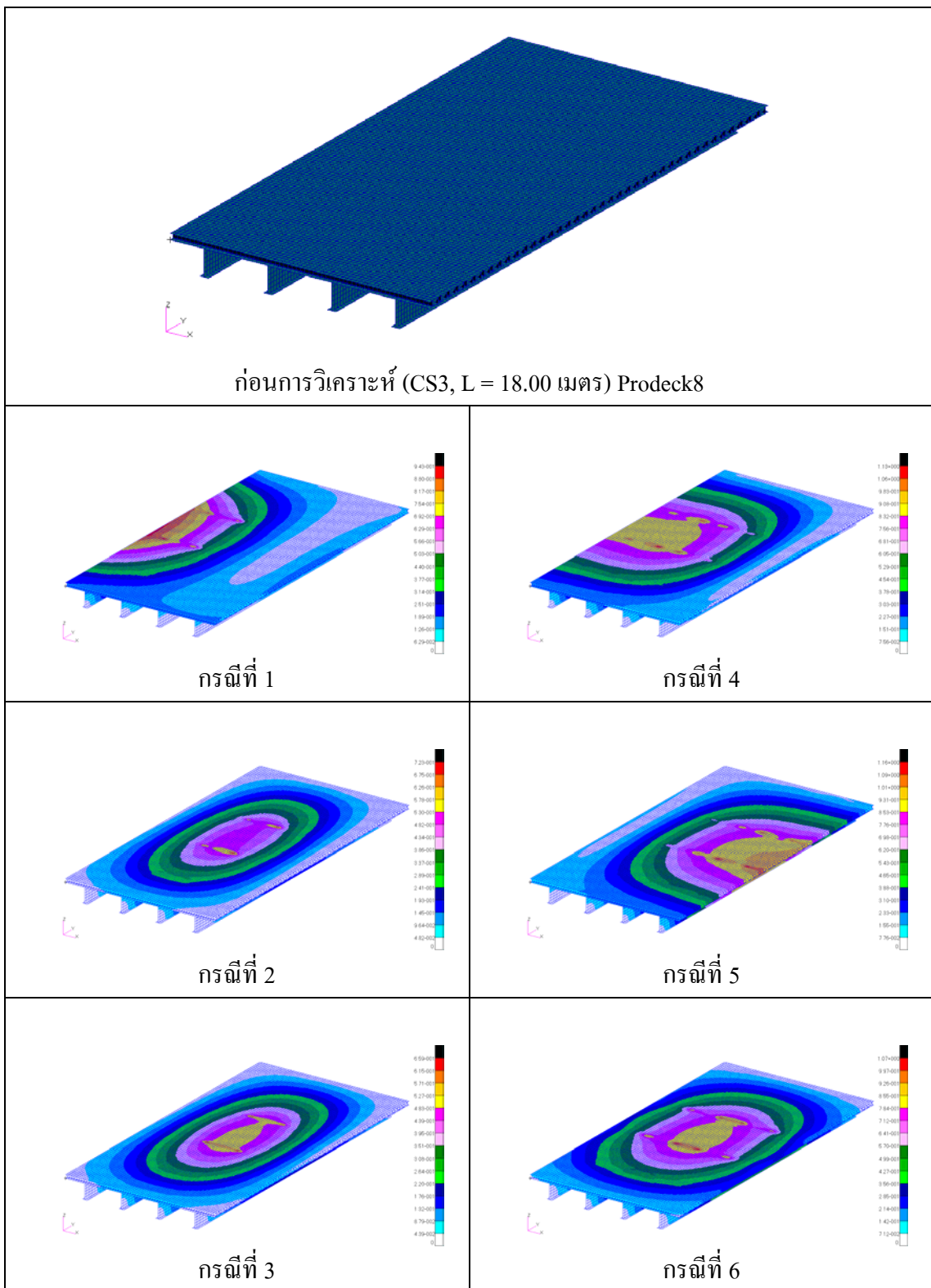
รูปที่ ก-16 ผลการวิเคราะห์แบบจำลองสะพาน หน้าตัด CS2 (W = 9.30 เมตร, S = 1.83 เมตร)

L = 18.00 เมตร แผ่นพื้นประเภท Prodeck8 รับแรงกระทำในกราฟที่ 1 ถึง กราฟที่ 6



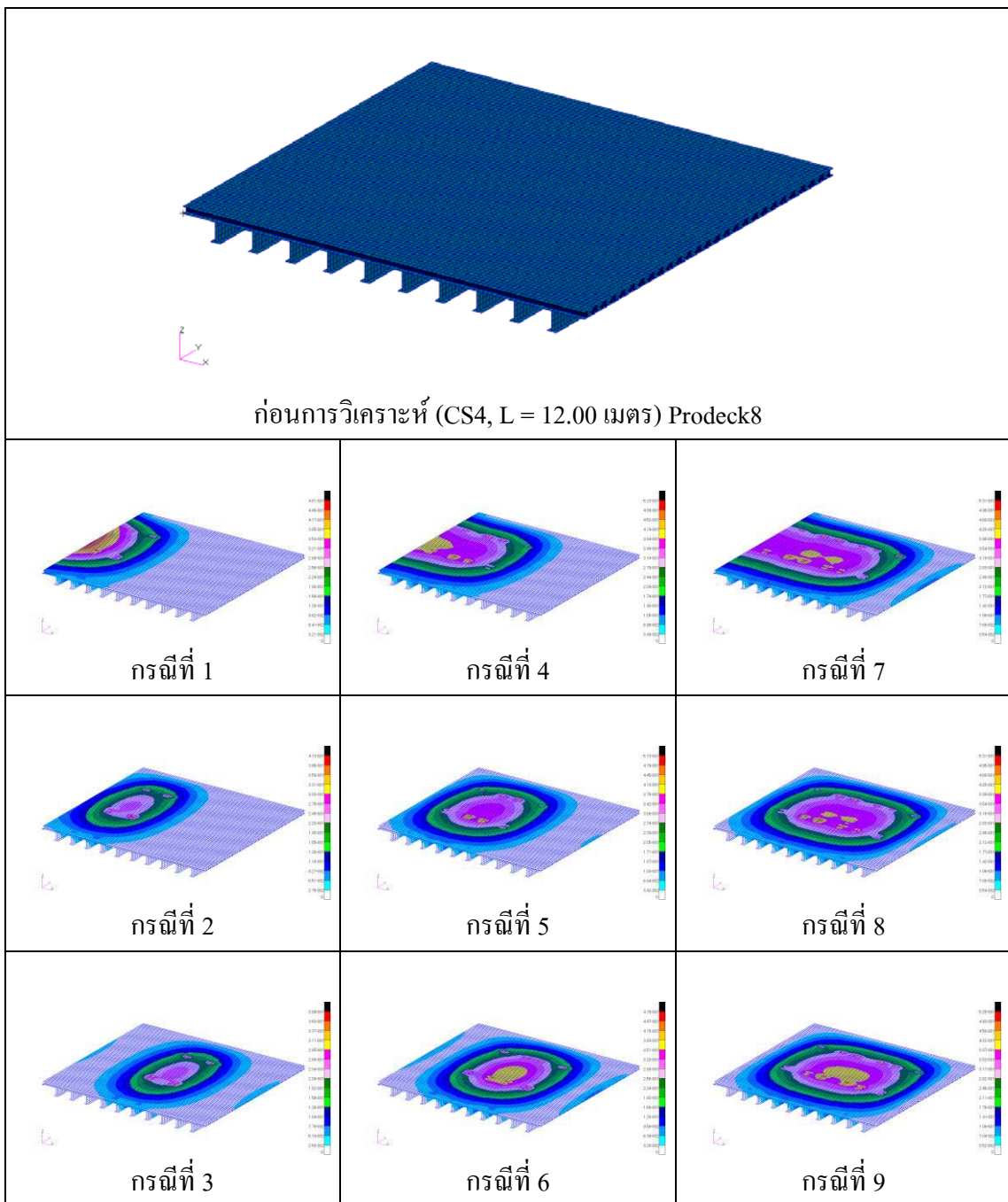
รูปที่ ก-17 ผลการวิเคราะห์แบบจำลองสะพาน หน้าตัด CS3 ($W = 9.30$ เมตร, $S = 2.29$ เมตร)

$L = 12.00$ เมตร แผ่นพื้นประเภท Prodeck8 รับแรงกระทำในกราฟที่ 1 ถึง กราฟที่ 6

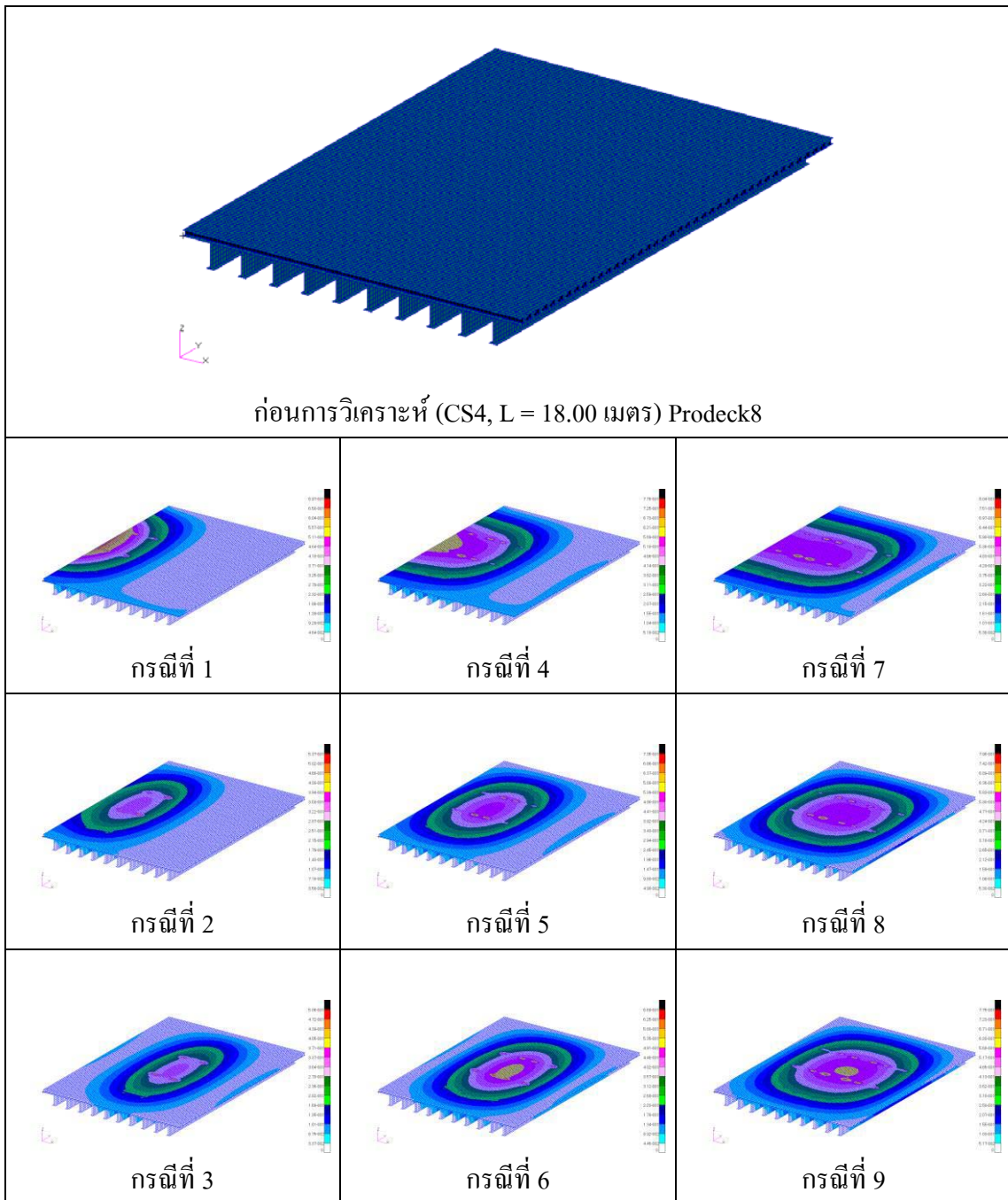


รูปที่ ก-18 ผลการวิเคราะห์แบบจำลองสะพาน หน้าตัด CS3 ($W = 9.30$ เมตร, $S = 2.29$ เมตร)

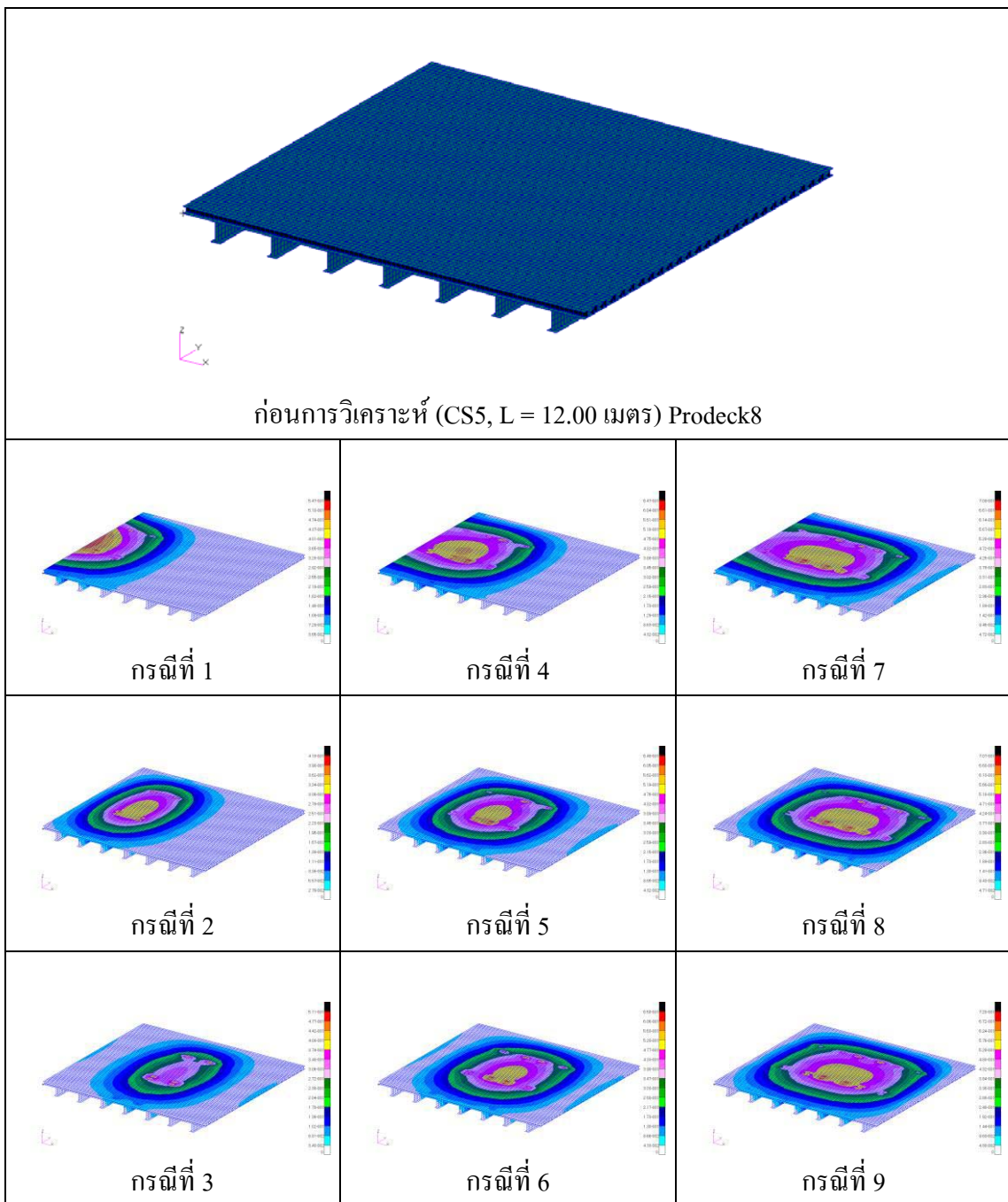
$L = 18.00$ เมตร แผ่นพื้นประเภท Prodeck8 รับแรงกระทำในกราฟที่ 1 ถึง กราฟที่ 6



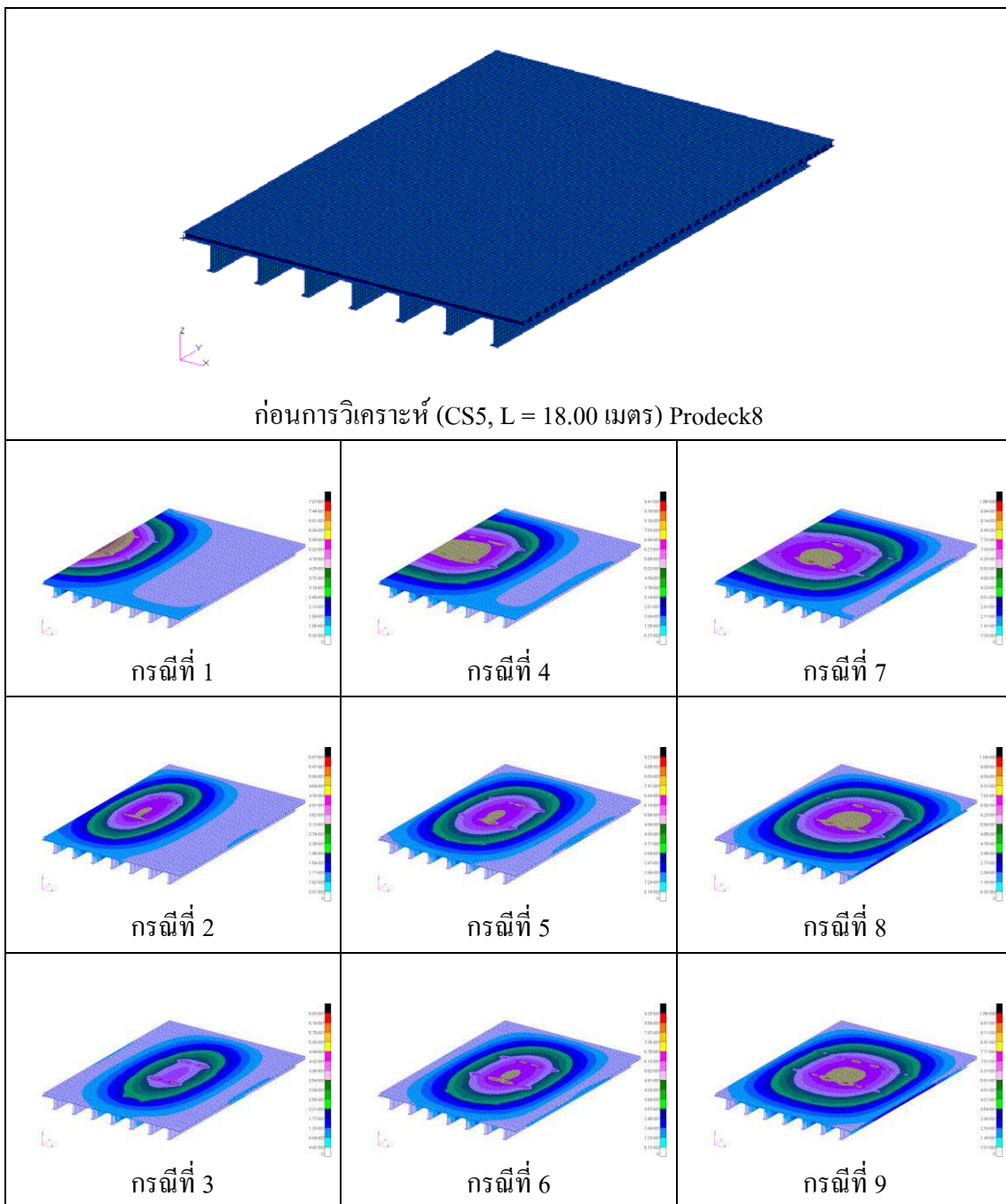
รูปที่ ก-19 ผลการวิเคราะห์แบบจำลองสะพาน หน้าตัด CS4 ($W = 13.00$ เมตร, $S = 1.20$ เมตร)
 $L = 12.00$ เมตร แผ่นพื้นประเภท Prodeck8 รับแรงกระทำในกราฟที่ 1 ถึง กราฟที่ 9



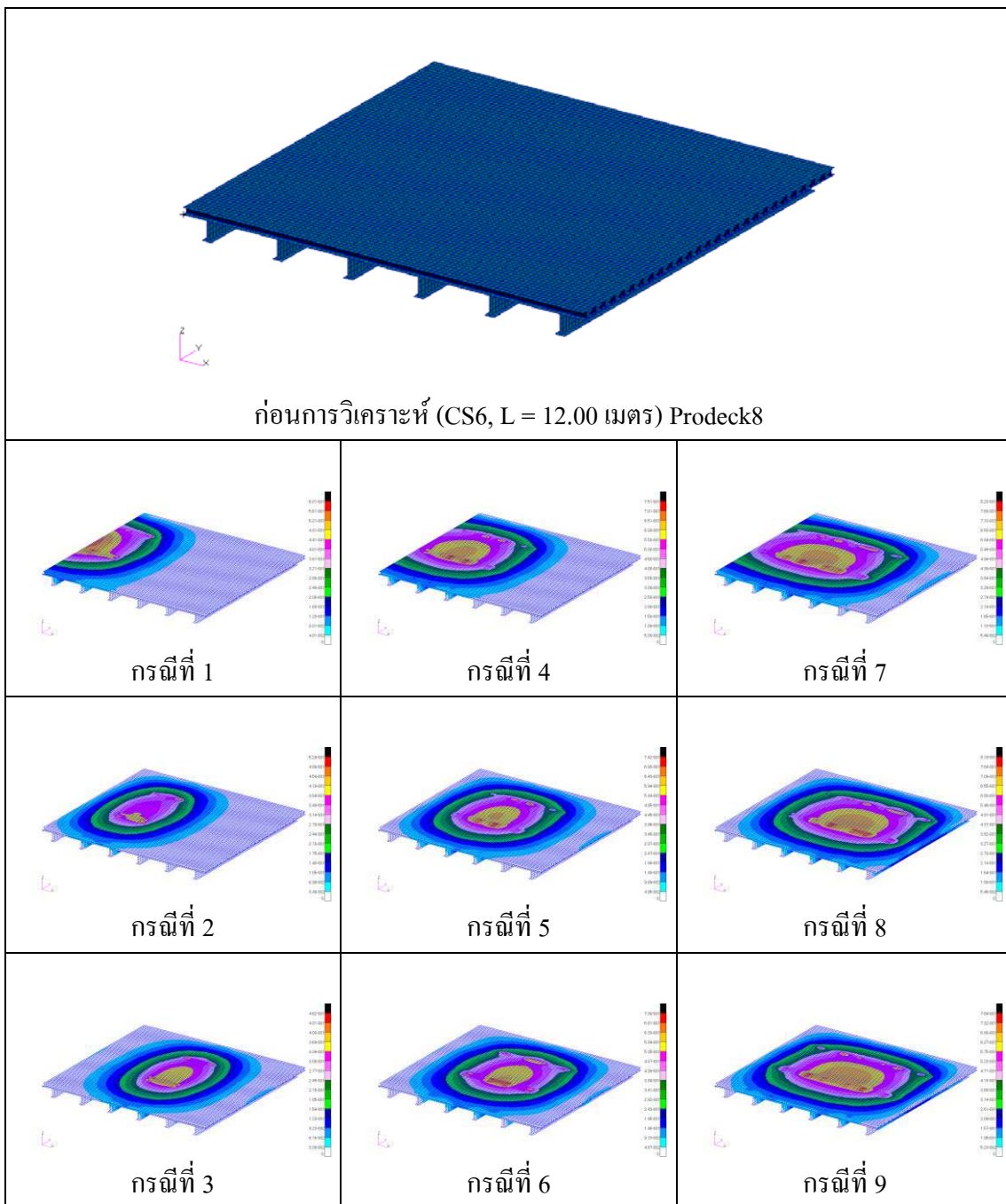
รูปที่ ก-20 ผลการวิเคราะห์แบบจำลองสะพาน หน้าตัด CS4 ($W = 13.00$ เมตร, $S = 1.20$ เมตร)
 $L = 18.00$ เมตร แผ่นพื้นประเภท Prodeck8 รับแรงกระทำในกราฟที่ 1 ถึง กราฟที่ 9



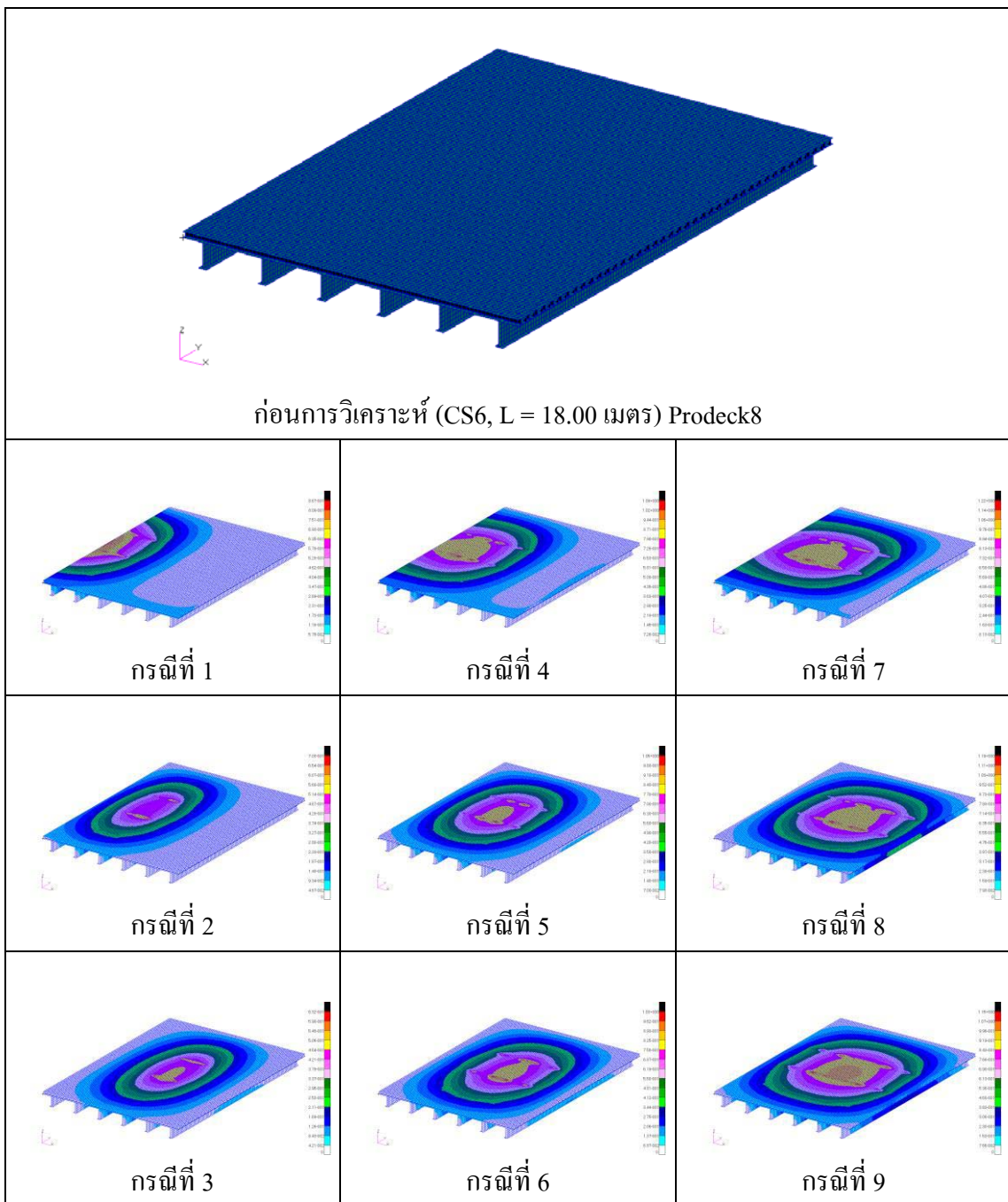
รูปที่ ก-21 ผลการวิเคราะห์แบบจำลองสะพาน หน้าตัด CS5 (W = 13.00 เมตร, S = 1.83 เมตร)
 $L = 12.00$ เมตร แผ่นพื้นประเภท Prodeck8 รับแรงกระทำในกราฟที่ 1 ถึง กราฟที่ 9



รูปที่ ก-22 ผลการวิเคราะห์แบบจำลองสะพาน หน้าตัด CS5 ($W = 13.00$ เมตร, $S = 1.83$ เมตร)
 $L = 18.00$ เมตร แผ่นพื้นประเภท Prodeck8 รับแรงกระทำในกรณีที่ 1 ถึง กรณีที่ 9



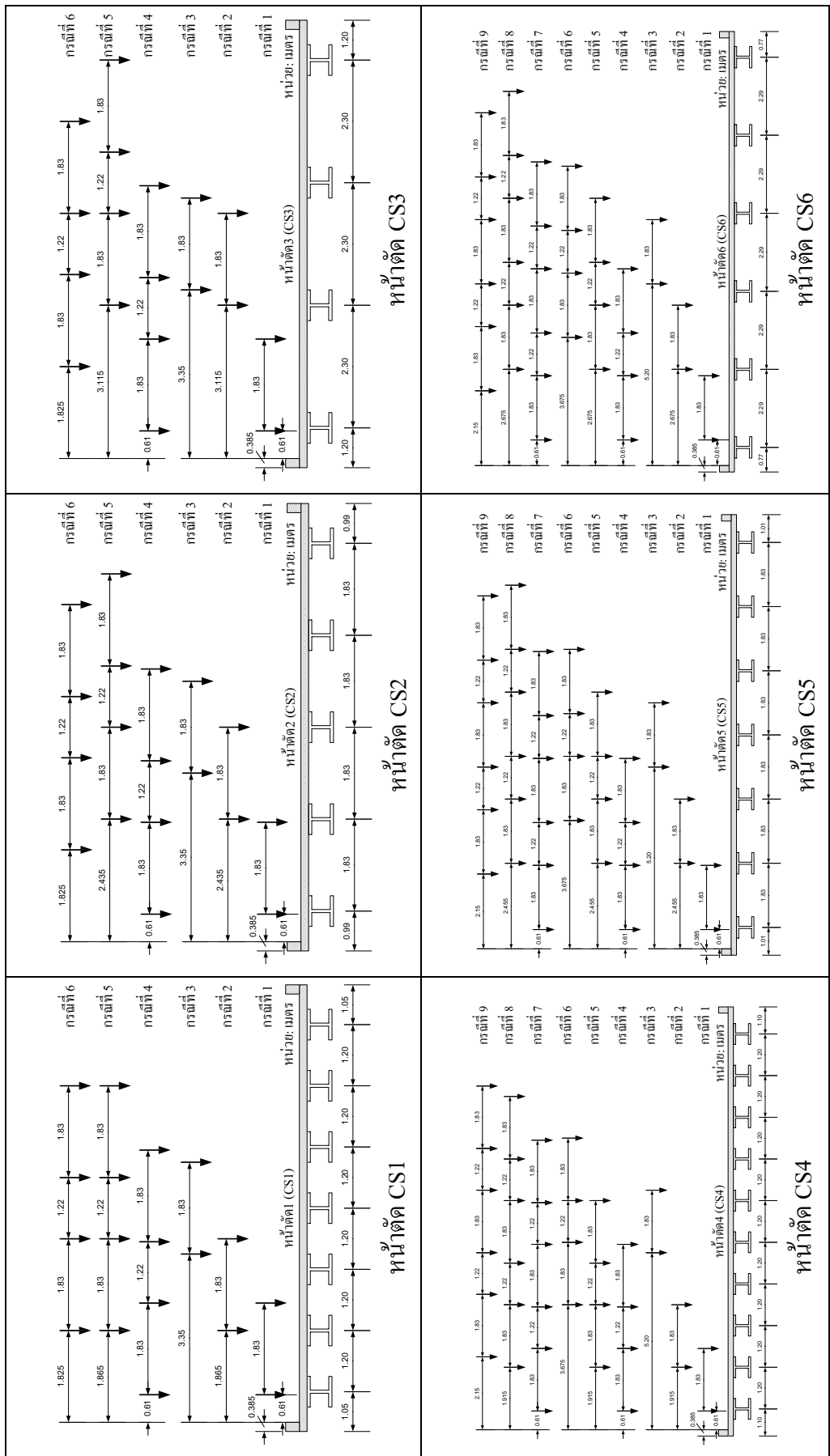
รูปที่ ก-23 ผลการวิเคราะห์แบบจำลองสะพาน หน้าตัด CS6 ($W = 13.00$ เมตร, $S = 2.29$ เมตร)
 $L = 12.00$ เมตร แผ่นพื้นประเภท Prodeck8 รับแรงกระทำในกราฟที่ 1 ถึง กราฟที่ 9



รูปที่ ก-24 ผลการวิเคราะห์แบบจำลองสะพาน หน้าตัด CS6 ($W = 13.00$ เมตร, $S = 2.29$ เมตร)
 $L = 18.00$ เมตร แผ่นพื้นประเภท Prodeck8 รับแรงกระทำในกราฟที่ 1 ถึง กราฟที่ 9

ภาคผนวก ๙

ตารางแสดงค่าตัวประกอบการกระจายน้ำหนัก (Load Distribution Factor) ของคนที่รองรับ
โดยมีหน้าตัดของแบบจำลองและแรงกระทำจากrobotทุกต่างๆ



ตารางที่ ข-2 หน้าตัดแบบ CS1 ($W = 9.30$ เมตร, $S = 1.20$ เมตร) $L = 12.00$ เมตร แบบจำลองมีแผ่นพื้นประเภท Prodeck4 และมีพฤติกรรมประกอบอย่างสมบูรณ์ (Fully Composite)

กรุณี	ค่า LDF ของคานที่รองรับ						
	คาน 1	คาน 2	คาน 3	คาน 4	คาน 5	คาน 6	คาน 7
1	0.4249	0.3181	0.2008	0.0775	0.0116	-0.0095	-0.0234
2	0.1576	0.2724	0.2863	0.2012	0.0792	0.0120	-0.0088
3	0.0161	0.1184	0.2258	0.2805	0.2352	0.1067	0.0174
4	0.2162	0.2036	0.1991	0.1779	0.1348	0.0654	0.0031
5	0.0729	0.1437	0.1853	0.1987	0.1840	0.1464	0.0689
6	0.0740	0.1430	0.1859	0.1982	0.1839	0.1462	0.0689

ตารางที่ ข-3 หน้าตัดแบบ CS1 ($W = 9.30$ เมตร, $S = 1.20$ เมตร) $L = 18.00$ เมตร แบบจำลองมีแผ่นพื้นประเภท Prodeck4 และมีพฤติกรรมประกอบอย่างสมบูรณ์ (Fully Composite)

กรุณี	ค่า LDF ของคานที่รองรับ						
	คาน 1	คาน 2	คาน 3	คาน 4	คาน 5	คาน 6	คาน 7
1	0.4158	0.3105	0.2023	0.0804	0.0190	-0.0096	-0.0184
2	0.1696	0.2688	0.2714	0.1960	0.0821	0.0196	-0.0074
3	0.0296	0.1117	0.2272	0.2621	0.2209	0.1190	0.0295
4	0.2193	0.1999	0.2001	0.1717	0.1336	0.0679	0.0075
5	0.0800	0.1458	0.1788	0.1944	0.1780	0.1473	0.0758
6	0.0760	0.1469	0.1781	0.1942	0.1795	0.1454	0.0798

ตารางที่ ข-4 หน้าตัดแบบ CS2 ($W = 9.30$ เมตร, $S = 1.83$ เมตร) $L = 12.00$ เมตร แบบจำลองมีแผ่นพื้นประเภท Prodeck4 และมีพฤติกรรมประกอบอย่างสมบูรณ์ (Fully Composite)

กรณี	ค่า LDF ของคานที่รองรับ				
	คาน 1	คาน 2	คาน 3	คาน 4	คาน 5
1	0.5159	0.3762	0.1309	0.0077	-0.0308
2	0.1227	0.3816	0.3579	0.1341	0.0037
3	0.0387	0.2543	0.4119	0.2550	0.0401
4	0.2694	0.2933	0.2632	0.1574	0.0167
5	0.0518	0.2040	0.2835	0.2804	0.1804
6	0.1044	0.2473	0.2939	0.2481	0.1063

ตารางที่ ข-5 หน้าตัดแบบ CS2 ($W = 9.30$ เมตร, $S = 1.83$ เมตร) $L = 18.00$ เมตร แบบจำลองมีแผ่นพื้นประเภท Prodeck4 และมีพฤติกรรมประกอบอย่างสมบูรณ์ (Fully Composite)

กรณี	ค่า LDF ของคานที่รองรับ				
	คาน 1	คาน 2	คาน 3	คาน 4	คาน 5
1	0.5153	0.3715	0.1356	0.0133	-0.0357
2	0.1444	0.3652	0.3414	0.1343	0.0148
3	0.0630	0.2487	0.3826	0.2487	0.0571
4	0.2776	0.2900	0.2557	0.1548	0.0219
5	0.0620	0.2013	0.2743	0.2749	0.1874
6	0.1154	0.2423	0.2838	0.2415	0.1169

ตารางที่ ข-6 หน้าตัดแบบ CS3 ($W = 9.30$ เมตร, $S = 2.29$ เมตร) $L = 12.00$ เมตร แบบจำลองมีแผ่นพื้นประเภท Prodeck4 และมีพฤติกรรมประกอบอย่างสมบูรณ์ (Fully Composite)

กรณี	ค่า LDF ของคานที่รองรับ			
	คาน 1	คาน 2	คาน 3	คาน 4
1	0.6209	0.3640	0.0502	-0.0351
2	0.1075	0.4463	0.3883	0.0579
3	0.0808	0.4171	0.4137	0.0885
4	0.3361	0.3633	0.2570	0.0435
5	0.0339	0.2425	0.3608	0.3627
6	0.1621	0.3358	0.3352	0.1669

ตารางที่ ข-7 หน้าตัดแบบ CS3 ($W = 9.30$ เมตร, $S = 2.29$ เมตร) $L = 18.00$ เมตร แบบจำลองมีแผ่นพื้นประเภท Prodeck4 และมีพฤติกรรมประกอบอย่างสมบูรณ์ (Fully Composite)

กรณี	ค่า LDF ของคานที่รองรับ			
	คาน 1	คาน 2	คาน 3	คาน 4
1	0.6168	0.3635	0.0598	-0.0401
2	0.1270	0.4226	0.3696	0.0807
3	0.1018	0.3996	0.3988	0.0998
4	0.3399	0.3569	0.2518	0.0514
5	0.0405	0.2379	0.3532	0.3684
6	0.1742	0.3267	0.3278	0.1714

ตารางที่ ข-8 หน้าตัดแบบ CS4 ($W = 13.00$ เมตร, $S = 1.20$ เมตร) $L = 12.00$ เมตร แบบจำลองมีแผ่นพื้นประเภท Prodeck4 และมีพฤติกรรมประกอบอย่างสมบูรณ์ (Fully Composite)

กรุณี	ค่า LDF ของคานที่รองรับ									
	คาน 1	คาน 2	คาน 3	คาน 4	คาน 5	คาน 6	คาน 7	คาน 8	คาน 9	คาน 10
1	0.4161	0.3138	0.1983	0.0799	0.0172	0.0022	-0.0005	-0.0038	-0.0089	-0.0143
2	0.1484	0.2752	0.2924	0.1980	0.0780	0.0164	0.0040	-0.0004	-0.0041	-0.0080
3	0.0010	0.0122	0.0548	0.1619	0.2698	0.2696	0.1623	0.0557	0.0119	0.0009
4	0.2130	0.1967	0.2014	0.1786	0.1328	0.0679	0.0187	0.0032	-0.0039	-0.0084
5	0.0751	0.1476	0.1848	0.1965	0.1772	0.1342	0.0658	0.0211	0.0025	-0.0048
6	0.0044	0.0415	0.1049	0.1587	0.1901	0.1905	0.1589	0.1047	0.0416	0.0046
7	0.1412	0.1311	0.1360	0.1329	0.1325	0.1278	0.1051	0.0684	0.0282	-0.0032
8	0.0481	0.0975	0.1232	0.1340	0.1309	0.1324	0.1292	0.1087	0.0732	0.0228
9	0.0328	0.0864	0.1159	0.1329	0.1316	0.1320	0.1330	0.1161	0.0865	0.0328

ตารางที่ ข-9 หน้าตัดแบบ CS4 ($W = 13.00$ เมตร, $S = 1.20$ เมตร) $L = 18.00$ เมตร แบบจำลองมีแผ่นพื้นประเภท Prodeck4 และมีพฤติกรรมประกอบอย่างสมบูรณ์ (Fully Composite)

กรุณี	ค่า LDF ของคานที่รองรับ									
	คาน 1	คาน 2	คาน 3	คาน 4	คาน 5	คาน 6	คาน 7	คาน 8	คาน 9	คาน 10
1	0.4062	0.3058	0.2023	0.0839	0.0290	0.0103	0.0018	-0.0047	-0.0134	-0.0209
2	0.1557	0.2732	0.2745	0.1962	0.0805	0.0268	0.0091	0.0007	-0.0057	-0.0111
3	0.0072	0.0246	0.0618	0.1555	0.2504	0.2506	0.1553	0.0625	0.0254	0.0068
4	0.2154	0.1974	0.1992	0.1715	0.1317	0.0708	0.0235	0.0050	-0.0040	-0.0106
5	0.0825	0.1507	0.1772	0.1926	0.1683	0.1299	0.0699	0.0264	0.0064	-0.0039
6	0.0124	0.0486	0.1059	0.1517	0.1809	0.1813	0.1518	0.1054	0.0500	0.0119
7	0.1434	0.1330	0.1375	0.1297	0.1311	0.1238	0.1026	0.0693	0.0289	0.0005
8	0.0525	0.0994	0.1190	0.1329	0.1280	0.1310	0.1260	0.1070	0.0754	0.0288
9	0.0395	0.0882	0.1128	0.1305	0.1284	0.1284	0.1308	0.1135	0.0878	0.0401

ตารางที่ ข-10 หน้าตัดแบบ CS5 ($W = 13.00$ เมตร, $S = 1.83$ เมตร) $L = 12.00$ เมตร แบบจำลองมีแผ่นพื้นประเภท Prodeck4 และมีพฤติกรรมประกอบอย่างสมบูรณ์ (Fully Composite)

ครรภ์	ค่า LDF ของคานที่รองรับ						
	คาน 1	คาน 2	คาน 3	คาน 4	คาน 5	คาน 6	คาน 7
1	0.5073	0.3759	0.1262	0.0181	0.0009	-0.0081	-0.0203
2	0.1260	0.3771	0.3578	0.1298	0.0159	0.0005	-0.0071
3	0.0064	0.0460	0.2414	0.4111	0.2418	0.0476	0.0057
4	0.2699	0.2925	0.2627	0.1523	0.0333	-0.0003	-0.0105
5	0.0646	0.2082	0.2804	0.2601	0.1519	0.0350	-0.0001
6	0.0147	0.1071	0.2333	0.2886	0.2334	0.1076	0.0152
7	0.1797	0.1974	0.1971	0.1969	0.1547	0.0718	0.0024
8	0.0394	0.1380	0.1893	0.1970	0.1990	0.1654	0.0719
9	0.0532	0.1530	0.1957	0.1950	0.1962	0.1530	0.0540

ตารางที่ ข-11 หน้าตัดแบบ CS5 ($W = 13.00$ เมตร, $S = 1.83$ เมตร) $L = 18.00$ เมตร แบบจำลองมีแผ่นพื้นประเภท Prodeck4 และมีพฤติกรรมประกอบอย่างสมบูรณ์ (Fully Composite)

ครรภ์	ค่า LDF ของคานที่รองรับ						
	คาน 1	คาน 2	คาน 3	คาน 4	คาน 5	คาน 6	คาน 7
1	0.4985	0.3669	0.1374	0.0318	0.0056	-0.0114	-0.0288
2	0.1443	0.3627	0.3425	0.1269	0.0292	0.0030	-0.0085
3	0.0162	0.0624	0.2332	0.3772	0.2326	0.0619	0.0166
4	0.2750	0.2888	0.2547	0.1507	0.0414	0.0032	-0.0137
5	0.0784	0.2063	0.2678	0.2479	0.1508	0.0429	0.0060
6	0.0264	0.1130	0.2241	0.2729	0.2242	0.1130	0.0263
7	0.1840	0.1979	0.1951	0.1911	0.1506	0.0730	0.0083
8	0.0473	0.1370	0.1834	0.1915	0.1952	0.1655	0.0801
9	0.0624	0.1516	0.1903	0.1912	0.1909	0.1513	0.0623

ตารางที่ ข-12 หน้าตัดแบบ CS6 ($W = 13.00$ เมตร, $S = 2.29$ เมตร) $L = 12.00$ เมตร แบบจำลองมีแผ่นพื้นประเภท Prodeck4 และมีพฤติกรรมประกอบอย่างสมบูรณ์ (Fully Composite)

กรณี	ค่า LDF ของคานที่รองรับ					
	คาน 1	คาน 2	คาน 3	คาน 4	คาน 5	คาน 6
1	0.5629	0.3889	0.0714	0.0056	-0.0065	-0.0224
2	0.1094	0.4489	0.3770	0.0646	0.0052	-0.0050
3	0.0084	0.0887	0.4007	0.4007	0.0931	0.0084
4	0.2966	0.3534	0.2544	0.0767	0.0310	-0.0120
5	0.0570	0.2501	0.3512	0.2615	0.0770	0.0032
6	0.0182	0.1637	0.3168	0.3167	0.1656	0.0191
7	0.2029	0.2477	0.2469	0.2101	0.0912	0.0011
8	0.0337	0.1661	0.2393	0.2439	0.2256	0.0913
9	0.0599	0.2032	0.2355	0.2357	0.2040	0.0617

ตารางที่ ข-13 หน้าตัดแบบ CS6 ($W = 13.00$ เมตร, $S = 2.29$ เมตร) $L = 18.00$ เมตร แบบจำลองมีแผ่นพื้นประเภท Prodeck4 และมีพฤติกรรมประกอบอย่างสมบูรณ์ (Fully Composite)

กรณี	ค่า LDF ของคานที่รองรับ					
	คาน 1	คาน 2	คาน 3	คาน 4	คาน 5	คาน 6
1	0.5518	0.3805	0.0945	0.0146	-0.0089	-0.0324
2	0.1324	0.4245	0.3521	0.0833	0.0127	-0.0049
3	0.0222	0.1039	0.3732	0.3732	0.1062	0.0213
4	0.3103	0.3549	0.2561	0.0858	0.0085	-0.0156
5	0.0736	0.2462	0.3304	0.2524	0.0854	0.0121
6	0.0319	0.1669	0.3005	0.3013	0.1668	0.0325
7	0.2084	0.2464	0.2411	0.2033	0.0944	0.0065
8	0.0431	0.1688	0.2305	0.2379	0.2196	0.1002
9	0.0710	0.1990	0.2295	0.2301	0.1986	0.0719

ตารางที่ ข-14 หน้าตัดแบบ CS1 ($W = 9.30$ เมตร, $S = 1.20$ เมตร) $L = 12.00$ เมตร แบบจำลองมีแผ่นพื้นประเภท Prodeck8 และมีพฤติกรรมประกอบอย่างสมบูรณ์ (Fully Composite)

กรุณี	ค่า LDF ของคานที่รองรับ						
	คาน 1	คาน 2	คาน 3	คาน 4	คาน 5	คาน 6	คาน 7
1	0.4143	0.3024	0.1928	0.0987	0.0296	-0.0078	-0.0300
2	0.1917	0.2385	0.2489	0.1914	0.1108	0.0366	-0.0178
3	0.0371	0.1335	0.2064	0.2453	0.2069	0.1337	0.0371
4	0.2173	0.2053	0.1931	0.1737	0.1272	0.0725	0.0109
5	0.0870	0.1375	0.1799	0.1914	0.1801	0.1374	0.0866
6	0.0866	0.1379	0.1801	0.1900	0.1805	0.1379	0.0869

ตารางที่ ข-15 หน้าตัดแบบ CS1 ($W = 9.30$ เมตร, $S = 1.20$ เมตร) $L = 18.00$ เมตร แบบจำลองมีแผ่นพื้นประเภท Prodeck8 และมีพฤติกรรมประกอบอย่างสมบูรณ์ (Fully Composite)

กรุณี	ค่า LDF ของคานที่รองรับ						
	คาน 1	คาน 2	คาน 3	คาน 4	คาน 5	คาน 6	คาน 7
1	0.4031	0.2978	0.1985	0.1075	0.0382	-0.0065	-0.0387
2	0.1997	0.2389	0.2395	0.1833	0.1092	0.0421	-0.0127
3	0.0509	0.1316	0.2025	0.2288	0.1993	0.1331	0.0538
4	0.2194	0.2057	0.1916	0.1672	0.1265	0.0735	0.0161
5	0.0936	0.1408	0.1738	0.1833	0.1726	0.1418	0.0941
6	0.0921	0.1412	0.1734	0.1837	0.1730	0.1421	0.0945

ตารางที่ ข-16 หน้าตัดแบบ CS2 ($W = 9.30$ เมตร, $S = 1.83$ เมตร) $L = 12.00$ เมตร แบบจำลองมีแผ่นพื้นประเภท Prodeck8 และมีพฤติกรรมประกอบอย่างสมบูรณ์ (Fully Composite)

กรณี	ค่า LDF ของคานที่รองรับ				
	คาน 1	คาน 2	คาน 3	คาน 4	คาน 5
1	0.5100	0.3447	0.1560	0.0252	-0.0360
2	0.1634	0.3314	0.3239	0.1696	0.0117
3	0.0740	0.2561	0.3411	0.2569	0.0720
4	0.2810	0.2872	0.2509	0.1529	0.0280
5	0.0682	0.1964	0.2730	0.2659	0.1965
6	0.1261	0.2353	0.2793	0.2354	0.1238

ตารางที่ ข-17 หน้าตัดแบบ CS2 ($W = 9.30$ เมตร, $S = 1.83$ เมตร) $L = 18.00$ เมตร แบบจำลองมีแผ่นพื้นประเภท Prodeck8 และมีพฤติกรรมประกอบอย่างสมบูรณ์ (Fully Composite)

กรณี	ค่า LDF ของคานที่รองรับ				
	คาน 1	คาน 2	คาน 3	คาน 4	คาน 5
1	0.5021	0.3431	0.1642	0.0354	-0.0448
2	0.1897	0.3124	0.3005	0.1687	0.0287
3	0.0874	0.2488	0.3290	0.2482	0.0864
4	0.2854	0.2828	0.2430	0.1528	0.0361
5	0.0817	0.1946	0.2602	0.2602	0.2033
6	0.1345	0.2317	0.2681	0.2312	0.1345

ตารางที่ ข-18 หน้าตัดแบบ CS3 ($W = 9.30$ เมตร, $S = 2.29$ เมตร) $L = 12.00$ เมตร แบบจำลองมีแผ่นพื้นประเภท Prodeck8 และมีพฤติกรรมประกอบอย่างสมบูรณ์ (Fully Composite)

กรณี	ค่า LDF ของคานที่รองรับ			
	คาน 1	คาน 2	คาน 3	คาน 4
1	0.5992	0.3449	0.0978	-0.0419
2	0.1498	0.3918	0.3627	0.0957
3	0.1286	0.3727	0.3727	0.1261
4	0.3441	0.3459	0.2486	0.0613
5	0.0510	0.2354	0.3447	0.3690
6	0.1832	0.3187	0.3179	0.1802

ตารางที่ ข-19 หน้าตัดแบบ CS3 ($W = 9.30$ เมตร, $S = 2.29$ เมตร) $L = 18.00$ เมตร แบบจำลองมีแผ่นพื้นประเภท Prodeck8 และมีพฤติกรรมประกอบอย่างสมบูรณ์ (Fully Composite)

กรณี	ค่า LDF ของคานที่รองรับ			
	คาน 1	คาน 2	คาน 3	คาน 4
1	0.5980	0.3462	0.1018	-0.0460
2	0.1612	0.3786	0.3434	0.1168
3	0.1492	0.3514	0.3525	0.1469
4	0.3513	0.3379	0.2430	0.0678
5	0.0538	0.2304	0.3386	0.3772
6	0.1944	0.3065	0.3067	0.1924

ตารางที่ ข-20 หน้าตัดแบบ CS4 ($W = 13.00$ เมตร, $S = 1.20$ เมตร) $L = 12.00$ เมตร แบบจำลองมีแผ่นพื้นประเภท Prodeck8 และมีพฤติกรรมประกอบอย่างสมบูรณ์ (Fully Composite)

กรณี	ค่า LDF ของคานที่รองรับ									
	คาน 1	คาน 2	คาน 3	คาน 4	คาน 5	คาน 6	คาน 7	คาน 8	คาน 9	คาน 10
1	0.4036	0.2968	0.1906	0.1021	0.0359	0.0068	-0.0043	-0.0079	-0.0100	-0.0135
2	0.1890	0.2361	0.2498	0.1894	0.1069	0.0385	0.0101	-0.0028	-0.0074	-0.0096
3	-0.0061	0.0283	0.0854	0.1667	0.2242	0.2224	0.1672	0.0895	0.0288	-0.0063
4	0.2118	0.2022	0.1885	0.1699	0.1245	0.0778	0.0337	0.0079	-0.0049	-0.0115
5	0.0911	0.1385	0.1786	0.1857	0.1708	0.1273	0.0784	0.0327	0.0057	-0.0089
6	0.0064	0.0528	0.1040	0.1539	0.1808	0.1806	0.1545	0.1064	0.0540	0.0065
7	0.1374	0.1352	0.1335	0.1369	0.1326	0.1227	0.1016	0.0675	0.0326	0.0000
8	0.0580	0.0909	0.1204	0.1316	0.1374	0.1344	0.1251	0.1041	0.0692	0.0288
9	0.0406	0.0790	0.1114	0.1288	0.1379	0.1384	0.1297	0.1135	0.0800	0.0407

ตารางที่ ข-21 หน้าตัดแบบ CS4 ($W = 13.00$ เมตร, $S = 1.20$ เมตร) $L = 18.00$ เมตร แบบจำลองมีแผ่นพื้นประเภท Prodeck8 และมีพฤติกรรมประกอบอย่างสมบูรณ์ (Fully Composite)

กรณี	ค่า LDF ของคานที่รองรับ									
	คาน 1	คาน 2	คาน 3	คาน 4	คาน 5	คาน 6	คาน 7	คาน 8	คาน 9	คาน 10
1	0.3910	0.2901	0.1950	0.1076	0.0474	0.0155	-0.0010	-0.0096	-0.0157	-0.0205
2	0.1975	0.2326	0.2315	0.1795	0.1101	0.0535	0.0196	0.0009	-0.0091	-0.0163
3	0.0006	0.0407	0.0916	0.1589	0.2074	0.2067	0.1589	0.0931	0.0418	0.0003
4	0.2153	0.2011	0.1866	0.1628	0.1241	0.0786	0.0389	0.0128	-0.0044	-0.0157
5	0.1004	0.1420	0.1706	0.1768	0.1619	0.1264	0.0807	0.0390	0.0117	-0.0096
6	0.0150	0.0593	0.1065	0.1476	0.1708	0.1706	0.1473	0.1075	0.0603	0.0151
7	0.1396	0.1366	0.1362	0.1347	0.1302	0.1181	0.0982	0.0685	0.0346	0.0035
8	0.0621	0.0933	0.1173	0.1298	0.1342	0.1319	0.1220	0.1020	0.0722	0.0352
9	0.0468	0.0826	0.1094	0.1266	0.1335	0.1337	0.1269	0.1103	0.0829	0.0474

ตารางที่ ข-22 หน้าตัดแบบ CS5 ($W = 13.00$ เมตร, $S = 1.83$ เมตร) $L = 12.00$ เมตร แบบจำลองมีแผ่นพื้นประเภท Prodeck8 และมีพฤติกรรมประกอบอย่างสมบูรณ์ (Fully Composite)

กรุณี	ค่า LDF ของคานที่รองรับ						
	คาน 1	คาน 2	คาน 3	คาน 4	คาน 5	คาน 6	คาน 7
1	0.4962	0.3370	0.1603	0.0409	-0.0015	-0.0129	-0.0200
2	0.1685	0.3193	0.3111	0.1686	0.0455	0.0005	-0.0134
3	-0.0002	0.0978	0.2440	0.3228	0.2422	0.0942	-0.0008
4	0.2735	0.2801	0.2440	0.1534	0.0594	0.0053	-0.0158
5	0.0812	0.1990	0.2640	0.2454	0.1561	0.0583	-0.0040
6	0.0211	0.1246	0.2238	0.2652	0.2228	0.1227	0.0198
7	0.1779	0.1949	0.2025	0.1906	0.1487	0.0784	0.0070
8	0.0492	0.1317	0.1856	0.2042	0.1949	0.1542	0.0801
9	0.0638	0.1443	0.1920	0.2044	0.1910	0.1434	0.0612

ตารางที่ ข-23 หน้าตัดแบบ CS5 ($W = 13.00$ เมตร, $S = 1.83$ เมตร) $L = 18.00$ เมตร แบบจำลองมีแผ่นพื้นประเภท Prodeck8 และมีพฤติกรรมประกอบอย่างสมบูรณ์ (Fully Composite)

กรุณี	ค่า LDF ของคานที่รองรับ						
	คาน 1	คาน 2	คาน 3	คาน 4	คาน 5	คาน 6	คาน 7
1	0.4861	0.3355	0.1660	0.0522	0.0044	-0.0156	-0.0286
2	0.1875	0.3057	0.2927	0.1661	0.0582	0.0079	-0.0181
3	0.0116	0.1074	0.2316	0.2998	0.2312	0.1057	0.0128
4	0.2806	0.2776	0.2370	0.1522	0.0616	0.0095	-0.0186
5	0.0962	0.1973	0.2507	0.2330	0.1551	0.0667	0.0010
6	0.0323	0.1285	0.2146	0.2503	0.2146	0.1279	0.0319
7	0.1846	0.1986	0.1993	0.1849	0.1440	0.0775	0.0111
8	0.0568	0.1314	0.1803	0.1967	0.1908	0.1555	0.0886
9	0.0706	0.1440	0.1866	0.1981	0.1865	0.1440	0.0703

ตารางที่ ข-24 หน้าตัดแบบ CS6 ($W = 13.00$ เมตร, $S = 2.29$ เมตร) $L = 12.00$ เมตร แบบจำลองมีแผ่นพื้นประเภท Prodeck8 และมีพฤติกรรมประกอบอย่างสมบูรณ์ (Fully Composite)

กรณี	ค่า LDF ของคานที่รองรับ					
	คาน 1	คาน 2	คาน 3	คาน 4	คาน 5	คาน 6
1	0.5529	0.3516	0.1195	0.0106	-0.0127	-0.0218
2	0.1486	0.3798	0.3434	0.1288	0.0140	-0.0146
3	0.0046	0.1439	0.3509	0.3467	0.1491	0.0048
4	0.3142	0.3363	0.2515	0.1027	0.0119	-0.0166
5	0.0706	0.2418	0.3264	0.2542	0.1065	0.0005
6	0.0253	0.1716	0.3016	0.3005	0.1756	0.0253
7	0.2059	0.2444	0.2475	0.1993	0.0990	0.0039
8	0.0417	0.1609	0.2374	0.2521	0.2084	0.0995
9	0.0690	0.1866	0.2428	0.2436	0.1891	0.0689

ตารางที่ ข-25 หน้าตัดแบบ CS6 ($W = 13.00$ เมตร, $S = 2.29$ เมตร) $L = 18.00$ เมตร แบบจำลองมีแผ่นพื้นประเภท Prodeck8 และมีพฤติกรรมประกอบอย่างสมบูรณ์ (Fully Composite)

กรณี	ค่า LDF ของคานที่รองรับ					
	คาน 1	คาน 2	คาน 3	คาน 4	คาน 5	คาน 6
1	0.5415	0.3524	0.1290	0.0239	-0.0143	-0.0325
2	0.1694	0.3647	0.3218	0.1330	0.0276	-0.0165
3	0.0192	0.1588	0.3232	0.3231	0.1554	0.0204
4	0.3221	0.3283	0.2442	0.1080	0.0187	-0.0213
5	0.0873	0.2392	0.3062	0.2456	0.1132	0.0085
6	0.0411	0.1772	0.2833	0.2827	0.1756	0.0401
7	0.2130	0.2445	0.2399	0.1938	0.1002	0.0086
8	0.0503	0.1604	0.2288	0.2432	0.2070	0.1103
9	0.0818	0.1858	0.2338	0.2332	0.1848	0.0805

ตารางที่ ข-26 หน้าตัดแบบ CS1 ($W = 9.30$ เมตร, $S = 1.20$ เมตร) $L = 12.00$ เมตร แบบจำลองมีแผ่นพื้นประเภท Prodeck4 และมีพฤติกรรมเชื่อมต่อบางส่วน (Partial Connection)

กรุณี	ค่า LDF ของคานที่รองรับ						
	คาน 1	คาน 2	คาน 3	คาน 4	คาน 5	คาน 6	คาน 7
1	0.4309	0.3175	0.1996	0.0745	0.0098	-0.0097	-0.0225
2	0.1531	0.2768	0.2895	0.2028	0.0775	0.0103	-0.0100
3	0.0123	0.1152	0.2305	0.2841	0.2397	0.1048	0.0132
4	0.2176	0.2017	0.1994	0.1784	0.1375	0.0643	0.0011
5	0.0702	0.1449	0.1856	0.2004	0.1848	0.1480	0.0661
6	0.0712	0.1442	0.1861	0.2000	0.1845	0.1479	0.0661

ตารางที่ ข-27 หน้าตัดแบบ CS1 ($W = 9.30$ เมตร, $S = 1.20$ เมตร) $L = 18.00$ เมตร แบบจำลองมีแผ่นพื้นประเภท Prodeck4 และมีพฤติกรรมเชื่อมต่อบางส่วน (Partial Connection)

กรุณี	ค่า LDF ของคานที่รองรับ						
	คาน 1	คาน 2	คาน 3	คาน 4	คาน 5	คาน 6	คาน 7
1	0.4262	0.3138	0.2035	0.0793	0.0172	-0.0105	-0.0295
2	0.1671	0.2721	0.2736	0.1972	0.0813	0.0179	-0.0092
3	0.0261	0.1103	0.2306	0.2651	0.2246	0.1171	0.0263
4	0.2208	0.1990	0.2003	0.1722	0.1355	0.0667	0.0055
5	0.0779	0.1466	0.1791	0.1958	0.1787	0.1483	0.0737
6	0.0739	0.1480	0.1787	0.1957	0.1797	0.1461	0.0778

ตารางที่ ข-28 หน้าตัดแบบ CS2 ($W = 9.30$ เมตร, $S = 1.83$ เมตร) $L = 12.00$ เมตร แบบจำลองมีแผ่นพื้นประเภท Prodeck4 และมีพฤติกรรมเชื่อมต่อบางส่วน (Partial Connection)

กรณี	ค่า LDF ของคานที่รองรับ				
	คาน 1	คาน 2	คาน 3	คาน 4	คาน 5
1	0.5190	0.3785	0.1269	0.0061	-0.0305
2	0.1176	0.3862	0.3634	0.1310	0.0017
3	0.0350	0.2560	0.4162	0.2566	0.0362
4	0.2696	0.2944	0.2636	0.1575	0.0149
5	0.0489	0.2059	0.2860	0.2796	0.1795
6	0.1025	0.2478	0.2970	0.2485	0.1042

ตารางที่ ข-29 หน้าตัดแบบ CS2 ($W = 9.30$ เมตร, $S = 1.83$ เมตร) $L = 18.00$ เมตร แบบจำลองมีแผ่นพื้นประเภท Prodeck4 และมีพฤติกรรมเชื่อมต่อบางส่วน (Partial Connection)

กรณี	ค่า LDF ของคานที่รองรับ				
	คาน 1	คาน 2	คาน 3	คาน 4	คาน 5
1	0.5190	0.3733	0.1327	0.0116	-0.0366
2	0.1408	0.3689	0.3458	0.1325	0.0120
3	0.0537	0.2517	0.3885	0.2514	0.0548
4	0.2782	0.2910	0.2559	0.1547	0.0202
5	0.0595	0.2025	0.2764	0.2743	0.1873
6	0.1141	0.2425	0.2862	0.2417	0.1155

ตารางที่ ข-30 หน้าตัดแบบ CS3 ($W = 9.30$ เมตร, $S = 2.29$ เมตร) $L = 12.00$ เมตร แบบจำลองมีแผ่นพื้นประเภท Prodeck4 และมีพฤติกรรมเชื่อมต่อบางส่วน (Partial Connection)

กรณี	ค่า LDF ของคานที่รองรับ			
	คาน 1	คาน 2	คาน 3	คาน 4
1	0.6248	0.3623	0.0483	-0.0354
2	0.1028	0.4518	0.3911	0.0544
3	0.0781	0.4212	0.4169	0.0838
4	0.3363	0.3633	0.2591	0.0414
5	0.0316	0.2442	0.3608	0.3634
6	0.1611	0.3373	0.3361	0.1655

ตารางที่ ข-31 หน้าตัดแบบ CS3 ($W = 9.30$ เมตร, $S = 2.29$ เมตร) $L = 18.00$ เมตร แบบจำลองมีแผ่นพื้นประเภท Prodeck4 และมีพฤติกรรมเชื่อมต่อบางส่วน (Partial Connection)

กรณี	ค่า LDF ของคานที่รองรับ			
	คาน 1	คาน 2	คาน 3	คาน 4
1	0.6214	0.3620	0.0582	-0.0417
2	0.1240	0.4269	0.3712	0.0779
3	0.0985	0.4028	0.4022	0.0966
4	0.3409	0.3570	0.2529	0.0492
5	0.0382	0.2390	0.3529	0.3700
6	0.1734	0.3272	0.3286	0.1708

ตารางที่ ข-32 หน้าตัดแบบ CS4 ($W = 13.00$ เมตร, $S = 1.20$ เมตร) $L = 12.00$ เมตร แบบจำลองมีแผ่นพื้นประเภท Prodeck4 และมีพฤติกรรมเชื่อมต่อนบางส่วน (Partial Connection)

กรณี	ค่า LDF ของคานที่รองรับ									
	คาน 1	คาน 2	คาน 3	คาน 4	คาน 5	คาน 6	คาน 7	คาน 8	คาน 9	คาน 10
1	0.4228	0.3135	0.1976	0.0765	0.0145	0.0006	-0.0010	-0.0035	-0.0079	-0.0132
2	0.1440	0.2799	0.2953	0.1996	0.0762	0.0142	0.0024	-0.0009	-0.0037	-0.0070
3	-0.0007	0.0098	0.0528	0.1624	0.2754	0.2753	0.1627	0.0535	0.0096	-0.0008
4	0.2145	0.1956	0.2019	0.1789	0.1349	0.0666	0.0172	0.0022	-0.0039	-0.0079
5	0.0718	0.1487	0.1854	0.1982	0.1784	0.1369	0.0647	0.0193	0.0015	-0.0049
6	0.0024	0.0397	0.1048	0.1594	0.1934	0.1938	0.1596	0.1046	0.0399	0.0025
7	0.1421	0.1300	0.1357	0.1321	0.1336	0.1295	0.1055	0.0682	0.0271	-0.0040
8	0.0461	0.0982	0.1234	0.1345	0.1308	0.1340	0.1308	0.1087	0.0725	0.0211
9	0.0310	0.0865	0.1159	0.1341	0.1322	0.1322	0.1341	0.1162	0.0867	0.0310

ตารางที่ ข-33 หน้าตัดแบบ CS4 ($W = 13.00$ เมตร, $S = 1.20$ เมตร) $L = 18.00$ เมตร แบบจำลองมีแผ่นพื้นประเภท Prodeck4 และมีพฤติกรรมเชื่อมต่อนบางส่วน (Partial Connection)

กรณี	ค่า LDF ของคานที่รองรับ									
	คาน 1	คาน 2	คาน 3	คาน 4	คาน 5	คาน 6	คาน 7	คาน 8	คาน 9	คาน 10
1	0.4130	0.3061	0.2013	0.0815	0.0260	0.0080	0.0009	-0.0046	-0.0124	-0.0198
2	0.1533	0.2771	0.2764	0.1974	0.0797	0.0247	0.0073	0.0000	-0.0055	-0.0105
3	0.0048	0.0219	0.0606	0.1566	0.2553	0.2556	0.1564	0.0613	0.0226	0.0049
4	0.2170	0.1967	0.1995	0.1720	0.1335	0.0695	0.0223	0.0041	-0.0042	-0.0104
5	0.0800	0.1514	0.1778	0.1944	0.1697	0.1322	0.0689	0.0249	0.0052	-0.0045
6	0.0101	0.0468	0.1056	0.1527	0.1843	0.1847	0.1528	0.1051	0.0480	0.0098
7	0.1442	0.1321	0.1372	0.1295	0.1323	0.1252	0.1029	0.0692	0.0280	-0.0005
8	0.0508	0.0998	0.1191	0.1335	0.1284	0.1324	0.1273	0.1069	0.0745	0.0273
9	0.0380	0.0878	0.1128	0.1315	0.1294	0.1294	0.1317	0.1134	0.0874	0.0385

ตารางที่ ข-34 หน้าตัดแบบ CS5 ($W = 13.00$ เมตร, $S = 1.83$ เมตร) $L = 12.00$ เมตร แบบจำลองมีแผ่นพื้นประเภท Prodeck4 และมีพฤติกรรมเชื่อมต่อนบางส่วน (Partial Connection)

กรุณี	ค่า LDF ของคานที่รองรับ						
	คาน 1	คาน 2	คาน 3	คาน 4	คาน 5	คาน 6	คาน 7
1	0.5104	0.3784	0.1226	0.0155	0.0000	-0.0076	-0.0192
2	0.1208	0.3819	0.3636	0.1270	0.0139	-0.0003	-0.0069
3	0.0041	0.0445	0.2432	0.4152	0.2436	0.0461	0.0034
4	0.2697	0.2937	0.2630	0.1527	0.0321	-0.0010	-0.0103
5	0.0611	0.2096	0.2831	0.2609	0.1527	0.0339	-0.0013
6	0.0126	0.1064	0.2348	0.2917	0.2348	0.1068	0.0130
7	0.1793	0.1976	0.1968	0.1982	0.1554	0.0712	0.0014
8	0.0373	0.1388	0.1905	0.1969	0.2005	0.1655	0.0706
9	0.0513	0.1534	0.1971	0.1951	0.1975	0.1533	0.0522

ตารางที่ ข-35 หน้าตัดแบบ CS5 ($W = 13.00$ เมตร, $S = 1.83$ เมตร) $L = 18.00$ เมตร แบบจำลองมีแผ่นพื้นประเภท Prodeck4 และมีพฤติกรรมเชื่อมต่อนบางส่วน (Partial Connection)

กรุณี	ค่า LDF ของคานที่รองรับ						
	คาน 1	คาน 2	คาน 3	คาน 4	คาน 5	คาน 6	คาน 7
1	0.5021	0.3690	0.1344	0.0294	0.0043	-0.0111	-0.0280
2	0.1405	0.3659	0.3475	0.1257	0.0272	0.0019	-0.0087
3	0.0136	0.0613	0.2352	0.3804	0.2346	0.0608	0.0140
4	0.2753	0.2898	0.2550	0.1510	0.0404	0.0023	-0.0138
5	0.0754	0.2073	0.2707	0.2491	0.1512	0.0419	0.0044
6	0.0243	0.1123	0.2255	0.2759	0.2256	0.1122	0.0242
7	0.1839	0.1980	0.1951	0.1923	0.1511	0.0724	0.0073
8	0.0454	0.1374	0.1848	0.1920	0.1961	0.1652	0.0791
9	0.0609	0.1517	0.1916	0.1917	0.1920	0.1514	0.0607

ตารางที่ ข-36 หน้าตัดแบบ CS6 ($W = 13.00$ เมตร, $S = 2.29$ เมตร) $L = 12.00$ เมตร แบบจำลองมีแผ่นพื้นประเภท Prodeck4 และมีพฤติกรรมเชื่อมต่อนบางส่วน (Partial Connection)

กรณี	ค่า LDF ของคานที่รองรับ					
	คาน 1	คาน 2	คาน 3	คาน 4	คาน 5	คาน 6
1	0.5660	0.3888	0.0691	0.0040	-0.0064	-0.0214
2	0.1045	0.4541	0.3797	0.0631	0.0037	-0.0050
3	0.0067	0.0876	0.4041	0.4051	0.0903	0.0062
4	0.3050	0.3647	0.2635	0.0765	0.0024	-0.0122
5	0.0537	0.2519	0.3535	0.2634	0.0757	0.0018
6	0.0160	0.1638	0.3190	0.3187	0.1655	0.0169
7	0.2030	0.2486	0.2459	0.2110	0.0912	0.0003
8	0.0317	0.1670	0.2404	0.2454	0.2256	0.0899
9	0.0585	0.2034	0.2367	0.2373	0.2040	0.0602

ตารางที่ ข-37 หน้าตัดแบบ CS6 ($W = 13.00$ เมตร, $S = 2.29$ เมตร) $L = 18.00$ เมตร แบบจำลองมีแผ่นพื้นประเภท Prodeck4 และมีพฤติกรรมเชื่อมต่อนบางส่วน (Partial Connection)

กรณี	ค่า LDF ของคานที่รองรับ					
	คาน 1	คาน 2	คาน 3	คาน 4	คาน 5	คาน 6
1	0.5556	0.3798	0.0920	0.0128	-0.0091	-0.0311
2	0.1288	0.4289	0.3544	0.0822	0.0111	-0.0054
3	0.0195	0.1025	0.3772	0.3773	0.1048	0.0186
4	0.3108	0.3553	0.2568	0.0851	0.0077	-0.0157
5	0.0707	0.2478	0.3325	0.2542	0.0845	0.0104
6	0.0298	0.1670	0.3025	0.3033	0.1669	0.0305
7	0.2084	0.2467	0.2418	0.2037	0.0938	0.0056
8	0.0415	0.1650	0.2328	0.2403	0.2207	0.0998
9	0.0697	0.1988	0.2310	0.2316	0.1983	0.0706

ตารางที่ ข-38 หน้าตัดแบบ CS1 ($W = 9.30$ เมตร, $S = 1.20$ เมตร) $L = 12.00$ เมตร แบบจำลองมีแผ่นพื้นประเภท Prodeck8 และมีพฤติกรรมเชื่อมต่อบางส่วน (Partial Connection)

กรุณี	ค่า LDF ของคานที่รองรับ						
	คาน 1	คาน 2	คาน 3	คาน 4	คาน 5	คาน 6	คาน 7
1	0.4196	0.3057	0.1929	0.0948	0.0262	-0.0095	-0.0297
2	0.1863	0.2431	0.2549	0.1944	0.1085	0.0333	-0.0204
3	0.0305	0.1314	0.2118	0.2520	0.2123	0.1316	0.0304
4	0.2170	0.2055	0.1947	0.1750	0.1290	0.0713	0.0076
5	0.0829	0.1382	0.1818	0.1944	0.1821	0.1381	0.0825
6	0.0825	0.1385	0.1821	0.1933	0.1824	0.1384	0.0827

ตารางที่ ข-39 หน้าตัดแบบ CS1 ($W = 9.30$ เมตร, $S = 1.20$ เมตร) $L = 18.00$ เมตร แบบจำลองมีแผ่นพื้นประเภท Prodeck8 และมีพฤติกรรมเชื่อมต่อบางส่วน (Partial Connection)

กรุณี	ค่า LDF ของคานที่รองรับ						
	คาน 1	คาน 2	คาน 3	คาน 4	คาน 5	คาน 6	คาน 7
1	0.4091	0.3017	0.1994	0.1042	0.0345	-0.0090	-0.0399
2	0.1962	0.2429	0.2442	0.1863	0.1080	0.0389	-0.0164
3	0.0452	0.1301	0.2071	0.2342	0.2040	0.1315	0.0479
4	0.2196	0.2061	0.1934	0.1685	0.1278	0.0720	0.0126
5	0.0900	0.1412	0.1754	0.1863	0.1744	0.1423	0.0904
6	0.0886	0.1417	0.1751	0.1866	0.1747	0.1425	0.0908

ตารางที่ ข-40 หน้าตัดแบบ CS2 ($W = 9.30$ เมตร, $S = 1.83$ เมตร) $L = 12.00$ เมตร แบบจำลองมีแผ่นพื้นประเภท Prodeck8 และมีพฤติกรรมเชื่อมต่อบางส่วน (Partial Connection)

กรณี	ค่า LDF ของคานที่รองรับ				
	คาน 1	คาน 2	คาน 3	คาน 4	คาน 5
1	0.5136	0.3486	0.1528	0.0221	-0.0372
2	0.1575	0.3371	0.3308	0.1676	0.0070
3	0.0694	0.2576	0.3473	0.2583	0.0674
4	0.2805	0.2892	0.2524	0.1529	0.0251
5	0.0642	0.1982	0.2764	0.2669	0.1944
6	0.1234	0.2365	0.2823	0.2366	0.1212

ตารางที่ ข-41 หน้าตัดแบบ CS2 ($W = 9.30$ เมตร, $S = 1.83$ เมตร) $L = 18.00$ เมตร แบบจำลองมีแผ่นพื้นประเภท Prodeck8 และมีพฤติกรรมเชื่อมต่อบางส่วน (Partial Connection)

กรณี	ค่า LDF ของคานที่รองรับ				
	คาน 1	คาน 2	คาน 3	คาน 4	คาน 5
1	0.5066	0.3471	0.1618	0.0320	-0.0476
2	0.1852	0.3170	0.3068	0.1674	0.0237
3	0.0836	0.2498	0.3334	0.2496	0.0835
4	0.2856	0.2850	0.2443	0.1524	0.0327
5	0.0778	0.1957	0.2632	0.2613	0.2021
6	0.1322	0.2326	0.2708	0.2321	0.1322

ตารางที่ ข-42 หน้าตัดแบบ CS3 ($W = 9.30$ เมตร, $S = 2.29$ เมตร) $L = 12.00$ เมตร แบบจำลองมีแผ่นพื้นประเภท Prodeck8 และมีพฤติกรรมเชื่อมต่อบางส่วน (Partial Connection)

กรณี	ค่า LDF ของคานที่รองรับ			
	คาน 1	คาน 2	คาน 3	คาน 4
1	0.6044	0.3455	0.0940	-0.0439
2	0.1446	0.3981	0.3664	0.0909
3	0.1232	0.3779	0.3780	0.1209
4	0.3445	0.3476	0.2498	0.0581
5	0.0475	0.2365	0.3461	0.3699
6	0.1816	0.3203	0.3194	0.1787

ตารางที่ ข-43 หน้าตัดแบบ CS3 ($W = 9.30$ เมตร, $S = 2.29$ เมตร) $L = 18.00$ เมตร แบบจำลองมีแผ่นพื้นประเภท Prodeck8 และมีพฤติกรรมเชื่อมต่อบางส่วน (Partial Connection)

กรณี	ค่า LDF ของคานที่รองรับ			
	คาน 1	คาน 2	คาน 3	คาน 4
1	0.6035	0.3478	0.0985	-0.0499
2	0.1918	0.2496	0.4216	0.1370
3	0.1447	0.3560	0.3568	0.1425
4	0.3522	0.3400	0.2437	0.0642
5	0.0501	0.2313	0.3401	0.3785
6	0.1930	0.3081	0.3078	0.1911

ตารางที่ ข-44 หน้าตัดแบบ CS4 ($W = 13.00$ เมตร, $S = 1.20$ เมตร) $L = 12.00$ เมตร แบบจำลองมีแผ่นพื้นประเภท Prodeck8 และมีพฤติกรรมเชื่อมต่อนบางส่วน (Partial Connection)

กรณี	ค่า LDF ของคานที่รองรับ									
	คาน 1	คาน 2	คาน 3	คาน 4	คาน 5	คาน 6	คาน 7	คาน 8	คาน 9	คาน 10
1	0.4089	0.3007	0.1910	0.0980	0.0321	0.0042	-0.0053	-0.0076	-0.0092	-0.0128
2	0.1834	0.2412	0.2558	0.1924	0.1049	0.0352	0.0073	-0.0041	-0.0073	-0.0089
3	-0.0085	0.0248	0.0828	0.1684	0.2311	0.2294	0.1690	0.0866	0.0252	-0.0088
4	0.2116	0.2027	0.1904	0.1713	0.1261	0.0768	0.0315	0.0061	-0.0055	-0.0111
5	0.0868	0.1391	0.1805	0.1889	0.1731	0.1291	0.0773	0.0305	0.0040	-0.0094
6	0.0035	0.0505	0.1039	0.1555	0.1846	0.1844	0.1563	0.1061	0.0515	0.0037
7	0.1373	0.1347	0.1336	0.1368	0.1338	0.1244	0.1024	0.0675	0.0312	-0.0017
8	0.0553	0.0912	0.1209	0.1326	0.1379	0.1358	0.1267	0.1048	0.0686	0.0263
9	0.0379	0.0791	0.1120	0.1301	0.1387	0.1393	0.1310	0.1139	0.0799	0.0382

ตารางที่ ข-45 หน้าตัดแบบ CS4 ($W = 13.00$ เมตร, $S = 1.20$ เมตร) $L = 18.00$ เมตร แบบจำลองมีแผ่นพื้นประเภท Prodeck8 และมีพฤติกรรมเชื่อมต่อนบางส่วน (Partial Connection)

กรณี	ค่า LDF ของคานที่รองรับ									
	คาน 1	คาน 2	คาน 3	คาน 4	คาน 5	คาน 6	คาน 7	คาน 8	คาน 9	คาน 10
1	0.3972	0.2937	0.1956	0.1045	0.0439	0.0125	-0.0025	-0.0099	-0.0150	-0.0199
2	0.1936	0.2371	0.2360	0.1823	0.1086	0.0506	0.0170	-0.0001	-0.0095	-0.0157
3	-0.0026	0.0375	0.0900	0.1610	0.2135	0.2128	0.1611	0.0914	0.0385	-0.0031
4	0.2155	0.2017	0.1886	0.1642	0.1256	0.0777	0.0371	0.0110	-0.0054	-0.0158
5	0.0966	0.1428	0.1723	0.1799	0.1641	0.1281	0.0801	0.0371	0.0097	-0.0108
6	0.0118	0.0570	0.1064	0.1493	0.1746	0.1744	0.1493	0.1074	0.0580	0.0118
7	0.1391	0.1362	0.1363	0.1346	0.1312	0.1208	0.0989	0.0682	0.0331	0.0016
8	0.0597	0.0935	0.1175	0.1308	0.1349	0.1334	0.1238	0.1024	0.0714	0.0327
9	0.0444	0.0823	0.1097	0.1278	0.1347	0.1349	0.1282	0.1106	0.0825	0.0449

ตารางที่ ข-46 หน้าตัดแบบ CS5 ($W = 13.00$ เมตร, $S = 1.83$ เมตร) $L = 12.00$ เมตร แบบจำลองมีแผ่นพื้นประเภท Prodeck8 และมีพฤติกรรมเชื่อมต่อนบางส่วน (Partial Connection)

กรณี	ค่า LDF ของคานที่รองรับ						
	คาน 1	คาน 2	คาน 3	คาน 4	คาน 5	คาน 6	คาน 7
1	0.4998	0.3412	0.1571	0.0373	-0.0032	-0.0128	-0.0194
2	0.1623	0.3254	0.3181	0.1667	0.0422	-0.0013	-0.0133
3	-0.0029	0.0951	0.2456	0.3283	0.2441	0.0918	-0.0019
4	0.2732	0.2824	0.2456	0.1533	0.0573	0.0040	-0.0159
5	0.0769	0.2006	0.2678	0.2475	0.1563	0.0563	-0.0055
6	0.0184	0.1234	0.2257	0.2687	0.2248	0.1217	0.0173
7	0.1774	0.1956	0.2027	0.1917	0.1494	0.0776	0.0055
8	0.0465	0.1324	0.1873	0.2047	0.1961	0.1546	0.0785
9	0.0616	0.1448	0.1931	0.2050	0.1923	0.1440	0.0592

ตารางที่ ข-47 หน้าตัดแบบ CS5 ($W = 13.00$ เมตร, $S = 1.83$ เมตร) $L = 18.00$ เมตร แบบจำลองมีแผ่นพื้นประเภท Prodeck8 และมีพฤติกรรมเชื่อมต่อนบางส่วน (Partial Connection)

กรณี	ค่า LDF ของคานที่รองรับ						
	คาน 1	คาน 2	คาน 3	คาน 4	คาน 5	คาน 6	คาน 7
1	0.4901	0.3393	0.1636	0.0489	0.0026	-0.0161	-0.0285
2	0.1829	0.3105	0.2985	0.1654	0.0554	0.0059	-0.0186
3	0.0092	0.1055	0.2337	0.3047	0.2333	0.1038	0.0098
4	0.2813	0.2795	0.2382	0.1522	0.0599	0.0081	-0.0192
5	0.0925	0.1991	0.2542	0.2351	0.1555	0.0646	-0.0009
6	0.0296	0.1274	0.2166	0.2537	0.2165	0.1269	0.0292
7	0.1840	0.1991	0.1997	0.1862	0.1447	0.0768	0.0095
8	0.0543	0.1321	0.1818	0.1976	0.1919	0.1554	0.0869
9	0.0692	0.1442	0.1878	0.1988	0.1877	0.1442	0.0683

ตารางที่ ข-48 หน้าตัดแบบ CS6 ($W = 13.00$ เมตร, $S = 2.29$ เมตร) $L = 12.00$ เมตร แบบจำลองมีแผ่นพื้นประเภท Prodeck8 และมีพฤติกรรมเชื่อมต่อนบางส่วน (Partial Connection)

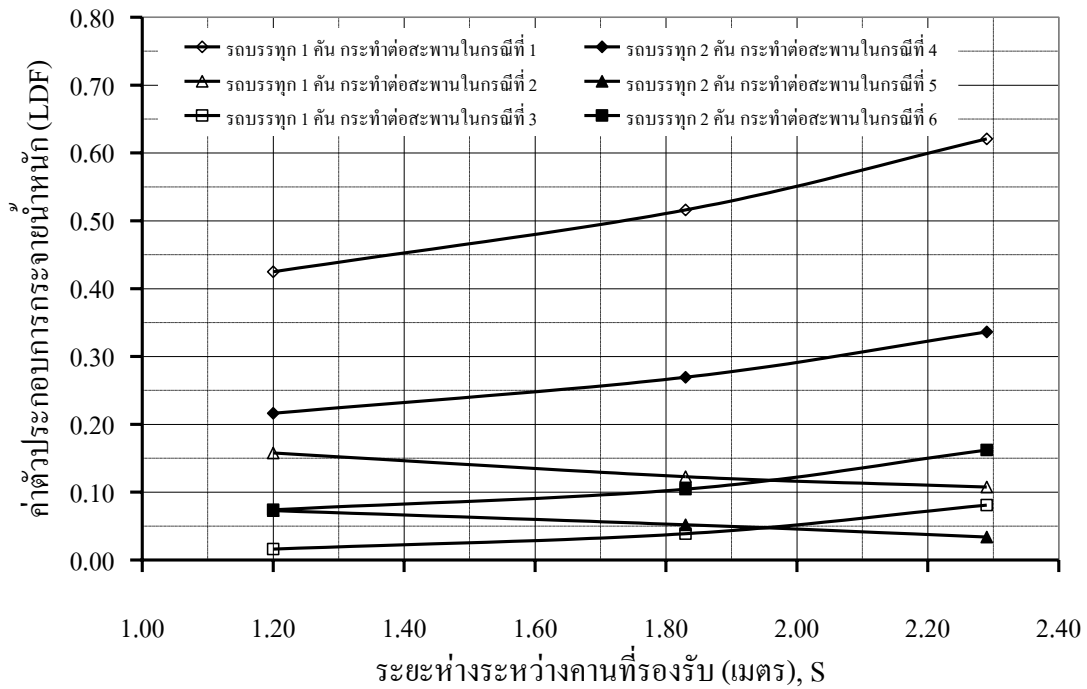
กรณี	ค่า LDF ของคานที่รองรับ					
	คาน 1	คาน 2	คาน 3	คาน 4	คาน 5	คาน 6
1	0.5568	0.3530	0.1159	0.0086	-0.0129	-0.0214
2	0.1434	0.3861	0.3474	0.1260	0.0119	-0.0148
3	0.0019	0.1415	0.3562	0.3520	0.1464	0.0020
4	0.3144	0.3381	0.2528	0.1009	0.0107	-0.0168
5	0.0671	0.2438	0.3295	0.2558	0.1048	-0.0011
6	0.0231	0.1718	0.3040	0.3028	0.1754	0.0230
7	0.2056	0.2449	0.2483	0.2000	0.0985	0.0027
8	0.0394	0.1619	0.2387	0.2529	0.2088	0.0982
9	0.0674	0.1871	0.2441	0.2447	0.1894	0.0673

ตารางที่ ข-49 หน้าตัดแบบ CS6 ($W = 13.00$ เมตร, $S = 2.29$ เมตร) $L = 18.00$ เมตร แบบจำลองมีแผ่นพื้นประเภท Prodeck8 และมีพฤติกรรมเชื่อมต่อนบางส่วน (Partial Connection)

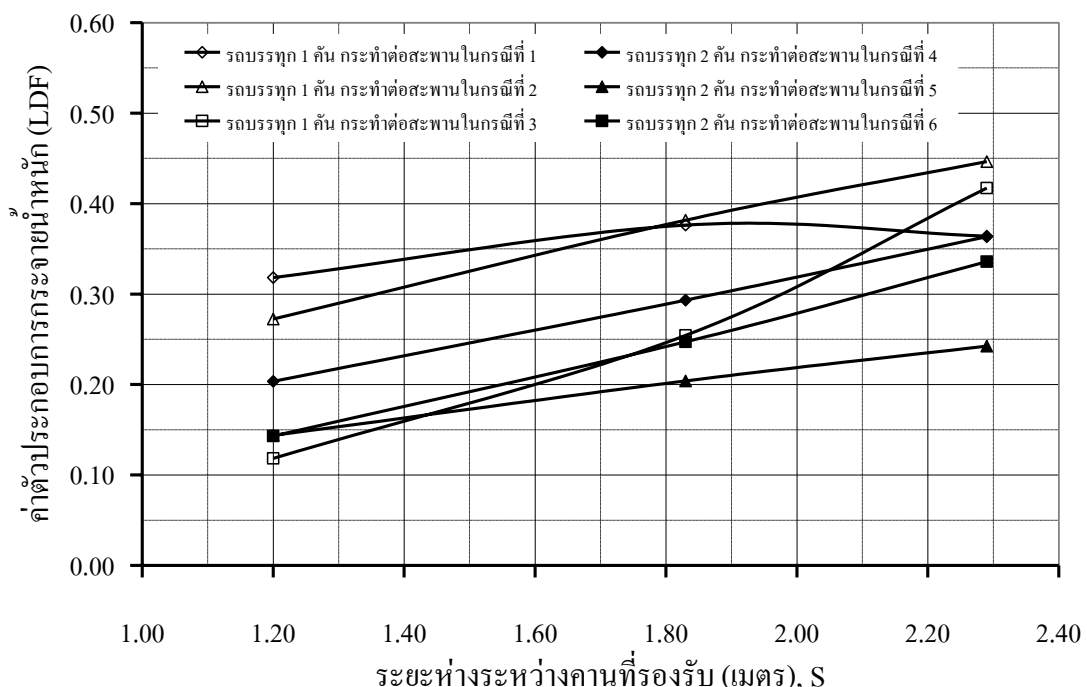
กรณี	ค่า LDF ของคานที่รองรับ					
	คาน 1	คาน 2	คาน 3	คาน 4	คาน 5	คาน 6
1	0.5460	0.3538	0.1263	0.0214	-0.0150	-0.0325
2	0.1656	0.3698	0.3254	0.1313	0.0253	-0.0174
3	0.0166	0.1568	0.3281	0.3279	0.1536	0.0170
4	0.3226	0.3302	0.2458	0.1065	0.0170	-0.0220
5	0.0842	0.2412	0.3092	0.2474	0.1116	0.0065
6	0.0387	0.1770	0.2858	0.2853	0.1756	0.0377
7	0.2127	0.2451	0.2411	0.1943	0.0996	0.0072
8	0.0480	0.1613	0.2302	0.2444	0.2070	0.1091
9	0.0801	0.1860	0.2355	0.2349	0.1852	0.0782

ภาคผนวก ค

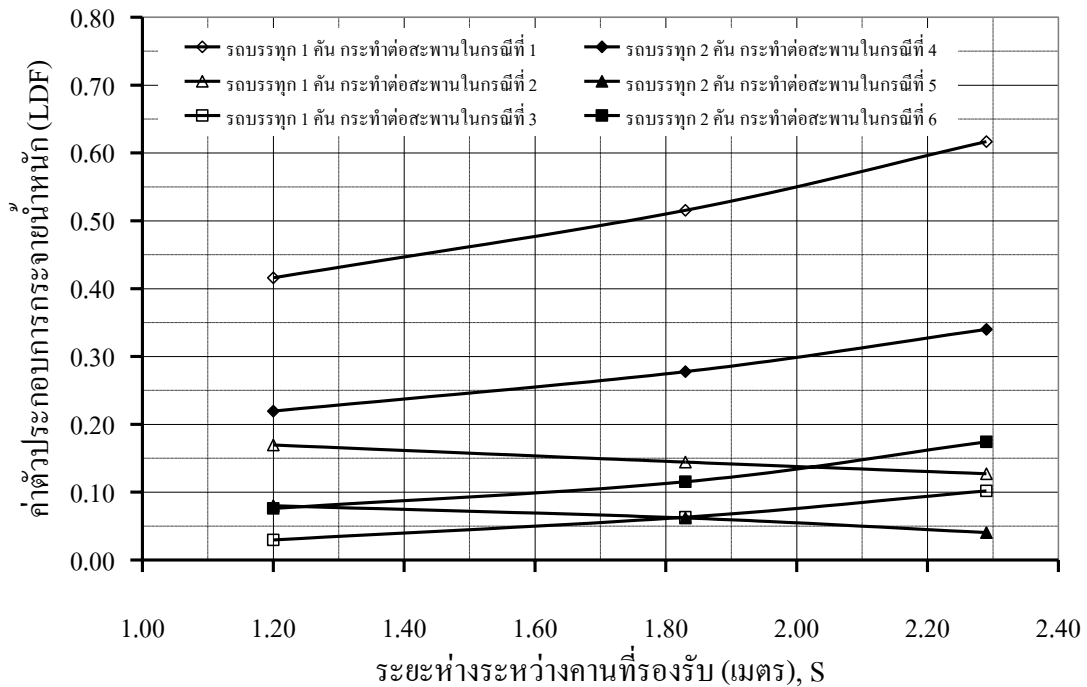
ความสัมพันธ์ระหว่างค่าตัวประกอบการกระจายน้ำหนัก (Load Distribution Factor)
กับระยะห่างระหว่างคานที่ร่องรับ (Girder Spacing)



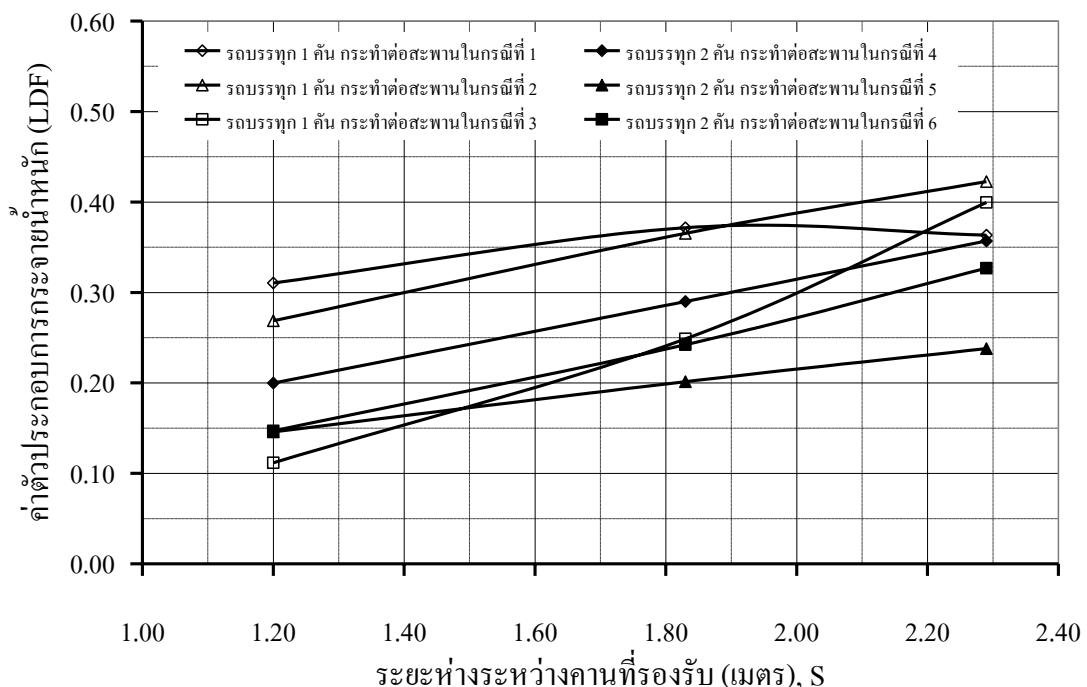
รูปที่ ค-1 ความสัมพันธ์ระหว่าง LDF กับ S (Ext-G, PD4, FC) W = 9.30 เมตร, L = 12.00 เมตร



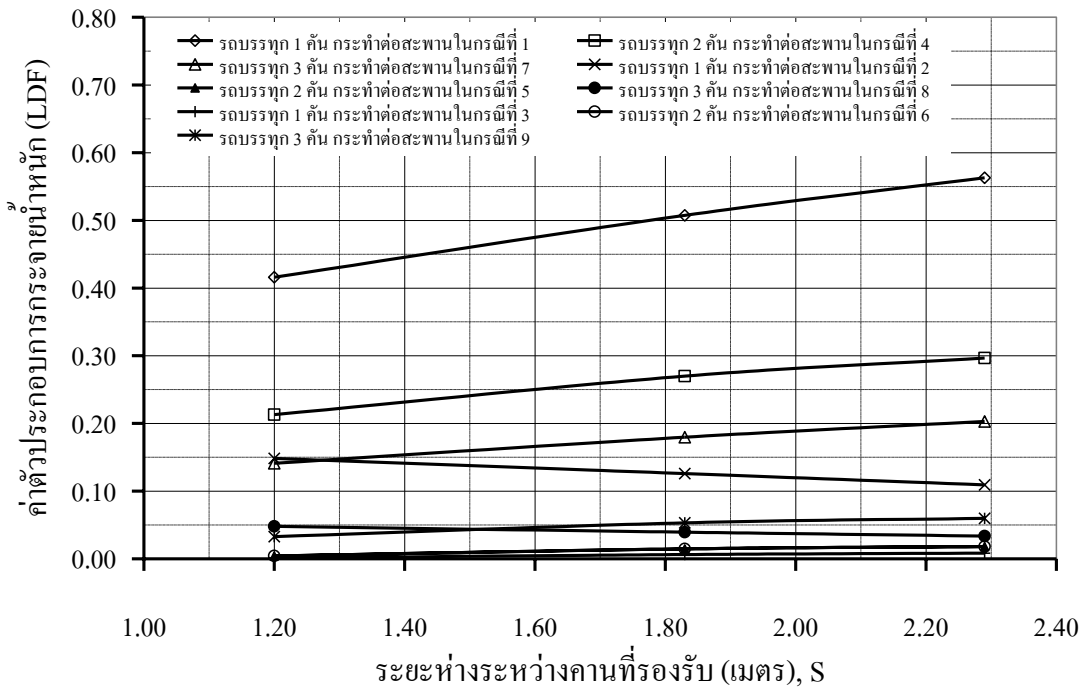
รูปที่ ค-2 ความสัมพันธ์ระหว่าง LDF กับ S (Int-G, PD4, FC) W = 9.30 เมตร, L = 12.00 เมตร



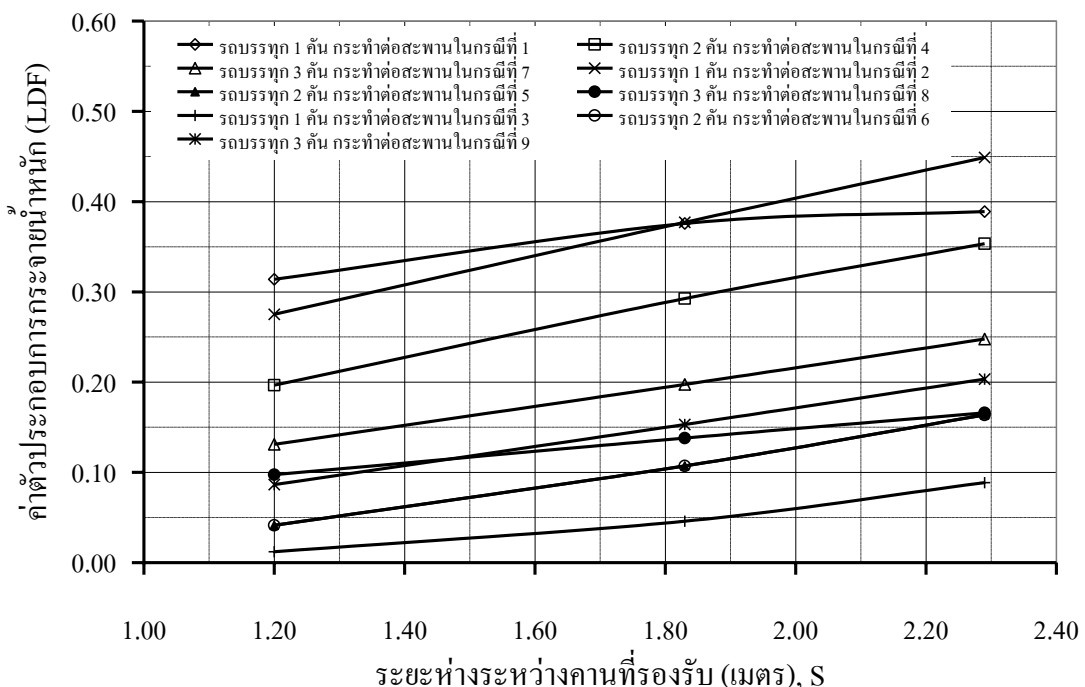
รูปที่ ค-3 ความสัมพันธ์ระหว่าง LDF กับ S (Ext-G, PD4, FC) W = 9.30 เมตร, L = 18.00 เมตร



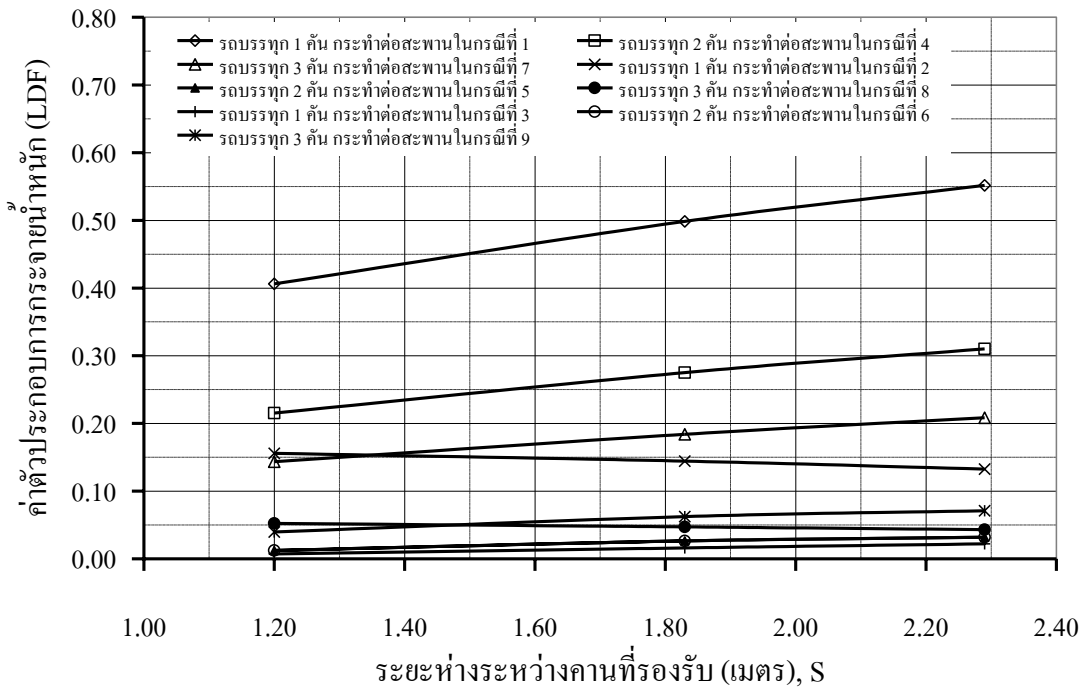
รูปที่ ค-4 ความสัมพันธ์ระหว่าง LDF กับ S (Int-G, PD4, FC) W = 9.30 เมตร, L = 18.00 เมตร



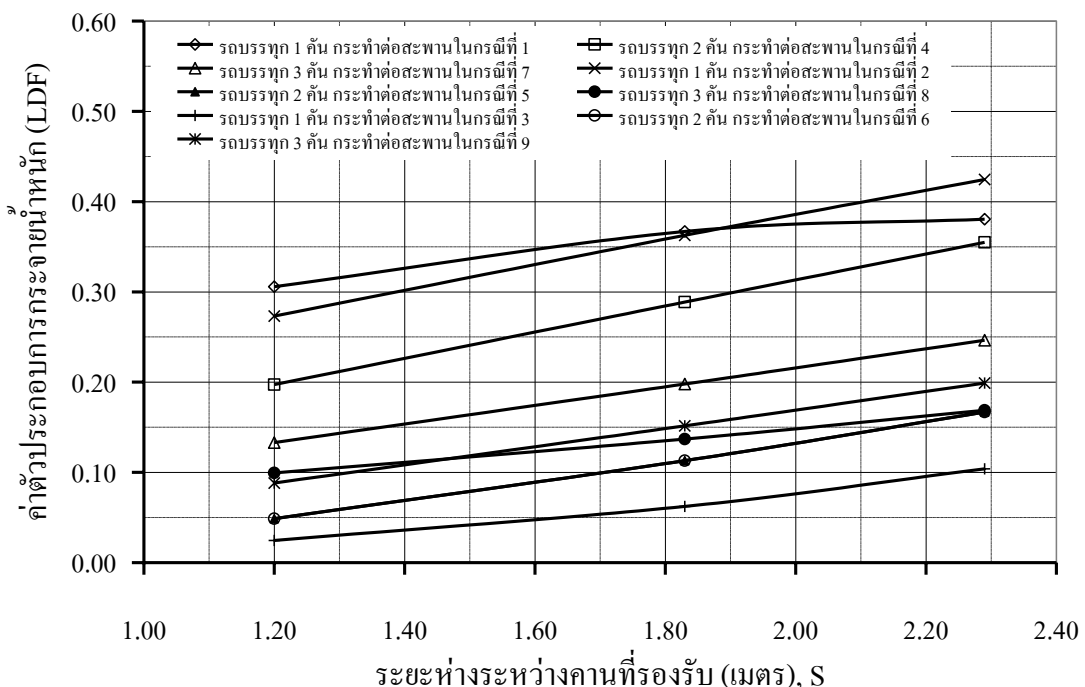
รูปที่ ค-5 ความสัมพันธ์ระหว่าง LDF กับ S (Ext-G, PD4, FC) W = 13.00 เมตร, L = 12.00 เมตร



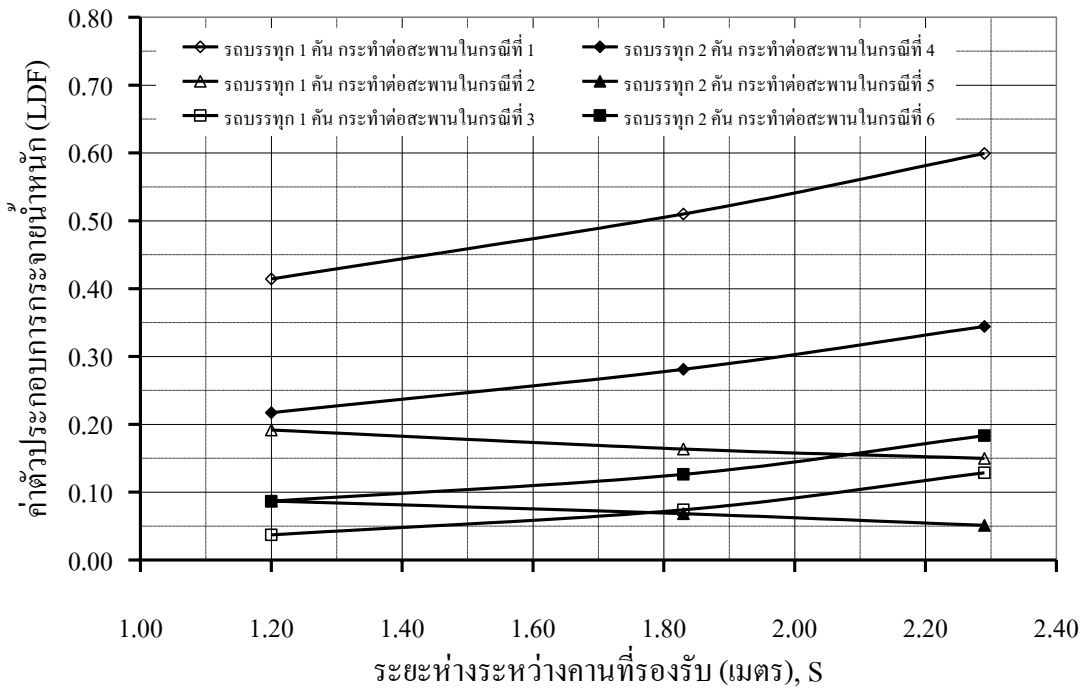
รูปที่ ค-6 ความสัมพันธ์ระหว่าง LDF กับ S (Int-G, PD4, FC) W = 13.00 เมตร, L = 12.00 เมตร



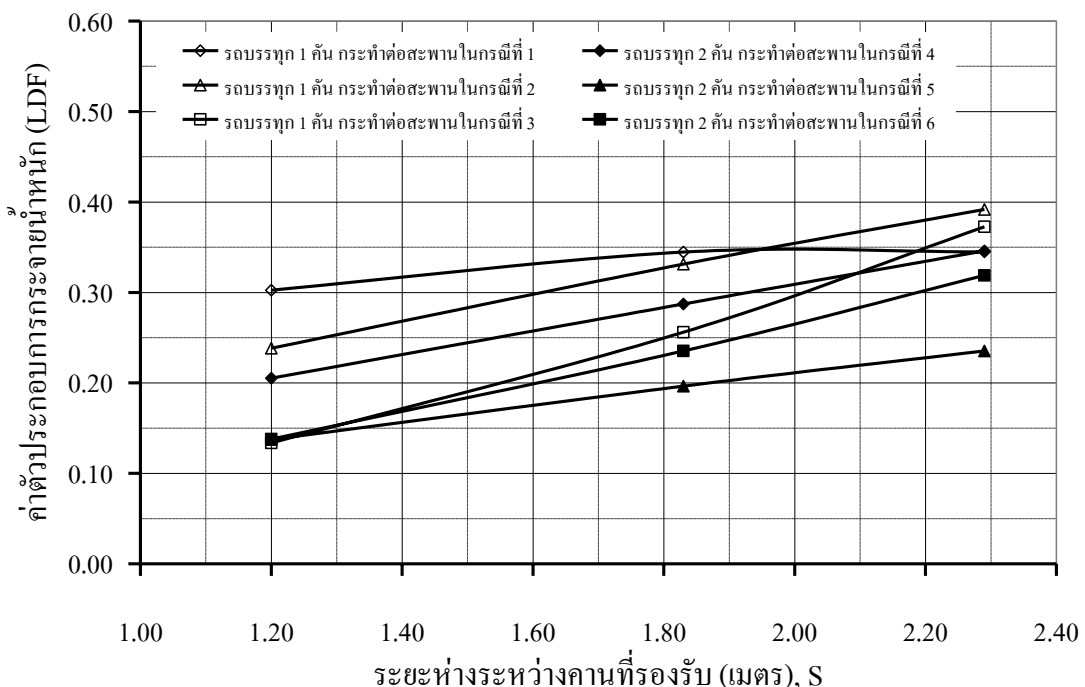
รูปที่ ค-7 ความสัมพันธ์ระหว่าง LDF กับ S (Ext-G, PD4, FC) W = 13.00 เมตร, L = 18.00 เมตร



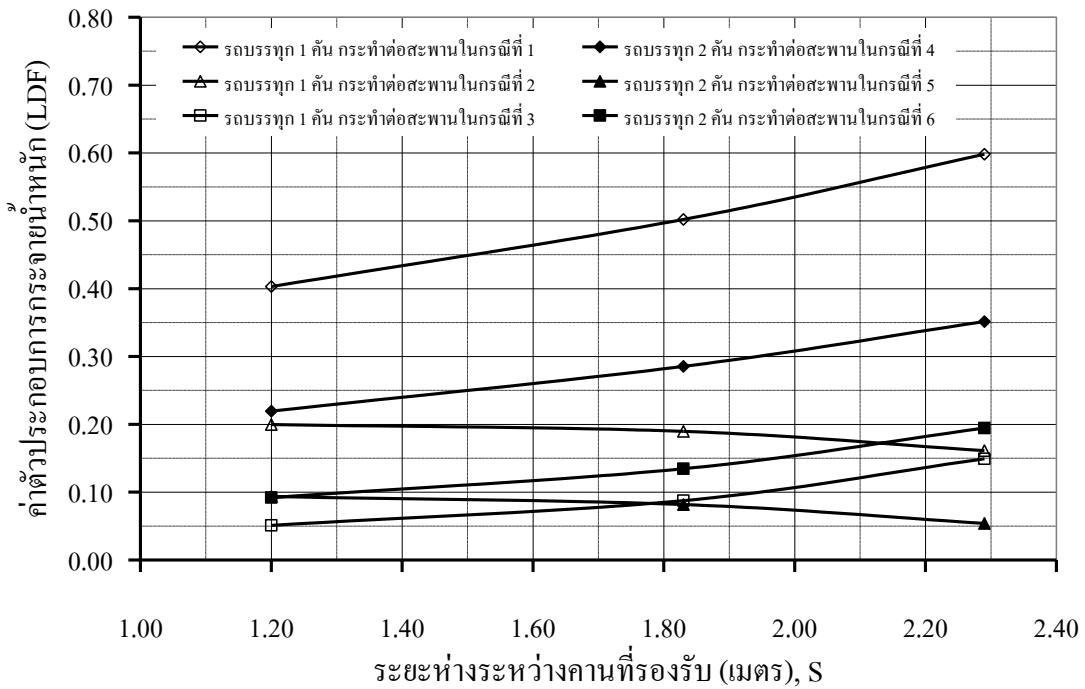
รูปที่ ค-8 ความสัมพันธ์ระหว่าง LDF กับ S (Int-G, PD4, FC) W = 13.00 เมตร, L = 18.00 เมตร



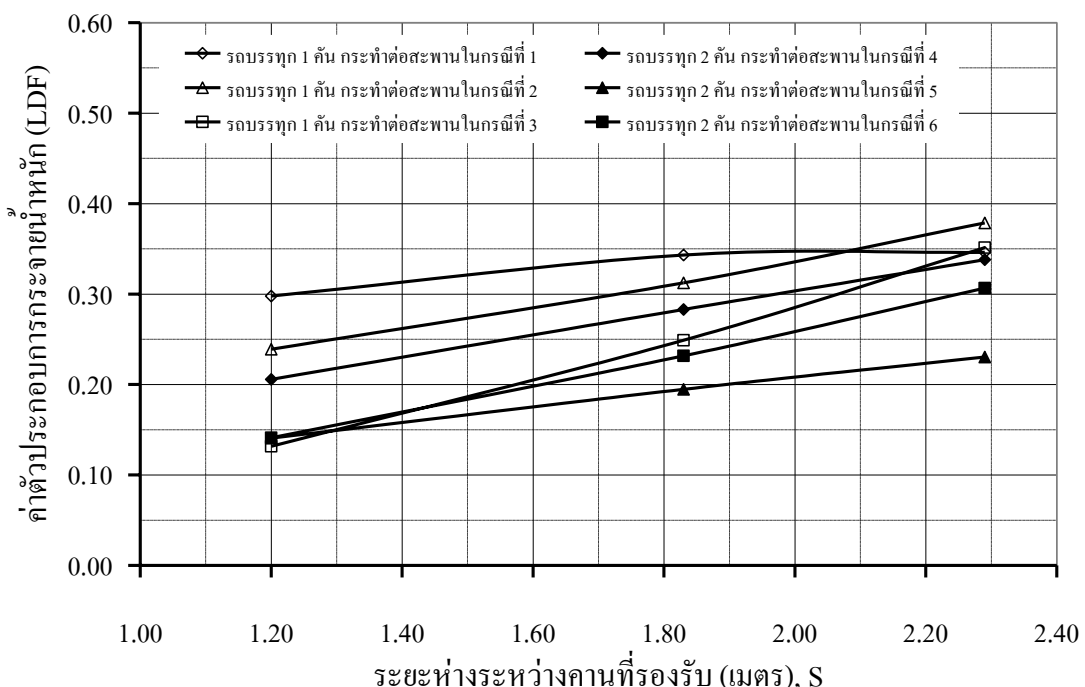
รูปที่ ค-9 ความสัมพันธ์ระหว่าง LDF กับ S (Ext-G, PD8, FC) W = 9.30 เมตร, L = 12.00 เมตร



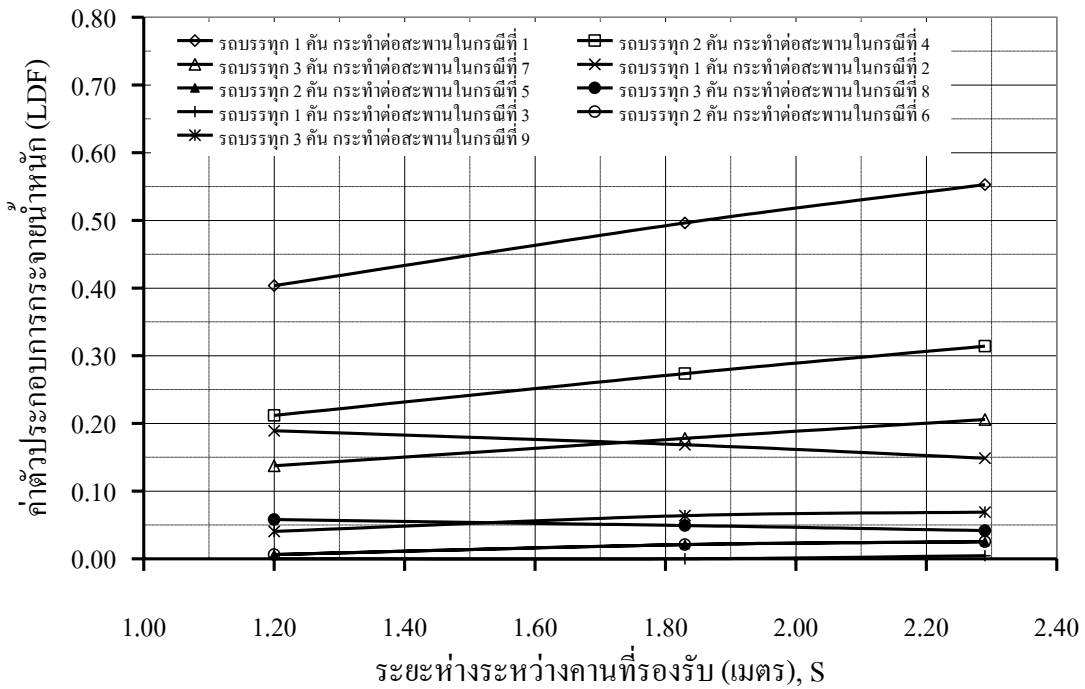
รูปที่ ค-10 ความสัมพันธ์ระหว่าง LDF กับ S (Int-G, PD8, FC) W = 9.30 เมตร, L = 12.00 เมตร



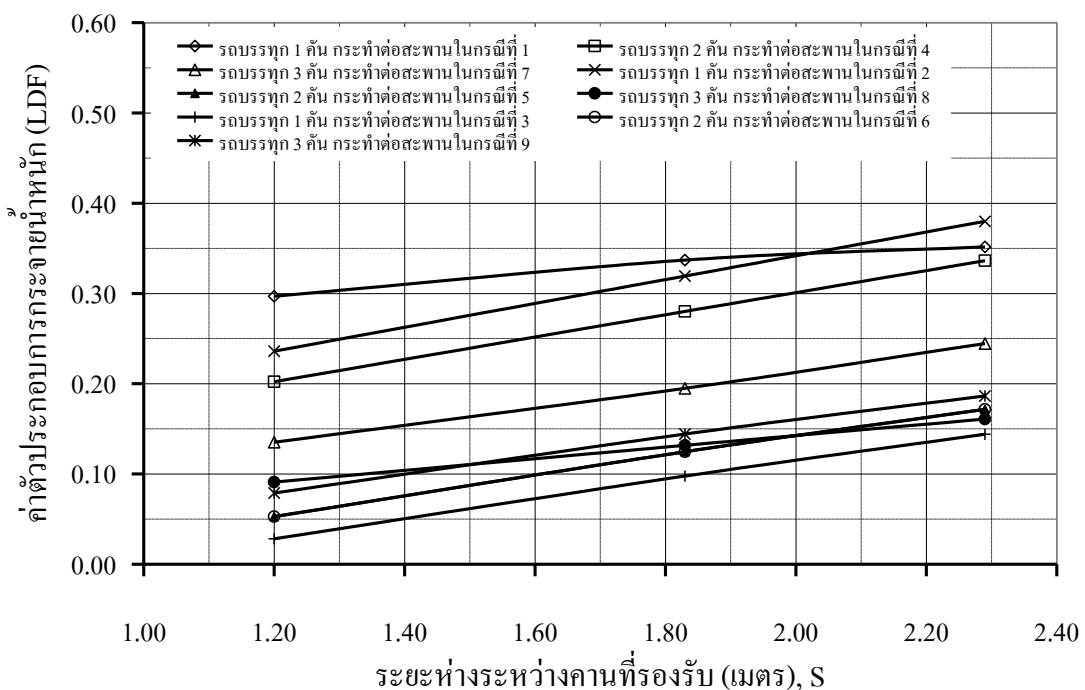
รูปที่ ค-11 ความสัมพันธ์ระหว่าง LDF กับ S (Ext-G, PD8, FC) W = 9.30 เมตร, L = 18.00 เมตร



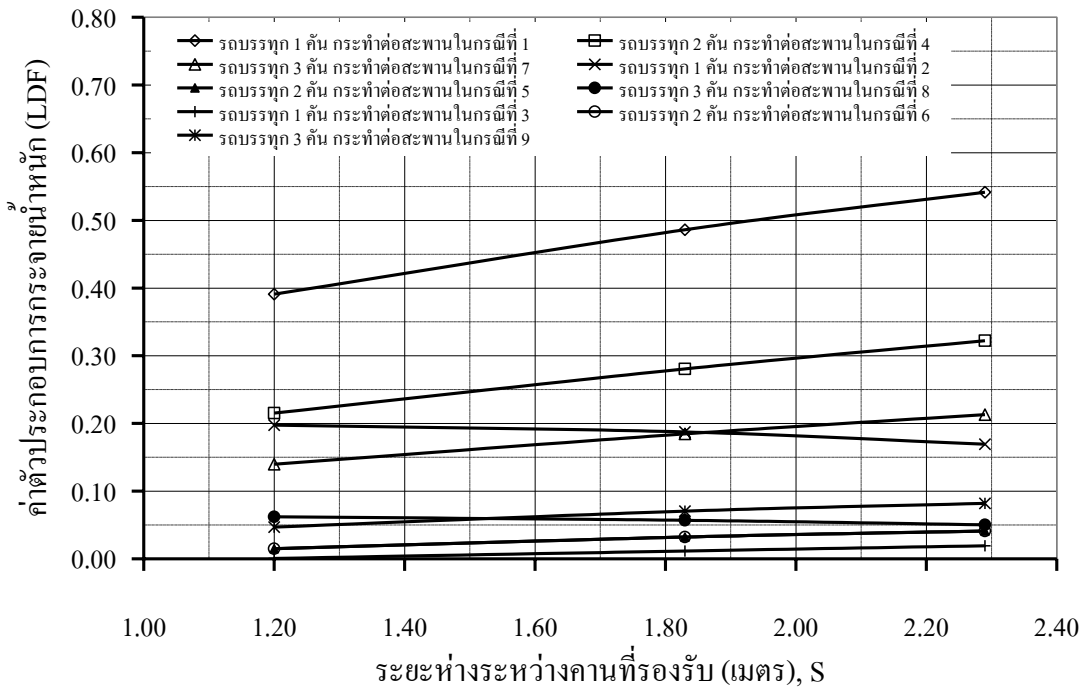
รูปที่ ค-12 ความสัมพันธ์ระหว่าง LDF กับ S (Int-G, PD8, FC) W = 9.30 เมตร, L = 18.00 เมตร



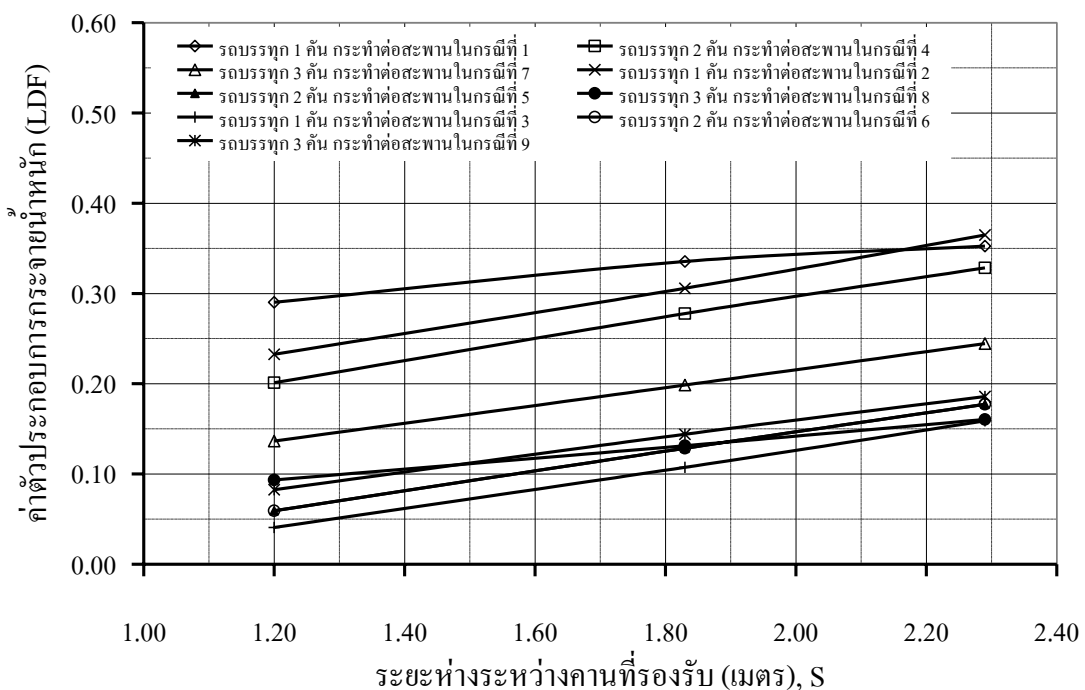
รูปที่ ค-13 ความสัมพันธ์ระหว่าง LDF กับ S (Ext-G, PD8, FC) W = 13.00 เมตร, L = 12.00 เมตร



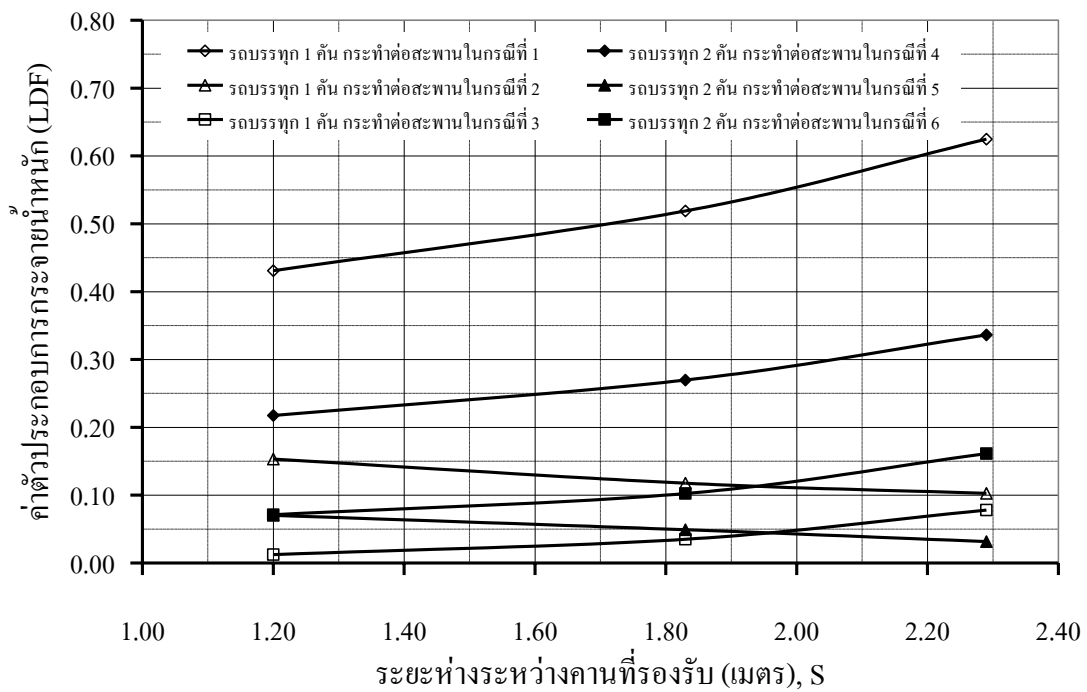
รูปที่ ค-14 ความสัมพันธ์ระหว่าง LDF กับ S (Int-G, PD8, FC) W = 13.00 เมตร, L = 12.00 เมตร



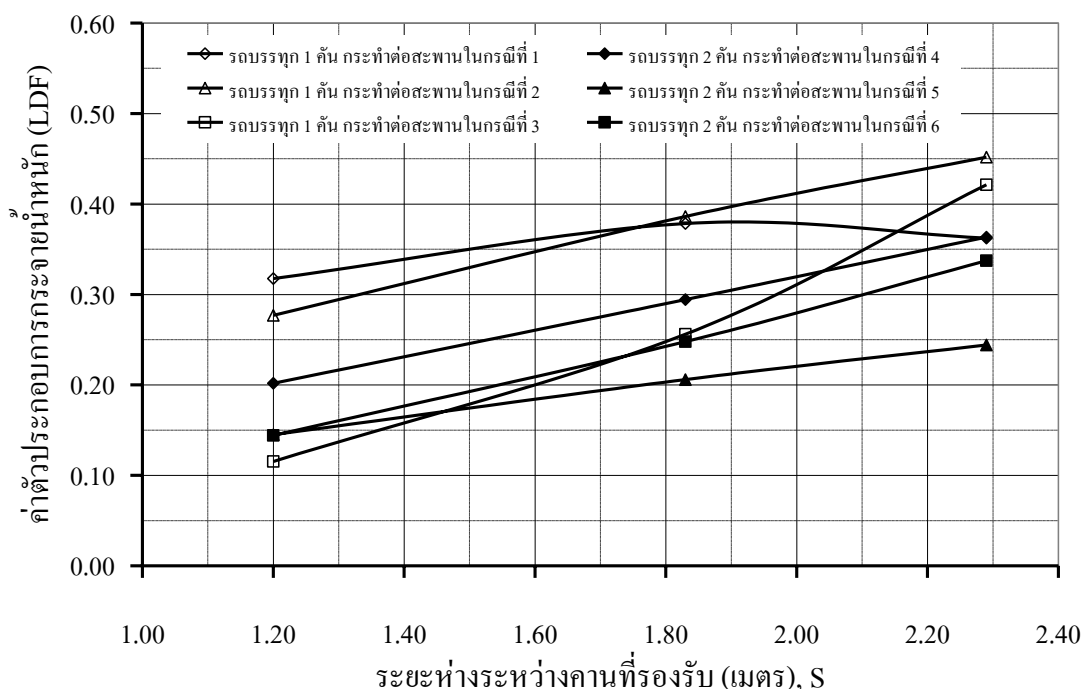
รูปที่ ค-15 ความสัมพันธ์ระหว่าง LDF กับ S (Ext-G, PD8, FC) W = 13.00 เมตร, L = 18.00 เมตร



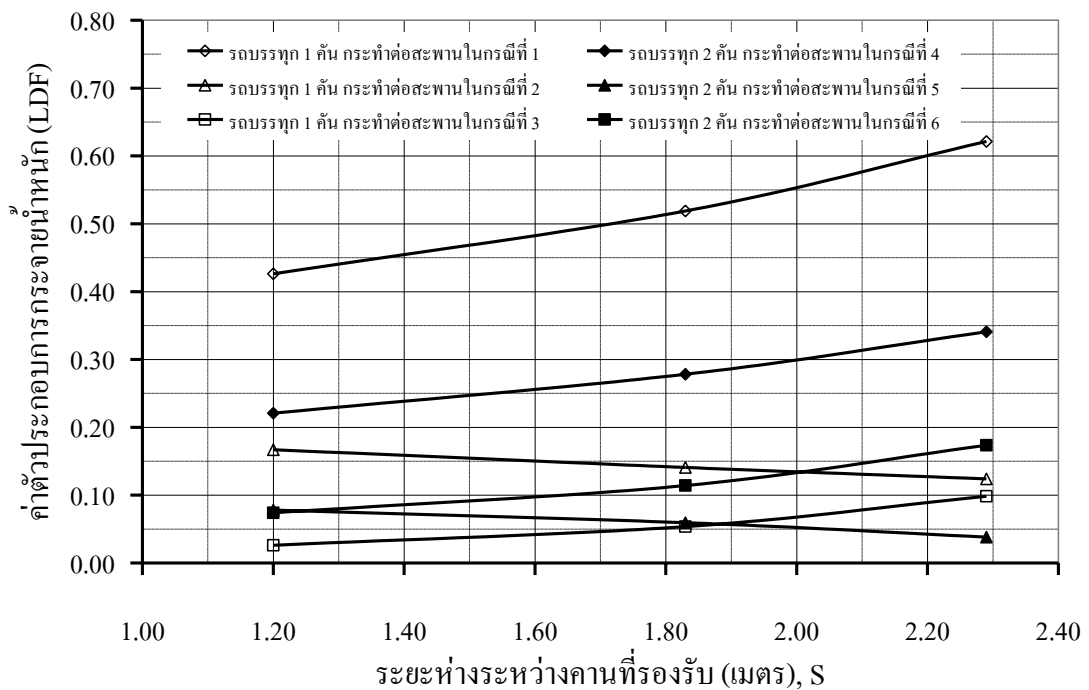
รูปที่ ค-16 ความสัมพันธ์ระหว่าง LDF กับ S (Int-G, PD8, FC) W = 13.00 เมตร, L = 18.00 เมตร



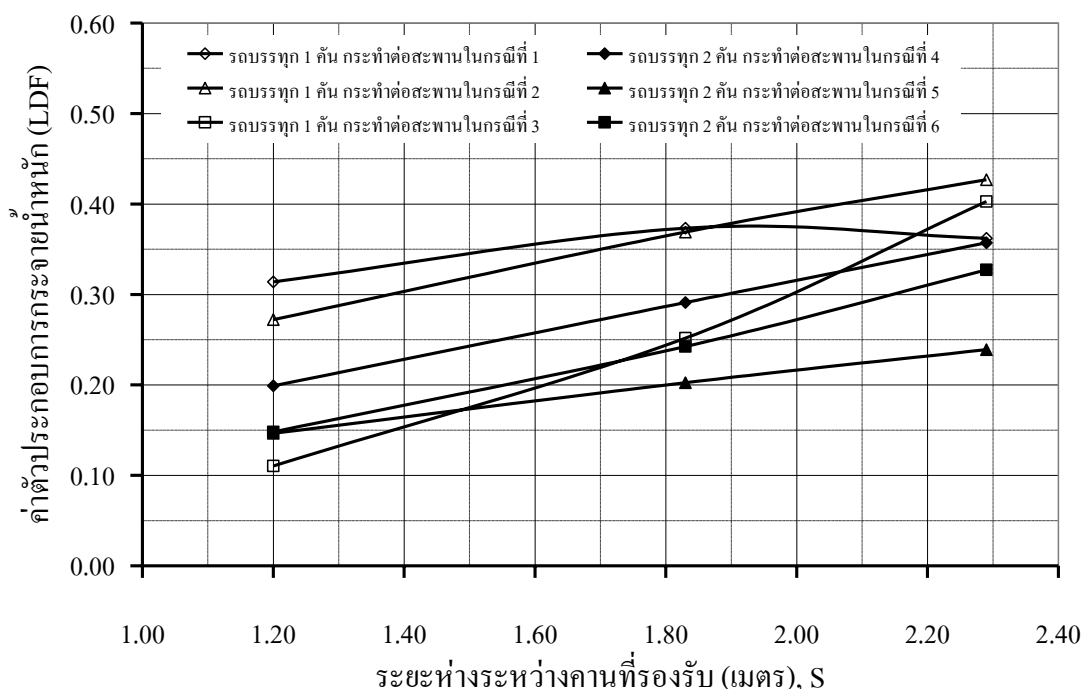
รูปที่ ค-17 ความสัมพันธ์ระหว่าง LDF กับ S (Ext-G, PD4, PC) W = 9.30 เมตร, L = 12.00 เมตร



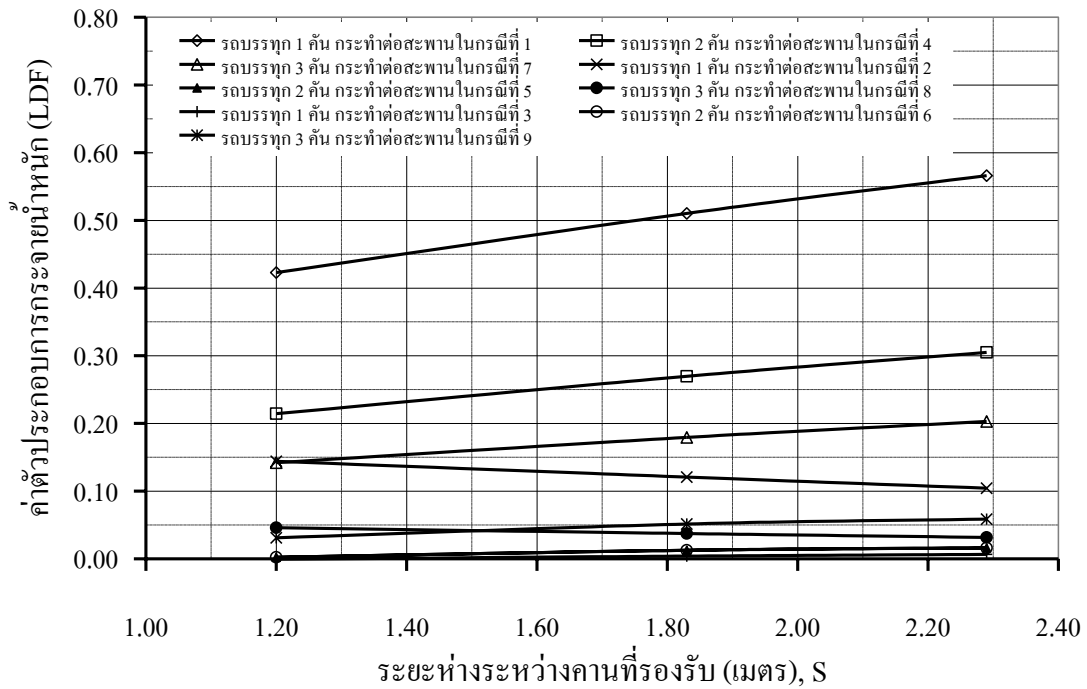
รูปที่ ค-18 ความสัมพันธ์ระหว่าง LDF กับ S (Int-G, PD4, PC) W = 9.30 เมตร, L = 12.00 เมตร



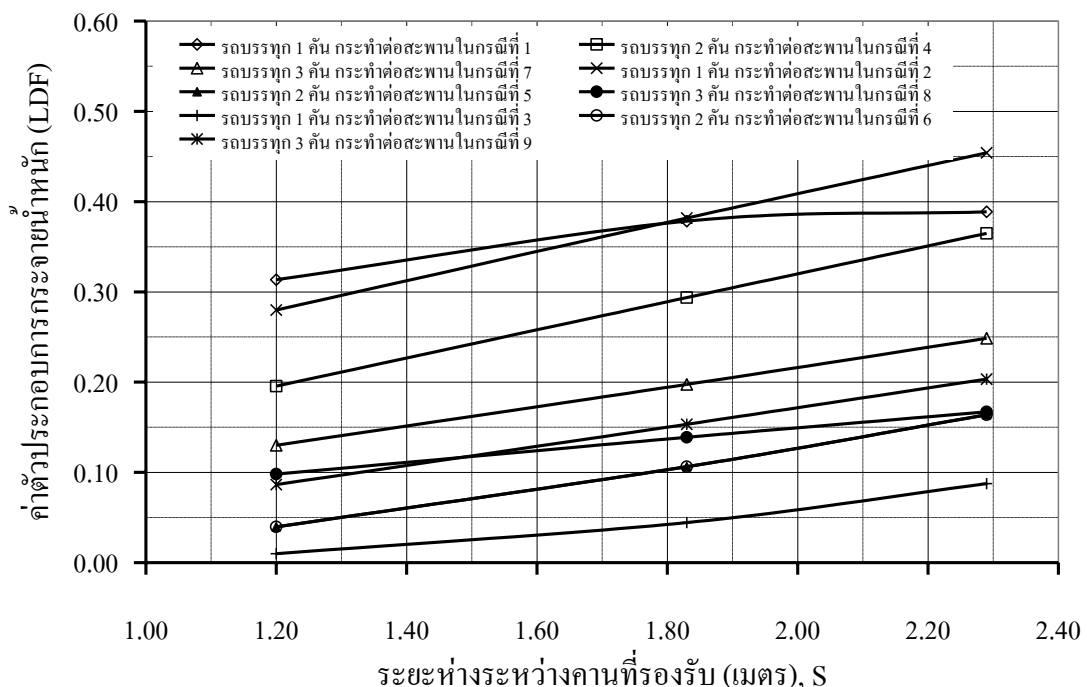
รูปที่ ค-19 ความสัมพันธ์ระหว่าง LDF กับ S (Ext-G, PD4, PC) W = 9.30 เมตร, L = 18.00 เมตร



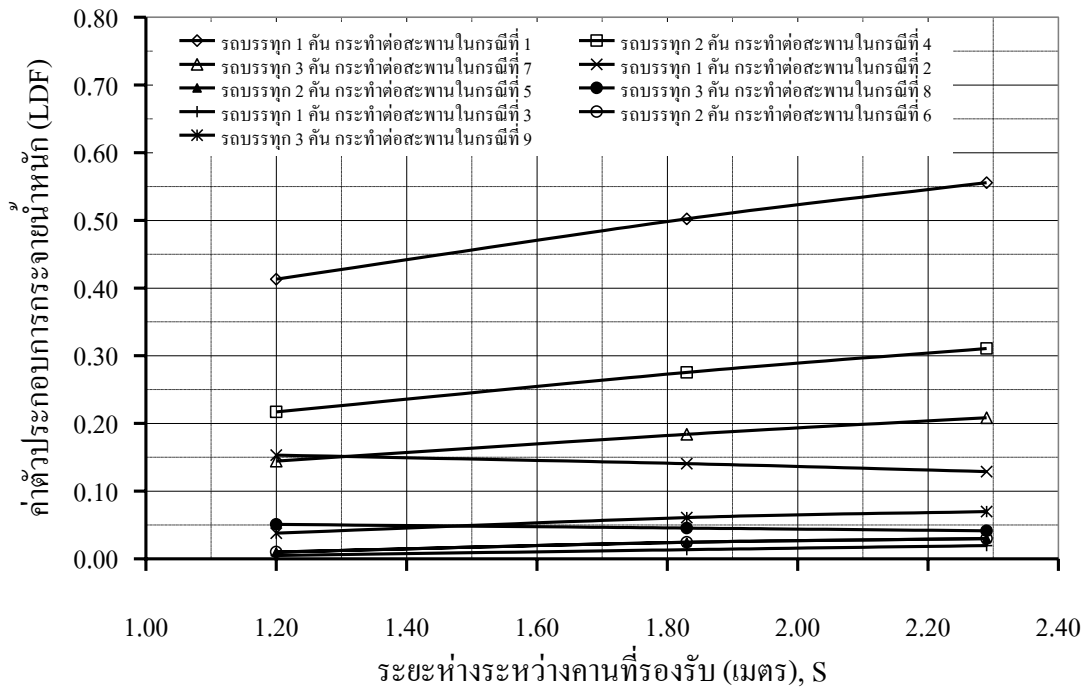
รูปที่ ค-20 ความสัมพันธ์ระหว่าง LDF กับ S (Int-G, PD4, PC) W = 9.30 เมตร, L = 18.00 เมตร



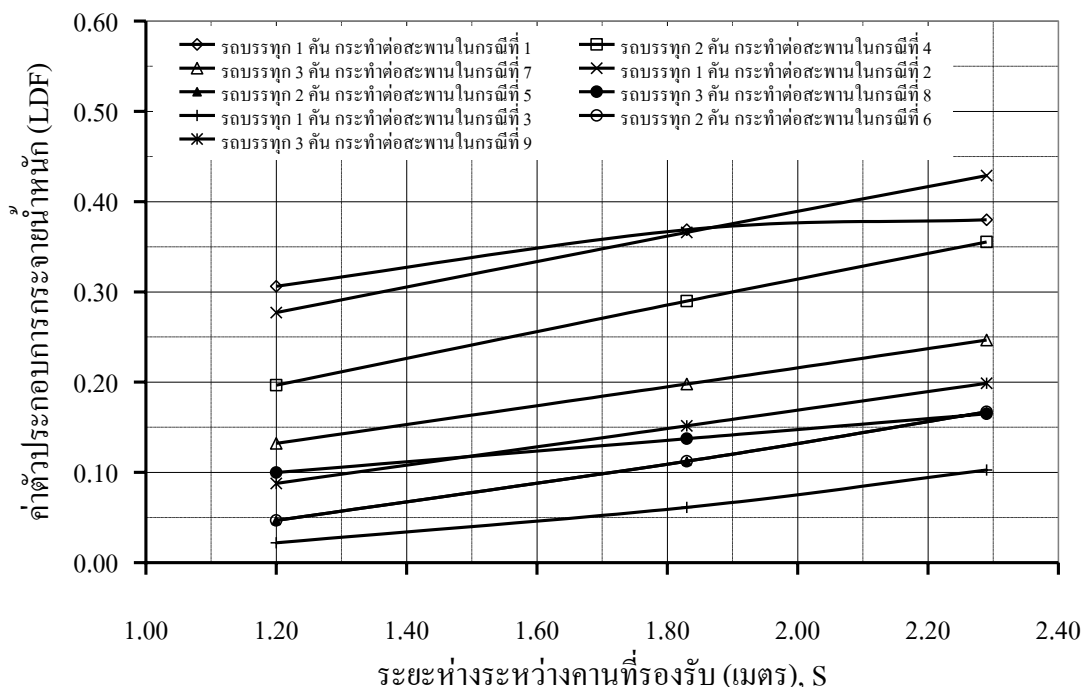
รูปที่ ค-21 ความสัมพันธ์ระหว่าง LDF กับ S (Ext-G, PD4, PC) W = 13.00 เมตร, L = 12.00 เมตร



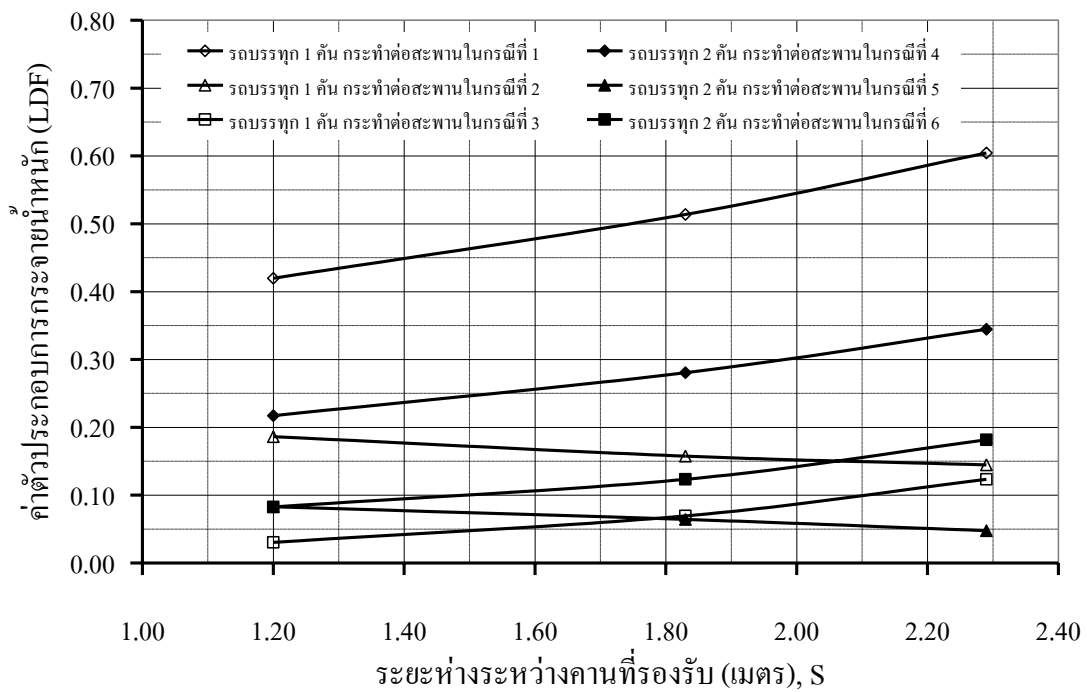
รูปที่ ค-22 ความสัมพันธ์ระหว่าง LDF กับ S (Int-G, PD4, PC) W = 13.00 เมตร, L = 12.00 เมตร



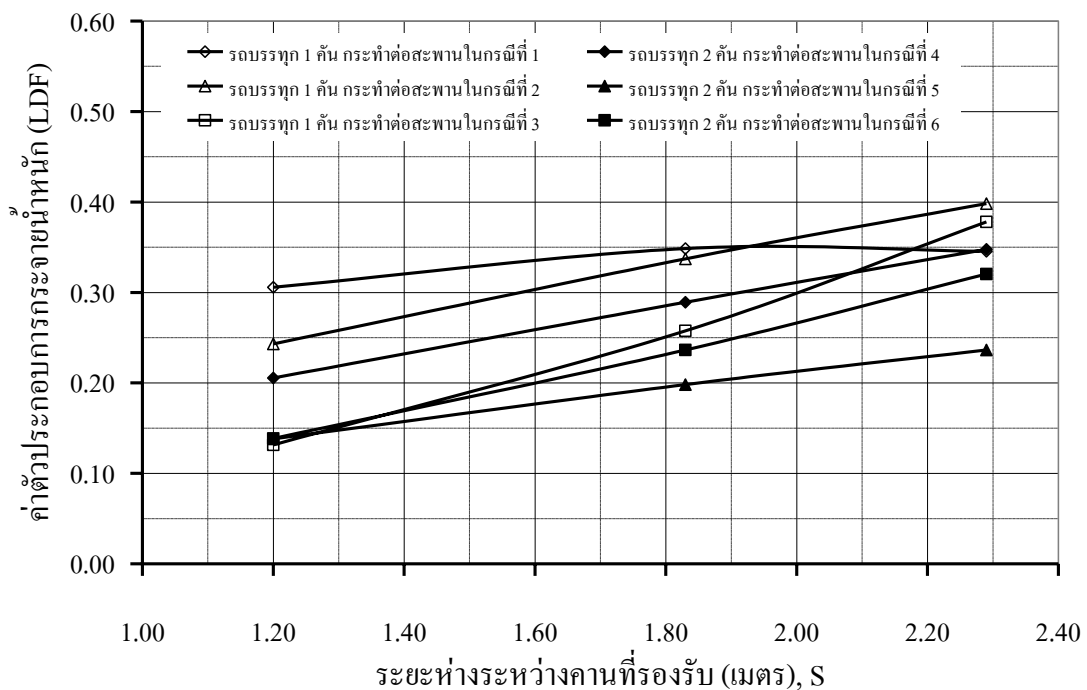
รูปที่ ค-23 ความสัมพันธ์ระหว่าง LDF กับ S (Ext-G, PD4, PC) W = 13.00 เมตร, L = 18.00 เมตร



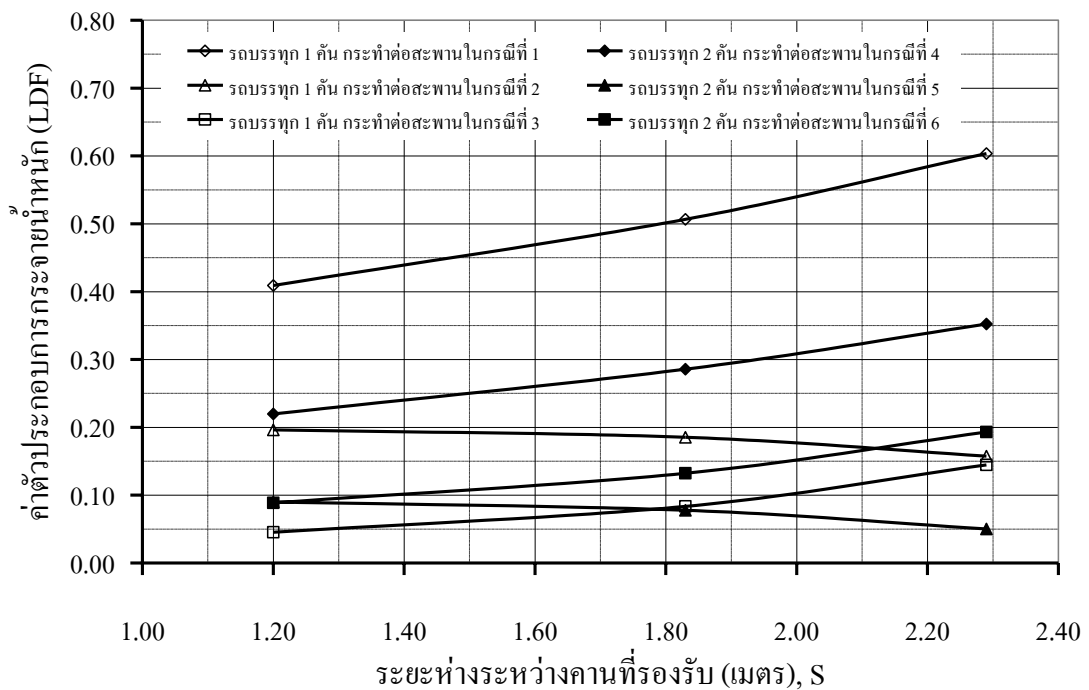
รูปที่ ค-24 ความสัมพันธ์ระหว่าง LDF กับ S (Int-G, PD4, PC) W = 13.00 เมตร, L = 18.00 เมตร



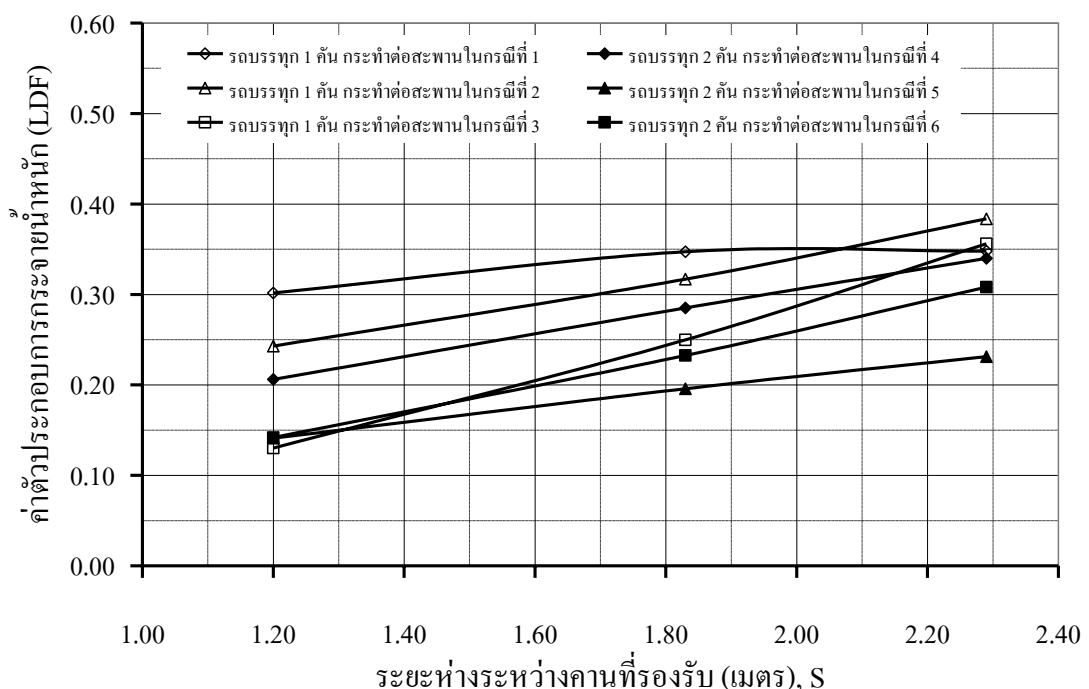
รูปที่ ค-25 ความสัมพันธ์ระหว่าง LDF กับ S (Ext-G, PD8, PC) W = 9.30 เมตร, L = 12.00 เมตร



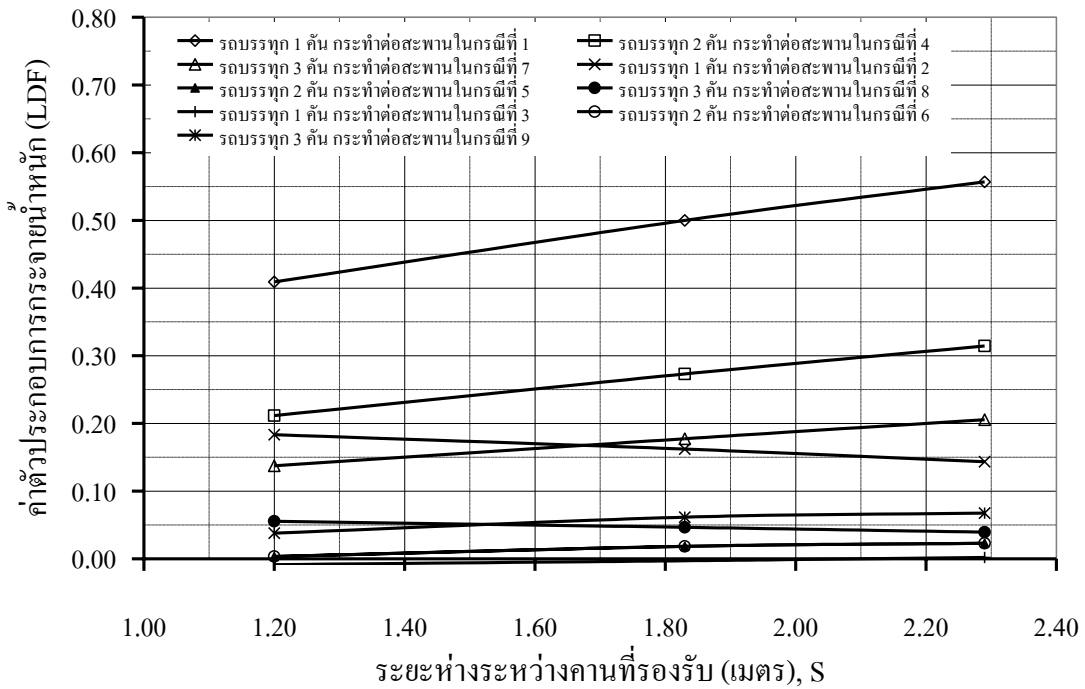
รูปที่ ค-26 ความสัมพันธ์ระหว่าง LDF กับ S (Int-G, PD8, PC) W = 9.30 เมตร, L = 12.00 เมตร



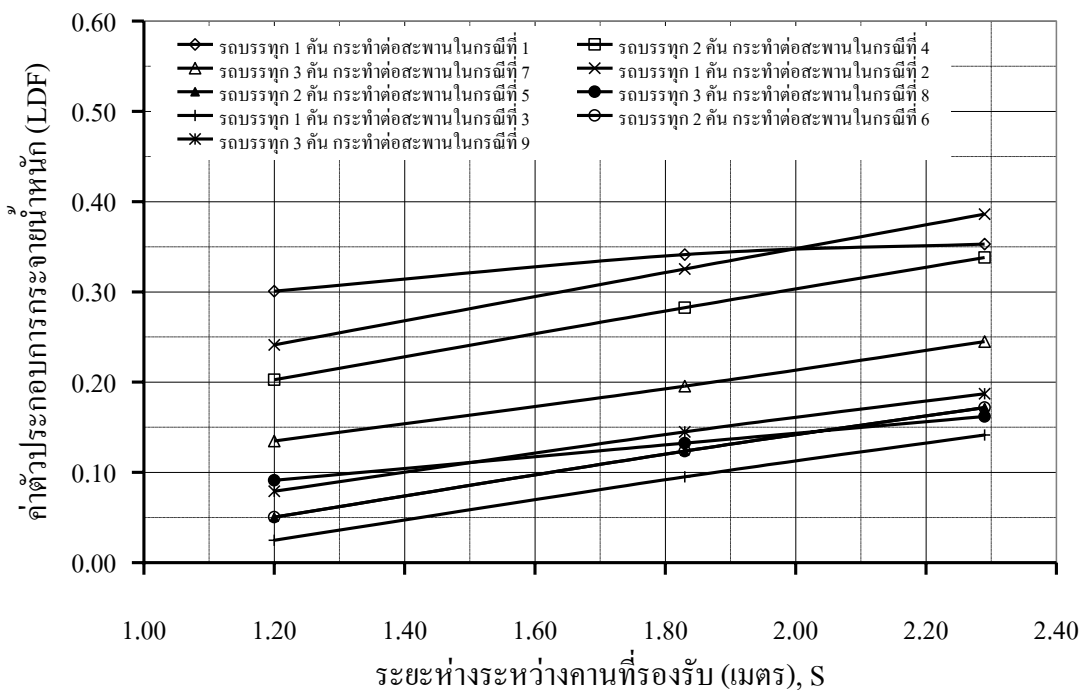
รูปที่ ค-27 ความสัมพันธ์ระหว่าง LDF กับ S (Ext-G, PD8, PC) W = 9.30 เมตร, L = 18.00 เมตร



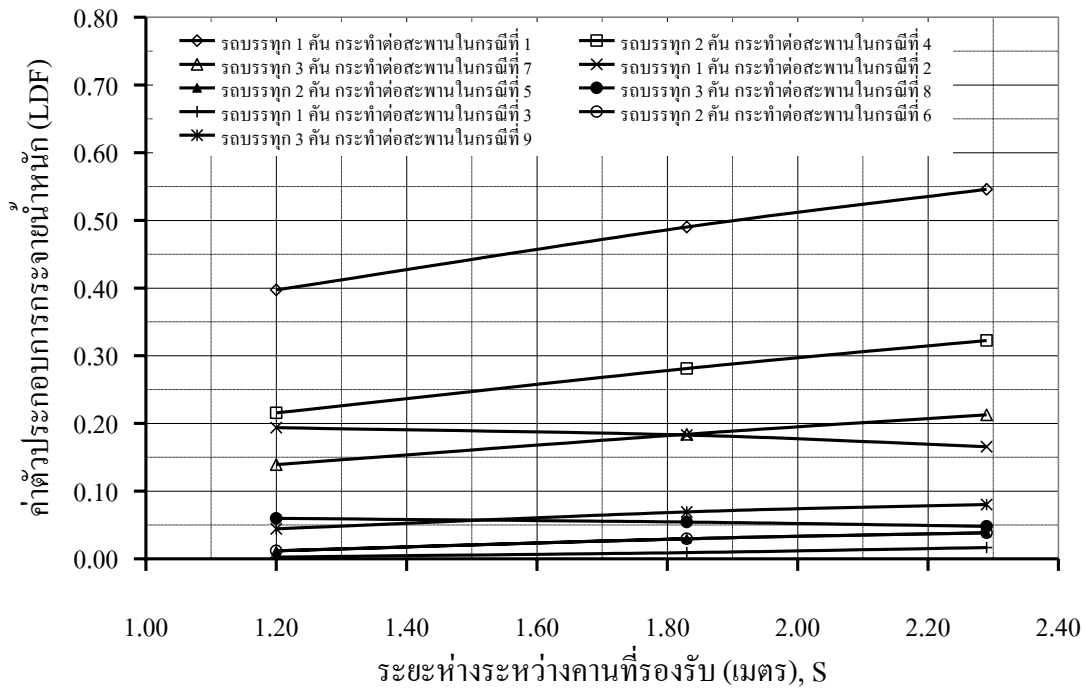
รูปที่ ค-28 ความสัมพันธ์ระหว่าง LDF กับ S (Int-G, PD8, PC) W = 9.30 เมตร, L = 18.00 เมตร



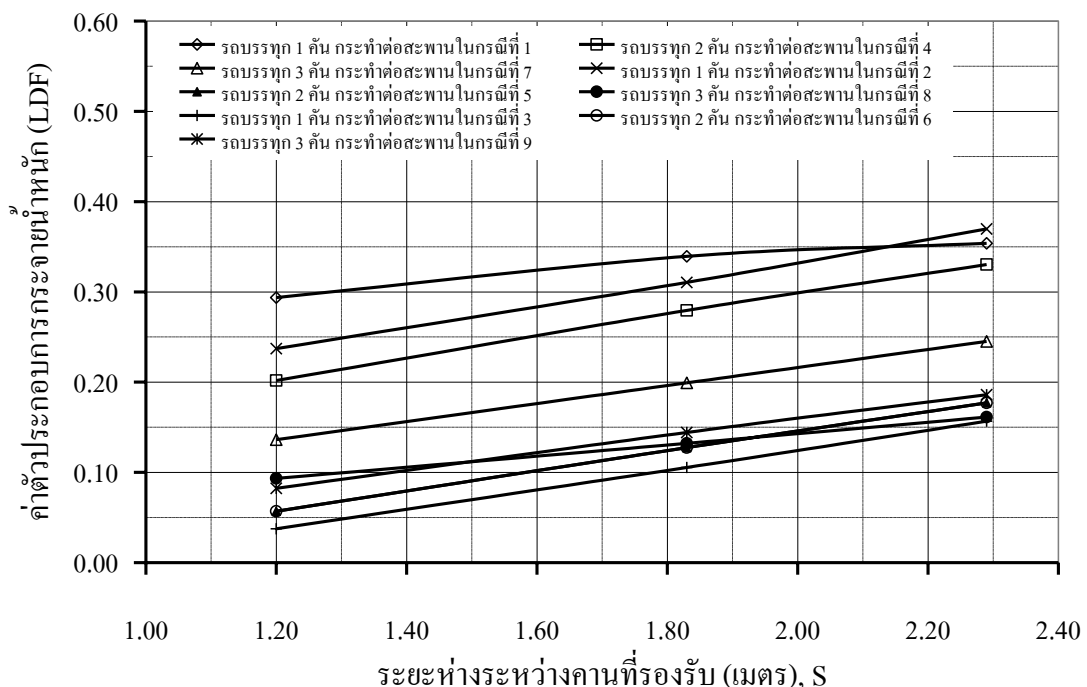
รูปที่ ค-29 ความสัมพันธ์ระหว่าง LDF กับ S (Ext-G, PD8, PC) W = 13.00 เมตร, L = 12.00 เมตร



รูปที่ ค-30 ความสัมพันธ์ระหว่าง LDF กับ S (Int-G, PD8, PC) W = 13.00 เมตร, L = 12.00 เมตร



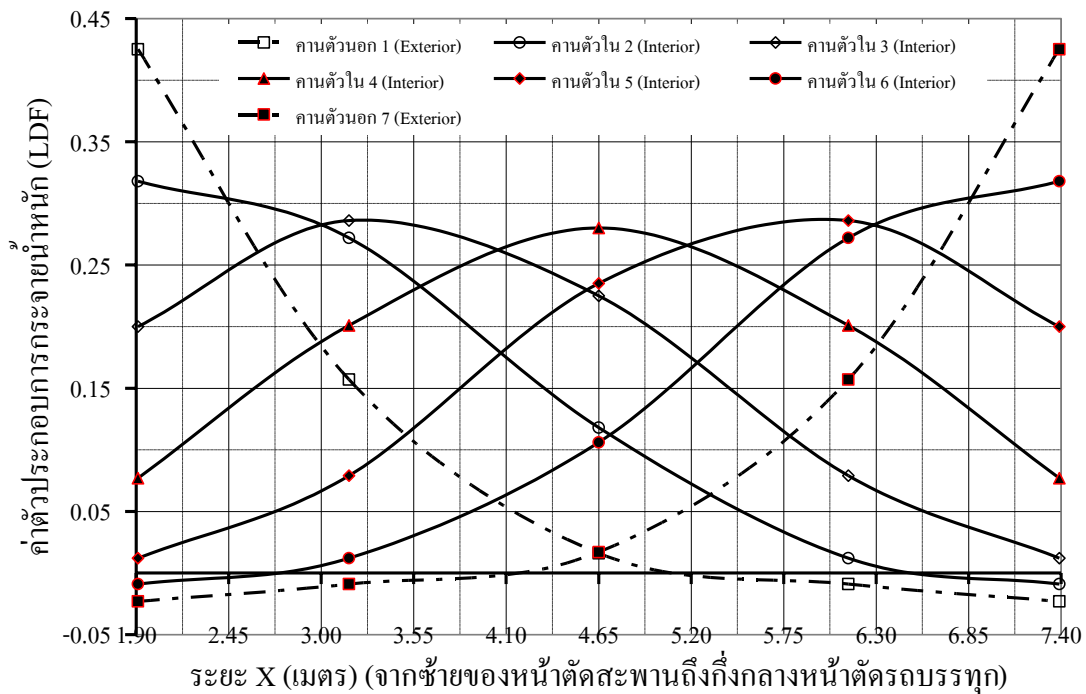
รูปที่ ค-31 ความสัมพันธ์ระหว่าง LDF กับ S (Ext-G, PD8, PC) $W = 13.00$ เมตร, $L = 18.00$ เมตร



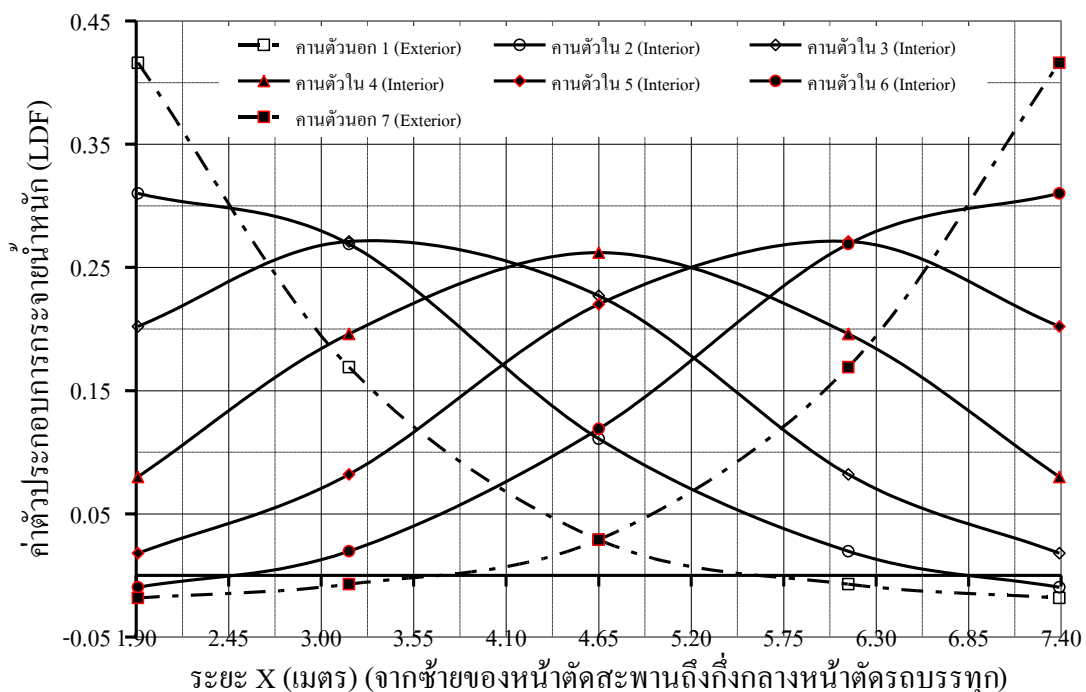
รูปที่ ค-32 ความสัมพันธ์ระหว่าง LDF กับ S (Int-G, PD8, PC) $W = 13.00$ เมตร, $L = 18.00$ เมตร

ภาคผนวก ๔

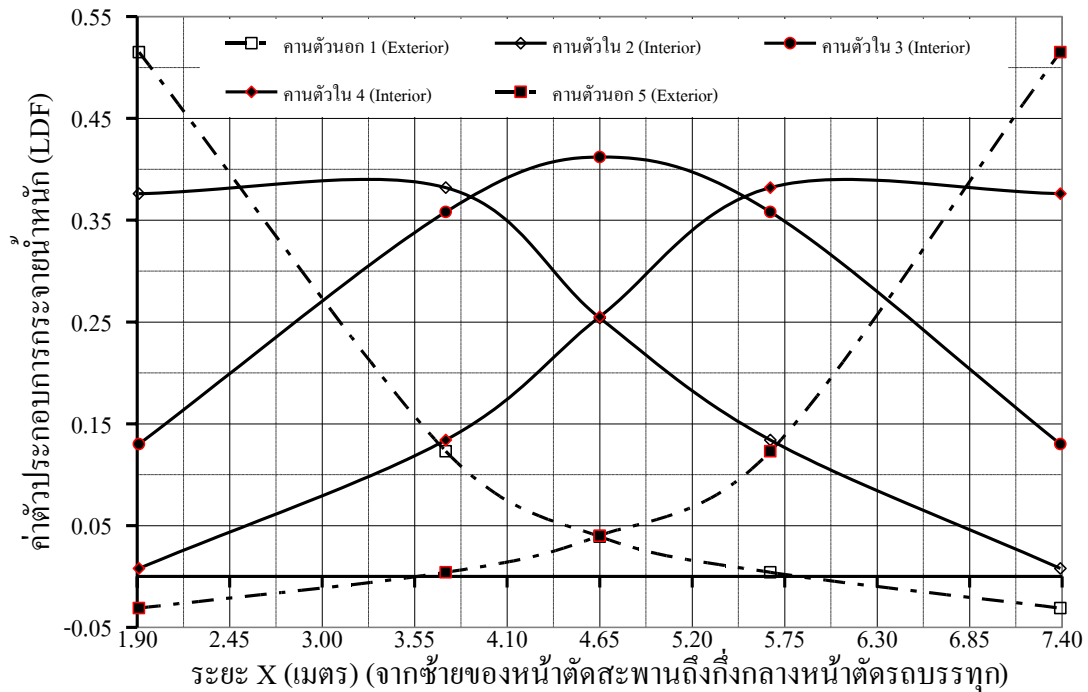
ความสัมพันธ์ระหว่างค่าตัวประกอบการกระจายน้ำหนัก (Load Distribution Factor)
กับระบบทางที่ติดเน้นต่างๆของหน้าตัดสะพาน
(เฉพาะกรณีรับแรงกระทำจากรถบรรทุกในกรณีที่ 1 เท่านั้น)



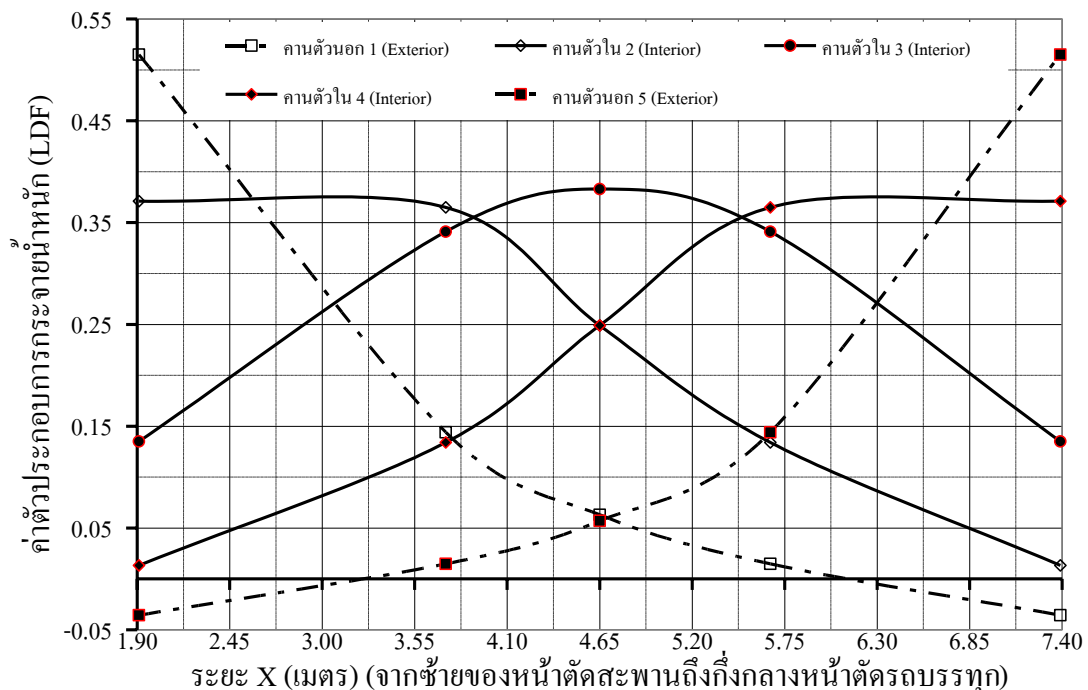
รูปที่ ง-1 ความสัมพันธ์ระหว่างค่า LDF ที่ระยะ X ต่างๆ (Prodeck4, CS1, L = 12.00 เมตร)



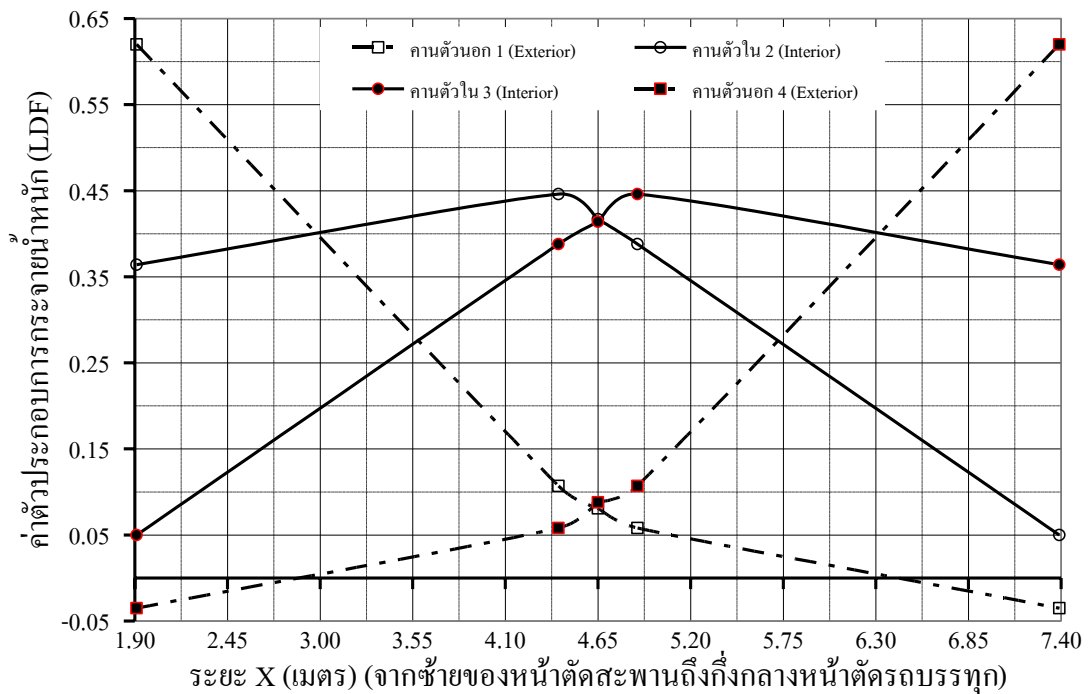
รูปที่ ง-2 ความสัมพันธ์ระหว่างค่า LDF ที่ระยะ X ต่างๆ (Prodeck4, CS1, L = 18.00 เมตร)



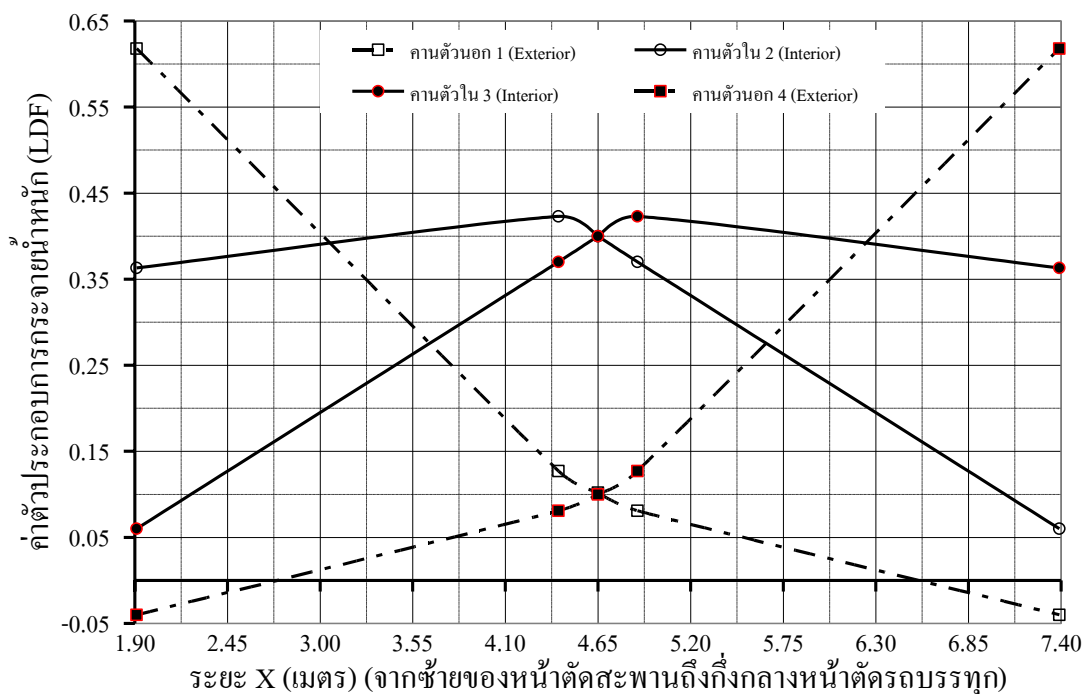
รูปที่ ง-3 ความสัมพันธ์ระหว่างค่า LDF ที่ระยะ X ต่างๆ (Prodeck4, CS2, L = 12.00 เมตร)



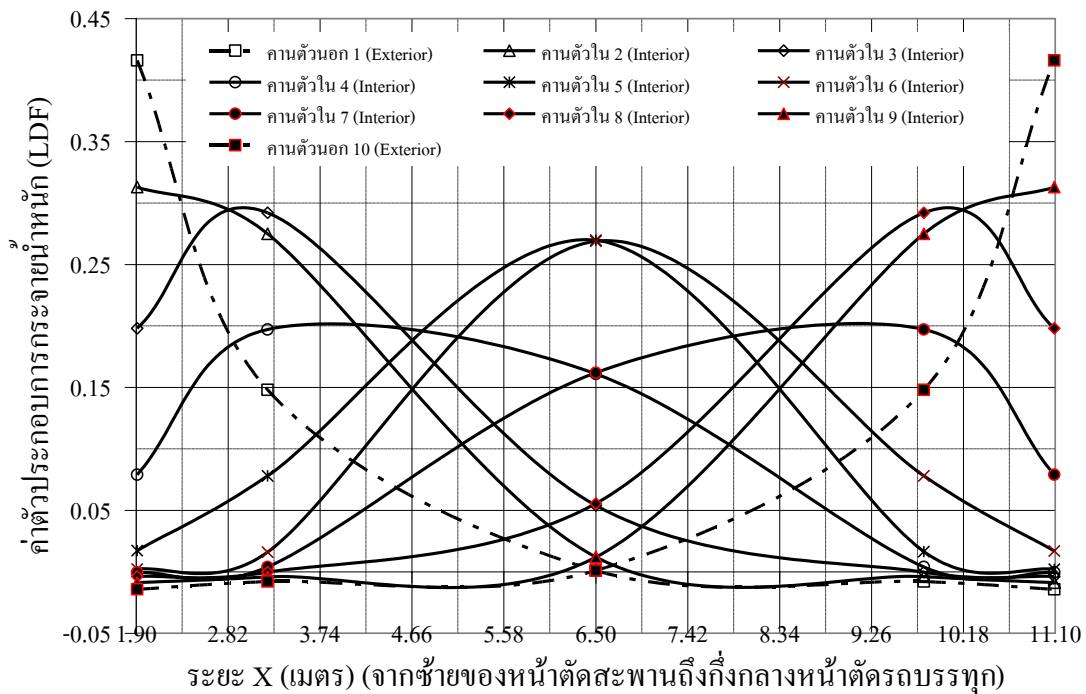
รูปที่ ง-4 ความสัมพันธ์ระหว่างค่า LDF ที่ระยะ X ต่างๆ (Prodeck4, CS2, L = 18.00 เมตร)



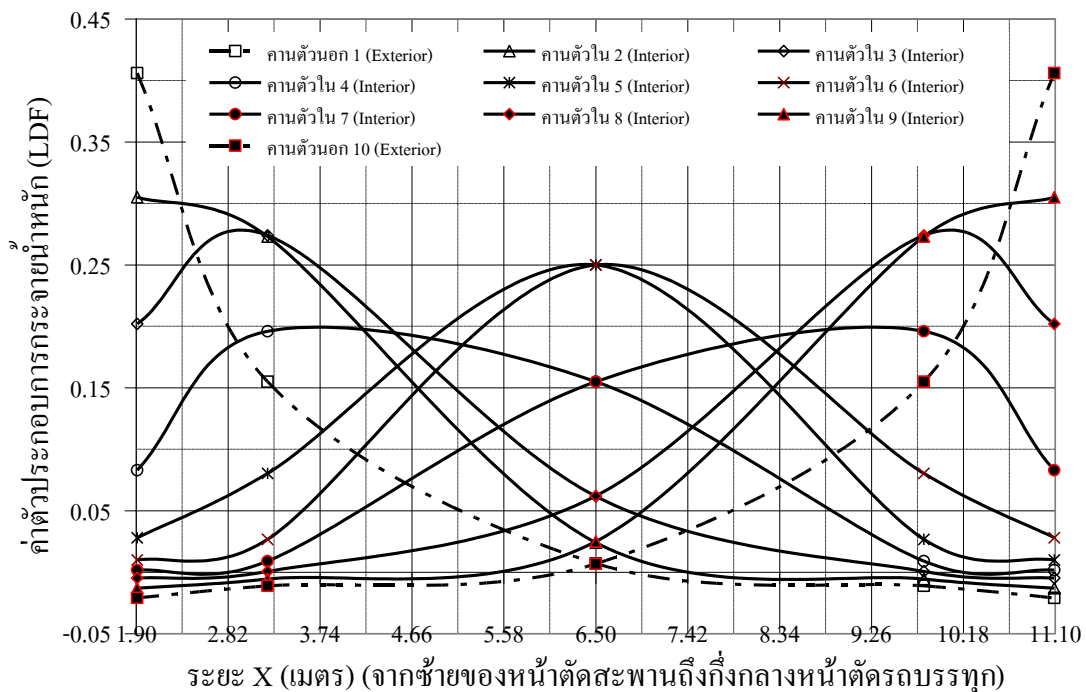
รูปที่ ง-5 ความสัมพันธ์ระหว่างค่า LDF ที่ระยะ X ต่างๆ (Prodeck4, CS3, $L = 12.00$ เมตร)



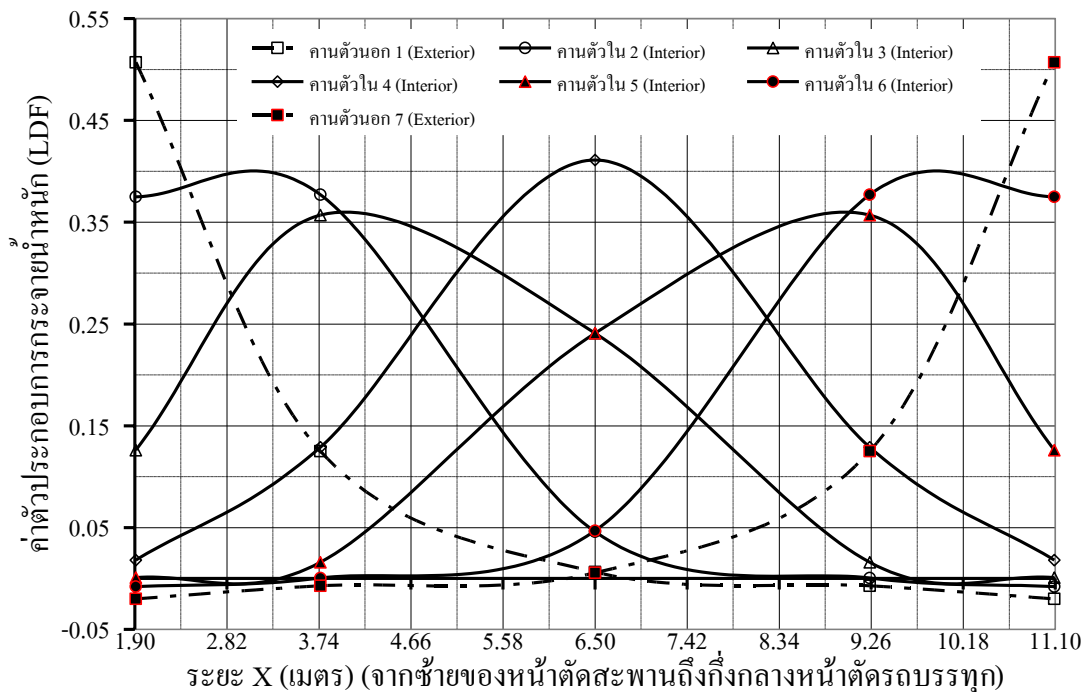
รูปที่ ง-6 ความสัมพันธ์ระหว่างค่า LDF ที่ระยะ X ต่างๆ (Prodeck4, CS3, $L = 18.00$ เมตร)



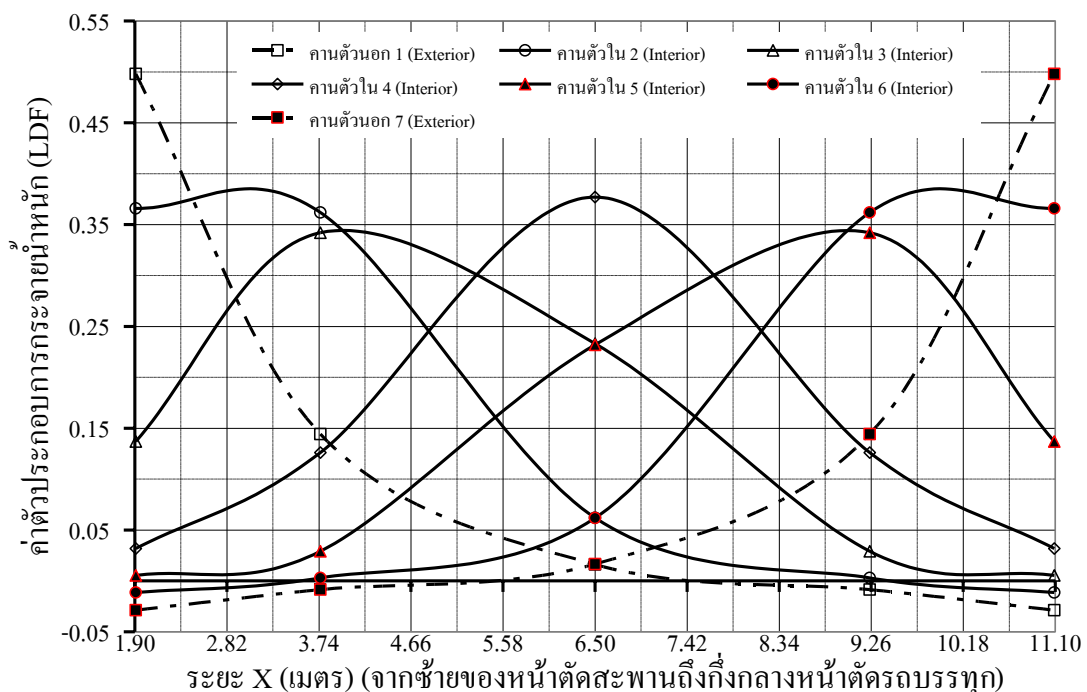
รูปที่ ง-7 ความสัมพันธ์ระหว่างค่า LDF ที่ระยะ X ต่างๆ (Prodeck4, CS4, L = 12.00 เมตร)



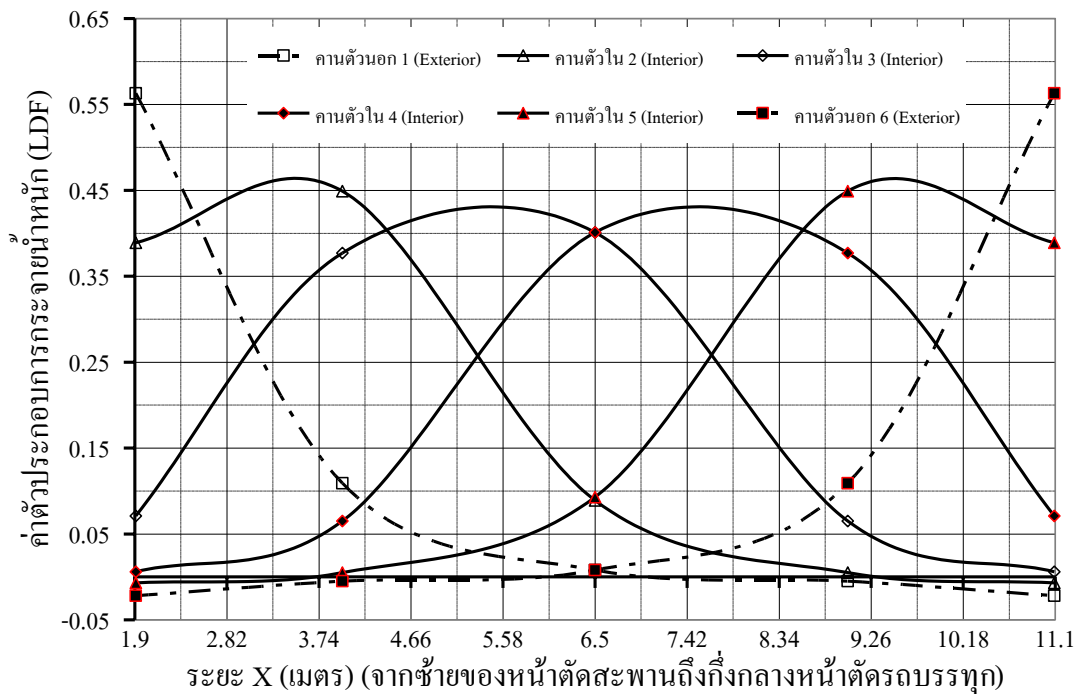
รูปที่ ง-8 ความสัมพันธ์ระหว่างค่า LDF ที่ระยะ X ต่างๆ (Prodeck4, CS4, L = 18.00 เมตร)



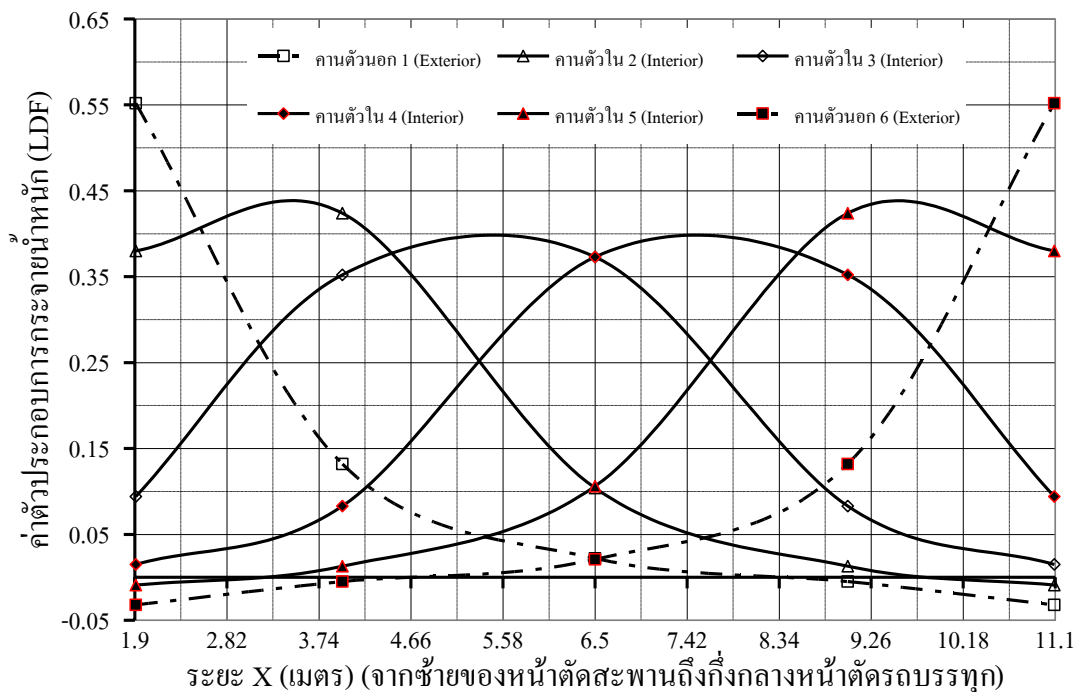
รูปที่ ๔-๙ ความสัมพันธ์ระหว่างค่า LDF ที่ระยะ X ต่างๆ (Prodeck4, CS5, L = 12.00 เมตร)



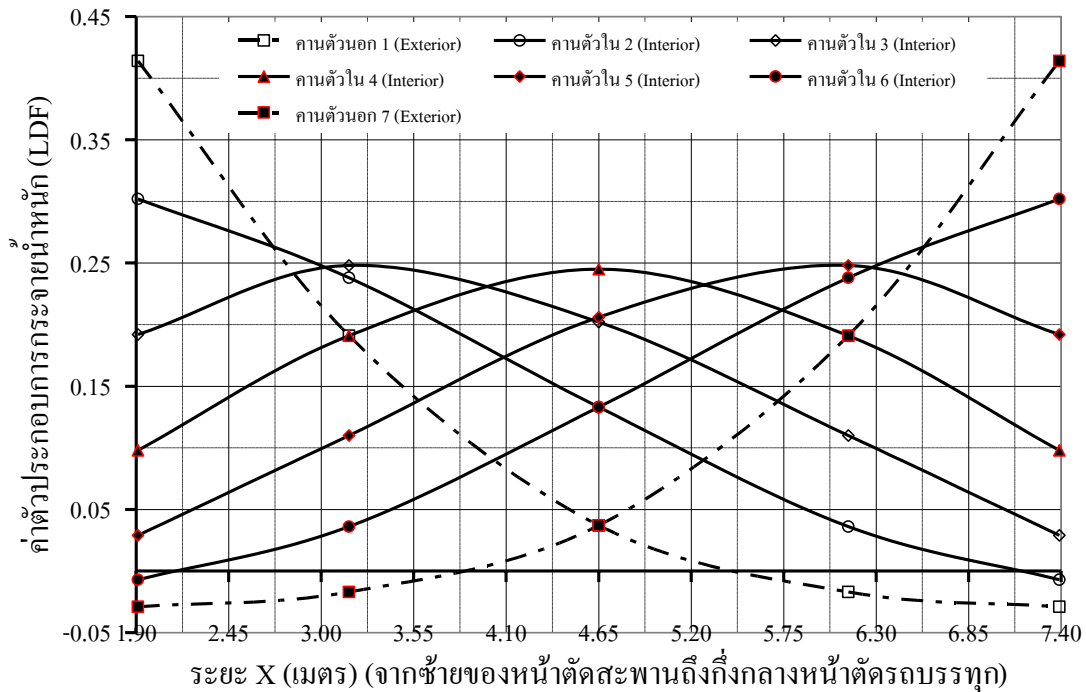
รูปที่ ๔-๑๐ ความสัมพันธ์ระหว่างค่า LDF ที่ระยะ X ต่างๆ (Prodeck4, CS5, L = 18.00 เมตร)



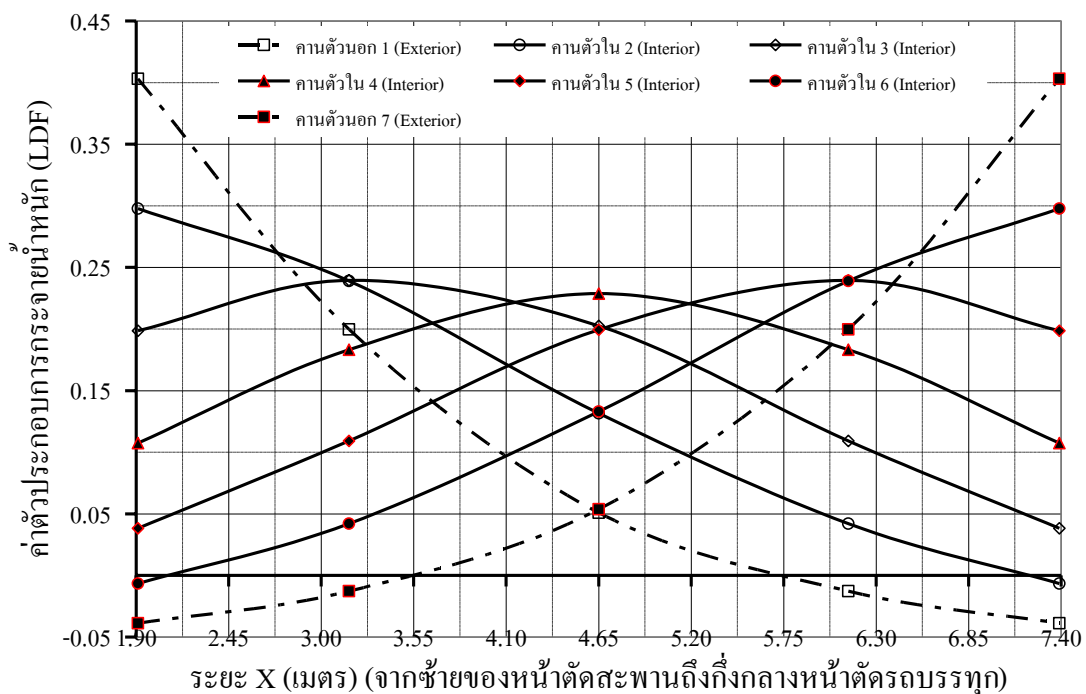
รูปที่ ง-11 ความสัมพันธ์ระหว่างค่า LDF ที่ระยะ X ต่างๆ (Prodeck4, CS6, L = 12.00 เมตร)



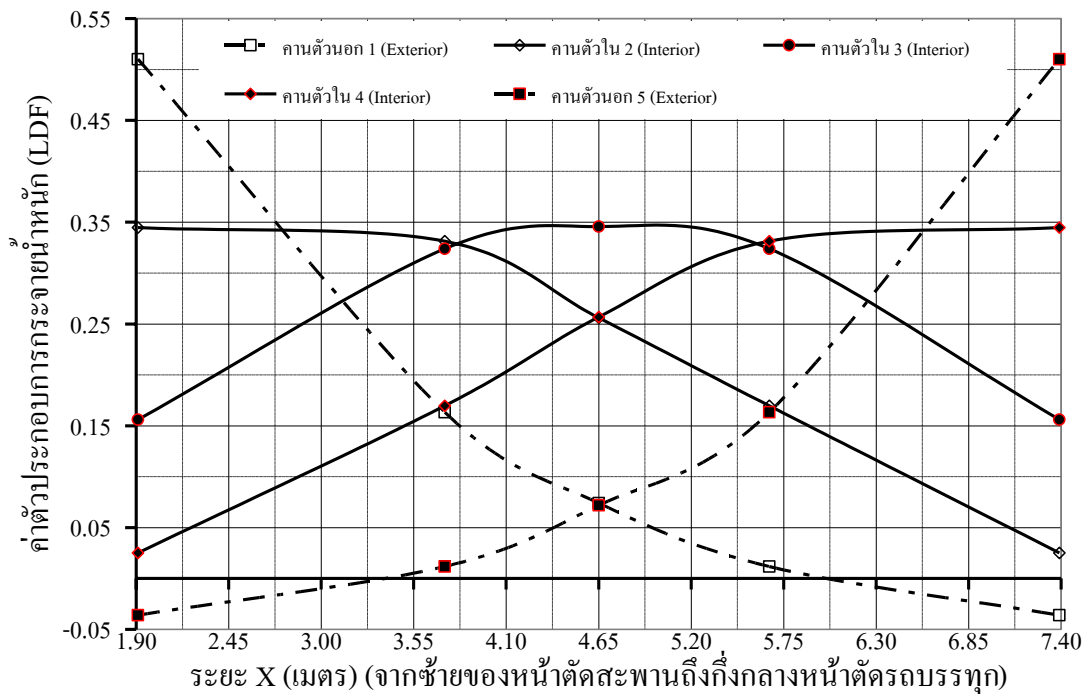
รูปที่ ง-12 ความสัมพันธ์ระหว่างค่า LDF ที่ระยะ X ต่างๆ (Prodeck4, CS6, L = 18.00 เมตร)



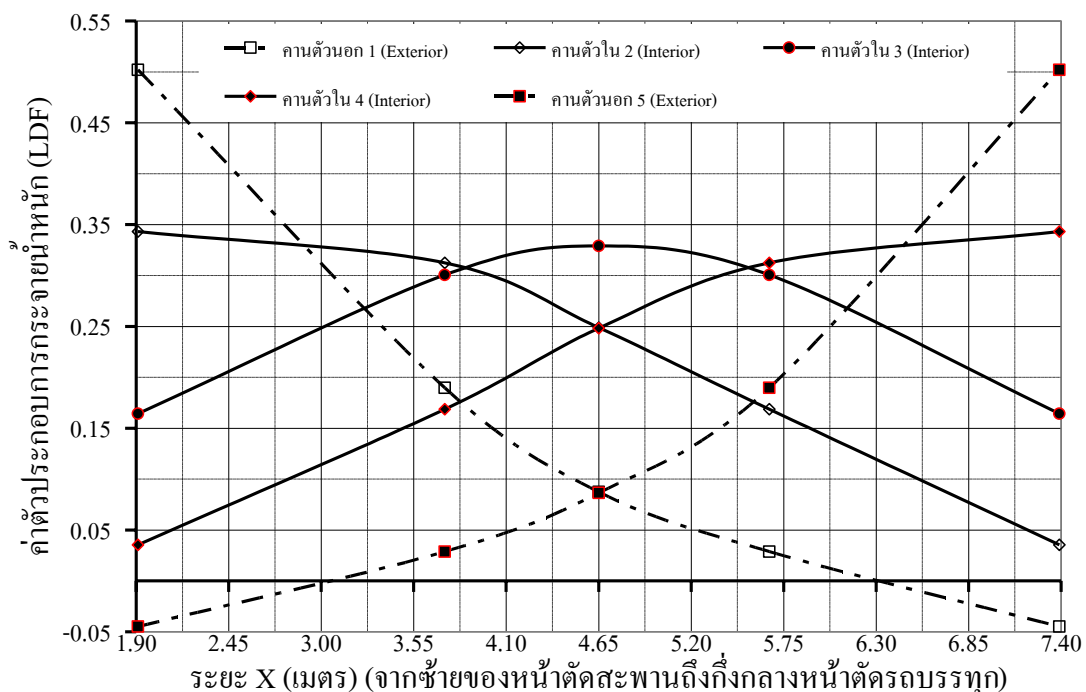
รูปที่ ง-13 ความสัมพันธ์ระหว่างค่า LDF ที่ระยะ X ต่างๆ (Prodeck8, CS1, L = 12.00 เมตร)



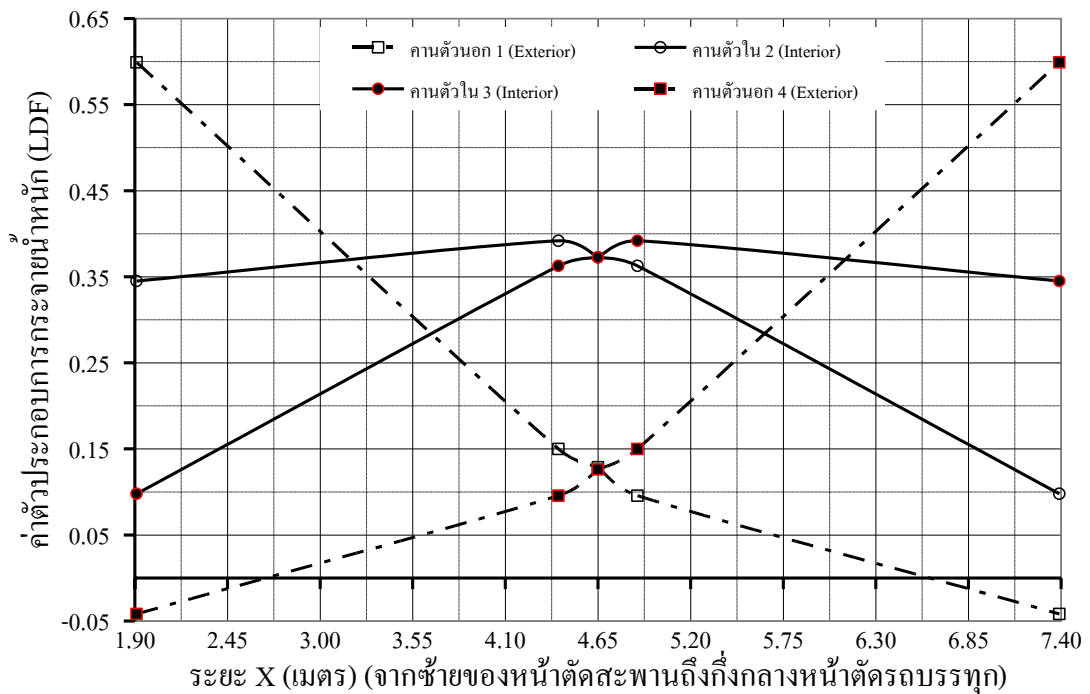
รูปที่ ง-14 ความสัมพันธ์ระหว่างค่า LDF ที่ระยะ X ต่างๆ (Prodeck8, CS1, L = 18.00 เมตร)



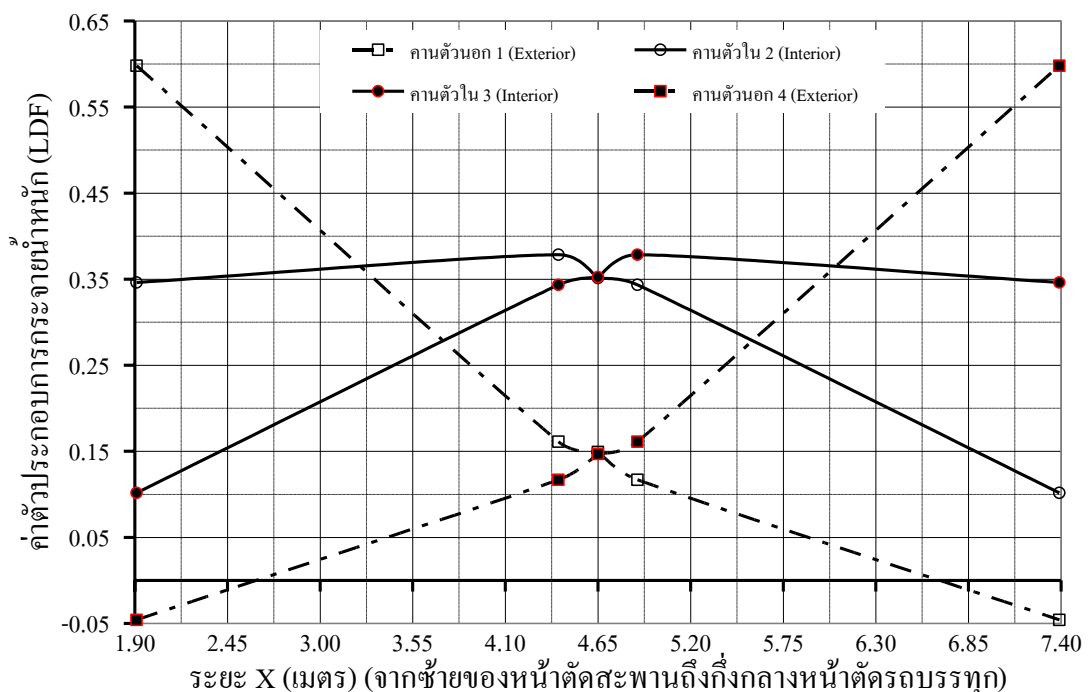
รูปที่ ง-15 ความสัมพันธ์ระหว่างค่า LDF ที่ระยะ X ต่างๆ (Prodeck8, CS2, L = 12.00 เมตร)



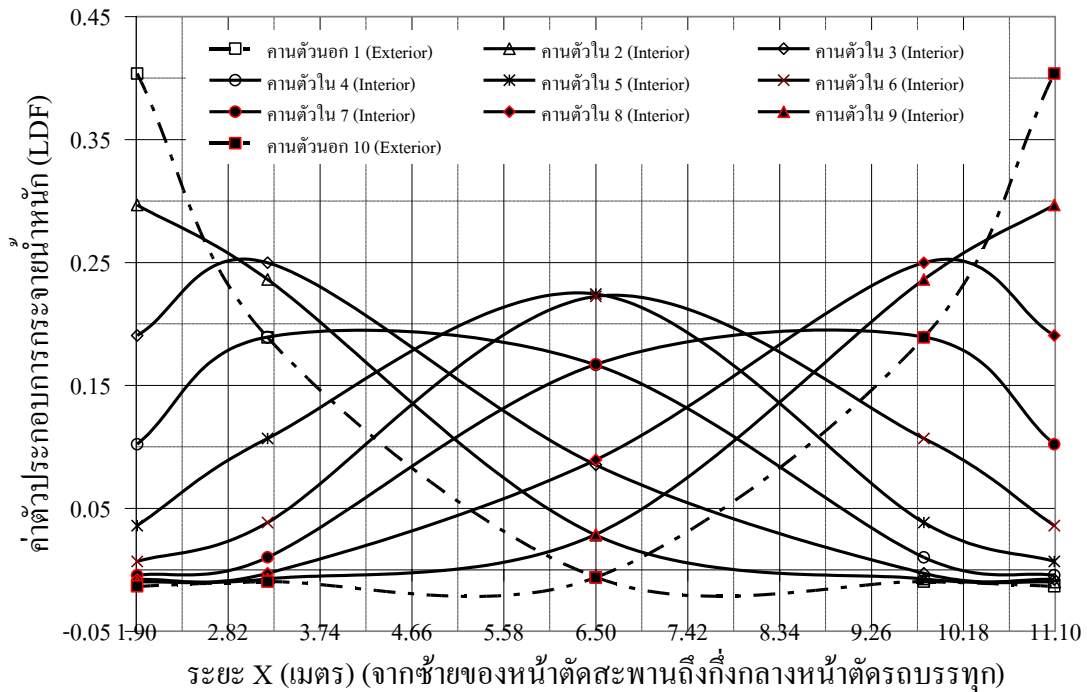
รูปที่ ง-16 ความสัมพันธ์ระหว่างค่า LDF ที่ระยะ X ต่างๆ (Prodeck8, CS2, L = 18.00 เมตร)



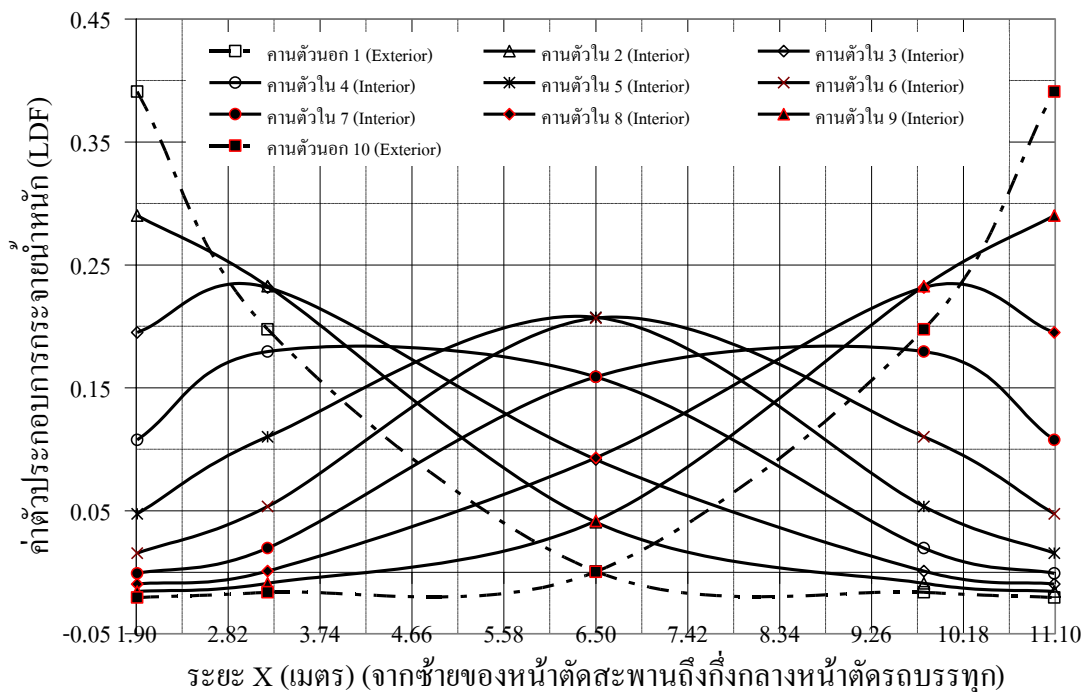
รูปที่ ง-17 ความสัมพันธ์ระหว่างค่า LDF ที่ระยะ X ต่างๆ (Prodeck8, CS3, L = 12.00 เมตร)



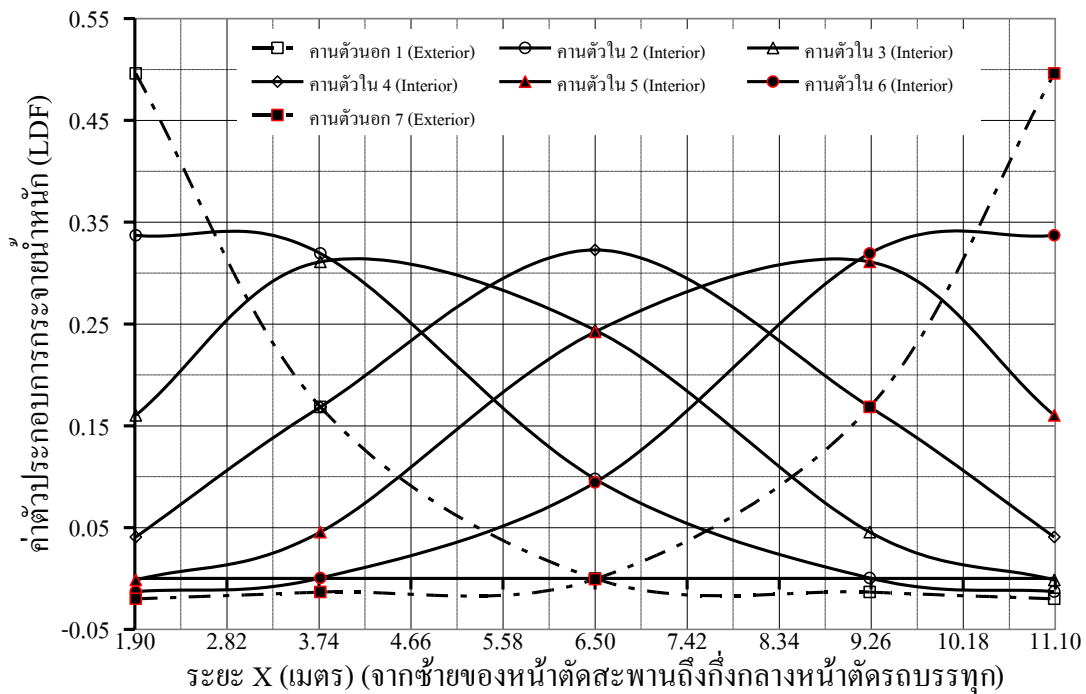
รูปที่ ง-18 ความสัมพันธ์ระหว่างค่า LDF ที่ระยะ X ต่างๆ (Prodeck8, CS3, L = 18.00 เมตร)



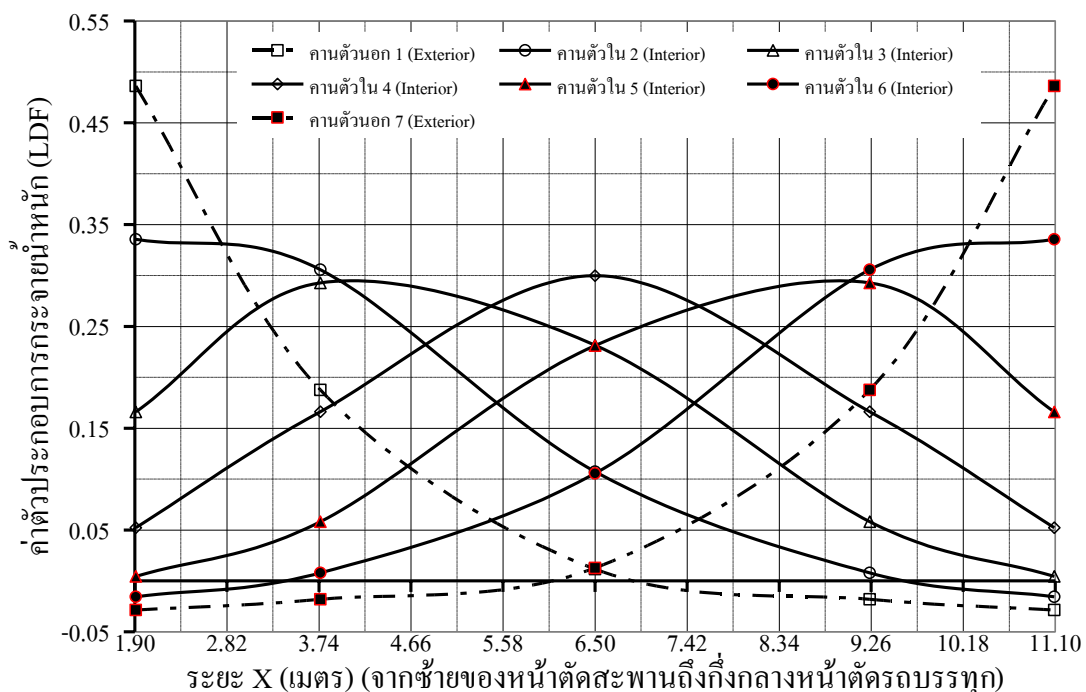
รูปที่ ๔-19 ความสัมพันธ์ระหว่างค่า LDF ที่ระยะ X ต่างๆ (Prodeck8, CS4, L = 12.00 เมตร)



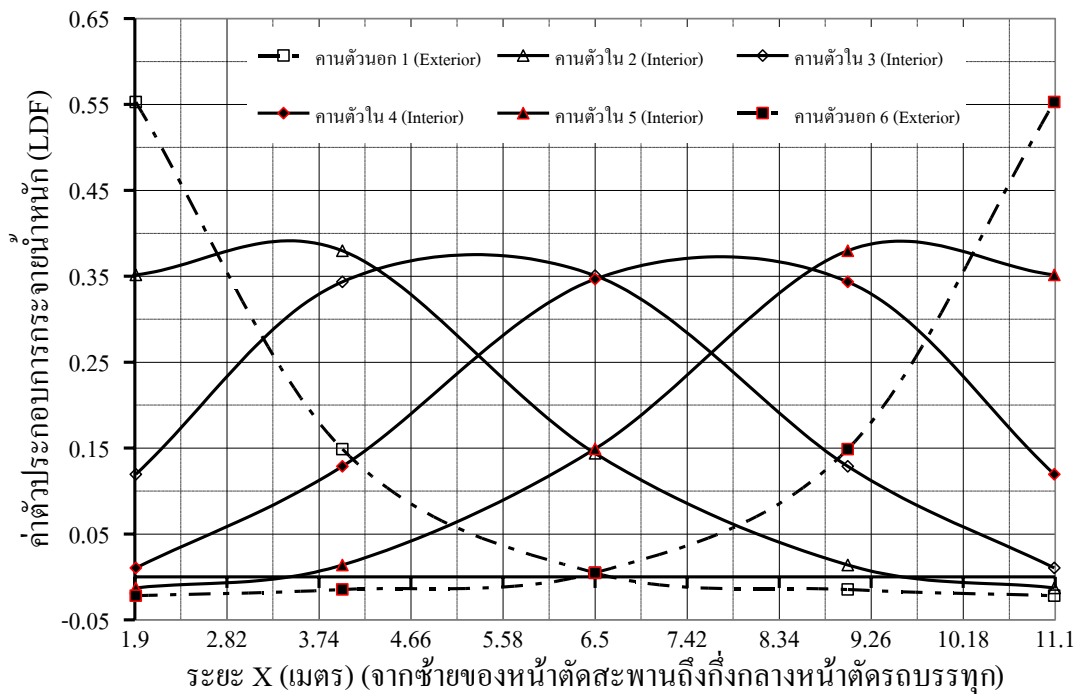
รูปที่ ๔-20 ความสัมพันธ์ระหว่างค่า LDF ที่ระยะ X ต่างๆ (Prodeck8, CS4, L = 18.00 เมตร)



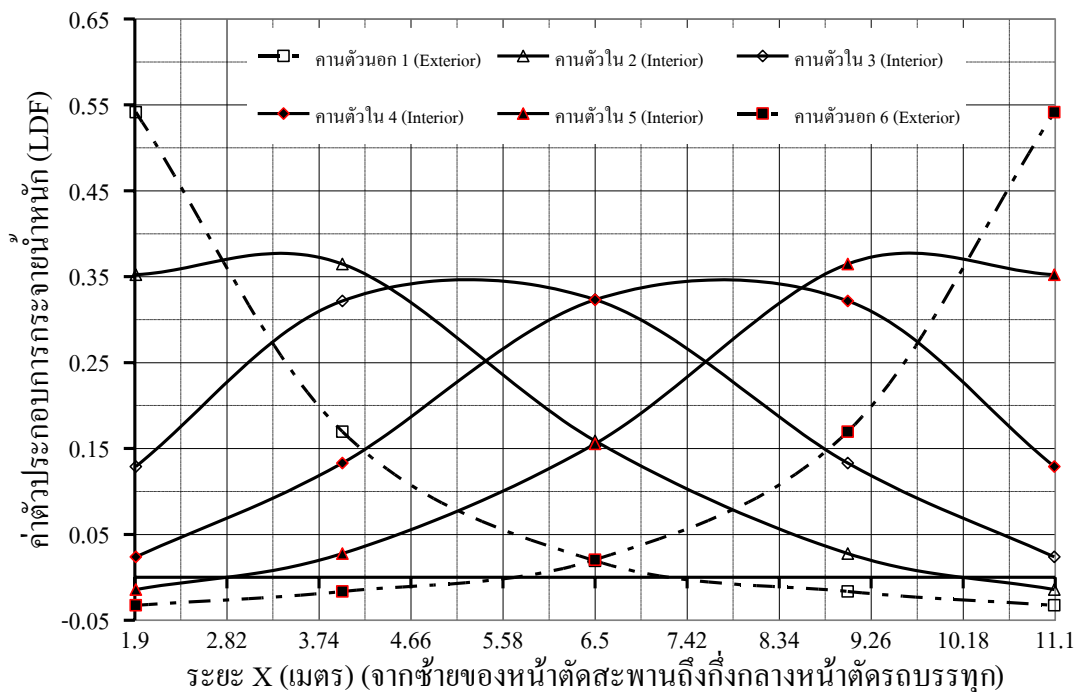
รูปที่ ง-21 ความสัมพันธ์ระหว่างค่า LDF ที่ระยะ X ต่างๆ (Prodeck8, CS5, L = 12.00 เมตร)



รูปที่ ง-22 ความสัมพันธ์ระหว่างค่า LDF ที่ระยะ X ต่างๆ (Prodeck8, CS5, L = 18.00 เมตร)



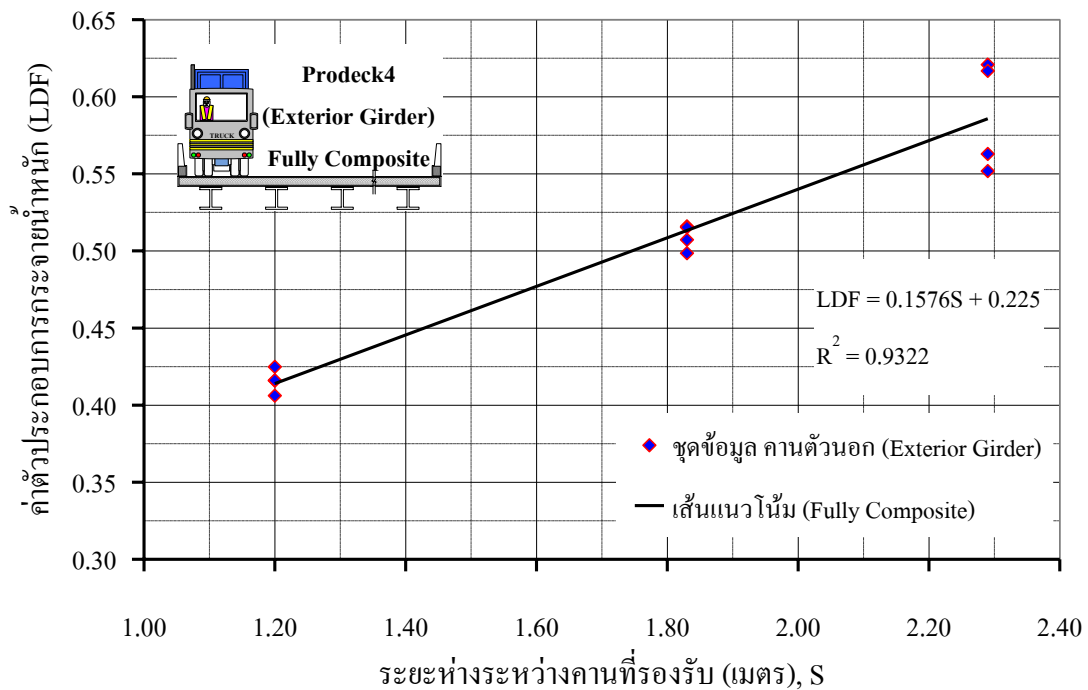
รูปที่ ง-23 ความสัมพันธ์ระหว่างค่า LDF ที่ระยะ X ต่างๆ (Prodeck8, CS6, L = 12.00 เมตร)



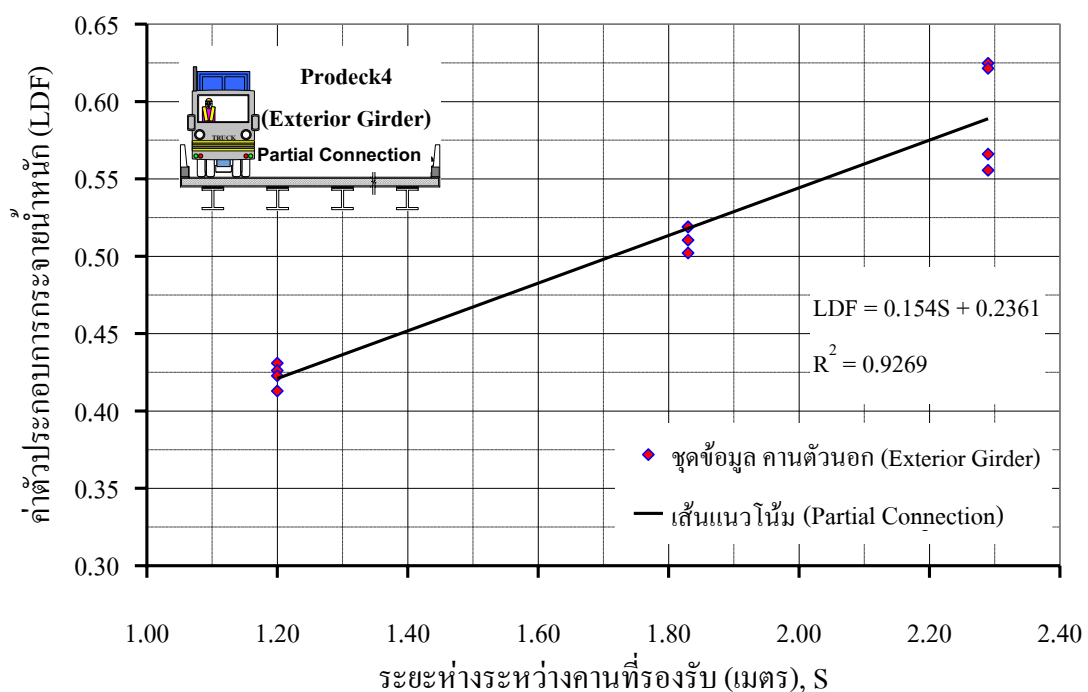
รูปที่ ง-24 ความสัมพันธ์ระหว่างค่า LDF ที่ระยะ X ต่างๆ (Prodeck8, CS6, L = 18.00 เมตร)

ภาคผนวก จ

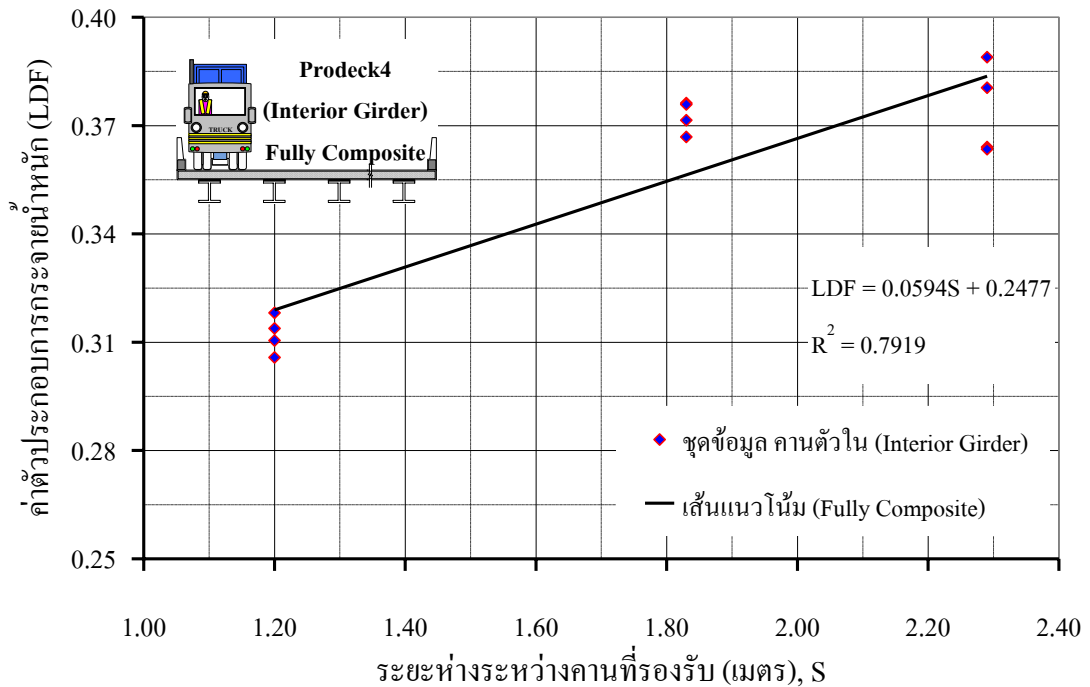
ความสัมพันธ์ระหว่างค่าตัวประกอบการกระจายน้ำหนัก (Load Distribution Factor) กับระยะห่างระหว่างคานที่รองรับ (Girder Spacing) ในรูปแบบสมการประมาณค่าแบบเชิงเส้น



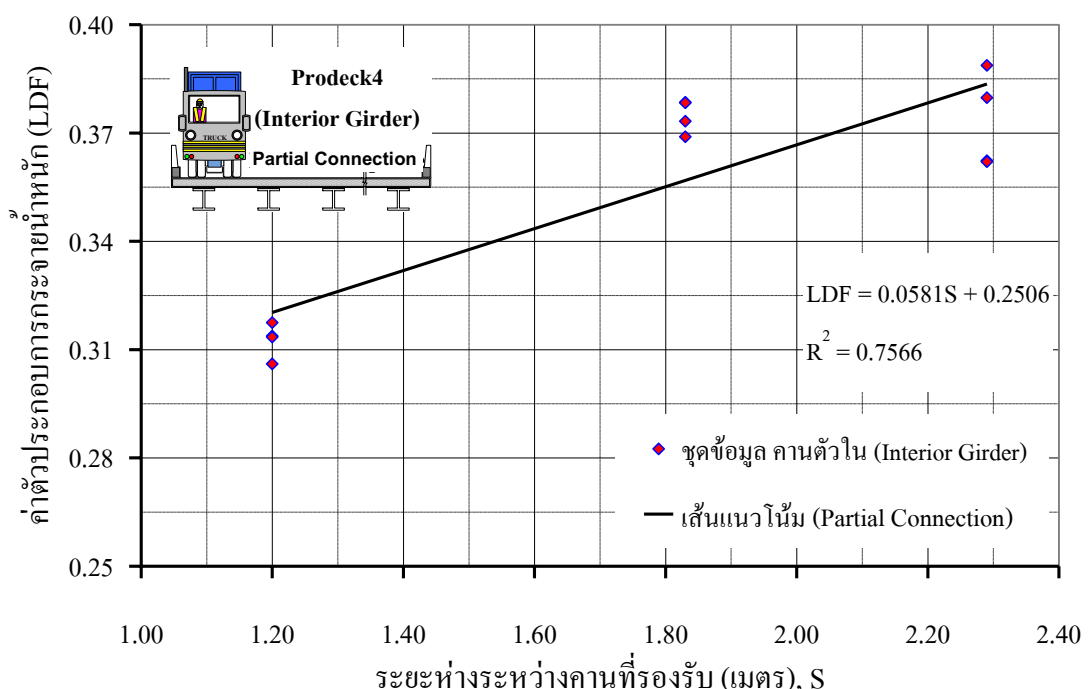
รูปที่ จ-1 ความสัมพันธ์ระหว่าง LDF กับ S (Ext-G, PD4, FC)



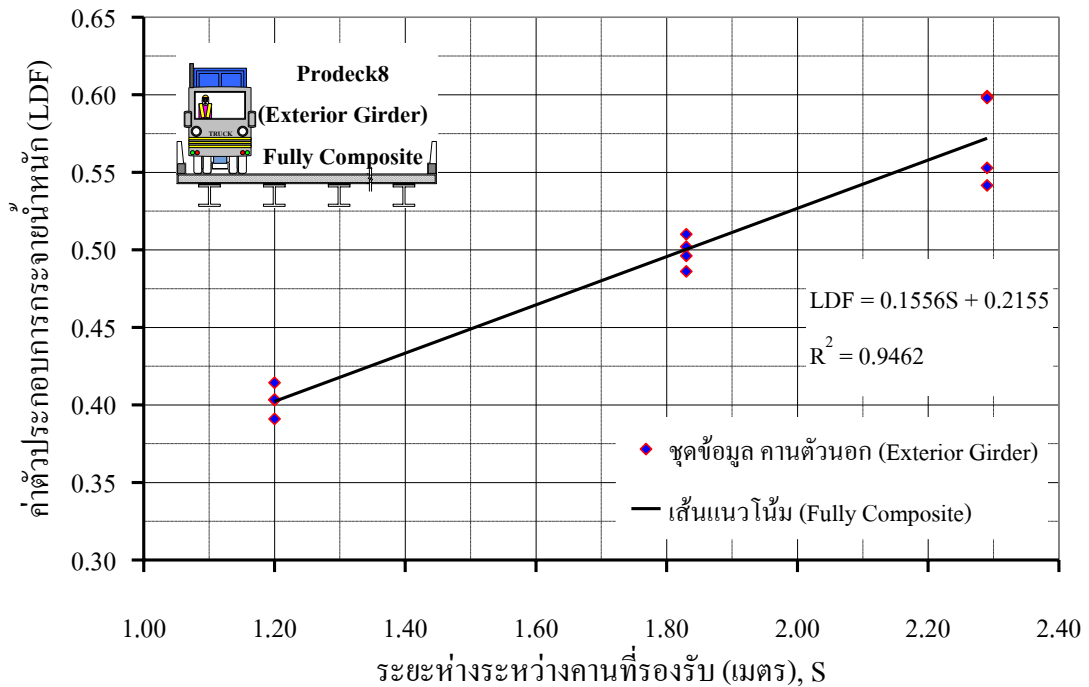
รูปที่ จ-2 ความสัมพันธ์ระหว่าง LDF กับ S (Ext-G, PD4, PC)



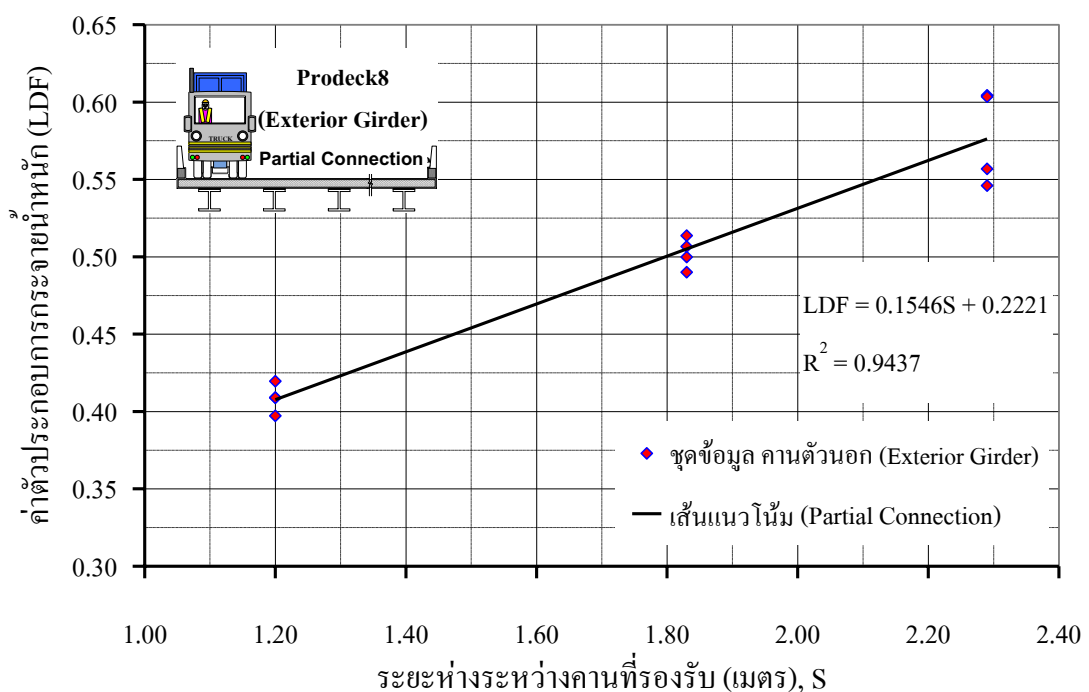
รูปที่ จ-3 ความสัมพันธ์ระหว่าง LDF กับ S (Int-G, PD4, FC)



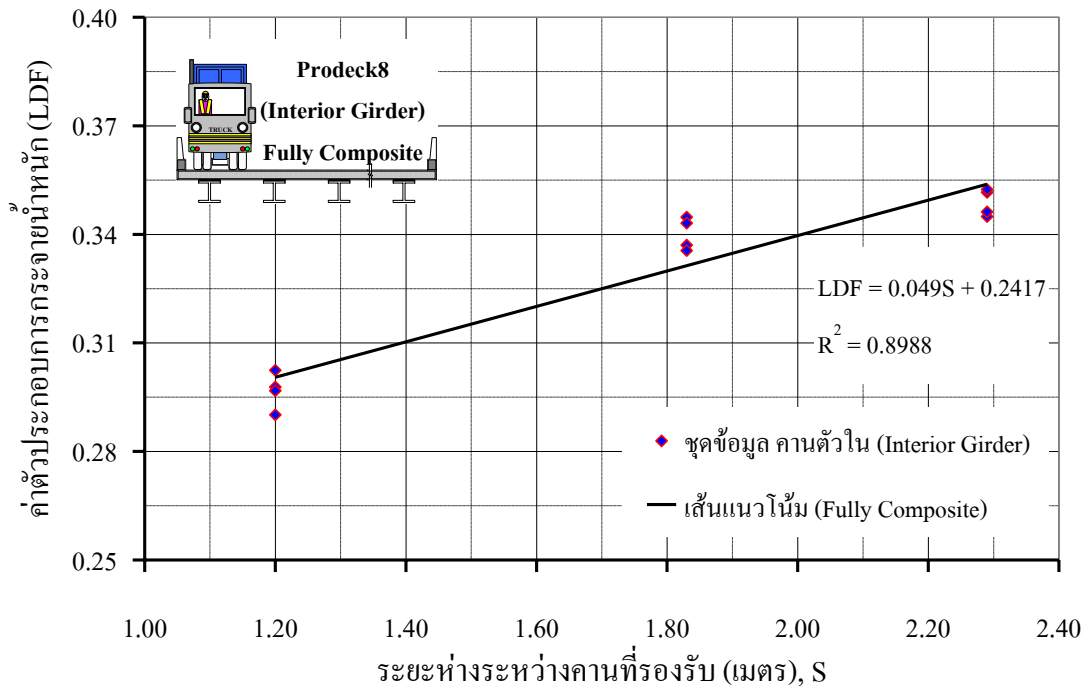
รูปที่ จ-4 ความสัมพันธ์ระหว่าง LDF กับ S (Int-G, PD4, PC)



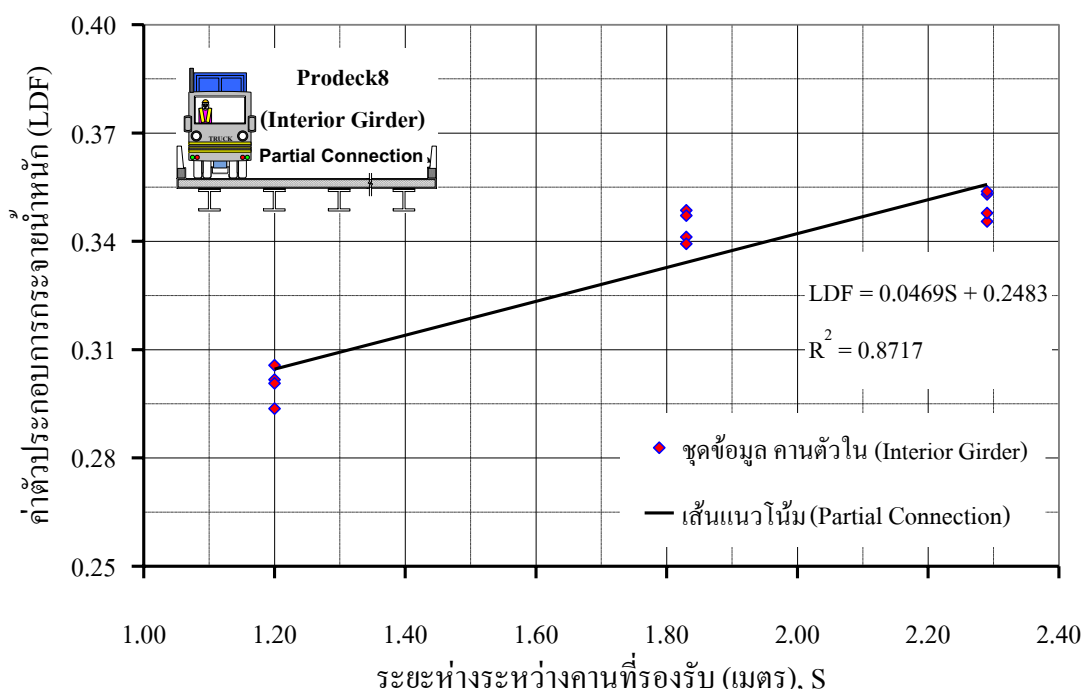
รูปที่ จ-5 ความสัมพันธ์ระหว่าง LDF กับ S (Ext-G, PD8, FC)



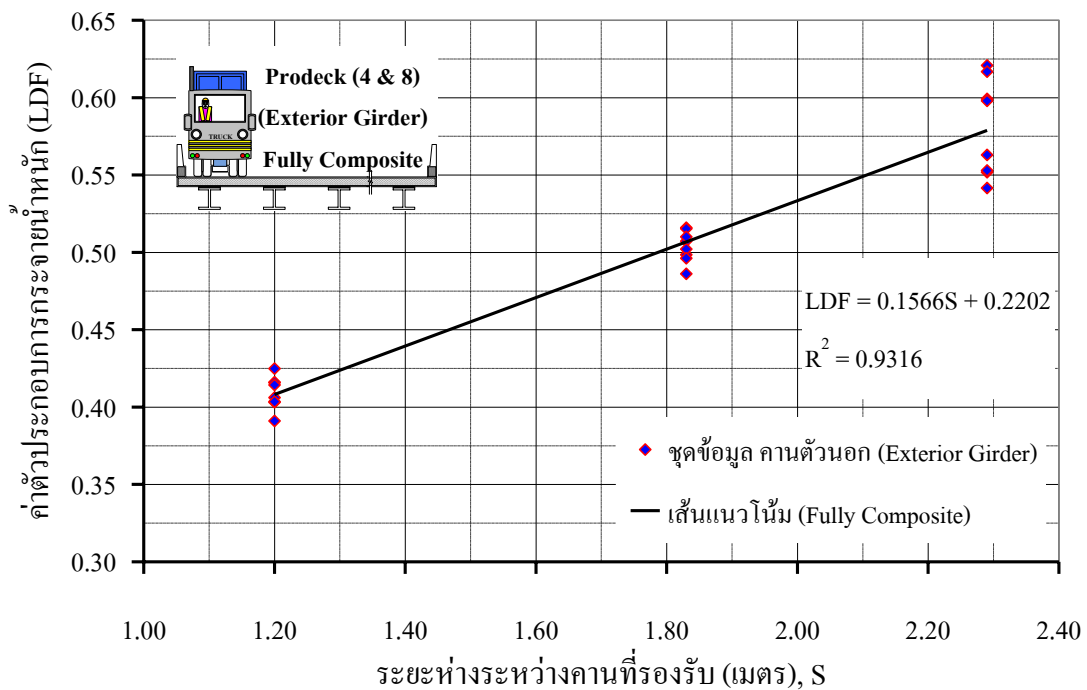
รูปที่ จ-6 ความสัมพันธ์ระหว่าง LDF กับ S (Ext-G, PD8, PC)



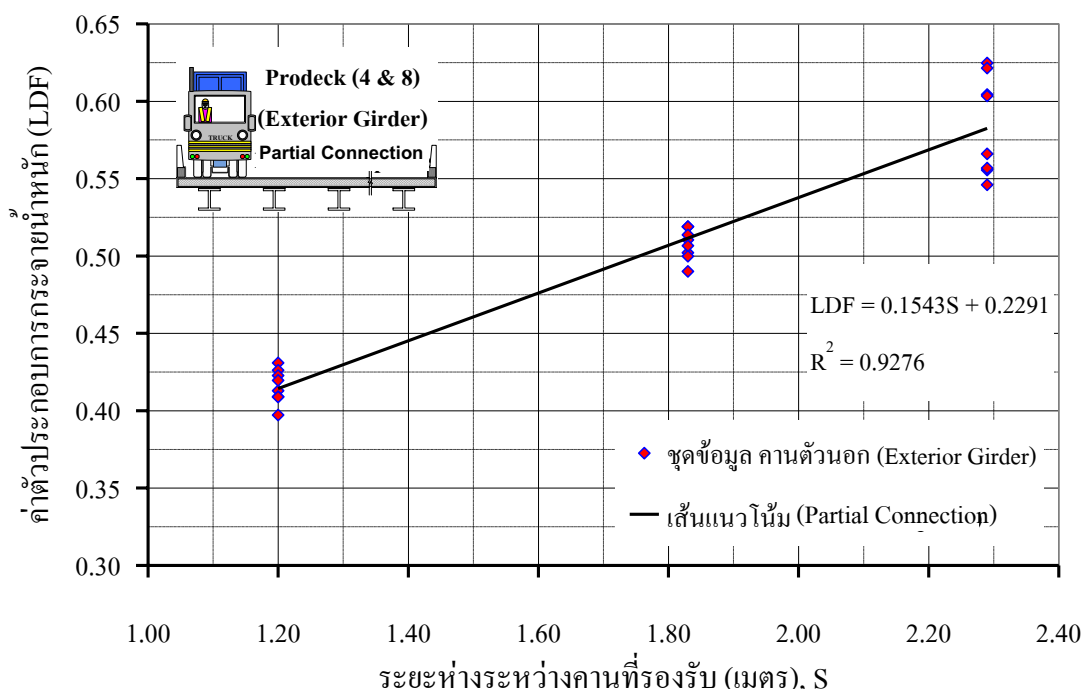
รูปที่ จ-7 ความสัมพันธ์ระหว่าง LDF กับ S (Int-G, PD8, FC)



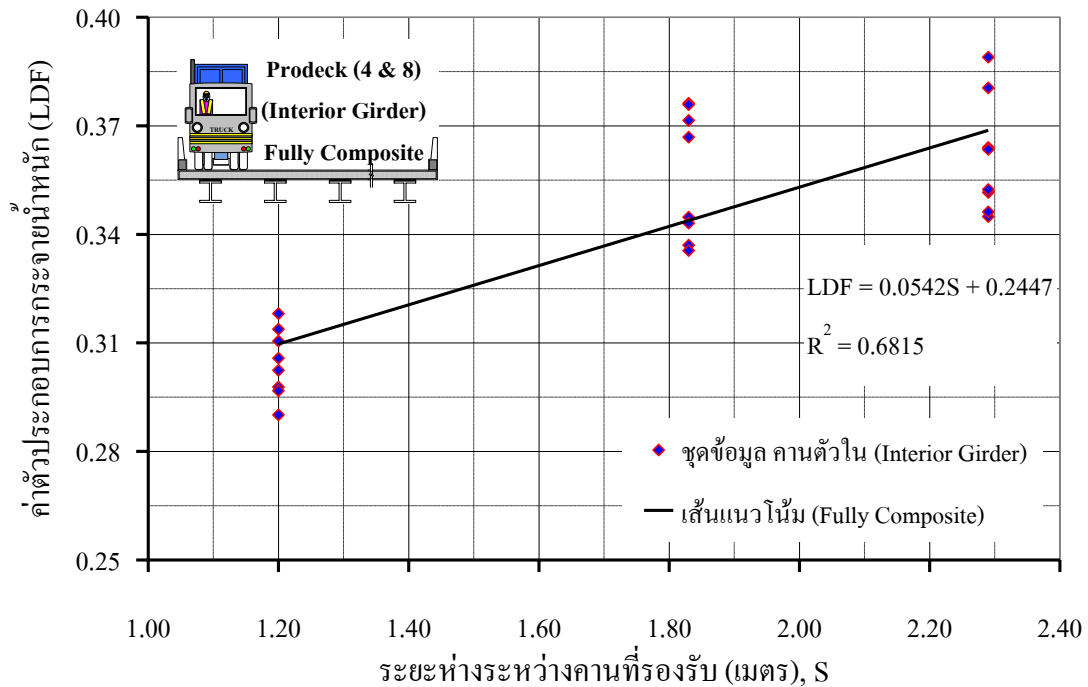
รูปที่ จ-8 ความสัมพันธ์ระหว่าง LDF กับ S (Int-G, PD8, PC)



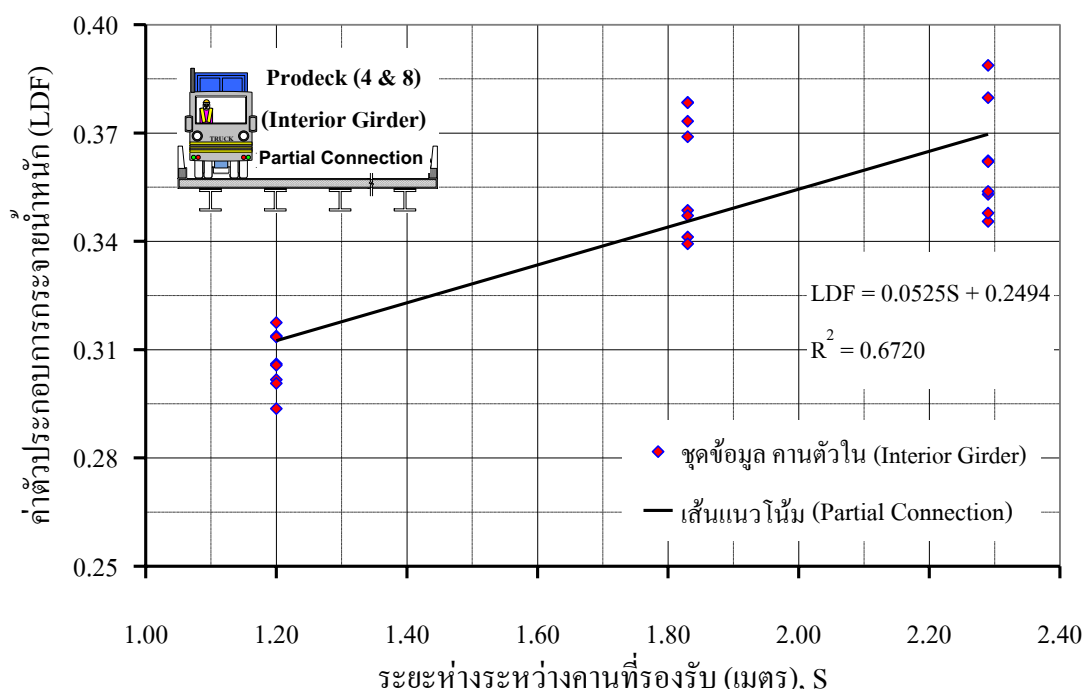
รูปที่ จ-9 ความสัมพันธ์ระหว่าง LDF กับ S (Ext-G, PD4+PD8, FC)



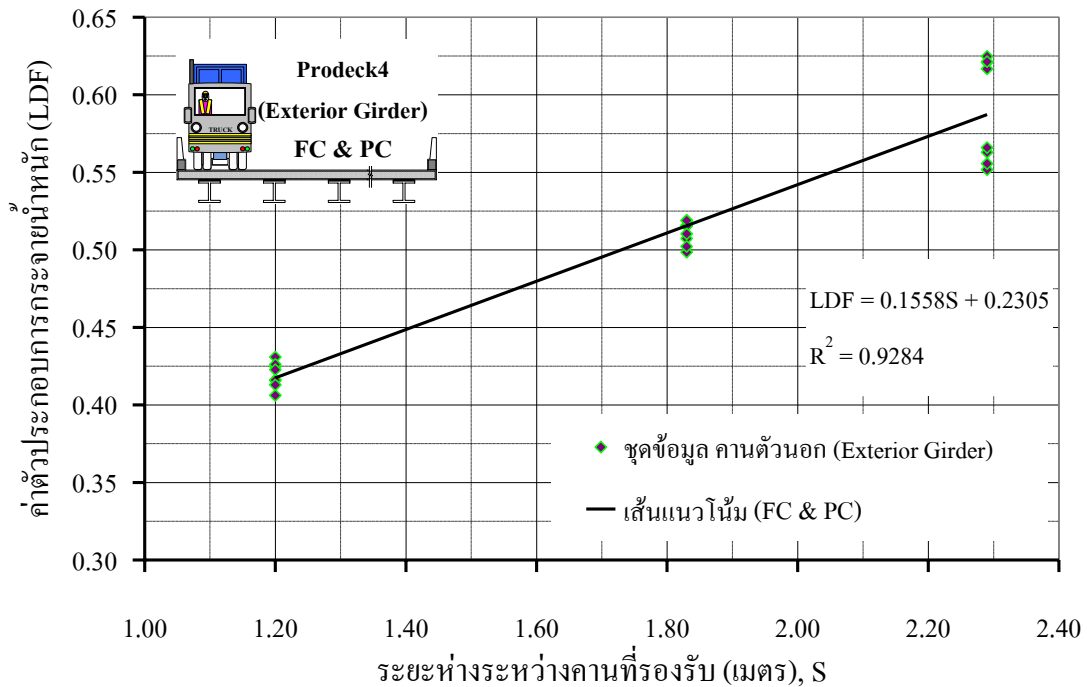
รูปที่ จ-10 ความสัมพันธ์ระหว่าง LDF กับ S (Ext-G, PD4+PD8, PC)



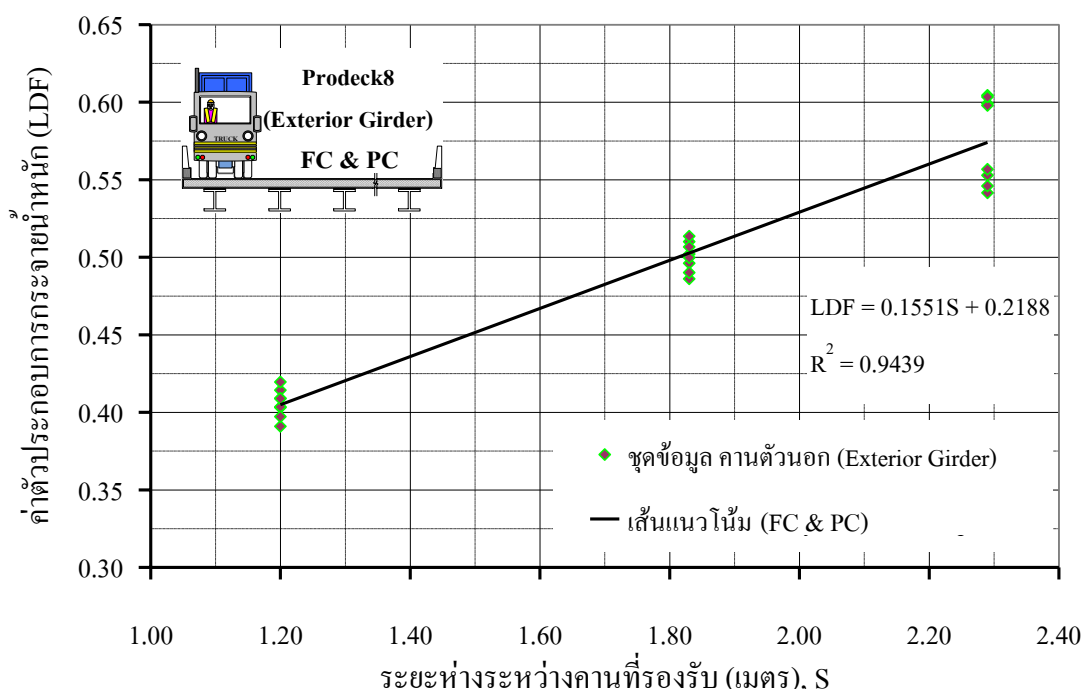
รูปที่ จ-11 ความสัมพันธ์ระหว่าง LDF กับ S (Int-G, PD4+PD8, FC)



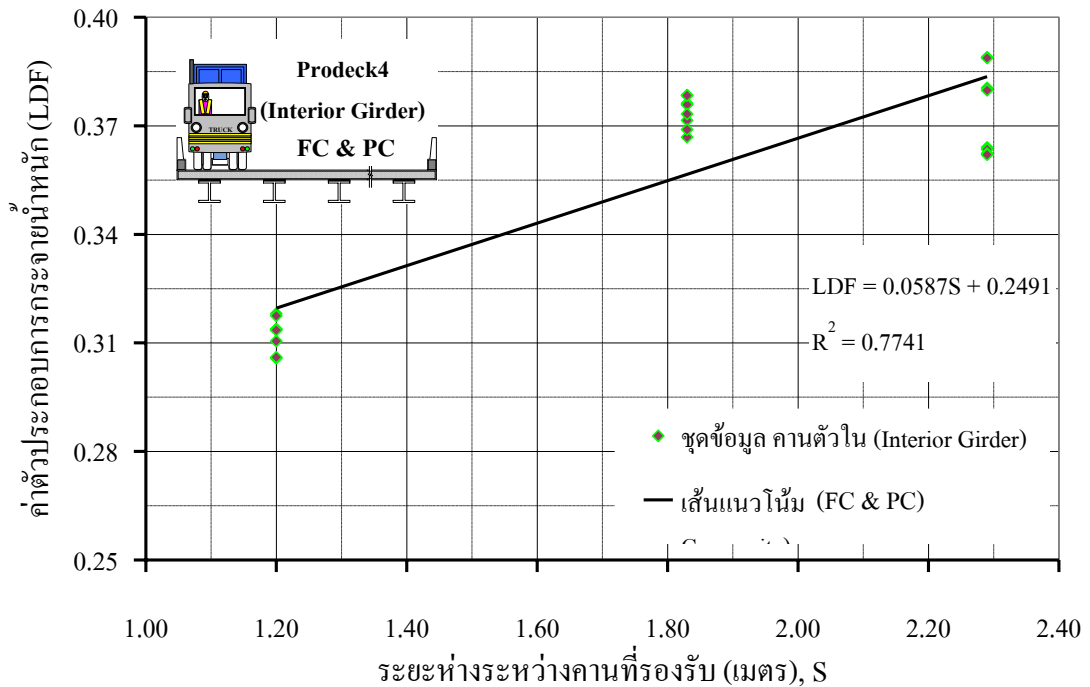
รูปที่ จ-12 ความสัมพันธ์ระหว่าง LDF กับ S (Int-G, PD4+PD8, PC)



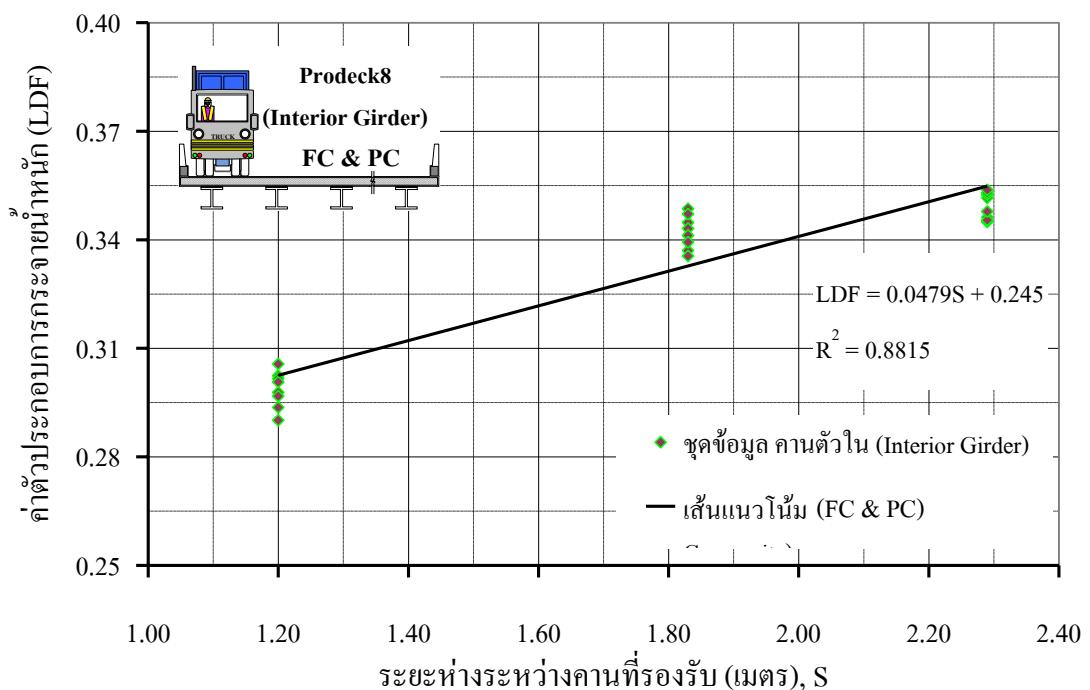
รูปที่ จ-13 ความสัมพันธ์ระหว่าง LDF กับ S (Ext-G, PD4, FC+PC)



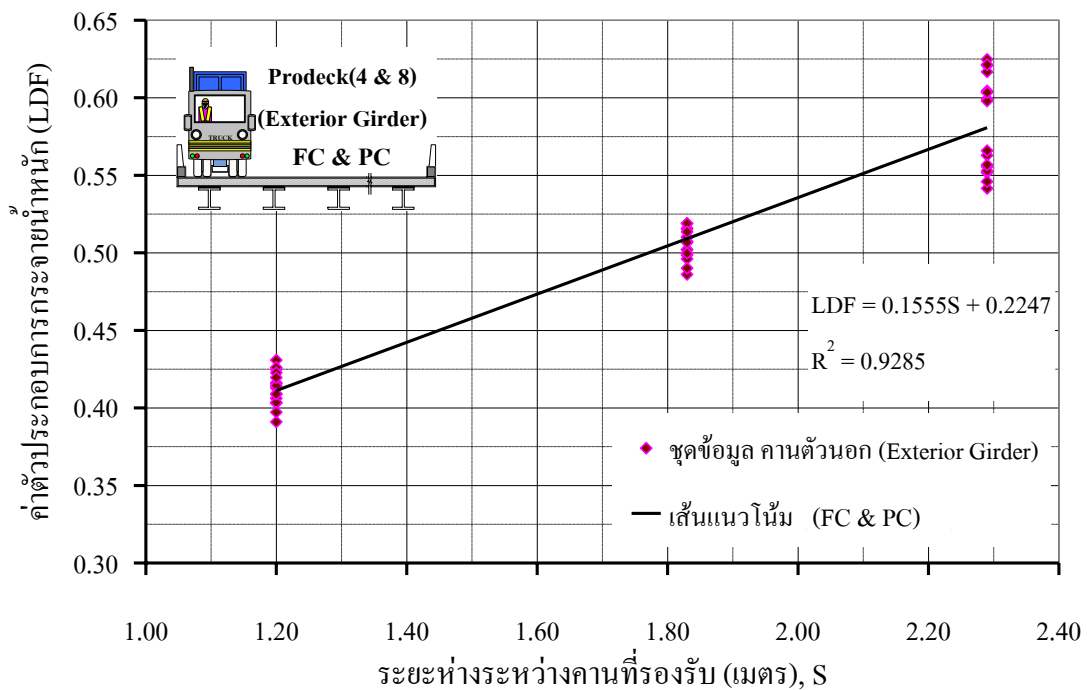
รูปที่ จ-14 ความสัมพันธ์ระหว่าง LDF กับ S (Ext-G, PD8, FC+PC)



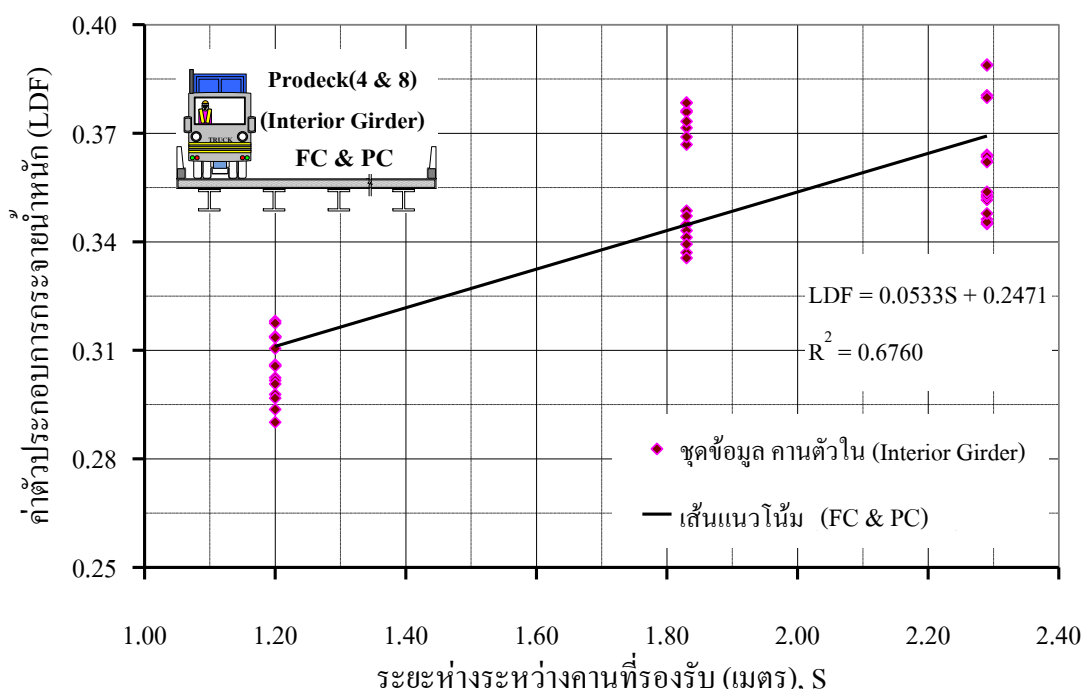
รูปที่ จ-15 ความสัมพันธ์ระหว่าง LDF กับ S (Int-G, PD4, FC+PC)



รูปที่ จ-16 ความสัมพันธ์ระหว่าง LDF กับ S (Int-G, PD8, FC+PC)



รูปที่ จ-17 ความสัมพันธ์ระหว่าง LDF กับ S (Ext-G, PD4+PD8, FC+PC)



รูปที่ จ-18 ความสัมพันธ์ระหว่าง LDF กับ S (Int-G, PD4+PD8, FC+PC)

ประวัติผู้เขียน

ชื่อ สกุล นายพงศ์ศักดิ์ ศุขณณี
รหัสประจำตัวนักศึกษา 5010120049
บุคลิกการศึกษา

วุฒิ	ชื่อสถานบันท	ปีที่สำเร็จการศึกษา
วิศวกรรมศาสตรบัณฑิต (วิศวกรรมโยธา)	มหาวิทยาลัยสงขลานครินทร์	2542

ทุนการศึกษา (ที่ได้รับระหว่างการศึกษา)

ทุนศิษย์เก้นกุฎีคณะวิศวกรรมศาสตร์ มหาวิทยาลัยสงขลานครินทร์ ปีการศึกษา 2550 – 2552

การตีพิมพ์เผยแพร่ผลงาน

วรรณ์ ประชาเสรี และ พงศ์ศักดิ์ ศุขณณี. (2551). แนวทางการออกแบบเบื้องต้นของชิ้นส่วนโครงสร้างชนิดพอลิเมอร์เสริมกำลังด้วยเส้นใย: การประชุมวิชาการทางวิศวกรรมศาสตร์ มหาวิทยาลัยสงขลานครินทร์ ครั้งที่ 6, 8-9 พฤษภาคม 2551 คณะวิศวกรรมศาสตร์ มหาวิทยาลัยสงขลานครินทร์ จังหวัดสงขลา.

พงศ์ศักดิ์ ศุขณณี และ วรรณ์ ประชาเสรี. (2552). การวิเคราะห์พื้นสะพานพอลิเมอร์ชนิดน้ำหนักเบาเสริมกำลังด้วยเส้นใยโดยวิธีไฟไนท์อิเลิมเน็ต: การประชุมวิชาการวิศวกรรมโยธาแห่งชาติ ครั้งที่ 14, 13-15 พฤษภาคม 2552 มหาวิทยาลัยเทคโนโลยีสุรนารี จังหวัดนครราชสีมา.

วรรณ์ ประชาเสรี. และ พงศ์ศักดิ์ ศุขณณี. (2552). ลำดับขั้นการพัฒนาของพื้นสะพานประกอบพอลิเมอร์เสริมกำลังด้วยเส้นใย: การพัฒนา, การผลิต และการนำไปใช้งานในภาคสนาม: การประชุมวิชาการวิศวกรรมโยธาแห่งชาติ ครั้งที่ 14, 13-15 พฤษภาคม 2552 มหาวิทยาลัยเทคโนโลยีสุรนารี จังหวัดนครราชสีมา.